

# **ANÁLISE DOS FATORES INFLUENTES NA TENSÃO ÚLTIMA DE PROTENSÃO EM CABOS NÃO ADERENTES**

**Marcelo Voelcker**

Porto Alegre  
Dezembro de 2004

**MARCELO VOELCKER**

**ANÁLISE DOS FATORES INFLUENTES NA TENSÃO ÚLTIMA  
DE PROTENSÃO EM CABOS NÃO ADERENTES**

Dissertação apresentada ao programa de Pós-Graduação em  
Engenharia Civil da Universidade Federal do Rio Grande do Sul,  
como parte dos requisitos para obtenção do título de Mestre em  
Engenharia na modalidade Acadêmico

Porto Alegre  
Dezembro de 2004

## **MARCELO VOELCKER**

# **ANÁLISE DOS FATORES INFLUENTES NA TENSÃO ÚLTIMA DE PROTENSÃO EM CABOS NÃO ADERENTES**

Esta dissertação de mestrado foi julgada adequada para a obtenção do título de MESTRE EM ENGENHARIA e aprovada em sua forma final pelo professor orientador e pelo Programa de Pós-Graduação em Engenharia Civil da Universidade Federal do Rio Grande do Sul.

Porto Alegre, dezembro de 2004

Prof. Francisco de Paula Simões Lopes Gastal  
Ph.D. pela North Carolina State University  
orientador

Ranier Adonis Barbieri  
Dr. pela Universidade Federal do Rio Grande  
do Sul  
co-orientador

Prof. Américo Campos Filho  
Coordenador do PPGEC/UFRGS

### **BANCA EXAMINADORA**

**Prof. Alexandre Rodrigues Pacheco(UFRGS)**  
Ph.D. pela Pennsylvania State University

**Prof. Mauro de Vasconcellos Real (FURG)**  
Dr. pela Universidade Federal  
do Rio Grande do Sul

**Prof. Américo Campos Filho (UFRGS)**  
Dr. pela Escola Politécnica da Universidade  
de São Paulo

**Prof. Rubem Clécio Schwingel (UFRGS)**  
M.Sc. pela Universidade Federal  
do Rio Grande do Sul



## **AGRADECIMENTOS**

Ao prof. Gastal, pela orientação, ajuda, incentivo, compreensão e ensinamentos sobre a atividade de pesquisa.

Ao Ranier, pela grande colaboração e ajuda e por abrir os caminhos para realização deste trabalho.

Ao prof. Rubem Schwingel, pela colaboração e por ter despertado, há muito, meu interesse no assunto.

Aos meus pais Iraci e Jorge, por estarem sempre ao meu lado.

Aos professores e funcionários do Programa de Pós-Graduação em Engenharia Civil, pelo suporte ao longo do trabalho.

À Coordenação de Aperfeiçoamento de Pessoal de Nível Superior (CAPES), pelo subsídio que tornou possível minha dedicação ao trabalho.

À Universidade Federal do Rio Grande do Sul, pela qualidade de ensino e estrutura que sempre proporcionou.

## RESUMO

VOELCKER, M. Análise dos Fatores Influentes na Tensão Última de Protensão em Cabos Não Aderentes. 2004. Dissertação (Mestrado em Engenharia Civil) – Programa de Pós-Graduação em Engenharia Civil, UFRGS, Porto Alegre.

A protensão não aderente é um sistema de pós-tensão caracterizado pela liberdade de deslizamento da armadura em relação ao concreto, ao longo de todo o perfil do cabo, com exceção das ancoragens. Devido à falta de aderência entre aço e concreto, a compatibilidade de deformações dos materiais na seção transversal não existe. O que se verifica é a compatibilidade de deslocamentos, com a equivalência entre os alongamentos do cabo e das fibras de concreto adjacentes ao mesmo. Isto acarreta complexidade no projeto de tais estruturas. No que se refere ao dimensionamento no Estado Limite Último, a tensão atuante nas armaduras não aderentes, também denominada *tensão última de protensão*, não é, a princípio, conhecida. Para sua obtenção, é fundamental a precisa determinação das curvaturas ao longo do elemento, tornando o desenvolvimento analítico de uma solução, praticamente inviável. Geralmente, são utilizados critérios empíricos para a previsão da tensão última de protensão em armaduras não aderentes. Estes levam em conta na sua formulação, parâmetros considerados como de grande influência no valor da tensão última de protensão. A fim de avaliar a significância de alguns destes fatores no valor da tensão última de protensão, um estudo paramétrico foi realizado. Parâmetros como a taxa de armadura, a tensão efetiva inicial de protensão, a relação entre a altura do elemento e o seu vão e, também, o tipo de carregamento, foram investigados. Para tal, um protótipo foi idealizado por meio de um modelo numérico. Este modelo utiliza a formulação de elemento finito do tipo híbrido para pórticos planos, que é caracterizado pela precisa obtenção das curvaturas, e mostrou-se adequado para utilização na presente pesquisa. A análise dos resultados obtidos permitiu a identificação e quantificação da influência dos parâmetros estudados, no valor da tensão última de protensão. A relevância dos valores de tensão obtidos, em função dos parâmetros adotados, na capacidade portante dos elementos, foi também avaliada.

Palavras-chave: concreto protendido; protensão não aderente; previsão da tensão última de protensão.

## ABSTRACT

VOELCKER, M. Análise dos Fatores Influentes na Tensão Última de Protensão em Cabos Não Aderentes. 2004. Dissertação (Mestrado em Engenharia Civil) – Programa de Pós-Graduação em Engenharia Civil, UFRGS, Porto Alegre.

Unbonded prestressing is a post tensioning system in which bonding between concrete and prestressing tendons is eliminated or reduced to an attainable and practical minimum limit. In such a case, there is no strain compatibility between steel and concrete. Instead, displacement compatibility is verified, where the total elongation of a tendon and the adjacent concrete are the same. Thus, designing for such structures is a cumbersome task. The tendon stress at ultimate load, also called *ultimate stress*, cannot be easily predicted. For that, precise curvature distribution along the element needs to be determined. Usually, empirical methods are used for the prediction of the ultimate stress in unbonded prestressed tendons. These methods take into account parameters considered of high influence on the ultimate stress. In order to evaluate the influence of such parameters on the ultimate stress of unbonded prestressed tendons, a parametrical study was performed. Parameters like the reinforcing index, initial effective tendon stress, the relation between the length of the span and the height of the element section, and, also, the type of the applied loading, have been also investigated. A prototype was conceived by means of a numerical model using a hybrid type finite element formulation. This formulation allows for high accuracy on curvature determination, and the model has shown to be adequate for this research. The obtained results have permitted to identify the most influencing parameters on the ultimate stress. The importance of the ultimate stress values, as a function of the adopted parameters, in the resisting capacity of the elements, is also evaluated.

Key words: prestressed concrete; unbonded tendons; ultimate stress prediction.

# SUMÁRIO

<b>1 Introdução</b>	<b>1</b>
1.1 Sistemas de Protensão Não Aderente	1
1.2 Características Inerentes ao Projeto de Estruturas Protendidas Não Aderentes	3
1.3 Motivação e Objetivos da Dissertação	5
1.4 Estratégia de Pesquisa	5
1.5 Organização do Trabalho	6
<b>2 Previsão da Tensão Última de Protensão</b>	<b>8</b>
2.1 Fatores Influentes na Tensão Última de Protensão	9
2.1.1 Índice de Protensão Parcial ( <i>PPR</i> )	10
2.1.2 Taxa Mecânica Total de Armadura	13
2.1.3 Tipo de Carregamento	17
2.1.4 Índice de Esbeltez à Flexão ( $l/d_p$ )	22
2.1.5 Continuidade da Estrutura	26
2.2 Métodos para Previsão do Incremento de Tensão	28
2.2.1 Métodos Empíricos	29
2.2.1.1 <i>Mattock et al. (1971)</i>	29
2.2.1.2 <i>Cooke et al. (1981)</i>	29
2.2.1.3 <i>Tao e Du (1985)</i>	30
2.2.1.4 <i>Kordina e Hegger (1987)</i>	30
2.2.1.5 <i>Harajli e Kanj (1991)</i>	32
2.2.1.6 <i>Chakrabarti (1995)</i>	33
2.2.1.7 <i>Naaman et al. (2002)</i>	35
2.2.1.8 <i>ACI 318-02 (ACI, 2002)</i>	36
2.2.1.9 <i>NBR 6118 (ABNT, 2003)</i>	36

2.2.1.10 CEB-FIP (1990)	37
2.2.2 Métodos Semi-Empíricos	37
2.2.2.1 Tam e Pannell (1976)	37
2.2.2.2 Harajli (1990)	41
2.2.2.3 Lee et al. (1999)	43
2.2.2.4 Naaman e Alkhairi (1991); Naaman et al. (2002)	46
2.2.2.5 Código Canadense A23.3-94 (1994)	48
2.2.3 Métodos Numéricos	49
2.2.4 Aplicação dos Métodos de Previsão de $\Delta f_{ps}$	50
<b>3 Metodologia de Pesquisa</b>	<b>58</b>
3.1 Parâmetros de Estudo	58
3.2 Protótipo Idealizado para o Estudo	61
3.3 Metodologia de Variação dos Parâmetros	63
3.3.1 Parâmetros Internos de $\omega_e$	64
3.3.2 Índice de Esbeltez à Flexão ( $l/d_p$ )	70
3.3.3 Tipo de Carregamento	72
3.4 Modelos Analíticos Adotados	73
3.4.1 Carregamento nos Terços Médios	76
3.4.2 Carregamento Concentrado	77
3.4.3 Carregamento Distribuído	79
3.5 Modelo Numérico Adotado	83
3.5.1 Método de Análise do Modelo Numérico	83
3.5.2 Idealização e Discretização da Estrutura	84
3.5.3 Relações Constitutivas dos Materiais	86
3.5.4 Validação do Modelo Numérico	89
3.6 Mapa dos Parâmetros Englobados na Pesquisa	92

<b>4 Apresentação de Resultados e Análise Paramétrica</b>	<b>95</b>
4.1 Resultados Obtidos das Análises Numéricas	95
4.1.1 Critério de Ruptura Adotado	96
4.1.2 Curvas $P \times \delta$ , $P \times \Delta f_{ps}$ e $\Delta f_{ps} \times \delta$	96
4.1.3 Tabelas de Resultados	101
4.1.4 Protótipos Desconsiderados	103
4.2 Gráficos de Dispersão dos Parâmetros $\omega_e$ e $\Delta f_{ps}$	104
4.2.1 Carregamento nos Terços Médios	105
4.2.1.1 Índice de Esbeltez à Flexão $l/d_p = 21,7$	105
4.2.1.2 Índices de Esbeltez à Flexão $l/d_p = 38,7$ e $55,7$	108
4.2.2 Carregamento Concentrado	112
4.2.2.1 Índice de Esbeltez à Flexão $l/d_p = 21,7$	113
4.2.2.2 Índices de Esbeltez à Flexão $l/d_p = 38,7$ e $55,7$	115
4.2.3 Carregamento Distribuído	117
4.2.3.1 $L_o = l/6$ e Índice de Esbeltez à Flexão $l/d_p = 21,7$	118
4.2.3.2 $L_o = l/6$ e Índice de Esbeltez à Flexão $l/d_p = 55,7$	121
4.2.3.3 $L_o = l/20$ e Índice de Esbeltez à Flexão $l/d_p = 21,7$	122
4.3 Influência dos Parâmetros Estudados no Valor de $\Delta f_{ps}$	125
4.3.1 Parâmetros Internos de $\omega_e$	125
4.3.2 Taxa Mecânica Total de Armadura $\omega_e$	131
4.3.3 Tensão Efetiva de Protensão $f_{pe}$	135
4.3.4 Índice de Esbeltez à Flexão $l/d_p$	136
4.3.5 Tipo de Carregamento	139
4.4 Comparaçao de Resultados	140
4.4.1 Aplicação das Equações de Regressão a Dados Experimentais	141
4.4.2 Comparaçao com Métodos do ACI 318 (2002) e Tao e Du (1985)	142
4.5 Aumento de Capacidade Resistente em Função de $\Delta f_{ps}$	144

<b>5 Conclusões e Sugestões para a Continuidade da Pesquisa</b>	<b>152</b>
5.1 Conclusões	152
5.2 Sugestões para a Continuidade da Pesquisa	155
<b>Referências Bibliográficas</b>	<b>157</b>
<b>Apêndice A: Tabelas de Dados dos Protótipos (arquivo eletrônico .PDF em CD)</b>	<b>160</b>
<b>Apêndice B: Tabelas de Resultados de Ruptura dos Protótipos (arquivo eletrônico .PDF em CD)</b>	<b>178</b>

## LISTA DE FIGURAS

<b>Figura 1.1:</b> Cabo e ancoragem do sistema com cordoalhas engraxadas .....	2
<b>Figura 1.2:</b> Deformações, tensões e esforços de uma seção genérica, no Estado Limite Último .....	4
<b>Figura 2.1:</b> Deformações na seção transversal devido à protensão efetiva e devido ao carregamento até o Estado Limite Último .....	8
<b>Figura 2.2:</b> Modelo de Mojthaedi e Gamble para representar comportamento de elementos com protensão total .....	11
<b>Figura 2.3:</b> Curvas <i>carga x deslocamento central</i> de protótipos ensaiados por Cooke et al. (1981) .....	11
<b>Figura 2.4:</b> Curvas <i>carga x deslocamento central</i> de protótipos ensaiados por Tao e Du (1985) .....	15
<b>Figura 2.5:</b> Relação linear entre os valores de $\Delta f_{ps}$ e $q_o$ (Tao e Du, 1985) .....	15
<b>Figura 2.6:</b> Comparação entre resultados experimentais de $\Delta f_{ps}$ de Tao e Du (1985) e Chakrabarti (1995), para protótipos com $\omega_e$ similares .....	16
<b>Figura 2.7:</b> Resultados de $\Delta f_{ps}$ de protótipos de Chakrabarti (1995) com distintas tensões efetivas .....	17
<b>Figura 2.8:</b> Representação das curvaturas de elemento bi-apoiado carregado por duas cargas concentradas: <i>a</i> ) devido à flexão somente; <i>b</i> ) devido à flexão combinada com esforço cortante .....	18
<b>Figura 2.9:</b> Resultados da análise numérica de protótipos com distintos tipos de carregamento (Harajli, 1990; Harajli e Hijazi, 1991) .....	21
<b>Figura 2.10:</b> Resultados da análise experimental de protótipos com distintos tipos de carregamento (Harajli e Kanj, 1991) .....	22
<b>Figura 2.11:</b> Modelos de bielas atirantadas para representação do efeito de $l/d_p$ : <i>a</i> ) Mojthaedi e Gamble (1978) ; <i>b</i> ) Lee et al. (1999) .....	23
<b>Figura 2.12:</b> Curvas $\Delta f_{ps} \times \delta$ dos protótipos analisados numericamente por Naaman e Alkhairi (1993): <i>a</i> ) Considerando esforço cortante; <i>b</i> ) Desconsiderando esforço cortante .....	25
<b>Figura 2.13:</b> Padrões de carregamentos que ocasionaram ruptura de um dos protótipos de Burns et al. (1978), conforme comentado por Cooke et al. (1981) .....	27
<b>Figura 2.14:</b> Relação entre configuração de carregamento e o valor de $l_b$ .....	32
<b>Figura 2.15:</b> Geometria, deformações e esforços em seção transversal submetida a Estado Limite Último de ruptura .....	38
<b>Figura 2.16:</b> Comparação de resultados experimentais e teóricos para o método empírico de Mattock et al. (1971): <i>a</i> ) Valores de $\Delta f_{ps}$ ; <i>b</i> ) Valores de $f_{ps}$ .....	51

<b>Figura 2.17:</b> Comparação de resultados experimentais e teóricos para o método empírico de Tao e Du (1985): a) Valores de $\Delta f_{ps}$ ; b) Valores de $f_{ps}$ .....	52
<b>Figura 2.18:</b> Comparação de resultados experimentais e teóricos para o método empírico de Kordina e Hegger (1987): a) Valores de $\Delta f_{ps}$ ; b) Valores de $f_{ps}$ .....	52
<b>Figura 2.19:</b> Comparação de resultados experimentais e teóricos para o método empírico de Harajli e Kanj (1991): a) Valores de $\Delta f_{ps}$ ; b) Valores de $f_{ps}$ .....	53
<b>Figura 2.20:</b> Comparação de resultados experimentais e teóricos para o método empírico de Chakrabarti (1995): a) Valores de $\Delta f_{ps}$ ; b) Valores de $f_{ps}$ .....	54
<b>Figura 2.21:</b> Comparação de resultados experimentais e teóricos para o método empírico de Naaman et al. (2002): a) Valores de $\Delta f_{ps}$ ; b) Valores de $f_{ps}$ .....	55
<b>Figura 2.22:</b> Comparação de resultados experimentais e teóricos para o método empírico do ACI 318-02 (2002): a) Valores de $\Delta f_{ps}$ ; b) Valores de $f_{ps}$ .....	55
<b>Figura 2.23:</b> Comparação de resultados experimentais e teóricos para o método semi-empírico de Harajli (1990): a) Valores de $\Delta f_{ps}$ ; b) Valores de $f_{ps}$ .....	56
<b>Figura 2.24:</b> Comparação de resultados experimentais e teóricos desconsiderando-se os valores de $\Delta f_{ps}$ : a) Valores de $\Delta f_{ps}$ ; b) Valores de $f_{ps}$ .....	57
<b>Figura 3.1:</b> Parâmetros variados na análise paramétrica: a) Parâmetros da seção transversal; b) Índice de esbeltez à flexão; c) Tipo de carregamento .....	61
<b>Figura 3.2:</b> Perfil longitudinal do protótipo modelo idealizado para o estudo paramétrico .....	62
<b>Figura 3.3:</b> Configurações dos protótipos modelo para o estudo da esbeltez à flexão: a) $l/d_p = 21,7$ ; b) $l/d_p = 38,7$ ; c) $l/d_p = 55,7$ .....	71
<b>Figura 3.4:</b> Configurações de carregamento estudadas: a) Cargas nos terços médios; b) carga concentrada; c) carregamento distribuído .....	72
<b>Figura 3.5:</b> Formação do mecanismo de rótulas plásticas e diagrama de curvaturas no Estado Limite Último: a) Situação observada em análises experimentais; b) Análise numérica teórica, com consideração do peso próprio como carga distribuída .....	75
<b>Figura 3.6:</b> Diagrama de momentos fletores devido ao peso próprio do elemento: a) Devido ao carregamento distribuído real $q_{pp}$ ; b) Devido às cargas $P_{eq}$ .....	76
<b>Figura 3.7:</b> Modelagem utilizada no estudo do carregamento concentrado, por meio de cargas afastadas de $0,05l$ .....	78
<b>Figura 3.8:</b> Carregamentos e diagramas de momentos fletores: a) Carregamento distribuído real; b) Carregamento equivalente com cargas concentradas $P_{dist}$ .....	80
<b>Figura 3.9:</b> Modelagens utilizadas para estudo de protótipos com carregamento distribuído, para $L_o = l / 6$ : a) $l/d_p = 21,7$ ; b) $l/d_p = 55,7$ .....	81
<b>Figura 3.10:</b> Modelagem utilizada para estudo de protótipos com carregamento distribuído, para $L_o = l / 20$ e $l/d_p = 21,7$ .....	82

<b>Figura 3.11:</b> Discretização do elemento finito adotada nos protótipos: a)Carregamento nos terços médios; b) Carregamento concentrado; c) Carregamento distribuído.....	86
<b>Figura 3.12:</b> Curva tensão-deformação do concreto submetido à compressão .....	87
<b>Figura 3.13:</b> Relação tensão-deformação do concreto submetido à tração .....	88
<b>Figura 3.14:</b> Relação tensão-deformação do aço da armadura passiva .....	88
<b>Figura 3.15:</b> Curva tensão-deformação do aço da armadura de protensão não aderente	89
<b>Figura 3.16:</b> Comparação entre curvas $P \times \delta$ numérico e experimental – Protótipos de Tao e Du (1985) .....	91
<b>Figura 3.17:</b> Organograma dos tipos de parâmetros estudados: a) Carregamento nos terços médios; b) Carregamento concentrado; c) Carregamento distribuído .....	93
<b>Figura 4.1:</b> Curvas $P \times \delta$ resultantes das análises numéricas dos protótipos derivados da laje 0,30-0,150-112,5-REF: a) $A_s$ e $f_y$ variados (sufixos 01 a 06); b) $A_{ps}$ , $A_s$ e $d_s$ variados (sufixos 07 a 10); c) $A_{ps}$ variado (sufixos 11 a 16); d) $A_s$ variado (sufixos 17 a 22); e) $f_y$ variado (sufixos 23 a 28); f) $d_s$ variado (sufixos 29 a 32) .....	97
<b>Figura 4.2:</b> Curvas $P \times \Delta f_{ps}$ resultantes das análises numéricas dos protótipos derivados da laje 0,30-0,150-112,5-REF: a) $A_s$ e $f_y$ variados (sufixos 01 a 06); b) $A_{ps}$ variado (sufixos 11 a 16) .....	100
<b>Figura 4.3:</b> Curvas $\Delta f_{ps} \times \delta$ resultantes das análises numéricas dos protótipos derivados da laje 0,30-0,150-112,5-REF: a) $A_s$ e $f_y$ variados (sufixos 01 a 06); b) $A_{ps}$ variado (sufixos 11 a 16) .....	101
<b>Figura 4.4:</b> Gráficos de dispersão ( $\omega_e$ , $\Delta f_{ps}$ ) de protótipos com carregamento nos terços médios e $l/d_p = 21,7$ : a) Protótipos com $f_{pe} = 92,7 \text{ kN/cm}^2$ ; b) $f_{pe} = 112,5 \text{ kN/cm}^2$ ; c) $f_{pe} = 132,3 \text{ kN/cm}^2$ ; d) $f_{pe} = 152,0 \text{ kN/cm}^2$ .....	106
<b>Figura 4.5:</b> Gráfico de dispersão ( $\omega_e$ , $\Delta f_{ps}$ ) e regressões lineares para protótipos com carregamento nos terços médios e $l/d_p = 21,7$ – superposição de todos os valores de $f_{pe}$ .....	107
<b>Figura 4.6:</b> Gráfico de dispersão ( $\omega_e$ , $\Delta f_{ps}$ ) e regressões lineares para protótipos com carregamento nos terços médios e $l/d_p = 38,7$ – superposição de todos os valores de $f_{pe}$ .....	110
<b>Figura 4.7:</b> Gráfico de dispersão ( $\omega_e$ , $\Delta f_{ps}$ ) e regressões lineares para protótipos com carregamento nos terços médios e $l/d_p = 55,7$ – superposição de todos os valores de $f_{pe}$ .....	111
<b>Figura 4.8:</b> Gráfico de dispersão ( $\omega_e$ , $\Delta f_{ps}$ ) e regressões lineares para protótipos com carregamento nos terços médios – superposição de todos os índices de esbeltez .....	112
<b>Figura 4.9:</b> Gráficos de dispersão ( $\omega_e$ , $\Delta f_{ps}$ ) de protótipos com carregamento concentrado e $l/d_p = 21,7$ : a) $f_{pe} = 92,7 \text{ kN/cm}^2$ ; b) $f_{pe} = 112,5 \text{ kN/cm}^2$ ; c) $f_{pe} = 132,3 \text{ kN/cm}^2$ ; d) $f_{pe} = 152,0 \text{ kN/cm}^2$ .....	113

<b>Figura 4.10:</b> Gráfico de dispersão ( $\omega_e$ , $\Delta f_{ps}$ ) e regressões lineares para protótipos com carregamento concentrado e $l/d_p = 21,7$ – superposição de todos os valores de $f_{pe}$ ....	114
<b>Figura 4.11:</b> Gráficos de dispersão ( $\omega_e$ , $\Delta f_{ps}$ ) de protótipos com carregamento concentrado: a) $l/d_p = 38,7$ ; b) $l/d_p = 55,7$ .....	115
<b>Figura 4.12:</b> Gráfico de dispersão ( $\omega_e$ , $\Delta f_{ps}$ ) e regressões lineares para protótipos com carregamento concentrado – superposição de todos os índices de esbeltez .....	116
<b>Figura 4.13:</b> Gráficos de dispersão ( $\omega_e$ , $\Delta f_{ps}$ ) de protótipos com carregamento distribuído com $L_o = l/6$ e $l/d_p = 21,7$ : a) Protótipos com $f_{pe} = 92,7 \text{ kN/cm}^2$ ; b) $f_{pe} = 112,5 \text{ kN/cm}^2$ ; c) $f_{pe} = 132,3 \text{ kN/cm}^2$ ; d) $f_{pe} = 152,0 \text{ kN/cm}^2$ .....	119
<b>Figura 4.14:</b> Gráfico de dispersão ( $\omega_e$ , $\Delta f_{ps}$ ) e regressões lineares para protótipos com carregamento distribuído com $L_o = l/6$ e $l/d_p = 21,7$ – superposição de todos os valores de $f_{pe}$ .....	120
<b>Figura 4.15:</b> Gráfico de dispersão ( $\omega_e$ , $\Delta f_{ps}$ ) e regressões lineares para protótipos com carregamento distribuído e $L_o = l/6$ – superposição dos índices de esbeltez 21,7 e 55,7 .....	122
<b>Figura 4.16:</b> Gráficos de dispersão ( $\omega_e$ , $\Delta f_{ps}$ ) de protótipos com carregamento distribuído com $L_o = l/20$ e $l/d_p = 21,7$ : a) Protótipos com $f_{pe} = 92,7 \text{ kN/cm}^2$ ; b) $f_{pe} = 112,5 \text{ kN/cm}^2$ ; c) $f_{pe} = 132,3 \text{ kN/cm}^2$ ; d) $f_{pe} = 152,0 \text{ kN/cm}^2$ .....	123
<b>Figura 4.17:</b> Gráfico de dispersão dos pontos ( $\omega_e$ , $\Delta f_{ps}$ ) de protótipos com carregamento nos terços médios, $l/d_p = 21,7$ e $f_{pe} = 92,7 \text{ kN/cm}^2$ .....	126
<b>Figura 4.18:</b> Gráficos de dispersão ( $\omega_e$ , $\Delta f_{ps}$ ) de protótipos com carregamento nos terços médios e $l/d_p = 21,7$ , desconsiderando protótipos com valores de $d_s = 12,5$ , 14,0 e 15,5 cm: a) Protótipos com $f_{pe} = 92,7 \text{ kN/cm}^2$ ; b) $f_{pe} = 112,5 \text{ kN/cm}^2$ ; c) $f_{pe} = 132,3 \text{ kN/cm}^2$ ; d) $f_{pe} = 152,0 \text{ kN/cm}^2$ .....	128
<b>Figura 4.19:</b> Gráficos de dispersão ( $\omega_e$ , $\Delta f_{ps}$ ) de protótipos com $l/d_p = 21,7$ , e $f_{pe} = 92,7 \text{ kN/cm}^2$ , desconsiderando protótipos com valores atípicos de $d_s$ e $f_y$ : a) Carregamento distribuído ( $L_o = l/6$ ); b) Carregamento concentrado .....	130
<b>Figura 4.20:</b> Curvas resultantes da análise dos protótipos da tabela 4.6: a) Curva $\Delta f_{ps} x \omega_e$ ; b) Curva $\varphi x \omega_e$ .....	132
<b>Figura 4.21:</b> Deformações da seção transversal em função do domínio de ruptura da norma NBR 6118: a) Limite entre domínios 2 e 3; b) Domínio 2; c) Domínio 3 .....	133
<b>Figura 4.22:</b> Ampliação da curva <i>tensão x deformação</i> nos níveis de tensão atuantes no aço de protensão modelado nos protótipos com carregamento nos terços médios e $\omega_e = 0,150$ .....	136
<b>Figura 4.23:</b> Comprimento da zona plastificada $l_p$ , entre cargas .....	137
<b>Figura 4.24:</b> Superposição dos gráficos ( $\omega_e$ , $\Delta f_{ps}$ ) de todos os tipos de carregamento, para protótipos com $l/d_p = 21,7$ : a) $f_{pe} = 92,7 \text{ kN/cm}^2$ ; b) $f_{pe} = 152,0 \text{ kN/cm}^2$ .....	139
<b>Figura 4.25:</b> Comparação de resultados experimentais e teóricos para equações de regressão obtidas no item 4.1: a) Valores de $\Delta f_{ps}$ ; b) Valores de $f_{ps}$ .....	142

<b>Figura 4.26:</b> Comparação entre regressões obtidas para carregamento nos terços médios e métodos do ACI 318 (2002) e Tao e Du (1985): a) $f_{pe} = 92,7 \text{ kN/cm}^2$ ; b) $f_{pe} = 152,0 \text{ kN/cm}^2$ .....	143
<b>Figura 4.27:</b> Comparação entre regressões obtidas para carregamento concentrado e método do ACI 318 (2002): a) $f_{pe} = 92,7 \text{ kN/cm}^2$ ; b) $f_{pe} = 152,0 \text{ kN/cm}^2$ .....	143
<b>Figura 4.28:</b> Relação esquemática entre $f_{pe}$ , $f_{ps}$ e $\Delta f_{ps}$ e os momentos fletores resistentes e aumento da capacidade portante .....	145
<b>Figura 4.29:</b> Gráficos de dispersão ( $\omega_e$ , $\Delta M_r/M_{ro}$ ) de protótipos com carregamento aplicado nos terços e $l/d_p = 21,7$ : a) $f_{pe} = 92,7 \text{ kN/cm}^2$ ; b) $f_{pe} = 112,5 \text{ kN/cm}^2$ ; c) $f_{pe} = 132,3 \text{ kN/cm}^2$ ; d) $f_{pe} = 152,0 \text{ kN/cm}^2$ .....	147
<b>Figura 4.30:</b> Gráficos de dispersão ( $\omega_e$ , $\Delta M_r/M_{ro}$ ) de protótipos com carregamento distribuído ( $L_o = l/6$ ) e $l/d_p = 21,7$ : a) $f_{pe} = 92,7 \text{ kN/cm}^2$ ; b) $f_{pe} = 112,5 \text{ kN/cm}^2$ ; c) $f_{pe} = 132,3 \text{ kN/cm}^2$ ; d) $f_{pe} = 152,0 \text{ kN/cm}^2$ .....	148
<b>Figura 4.31:</b> Gráficos de dispersão ( $\omega_e$ , $\Delta M_r/M_{ro}$ ) de protótipos com carregamento concentrado e $l/d_p = 21,7$ : a) $f_{pe} = 92,7 \text{ kN/cm}^2$ ; b) $f_{pe} = 112,5 \text{ kN/cm}^2$ ; c) $f_{pe} = 132,3 \text{ kN/cm}^2$ ; d) $f_{pe} = 152,0 \text{ kN/cm}^2$ .....	149
<b>Figura 4.32:</b> Gráficos de dispersão ( $PPR_e$ , $\Delta M_r/M_{ro}$ ) de protótipos com carregamento aplicado nos terços e $l/d_p = 21,7$ : a) $f_{pe} = 92,7 \text{ kN/cm}^2$ ; b) $f_{pe} = 152,0 \text{ kN/cm}^2$ .....	150
<b>Figura 4.33:</b> Gráfico de dispersão ( $PPR_e$ , $\Delta f_{ps}$ ) de protótipos com carregamento nos terços médios, $l/d_p = 21,7$ e $f_{pe} = 92,7 \text{ kN/cm}^2$ .....	151

## LISTA DE TABELAS

<b>Tabela 2.1:</b> Médias e desvios-padrão de ( $f_{ps\text{-}prev} / f_{ps\text{-}exp}$ ) e ( $\Delta f_{ps\text{-}prev} / \Delta f_{ps\text{-}exp}$ ) para cada método de previsão de $\Delta f_{ps}$ testado .....	57
<b>Tabela 3.1:</b> Propriedades dos materiais adotadas no protótipo modelo .....	63
<b>Tabela 3.2:</b> Exemplo de parametrização dos protótipos: valores de parâmetros internos de $\omega_e$ derivados da laje protótipo de referência 0,30-0,150-152,0-REF .....	68
<b>Tabela 3.3:</b> Intervalos de variação dos parâmetros internos de $\omega_e$ e envoltória dos valores de $\omega_e$ e $PPR_e$ resultantes .....	70
<b>Tabela 3.4:</b> Dados dos protótipos ensaiados por Tao e Du (1985) .....	90
<b>Tabela 3.5:</b> Comparação entre valores de $\Delta f_{ps}$ numérico e experimental, na ruptura dos protótipos de Tao e Du (1985) .....	92
<b>Tabela 4.1:</b> Resultados de ruptura dos protótipos derivados do protótipo de referência 0,30-0,150-112,5-REF, com $l/d_p = 38,7$ e carregamento aplicado nos terços médios .....	102
<b>Tabela 4.2:</b> Comparação de resultados, entre os vários índices $l/d_p$ , analisados, de $\delta$ e $\Delta f_{ps}$ na ruptura de protótipos com carregamento nos terços, derivados do protótipo de referência 0,30-0,150-112,5-REF [kN; cm] .....	109
<b>Tabela 4.3:</b> Médias e desvios-padrão dos valores de $\Delta f_{ps}$ dos grupos de protótipos com mesmo $f_{pe}$ e carregamento concentrado [kN; cm] .....	117
<b>Tabela 4.4:</b> Valores obtidos de $\Delta f_{ps}$ para diferentes tipos de carregamento aplicado [kN; cm] .....	124
<b>Tabela 4.5:</b> Valores de ruptura na zona plastificada de protótipos com carregamento nos terços, $l/d_p = 21,7$ , $f_{pe} = 92,7$ kN/cm <sup>2</sup> e $\omega_e = 0,150$ .....	127
<b>Tabela 4.6:</b> Valores de ruptura de protótipos com carregamento nos terços, $l/d_p = 21,7$ , $f_{pe} = 92,7$ kN/cm <sup>2</sup> , $PPR_e = 0,50$ e $\omega_e$ variados .....	131
<b>Tabela 4.7:</b> Comparação de resultados numéricos dos protótipos da tabela 4.6, com os obtidos por meio da utilização das equações (2.17) e (4.13) .....	134
<b>Tabela 4.8:</b> Comparação de resultados de $\Delta f_{ps}$ do protótipo 0,30-0,150-92,7-REF com deformações ocorrendo ao longo de todo o elemento, e apenas na zona plastificada [kN;cm] .....	140
<b>Tabela 4.9:</b> Comparação de valores de $\Delta f_{ps}$ , $f_{ps}$ e $M_{res}$ de protótipos de referência com $l/d_p = 21,7$ , para carregamento nos terços e concentrado [kN;cm] .....	151

## SÍMBOLOS

### LETRAS ROMANAS MAIÚSCULAS

$A_c$ : área da seção transversal de concreto

$A_s$ : área da armadura passiva

$A_{ps}$ : área da armadura de protensão

$E_c$ : módulo de elasticidade do concreto

$E_p$ : módulo de elasticidade do aço de protensão

$L_o$ : afastamento entre cargas concentradas aplicadas no elemento

$L_p$ : aumento do comprimento de plastificação adotado na determinação de  $l_p^{eq}$

$M_r$ : momento fletor resistente da seção fissurada

$M_{res}$ : momento fletor resistente da seção central no Estado Limite Último

$M_{ro}$ : momento fletor resistente efetivo da seção central

$PPR$ : índice de protensão parcial

$PPR_e$ : índice de protensão parcial, referido à tensão efetiva de protensão

$R_{cc}$ : esforço resultante de compressão do concreto no Estado Limite Último

$R_{pt}$ : esforço resultante de tração da armadura ativa no Estado Limite Último

$R_{st}$ : esforço resultante de tração da armadura passiva no Estado Limite Último

### LETRAS ROMANAS MINÚSCULAS

$a$ : aumento do comprimento de plastificação, devido à influência do esforço cortante

$b$ : largura da seção transversal

$b_f$ : largura da mesa da seção transversal

$b_w$ : largura da alma da seção transversal

$c$ : profundidade da fissura

$d_p$ : altura útil da armadura de protensão

$d_s$ : altura útil da armadura passiva

$e_p$ : excentricidade da força de protensão

$f$ : razão entre o comprimento do vão  $l$  e o valor de  $L_o$

$f_c$ : tensão resistente do concreto à compressão

$f_{cf}$ : tensão resistente final do concreto à compressão

$f_{ct}$ : tensão resistente do concreto à tração

$f_{pe}$ : tensão efetiva de protensão

$f_{ps}$ : tensão última de protensão

$f_{py}$ : tensão convencional de escoamento do aço de protensão

$f_y$ : tensão de escoamento da armadura passiva

$f_{pu}$ : tensão de ruptura da armadura de protensão

$h$ : altura da seção transversal

$l$ : comprimento do vão

$l_p$ : comprimento de plastificação

$l_p^{eq}$ : comprimento de plastificação equivalente

$x$ : profundidade da linha neutra

$z$ : distância do ponto de aplicação da carga até o apoio extremo

## LETRAS GREGAS MAIÚSCULAS

$\Delta M_r$ : incremento de momento fletor resistente, devido à  $\Delta f_{ps}$

$\Delta f_{ps}$ : incremento de tensão na armadura não aderente

$\Delta l_{ps}$ : incremento de alongamento do cabo de protensão, entre as ancoragens

$\Delta \varepsilon_{ps}$ : incremento de deformação na armadura de protensão, correspondente à  $\Delta f_{ps}$

## LETRAS GREGAS MINÚSCULAS

$\beta$ : parâmetro de *tension stiffening* do concreto

$\beta_p$ : resistência prismática à compressão do concreto

$\beta_\sigma$ : parâmetro de *tension stiffening* do concreto

$\delta$ : deslocamento do centro do vão do elemento

$\epsilon_c$ : deformação do concreto comprimido no Estado Limite Último

$\epsilon_{ce}$ : deformação pré-existente na fibra de concreto na altura do cabo de protensão

$\epsilon_{cf}$ : deformação de ruptura do concreto à compressão

$\epsilon_{co}$ : deformação de pico de resistência à compressão do concreto

$\epsilon_{cp}$ : deformação da fibra de concreto adjacente à armadura de protensão no Estado Limite Último

$\epsilon_{cs}$ : deformação da fibra de concreto adjacente à armadura passiva no Estado Limite Último

$\epsilon_{ct}$ : deformação de fissuração do concreto

$\epsilon_{cu}$ : deformação limite de compressão do concreto, na ruptura

$\epsilon_p$ : deformação na armadura de protensão no Estado Limite Último

$\epsilon_{pe}$ : deformação efetiva na armadura de protensão não aderente

$\epsilon_{po}$ : deformação pré-existente da armadura de protensão no estado de descompressão

$\epsilon_{ps}$ : deformação última na armadura de protensão não aderente

$\epsilon_{py}$ : deformação convencional de escoamento da armadura de protensão

$\epsilon_s$ : deformação da armadura passiva no Estado Limite Último

$\epsilon_y$ : deformação de escoamento da armadura passiva

$\phi$ : curvatura da seção transversal

$\omega_e$ : taxa mecânica total de armadura, referida à tensão efetiva de protensão

$\omega_l$ : taxa mecânica total de armadura

## 1 Introdução

A protensão não aderente é um sistema de pós-tensão que caracteriza-se pela liberdade de movimento da armadura em relação ao concreto, ao longo de todo o perfil do cabo, com exceção das seções extremas, onde é efetivada a ancoragem. A facilidade de montagem dos cabos e a dispensa da etapa de realização da aderência, tornam este processo mais simples, em comparação com a pós-tensão aderente.

Devido a suas vantagens construtivas, este sistema está em crescente utilização no Brasil. A norma brasileira para projeto de estruturas de concreto, no entanto, recomenda para as estruturas com protensão não aderente, a utilização critérios oriundos de diferentes normas internacionais, que não são totalmente compatíveis entre si. Tais fatos levaram ao desenvolvimento desta dissertação de mestrado no Programa de Pós-Graduação em Engenharia Civil da Universidade Federal do Rio Grande do Sul (PPGEC/UFRGS), como continuação de pesquisa iniciada por Barbieri (2003) em sua tese de doutorado, também realizada no PPGEC/UFRGS.

Neste capítulo inicial, são apresentados os objetivos da dissertação, a estratégia de pesquisa adotada e a organização do trabalho. Inicialmente, porém, são descritos alguns dos sistemas de protensão não aderente mais utilizados e as características inerentes ao seu projeto, características que são peculiares, e que constituem o principal fator motivador desta pesquisa.

### 1.1 Sistemas de Protensão Não Aderente

A primeira obra protendida no Brasil foi a ponte do aeroporto do Galeão, executada em 1949. Foi uma das primeiras aplicações da patente Freyssinet em todo o mundo, que se constituía de cabos de 12 fios lisos de diâmetro 5 mm, envolvidos em camadas de papel resistente. Os fios e o papel eram pintados com tinta betuminosa para que fossem tensionados após o endurecimento do concreto. O betume evitava a penetração de nata de cimento no interior do cabo, funcionando como lubrificante por ocasião da protensão. Tratava-se, portanto, de protensão não aderente, apesar de posterior injeção de nata de cimento no cabo para proteção

à corrosão. Em 1956, surgiram as bainhas, produzidas com fitas plásticas enroladas helicoidalmente sobre os fios, que eram ainda pintados com tinta betuminosa.

Atualmente, o principal sistema de protensão não aderente em utilização no país é o de monocordalhas engraxadas, que teve sua fabricação nacional iniciada somente em 1997. Em aplicação nos Estados Unidos desde 1956, este sistema foi pionieramente utilizado no projeto das obras da garagem subterrânea do Hospital de Clínicas, em São Paulo. O sistema de monocordalhas engraxadas consiste em uma única cordoalha de 12,7 ou 15,2 mm de diâmetro, como as utilizadas em concreto protendido aderente, revestida externamente por uma bainha plástica (PEAD) extrudada diretamente sobre a cordoalha, já engraxada (figura 1.1). A graxa tem a função de minimizar o atrito entre a cordoalha e a bainha, permitindo, dessa forma, o livre deslocamento e reduzindo perdas iniciais da força de protensão, bem como também proteger a armadura contra corrosão. A bainha plástica isola a armadura do concreto, permitindo que o processo de protensão seja executado corretamente. As ancoragens são individuais e realizadas por meio de cunhas de aço que, por atrito, travam a cordoalha após a execução da protensão. As ancoragens passivas são posicionadas na forma já travadas, cabendo ao executor alguns cuidados em relação à montagem e posterior proteção das ancoragens ativas. Como os cabos são constituídos por uma única cordoalha, o seu transporte, posicionamento e montagem, são bastante facilitados. A etapa de realização da aderência, que demanda a limpeza das bainhas e injeção de nata de cimento ou processo semelhante, é, desta forma, dispensada.

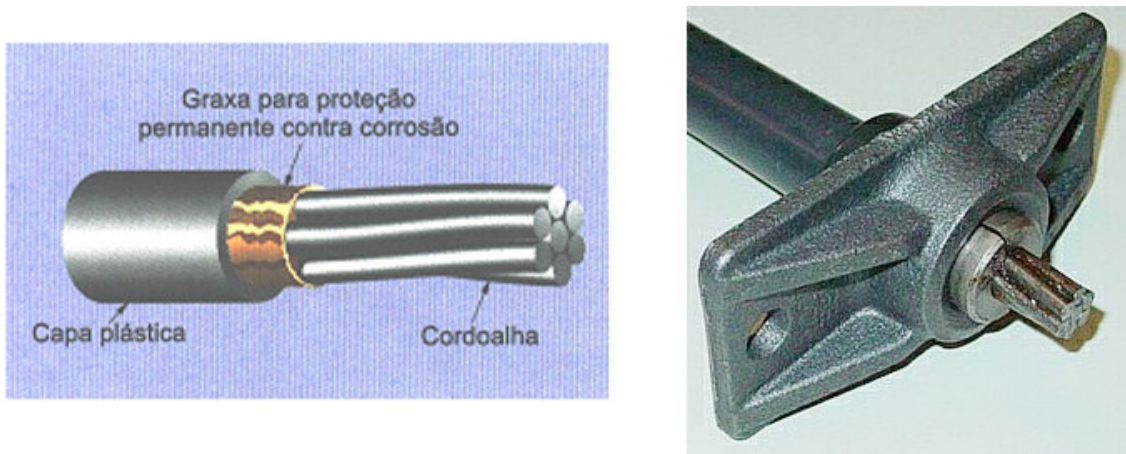


Figura 1.1 – Cabo e ancoragem do sistema com cordoalhas engraxadas

Com o sistema de monocordovalhas engraxadas, grandes excentricidades de protensão podem ser introduzidas, de forma precisa. Por isso, sua utilização é indicada, principalmente, em substituição à protensão aderente de elementos esbeltos, como lajes sem vigas (planas ou nervuradas) de edificações. A maior flexibilidade dos cabos permite ainda, no caso das lajes, grandes curvaturas dos cabos também no plano horizontal, resultando em maior liberdade de projeto. As monocordovalhas engraxadas estão, dessa maneira, em uso crescente no Brasil.

Além da aplicação em lajes sem vigas, podem ser citados outros exemplos do uso da protensão não aderente. Pisos industriais e grandes *radiers* podem ter sua espessura reduzida em função da compressão introduzida pela protensão, bem como ampliadas as dimensões em planta sem juntas. O reforço estrutural por meio de protensão externa ou estruturas onde a protensão deva ser executada em etapas posteriores de construção são outros exemplos.

## 1.2 Características Inerentes ao Projeto de Estruturas Protendidas Não Aderentes

A falta de aderência entre aço e concreto faz com que não haja mais compatibilidade de deformações entre estes dois materiais. A deformação do aço não é a mesma da fibra de concreto adjacente. A análise com equações baseadas nestas hipóteses, como as utilizadas em concreto armado e concreto protendido aderente, não é mais possível. O deslizamento entre armadura não aderente e concreto traz, portanto, complicações para a análise e o dimensionamento das estruturas. No que se refere ao dimensionamento no Estado Limite Último, a tensão na armadura de protensão em uma determinada seção não depende unicamente da deformação ou solicitação que ocorre nesta seção isolada. Considerando o estado de deformações, tensões e esforços em uma dada seção transversal somente, não é conhecida, *a priori*, a tensão na armadura de protensão não aderente no Estado Limite Último (figura 1.2).

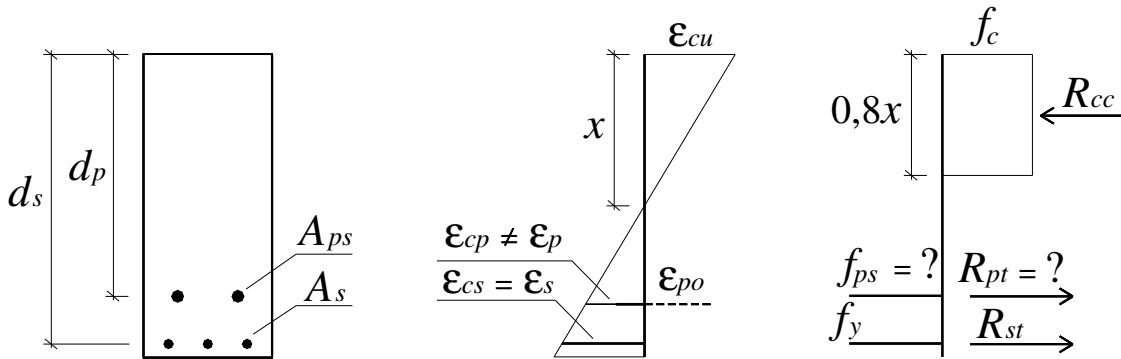


Figura 1.2 – Deformações, tensões e esforços de uma seção genérica,  
no Estado Limite Último

Verifica-se, no caso da protensão não aderente, a compatibilidade de deslocamentos, onde o alongamento total do cabo de protensão, entre as ancoragens, é equivalente ao alongamento total das fibras de concreto adjacentes a ele. Devido à compatibilidade de deslocamentos, a tensão na armadura não aderente, ao contrário do que ocorre na compatibilidade de deformações, é praticamente constante ao longo do comprimento do elemento. Desprezando-se o atrito, a armadura pode ser entendida como um tirante, solicitado por ocasião da deformação da estrutura, e experimentando, dessa maneira, a mesma tensão em todos os pontos do cabo. Considerando um incremento de deformações em uma única seção transversal da peça e mantendo-se as demais indefinidas, a armadura não aderente deverá deslizar até que seja estabelecido o equilíbrio de tensões, que se distribuirão por todo o cabo.

A tensão no Estado Limite Último, ou **tensão última de protensão** ( $f_{ps}$ ), depende, portanto, do alongamento total do cabo, que, por sua vez, é função da soma de todas as curvaturas das seções ao longo da peça. Entretanto, estas curvaturas dependem não somente da rigidez e estado de fissuração da seção de concreto como também da própria tensão na armadura de protensão não aderente. Por este motivo, o valor de  $f_{ps}$  é usualmente obtido por métodos empíricos. Conservadoramente, costuma-se, também, considerar no Estado Limite Último a **tensão efetiva inicial de protensão** ( $f_{pe}$ ), desprezando-se o acréscimo de tensão que ocorre na armadura em decorrência das deformações resultantes do carregamento.

### 1.3 Motivação e Objetivos da Dissertação

O projeto de estruturas com protensão não aderente é dificultado pela ausência de compatibilidade de deformações entre aço e concreto. Para que seja satisfeita a condição de segurança à ruptura no Estado Limite Último, é necessário que os esforços resultantes do concreto e das armaduras, tanto cabos não aderentes como barras passivas aderentes, equilibrem os esforços externos atuantes. Desta maneira, para realização de um projeto que garanta a segurança e que seja econômico, é fundamental a determinação precisa das tensões atuantes nas armaduras de protensão.

O valor da tensão última de protensão depende tanto do acréscimo de deformações provocado pelo carregamento, como da tensão pré-existente nas armaduras. Entretanto, a tensão pré-existente após as perdas de protensão, ou ***tensão efetiva*** ( $f_{pe}$ ), depende, além das características dos materiais e da estrutura, da própria história de carregamento e do ambiente no qual o elemento estrutural está inserido. Já a parcela de incremento de tensão sofrida pela armadura ( $\Delta f_{ps}$ ), a partir da tensão efetiva ( $f_{pe}$ ) até que seja atingida a tensão última ( $f_{ps}$ ), é considerada função de inúmeros parâmetros, tais como o tipo de carregamento, a esbeltez do elemento e a taxa de armadura.

O objetivo desta dissertação é quantificar a influência que vários destes parâmetros exercem sobre o incremento de tensão na armadura de protensão não aderente, desde a sua tensão efetiva, até que seja atingido o Estado Limite Último. Apesar de existirem na literatura inúmeros trabalhos sobre a protensão não aderente, ainda não é de completo entendimento o comportamento destas estruturas ante a variação destes parâmetros. Alguns autores, inclusive, recomendam critérios divergentes daqueles apresentados pelas normas de projeto. Este trabalho, portanto, procura contribuir para uma melhor compreensão do tema, investigando também a influência de parâmetros ainda não estudados em outros trabalhos.

### 1.4 Estratégia de Pesquisa

Tendo em vista o objetivo desta dissertação, inicialmente foram pesquisados na literatura os parâmetros considerados como influentes no comportamento de estruturas protendidas não aderentes. Em seqüência, foram identificados aqueles parâmetros tidos como de maior importância e adotada uma metodologia para o estudo dos mesmos.

Após a definição dos parâmetros, foi elaborada uma metodologia para realização de um estudo paramétrico. Para isto, foi definido como seriam combinados estes parâmetros e que valores de abrangência deveriam ser atribuídos a cada um deles.

Definiu-se também um protótipo modelo capaz de permitir, de forma simples, a ampla variação de características geométricas e de armadura, necessárias para a execução do estudo paramétrico.

Várias configurações estruturais foram adotadas, a fim de simular os diversos tipos de carregamentos e relações de esbeltez desejadas, fatores considerados de extrema influência no valor da tensão última de protensão.

Por fim, foi utilizado o modelo numérico de Barbieri (2003) para análise do protótipo modelo durante o estudo paramétrico. Trata-se de um programa destinado à análise à flexão de estruturas de pórtico utilizando o método dos elementos finitos. A formulação do elemento finito do tipo híbrido adotada no programa, mostra-se adequada ao propósito da pesquisa. Ela proporciona grande precisão na determinação das curvaturas do elemento, o que é essencial para o cálculo adequado da tensão última de protensão.

## 1.5 Organização do Trabalho

No Capítulo 2, são detalhados os principais parâmetros de influência no valor da tensão última de protensão. Apresenta-se também, uma revisão da bibliografia dos métodos atualmente disponíveis para previsão de  $f_{ps}$ .

No Capítulo 3, apresenta-se a metodologia adotada para o estudo paramétrico. São definidos e caracterizados os parâmetros em estudo, e indicado como foram arbitrados seus intervalos de variação. Detalham-se as configurações estruturais adotadas e as propriedades mais relevantes do modelo numérico, pertinentes à pesquisa. Por fim, um organograma geral dos parâmetros envolvidos é apresentado, visando uma melhor compreensão da abrangência da pesquisa.

Os resultados obtidos no trabalho são relatados no Capítulo 4. Resultados dos parâmetros considerados influentes no valor da tensão última de protensão são expostos e mais detalhadamente analisados, na busca de uma explicação para os comportamentos

apresentados. É avaliada, ainda, a representatividade de cada parâmetro, no que se refere ao dimensionamento no Estado Limite Último.

O Capítulo 5 apresenta as considerações finais, sintetizando as conclusões extraídas das análises de cada parâmetro. São feitas, por fim, sugestões para a continuidade da pesquisa, abordando outros fatores relevantes a este tema, mas que não foram aqui estudados.

## 2 Previsão da Tensão Última de Protensão

Conforme já mencionado no Capítulo 1, a falta de aderência entre aço e concreto em elementos com protensão não aderente faz com que a deformação da armadura protendida não dependa, unicamente, da deformação da fibra de concreto adjacente, mas, sim, da soma de todas as deformações que ocorrem no concreto à altura do perfil da armadura ao longo do cabo. Desta forma, para que seja conhecida a tensão da armadura não aderente no Estado Limite Último, é necessária a determinação precisa de todas as curvaturas ao longo do comprimento do elemento. Estas curvaturas dependem não apenas das rigidezes das seções transversais, mas também da própria tensão no cabo de protensão. Este complexo processo torna o cálculo de uma solução analítica fechada uma tarefa praticamente inviável para a aplicação em projeto.

Deve-se compreender, inicialmente, como evoluem as deformações da armadura de protensão com o decorrer do carregamento. A figura 2.1 apresenta um croqui das deformações em uma seção transversal submetida inicialmente apenas à força de protensão, e as deformações resultantes após a aplicação do carregamento, no Estado Limite Último.

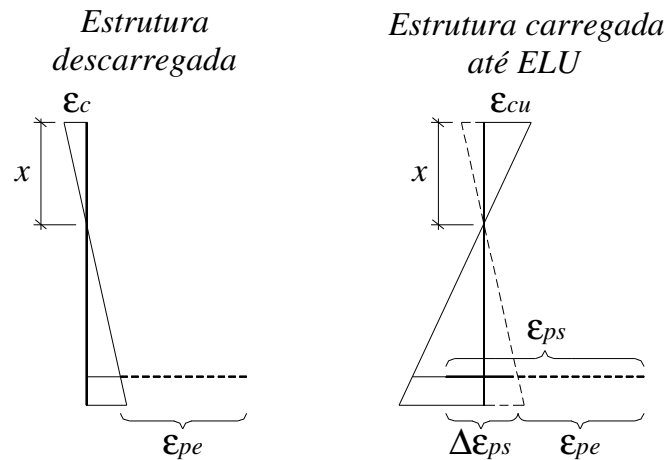


Figura 2.1 – Deformações na seção transversal devido à protensão efetiva e devido ao carregamento até o Estado Limite Último

A deformação  $\varepsilon_{pe}$  existente na armadura de protensão na estrutura descarregada corresponde à tensão efetiva de protensão  $f_{pe}$ , resultante do pré-alongamento dado à armadura no ato da protensão e das perdas de protensão. Com o decorrer da aplicação do carregamento externo, as deformações devidas ao esforço de flexão evoluem no sentido da descompressão da borda de concreto pré-comprimida, até que seja alcançada a ruptura da seção, no Estado Limite Último. A armadura de protensão sofre, portanto, desde o início do carregamento até a ruptura, um acréscimo de deformação  $\Delta\varepsilon_{ps}$ . Denomina-se **incremento de tensão da armadura não aderente** ( $\Delta f_{ps}$ ), o acréscimo de tensão na armadura de protensão, desde a tensão efetiva  $f_{pe}$  até a tensão última de protensão  $f_{ps}$ . As variáveis  $f_{ps}$ ,  $f_{pe}$  e  $\Delta f_{ps}$  são relacionadas, portanto, conforme a equação (2.1).

$$f_{ps} = f_{pe} + \Delta f_{ps} \quad (2.1)$$

onde:

$f_{ps}$ : tensão última de protensão, no Estado Limite Último

$f_{pe}$ : tensão efetiva de protensão

$\Delta f_{ps}$ : incremento de tensão na armadura não aderente

Tendo em vista a complexidade inerente à previsão do incremento de tensão das armaduras não aderentes, inúmeros métodos aproximados de cálculo foram desenvolvidos. Algumas destas formulações são descritas ao longo deste capítulo. Antes, porém, discutem-se os principais parâmetros considerados como determinantes do comportamento das estruturas com protensão não aderente.

## 2.1 Fatores Influentes na Tensão Última de Protensão

São considerados como principais fatores influentes no valor da tensão última de protensão, o índice de protensão parcial, a taxa mecânica total de armadura, o tipo de carregamento, a esbeltez à flexão e a continuidade da estrutura. Estes parâmetros são apresentados a seguir.

### 2.1.1 Índice de Protensão Parcial (*PPR*)

O *índice de protensão parcial* (*PPR*) é definido, conforme equação (2.2), pela razão entre a resultante de tração da armadura protendida e a resultante de tração da armadura total, no Estado Limite Último. Este índice é um indicativo do grau de protensão da estrutura, tendo o valor unitário para elementos somente com armaduras ativas (protensão total) e zero para elementos somente com armaduras passivas.

$$PPR = \frac{A_{ps}f_{ps}}{A_{ps}f_{ps} + A_s f_y} \quad (2.2)$$

onde:

*PPR*: índice de protensão parcial

$A_{ps}$ : área da armadura de protensão

$f_{ps}$ : tensão última de protensão

$A_s$ : área da armadura passiva

$f_y$ : tensão de escoamento da armadura passiva

Em vista do não conhecimento prévio da tensão última de protensão, o índice de protensão parcial pode ser referido ainda à tensão efetiva de protensão ( $f_{pe}$ ), sendo denominado *PPRe*, e definido pela equação (2.3).

$$PPRe = \frac{A_{ps}f_{pe}}{A_{ps}f_{pe} + A_s f_y} \quad (2.3)$$

Elementos com protensão total se comportam de forma distinta daqueles com armaduras passivas complementares. Eles tendem a desenvolver, com a aplicação progressiva do carregamento, uma fissura principal na seção em que as tensões resistentes de tração do concreto são ultrapassadas. Iniciada a primeira fissura, o elemento passa a se comportar não como um elemento submetido à flexão, mas como um arco abatido atirantado em suas extremidades, e a fissura principal torna-se cada vez mais profunda (Mattock et al. 1971). Mojtahedi e Gamble (1978) desenvolveram um modelo de bielas atirantadas como representação de elementos protendidos não aderentes após a fissuração, para estudo da

influência da esbeltez à flexão. A figura 2.2 ilustra este modelo, que serve como exemplo do comportamento pós-fissuração de elementos com protensão total.

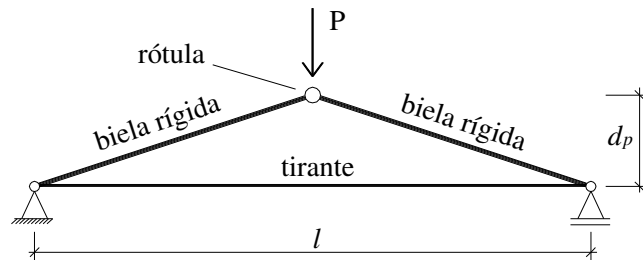


Figura 2.2 – Modelo de Mojthaedi e Gamble para representar o comportamento de elementos com protensão total

Cooke et al. (1981) realizaram um estudo experimental em nove protótipos de laje com protensão não aderente total. As lajes foram submetidas a cargas concentradas nos terços médios de vão, e foram divididas em três grupos, conforme os índices de esbeltez (relação  $l/d_p$ , onde  $d_p$  é a altura útil da armadura de protensão) característicos (20, 30 e 40). Dentro de cada grupo, cada um dos três protótipos caracterizaram-se por possuir taxas de armadura baixa, média e alta. A figura 2.3 retrata as curvas **carga x deslocamento central do vão** resultantes do ensaio do grupo de protótipos com  $l/d_p = 40$ .

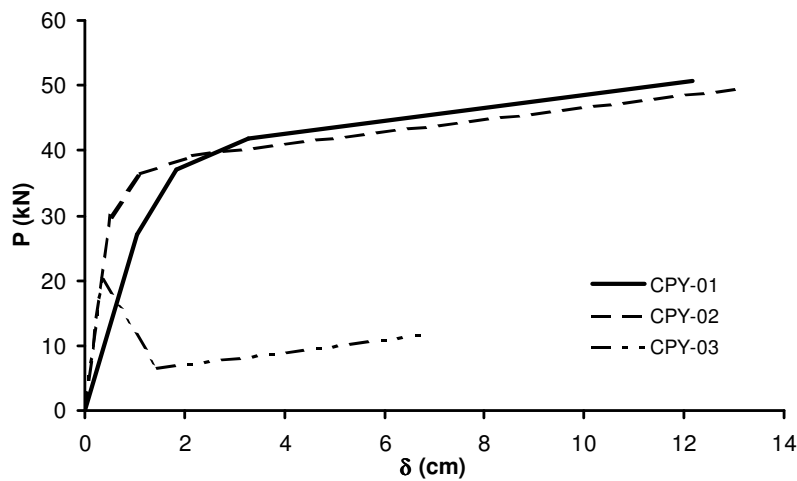


Figura 2.3 – Curvas **carga x deslocamento central** de protótipos ensaiados por Cooke et al. (1981)

Os protótipos CPY-01, CPY-02 e CPY-03 têm taxas de armadura alta, média e baixa, respectivamente. Cooke et al. (1981) destacaram que nos protótipos com as taxas de armadura mais elevadas, fissuras ocorreram em maior número e com aberturas menores, até a ruptura. Observa-se que no protótipo CPY-03, com reduzida taxa de armadura, quando ocorre a formação da primeira fissura, no pico de carga, há uma queda brusca de resistência, não mais recuperada com o desenvolvimento dos deslocamentos. Este fenômeno denomina-se **instabilidade à flexão**, e ocorre em elementos com armadura deficitária, onde o momento fletor resistente da seção bruta de concreto é maior que o da seção após a fissuração (Cooke et al., 1981).

Rozvany e Woods (1969) desenvolveram analiticamente em seu trabalho equações para previsão da queda de momento fletor resistente após a fissuração, para elementos com protensão total sujeitos a instabilidade à flexão. Suas equações foram deduzidas a partir do equilíbrio de esforços em uma seção de altura reduzida devido à presença da fissura, calculando o momento fletor resistente, em função da profundidade  $c$  da fissura. Neste caso, a tensão no topo da fissura é igual à tensão resistente de tração do concreto  $f_{ct}$ , resultando na equação (2.4).

$$f_{ct} = \frac{-P}{b(h-c)} + \frac{-P(e_p + 0,5c)}{b(h-c)^2} + \frac{M_r}{b(h-c)^2} \quad (2.4)$$

onde:

- $f_{ct}$ : tensão resistente do concreto à tração
- $b$ : largura da seção transversal
- $h$ : altura da seção transversal
- $c$ : profundidade da fissura
- $P$ : força de protensão
- $e_p$ : excentricidade da força de protensão
- $M_r$ : momento fletor resistente da seção fissurada

Isolando-se  $M_r$ , e fazendo  $\partial M_r / \partial c = 0$ , encontra-se a profundidade da fissura na qual o momento resistente novamente começa a aumentar, exemplificado pelo valor mínimo da carga no protótipo CPY-03, na figura 2.3. Conseqüentemente, pode ser calculada a queda no momento resistente após a fissuração.

Rozvany e Woods (1969) deduziram também que quando a tensão média de protensão  $P/bh$  for superior à tensão  $f_{ct}$ , o fenômeno de instabilidade à flexão não ocorre, pois, neste caso, a condição do momento fletor  $M_r$  ser crescente com relação à profundidade da fissura ( $\partial M_r / \partial c \geq 0$ ), para  $c = 0$ , é satisfeita. Cooke et al. (1981) retratam, porém, que seus três protótipos com taxas médias de armadura possuíam uma tensão média de protensão variando entre 0,75 e  $0,80f_{ct}$ , e nenhum deles sofreu instabilidade à flexão.

Chakrabarti (1995) ensaiou experimentalmente inúmeros protótipos com protensão total e parcial, propondo uma redução de 35 % no valor da tensão estimada com o uso de suas equações para previsão de  $\Delta f_{ps}$ , em elementos com  $PPR = 1$  e  $l/d_p > 33$ .

Inúmeros autores de experimentos destacam que a adição de mínimas quantidades de armadura passiva complementar melhora de forma substancial o comportamento à flexão de elementos com armadura não aderente, resultando em boa distribuição da fissuração (Mattock et al., 1971; Cooke et al., 1981; Tao e Du, 1985; Chakrabarti, 1995). Chakrabarti (1995) observou que, entretanto, com a adição de maiores quantidades de armadura, os valores de  $\Delta f_{ps}$  resultantes diminuíram, sofrendo neste caso influência de outro fator – a taxa de armadura, analisada no item 2.1.2. Embora Tao e Du (1985) sugiram que a influência de  $PPR$  no valor de  $\Delta f_{ps}$  de elementos com protensão parcial possa ser desprezada, Chakrabarti (1995) recomenda protótipos com valores entre 0,25 e 0,7 para que sejam atingidas as maiores tensões últimas de protensão.

### 2.1.2 Taxa Mecânica Total de Armadura

A taxa mecânica total de armadura, dada pela equação (2.5), é definida como a soma das razões entre as resultantes de tração das armaduras e resultantes de compressão da seção útil de concreto.

$$\Omega_t = \frac{A_{ps}f_{ps}}{bd_p f_c} + \frac{A_s f_y}{bd_s f_c} \quad (2.5)$$

onde:

- $\omega$ : taxa mecânica total de armadura
- $b$ : largura da seção transversal
- $d_p$ : altura útil da armadura de protensão
- $d_s$ : altura útil da armadura passiva
- $f_c$ : resistência à compressão do concreto

Também pelo não conhecimento prévio da tensão última de protensão ( $f_{ps}$ ), a taxa mecânica total de armadura pode ser referida ainda à tensão efetiva da armadura de protensão ( $f_{pe}$ ), sendo denominada  $\omega_e$ , e definida pela equação (2.6).

$$\Omega_e = \frac{A_{ps}f_{pe}}{bd_p f_c} + \frac{A_s f_y}{bd_s f_c} \quad (2.6)$$

O parâmetro  $\omega_e$  é de extrema influência no valor da tensão última de protensão. Tao e Du (1985) citaram em seu trabalho, que “o índice  $\omega_e$  reflete a profundidade da linha neutra, da qual o incremento de tensão  $\Delta f_{ps}$  depende fortemente. Assim, quando a linha neutra se move em direção à borda extremamente comprimida, a capacidade de rotação das vigas e o valor de  $\Delta f_{ps}$  crescem.”. Os autores apontam, como exemplo, que um aumento das áreas de armadura  $A_{ps}$  e  $A_s$  podem induzir à diminuição do valor de  $\Delta f_{ps}$ , já que elas provocam aumento de  $\omega_e$ .

Na figura 2.4 são apresentadas curvas **carga x deslocamento central** de algumas vigas com distintos valores de  $\omega_e$ , ensaiadas por Tao e Du (1985). É possível observar a maior dutilidade das vigas com taxas de armadura menores, estas desenvolvendo, até a ruptura, deslocamentos bem maiores. Fenômenos de instabilidade à flexão e ruptura brusca por compressão no concreto também podem ser relacionados à taxa mecânica total de armadura. Na figura 2.3 apresentada no item 2.1.1, o protótipo CPY-03 de Cooke et al. (1981), com taxa  $\omega_e = 0,033$ , sofreu instabilidade à flexão devido à armadura deficitária.

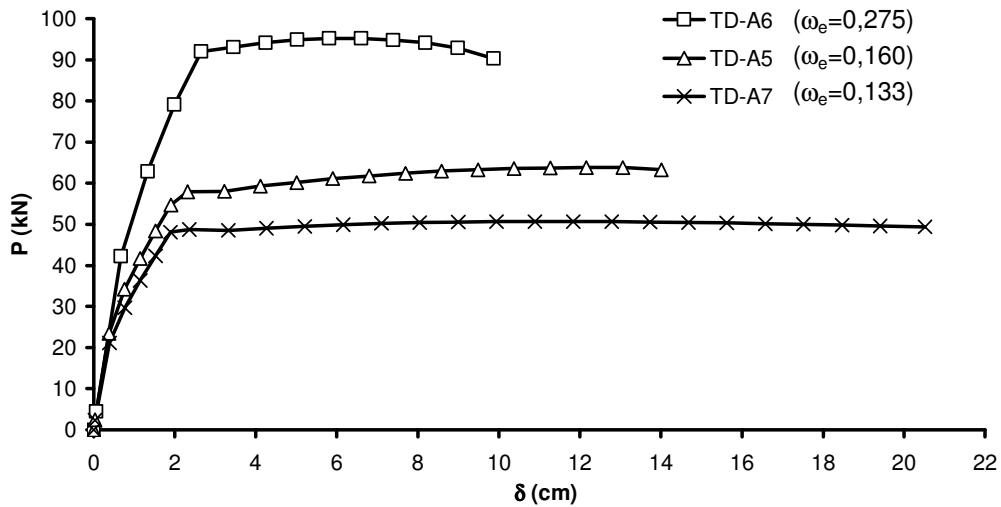


Figura 2.4 – Curvas **carga x deslocamento central** de protótipos ensaiados por Tao e Du (1985)

Tao e Du (1985) estabeleceram um correlação linear entre o valor experimental de  $\Delta f_{ps}$  e  $\omega_e$ . A figura 2.5 apresenta o gráfico de dispersão dos pontos  $(q_o, \Delta f_{ps})$  resultantes dos ensaios, onde  $q_o$ , parâmetro similar à taxa mecânica total de armadura ( $\omega_e$ ), é definido pela equação (2.7). Os protótipos tinham índice de esbeltez à flexão igual a 19,1 e tensões efetivas próximas da média de  $92,6 \text{ kN/cm}^2$ .

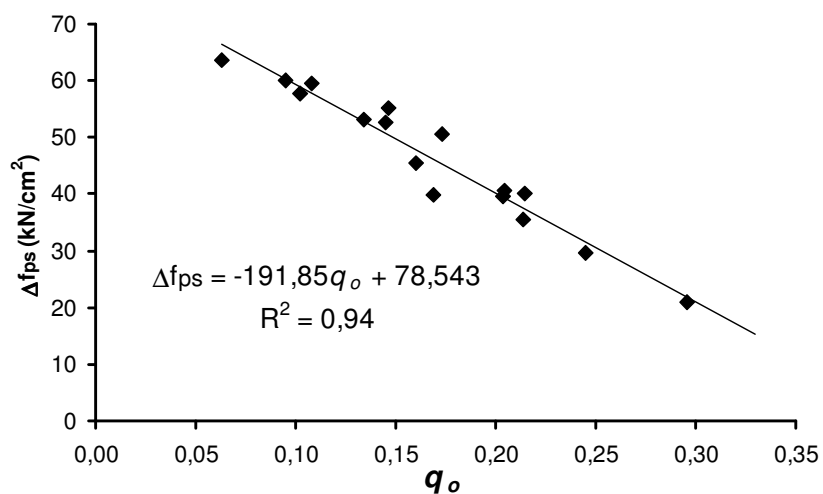


Figura 2.5 – Relação linear entre os valores de  $\Delta f_{ps}$  e  $q_o$  (Tao e Du, 1985)

$$q_o = \frac{A_{ps}f_{pe}}{bd_p f_c} + \frac{A_s f_y}{bd_p f_c} \quad (2.7)$$

Conforme já citado em 2.1.1, Chakrabarti (1995) já observara em seus ensaios que o valor de  $\Delta f_{ps}$  era, em elementos com *PPR* menores do que 1, tanto menor quanto maior o valor de  $\omega_e$ . A figura 2.6 apresenta, comparativamente, os resultados de incremento de tensão dos elementos ensaiados por Tao e Du (1985) e Chakrabarti (1995), com taxas de armadura semelhantes entre eles. Os índices de esbeltez à flexão de todos os protótipos são similares, com valor de aproximadamente 20. São indicados os valores de taxa de armadura e tensão efetiva correspondentes a cada protótipo. Pode ser observada a queda no valor de  $\Delta f_{ps}$  para taxas maiores de armadura.

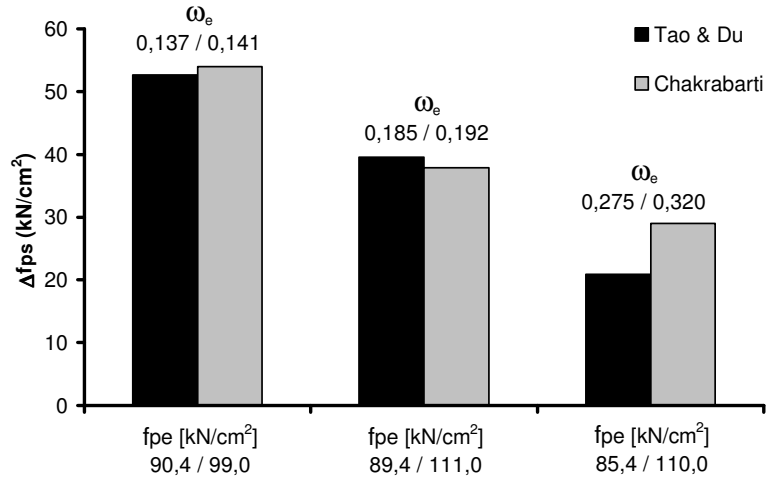


Figura 2.6 – Comparaçāo entre resultados experimentais de  $\Delta f_{ps}$  de Tao e Du (1985) e Chakrabarti (1995), para protótipos com  $\omega_e$  similares

Tao e Du (1985) observaram, ainda, que o valor do incremento de tensão aumenta em função do aumento da resistência à compressão do concreto,  $f_c$ , já que ela provoca uma diminuição de  $\omega_e$ . Chakrabarti (1995) fez constatação semelhante para vigas retangulares.

Poucos experimentos permitiram conclusões a respeito da influência da tensão efetiva  $f_{pe}$  no valor final de  $\Delta f_{ps}$ , pois a maioria era realizada com valores de  $f_{pe}$  praticamente constantes para todos os protótipos. Chakrabarti (1995), entretanto, procurou estudar mais especificamente este parâmetro. Para isso, ele variou  $f_{pe}$  em um grupo de protótipos, desde 40 até 70 % da tensão de ruptura  $f_{pu}$  da armadura de protensão. Chakrabarti (1995) destaca que, conforme a tensão efetiva foi aumentada, o valor de  $\Delta f_{ps}$  foi diminuído.

Resultados deste tipo são apresentados na figura 2.7. Os quatro protótipos têm índice  $l/d_p$  próximos de 20, carregamento nos terços médios, com taxas de armadura  $\omega_e$  e índices  $PPR_e$  próximos das médias 0,120 e 0,44, respectivamente.

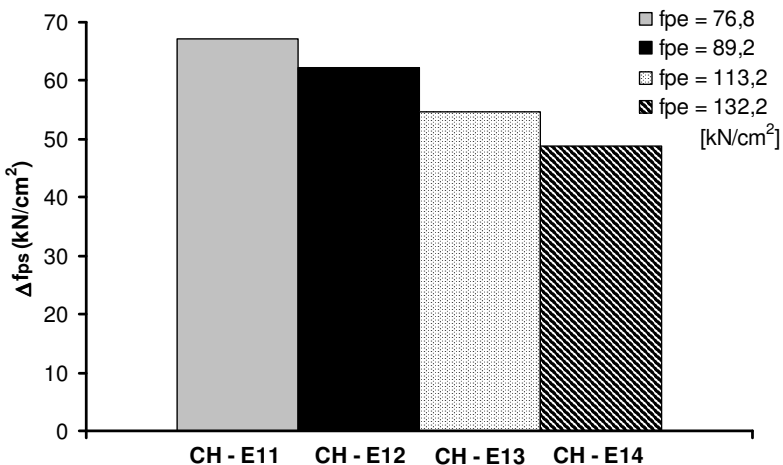


Figura 2.7 – Resultados de  $\Delta f_{ps}$  de protótipos de Chakrabarti (1995)  
com distintas tensões efetivas

### 2.1.3 Tipo de Carregamento

Considerando que o incremento de tensão na armadura não aderente é proporcional à soma de curvaturas ao longo do elemento, pode-se admitir que as zonas plastificadas, constituídas pelas seções de máximas curvaturas, exercem maior influência no valor de  $\Delta f_{ps}$ . Admitindo-se que diferentes disposições de carregamento teoricamente afetam o comprimento da zona plastificada, pode-se afirmar, portanto, que o tipo de carregamento aplicado influencia no valor de  $\Delta f_{ps}$ .

Na figura 2.8(a), são ilustradas as curvaturas de um elemento bi-apoiado, no Estado Limite Último, submetido a duas cargas concentradas afastadas de uma distância  $L_o$ . Considerando apenas esforços de flexão, observa-se que as máximas curvaturas situam-se entre as cargas, onde as seções submetidas ao momento fletor constante máximo, atingiram a plastificação. O comprimento da zona plastificada  $l_p$  é, portanto, equivalente à  $L_o$ . Entretanto, vários autores destacam que a influência das fissuras inclinadas devidas ao esforço cortante, nas zonas adjacentes às cargas, provoca um aumento no comprimento da zona plastificada (Corley, 1966; Dilger, 1966; Mattock et al., 1971; Park e Paulay, 1975; Leonhardt, 1979; Harajli, 1990). Isto ocorre porque o esforço de tração na armadura passiva – responsável pela distribuição das fissuras – não diminui a partir do ponto em que os momentos fletores diminuem, mas sim, a partir do ponto onde ocorre a primeira fissura inclinada principal, externa à zona de momentos fletores constantes. Esta fissura tende, com o aumento do carregamento, a invadir a zona de momentos constantes, fazendo com que o esforço nesta seção seja governado pelo momento fletor da zona plastificada (Harajli e Hijazi, 1991). A figura 2.8(b) representa a distribuição das curvaturas devido à influência do esforço cortante, com comprimento  $l_p$  da zona plastificada de  $L_o + 2a$ . Alguns autores (Dilger, 1966; Mattock, 1967) sugerem que o valor de  $a$  é aproximadamente igual a  $0,5d_p$ .

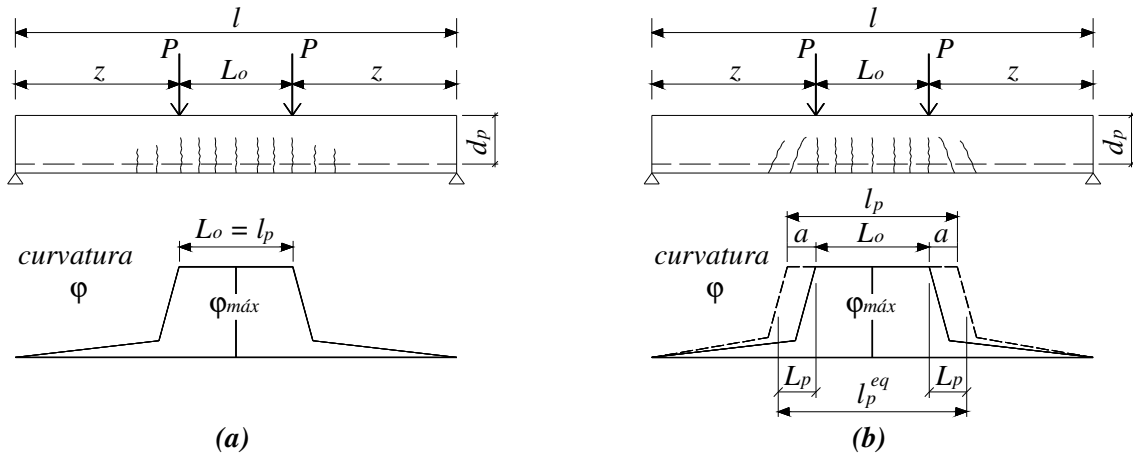


Figura 2.8 – Representação das curvaturas de elemento bi-apoiado carregado por duas cargas concentradas: a) devido à flexão somente; b) devido à flexão combinada com esforço cortante

Diversos pesquisadores sugeriram expressões empíricas para a determinação do comprimento da zona plastificada, utilizando o conceito de *comprimento de plastificação equivalente* ( $l_p^{eq}$ ),

dado por  $L_o + 2L_p$ , conforme figura 2.8(b). Algumas das expressões propostas para o cálculo de  $L_p$  e  $L_o$  são apresentadas a seguir.

A equação (2.8) foi proposta por Corley (1966), a partir de resultados experimentais de vigas simplesmente apoiadas, para cálculo de  $L_p$ .

$$L_p = 0,5d_p + 0,2\sqrt{d_p} \left( \frac{z}{d_p} \right) \quad (2.8)$$

onde:

$z$ : distância do ponto de aplicação da carga até o apoio extremo, conforme figura 2.8

Em discussão do trabalho de Corley (1966), Mattock (1967) sugeriu a equação (2.9) modificada para  $L_p$ , ajustada conforme a tendência de resultados experimentais.

$$L_p = 0,5d_p + 0,05z \quad (2.9)$$

Harajli e Hijazi (1991) adotaram a expressão de Mattock (1967) para o valor de  $L_p$ . Para o valor de  $L_o$ , eles sugerem os valores da equação (2.10), conforme o tipo de carregamento. O valor  $f = 6$  da equação (2.10) foi, segundo os autores, baseada em extensiva análise de regressão para determinar o melhor ajuste de  $L_o$  para carregamento distribuído, em correlação com um carregamento composto por duas cargas concentradas dispostas simetricamente.

$$L_o = \frac{l}{f} \quad (2.10)$$

onde:

- $l$ : comprimento do vão
- $f = 3$ ; para carregamento nos terços médios
- $f = 6$ ; para carregamento distribuído
- $f = \infty$ ; para carregamento concentrado

Dilger (1966) destacou que o comprimento de plastificação é, além do tipo de carregamento, fortemente influenciado pelo tipo de aço utilizado – de dureza natural (aço CA-50) ou deformados a frio (aço CA-60) – e pela taxa de armadura do elemento. Mediante minuciosa pesquisa, Dilger (1966) sugere para  $L_p$ , no caso de estribos verticais, o valor aproximado de  $0,5d_p$  – este comprovado experimentalmente apenas para aços deformados a frio. Já para estribos inclinados à  $45^\circ$ , foi sugerido  $0,125d_p$  para o valor de  $L_p$ . Dilger também indica para valores de  $L_o$ , conforme o tipo de carregamento, a equação (2.11). Esta refere-se à elementos com taxa de armadura  $\rho = A_s/bh = 1,5\%$ , concreto com resistência à compressão  $f_c = 30 \text{ MPa}$  e aço de dureza normal.

$$L_o = \frac{l}{f} \quad (2.11)$$

onde:

- $f = 3$ ; para carregamento nos terços médios
- $f \approx 11$ ; para carregamento distribuído
- $f \approx 80$ ; para carregamento concentrado

Park e Paulay (1975), em sua revisão dos métodos empíricos para determinação de  $L_p$ , apresentam ainda as equações (2.12) e (2.13), de Baker (1956) e Sawyer (1964), respectivamente.

$$L_p = k_1 k_2 k_3 \left( \frac{z}{d_p} \right)^{\frac{1}{4}} d_p \quad (2.12)$$

onde:

- $k_1 = 0,7$  e  $0,9$ ; para aços de dureza natural e deformados a frio, respectivamente
- $k_2 = 1 + 0,5P_u/P_o$ ;  $P_u$  = força atuante de compressão e  $P_o$  = esforço resistente de compressão sem consideração de momento fletor
- $k_3 = 0,6$  a  $0,9$ ; variando linearmente para  $f_c = 35,2$  a  $11,7 \text{ MPa}$

$$L_p = 0,25d_p + 0,075z \quad (2.13)$$

Harajli (1990) e Harajli e Hijazi (1991) analisaram numericamente diversos protótipos com carregamento aplicado nos terços médios, distribuído e concentrado. Eles simularam o comprimento  $l_p$  em seu modelo analítico através de um afastamento adicional  $a = d_p/2$  entre as cargas, e adotando os valores de  $L_o$  conforme a equação (2.10). Na figura 2.9 são ilustrados os resultados desta análise, ficando claro a influência do tipo de carregamento no valor do incremento de tensão da armadura não aderente.

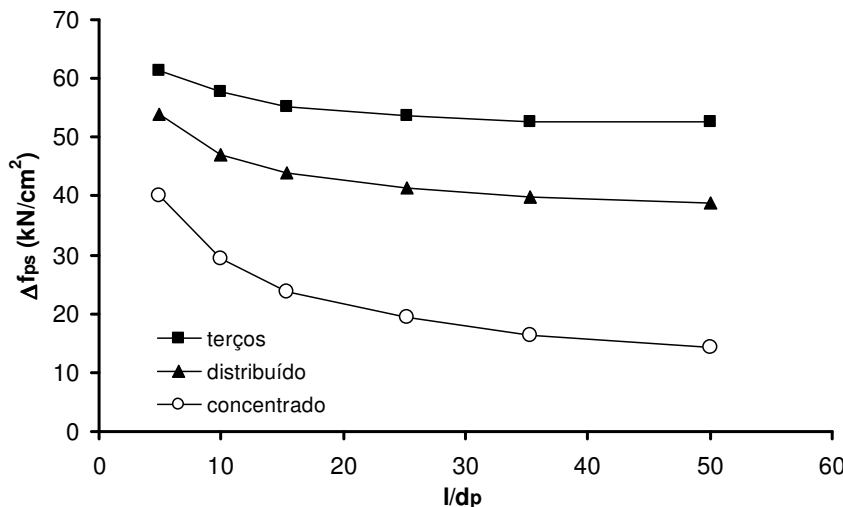


Figura 2.9 – Resultados da análise numérica de protótipos com distintos tipos de carregamento (Harajli, 1990; Harajli e Hijazi, 1991)

Entretanto, Harajli e Kanj (1991) ensaiaram experimentalmente 13 pares de vigas protótipos, a fim de estudar a influência de diversos parâmetros em seu comportamento. Cada par era constituído de vigas idênticas submetidos a carregamentos distintos – concentrado e nos terços médios. Os resultados não apontaram, em cada um deles, diferenças significativas nos resultados de incremento de tensão (Harajli e Kanj, 1991). Os protótipos com protensão parcial tiveram adequado comportamento à fissuração, com boa distribuição das fissuras, enquanto os com protensão total apresentaram uma ou, ocasionalmente, duas fissuras principais até a ruptura, tanto para carregamento concentrado quanto para distribuído. A

figura 2.10 apresenta os resultados de incremento de tensão  $\Delta f_{ps}$  para cada par de vigas ensaiadas. Resultados de dois pares não foram computados devido a problemas de instrumentação. As tensões efetivas utilizadas foram todas próximas da média de 90,2 kN/cm<sup>2</sup>. Observa-se a proximidade nos valores de  $\Delta f_{ps}$  entre os protótipos de cada par de colunas.

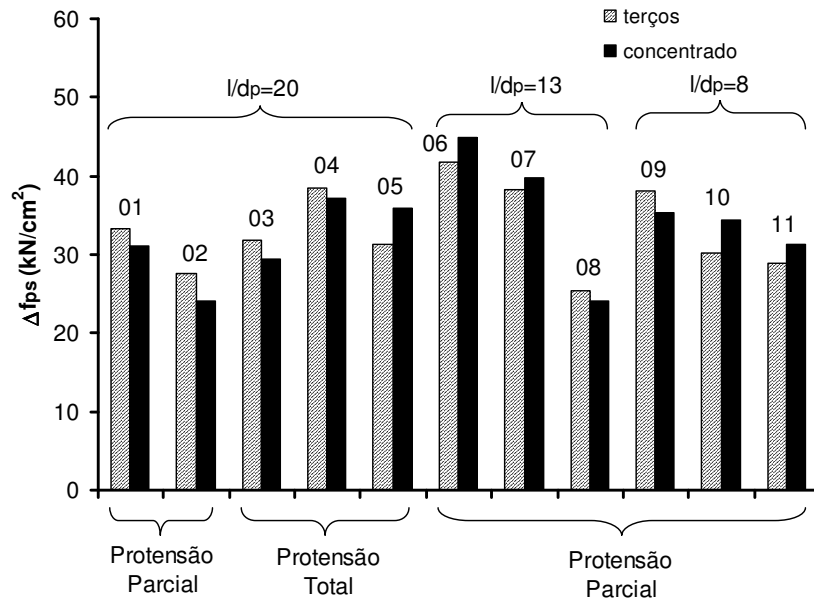


Figura 2.10 – Resultados da análise experimental de protótipos com distintos tipos de carregamento (Harajli e Kanj, 1991)

#### 2.1.4 Índice de Esbeltez à Flexão ( $l/d_p$ )

Harajli e Kanj (1991) observaram que seus resultados experimentais indicaram uma queda de 35 % no valor do incremento de tensão, variando-se o valor do índice de esbeltez  $l/d_p$  de 8 para 20. Na figura 2.10, as colunas 01 e 06 representam protótipos com armaduras idênticas, bem como as colunas 02 e 07. O efeito da esbeltez à flexão pode ser notado, comparando-se os protótipos representados pela coluna 01 com os da coluna 06, e os protótipos representados pela coluna 02 com os da coluna 07. Cooke et al. (1981) também destacaram que os resultados de tensão última de protensão de suas lajes, com  $l/d_p$  variando de 20 à 40, foram, em geral, inversamente proporcionais ao índice de esbeltez.

Mojtahedi e Gamble (1978) apresentaram uma análise do parâmetro  $l/d_p$  a partir de resultados de diversos ensaios experimentais realizados por outros pesquisadores. Para enfatizar o efeito deste parâmetro, Mojtaedi e Gamble (1978) propuseram um modelo de bielas atirantadas, ilustrado na figura 2.11(a). Os autores calcularam a deformação no tirante, para várias relações de  $l/d_p$ , ocasionada por um deslocamento  $l/200$  imposto na rótula superior. Como exemplo, Mojtaedi e Gamble (1978) obtiveram para índices de esbeltez iguais a 15, 30 e 50, valores de deformação do tirante de aproximadamente 0,013, 0,006 e 0,004 respectivamente, para o deslocamento imposto na rótula. Portanto, o alongamento no tirante – sendo traduzido como a tensão no cabo – decresceu com o aumento do índice de esbeltez.

Lee et al. (1999) contestam as conclusões baseadas no modelo de Mojtaedi e Gamble (1978). Eles afirmam que os valores de deformação foram extraídos não na carga resistente última, mas quando a máxima deflexão dos modelos era de  $l/200$ , apontando que não há razão para isto, já que o deslocamento do elemento na ruptura é diretamente proporcional ao seu índice de esbeltez. Lee et al. (1999) propuseram um modelo modificado, ligando a rótula superior ao centro do tirante por uma barra rígida, conforme apresentado na figura 2.11(b). Os resultados de seu modelo divergiram dos de Mojthaedi e Gamble (1978), indicando que, mesmo para valores altos de  $l/d_p$ , a tensão no cabo pode aumentar de forma considerável. Lee et al. (1999) também afirmam que muitos dos resultados experimentais apresentados por Mojthaedi e Gamble (1978) não podem ser considerados válidos, pois, nestes experimentos, a ruptura ocorreu de forma prematura – por colapso à punção, ruptura da seção onde não havia armadura passiva, etc. – não atingindo a plena capacidade resistente à flexão e, tampouco portanto, o valor máximo de  $\Delta f_{ps}$ .

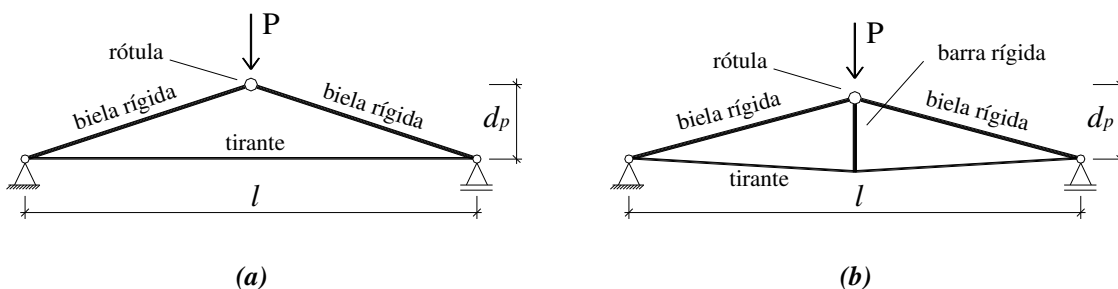


Figura 2.11 – Modelos de bielas atirantadas para representação do efeito de  $l/d_p$ : a) Mojthaedi e Gamble (1978) ; b) Lee et al. (1999)

Mediante a observação da figura 2.9 anteriormente apresentada, pode-se perceber o efeito de  $l/d_p$  também nos protótipos de Harajli (1990) e Harajli e Hijazi (1991), analisados numericamente. Os protótipos submetidos a carregamento concentrado mostram-se mais suscetíveis à variação da esbeltez à flexão. Entretanto, os próprios autores ressaltam que, para índices de esbeltez superiores a 15, a queda no valor do incremento de tensão, com o aumento de  $l/d_p$ , é insignificante para qualquer tipo de carregamento aplicado. Harajli (1990) menciona ainda que, se a magnitude de  $\Delta f_{ps}$  depende do comprimento da zona plastificada (ou da proporção  $l_p/l$ ), a observação do modelo analítico adotado por ele – que considera para uma parcela do comprimento de plastificação o valor de  $d_p$ , que independe da extensão do vão – torna claro que menores índices de esbeltez resultarão em maiores incrementos de tensão, pois a razão  $l_p/l$  é maior nestes casos. Esta conclusão pode ser mais facilmente compreendida mediante observação da figura 2.8(b) e das equações (2.10) e (2.14).

$$\frac{l_p}{l} = \frac{L_o + 2 \frac{d_p}{2}}{l} = \frac{l/f + d_p}{l} = \frac{1}{f} + \frac{1}{l/d_p} \quad (2.14)$$

Naaman e Alkhairi (1991a) realizaram uma extensa revisão bibliográfica e mencionam que a influência de  $l/d_p$ , na tensão última de elementos com protensão não aderente, ainda não é bem compreendida. Naaman e Alkhairi (1993) elaboraram um modelo numérico que pode considerar o efeito do esforço cortante na tensão da armadura não aderente, através de uma formulação proposta por Park e Paulay (1975). Nas figuras 2.12(a) e (b) são apresentados os gráficos de **incremento de tensão x deslocamento central** de protótipos analisados numericamente por Naaman e Alkahiri (1993), com e sem a consideração do esforço cortante, respectivamente. Os protótipos foram submetidos a carregamento concentrado e os índices de esbeltez variaram de 8 a 57.

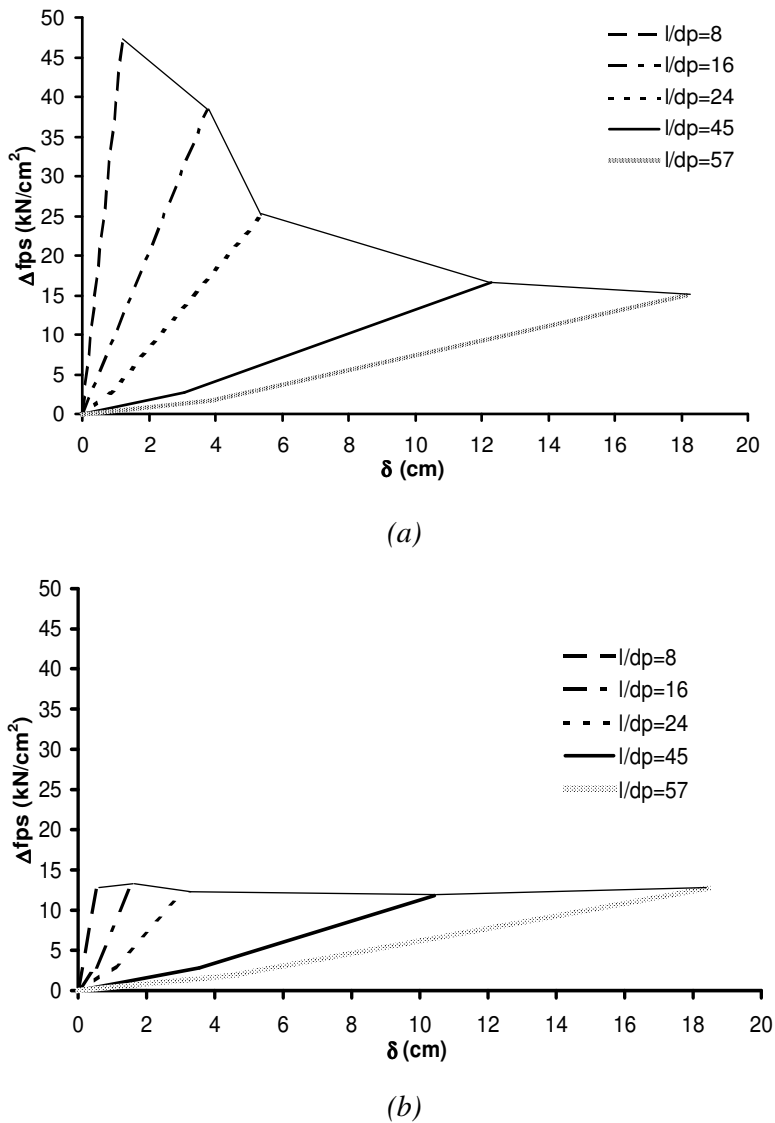


Figura 2.12 – Curvas  $\Delta f_{ps}$  x  $\delta$  dos protótipos analisados numericamente por Naaman e Alkhairi (1993): *a*) Considerando esforço cortante; *b*) Desconsiderando esforço cortante

Os autores relatam que o estudo sugere que as deformações induzidas pelo esforço cortante podem ter um efeito significativo no valor final de  $\Delta f_{ps}$ , para protótipos com  $l/d_p$  menores que 24. Negligenciando-se o efeito de corte, não há alteração significativa no valor do incremento de tensão para maiores valores de esbeltez.

Observa-se, portanto, uma diversidade de considerações de diferentes autores sobre a importância do índice de esbeltez à flexão no valor da tensão última de protensão.

### 2.1.5 Continuidade da Estrutura

Campbell et al. (1998) realizaram uma extensa revisão literária com relação à tensão última de protensão em elementos com continuidade. Eles destacaram que, enquanto muitos estudos foram conduzidos para investigar o valor de  $\Delta f_{ps}$  em elementos com protensão não aderente, apenas uma pequena parte deles foi dedicada a membros contínuos.

Burns et al. (1978) ensaiaram dois protótipos, em escala 1:2, de lajes armadas em uma direção, contínuas sobre três vãos, submetidas a carregamento distribuído. As lajes tinham índices  $l/d_p$  iguais a 53, e os parâmetros principais em estudo foram as quantidades de armaduras e o padrão de carregamento – combinações de intensidades de carga aplicadas distintamente em cada vão. Os testes foram conduzidos, portanto, utilizando-se vários padrões de carregamento, observando o comportamento das lajes em estágios lineares e não-lineares. Campbell et al. (1998), em análise deste trabalho, destacam o fato de que o incremento de tensão na ruptura, obtido com a simultaneidade de carregamento de dois vãos, é aproximadamente o dobro daquele obtido com carregamento de apenas um vão. Cooke et al. (1981) também comentam o trabalho realizado por Burns et al. (1978). Eles fizeram algumas observações sobre os três últimos padrões de carregamento que provocaram a ruptura em uma das lajes ensaiadas. A figura 2.13 ilustra os comentários de Cooke et al. (1981), apresentando seqüencialmente estes três últimos carregamentos (A, B e C, respectivamente). O diagrama de momentos fletores elástico correspondente a cada um deles foi traçado, e o mecanismo de ruptura em cada vão se deu através da formação de rótulas plásticas. Sob o carregamento A, ocorreu o mecanismo de ruptura no vão *CD*, quando duas rótulas plásticas se formaram. O mecanismo de ruptura dos vãos *AB* e *BC* se deram, respectivamente, com a aplicação dos carregamentos *B* e *C*. Mesmo desconsiderando redistribuições dos momentos fletores, seus diagramas elásticos servem como indicativo de que a forma de carregamento pode ser um parâmetro que afeta a magnitude de tensão da armadura pretendida. Por exemplo, considerando o padrão A de carregamento e o diagrama elástico de momentos fletores na ruptura: o vão central está sujeito a momentos fletores negativos e, portanto, as deformações no concreto adjacente ao cabo de protensão, que no vão é posicionado abaixo do centro de

gravidade da seção de concreto, são de compressão. Considerando que a deformação no cabo de protensão em uma seção crítica é função do alongamento total do cabo, a tensão  $\Delta f_{ps}$  medida no experimento deveria teoricamente ser maior se o mecanismo de ruptura ocorresse nos três vãos A, B e C, sob aplicação de carregamento simultâneo, ao invés de carregamento aplicado somente em um vão extremo (caso do carregamento A).

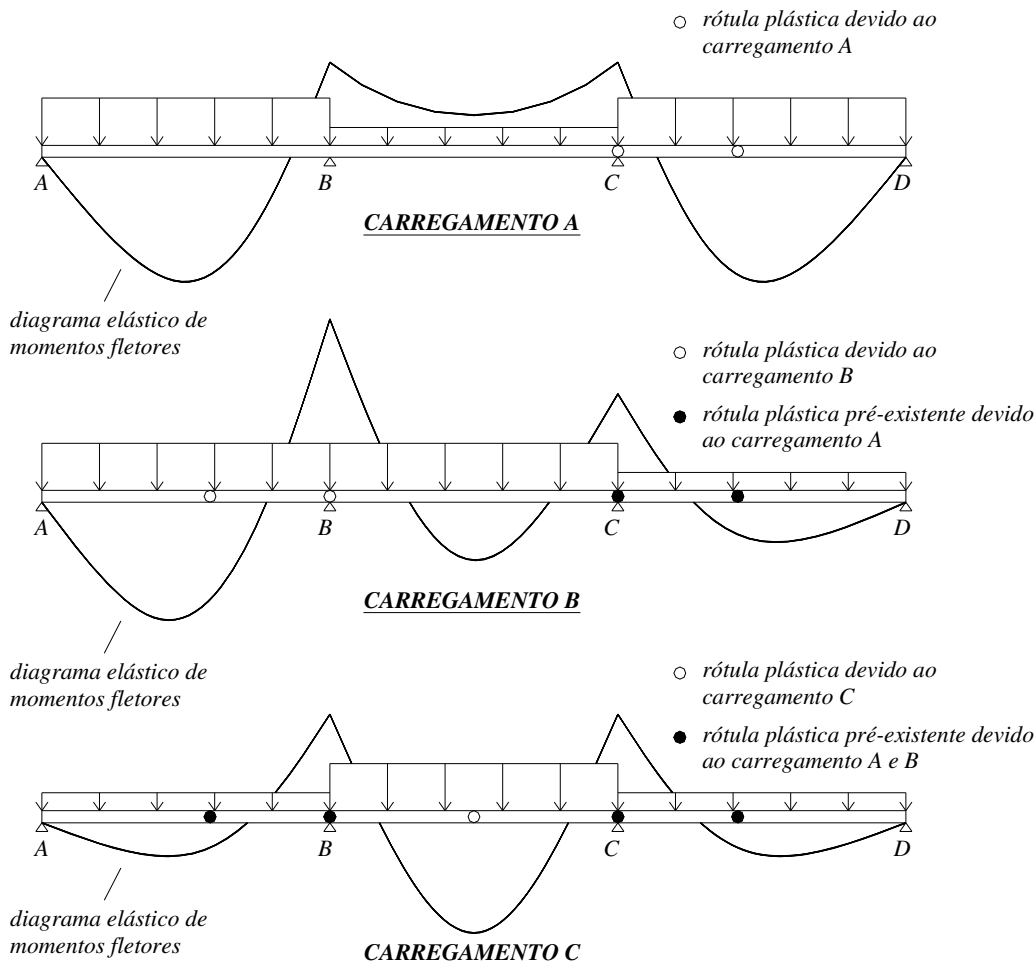


Figura 2.13 – Padrões de carregamentos que ocasionaram ruptura de um dos protótipos de Burns et al. (1978), conforme comentado por Cooke et al. (1981)

Campbell et al. (1998) ainda destacam outros trabalhos: três vigas, ensaiadas por Mattock et al. (1971), contínuas sobre dois vãos, sendo duas delas com cabos não aderentes. As vigas possuíam  $l/d_p = 33,6$ , seção T e perfil parabólico do cabo. A principal conclusão observada foi a necessidade de uma quantidade razoável de armadura de compressão sobre o apoio central,

a fim de que fosse permitida completa redistribuição de momentos fletores e, consequentemente, maior incremento de tensão na ruptura. Conclusões dos trabalhos de Hemakom (1970), Gebre-Michael (1970) e de Chen (1971), ambos tendo ensaiado lajes contínuas apoiadas em uma direção sobre dois vãos, também foram reportadas. Nos dois primeiros, observou-se que os valores de  $\Delta f_{ps}$ , para carregamento aplicado em um único vão, foram até 50 % menores do que os obtidos com carregamento simultâneo nos dois vãos. No experimento de Chen (1971), também são constatados incrementos de tensão bem maiores em carregamentos de vãos simultâneos. Em discussão mais recente, Burns (1990) argumenta que o valor de  $\Delta f_{ps}$  depende do número de vãos carregados e do perfil do cabo de protensão em cada vão. Trost et al. (1984) testaram experimentalmente quatro vigas contínuas sobre dois vãos, com seções T e retangular. Foi concluído pelos autores que  $\Delta f_{ps}$  sofreu influência principalmente da resistência à compressão do concreto e da força de protensão aplicada, e que o índice de esbeltez à flexão não afetou significativamente o valor de  $\Delta f_{ps}$ . Eles ainda observaram que a mudança na tensão do cabo era proporcional à soma das deflexões nas seções críticas (Campbell et al., 1998).

Alguns dos parâmetros, como esbeltez à flexão e taxa de armadura, identificados como influentes no valor de  $\Delta f_{ps}$  de elementos contínuos, são similares aos identificados em estudos conduzidos em estruturas estaticamente determinadas. Entretanto, outros parâmetros únicos em membros contínuos, como quantidade de armadura de compressão sobre apoios internos onde se inicia geralmente a plastificação, o padrão do carregamento e a capacidade de redistribuição de momentos fletores, também foram identificadas como tendo efeito sobre o valor do incremento de tensão na armadura não aderente.

## 2.2 Métodos Para Previsão do Incremento de Tensão

Barbieri (2003) classificou os métodos para previsão do incremento de tensão na armadura de protensão não aderente em empíricos, semi-empíricos e numéricos. Serão a seguir apresentados alguns dos métodos disponíveis na literatura, utilizando mesma classificação adotada por Barbieri (2003).

### 2.2.1 Métodos Empíricos

Consistem geralmente em equações que expressam o valor de  $\Delta f_{ps}$  diretamente em função dos valores de alguns parâmetros característicos do elemento, como as áreas de armadura, propriedades dos materiais e índice de esbeltez. São métodos fundamentados em resultados experimentais, onde foram estabelecidas correlações entre estes parâmetros, identificados como significativos, e o valor do incremento de tensão na armadura não aderente.

Serão descritos os métodos de Mattock et al. (1971), Cooke et al. (1981), Tao e Du (1985), Kordina e Hegger (1987), Harajli e Kanj (1991), Chakrabarti (1995), Naaman et al. (2002) e os métodos adotados nas normas CEB-FIP 1990 (1993), ACI 318 (ACI, 2002) e NBR 6118 (ABNT, 2003).

#### 2.2.1.1 Mattock et al. (1971)

Mattock et al. (1971) ensaiaram experimentalmente seis vigas com protensão não aderente e índice de esbeltez igual a 33,6. Eles propuseram a equação (2.15), obtida como um limite inferior dos resultados de seus ensaios e de dados experimentais de mais quatro autores. O valor de  $f_{ps}$  não deve, entretanto, ser tomado como superior à tensão de escoamento  $f_{py}$  da armadura de protensão. Observa-se que este método não considera parâmetros como a esbeltez à flexão e a quantidade de armadura passiva aderente.

$$f_{ps} = f_{pe} + 1,4 f_c \frac{bd_p}{100A_{ps}} + 7,0 \quad [kN/cm^2] \quad (2.15)$$

#### 2.2.1.2 Cooke et al. (1981)

Cooke et al. (1981) estudaram experimentalmente nove lajes com protensão total, diversas taxas de armadura e índices de esbeltez variáveis de 20 a 40. Baseados também em resultados de outros pesquisadores, eles concluíram que as recomendações da norma americana vigente na época, o ACI 318 (1977), não proviam um método satisfatório para previsão de  $\Delta f_{ps}$ , para

qualquer que fosse o índice  $l/d_p$ . Os autores propuseram, então, a adoção do método mais conservador do ACI 318 (1963), retratado pela equação (2.16), que simplesmente estabelece um patamar fixo para o valor do incremento de tensão.

$$f_{ps} = f_{pe} + 10,0 \quad [kN/cm^2] \quad (2.16)$$

#### 2.2.1.3 Tao e Du (1985)

Tao e Du (1985) realizaram experimentos com diversas vigas submetidas a carregamento nos terços médios e com índice de esbeltez à flexão de 19,1. Os parâmetros variados foram as quantidades de armadura ativa e passiva e as propriedades dos materiais. Os resultados apontaram uma relação linear entre a variável  $q_o$  (e portanto  $\omega_e$ ) e o valor de  $\Delta f_{ps}$ , conforme ilustrado anteriormente na figura 2.5. A regressão obtida pelos autores é apresentada na equação (2.17). Ela é válida somente para valores de  $q_o$  menores ou iguais a 0,3.

$$f_{ps} = f_{pe} + 78,6 - 192,0q_o \quad [kN/cm^2] \quad (2.17)$$

#### 2.2.1.4 Kordina e Hegger (1987)

O método de Kordina e Hegger (1987) foi baseado em um estudo sistemático de dados experimentais, onde foram determinados coeficientes multiplicativos para previsão de  $\Delta f_{ps}$ . Ele considera a soma das contribuições de cada rótula plástica que deve se formar, para que ocorra o mecanismo de ruptura. O tipo de carregamento, a resistência do concreto, a quantidade de armadura passiva e o tipo de seção transversal são levados em conta. A expressão para cálculo de  $f_{ps}$  é apresentada na equação (2.18).

$$f_{ps} = f_{pe} + \frac{E_p}{L} \sum_{i=1}^n k_{bi} k_{vi} k_{si} k_{fi} l_{gi} \quad (2.18)$$

onde:

$\sum_{i=1}^n k_{bi} k_{vi} k_{si} k_{fi} l_{gi}$ : somatório dos coeficientes multiplicativos, onde o índice  $i$  se

refere a cada rótula plástica que deve se formar, para que a estrutura entre em colapso  
 $L$ : comprimento do cabo entre as ancoragens

$k_{bi}$ : coeficiente dependente da resistência do concreto, dado pela equação (2.19)

$k_{vi}$ : coeficiente dependente da quantidade de armadura de protensão, dado pela equação (2.19)

$k_{si}$ : coeficiente relativo à presença de armadura passiva; sendo  $k_{si} = 1$

$k_{fi}$ : coeficiente dependente do tipo de seção transversal, dado pela equação (2.20)

$l_{gi}$ : coeficiente dependente do tipo de carregamento e diagrama de momento fletor, dado pela equação (2.21)

$$k_{bi} k_{vi} = 0,002 + 3 \cdot 10^{-6} \beta_p \frac{A_c}{A_{ps}} \leq 9,0 \cdot 10^{-3} \quad (2.19)$$

onde:

$\beta_p$ : resistência prismática à compressão do concreto [ $kN/cm^2$ ]

$A_c$ : área da seção transversal de concreto

$$k_{fi} = 0,9 + 0,1 \frac{b_f}{b_w} \leq 1,2 \quad (2.20)$$

onde:

$b_f$ : largura da mesa da seção transversal

$b_w$ : largura da alma da seção transversal

No caso de seção transversal retangular,  $b_f/b_w = 1$ .

$$l_{gi} = \left( 0,20 + 0,25 \frac{l_{bi}}{l_{oi}} \right) l_{oi} \quad (2.21)$$

onde:

$l_{oi}$ : distância entre pontos de momento fletor nulo, calculado elasticamente, entre os quais a rótula plástica considerada está compreendida

$l_{bi}$ : distância entre os pontos de aplicação de carga acrescida do dobro da distância entre a borda comprimida e o centro de gravidade da seção transversal de concreto (C.G.C), conforme a figura 2.14.

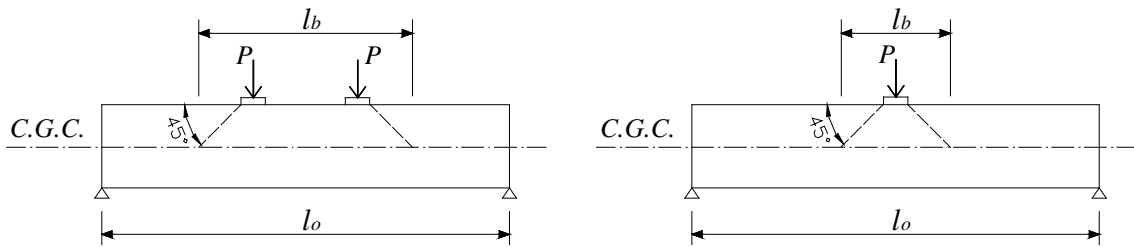


Figura 2.14 – Relação entre configuração de carregamento e o valor de  $l_b$

Para carregamento distribuído, os autores recomendam que  $l_b = 0,75 l_o$ .

#### 2.2.1.5 Harajli e Kanj (1991)

Harajli e Kanj (1991) reuniram seus resultados experimentais com os de diversos outros autores, compreendendo estudos com elementos contínuos e bi-apoiados, com protensão total e parcial. Os dados abrangiam índices  $l/d_p$  de 8 a 60. Dentre os resultados, os de Tao e Du (1985) foram descartados, pois consistiam em valores de  $\Delta f_{ps}$  excessivamente maiores que os dos demais dados reunidos. A regressão, obtida de resultados experimentais de mais de 120 protótipos, é apresentada na equação (2.22). O parâmetro  $\gamma_0$  é dado pela equação (2.23), e o valor de  $f_{ps}$  obtido no cálculo com a expressão (2.22) deve satisfazer a condição do limite estabelecido na equação (2.24).

$$f_{ps} = f_{pe} + \gamma_o f_{pu} \left( 1,0 - 3,0 \frac{A_{ps} f_{pe} + A_s f_y}{bd_p f_c} \right) \quad (2.22)$$

onde:

$f_{pu}$ : tensão de ruptura do aço de protensão

$$\gamma_o = \frac{n_o}{n} \left( 0,12 + \frac{2,5}{l/d_p} \right) \quad (2.23)$$

onde:

$n_o$ : número de vãos carregados

$n$ : número total de vãos

$$\frac{A_{ps} f_{pe} + A_s f_y}{bd_p f_c} \leq 0,23 \quad (2.24)$$

### 2.2.1.6 Chakrabarti (1995)

Chakrabarti (1995) investigou o comportamento de 33 vigas com relação aos parâmetros esbeltez à flexão, taxa de armadura, resistência do concreto, tipo de seção transversal e tensão efetiva inicial  $f_{pe}$ . Utilizando também os resultados experimentais de Harajli e Kanj (1991) e de Tao e Du (1985), desenvolveu a equação (2.25) para previsão de  $f_{ps}$ .

$$f_{ps} = \frac{f_{pe} + 6,9 + A}{1 - B} \quad [kN/cm^2] \quad (2.25)$$

onde:

A: parâmetro dado pela equação (2.26)

B: parâmetro dado pela equação (2.27)

$$A = \frac{f_c bd_s}{100 A_s} \frac{d_p}{d_s} \frac{41,4}{f_y} \left( 1 + \frac{A_s}{0,025 bd_s} \right) \leq 13,8 \quad [kN/cm^2] \quad (2.26)$$

$$B = \frac{rf_c bd_p}{100 A_{ps} f_{pe}} \leq 0,25 \quad [kN/cm^2] \quad (2.27)$$

onde:

r: parâmetro dependente da esbeltez à flexão;

$r = 1,0$  para  $l/d_p \leq 33$ ;  $r = 0,8$  para  $l/d_p > 33$

Para elementos com protensão total e  $l/d_p > 33$ , Chakrabarti (1995) preconiza a equação (2.28) para redução do valor de  $\Delta f_{ps}$  obtido com a equação (2.25).

$$f_{ps(modificado)} = f_{pe} + 0,65 \Delta f_{ps} \quad (2.28)$$

O valor de  $f_{ps}$  determinado por meio das equações (2.25) ou (2.28) não pode ultrapassar o limite estabelecido nas equações (2.29) e (2.30), para  $l/d_p \leq 33$  e  $l/d_p > 33$ , respectivamente.

$$f_{ps} = f_{pe} + 41,4 \leq f_{py} \quad [kN/cm^2] \quad (2.29)$$

$$f_{ps} = f_{pe} + 27,6 \leq f_{py} \quad [kN/cm^2] \quad (2.30)$$

### 2.2.1.7 Naaman et al. (2002)

Integrantes do Sub-comitê de estudo da tensão em cabos não aderentes do Comitê 423 da junta ACI-ASCE, Naaman et al. (2002) recomendaram uma equação para substituição das utilizadas no código ACI 318-99 (1999) vigente na época. A equação (2.31), tida pelos autores como uma aproximação conservadora adequada para lajes e inúmeros outros casos, leva em consideração para o cálculo de  $\Delta f_{ps}$  o módulo de elasticidade do aço de protensão e o padrão de carregamento em elementos contínuos. Para lajes contínuas sobre três vãos ou mais, apoiadas em uma ou duas direções, é indicada a equação (2.32) como limite para o valor de  $\Delta f_{ps}$ .

$$f_{ps} = f_{pe} + \frac{E_p}{1866} \frac{L_1}{L_2} \quad (2.31)$$

onde:

$E_p$ : módulo de elasticidade do aço de protensão

$L_1$ : soma dos comprimentos dos vãos carregados que contém cabos não aderentes

$L_2$ : extensão total do cabo não aderente, entre ancoragens

$$\Delta f_{ps} \geq \frac{E_p}{3732} \quad (2.32)$$

### 2.2.1.8 ACI 318-02 (ACI, 2002)

A equação (2.33) é utilizada pelo código do ACI 318-02 (2002) para previsão do valor de  $\Delta f_{ps}$ . Ela foi originalmente desenvolvida por Mattock et al. (1971), e posteriormente modificada, para consideração da influência da esbeltez à flexão, baseando-se nos estudos de Mojtahedi e Gamble (1978). Observa-se que os valores resultantes de incremento de tensão podem ser abruptamente modificados, para valores do parâmetro  $l/d_p$  próximos de 35. Parâmetros considerados importantes, como o tipo de carregamento e a quantidade de armadura passiva não são utilizados na previsão de  $f_{ps}$ .

$$f_{ps} = f_{pe} + 6,89 + \frac{f_c}{k} \frac{bd_p}{A_{ps}} \quad [kN/cm^2] \quad (2.33)$$

onde:

$$\begin{aligned} k &= 100; \text{ para } l/d_p \leq 35 \\ k &= 300; \text{ para } l/d_p > 35 \end{aligned}$$

O valor de  $f_{ps}$  não pode ser tomado maior que  $f_{py}$  nem aos valores estabelecidos nas equações (2.34) e (2.35), para  $l/d_p \leq 35$  e  $l/d_p > 35$ , respectivamente.

$$f_{ps} \leq f_{pe} + 41,4 \quad [kN/cm^2] \quad (2.34)$$

$$f_{ps} \leq f_{pe} + 20,7 \quad [kN/cm^2] \quad (2.35)$$

### 2.2.1.9 NBR 6118 (ABNT, 2003)

Embora utilize conceitos do código europeu *CEB-FIP Model Code*, a norma brasileira *Projeto de Estruturas de Concreto – Procedimento: NBR 6118* (2003) adota método idêntico ao do ACI 318-02 (2002).

### 2.2.1.10 CEB-FIP (1990)

O código europeu *CEB-FIP Model Code 1990* (1993) não apresenta expressões para a determinação do valor do incremento de tensão  $\Delta f_{ps}$  no Estado Limite Último. Ele apenas preconiza que, na falta de uma análise baseada na compatibilidade de deslocamentos, o valor de  $\Delta f_{ps}$  deva ser negligenciado na verificação e dimensionamento à ruptura.

## 2.2.2 Métodos Semi-Empíricos

São métodos com maior embasamento teórico, utilizando-se do equilíbrio de esforços no Estado Limite Último para cálculo da profundidade da linha neutra e deformações nos materiais. Entretanto, estes métodos ainda consideram coeficientes determinados experimentalmente para correlacionar a deformação da armadura não aderente com as deformações da seção transversal, calculadas de forma teórica.

Serão descritos os métodos de Tam e Pannell (1976), Harajli (1990), Lee et al. (1999), Naaman et al. (2002) e Naaman e Alkhairi (1991b), e o do código canadense A23.3-94 (1994).

### 2.2.2.1 Tam e Pannell (1976)

Tam e Pannell (1976) ensaiaram experimentalmente oito vigas com índices de esbeltez variando de 20 a 45, tensões efetivas de 0,4 a 0,6 $f_{pu}$  e taxas de armadura variáveis. Após a medição da tensão última de protensão, os autores instituíram, por meio de um coeficiente, uma correlação de  $f_{ps}$  com as deformações da seção transversal mais solicitada no Estado Limite Último.

Inicialmente, foram considerados as deformações e esforços de uma seção no Estado Limite Último, representados na figura 2.15. Foi admitido que a armadura passiva atinge sua tensão de escoamento  $f_y$ .

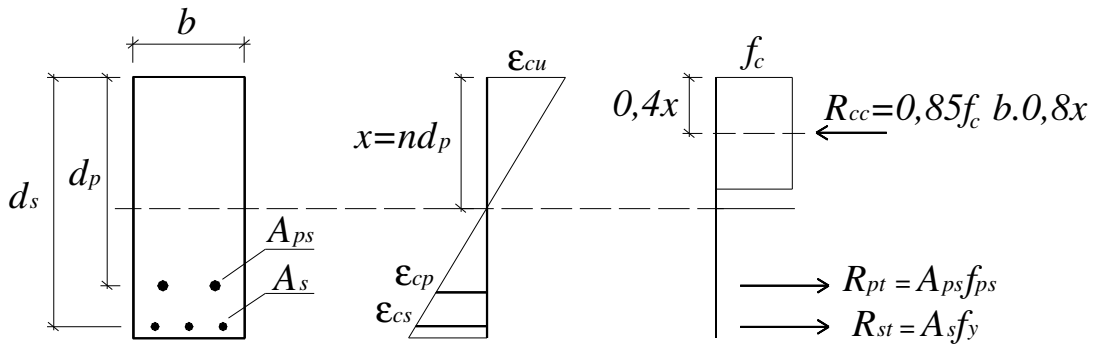


Figura 2.15 – Geometria, deformações e esforços em seção transversal submetida a Estado Limite Último de ruptura

O equilíbrio de forças na seção transversal resulta na equação (2.36).

$$n = \frac{rf_{ps}}{\alpha f_c} + \frac{r_1 f_y}{\alpha f_c} \quad (2.36)$$

onde:

$n = x/d_p$ : razão entre a profundidade da linha neutra e altura útil da armadura de protensão  $d_p$

$r = A_{ps}/(bd_p)$

$r_1 = A_s/(bd_p)$

$\alpha$ : coeficiente dado por  $(0,85) \times (0,8) = 0,68$

Tam e Pannell (1976) atribuíram para armadura de protensão um módulo de elasticidade  $E_p$  constante, e desprezaram o alongamento das fibras de concreto adjacentes à armadura que ocorre fora da zona plastificada. A relação entre  $f_{ps}$  e  $f_{pe}$  pode, dessa maneira, ser expressa pela equação (2.37).

$$f_{ps} = f_{pe} + \frac{\Delta E_p}{l} \quad (2.37)$$

onde:

$\Delta$ : alongamento da fibra de concreto adjacente à altura da armadura de protensão, que ocorre ao longo do comprimento da zona plastificada

$l$ : comprimento do vão

Os autores definiram o *parâmetro de comprimento de plastificação* ( $\psi$ ), como sendo a razão entre o comprimento da zona plastificada e a profundidade da linha neutra, conforme a equação (2.38).

$$\psi = \frac{l_p}{x} = \frac{l_p}{nd_p} \quad (2.38)$$

onde:

$l_p$ : comprimento da zona plastificada

Considerando que a deformação do concreto à altura da armadura de protensão ( $\epsilon_{cp}$ ) pode ser dada pela equação (2.39) e a igualdade da equação (2.40), pode ser estabelecida entre  $f_{ps}$  e ( $\psi$ ) a relação (2.41).

$$\epsilon_{cp} = \frac{(1-n)}{n} \epsilon_{cu} \quad (2.39)$$

$$\Delta = \epsilon_{cp} \Psi nd = \Psi \epsilon_{cu} (1-n) d_p \quad (2.40)$$

$$f_{ps} = f_{pe} + \Psi \epsilon_{cu} (1-n) E_p \frac{d}{l} \quad (2.41)$$

Substituindo a equação (2.36) na equação (2.41), pode ser deduzido (2.42), onde o valor de  $(\psi)$  é expresso em função de  $f_{ps}$ ,  $f_{pe}$ ,  $A_{ps}$  e  $A_s$ .

$$\Psi = \frac{f_{ps} - f_{pe}}{\epsilon_{cu} \left[ 1 - \frac{rf_{ps} + r_1 f_y}{\alpha f_c} \right] \frac{d_p}{l} E_p} \quad (2.42)$$

Tam e Pannell (1976) consideraram como deformação de ruptura do concreto  $\epsilon_{cu}$  o valor de 0,003. Eles obtiveram portanto, substituindo os resultados experimentais de  $f_{ps}$  na equação (2.42), um valor de  $(\psi)$  para cada protótipo ensaiado, recomendando finalmente para análise a utilização do valor 10,5.

Reorganizando-se os termos da equação (2.42), tem-se a equação (2.43) para o cálculo de  $f_{ps}$ , onde deve ser utilizado o parâmetro  $\psi$  com valor 10,5.

$$f_{ps} = \frac{f_{pe} + \lambda(\alpha f_c - r_1 f_y)}{1 + \lambda r} \quad (2.43)$$

onde:

$\lambda$ : parâmetro dado conforme a equação (2.44)

$$\lambda = \frac{\Psi \epsilon_{cu} E_p d_p}{l \alpha f_c} \quad (2.44)$$

### 2.2.2.2 Harajli (1990)

Harajli (1990) elaborou um método semi-empírico em que, por meio de uma análise do tipo compatibilidade de deformações, o alongamento na armadura não aderente é expresso em função do comprimento da zona plastificada e introduzido, dessa forma, nas equações de equilíbrio de esforços na seção transversal. O método assume três hipóteses simplificadoras: há uma distribuição linear das deformações dos materiais ao longo da altura da seção transversal; o alongamento da armadura não aderente é ocasionado pelas deformações que ocorrem dentro da zona de plastificação, somente; e a força de atrito que se desenvolve entre a armadura de protensão e seu revestimento, por ocasião do acréscimo de deformações, é negligenciada.

Harajli (1990) adota para o comprimento da zona plastificada, um *comprimento de plastificação equivalente* ( $l_p^{eq}$ ), dado por  $l_p^{eq} = L_o + 2L_p$ , onde  $L_p$  e  $L_o$  são dados pelas equações (2.9) e (2.10), respectivamente, conforme indicado em 2.1.3. Considerando o estado de deformações na ruptura e que a deformação  $\Delta\epsilon$  das fibras de concreto à altura da armadura de protensão, ocasionada pelo carregamento, ocorre somente dentro da zona de plastificação, podem ser estabelecidas as relações (2.45), (2.46) e (2.47).

$$\Delta\epsilon = \frac{d_p - x}{x} \epsilon_{cu} \quad (2.45)$$

onde:

$\Delta\epsilon$ : acréscimo de deformação da fibra de concreto na altura do cabo de protensão, desde o estado de descompressão até a ruptura

$\epsilon_{cu}$ : deformação limite de compressão do concreto, na ruptura

$$\Delta l_{ps} = (\Delta\epsilon + \epsilon_{ce}) l_p^{eq} \quad (2.46)$$

onde:

$\Delta l_{ps}$ : incremento de alongamento do cabo de protensão, entre as ancoragens

$\epsilon_{ce}$ : deformação pré-existente na fibra de concreto na altura do cabo de protensão

$$\Delta\epsilon_{ps} = \frac{\Delta l_{ps}}{l} \quad (2.47)$$

onde:

$\Delta\epsilon_{ps}$ : incremento de deformação da armadura de protensão, desde a deformação efetiva ( $\epsilon_{pe}$ ) até a ruptura

Combinando as equações (2.45) a (2.47), pode-se expressar a deformação  $\epsilon_{ps}$  da armadura de protensão, correspondente à tensão última de protensão  $f_{ps}$ , pela equação (2.48).

$$\epsilon_{ps} = \epsilon_{pe} + \Delta\epsilon_{ps} = \epsilon_{pe} + \epsilon_{ce}(l_p^{eq}/l) + \epsilon_{cu} \frac{d_p - x}{x} (l_p^{eq}/l) \quad (2.48)$$

onde:

$\Delta\epsilon$ : acréscimo de deformação da fibra de concreto na altura do cabo de protensão, desde o estado de descompressão até a ruptura  
 $\epsilon_{cu}$ : deformação limite de compressão do concreto, na ruptura

A posição da linha neutra pode ser obtida com a equação (2.49), onde os termos da equação (2.48) foram reordenados.

$$x = \frac{\epsilon_{cu}(l_p^{eq}/l)d_p}{\epsilon_{ps} - [\epsilon_{pe} + \epsilon_{ce}(l_p^{eq}/l)] + \epsilon_{cu}(l_p^{eq}/l)} \quad (2.49)$$

O equilíbrio de forças na seção transversal submetida ao Estado Limite Último, para o caso geral de seção transversal em T, resulta na equação (2.50).

$$A_{ps}f_{ps} + A_s f_y - A_s' f_y = 0,85 f_c b_w 0,8x + C_f \quad (2.50)$$

onde:

$A_s'$ : área da armadura passiva de compressão

$b_w$ : largura da alma

$C_f$ : parcela de compressão do concreto devido à mesa de largura reduzida ( $b_f - b_w$ );  
para seção retangular,  $C_f = 0$

$b_f$ : largura da mesa

Substituindo a equação (2.49) em (2.50), resulta a expressão (2.51) para o cálculo de  $f_{ps}$ . As incógnitas da equação são  $f_{ps}$  e  $\varepsilon_{ps}$ , cuja solução é a interseção da equação (2.51) com a equação que expressa a relação constitutiva do aço de protensão.

$$f_{ps} = \frac{1}{A_{ps}} \frac{0,68 f_c b_w (l_p^{eq}/l) d_p \varepsilon_{cu}}{\varepsilon_{ps} - \varepsilon_{pe} - (l_p^{eq}/l)(\varepsilon_{ce} - \varepsilon_{cu})} + \frac{(A_s' - A_s) f_y + C_f}{A_{ps}} \quad (2.51)$$

### 2.2.2.3 Lee et al. (1999)

O método de Lee et al. (1999) assume, inicialmente, uma aproximação teórica por meio de três requerimentos básicos: uma equação de equilíbrio de momentos fletores, uma relação constitutiva do aço de protensão e uma equação de compatibilidade.

Ao contrário de Harajli (1990), que derivou uma equação de equilíbrio de forças, Lee et al. (1999) derivaram uma equação de equilíbrio de momentos fletores no Estado Limite Último, conforme apresentado em (2.52).

$$0,85 f_c b_0,8x(d_e - 0,4x) = A_{ps} f_{ps} (d_p - 0,4x) + A_s f_y (d_s - 0,4x) - A_s' f_y (d_e - 0,4x) \quad (2.52)$$

onde:

$d_e$ : parâmetro dado pela equação (2.53)

$$d_e = \frac{A_{ps}f_{ps}d_p + A_s f_y d_s}{A_{ps}f_{ps} + A_s f_y} \quad (2.53)$$

A equação de compatibilidade foi derivada, assim como a de Harajli (1990), admitindo que não há atrito entre o cabo de protensão e a bainha, e que o alongamento da armadura pretendida ocorre devido à deformação da zona plastificada, somente. A deformação  $\varepsilon_{ps}$  correspondente à tensão última de protensão é dada, portanto, pela equação (2.54). Reorganizando-se a equação (2.54) na forma da equação (2.55) e introduzindo-a na equação (2.52), tem-se a expressão (2.56) para a variável  $f_{ps}$ .

$$\varepsilon_{ps} = \varepsilon_{pe} + \left[ \varepsilon_{cu} \frac{d_p - x}{x} \right] (l_p^{eq} / l) \quad (2.54)$$

$$x = \frac{(l_p^{eq} / l) \varepsilon_{cu} d_p}{\varepsilon_{ps} - \varepsilon_{pe} + (l_p^{eq} / l) \varepsilon_{cu}} \quad (2.55)$$

$$f_{ps} = \frac{1}{\alpha_p A_{ps}} \frac{0,85 f_c b 0,8 \varepsilon_{cu} (l_p^{eq} / l) d_p}{\varepsilon_{ps} - \varepsilon_{pe} + \varepsilon_{cu} (l_p^{eq} / l)} + \frac{(A_s' - \alpha_s A_s) f_y}{\alpha_p A_{ps}} \quad (2.56)$$

onde:

- $\alpha_s$ : parâmetro dado pela equação (2.57)
- $\alpha_p$ : parâmetro dado pela equação (2.58)

$$\alpha_s = \frac{(d_s - 0,4x)}{(d_e - 0,4x)} \quad (2.57)$$

$$\alpha_p = \frac{(d_p - 0,4x)}{(d_e - 0,4x)} \quad (2.58)$$

Os autores admitem que  $l_p^{eq} = l / f + d_p$ , resultando na equação (2.59), que é equivalente à equação (2.14) apresentada em 2.1.4.

$$\frac{l_p^{eq}}{l} = \frac{l/f + d_p}{l} = \frac{1}{f} + \frac{1}{l/d_p} \quad (2.59)$$

Eles admitiram ainda que a deformação no aço de protensão ocorre somente dentro do domínio elástico de deformação, resultando a equação constitutiva do aço de protensão em  $f_{ps} = E_p \varepsilon_{ps}$ . Multiplicando-se o numerador e o denominador do primeiro termo da equação (2.56) por  $E_p$  e adicionando-se o termo  $(-f_{pe} + \varepsilon_{cu}E_{ps}(l_p^{eq}/l))$  a ambos os lados, tem-se como resultado uma equação quadrática para solução de  $\Delta f_{ps}$ . Lee et al. (1999) reorganizaram os termos e, após algumas simplificações, obtiveram a equação (2.60), que expressa  $f_{ps}$  em função dos coeficientes  $K_1$ ,  $K_2$ ,  $K_3$  e  $K_4$ . Utilizando os resultados de 167 protótipos ensaiados experimentalmente por 13 pesquisadores, entre 1956 e 1997, os autores determinaram os valores dos coeficientes  $K_1$  a  $K_4$  que melhor se ajustam à regressão dos dados experimentais.

$$f_{ps} = K_1 + K_2 f_{pe} + K_3 \frac{(A_s' - A_s) f_y}{A_{ps}} + K_4 \sqrt{\frac{d_s}{A_{ps}} b f_c \left[ \frac{1}{f} + \frac{1}{l/d_p} \right]} \quad [kN/cm^2] \quad (2.60)$$

onde:

$$K_1 = 20,69$$

$$K_2 = 0,75$$

$$K_3 = (1/12)$$

$$K_4 = 2,15$$

Lee et al. (1999) propuseram ainda uma redução nos coeficientes  $K_1$  à  $K_4$ , a fim de que a equação (2.60) fosse utilizada para análise, com alguma margem de segurança. A *equação de análise*, como foi denominada pelos próprios autores, é descrita em (2.61).

$$f_{ps} = 6,9 + 0,80 f_{pe} + \frac{1}{15} \frac{(A_s' - A_s) f_y}{A_{ps}} + 2,10 \sqrt{\frac{d_s}{A_p} b f_c \left[ \frac{1}{f} + \frac{1}{l/d_p} \right]} \quad [kN/cm^2] \quad (2.61)$$

#### 2.2.2.4 Naaman e Alkhairi (1991b); Naaman et al. (2002)

Naaman et al. (2002), no trabalho realizado pelo Comitê 423 da junta ACI-ASCE, recomendaram também um método mais apurado para cálculo de  $\Delta f_{ps}$ , em relação ao apresentado em 2.2.1.7. Eles analisaram métodos propostos por diversos autores, escolhendo o elaborado por Naaman e Alkhairi (1991b), por apresentar a maior correlação com resultados experimentais, além de ser fundamentado no equilíbrio de esforços da seção transversal e levar em conta parâmetros como esbeltez à flexão e tipo de carregamento.

O método de Naaman e Alkhairi (1991b) estabelece um parâmetro que relaciona a deformação que ocorre na armadura não aderente com a deformação que ocorreria se esta armadura fosse aderente. Este parâmetro foi denominado *coeficiente de redução de deformação ou coeficiente de redução de aderência* ( $\Omega_u$ ), definido pela equação (2.62).

$$\Omega_u = \frac{\Delta \epsilon_{ps(unb)}}{\Delta \epsilon_{ps(bond)}} \quad (2.62)$$

onde:

$\Omega_u$ : coeficiente de redução de deformação, na seção transversal de momento fletor máximo

$\Delta \epsilon_{ps(unb)}$ : deformação que ocorre na armadura não aderente, desde a deformação de referência  $\epsilon_{pe}$  até o Estado Limite Último

$\Delta \epsilon_{ps(bond)}$ : deformação que ocorreria na armadura, desde a deformação de referência  $\epsilon_{pe}$  até o Estado Limite Último, se houvesse aderência

A solução proposta essencialmente reduz a análise de elementos com protensão não aderente à uma análise de elementos com protensão aderente, por meio da aplicação de  $\Omega_u$ .

Naaman e Alkhairi (1991b) deduziram inicialmente que, para elementos com inércia constante e carregamento simétrico, o coeficiente de redução de deformação seria dado pelas equações (2.63) e (2.64), para seções não fissuradas e fissuradas, respectivamente.

$$\Omega = \frac{2}{l \Delta M_{max}(e_o)_{max}} \int_0^{l/2} \Delta M(z) e_o(z) dz \quad (2.63)$$

onde:

$\Omega$ : coeficiente de redução de deformação para seção não fissurada

$z$ : distância do centro do vão até a seção em estudo

$e_o(z)$ : excentricidade do cabo de protensão

$(e_o)_{max}$ : excentricidade do cabo de protensão na seção central

$\Delta M(z)$ : acréscimo de momento fletor além do momento fletor devido ao peso próprio da estrutura

$\Delta M_{max}$ : valor de  $\Delta M(z)$  na seção central

$$\Omega_c = \Omega \frac{I_{cr}}{I_g} + \frac{2}{l} \left( 1 - \frac{I_{cr}}{I_g} \right) \int_0^{l_c/2} \frac{\Delta M(z) e_o(z) dz}{\Delta M_{max}(e_o)_{max}} \quad (2.64)$$

onde:

$I_{cr}$ : momento de inércia da seção fissurada

$I_g$ : momento de inércia da seção não fissurada

$l_c$ : extensão da zona fissurada

Os autores tentaram estender as equações (2.63) e (2.64) para aplicação no Estado Limite Último, assumindo  $l_c$  como sendo o comprimento da zona plastificada. Entretanto, não foi encontrada uma solução satisfatória que se ajustasse de forma adequada aos resultados experimentais disponíveis.

Naaman e Alkhairi (1991b), então, utilizaram resultados de 143 protótipos oriundos de dez diferentes pesquisas, realizadas entre 1962 e 1990, para ajustar um coeficiente de redução de

deformações no Estado Limite Último ( $\Omega_u$ ). Este coeficiente, dado pela equação (2.62), foi relacionado com o valor de  $f_{ps}$  e com as deformações na seção transversal, de acordo com a equação (2.65). Dessa maneira, a equação (2.65) deve ser simultaneamente utilizada com a equação de equilíbrio de forças na seção transversal no Estado Limite Último (2.66), resultando em uma equação quadrática para a solução do valor de  $x$  e  $f_{ps}$ . Os autores assumem que a armadura de protensão permanece em seu domínio de deformações elásticas, resultando na relação  $f_{ps} = E_{ps}\varepsilon_{ps}$ . Os valores de  $\Omega_u$  foram estipulados conforme o tipo de carregamento, e reduzidos a fim de que uma margem de segurança fosse obtida.

$$f_{ps} = f_{pe} + \Omega_u E_{ps} \varepsilon_{cu} \left( \frac{d_p}{x} - 1 \right) \frac{L_1}{L_2} \quad (2.65)$$

onde:

$L_1$ : soma dos comprimentos dos vãos carregados que contém cabos não aderentes

$L_2$ : extensão total do cabo não aderente, entre ancoragens

$\Omega_u = 3/(l/d_p)$ ; para carregamento distribuído ou nos terços médios

$\Omega_u = 1,5/(l/d_p)$ ; para carregamento concentrado

$\varepsilon_{cu}$ : deformação máxima no concreto comprimido, admitida como 0,003

$$A_{ps}f_{ps} + A_s f_y = 0,85 f_c b 0,8 x \quad (2.66)$$

### 2.2.2.5 Código Canadense A23.3-94 (CSA, 1994)

O código canadense A23.3-94 (1994) utiliza a equação empírica (2.67) para estimar o valor de  $\Delta f_{ps}$ . O valor da profundidade da linha neutra ( $x$ ) deverá ser calculado por (2.68), que resulta do equilíbrio de esforços da seção transversal, no Estado Limite Último. O método foi baseado em resultados de testes experimentais realizados em elementos simplesmente apoiados. Os resultados obtidos com carregamento concentrado foram descartados sob alegação de que este tipo de carregamento raramente ocorre.

$$f_{ps} = f_{pe} + 800 \frac{(d_p - x)}{l_c} \leq f_{py} \quad [kN/cm^2] \quad (2.67)$$

onde:

$l_c$ : razão entre o comprimento do cabo entre ancoragens e o número de rótulas plásticas necessárias para que ocorra o mecanismo de ruptura no vão considerado

$x$ : profundidade da linha neutra, transcrita segundo o código canadense na equação (2.68)

$$x = \frac{\phi_p A_{ps} f_{py} + \phi_s A_s f_y}{0,85 \phi_c \beta_1 f_c b} \quad (2.68)$$

onde:

$\phi_p$ : coeficiente de redução de resistência para o aço de protensão (0,90)

$\phi_s$ : coeficiente de redução de resistência para a armadura passiva (0,85)

$\phi_c$ : coeficiente de redução de resistência para o concreto (0,6)

$\beta_1$ : coeficiente aplicado na obtenção do retângulo equivalente de tensões no concreto, no Estado Limite Último

### 2.2.3 Métodos Numéricos

Nos métodos numéricos, a não-linearidade física geralmente é considerada na relação constitutiva dos materiais. A estrutura é usualmente analisada pela formulação de elementos finitos. Os elementos são discretizados e integrados de forma que o equilíbrio de forças seja estabelecido em todo o elemento, por meio da compatibilidade de deslocamentos. Dessa maneira, o tipo de carregamento e o perfil do cabo de protensão são também considerados.

O modelo numérico de Barbieri (2003) foi a ferramenta utilizada para realização deste trabalho. Suas características pertinentes à pesquisa serão descritas mais detalhadamente no Capítulo 3.

#### 2.2.4 Aplicação dos Métodos de Previsão de $\Delta f_{ps}$

Neste item, serão comparados resultados experimentais dos valores de  $\Delta f_{ps}$  e  $f_{ps}$  com os obtidos através da aplicação de alguns dos métodos empíricos e semi-empíricos descritos anteriormente.

Foram tomados para comparação, os resultados experimentais de 64 protótipos, ensaiados por Tam e Pannell (1976), Tao e Du (1985), Harajli e Kanj (1991) e Chakrabarti (1995). Em todos os protótipos foi aplicada protensão parcial, ou seja, todos possuíam alguma quantidade de armadura passiva. Foram também considerados somente elementos bi-apoiados, pois o valor de  $\Delta f_{ps}$  em elementos contínuos depende fortemente do padrão de carregamento e do mecanismo de ruptura.

Resultados experimentais para tensão última de protensão e incremento de tensão foram denominados  $f_{ps-exp}$  e  $\Delta f_{ps-exp}$ , respectivamente. Resultados obtidos com a aplicação dos métodos de previsão, para tensão última de protensão e incremento de tensão, foram denominados  $f_{ps-prev}$  e  $\Delta f_{ps-prev}$ , respectivamente. A comparação foi feita por meio de gráficos de dispersão dos pontos ( $f_{ps-exp}, f_{ps-prev}$ ) e ( $\Delta f_{ps-exp}, \Delta f_{ps-prev}$ ). Foram traçadas nos gráficos as retas correspondentes à correlação perfeita entre as variáveis, ou seja, quando a razão ( $f_{ps-prev} / f_{ps-exp}$ ) e ( $\Delta f_{ps-prev} / \Delta f_{ps-exp}$ ) é igual a 1.

Os métodos utilizados na comparação foram os métodos empíricos de Mattock et al. (1971), Tao e Du (1985), Kordina e Hegger (1987), Harajli e Kanj (1991), Chakrabarti (1995), Naaman et al. (2002), ACI 318-02 (2002) e o método semi-empírico de Harajli (1990). O método empírico de Cooke et al. (1981) não foi considerado por ter sido derivado a partir de elementos com protensão total.

Na figura 2.16, é apresentada a comparação de resultados obtidos com o método de Mattock et al. (1971). Observa-se, em geral, que os resultados de  $\Delta f_{ps-prev}$  são conservadores. Já para os protótipos ensaiados por Tam e Pannell (1976), os resultados de  $\Delta f_{ps-prev}$  foram ligeiramente superiores aos resultados experimentais. Pode-se constatar, também, que nos resultados de tensão última a dispersão em torno da reta de correlação perfeita é menor, em comparação com resultados de incremento de tensão.

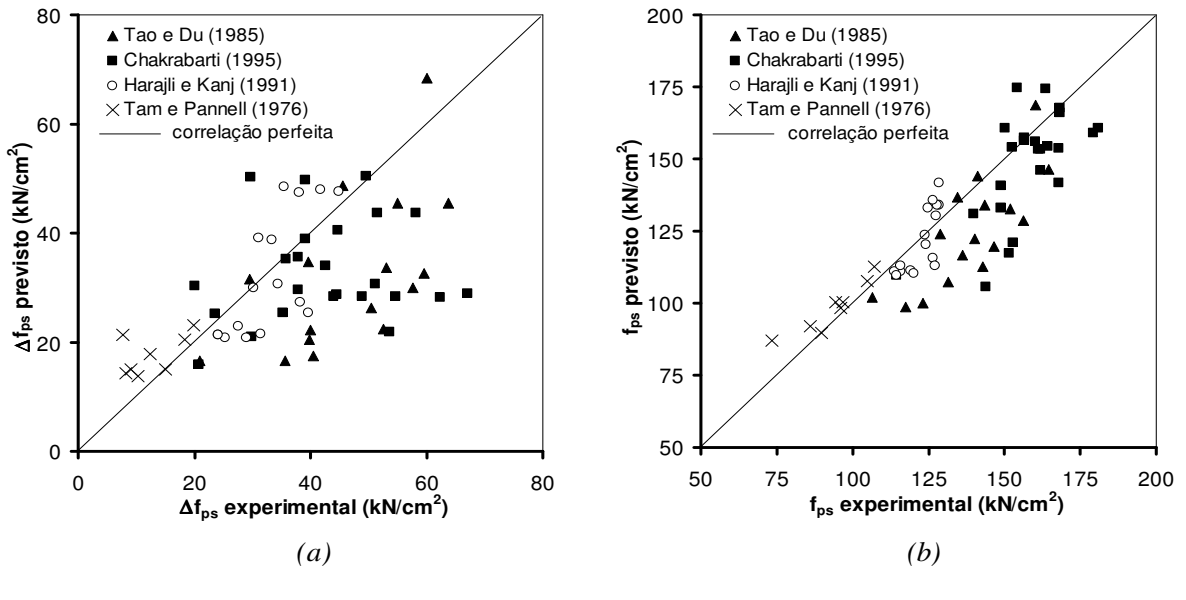


Figura 2.16 – Comparação de resultados experimentais e teóricos para o método empírico de Mattock et al. (1971): a) Valores de  $\Delta f_{ps}$ ; b) Valores de  $f_{ps}$

A figura 2.17 retrata os resultados obtidos para o método de Tao e Du (1985). Os resultados de  $\Delta f_{ps}$  se mostram, principalmente para protótipos com carregamento concentrado, contra a segurança, pois grande parte dos pontos está situada à esquerda da reta de correlação perfeita. Os resultados de  $f_{ps\_prev}$  já apresentam maior aproximação dos valores de  $f_{ps\_exp}$ . Vale destacar que o método de previsão utilizado foi elaborado com base em ensaios de protótipos submetidos a carregamento nos terços médios, somente.

Na figura 2.18 são retratados os resultados obtidos com a utilização do método de Kordina e Hegger (1987). Os resultados foram ligeiramente menos dispersos que os resultados obtidos no método de Tao e Du (1985).

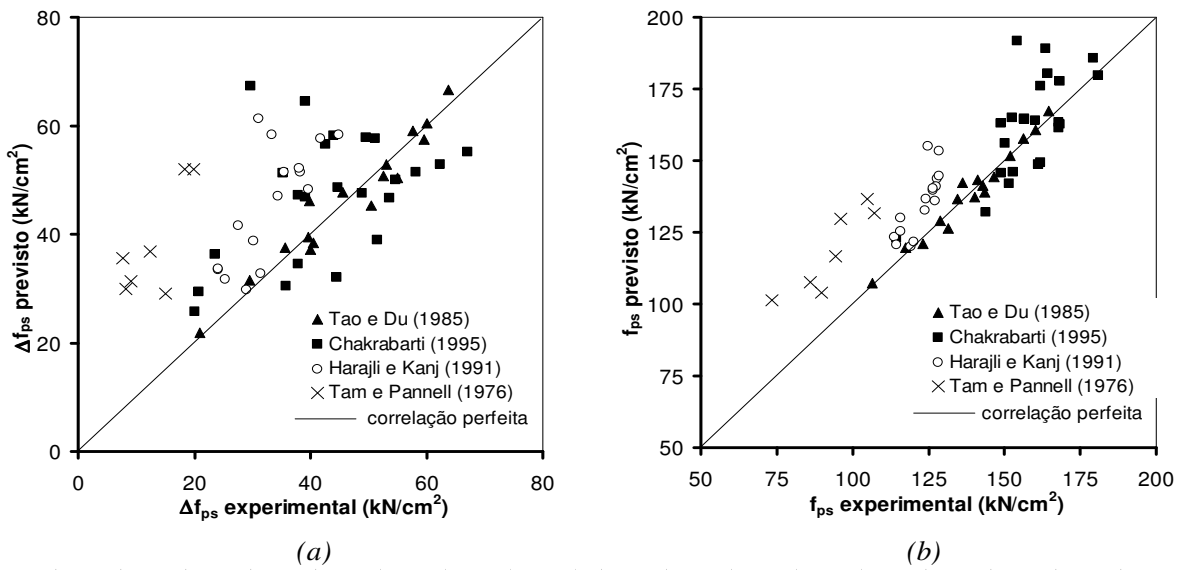


Figura 2.17 – Comparação de resultados experimentais e teóricos para o método empírico de Tao e Du (1985): a) Valores de  $\Delta f_{ps}$ ; b) Valores de  $f_{ps}$

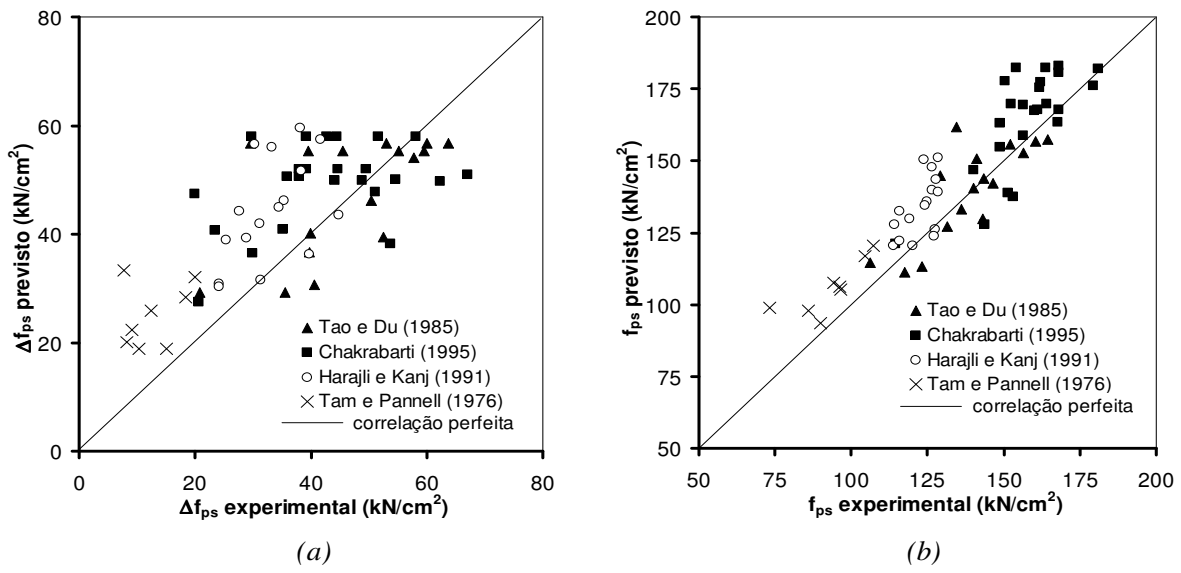


Figura 2.18 – Comparação de resultados experimentais e teóricos para o método empírico de Kordina e Hegger (1987): a) Valores de  $\Delta f_{ps}$ ; b) Valores de  $f_{ps}$

Os resultados da utilização do método de Harajli e Kanj (1991) são apresentados na figura 2.19. Os resultados se apresentam mais conservadores em relação aos métodos de Tao e Du e Kordina e Hegger, sendo mais precisos para protótipos com carregamento concentrado.

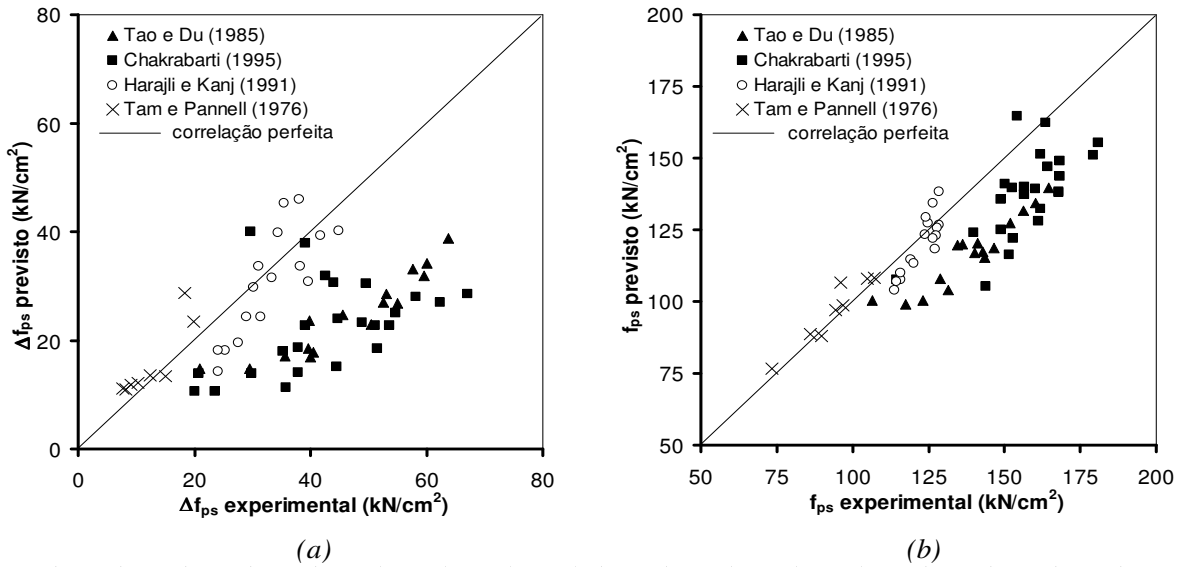


Figura 2.19 – Comparação de resultados experimentais e teóricos para o método empírico de Harajli e Kanj (1991): a) Valores de  $\Delta f_{ps}$ ; b) Valores de  $f_{ps}$

Resultados similares são obtidos com a aplicação do método de Chakrabarti (1995), como demonstra a figura 2.20.

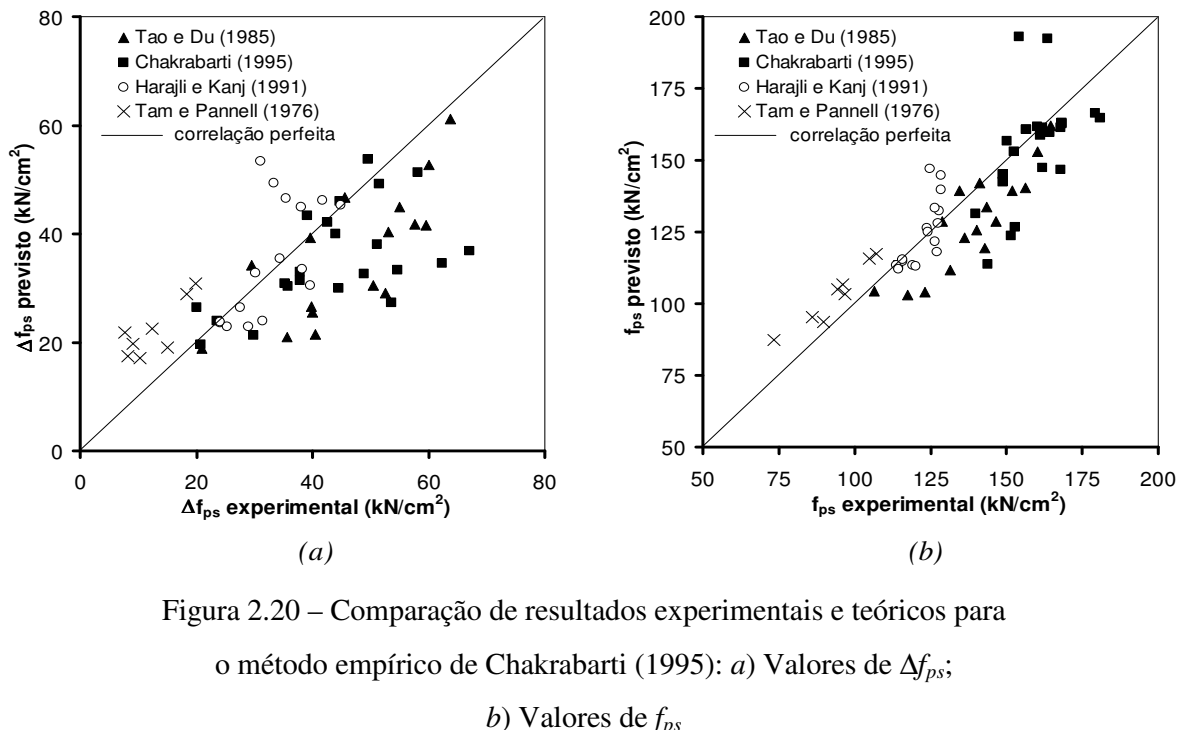


Figura 2.20 – Comparação de resultados experimentais e teóricos para o método empírico de Chakrabarti (1995): a) Valores de  $\Delta f_{ps}$ ; b) Valores de  $f_{ps}$

Os resultados do método de Naaman et al. (2002) e do ACI 318 (2002), apresentados nas figuras 2.21 e 2.22, respectivamente, podem ser considerados os mais conservadores. O método de Naaman considera para o valor de  $\Delta f_{ps\_prev}$  um valor praticamente constante.

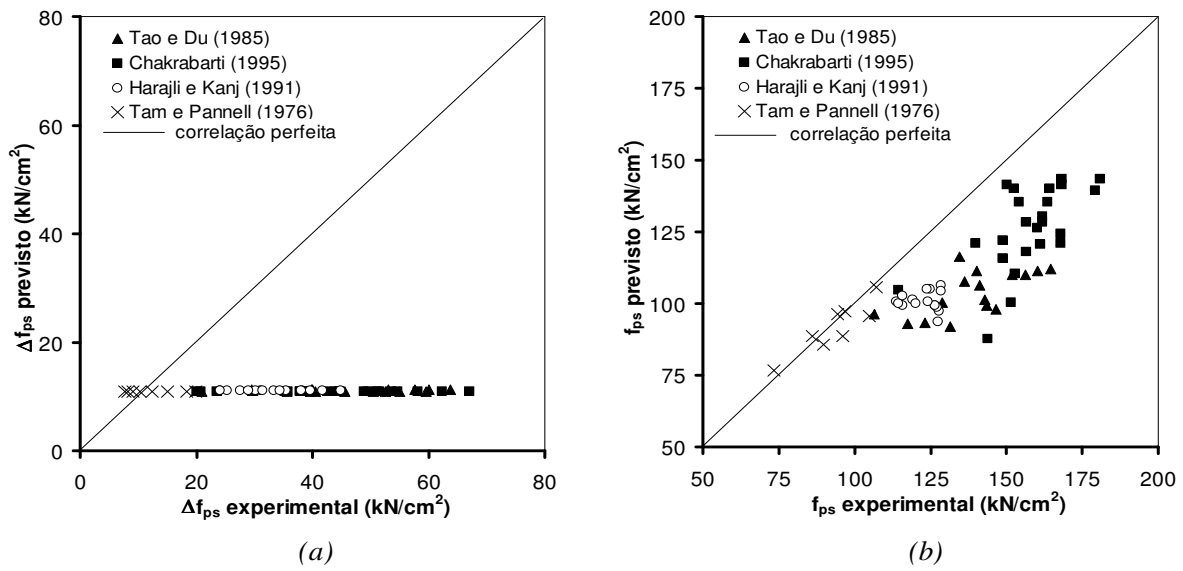


Figura 2.21 – Comparação de resultados experimentais e teóricos para o método empírico de Naaman et al. (2002): a) Valores de  $\Delta f_{ps}$ ; b) Valores de  $f_{ps}$

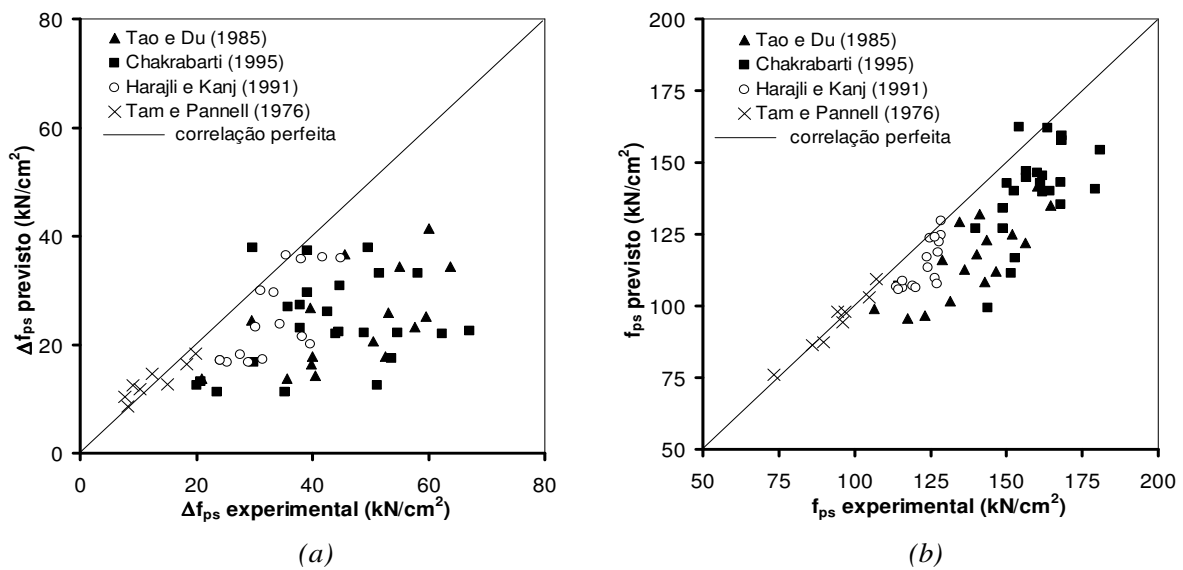


Figura 2.22 – Comparação de resultados experimentais e teóricos para o método empírico do ACI 318-02 (2002): a) Valores de  $\Delta f_{ps}$ ; b) Valores de  $f_{ps}$

Os resultados da utilização do método semi-empírico de Harajli (1990) são retratados na figura 2.23. Apesar de constituir-se de um método semi-empírico, este não apresentou resultados mais precisos em comparação com alguns dos métodos citados anteriormente.

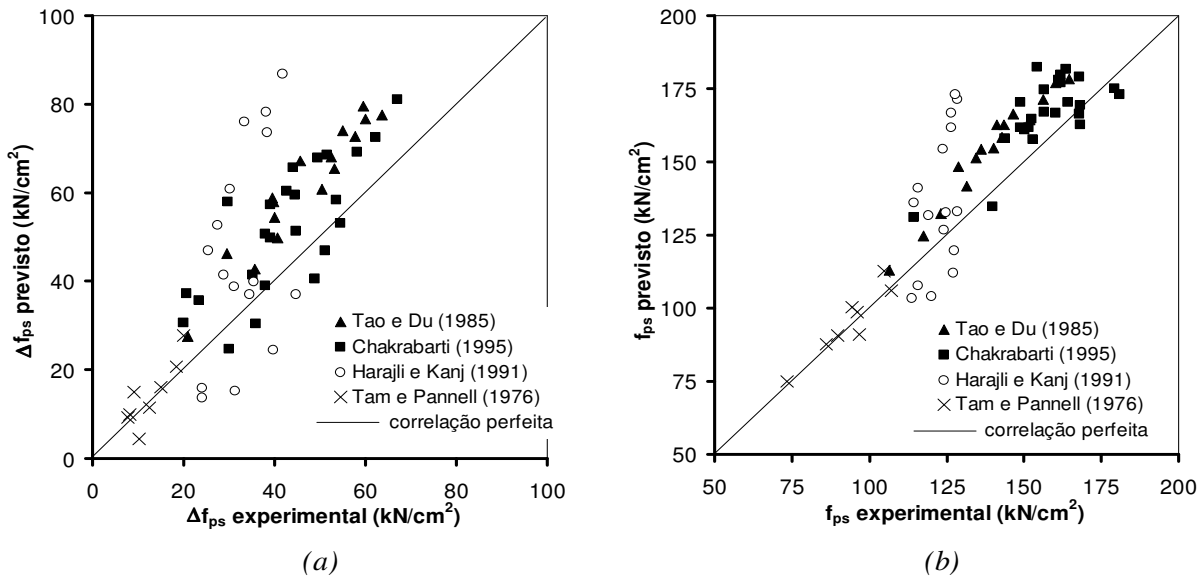


Figura 2.23 – Comparação de resultados experimentais e teóricos para o método semi-empírico de Harajli (1990): a) Valores de  $\Delta f_{ps}$ ; b) Valores de  $f_{ps}$

A figura 2.24 apresenta ainda resultados de  $f_{ps\text{-exp}}$  comparados aos resultados de  $f_{ps\text{-prev}}$  sem a consideração do incremento de tensão  $\Delta f_{ps}$ . O código europeu *CEB-FIP Model Code 1990* (1993) recomenda este procedimento, quando uma análise mais apurada, baseada na compatibilidade de deslocamentos, não for realizada. Os resultados de  $f_{ps\text{-prev}}$  foram, obviamente, os que mais se distanciaram, a favor da segurança, da reta de correlação perfeita.

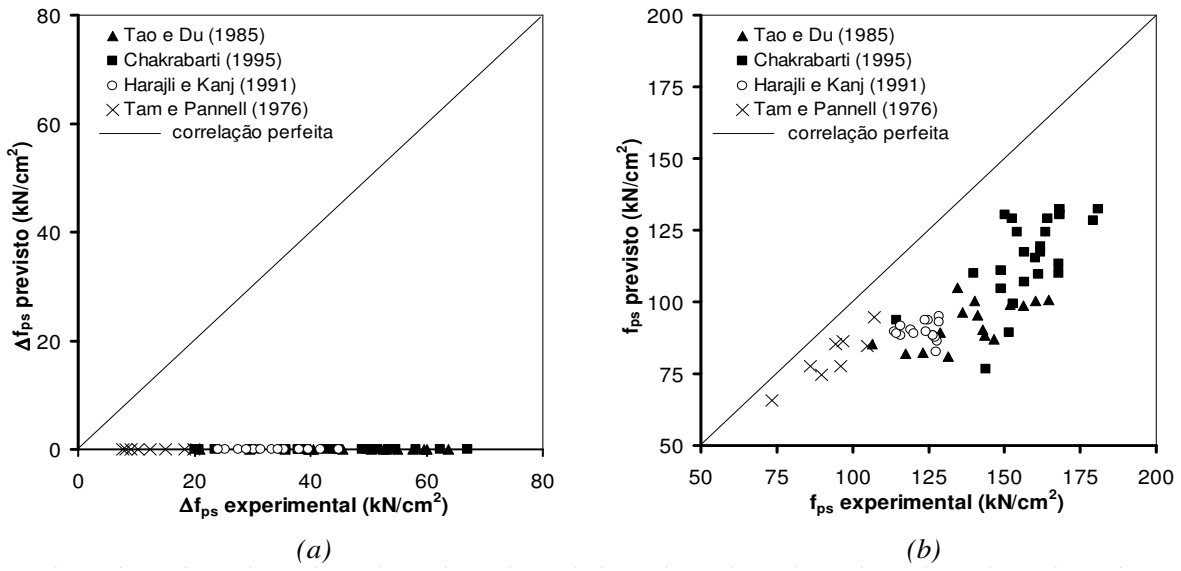


Figura 2.24 – Comparaç $\hat{o}$ o de resultados experimentais e teóricos  
desconsiderando-se os valores de  $\Delta f_{ps}$ : a) Valores de  $\Delta f_{ps}$ ; b) Valores  
de  $f_{ps}$

A tabela 2.1 apresenta as médias e desvios padrões das razões ( $f_{ps-prev} / f_{ps-exp}$ ) e ( $\Delta f_{ps-prev} / \Delta f_{ps-exp}$ ), bem como o tamanho da amostra testada em cada método.

Tabela 2.1 – Médias e desvios-padrão de ( $f_{ps-prev} / f_{ps-exp}$ ) e  
( $\Delta f_{ps-prev} / \Delta f_{ps-exp}$ ) para cada método de previsão de  $\Delta f_{ps}$  testado

Métodos Empíricos	$(\Delta f_{ps-prev} / \Delta f_{ps-exp})$			$(f_{ps-prev} / f_{ps-exp})$			número de protótipos
	média	desvio padrão	CV (%)	média	desvio padrão	CV (%)	
Mattock et al. (1971)	0,92	0,40	43,7	0,96	0,09	9,4	64
Tao e Du (1985)	1,40	0,74	52,9	1,07	0,10	9,3	62
Kordina e Hegger (1987)	1,34	0,55	41,0	1,06	0,09	8,5	64
Harajli e Kanj (1991)	0,72	0,31	43,1	0,91	0,09	9,9	64
Chakrabarti (1995)	1,05	0,47	44,8	0,99	0,09	9,1	64
Naaman et al. (2002)	0,38	0,27	71,1	0,82	0,09	11,0	64
ACI 318-02 (2002)	0,67	0,26	38,8	0,90	0,08	8,9	64
Desconsiderando valor de $\Delta f_{ps}$	0,00	0,00		0,73	0,08	11,0	64
Método Semi-Empírico Harajli (1990)	1,29	0,39	30,2	1,08	0,10	9,3	64

### 3 Metodologia de Pesquisa

Para que fosse quantificada a influência de determinados parâmetros no valor do incremento de tensão  $\Delta f_{ps}$  de elementos com armaduras não aderentes, um amplo estudo paramétrico foi realizado. Neste capítulo, serão inicialmente apresentados os parâmetros que, dentre aqueles já abordados no capítulo anterior, foram considerados na realização deste estudo. Esta dissertação trata da análise de elementos estruturais lineares unidimensionais – vigas ou lajes apoiadas em uma direção. Será portanto, em seguida, descrito o protótipo modelo utilizado na pesquisa, idealizado de forma a permitir a ampla variação dos parâmetros em questão. A metodologia de variação dos parâmetros e as configurações estruturais do protótipo modelo utilizadas no trabalho, serão também apresentadas. As características do modelo numérico utilizado para a análise serão, por fim, abordadas.

#### 3.1 Parâmetros de Estudo

Foi apresentado no Capítulo 2 uma revisão dos parâmetros considerados pela literatura como de maior influência no valor de  $\Delta f_{ps}$ , sendo eles:

1. Índice de protensão parcial ( $PPR_e$ );
2. Taxa mecânica total de armadura ( $\omega_e$ );
3. Índice de esbeltez à flexão ( $l/d_p$ );
4. Tipo de carregamento;
5. Continuidade da estrutura

Foram considerados, na análise paramétrica, os itens 1 ao 4, de maneira que as estruturas com continuidade não foram abordadas. Tendo em vista que o valor de  $\Delta f_{ps}$  em elementos contínuos depende, segundo vários autores, do padrão de carregamento e dos mecanismos de ruptura, inúmeras poderiam ser as configurações para o estudo deste parâmetro. Este parâmetro, por si só, poderia ser objeto de uma pesquisa isolada.

O índice de protensão parcial foi estudado, referindo-se seu valor à tensão efetiva  $f_{pe}$  ( $PPR_e$ ), devido ao conhecimento prévio da mesma. A equação (3.1) apresenta novamente o índice  $PPR_e$  em função de  $f_{pe}$ . Elementos com protensão total ( $PPR_e = 1$ ) não foram estudados devido ao fato de comportarem-se não à flexão, mas sim, como arcos abatidos atirantados, após o início da fissuração. Este comportamento afeta de maneira significativa a evolução da tensão na armadura de protensão, até o Estado Limite Último.

$$PPR_e = \frac{A_{ps}f_{pe}}{A_{ps}f_{pe} + A_s f_y} \quad (3.1)$$

A taxa mecânica total de armadura foi igualmente referida à tensão efetiva de protensão ( $\omega_e$ ). Conforme apresentada anteriormente, ela é definida por um conjunto de parâmetros, indicados novamente na equação (3.2).

$$\omega_e = \frac{A_{ps}f_{pe}}{bd_p f_c} + \frac{A_s f_y}{bd_s f_c} \quad (3.2)$$

Percebe-se, na equação (3.2), que o valor de  $\omega_e$  depende de uma série de parâmetros, de maneira que uma mesma taxa de armadura pode resultar de diferentes combinações destas variáveis. Estes parâmetros,  $A_{ps}$ ,  $A_s$ ,  $f_{pe}$ ,  $f_y$ ,  $d_p$ ,  $d_s$ ,  $b$  e  $f_c$  são denominados **parâmetros internos de  $\omega_e$** . Foram estudados parametricamente neste trabalho, os parâmetros  $A_{ps}$ ,  $A_s$ ,  $f_{pe}$ ,  $f_y$  e  $d_s$ , que, então combinados, resultaram em uma ampla faixa de valores dos parâmetros  $\omega_e$  e  $PPR_e$ . A largura da seção transversal ( $b$ ) e a resistência à compressão do concreto ( $f_c$ ) foram mantidas constantes para que fosse reduzido o número de fatores influentes sobre o incremento de tensão  $\Delta f_{ps}$ .

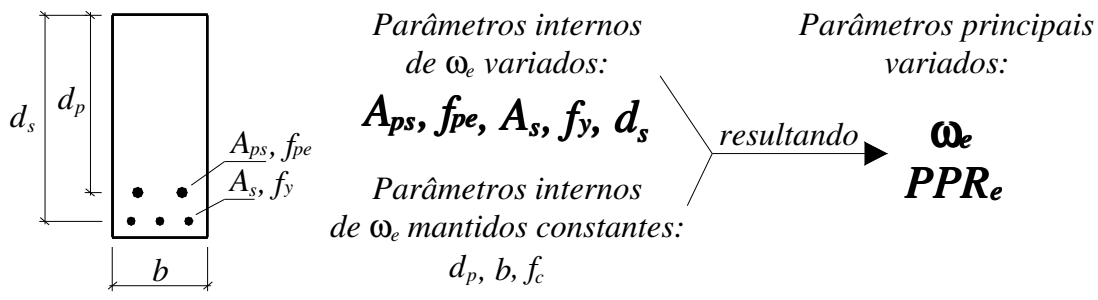
A influência do índice de esbeltez à flexão ( $l/d_p$ ) foi estudada pela variação do comprimento do vão ( $l$ ) do protótipo modelo, já que a altura da seção transversal ( $h$ ) e a altura útil da armadura de protensão ( $d_p$ ) foram mantidas constantes.

Três foram as configurações de carregamento estudadas, que se constituem nas principais formas tratadas na literatura: carregamento nos terços médios, carregamento concentrado e carregamento distribuído.

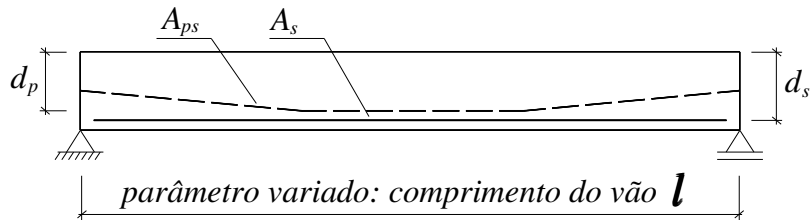
Os parâmetros estudados na pesquisa foram, portanto, os seguintes:

- Parâmetros internos de  $\omega_e$  –  $A_{ps}$ ,  $A_s$ ,  $f_{pe}$ ,  $f_y$  e  $d_s$  – e os parâmetros  $\omega_e$  e  $PPR_e$  resultantes das combinações destes parâmetros internos
- O índice de esbeltez à flexão  $l/d_p$ , por meio da variação do parâmetro  $l$
- O **tipo de carregamento**

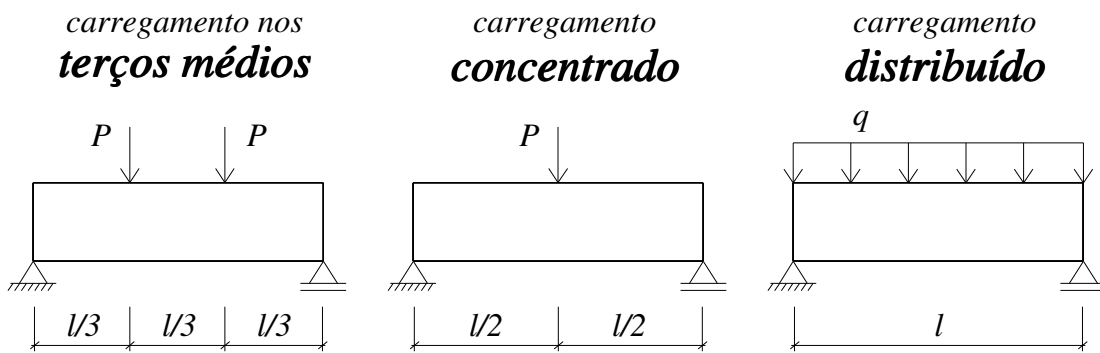
Na figura 3.1, é mostrado um resumo esquemático dos parâmetros abordados pela pesquisa. Os **parâmetros internos de  $\omega_e$** , que compõem também o valor de  $PPR_e$ , podem ser entendidos como parâmetros da seção transversal, e estão indicados na figura 3.1(a). Os demais parâmetros estudados, índice de esbeltez à flexão ( $l/d_p$ ) e tipo de carregamento, são representados nas figuras 3.1(b) e (c), respectivamente.



(a)



(b)



(c)

Figura 3.1 – Parâmetros variados na análise paramétrica:

- a) Parâmetros da seção transversal; b) Índice de esbeltez à flexão;  
 c) Tipo de carregamento

### 3.2 Protótipo Idealizado para o Estudo

Este trabalho refere-se a elementos lineares. O protótipo modelo arbitrado para a realização do estudo paramétrico caracterizou-se por uma laje bi-apoiada, com seção transversal de 20

cm de altura e 100 cm de largura, mostrada na figura 3.2. O perfil do cabo de protensão é poligonal, variando sua altura útil ao longo do comprimento do elemento, desde as seções extremas de ancoragem, onde situa-se no centro de gravidade da seção, até o início do terço médio do vão, região onde assume uma altura  $d_p$  constante de 15,5 cm. Esta configuração geométrica permitiu, em conjunto com as propriedades adotadas para o concreto, ampla variedade para as áreas de armadura de protensão  $A_{ps}$ , tensões efetivas  $f_{pe}$  e comprimentos de vão  $l$ , tendo em vista a limitação das tensões oriundas da protensão.

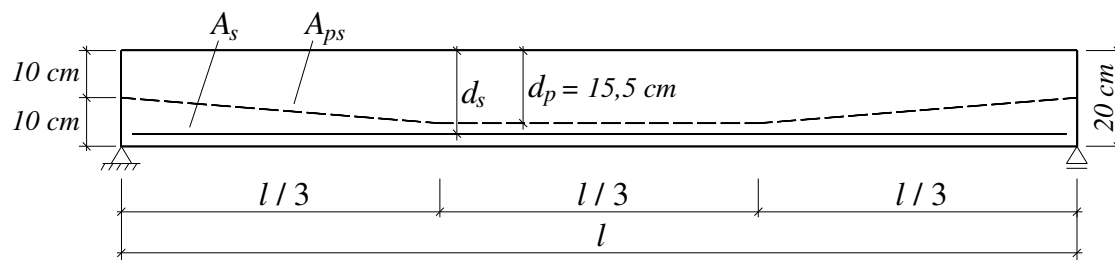


Figura 3.2 – Perfil longitudinal do protótipo modelo idealizado para o estudo paramétrico

As propriedades dos materiais, concreto, aço da armadura passiva e aço de protensão, são apresentados na tabela 3.1. As propriedades do aço de protensão foram arbitradas de modo a simular, durante as análises numéricas, o comportamento do aço **CP-190RB** – este utilizado no Brasil para produção de monocordalhas engraxadas – conforme as especificações do fabricante. O valor de  $E_c$  foi calculado segundo a expressão indicada no ACI 318-02 (2002), utilizando-se nesta o valor arbitrado para  $f_c$ , de 4 kN/cm<sup>2</sup>.

Os parâmetros da tabela 3.1, relativos às relações constitutivas dos materiais e ainda não definidos, serão abordados no item 3.5.3, na apresentação das relações constitutivas utilizadas no modelo numérico.

Tabela 3.1 – Propriedades dos materiais adotadas no protótipo modelo

Concreto
Módulo de elasticidade: $E_c = 2993,8 \text{ kN/cm}^2$
Resistência à compressão: $f_c = 4,0 \text{ kN/cm}^2$
Resistência final à compressão: $f_{cf} = 3,0 \text{ kN/cm}^2$
Resistência à tração: $f_{ct} = 0,48 \text{ kN/cm}^2$
Deformação de pico de resistência à compressão: $\epsilon_{co} = 0,002$
Deformação de ruptura: $\epsilon_{cf} = 0,01$
Parâmetro $\beta$ de <i>tension stiffening</i> : $\beta = 4,0$
Parâmetro $\beta_\sigma$ de <i>tension stiffening</i> : $\beta_\sigma = 0,4$
Aço de protensão
Módulo de elasticidade: $E_p = 19600 \text{ kN/cm}^2$
Tensão convencional de escoamento: $f_{py} = 170,8 \text{ kN/cm}^2$
Deformação convencional de escoamento: $\epsilon_{py} = 0,01$
Tensão de ruptura: $f_{pu} = 190 \text{ kN/cm}^2$
Deformação de ruptura: $\epsilon_{pu} = 0,071$
Aço da armadura passiva
Módulo de elasticidade: $E_s = 21000 \text{ kN/cm}^2$
Tensão de escoamento: $f_y = (\text{parâmetro variável})$
Deformação de escoamento: $\epsilon_y = (f_y / E_s)$

### 3.3 Metodologia de Variação dos Parâmetros

Os parâmetros estudados nesta dissertação podem ser classificados em três categorias distintas: o grupo dos parâmetros internos de  $\omega_e$ , relativo às propriedades da seção transversal; o grupo do parâmetro  $l$ , relativo à esbeltez à flexão dos elementos; e o grupo relativo ao tipo de carregamento aplicado. A variação dos parâmetros dentro de cada um destes grupos se deu de forma independente. Para análise, finalmente, os três grupos foram combinados entre si, de maneira que a cada protótipo com características distintas de seção transversal foram

aplicadas todas as combinações de índices de esbeltez e tipo de carregamento. A seguir, será descrita como foi realizada a variação paramétrica, dentro de cada categoria, separadamente.

### 3.3.1 Parâmetros Internos de $\omega_e$

Chakrabarti (1995) já havia indicado em seu trabalho que valores ótimos de incremento de tensão  $\Delta f_{ps}$  são obtidos em elementos com índices de protensão parcial  $PPR$  variando entre 0,25 e 0,70, e taxas de armadura  $\omega_e$  variando entre 0,075 e 0,250.

Inicialmente, então, foram arbitradas quatro lajes protótipo, com as características do modelo idealizado indicadas em 3.2, e com valores dos parâmetros  $A_{ps}$ ,  $A_s$ ,  $f_{pe}$ ,  $f_y$  e  $d_s$  de maneira que índices moderados de  $PPR_e$  e taxas de armadura  $\omega_e$  fossem obtidos. Nestas lajes protótipo, denominadas como *lajes de referência*, foram atribuídos para o parâmetro  $f_y$ , o valor de 50 kN/cm<sup>2</sup> – a tensão de escoamento dos aços nacionais de especificação **CA-50**, usualmente utilizados como armadura passiva; para a altura útil da armadura passiva  $d_s$ , o valor de 17,5 cm e para o parâmetro  $f_{pe}$ , o valor de 152 kN/cm<sup>2</sup> – correspondente a 80 % da tensão de ruptura da armadura de protensão ( $f_{pu}$ ). Os valores dos parâmetros  $A_{ps}$  e  $A_s$  foram atribuídos de forma que resultassem em valores de  $PPR_e$  iguais à 0,30 e 0,70, e valores de  $\omega_e$  iguais a 0,150 e 0,275. As quatro lajes protótipo de referência receberam, portanto, a seguinte nomenclatura, de acordo com os valores de  $PPR_e$  e  $\omega_e$ :

- Laje protótipo **0,30-0,150-152,0-REF** :  $PPR_e = 0,30$  e  $\omega_e = 0,150$
- Laje protótipo **0,30-0,275-152,0-REF** :  $PPR_e = 0,30$  e  $\omega_e = 0,275$
- Laje protótipo **0,70-0,150-152,0-REF** :  $PPR_e = 0,70$  e  $\omega_e = 0,150$
- Laje protótipo **0,70-0,275-152,0-REF** :  $PPR_e = 0,70$  e  $\omega_e = 0,275$

O primeiro índice se refere ao valor de  $PPR_e$  do protótipo. O segundo, indica a taxa de armadura  $\omega_e$ . O terceiro indica o valor da tensão efetiva atribuída ao protótipo. Já o sufixo, indicado pelo quarto índice, representa quais parâmetros internos de  $\omega_e$  estão sendo variados, em cada protótipo, em relação à laje de referência.

Definidos, portanto, os valores dos parâmetros  $f_{pe}$ ,  $f_y$  e  $d_s$ , a combinação das equações (3.1) e (3.2) resulta em valores únicos de áreas de armadura  $A_{ps}$  e  $A_s$  a serem atribuídos às lajes de referência, em função do índice de protensão parcial e taxa de armadura desejados.

Para cada uma das quatro lajes de referência, foram derivados oito grupos de protótipos, em que o valor de um parâmetro individual, ou de um conjunto de parâmetros internos de  $\omega_e$ , foram variados em relação aos valores atribuídos originalmente aos parâmetros das lajes de referência. A classificação destes grupos, efetuada de acordo com quais destes parâmetros tiveram seus valores variados em relação aos dos protótipos de referência, é descrita a seguir.

O primeiro grupo comprehende seis protótipos, que receberam os sufixos de 01 a 06. Os parâmetros  $A_{ps}$ ,  $f_{pe}$  e  $d_s$  foram mantidos iguais aos da laje de referência. Os valores dos parâmetros  $A_s$  e  $f_y$  foram variados em relação aos valores originais da laje de referência em questão. Os valores adotados para os parâmetros foram os seguintes:

- Para  $f_y$ , foram atribuídos os valores de 12,5; 25,0; 37,5; 60,0; 75,0 e 100,0 kN/cm<sup>2</sup>;
- Os parâmetros  $PPR_e$  e  $\omega_e$  foram mantidos iguais aos do protótipo de referência em questão;
- Os valores de  $A_s$  foram determinados em função dos demais parâmetros internos e valores de  $\omega_e$  e  $PPR_e$  adotados.

O segundo grupo comprehende quatro protótipos, que receberam os sufixos de 07 a 10. Os parâmetros  $f_{pe}$  e  $f_y$  foram mantidos iguais aos da laje de referência. Os valores dos parâmetros  $A_{ps}$ ,  $A_s$  e  $d_s$  foram variados em relação aos valores originais da laje de referência em questão. Os valores adotados para os parâmetros foram os seguintes:

- Para  $d_s$ , foram atribuídos os valores de 12,5; 14,0; 15,5 e 19,5 cm;
- Os parâmetros  $PPR_e$  e  $\omega_e$  foram mantidos iguais aos do protótipo de referência em questão;
- Os valores de  $A_{ps}$  e  $A_s$  foram determinados em função dos demais parâmetros internos e valores de  $\omega_e$  e  $PPR_e$  adotados.

O terceiro grupo compreende seis protótipos. Este grupo foi descartado do estudo paramétrico por razões que serão mais adiante expostas. Entretanto, dele depende o entendimento dos valores adotados para os parâmetros do quarto grupo, e por isso ele será aqui descrito. No terceiro grupo, os parâmetros  $A_s$ ,  $f_y$  e  $d_s$  haviam sido mantidos iguais aos da laje de referência. Os valores dos parâmetros  $A_{ps}$  e  $f_{pe}$  haviam sido variados em relação aos valores originais da laje de referência em questão. Os valores adotados para os parâmetros haviam sido os seguintes:

- Para  $f_{pe}$ , haviam sido atribuídos os valores de 40,0; 76,0; 95,0; 123,5; 171,0 e 182,5 kN/cm<sup>2</sup>;
- Os parâmetros  $PPR_e$  e  $\omega_e$  haviam sido mantidos iguais aos do protótipo de referência em questão;
- Os valores de  $A_{ps}$  haviam sido determinados em função dos demais parâmetros internos e valores de  $\omega_e$  e  $PPR_e$  adotados.

O quarto grupo compreende seis protótipos, que receberam os sufixos de 11 a 16. Os parâmetros  $A_s$ ,  $f_{pe}$ ,  $f_y$  e  $d_s$  foram mantidos iguais aos da laje de referência. Os valores do parâmetro  $A_{ps}$  foram variados em relação aos valores originais da laje de referência em questão. Os valores adotados para os parâmetros foram os seguintes:

- Para  $A_{ps}$ , foram atribuídos os mesmos valores que haviam sido determinados para este parâmetro, no terceiro grupo;
- Os valores de  $PPR_e$  e  $\omega_e$  foram resultado da combinação dos parâmetros internos adotados.

O quinto grupo compreende seis protótipos, que receberam os sufixos de 17 a 22. Os parâmetros  $A_{ps}$ ,  $f_{pe}$ ,  $f_y$  e  $d_s$  foram mantidos iguais aos da laje de referência. Os valores do parâmetro  $A_s$  foram variados em relação aos valores originais da laje de referência em questão. Os valores adotados para os parâmetros foram os seguintes:

- Para  $A_s$ , foram atribuídos os mesmos valores que haviam sido determinados para este parâmetro, no primeiro grupo;
- Os valores de  $PPR_e$  e  $\omega_e$  foram resultado da combinação dos parâmetros internos adotados.

O sexto grupo compreende seis protótipos, que receberam os sufixos de 23 a 28. Os parâmetros  $A_{ps}$ ,  $A_s$ ,  $f_{pe}$  e  $d_s$  foram mantidos iguais aos da laje de referência. Os valores do parâmetro  $f_y$  foram variados em relação aos valores originais da laje de referência em questão. Os valores adotados para os parâmetros foram os seguintes:

- Para  $f_y$ , foram atribuídos os mesmos valores que haviam sido determinados para este parâmetro, no primeiro grupo: 12,5; 25,0; 37,5; 60,0; 75,0 e 100,0 kN/cm<sup>2</sup>;
- Os valores de  $PPR_e$  e  $\omega_e$  foram resultado da combinação dos parâmetros internos adotados.

O sétimo grupo compreende quatro protótipos, que receberam os sufixos de 29 a 32. Os parâmetros  $A_{ps}$ ,  $A_s$ ,  $f_{pe}$  e  $f_y$  foram mantidos iguais aos da laje de referência. Os valores do parâmetro  $d_s$  foram variados em relação aos valores originais da laje de referência em questão. Os valores adotados para os parâmetros foram os seguintes:

- Para  $d_s$ , foram atribuídos os mesmos valores que haviam sido determinados para este parâmetro, no segundo grupo: 12,5; 14,0; 15,5 e 19,5 cm;
- Os valores de  $PPR_e$  e  $\omega_e$  foram resultado da combinação dos parâmetros internos adotados.

Portanto, cada uma das quatro lajes protótipo, com igual tensão efetiva  $f_{pe}$  equivalente a 152,0 kN/cm<sup>2</sup>, deu origem a mais 32 protótipos, onde a variação paramétrica se deu da maneira apresentada acima. A tabela 3.2 exemplifica a aplicação dos critérios de parametrização apresentados, onde estes 32 protótipos foram derivados da laje protótipo de referência **0,30-0,150-152,0-REF**.

Tabela 3.2 – Exemplo de parametrização dos protótipos: valores de parâmetros internos de  $\omega_e$  derivados da laje protótipo de referência  
**0,30-0,150-152,0-REF**

Grupo	Laje protótipo	$f_{pe}$ [kN/cm <sup>2</sup> ]	$f_y$ [kN/cm <sup>2</sup> ]	$d_s$ [cm]	$A_{ps}$ [cm <sup>2</sup> ]	$A_s$ [cm <sup>2</sup> ]	$PPR_e$	$\omega_e$	Parâmetro variante em relação à laje protótipo de ref.
Referência	0,30-0,150-152,0-REF	152,0	50,0	17,5	2,00	14,19	0,30	0,150	-
1	0,30-0,150-152,0-01	152,0	<b>12,5</b>	17,5	2,00	<b>56,75</b>	0,30	0,150	$A_s, f_y$
	0,30-0,150-152,0-02	152,0	<b>25,0</b>	17,5	2,00	<b>28,37</b>	0,30	0,150	
	0,30-0,150-152,0-03	152,0	<b>37,5</b>	17,5	2,00	<b>18,92</b>	0,30	0,150	
	0,30-0,150-152,0-04	152,0	<b>60,0</b>	17,5	2,00	<b>11,82</b>	0,30	0,150	
	0,30-0,150-152,0-05	152,0	<b>75,0</b>	17,5	2,00	<b>9,46</b>	0,30	0,150	
	0,30-0,150-152,0-06	152,0	<b>100,0</b>	17,5	2,00	<b>7,09</b>	0,30	0,150	
2	0,30-0,150-152,0-07	152,0	50,0	<b>12,5</b>	<b>1,57</b>	<b>11,14</b>	0,30	0,150	$A_{ps}, A_s, d_s$
	0,30-0,150-152,0-08	152,0	50,0	<b>14,0</b>	<b>1,71</b>	<b>12,13</b>	0,30	0,150	
	0,30-0,150-152,0-09	152,0	50,0	<b>15,5</b>	<b>1,84</b>	<b>13,05</b>	0,30	0,150	
	0,30-0,150-152,0-10	152,0	50,0	<b>19,5</b>	<b>2,14</b>	<b>15,18</b>	0,30	0,150	
4	0,30-0,150-152,0-11	152,0	50,0	17,5	<b>7,60</b>	14,19	0,62	0,288	$A_{ps}$
	0,30-0,150-152,0-12	152,0	50,0	17,5	<b>4,00</b>	14,19	0,46	0,199	
	0,30-0,150-152,0-13	152,0	50,0	17,5	<b>3,20</b>	14,19	0,41	0,180	
	0,30-0,150-152,0-14	152,0	50,0	17,5	<b>2,46</b>	14,19	0,35	0,162	
	0,30-0,150-152,0-15	152,0	50,0	17,5	<b>1,78</b>	14,19	0,28	0,145	
	0,30-0,150-152,0-16	152,0	50,0	17,5	<b>1,67</b>	14,19	0,26	0,142	
5	0,30-0,150-152,0-17	152,0	50,0	17,5	2,00	<b>56,75</b>	0,10	0,454	$A_s$
	0,30-0,150-152,0-18	152,0	50,0	17,5	2,00	<b>28,37</b>	0,18	0,252	
	0,30-0,150-152,0-19	152,0	50,0	17,5	2,00	<b>18,92</b>	0,24	0,184	
	0,30-0,150-152,0-20	152,0	50,0	17,5	2,00	<b>11,82</b>	0,34	0,133	
	0,30-0,150-152,0-21	152,0	50,0	17,5	2,00	<b>9,46</b>	0,39	0,117	
	0,30-0,150-152,0-22	152,0	50,0	17,5	2,00	<b>7,09</b>	0,46	0,100	
6	0,30-0,150-152,0-23	152,0	<b>12,5</b>	17,5	2,00	14,19	0,63	0,074	$f_y$
	0,30-0,150-152,0-24	152,0	<b>25,0</b>	17,5	2,00	14,19	0,46	0,100	
	0,30-0,150-152,0-25	152,0	<b>37,5</b>	17,5	2,00	14,19	0,36	0,125	
	0,30-0,150-152,0-26	152,0	<b>60,0</b>	17,5	2,00	14,19	0,26	0,171	
	0,30-0,150-152,0-27	152,0	<b>75,0</b>	17,5	2,00	14,19	0,22	0,201	
	0,30-0,150-152,0-28	152,0	<b>100,0</b>	17,5	2,00	14,19	0,18	0,252	
7	0,30-0,150-152,0-29	152,0	50,0	<b>12,5</b>	2,00	14,19	0,30	0,191	$d_s$
	0,30-0,150-152,0-30	152,0	50,0	<b>14,0</b>	2,00	14,19	0,30	0,176	
	0,30-0,150-152,0-31	152,0	50,0	<b>15,5</b>	2,00	14,19	0,30	0,163	
	0,30-0,150-152,0-32	152,0	50,0	<b>19,5</b>	2,00	14,19	0,30	0,140	

Foi identificado no início do processo de análise, que os protótipos com tensões efetivas de protensão distintas do valor de 152,0 kN/cm<sup>2</sup> apresentavam comportamento bastante diferenciado, no que se refere ao valor de  $\Delta f_{ps}$  obtido. O terceiro grupo, originalmente concebido para o estudo do parâmetro  $f_{pe}$ , foi então abandonado, e o parâmetro  $f_{pe}$  passou a ser

tratado como um parâmetro principal, em nível equivalente aos parâmetros  $l/d_p$  e tipo de carregamento.

Dessa maneira, foram adotados, além de 152,0 kN/cm<sup>2</sup>, outros três valores de  $f_{pe}$  para estudo:

- $f_{pe} = 112,5$  kN/cm<sup>2</sup>: o valor máximo de tensão permitido pela norma NBR 6118 (ABNT, 2003) para armaduras pós-tracionadas, por ocasião da protensão, é equivalente a  $0,74f_{pu}$ , correspondendo a 140,6 kN/cm<sup>2</sup> para o aço **CP-190RB** ( $0,74 \times 190,0 = 140,6$ ). Considerando, para a tensão efetiva após as perdas progressivas por fluência e relaxação, uma queda de 20 % na tensão, é obtido o valor de 112,5 kN/cm<sup>2</sup> ( $0,80 \times 140,6 = 112,5$ ).
- $f_{pe} = 132,3$  e 92,7 kN/cm<sup>2</sup>: valores interpolados linearmente, considerando os valores pré-estabelecidos de 152,0 e 112,5 kN/cm<sup>2</sup>.

Foram concebidas outras quatro lajes protótipo de referência para cada um destes valores de  $f_{pe}$ , segundo os mesmos critérios utilizados para as lajes protótipo de referência originais – com  $f_{pe} = 152,0$  kN/cm<sup>2</sup> – conforme apresentado a seguir:

- As lajes protótipo de referência **0,30-0,150-132,3-REF**; **0,30-0,275-132,3-REF**; **0,70-0,150-132,3-REF** e **0,70-0,275-132,3-REF** para a tensão  $f_{pe} = 132,3$  kN/cm<sup>2</sup>. Cada uma destas quatro lajes originou 32 protótipos, sufixos 01 à 32, com valores dos parâmetros internos de  $\omega_e$  parametrizados segundo os critérios utilizados nos protótipos com  $f_{pe} = 152,0$  kN/cm<sup>2</sup>, descritos anteriormente.
- As lajes protótipo de referência **0,30-0,150-112,5-REF**; **0,30-0,275-112,5-REF**; **0,70-0,150-112,5-REF** e **0,70-0,275-112,5-REF** para a tensão  $f_{pe} = 112,5$  kN/cm<sup>2</sup>. Cada uma destas quatro lajes originou 32 protótipos, sufixos 01 à 32, com valores dos parâmetros internos de  $\omega_e$  parametrizados segundo os critérios utilizados nos protótipos com  $f_{pe} = 152,0$  kN/cm<sup>2</sup>, descritos anteriormente.
- As lajes protótipo de referência **0,30-0,150-92,7-REF**; **0,30-0,275-92,7-REF**; **0,70-0,150-92,7-REF** e **0,70-0,275-92,7-REF** para a tensão  $f_{pe} = 92,7$  kN/cm<sup>2</sup>. Cada uma destas quatro lajes originou 32 protótipos, sufixos 01 à 32, com valores dos parâmetros internos de  $\omega_e$  parametrizados segundo os critérios utilizados nos protótipos com  $f_{pe} = 152,0$  kN/cm<sup>2</sup>, descritos anteriormente.

Considerando, portanto, os 32 protótipos derivados de cada uma das 4 lajes protótipo de referência, que por sua vez foram derivadas de 4 valores distintos de tensão efetiva, obteve-se o total de 528 ( $33 \times 4 \times 4 = 528$ ) lajes protótipo, somente para a variação dos parâmetros internos de  $\omega_e$ .

Na tabela 3.3 encontram-se os intervalos de valores utilizados na variação de cada parâmetro interno de  $\omega_e$ , à exceção do parâmetro  $f_{pe}$ , para os quais foram atribuídos os quatro valores descritos anteriormente, e os intervalos de variação de valores dos parâmetros  $\omega_e$  e  $PPR_e$  resultantes, considerando todos os protótipos de pesquisa.

Tabela 3.3 – Intervalos de variação dos parâmetros internos de  $\omega_e$  e envoltória dos valores de  $\omega_e$  e  $PPR_e$  resultantes

	Parâmetro	valor mínimo	valor máximo
Parâmetros internos de $\omega_e$	$f_y$ [kN/cm <sup>2</sup> ]	12,5	100,0
	$d_s$ [cm]	12,5	19,5
	$A_{ps}$ [cm <sup>2</sup> ]	1,57	30,90
	$A_s$ [cm <sup>2</sup> ]	2,88	104,00
Parâmetros principais	$PPR_e$	0,10	0,90
	$\omega_e$	0,074	0,832

### 3.3.2 Índice de Esbeltez à Flexão ( $l/d_p$ )

A influência do índice de esbeltez à flexão no valor de  $\Delta f_{ps}$  foi pesquisada variando-se o comprimento de vão  $l$ , já que o parâmetro  $d_p$  foi mantido constante, em todos os protótipos, em 15,5 cm. Três foram os índices de esbeltez à flexão estudados, resultantes dos respectivos vãos adotados:

- $l/d_p = 21,7$ ; comprimento do vão  $l = 336$  cm ( $336,0 / 15,5 = 21,7$ )
- $l/d_p = 38,7$ ; comprimento do vão  $l = 600$  cm ( $600,0 / 15,5 = 38,7$ )
- $l/d_p = 55,7$ ; comprimento do vão  $l = 864$  cm ( $864 / 15,5 = 55,7$ )

A figura 3.3 apresenta esquematicamente o perfil longitudinal dos protótipos modelo representativos de cada um dos índices de esbeltez de estudo.

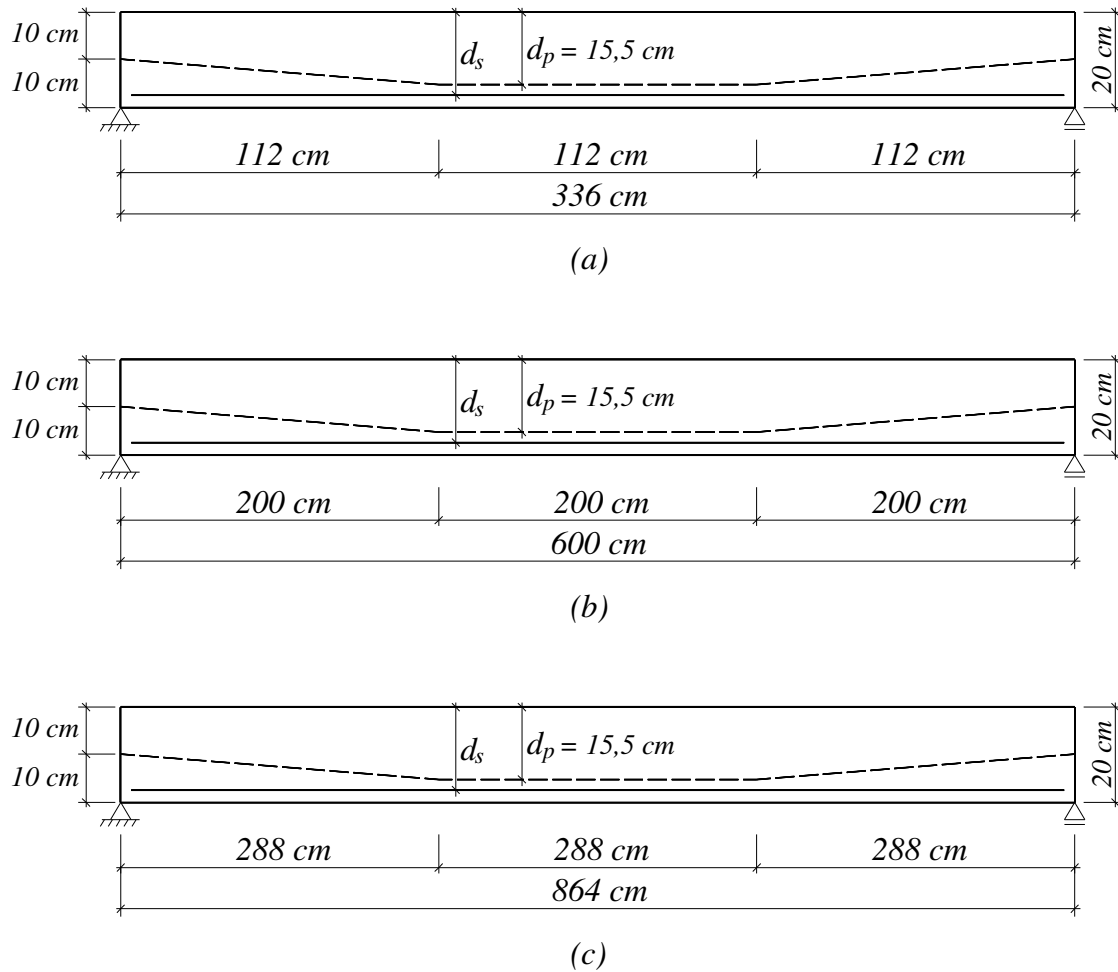


Figura 3.3 – Configurações dos protótipos modelo para o estudo da esbeltez à flexão: a)  $l/d_p = 21,7$ ; b)  $l/d_p = 38,7$ ; c)  $l/d_p = 55,7$

A cada protótipo estabelecido conforme os critérios de parametrização do item 3.3.1, foram então atribuídos três índices de esbeltez à flexão distintos, originando um total de 1584 ( $528 \times 3 = 1584$ ) lajes protótipo, para o estudo dos parâmetros internos de  $\omega_e$  e índice de esbeltez à flexão, combinados.

### 3.3.3 Tipo de Carregamento

Três foram as configurações de carregamento estudadas, indicadas na figura 3.4:

- Cargas concentradas nos terços médios de vão, indicada na figura 3.4 (a);
- Carga concentrada no centro do vão, indicada na figura 3.4 (b);
- Carregamento distribuído, indicada na figura 3.4 (c).

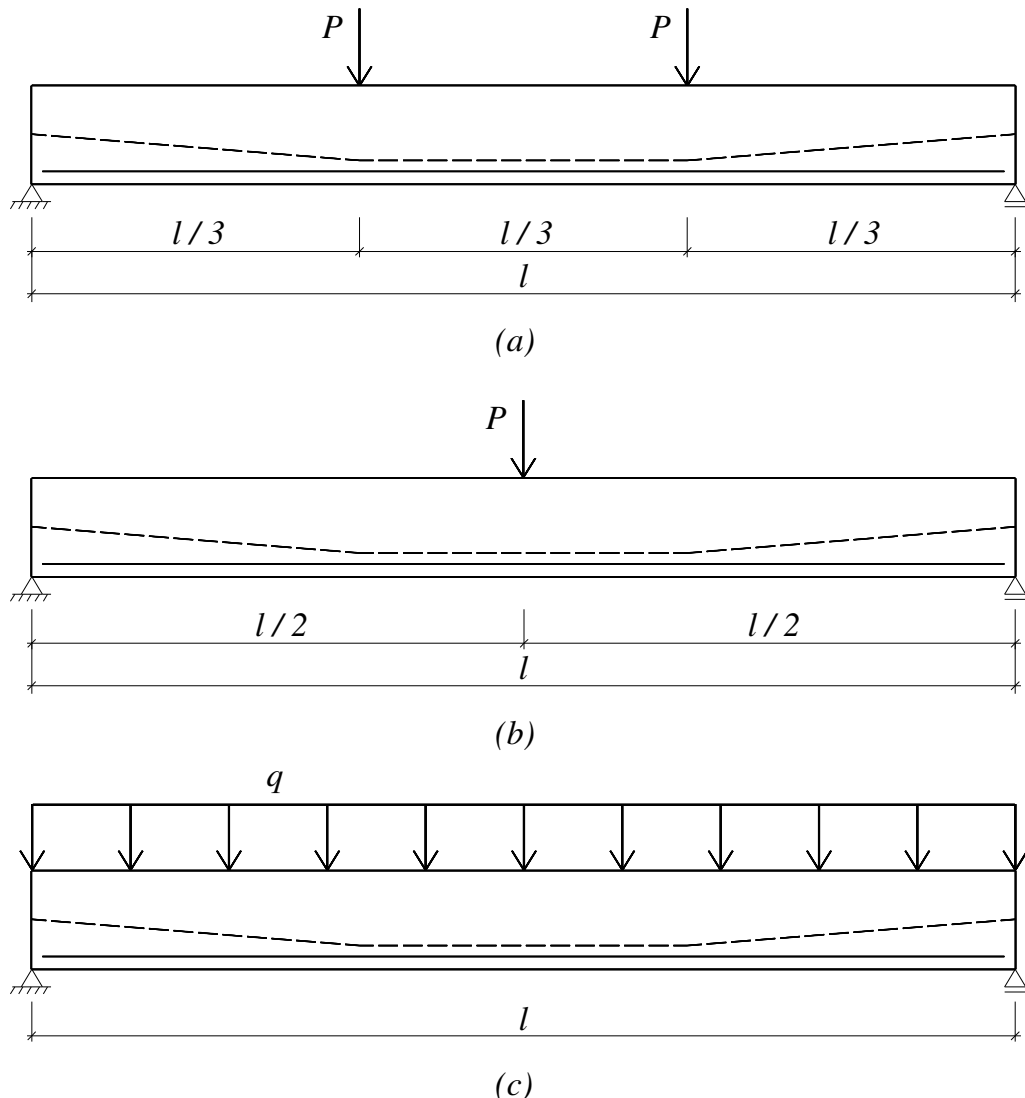


Figura 3.4 – Configurações de carregamento estudadas: a) Cargas nos terços médios; b) carga concentrada; c) carregamento distribuído

A cada protótipo estabelecido conforme os itens 3.3.1 e 3.3.2, foram atribuídas as três configurações de carregamento neste item especificadas, exceto para protótipos com índice de esbeltez 38,7, onde o carregamento distribuído não foi estudado. Entretanto, duas configurações distintas representando carregamento distribuído, conforme descrito mais adiante em 3.4.3, foram aplicadas para protótipos com índice de esbeltez à flexão iguais a 21,7.

Resultaram, assim, um total de 4752 ( $1584 \times 3 = 4752$ ) protótipos analisados, correspondendo ao estudo dos parâmetros internos de  $\omega_e$ , índice de esbeltez à flexão e tipo de carregamento, combinados entre si.

As configurações apresentadas na figura 3.4 constituem-se de modelos ideais representativos do tipo de carregamento estudado. Entretanto, a modelagem do tipo de carregamento simulada durante a análise numérica não corresponde exatamente aos modelos ilustrados acima. Por razões devidas ao próprio processo da análise numérica, foram efetuadas alterações nas configurações de carregamento, sob forma de configurações de carregamento equivalente. As justificativas e descrição dos modelos equivalentes são dadas no item a seguir.

### 3.4 Modelos Analíticos Adotados

Por modelos analíticos, se entendem os arranjos de carregamento equivalentes, aplicados aos modelos numéricos, a fim de representar a forma real como a estrutura se plastifica sob carregamento, no Estado Limite Último. Conforme já retratado em 2.1.1 e 2.1.3, inúmeros autores observam que um elemento submetido a duas cargas concentradas afastadas de uma certa distância  $L_o$ , desde que armados com uma quantidade mínima de armadura passiva, apresentam no Estado Limite Último, uma zona plastificada que compreende toda a região entre as cargas. Esta região pode inclusive estender-se além da zona de momentos fletores praticamente constantes, entre as cargas, devido à influência do esforço cortante. Elementos submetidos a carregamento distribuído também podem apresentar uma região plastificada de comprimento considerável (Dilger, 1966; Harajli, 1990; Naaman e Alkhairi, 1991b).

Entretanto, durante a análise numérica dos protótipos modelo, observou-se que a extensão da zona plastificada não compreendia a região entre as cargas, mas sim, apenas uma única seção

transversal, onde era atuante o momento fletor máximo. O carregamento vertical aplicado compunha-se de carga distribuída, correspondente ao peso próprio do elemento, e carga accidental, de acordo com o tipo de carregamento estudado. O carregamento de peso próprio era aplicado simultaneamente com o carregamento de protensão, no início da análise. Considerando, por exemplo, a situação de estudo do carregamento nos terços médios, o carregamento distribuído de peso próprio fez com que, na região entre cargas, o diagrama de momentos fletores não fosse constante. O pequeno acréscimo de momento fletor na seção central, em relação à seção do terço médio do vão, fez com que a armadura passiva, na seção central, atingisse o escoamento antes das demais seções. Atingido o escoamento da armadura passiva, o mecanismo de rótula plástica era consumado, a partir do qual as rotações ocorriam apenas nesta seção central, até a ruptura, sem qualquer incremento de deformação da armadura passiva em outro ponto do elemento. Este comportamento teórico, portanto, não corresponde à situação real de plastificação no Estado Limite Último.

A figura 3.5 ilustra a formação da rótula plástica concentrada, na análise numérica de um elemento submetido a carregamento nos terços médios, devido ao carregamento distribuído de peso próprio, comparada à situação real onde toda a zona entre cargas se plastifica.

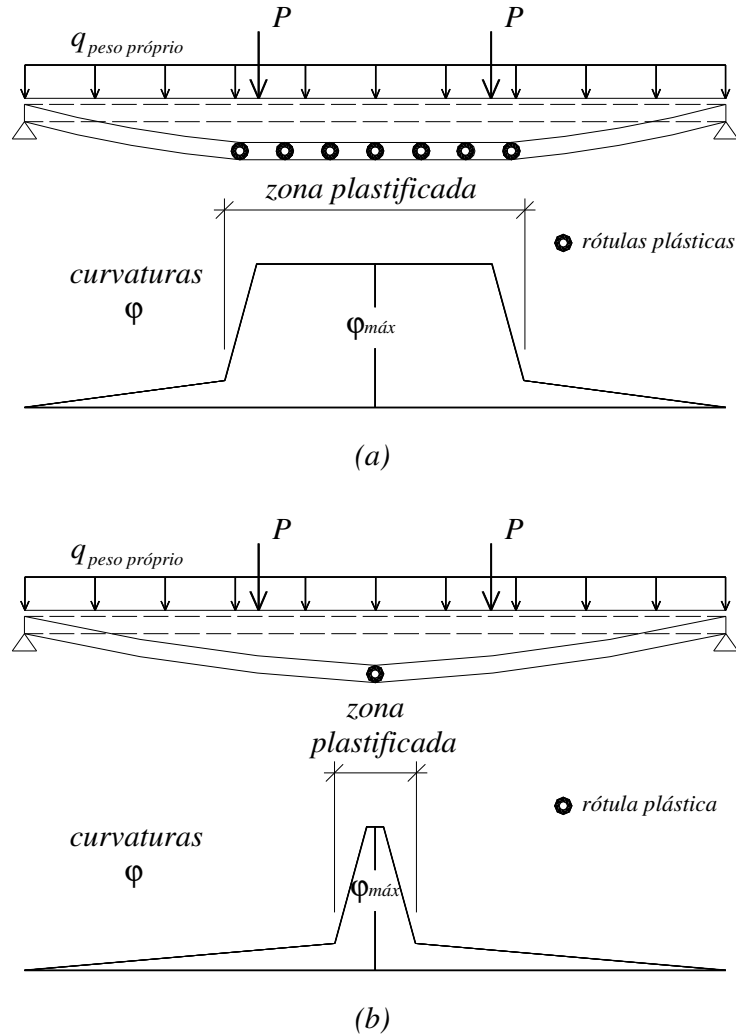


Figura 3.5 – Formação do mecanismo de rótulas plásticas e diagrama de curvaturas no Estado Limite Último: *a)* Situação observada em análises experimentais; *b)* Análise numérica teórica, com consideração do peso próprio como carga distribuída

Foram elaboradas então, configurações de carregamento de peso próprio equivalentes, em que o carregamento de peso próprio fosse aplicado de maneira que o diagrama de momentos fletores resultasse constante na zona plastificada, e similar ao diagrama real oriundo do peso próprio aplicado como carga distribuída. A seguir, serão descritos estes carregamentos equivalentes, separadamente para cada tipo de carregamento em estudo. Os chamados **carregamentos de análise** serão também apresentados. Estes são os carregamentos

responsáveis pelo desenvolvimento do incremento de tensão  $\Delta f_{ps}$ , sendo aplicados após a carga de protensão e incrementados até a ruptura do protótipo, no Estado Limite Último.

### 3.4.1 Carregamento nos Terços Médios

O carregamento real de peso próprio, distribuído, foi substituído por duas cargas concentradas nos terços médios. O valor destas cargas foi calculado de forma que o diagrama de momentos fletores resultasse similar ao diagrama real. Foi estipulado que estas cargas equivalentes deveriam produzir um valor de momento fletor constante, ao longo de todo o terço médio, equivalente à média dos momentos fletores reais, entre o centro e o terço médio do vão. A comparação entre o diagrama de momentos fletores devido ao peso próprio como carga distribuída ( $q_{pp}$ ) e devido às cargas equivalentes ( $P_{eq}$ ) é apresentada na figura 3.6.

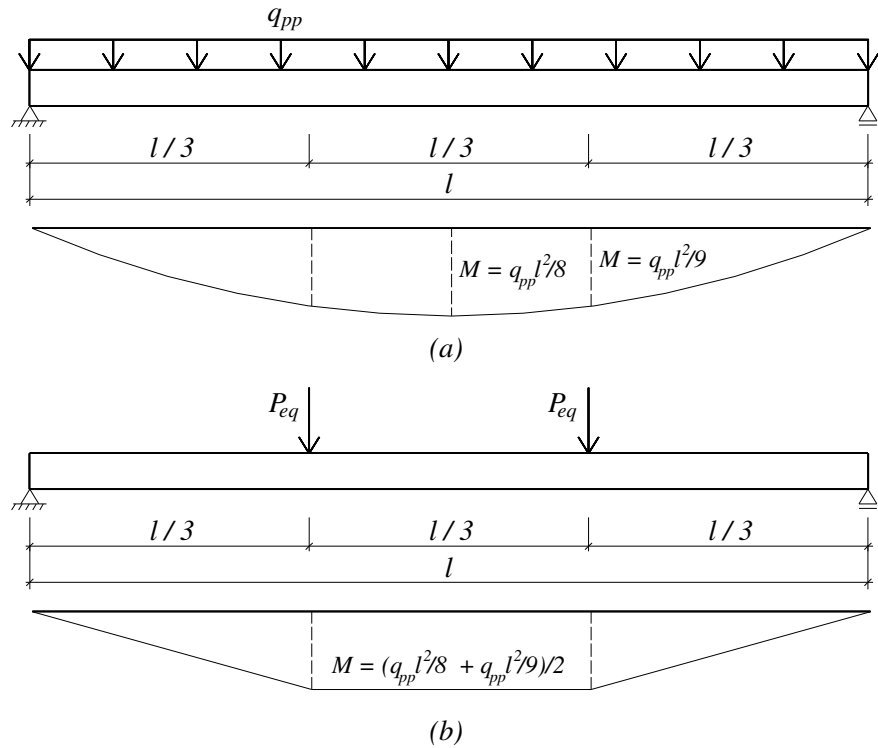


Figura 3.6 – Diagrama de momentos fletores devido ao peso próprio do elemento: a) Devido ao carregamento distribuído real  $q_{pp}$ ; b) Devido às cargas  $P_{eq}$

Dessa maneira, a carga  $P_{eq}$  pôde ser calculada, em função da carga  $q_{pp}$  e do vão  $l$ , pela equação (3.3).

$$P_{eq} \frac{l}{3} = \frac{1}{2} \left( \frac{q_{pp} l^2}{8} + \frac{q_{pp} l^2}{9} \right) \therefore P_{eq} = 0,354 q_{pp} l \quad (3.3)$$

O valor da carga  $P_{eq}$  adotada foi, considerando que a carga  $q_{pp}$  é igual a 5,0 kN/m (25,0 kN/m<sup>3</sup> x 0,20 m x 1,0 m = 5,0 kN/m), de 5,95 kN, 10,62 kN e 15,29 kN, para as esbelteses dos protótipos 21,7, 38,7 e 55,7, respectivamente.

Resultados de análises dos protótipos de referência mostraram uma diferença máxima próxima de 0,5 % no valor de  $f_{ps}$ , entre os obtidos com a consideração de peso próprio por meio da carga  $P_{eq}$ , e sem a consideração da carga de peso próprio. Percebe-se a pouca influência do carregamento de peso próprio no valor de  $f_{ps}$  e, portanto, a adequação da aproximação do carregamento real de peso próprio por meio de  $P_{eq}$ .

A modelagem do carregamento de análise constituiu-se de cargas concentradas aplicadas também nos terços médios de vão. As distâncias estipuladas entre as cargas aplicadas nos protótipos com carregamento nos terços médios foram, então, iguais a 112 cm, 200 cm e 288 cm, para índices de esbeltez de 21,7, 38,7 e 55,7, respectivamente.

Observa-se que não foi considerado nenhum aumento do comprimento da zona plastificada por conta das fissuras inclinadas devidas ao esforço cortante. Resultados de análises dos protótipos de referência mostram uma diferença máxima de 3 % no valor final de  $f_{ps}$ , obtida para a esbeltez 21,7, entre esta modelagem e outra modelagem onde o comprimento da zona plastificada foi acrescido, mediante afastamento entre cargas, de uma distância igual à  $d_p$ .

### 3.4.2 Carregamento Concentrado

Primeiramente será descrito como foi aplicado o carregamento de análise, e, após, como foi aplicado o carregamento de peso próprio equivalente.

Problemas de convergência na análise numérica foram encontrados, mediante aplicação de uma única carga concentrada no centro do vão. Levando em conta, também, que cargas concentradas, em uma situação real, geralmente são aplicadas sobre um dado comprimento do elemento, optou-se pela aplicação de duas cargas concentradas afastadas de uma pequena distância, e eqüidistantes do centro do vão. Este afastamento entre as cargas foi estipulado no valor de 5 % do comprimento do vão  $l$ . Este valor foi considerado suficientemente pequeno e adequado, tendo em vista o ganho em protótipos convergentes na análise. A figura 3.7 apresenta a modelagem do carregamento de análise adotada para o estudo de carregamento concentrado.

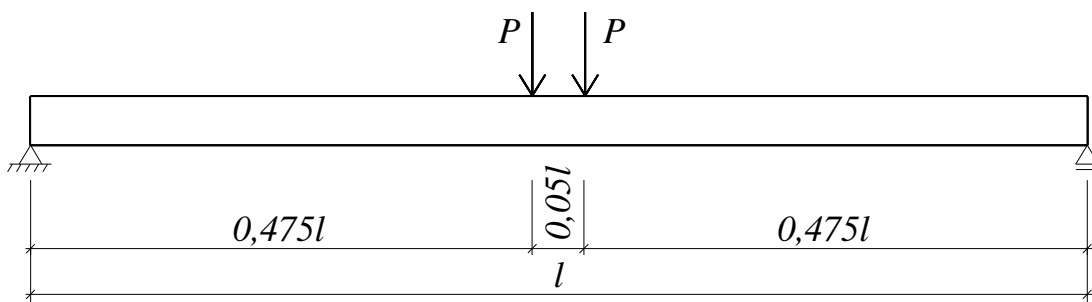


Figura 3.7 – Modelagem utilizada no estudo do carregamento concentrado, por meio de cargas afastadas de  $0,05l$

As distâncias estipuladas entre as cargas aplicadas nos protótipos com carregamento concentrado foram, então, iguais a 17 cm, 30 cm e 43 cm, para índices de esbeltez de 21,7, 38,7 e 55,7, respectivamente.

Novamente, não foi considerado nenhum afastamento adicional entre cargas, para simulação do aumento da zona plastificada, devido à influência do esforço cortante. A análise dos protótipos de referência revelou uma diferença máxima de 4 % no valor final de  $f_{ps}$ , obtida novamente para a esbeltez 21,7, entre esta modelagem de análise adotada e outra modelagem onde o comprimento da zona plastificada foi acrescido, mediante afastamento entre cargas, de uma distância igual à  $d_p$ .

O carregamento equivalente de peso próprio foi elaborado de maneira semelhante a do estudo do carregamento nos terços médios. Duas cargas  $P_{eq}$  foram aplicadas nos mesmos pontos estipulados para o carregamento de análise, portanto, afastadas de  $0,05l$  e eqüidistantes do centro do vão. Foi estipulado que estas cargas deveriam produzir um diagrama de momentos

fletores constantes entre as mesmas, de valor equivalente ao momento fletor máximo devido ao carregamento distribuído real de peso próprio. A carga  $P_{eq}$  pôde ser então calculada, em função da carga  $q_{pp}$  e do vão  $l$ , pela equação (3.4).

$$P_{eq} \left( \frac{1 - 0,05}{2} l \right) = \frac{q_{pp} l^2}{8} \therefore P_{eq} = 0,263 q_{pp} l \quad (3.4)$$

O valor da carga  $P_{eq}$  adotada foi de 4,42 kN, 7,89 kN e 11,36 kN, para as esbeltezes dos protótipos 21,7, 38,7 e 55,7, respectivamente.

Resultados de análises dos protótipos de referência mostraram uma diferença máxima também próxima de 0,5 % no valor de  $f_{ps}$ , entre os obtidos com a consideração de peso próprio por meio da carga  $P_{eq}$ , e sem a consideração da carga de peso próprio. Percebe-se a pouca influência do carregamento de peso próprio no valor de  $\Delta f_{ps}$  e, portanto, a adequação da aproximação do carregamento real de peso próprio por meio de  $P_{eq}$ .

### 3.4.3 Carregamento Distribuído

Elementos submetidos a carregamento distribuído também desenvolvem um certo comprimento de região plastificada, no Estado Limite Último (Dilger, 1966; Harajli, 1990; Naaman e Alkhairi, 1991b). Tendo em vista o problema da plastificação da seção central somente, devido a cargas distribuídas – descrito no item 3.4 – surgiu a necessidade de modelar o carregamento distribuído por meio de outro equivalente, em que fosse obtida uma região de diagrama de momentos fletores constantes.

Para tal, foi elaborada uma configuração de carregamento com cargas concentradas ( $P_{dist}$ ) delimitando a zona de momentos fletores constantes. O carregamento distribuído foi também retirado desta região, sendo aplicado somente fora da zona plastificada, conforme a figura 3.8 (b). O valor da carga  $P_{dist}$  foi determinado de maneira que os momentos fletores constantes da zona plastificada fossem equivalentes ao momento fletor máximo atuante no elemento, submetido ao carregamento distribuído real, conforme indicado na figura 3.8 (a).

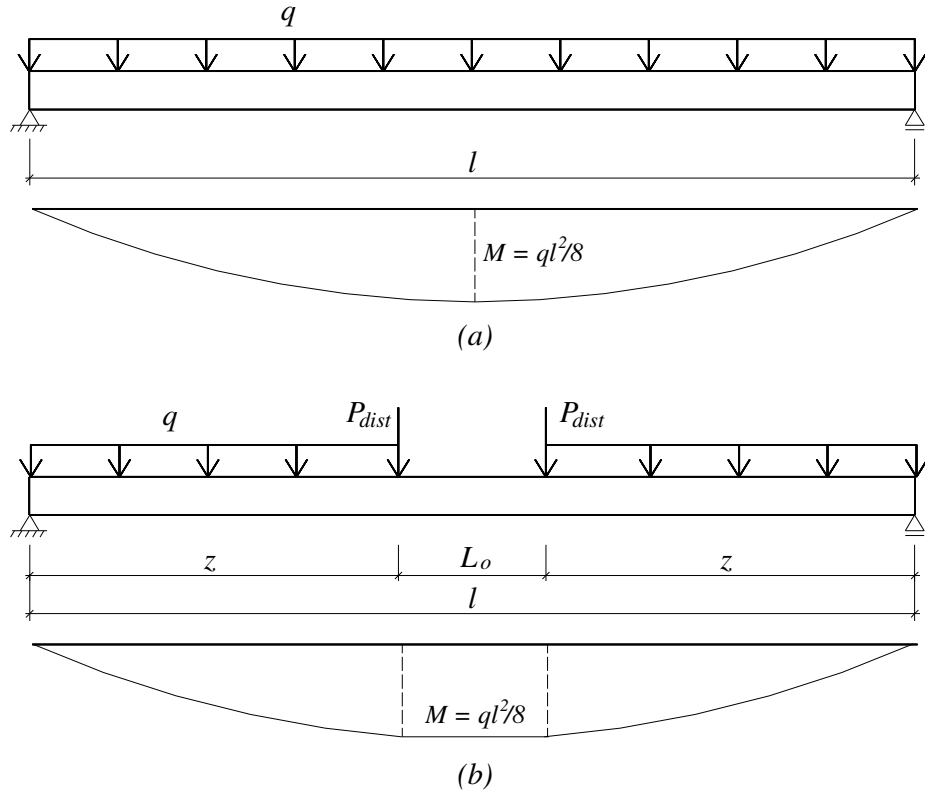


Figura 3.8 – Carregamentos e diagramas de momentos fletores:

a) Carregamento distribuído real; b) Carregamento equivalente com cargas concentradas  $P_{dist}$

O valor de  $P_{dist}$  pôde ser calculado, em função do carregamento distribuído  $q$  e do afastamento entre cargas  $L_o$  – este parâmetro também representativo da região onde a plastificação é desejada – pela equação (3.5).

$$(P_{dist} + qz)z - 0,5qz^2 = \frac{ql^2}{8} \quad \therefore \quad P_{dist} = \frac{ql^2}{8z} - 0,5qz \quad (3.5)$$

onde:

$$z = (l - L_o) / 2$$

O carregamento uniformemente distribuído de peso próprio foi substituído pelo carregamento equivalente acima descrito.

Para o comprimento  $L_o$  foi adotado o valor de 1/6 do comprimento do vão  $l$ , critério equivalente ao método elaborado por Harajli e Hijazi (1991), e descrito em 2.1.3. Protótipos com índices de esbeltez à flexão iguais a 38,7, e submetidos a carregamento distribuído, não foram estudados, pelas razões detalhadas no Capítulo 4. Resultaram, então, as modelagens para estudo de protótipos com carregamento distribuído indicadas na figura 3.9 (a) e (b), para índices de esbeltez iguais a 21,7 e 55,7, respectivamente.

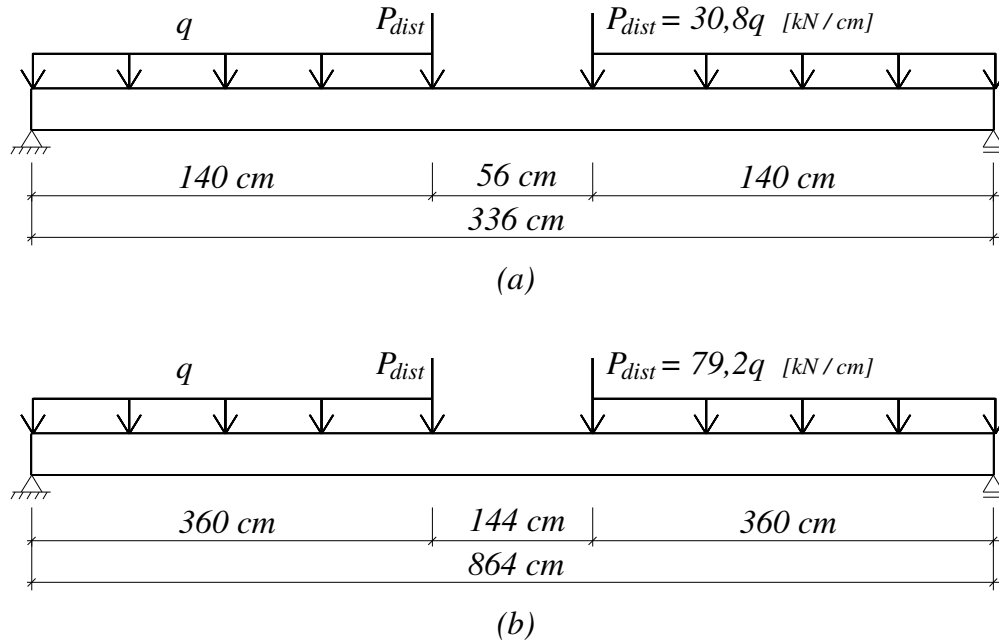


Figura 3.9 – Modelagens utilizadas para estudo de protótipos com carregamento distribuído, para  $L_o = l / 6$ : a)  $l/d_p = 21,7$ ; b)  $l/d_p = 55,7$

A equação (3.6) indica que a área total do diagrama de momentos fletores obtida na modelagem indicada na figura 3.9, é 2 % maior que a obtida com a aplicação do carregamento distribuído real ao longo de todo elemento. Considerando apenas a zona plastificada, de maior importância para o desenvolvimento de  $\Delta f_{ps}$ , a diferença diminui para 0,9 %. Isto é válido para ambos os índices de esbeltez à flexão estudados.

$$\frac{\int_0^l M(x)_{adotado} dx}{\int_0^l M(x)_{real} dx} = 1,02 \quad (3.6)$$

onde:

$M(x)_{adotado}$ : diagrama de momentos fletores dos modelos indicados na figura 3.9

$M(x)_{real}$ : diagrama de momentos fletores obtido com carregamento distribuído real

Protótipos com  $l/d_p = 21,7$  e carregamento distribuído foram ainda analisados com a consideração de  $L_o = 0,05l$  – mesmo comprimento de zona plástica adotado para protótipos com carga concentrada. O principal objetivo foi estabelecer a influência do acréscimo de deformações provocado pelo carregamento distribuído, na região externa à região plastificada, em comparação com o carregamento concentrado. Dessa maneira, mais uma modelagem, indicada pela figura 3.10, foi elaborada.

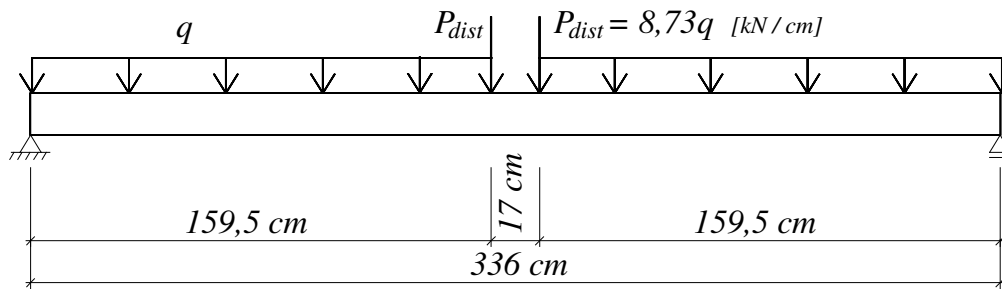


Figura 3.10 - Modelagem utilizada para estudo de protótipos com carregamento distribuído, para  $L_o = l / 20$  e  $l/d_p = 21,7$

Neste caso, a área total do diagrama de momentos fletores obtida na modelagem indicada na figura 3.10, é 0,2 % maior que a obtida com a aplicação do carregamento distribuído real, ao longo de todo elemento.

### 3.5 Modelo Numérico Adotado

Para realização da análise das lajes protótipo idealizadas, foi utilizado o modelo numérico de Barbieri (2003). Este modelo foi elaborado para análise à flexão de elementos de pórtico plano, utilizando o método dos elementos finitos. A seguir, serão descritos brevemente, o método de análise do modelo e como foi realizada a idealização da estrutura. Aquelas relações constitutivas adotadas para os materiais, pertinentes a esta pesquisa, serão também abordadas. Por fim, serão apresentados resultados da realização de um teste de validação do modelo, por meio de comparação com dados experimentais disponíveis na literatura. As propriedades do modelo numérico são detalhadas minuciosamente pelo seu autor, no trabalho de doutoramento (Barbieri, 2003).

#### 3.5.1 Método de Análise do Modelo Numérico

Uma das principais abordagens para a análise de problemas estruturais é o Método dos Elementos Finitos. Formulações deste tipo baseiam-se, normalmente, na adoção de formas aproximadas para a variação de determinadas incógnitas no interior de um elemento. Para as estruturas de pórticos, as abordagens tradicionais consideram funções arbitrárias para a interpolação dos deslocamentos. A partir destes resultados, obtidos, portanto, com algum nível de erro intrínseco, determinam-se as demais respostas ao longo da barra, como deformações, tensões e solicitações. As funções de interpolação adotadas para determinação dos deslocamentos transversais de barras de pórticos são, geralmente, na forma de polinômios cúbicos. Isto resulta em uma distribuição de curvaturas lineares, ao longo dos elementos. Por consequência, quando o diagrama de momentos fletores é não-linear, os elementos devem ser diminuídos até que a variação das curvaturas no seu interior seja aproximadamente linear e a imprecisão, então, diminuída (Barbieri, 2003).

Entretanto, em estruturas de barras, é possível determinar-se uma solução para a variação das forças nas seções transversais resolvendo-se apenas as condições de equilíbrio, sem o envolvimento das demais condições físicas fundamentais. No modelo de Barbieri (2003), é adotada a formulação de Elemento Finito do Tipo Híbrido. Nesta, a propriedade das estruturas de barras é considerada, utilizando as expressões matemáticas para as forças nas seções transversais como funções de interpolação destas mesmas forças. É obtida, dessa maneira, uma distribuição de momentos fletores teoricamente exata. Portanto, a formulação do Análise dos Fatores Influentes na Tensão Última de Protensão em Cabos Não Aderentes

elemento finito do tipo híbrido é capaz de fornecer uma distribuição de curvaturas com alta precisão, ao longo do elemento. No caso de elementos com protensão não aderente, a adequada avaliação da distribuição de curvaturas contribui para a correta estimativa das deformações na armadura de protensão. Além disto, estas distribuições de curvaturas de elevada precisão permitem que sejam utilizados elementos mais longos, de forma que uma viga ou laje possa ser modelada por meio de um elemento, apenas.

Durante a análise, o sistema de equações, constituído da matriz de rigidez e vetor de cargas da estrutura, é montado e resolvido, tendo como incógnitas os deslocamentos nodais. Estes deslocamentos são obtidos com a utilização das equações de equilíbrio de forças nas barras. Uma vez determinados os deslocamentos nodais, são calculados os esforços nos nós da estrutura. A partir dos esforços nodais e utilizando funções de interpolação – estas constituídas pelas equações que regem as solicitações nas barras – são determinadas então as solicitações no interior dos elementos. Com a introdução das relações constitutivas das deformações e dos materiais, são obtidas as deformações e tensões nas seções transversais, respectivamente. Finalmente, a partir das deformações, determinam-se os deslocamentos ao longo do elemento, por integração e derivação numéricas.

### 3.5.2 Idealização e Discretização da Estrutura

O modelo numérico de Barbieri (2003), apresenta três graus de liberdade por nó, e cada barra de pórtico é representada através de seu eixo longitudinal de referência, que coincide com o eixo do elemento finito. As propriedades ao longo de uma barra são definidas em um número discreto ímpar de seções transversais, utilizadas como pontos de integração no interior do elemento. As matrizes de rigidez e carga do elemento finito são montadas por integração das propriedades das seções transversais ao longo de seu eixo. As respostas ao longo do elemento, como forças, deformações e deslocamentos, são obtidas nestas mesmas seções transversais.

Elementos longos, como os utilizados no modelo numérico, podem apresentar descontinuidades ao longo de seu comprimento, tais como mudança de seção transversal e descontinuidades do carregamento. Nestas situações, para que a integração de funções descontínuas não gere erros, o intervalo de integração, que corresponde ao comprimento de todo o elemento, é dividido em subintervalos em que as propriedades apresentam continuidade, chamados módulos de integração.

As propriedades das seções transversais também são definidas em um número discreto de lâminas, ao longo de sua altura. As armaduras são modeladas também como lâminas incorporadas à seção. As armaduras aderentes têm suas propriedades somadas à rigidez das seções transversais, enquanto que as armaduras não aderentes são consideradas como componentes separados que atuam sobre a estrutura, não sendo consideradas na matriz de rigidez.

Nesta pesquisa, a modelagem dos protótipos idealizados foi concebida, portanto, de acordo com o tipo de carregamento estudado:

- Protótipos com carregamento nos terços médios foram modelados com um elemento e três módulos de integração, divididos em sete seções transversais, cada, conforme ilustrado pela figura 3.11 (a)
- Protótipos com carregamento concentrado e distribuído foram modelados com um elemento e cinco módulos de integração, divididos em sete seções transversais, cada, conforme ilustrado pelas figuras 3.11 (b) e (c), respectivamente
- Todos os protótipos tiveram as seções transversais discretizadas em vinte e uma lâminas, ao longo de suas alturas

A discretização adotada foi considerada ideal em função da precisão obtida dentre as diferentes malhas de elementos testadas. A substituição dos módulos de integração por um número idêntico de elementos finitos não alterou os resultados das análises.

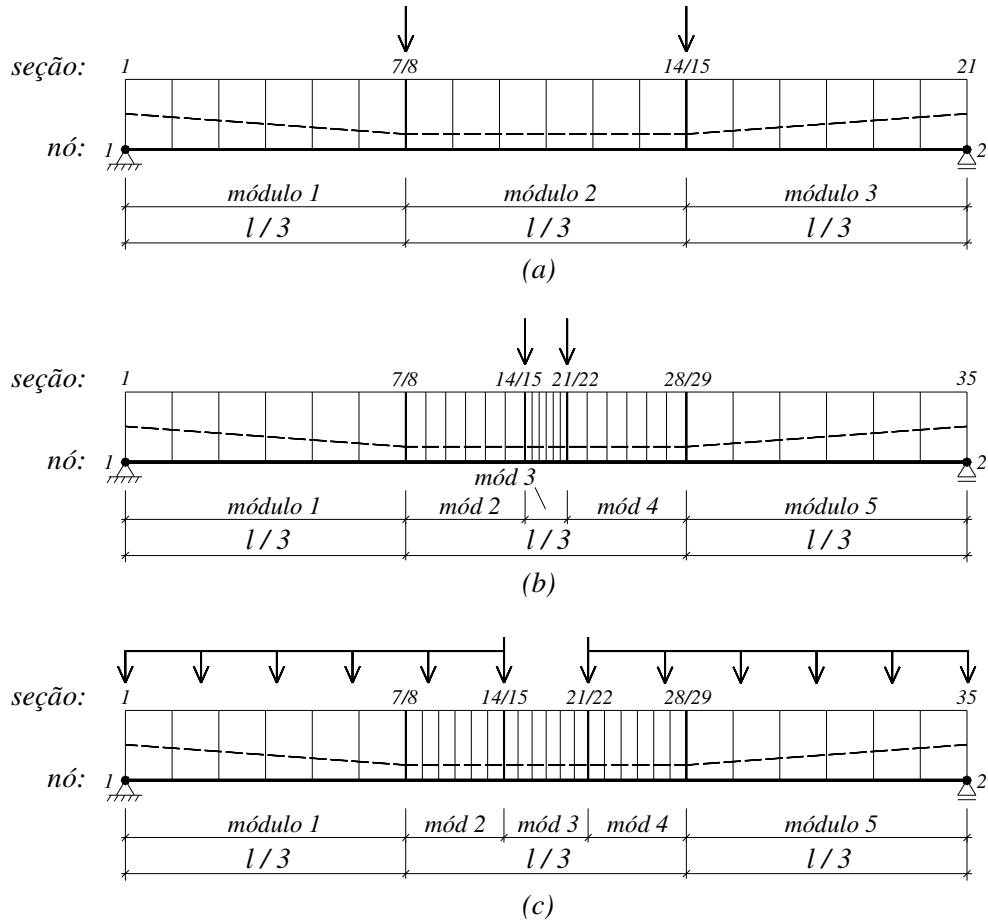


Figura 3.11 – Discretização do elemento finito adotada nos protótipos:

- Carregamento nos terços médios;
- Carregamento concentrado;
- Carregamento distribuído

### 3.5.3 Relações Constitutivas dos Materiais

Os modelos constitutivos, que representam o comportamento dos materiais, são fundamentais para o bom desempenho de uma análise numérica. Estas relações devem ser compatíveis com a idealização da estrutura, modelar o comportamento dos materiais nas condições de carregamento previstas e envolver um número reduzido de variáveis, de maneira a não comprometer o desempenho da análise numérica. As equações constitutivas utilizadas no modelo numérico possuem estas características e são formulações consagradas e amplamente utilizadas em trabalhos numéricos descritos na literatura (Barbieri, 2003).

As relações constitutivas adotadas, no modelo de Barbieri (2003), para o concreto e aço das armaduras, serão brevemente descritas a seguir. Todas referem-se a ações monotônicas de curta duração e são independentes do tempo, tendo em vista que o experimento foi realizado nestas condições. O equacionamento e detalhamento completo destas relações constitutivas podem ser encontrados no trabalho de doutoramento de Barbieri (2003).

Para o concreto à compressão foi adotada a equação de Saenz (Kabaila et al., 1964). Desde a deformação nula até o pico de resistência ( $f_c$ ), o comportamento tensão-deformação pode ser considerado linear elástico apenas até cerca de  $0,3f_c$ , com módulo de elasticidade tangente inicial ( $E_c$ ) constante. Ocorre, a partir daí, uma queda no módulo de elasticidade até o valor nulo, no pico de resistência  $f_c$ . O comportamento de amolecimento apresentado pelo concreto após o pico de resistência é modelado por uma relação tensão-deformação linear. Na figura 3.12 é apresentada a curva tensão-deformação do concreto submetido à compressão.

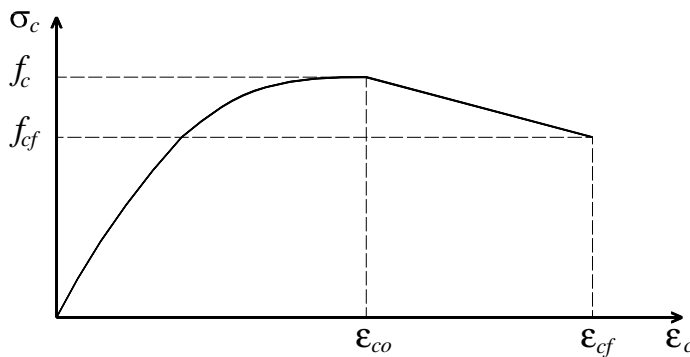


Figura 3.12 – Curva tensão-deformação do concreto submetido à compressão

A resposta do concreto submetido a tensões de tração é considerada linear até a fissuração, com módulo de elasticidade igual à  $E_c$ . Quando a resistência à tração é ultrapassada em uma seção, considera-se esta seção fissurada e que apenas as armaduras contribuem para a resistência aos esforços de tração. Entretanto, nas seções entre as fissuras, parte do esforço presente na armadura é transferido para o concreto, devido à aderência existente entre os dois materiais. Neste trecho não fissurado, portanto, o concreto também contribui para resistir aos esforços de tração, aumentando, dessa forma, a rigidez do elemento. O acréscimo de rigidez em elementos com armaduras aderentes, por ocasião da contribuição concreto não fissurado sob tração, é chamado de *tension stiffening*. O modelo numérico de Barbieri (2003) utiliza a

relação tensão-deformação do concreto submetido à tração apresentada na figura 3.13. O efeito de *tension stiffening* é simulado por meio de uma redução na tensão de tração do concreto, após excedida a tensão  $f_{ct}$ . Esta redução é feita em dois estágios, o primeiro mais brusco, e o segundo mais suave, com a tensão  $\sigma_c$  decrescendo até zero, para uma deformação de tração de 0,002. Estes estágios são governados pelos parâmetros  $\beta$  e  $\beta_\sigma$ , conforme indicado na figura 3.13.

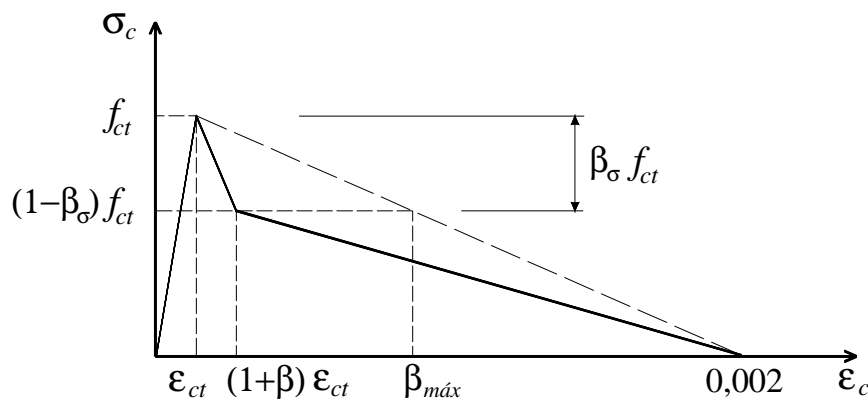


Figura 3.13 - Relação tensão-deformação do concreto submetido à tração

Para o aço constituinte da armadura passiva aderente, o modelo numérico permite a utilização de uma relação tensão-deformação bi-linear. Nos protótipos idealizados na pesquisa, o aço utilizado na armadura passiva foi simulado como material elastoplástico perfeito, conforme a relação tensão-deformação apresentada na figura 3.14.

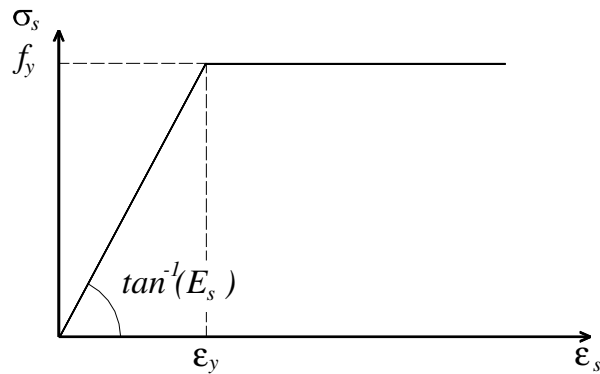


Figura 3.14 - Relação tensão-deformação do aço da armadura passiva

Para o aço constituinte da armadura de protensão não aderente, é utilizada no modelo numérico a curva de Devalapura e Trados (1992). Esta é apresentada na figura 3.15, onde uma única equação define toda a curva tensão-deformação. A relação constitutiva é estabelecida de acordo com quatro constantes, obtidas em função dos parâmetros  $E_p$ ,  $f_{py}$ ,  $\epsilon_{py}$ ,  $f_{pu}$  e  $\epsilon_{pu}$ . Conforme citado anteriormente, foram adotadas para os protótipos, as características do aço **CP-190RB**.

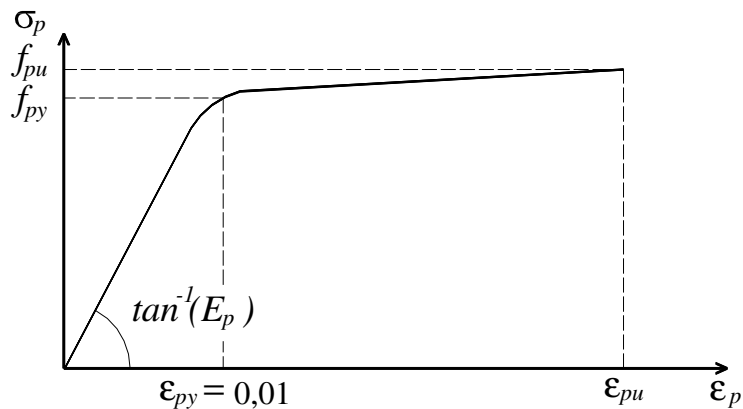


Figura 3.15 – Curva tensão-deformação do aço da armadura de protensão não aderente

### 3.5.4 Validação do Modelo Numérico

Inúmeros testes de validação do modelo numérico foram realizados por Barbieri (2003). O autor comparou os resultados de inúmeros experimentos, disponíveis na literatura, com os resultados destes mesmos experimentos, simulados numericamente. Uma boa adequação dos resultados foi obtida. A descrição detalhada da validação do modelo é encontrada no trabalho de doutoramento de Barbieri (2003).

A fim de avaliar ainda o comportamento do modelo numérico em relação ao incremento de tensão na armadura não aderente, principalmente no que se refere aos estágios subseqüentes à fissuração do concreto, optou-se por realizar uma nova modelagem dos elementos utilizados no experimento de Tao e Du (1985).

Estes protótipos apresentam propriedades semelhantes aos dos utilizados no estudo paramétrico da presente pesquisa. Eles constituem-se de vigas de seção transversal com 16 cm

de largura e 28 cm de altura, simplesmente apoiadas sobre um vão de 420 cm de comprimento. A armadura de protensão não aderente possui altura útil  $d_p$  de 22 cm, resultando, portanto, em um índice de esbeltez à flexão de 19,1. A altura útil da armadura passiva aderente  $d_s$  é de 25 cm. O perfil do cabo é reto e as vigas foram submetidas a carregamento nos terços médios, até a ruptura. As propriedades físicas e de armadura, dados experimentais, são indicadas na tabela 3.4. Para o aço da armadura de protensão, foram tomados os valores de 146,5 e 179,0 kN/cm<sup>2</sup>, para  $f_{py}$  e  $f_{pu}$ , respectivamente. Os parâmetros  $\beta$  e  $\beta_\sigma$  foram arbitrados com os valores 4,5 e 0,4, respectivamente. O valor de  $f_{cf}$  foi tomado como  $0,3f_c$ , e o valor do módulo de elasticidade  $E_c$  foi calculado segundo a expressão da norma NBR 6118 (ABNT, 2003), para o módulo de elasticidade secante.

Tabela 3.4 – Dados dos protótipos ensaiados por Tao e Du (1985)

Protótipo	$f_c$ (kN/cm <sup>2</sup> )	Concreto		Armadura Passiva		Armadura Ativa		$\omega_e$	$PPR_e$
		$A_s$ (cm <sup>2</sup> )	$f_y$ (kN/cm <sup>2</sup> )	$A_p$ (cm <sup>2</sup> )	$f_{pe}$ (kN/cm <sup>2</sup> )				
A-1	3,06	1,57	26,7	0,588	96,0	0,087	0,57		
A-2	3,06	1,57	43,0	0,980	90,4	0,137	0,57		
A-3	3,06	2,36	43,0	1,568	82,0	0,202	0,56		
A-4	3,06	1,57	43,0	0,588	86,9	0,103	0,43		
A-5	3,06	3,08	40,0	0,784	81,0	0,160	0,34		
A-6	3,06	4,62	40,0	1,568	85,4	0,275	0,42		
A-7	3,06	3,08	40,0	0,392	88,5	0,133	0,22		
A-8	3,31	4,62	40,0	0,588	89,4	0,185	0,22		
A-9	3,31	8,04	39,5	1,568	92,0	0,364	0,31		
B-1	4,58	1,57	26,7	0,588	100,8	0,060	0,59		
B-2	4,58	1,57	43,0	0,980	98,7	0,097	0,59		
B-3	4,25	2,36	43,0	1,568	96,3	0,161	0,60		
B-4	4,25	1,57	43,0	0,588	104,0	0,081	0,48		
B-5	4,25	3,08	40,0	0,784	98,9	0,124	0,39		
B-6	4,25	4,62	40,0	1,372	100,2	0,201	0,43		
B-7	4,88	3,08	40,0	0,392	100,2	0,086	0,24		
B-8	4,25	4,62	40,0	0,588	100,2	0,148	0,24		
B-9	4,88	8,04	39,5	0,980	105,0	0,223	0,24		
C-1	3,31	1,57	38,9	0,588	90,5	0,092	0,47		
C-2	3,31	2,36	48,5	1,568	82,5	0,197	0,53		
C-7	3,31	3,08	48,5	0,392	95,5	0,145	0,20		
C-9	3,31	8,04	50,5	1,568	90,3	0,428	0,26		

Após a simulação numérica dos ensaios realizados por Tao e Du (1985), foram tomadas as curvas **carga ( $P$ ) x deslocamento central ( $\delta$ )** resultantes e comparadas às curvas fornecidas pelos autores do ensaio experimental. Na figura 3.16, é apresentada a superposição das curvas resultantes dos ensaios experimental e numérico, dos protótipos A-2 à A-9. Para cada protótipo há um par de curvas que representa, em linha com marcadores a análise numérica e,

em linha contínua ou tracejada, o ensaio experimental. Há uma defasagem de duas unidades no eixo das ordenadas, entre os pares de curvas de cada protótipo. Observa-se boa concordância entre as curvas experimental e numérica.

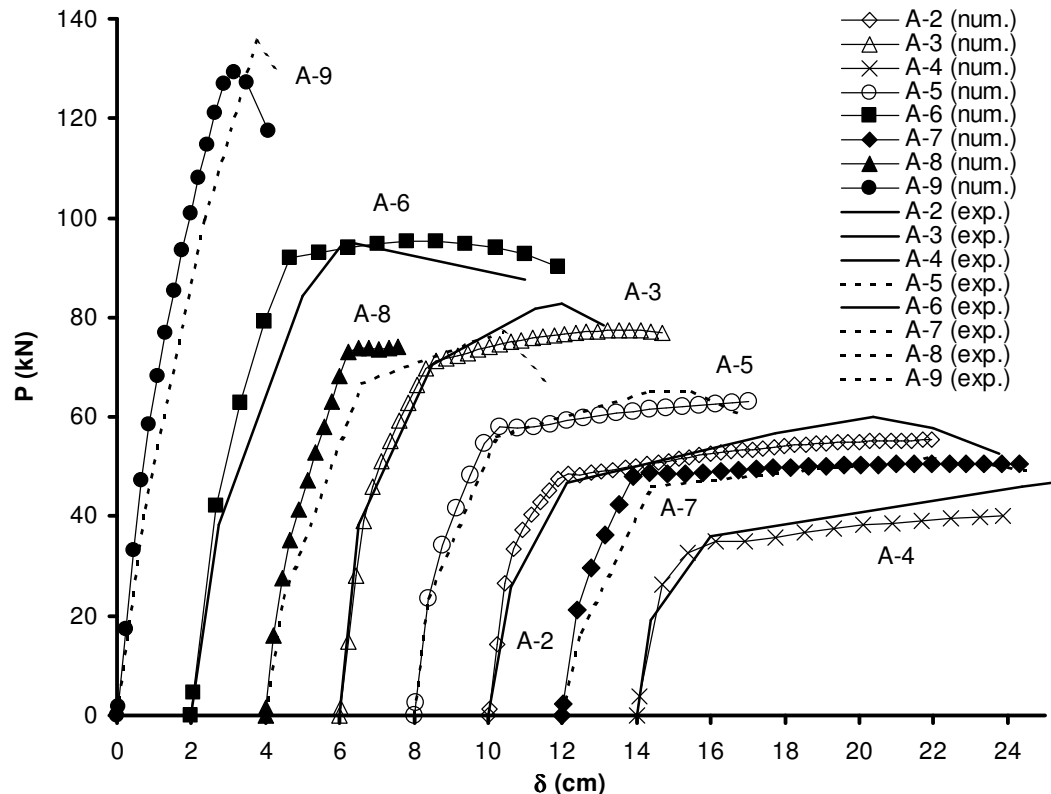


Figura 3.16 – Comparação entre curvas  $P \times \delta$  numérico e experimental  
– Protótipos de Tao e Du (1985)

Para verificação do comportamento pós-fissuração nas simulações numéricas, foram tomados os resultados experimentais dos valores de incremento de tensão  $\Delta f_{ps}$  medidos na ruptura, segundo os autores do experimento. Estes foram comparados aos resultados numéricos de  $\Delta f_{ps}$ , tomados nos pontos de deslocamento  $\delta$  equivalentes aos deslocamentos experimentais, na situação de ruptura. A comparação é apresentada na tabela 3.5. A proximidade entre valores de  $\Delta f_{ps}$  experimental e numérico para deslocamentos idênticos comprova, já que ambos os valores de  $\delta$  e de  $\Delta f_{ps}$  são dependentes das curvaturas das seções transversais, que a distribuição de curvaturas foi estimada com bastante precisão e que o comportamento pós-fissuração adotado no modelo numérico se aproxima bastante da realidade.

Tabela 3.5 – Comparação entre valores de  $\Delta f_{ps}$  numérico e experimental, na ruptura dos protótipos de Tao e Du (1985)

Protótipo	$\Delta f_{ps}$ exp. [kN/cm <sup>2</sup> ]	$\delta$ [cm]	$\Delta f_{ps}$ num. [kN/cm <sup>2</sup> ]	$\frac{\Delta f_{ps} \text{ exp.}}{\Delta f_{ps} \text{ num.}}$
A-1*	--	--	--	--
A-2	52,6	10,0	53,4	0,985
A-3	35,6	5,7	39,3	0,906
A-4	59,6	11,9	60,7	0,982
A-5	50,5	7,5	51,5	0,981
A-6	20,9	4,5	28,4	0,736
A-7	55,1	10,2	55,9	0,986
A-8	39,6	7,1	43,9	0,902
A-9	18,8	3,9	20,7	0,908
B-1	63,7	10,9	66,7	0,955
B-2	57,7	9,3	63,7	0,906
B-3	39,8	6,9	51,9	0,767
B-4	60,5	11,9	64,8	0,934
B-5	53,1	10,0	64,7	0,821
B-6	40,0	6,7	47,6	0,840
B-7	60,1	10,3	65,9	0,912
B-8	47,9	7,4	54,7	0,876
B-9	29,6	4,9	34,6	0,855
C-1*	--	--	--	--
C-2	40,6	5,3	37,3	1,088
C-7	45,6	8,2	45,8	0,996
C-9	20,6	3,6	17,9	1,151

\* Ruptura por problemas no experimento.

### 3.6 Mapa dos Parâmetros Englobados na Pesquisa

No início deste capítulo, foram introduzidos quais seriam os parâmetros estudados parametricamente, com relação a sua influência no incremento de tensão  $\Delta f_{ps}$ , no Estado Limite Último. Foram em seguida, descritos os métodos de variação destes parâmetros e os meios utilizados para sua análise. Neste item, os parâmetros de estudo serão novamente apresentados, sob a forma simples de um organograma, a fim de que seja dado um panorama geral da pesquisa. O leitor pode, assim, mais facilmente se situar e identificar quais parâmetros estão sendo referidos, na análise dos resultados apresentados no Capítulo 4.

Este organograma é apresentado nas figuras 3.17 (a), (b) e (c), correspondentes aos três tipos de carregamento estudados. No nível inferior, são indicados os protótipos em que os parâmetros internos de  $\omega_e$  foram variados, nos quatro grupos de tensões efetivas  $f_{pe}$  estudadas. O nível intermediário corresponde aos três índices de esbeltez  $l/d_p$  estudados em todos os

protótipos do nível inferior. Fazem exceção os protótipos com carregamento distribuído, onde duas configurações de modelagem do carregamento distribuído – ou considerações de comprimento da zona plastificada – foram estudadas, para  $l/d_p = 21,7$ , e protótipos com índice  $l/d_p = 38,7$  não foram considerados. O nível superior corresponde aos três tipos de carregamento atribuídos a cada um dos protótipos dos níveis inferiores.

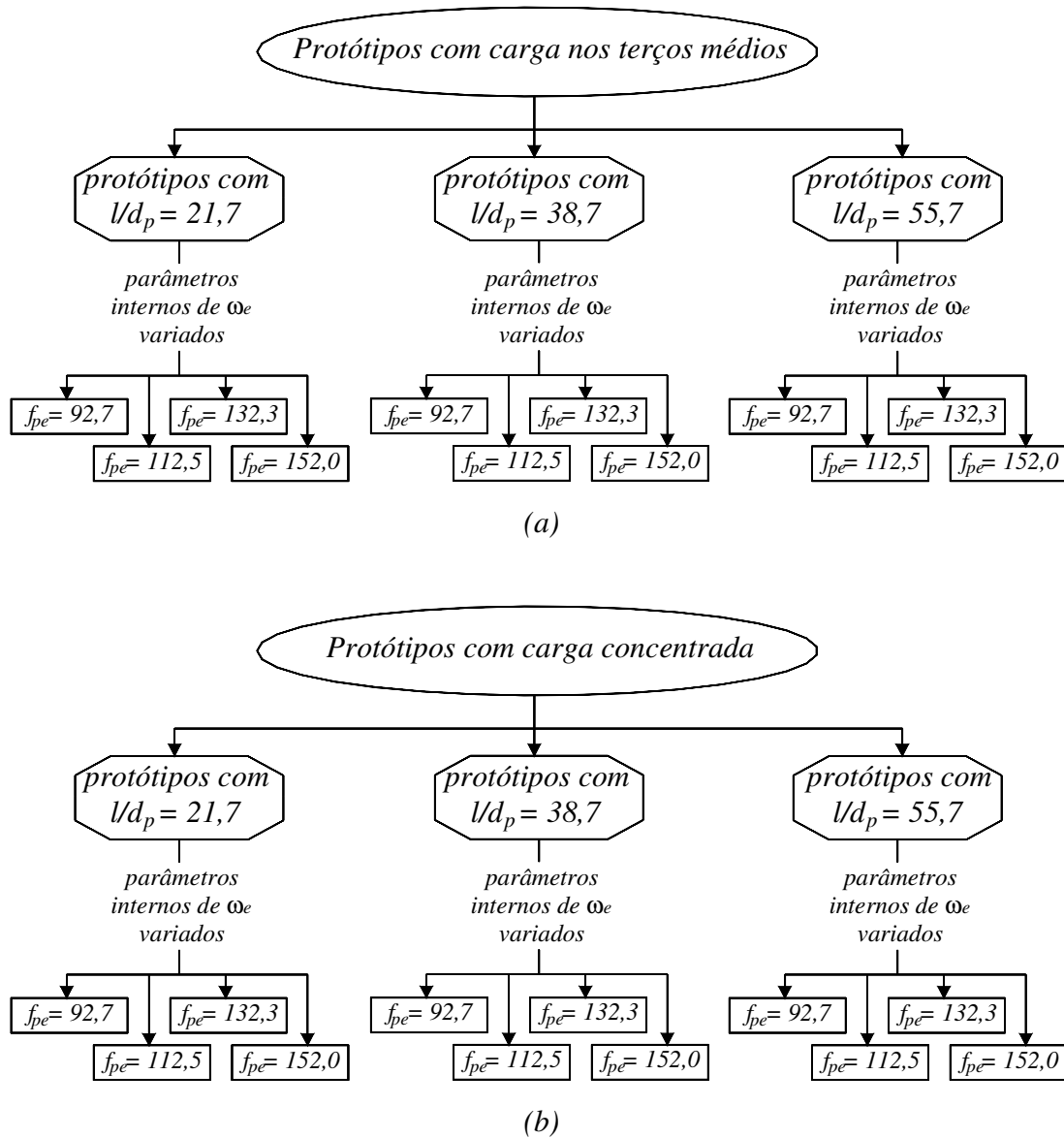


Figura 3.17 – Organograma dos tipos de parâmetros estudados: a) Carregamento nos terços médios; b) Carregamento concentrado

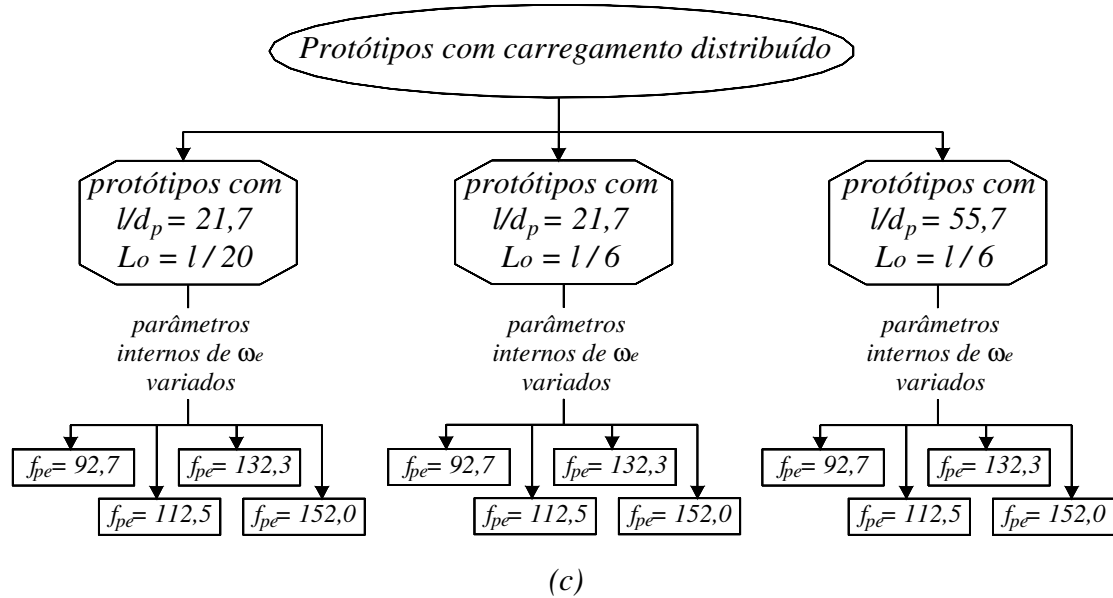


Figura 3.17 – Organograma dos tipos de parâmetros estudados:  
c) Carregamento distribuído

No Apêndice A, são fornecidas as tabelas com os dados característicos arbitrados para cada um dos protótipos analisados.

## 4 Apresentação de Resultados e Análise Paramétrica

Neste capítulo serão inicialmente descritos quais foram os resultados obtidos das análises numéricas efetuadas nas lajes protótipo, idealizadas conforme os critérios de parametrização descritos no Capítulo 3. Mediante análise destes resultados, observou-se que entre as variáveis taxa mecânica total de armadura ( $\omega_e$ ) e incremento de tensão ( $\Delta f_{ps}$ ) existia uma forte correlação, independentemente de quais parâmetros internos de  $\omega_e$  eram variados, com exceção de  $f_{pe}$ . Esta correlação entre  $\omega_e$  e  $\Delta f_{ps}$  e também sua dependência com relação aos demais parâmetros estudados – protensão efetiva ( $f_{pe}$ ), índice de esbeltez à flexão ( $l/d_p$ ) e tipo de carregamento – são apresentadas em seqüência. Posteriormente, estes parâmetros são analisados isoladamente, na busca de uma justificativa para sua influência, ou não, no valor de  $\Delta f_{ps}$ . As relações obtidas entre as variáveis são verificadas, aplicando-as a protótipos ensaiados experimentalmente e comparando resultados teóricos e experimentais. Por fim, será avaliada a relevância da variável  $\Delta f_{ps}$  no dimensionamento de elementos com protensão não aderente.

### 4.1 Resultados Obtidos das Análises Numéricas

Após efetuadas as análises numéricas, obtiveram-se resultados suficientes para montagem das curvas **carga (P) x deslocamento central ( $\delta$ )**, **carga (P) x incremento de tensão ( $\Delta f_{ps}$ )** e **incremento de tensão ( $\Delta f_{ps}$ ) x deslocamento central ( $\delta$ )**, com o objetivo de verificar o adequado comportamento à flexão dos protótipos. Em seguida, extraíram-se os seguintes resultados de interesse para a pesquisa, na situação de ruptura no Estado Limite Último:

- Carga de ruptura  $P$  e momento fletor atuante (ou momento fletor resistente na ruptura  $M_{res}$ )
- Deslocamento central ( $\delta$ )
- Deformação no concreto ( $\varepsilon_c$ ) e armadura passiva ( $\varepsilon_s$ )
- Tensão Última de Protensão ( $f_{ps}$ )

Estes resultados são, ao longo deste item, exemplificados. Antes, porém, é necessário que seja descrito o critério adotado para consideração da ruptura dos protótipos.

#### 4.1.1 Critério de Ruptura Adotado

Muitos dos resultados referentes à situação de ruptura, apresentados por autores de experimentos, não seguem uma padronização. A situação de ruptura é geralmente considerada quando da ocorrência do colapso por falha dos materiais, aço ou concreto, muitas vezes de forma brusca, com queda repentina do carregamento suportado pelo elemento. Esta situação não condiz com a do dimensionamento à ruptura de elementos estruturais de concreto armado e pretendido.

A fim de se obter uma padronização e adequação dos resultados de  $\Delta f_{ps}$  à situação prevista no dimensionamento destas estruturas, foi adotado um critério de ruptura por *deformações limites* dos materiais. Este critério, em concordância com o critério preconizado pela NBR 6118 (ABNT, 2003), no item 17.2.2, estabelece que a ruptura de uma seção transversal ocorre quando concreto ou aço atingem suas deformações consideradas limite, caracterizando o Estado Limite Último. Estas deformações são definidas como  $\varepsilon_c = 0,0035$  para o concreto comprimido, e  $\varepsilon_s = 0,01$  para a armadura tracionada. Já que a armadura pretendida não aderente raramente atinge o escoamento, foram consideradas para aplicação deste critério as deformações das armaduras passivas aderentes.

#### 4.1.2 Curvas $P \times \delta$ , $P \times \Delta f_{ps}$ e $\Delta f_{ps} \times \delta$

A obtenção das curvas  $P \times \delta$ ,  $P \times \Delta f_{ps}$  e  $\Delta f_{ps} \times \delta$  permite a observação do adequado comportamento e evolução da análise numérica, ao longo da aplicação do carregamento e aumento das deformações, em relação ao comportamento geralmente observado em ensaios experimentais. Os diferentes estágios de rigidez, à medida que o carregamento é aumentado, bem como a dutilidade dos elementos, podem ser nitidamente observados. Efeitos indesejados, como ruptura frágil devido à instabilidade à flexão ou, em contrapartida, ao excesso de armadura, e ruptura do protótipo por excesso de tensões oriundas da protensão inicial, podem ser também identificados.

Na figura 4.1 são apresentadas, como exemplo, as curvas  $P \times \delta$  dos protótipos derivados do protótipo **0,30-0,150-112,5-REF**, portanto com tensões efetivas  $f_{pe} = 112,5 \text{ kN/cm}^2$ , índice  $l/d_p = 38,7$  e carregamento aplicado nos terços médios. Os estágios de rigidez correspondentes à seção central não fissurada, fissurada e plastificada – após o início do escoamento da armadura passiva – são observados em todos os protótipos, com exceção daqueles onde ocorrem comportamentos indesejados, do ponto de vista de projeto.

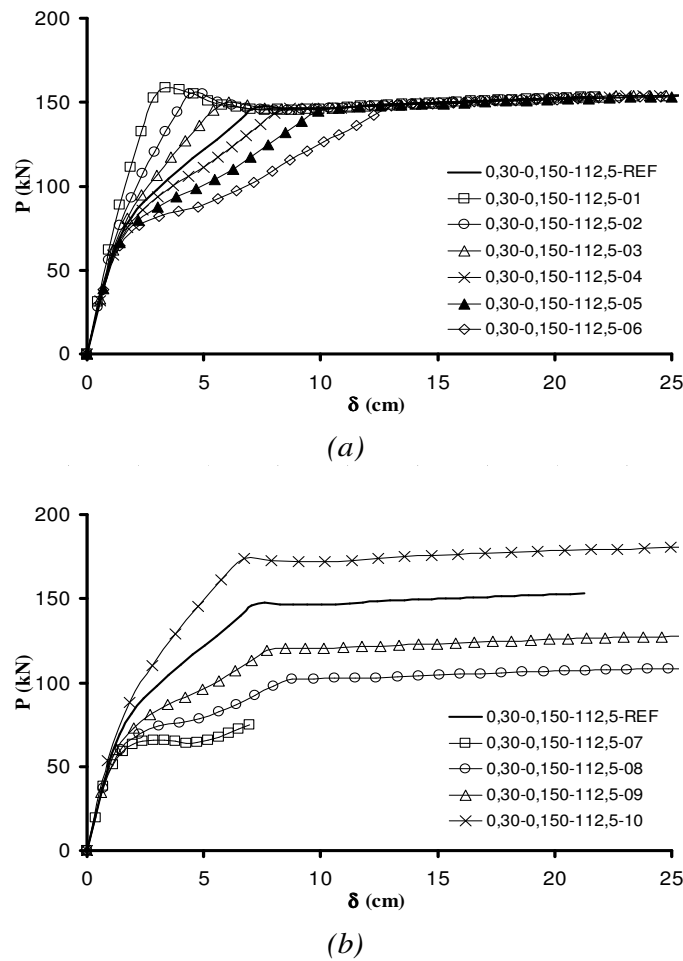
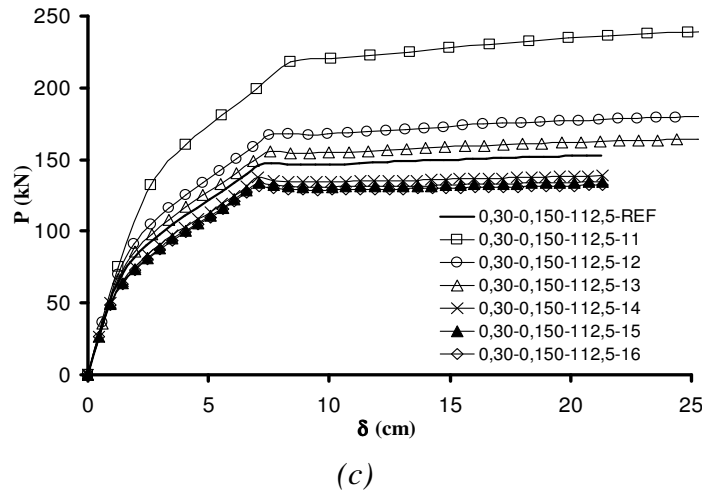
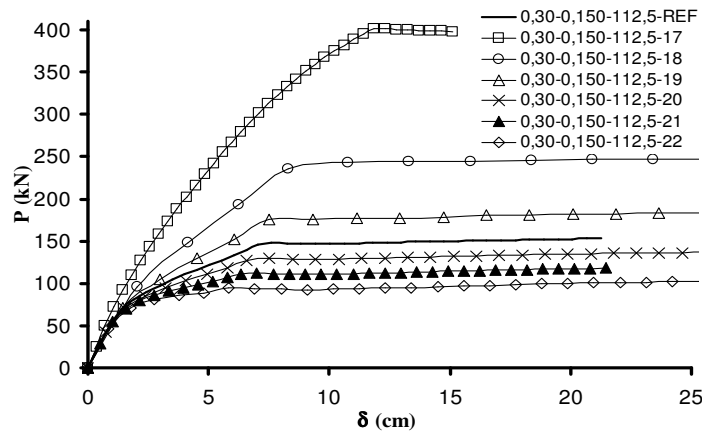


Figura 4.1 – Curvas  $P \times \delta$  resultantes das análises numéricas dos protótipos derivados da laje **0,30-0,150-112,5-REF**: a)  $A_s$  e  $f_y$  variados (sufixos **01** a **06**); b)  $A_{ps}$ ,  $A_s$  e  $d_s$  variados (sufixos **07** a **10**)



(c)



(d)

Figura 4.1 – Curvas  $P \times \delta$  resultantes das análises numéricas dos protótipos derivados da laje **0,30-0,150-112,5-REF**: c)  $A_{ps}$  variado (sufixos **11** a **16**); d)  $A_s$  variado (sufixos **17** a **22**)

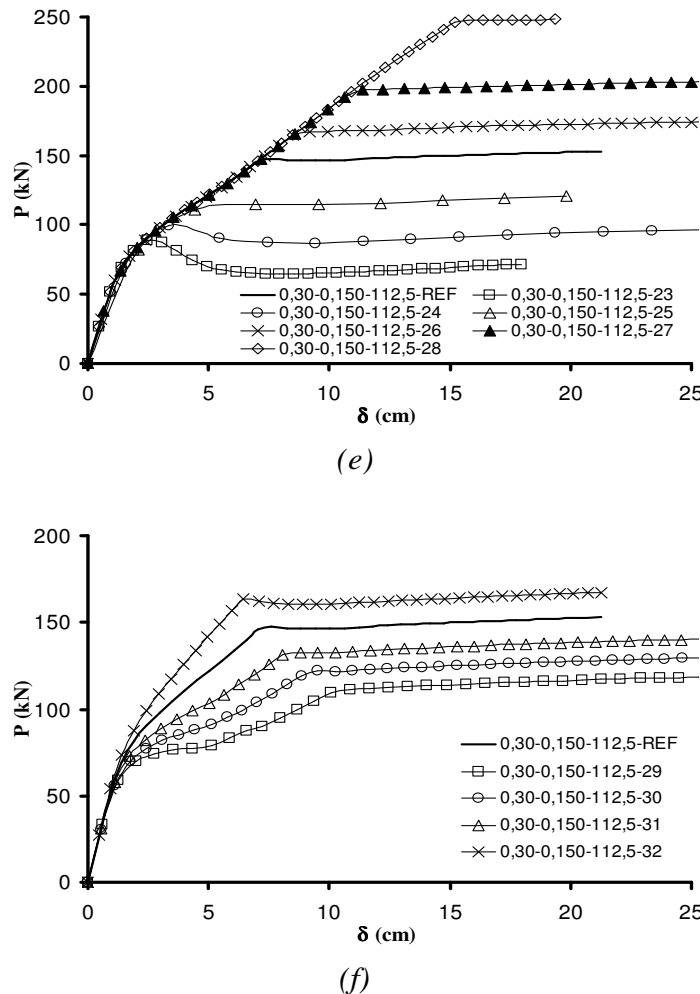


Figura 4.1 – Curvas  $P \times \delta$  resultantes das análises numéricas dos protótipos derivados da laje 0,30-0,150-112,5-REF: e)  $f_y$  variado (sufixos 23 a 28); f)  $d_s$  variado (sufixos 29 a 32)

A ruptura dos protótipos que apresentaram adequado comportamento dútil ocorre, com a aplicação do critério de deformações limites, em algum ponto do patamar de carga máxima, com a seção já plastificada.

Pode ser observado que, ao contrário dos demais, os protótipos com sufixo 01 a 06, onde os valores dos parâmetros  $A_s$  e  $f_y$  foram variados em relação aos valores adotados no protótipo de referência, apresentam cargas de ruptura muito semelhantes. O comportamento diferenciado

destes protótipos se deve ao fato de que, para que fosse mantida taxa de armadura  $\omega_e$  constante, a resultante de tração  $A_s f_y$  também deveria permanecer inalterada. A tabela 3.2 pode ser observada como referência, já que os critérios de parametrização aplicados para qualquer protótipo de referência (sufixo **REF**) são os mesmos. Já para os demais protótipos, a observação dos valores adotados para os parâmetros internos de  $\omega_e$ , nos grupos 2 a 7, torna evidente a diferença na carga de ruptura obtida. As tendências observadas na figura 4.1 são válidas para todos os protótipos, dentro de cada um dos grupos 1 a 7, para quaisquer valores de  $f_{pe}$ ,  $l/d_p$  e tipo de carregamento aplicado.

A figura 4.2 (a) e (b) apresenta as curvas  $P \times \Delta f_{ps}$  correspondentes aos protótipos indicados na figura 4.1 (a) e (c), respectivamente. A semelhança observada entre as curvas de um mesmo grupo de protótipos, mediante comparação das figuras 4.1 e 4.2, evidencia a estreita relação entre deslocamentos e incremento de tensão. Isto pode ser explicado pelo fato de que ambas as variáveis  $\delta$  e  $\Delta f_{ps}$  são funções da distribuição das curvaturas ao longo do elemento.

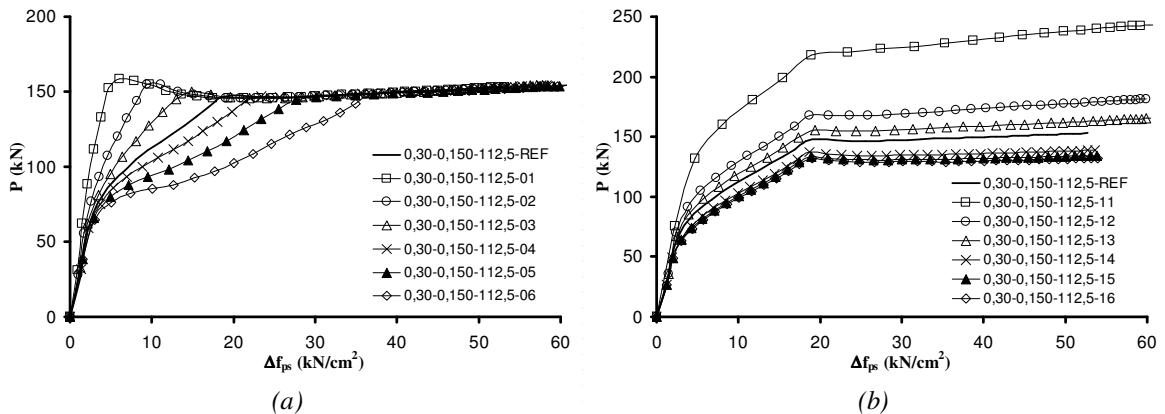


Figura 4.2 – Curvas  $P \times \Delta f_{ps}$  resultantes das análises numéricas dos protótipos derivados da laje **0,30-0,150-112,5-REF**: a)  $A_s$  e  $f_y$  variados (sufixos **01** a **06**); b)  $A_{ps}$  variado (sufixos **11** a **16**)

A figura 4.3 (a) e (b) apresenta as curvas  $\Delta f_{ps} \times \delta$  correspondentes aos protótipos indicados na figura 4.1 (a) e (c), respectivamente. Nota-se, a partir do início da fissuração, uma relação aproximadamente linear entre as variáveis, o que vem ao encontro da conclusão apresentada no parágrafo anterior.

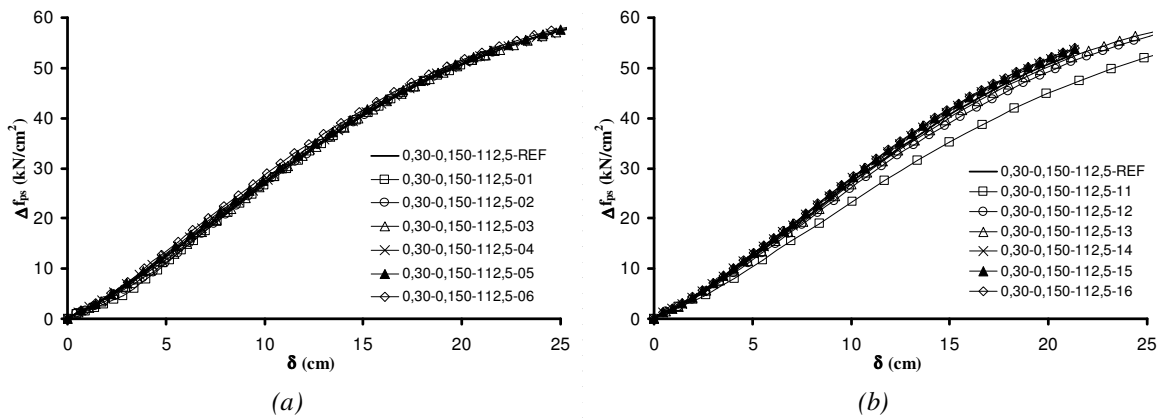


Figura 4.3 – Curvas  $\Delta f_{ps} \times \delta$  resultantes das análises numéricas dos protótipos derivados da laje **0,30-0,150-112,5-REF**: a)  $A_s$  e  $f_y$  variados (sufixos **01** a **06**); b)  $A_{ps}$  variado (sufixos **11** a **16**)

#### 4.1.3 Tabelas de Resultados

Na tabela 4.1 são apresentados resultados de ruptura extraídos das análises correspondentes aos protótipos apresentados na figura 4.1. Observa-se, em geral, que momentos resistentes maiores e deslocamentos menores estão associados a protótipos com valores de  $\omega_e$  maiores, refletindo a maior resistência e menor dutilidade de elementos que contém mais armadura. Protótipos correspondentes com índices  $l/d_p$  iguais a 21,7 e 55,7, apresentaram, evidentemente, deslocamentos centrais na ruptura menores e maiores, respectivamente, que os indicados na tabela 4.1, para índice de esbeltez de 38,7. A observação das deformações dos materiais na ruptura,  $\epsilon_c$  e  $\epsilon_s$ , permite a identificação dos domínios de deformação caracterizados por norma, no Estado Limite Último. Coerentemente, protótipos com taxas de armadura baixa, média e alta, se situaram nos *domínios 2, 3 e 4*, respectivamente, segundo o critério estabelecido pela NBR 6118 (ABNT, 2003).

Tabela 4.1 – Resultados de ruptura dos protótipos derivados do protótipo de referência **0,30-0,150-112,5-REF**, com  $l/d_p = 38,7$  e carregamento aplicado nos terços médios

Laje protótipo	$l/d_p$	Carga $P$ ruptura [kN]	$M_{res}$ [kNm]	desl. $\delta$ corresp. [cm]	$-\epsilon_c$ na ruptura [%o]	$\epsilon_s$ na ruptura [%o]	$PPR_e$	$\omega_e$	$f_{ps}$ na ruptura [kN/cm <sup>2</sup> ]	$\Delta f_{ps}$ na ruptura [kN/cm <sup>2</sup> ]
0,30-0,150-112,5-REF	38,7	152,8	17405,0	20,8	2,88	10,00	0,30	0,150	164,4	51,9
0,30-0,150-112,5-01	38,7	152,4	17365,0	19,9	2,87	10,00	0,30	0,150	162,8	50,3
0,30-0,150-112,5-02	38,7	152,3	17355,0	20,2	2,87	10,00	0,30	0,150	163,3	50,8
0,30-0,150-112,5-03	38,7	152,5	17375,0	20,5	2,88	10,00	0,30	0,150	163,8	51,3
0,30-0,150-112,5-04	38,7	152,6	17385,0	21,1	2,88	10,00	0,30	0,150	164,9	52,4
0,30-0,150-112,5-05	38,7	152,2	17345,0	21,6	2,87	10,00	0,30	0,150	165,9	53,4
0,30-0,150-112,5-06	38,7	152,5	17375,0	22,4	2,87	10,00	0,30	0,150	167,3	54,8
0,30-0,150-112,5-07	38,7	--	--	--	--	--	0,30	0,150	--	--
0,30-0,150-112,5-08	38,7	108,3	12955,0	25,2	3,08	10,00	0,30	0,150	170,2	57,7
0,30-0,150-112,5-09	38,7	126,9	14815,0	23,4	2,97	10,00	0,30	0,150	168,6	56,1
0,30-0,150-112,5-10	38,7	177,7	19895,0	18,6	2,75	10,00	0,30	0,150	160,1	47,6
0,30-0,150-112,5-11	38,7	231,7	25295,0	17,3	3,50	6,93	0,55	0,239	153,3	40,8
0,30-0,150-112,5-12	38,7	178,1	19935,0	21,6	3,36	10,00	0,39	0,174	164,3	51,8
0,30-0,150-112,5-13	38,7	162,5	18375,0	21,1	3,05	10,00	0,34	0,159	164,4	51,9
0,30-0,150-112,5-14	38,7	138,4	15965,0	20,4	2,63	10,00	0,24	0,138	164,5	52,0
0,30-0,150-112,5-15	38,7	134,0	15525,0	20,3	2,55	10,00	0,22	0,133	164,5	52,0
0,30-0,150-112,5-16	38,7	131,7	15295,0	20,2	2,51	10,00	0,21	0,131	164,5	52,0
0,30-0,150-112,5-17	38,7	400,4	42165,0	11,9	3,50	2,35	0,10	0,454	130,3	17,8
0,30-0,150-112,5-18	38,7	245,2	26645,0	18,0	3,50	6,98	0,18	0,251	154,2	41,7
0,30-0,150-112,5-19	38,7	182,1	20335,0	21,8	3,35	10,00	0,24	0,184	164,6	52,1
0,30-0,150-112,5-20	38,7	134,6	15585,0	20,1	2,60	10,00	0,34	0,133	164,2	51,7
0,30-0,150-112,5-21	38,7	117,0	13825,0	19,5	2,36	10,00	0,39	0,116	163,8	51,3
0,30-0,150-112,5-22	38,7	99,0	12025,0	18,6	2,14	10,00	0,46	0,100	162,8	50,3
0,30-0,150-112,5-23	38,7	71,6	9285,0	18,0	1,86	10,00	0,63	0,074	162,9	50,4
0,30-0,150-112,5-24	38,7	93,4	11465,0	18,4	2,07	10,00	0,46	0,100	162,6	50,1
0,30-0,150-112,5-25	38,7	120,5	14175,0	19,5	2,38	10,00	0,36	0,125	163,8	51,3
0,30-0,150-112,5-26	38,7	173,2	19445,0	21,8	3,20	10,00	0,26	0,170	165,2	52,7
0,30-0,150-112,5-27	38,7	201,8	22305,0	21,1	3,50	8,97	0,22	0,201	162,1	49,6
0,30-0,150-112,5-28	38,7	248,2	26945,0	19,5	3,50	6,78	0,18	0,251	158,4	45,9
0,30-0,150-112,5-29	38,7	118,6	13985,0	26,4	3,50	8,25	0,30	0,191	171,2	58,7
0,30-0,150-112,5-30	38,7	129,6	15085,0	26,3	3,50	9,63	0,30	0,176	171,1	58,6
0,30-0,150-112,5-31	38,7	140,0	16125,0	24,1	3,28	10,00	0,30	0,163	168,8	56,3
0,30-0,150-112,5-32	38,7	165,7	18695,0	18,3	2,59	10,00	0,30	0,140	160,1	47,6

Observações:

- Laje n. 07 não atingiu deformação de ruptura por problemas de convergência
- Laje n. 17 foi super - armada
- Lajes n. 23 e 24 sofreram instabilidade à flexão

No Apêndice B, são apresentadas as tabelas com resultados dos valores de  $\Delta f_{ps}$  de todos os protótipos analisados, sendo este o parâmetro de maior relevância para a pesquisa. Os demais resultados extraídos –  $M_{res}$ ,  $\delta$ ,  $\epsilon_c$  e  $\epsilon_s$  são também apresentados, e em conjunto com as curvas Análise dos Fatores Influentes na Tensão Última de Protensão em Cabos Não Aderentes

relacionando os parâmetros  $P$ ,  $\delta$  e  $\Delta f_{ps}$ , serviram para avaliar o adequado desempenho da análise numérica e determinar a exclusão de protótipos com resultados considerados inválidos, conforme critérios descritos a seguir.

#### 4.1.4 Protótipos Desconsiderados

Resultados de incremento de tensão  $\Delta f_{ps}$  de protótipos que apresentaram comportamentos indesejados, do ponto de vista de projeto, não foram considerados. Do contrário, qualquer relação estabelecida entre os parâmetros estudados e  $\Delta f_{ps}$  seria influenciada por resultados de protótipos que não seriam usualmente concebidos em projeto.

Protótipos com baixas taxas de armadura que apresentaram o fenômeno de *instabilidade à flexão*, como observado nos protótipos **0,30-0,150-112,5-23** e **24**, ilustrados na figura 4.1 (e) e tabela 4.1, foram desconsiderados.

Protótipos com altas taxas de armadura onde foi observada a ruptura frágil, devido ao excesso de armadura (protótipos super-armados), também foram descartados. Foram considerados super-armados os protótipos situados no *domínio 4* de deformações do Estado Limite Último, segundo critério da NBR 6118 (ABNT, 2003). O protótipo **0,30-0,150-112,5-17** indicado na tabela 4.1 e figura 4.1 (d), apresentou deformações no concreto e aço da armadura passiva iguais a 0,0035 e 0,00235, respectivamente. Já que a deformação de escoamento da armadura passiva do protótipo em questão é igual a 0,00238 ( $50 / 21000 = 0,00238$ ), este foi desconsiderado.

Há ainda o caso de protótipos com taxas de armadura e índices de protensão parcial elevados, em que as tensões oriundas da protensão efetiva provocaram fissuração da borda superior do elemento, inicialmente tracionada. Nestes casos, uma queda de rigidez inicial foi observada, sendo recuperada com o aumento do carregamento e consequente fechamento das fissuras. Como estas fissuras iniciais devem ser evitadas ou cuidadosamente contidas, na situação de projeto, optou-se por se desconsiderar os protótipos onde esta situação foi observada. Além disso, estes protótipos geralmente situaram-se no *domínio 4* de deformações da norma.

Em alguns protótipos, por problemas de convergência, não foram atingidas as deformações limites do aço ou concreto, sendo a análise numérica interrompida precocemente. Estes

resultados, portanto, também não foram considerados. Pode ser observado, na figura 4.1 (b), que a análise do protótipo **0,30-0,150-112,5-07** foi interrompida no início do escoamento da armadura passiva.

## 4.2 Gráficos de Dispersão dos Parâmetros $\omega_e$ e $\Delta f_{ps}$

Protótipos com carregamento aplicado nos terços médios e com índice de esbeltez à flexão  $l/d_p = 38,7$  foram, cronologicamente, os primeiros a serem pesquisados. Nesta etapa inicial, não era conhecido o efeito de qualquer parâmetro no valor de  $\Delta f_{ps}$ , e, portanto, a tensão efetiva de protensão  $f_{pe}$  foi considerada apenas como mais um parâmetro interno de  $\omega_e$  a ser variado, dentro de um grupo, em relação aos protótipos de referência – estes possuíam tensão efetiva  $f_{pe} = 152,0 \text{ kN/cm}^2$ . Os resultados numéricos obtidos foram então analisados, procurando se estabelecer uma relação entre quaisquer parâmetros internos de  $\omega_e$ , índices de protensão parcial  $PPR_e$  e valores de  $\omega_e$ , com o incremento de tensão  $\Delta f_{ps}$ .

Foram elaborados gráficos de dispersão dos pontos ( $\omega_e$  ,  $\Delta f_{ps}$ ), observando-se que estas duas variáveis poderiam ser correlacionadas linearmente – Tao e Du (1985) já haviam observado uma relação linear entre  $\omega_e$  e  $\Delta f_{ps}$  em seu trabalho experimental. Nesta pesquisa, esta relação era válida independentemente dos valores adotados para os parâmetros internos de  $\omega_e$ , com exceção de  $f_{pe}$ , cujos pontos resultavam dispersos em relação aos demais. O parâmetro  $f_{pe}$  foi então tratado como um parâmetro principal, dando origem ao estudo de grupos de protótipos com as demais tensões efetivas arbitradas – 92,7, 112,5 e 132,3  $\text{kN/cm}^2$ , conforme apresentado em 3.3.1. Da mesma maneira, para cada uma das tensões efetivas estudadas, foi obtida boa correlação linear entre  $\omega_e$  e  $\Delta f_{ps}$ . Concluída, portanto, a análise de protótipos com carregamento nos terços médios e índice  $l/d_p = 38,7$ , o estudo foi extendido para as demais esbeltezes 21,7 e 55,7 e, posteriormente, para os carregamentos concentrado e distribuído, determinando-se em cada um, a relação entre as variáveis  $\omega_e$  e  $\Delta f_{ps}$ .

A seguir serão apresentados os gráficos de dispersão dos pontos ( $\omega_e$  ,  $\Delta f_{ps}$ ) correspondentes aos três tipos de carregamento estudados, para cada um dos índices  $l/d_p$  analisados, que por sua vez compreendem cada um dos quatro valores de tensão efetiva arbitrados. As regressões lineares obtidas em cada conjunto de protótipos com mesmo  $f_{pe}$ , na forma de  $\Delta f_{ps} = f(\omega_e)$ , serão também indicadas.

#### 4.2.1 Carregamento nos Terços Médios

Os gráficos de dispersão dos pontos ( $\omega_e$ ,  $\Delta f_{ps}$ ) são apresentados isoladamente para cada índice  $l/d_p$ . Por fim, os gráficos correspondentes a cada  $l/d_p$  serão superpostos.

##### 4.2.1.1 Índice de Esbeltez à Flexão $l/d_p = 21,7$

Na figura 4.4 (a), (b), (c) e (d) são apresentados os gráficos correspondentes aos protótipos com tensões efetivas  $f_{pe}$  iguais a 92,7, 112,5, 132,3 e 152,0 kN/cm<sup>2</sup>, respectivamente. O tamanho da amostra de  $n$  pontos e as regressões lineares e coeficientes de determinação  $R^2$  obtidos, são indicados em cada gráfico.

Observa-se, em todos os gráficos, que o valor de  $\Delta f_{ps}$  é inversamente proporcional ao valor de  $\omega_e$ , comportamento este já destacado por Tao e Du (1985) e Chakrabarti (1995) em trabalhos experimentais, conforme relatado em 2.1.2. Pode-se perceber também que, a medida em que maiores tensões efetivas são utilizadas em cada grupo de protótipos, são obtidos valores menores de  $\Delta f_{ps}$ . Com o aumento de  $f_{pe}$ , as retas de regressão são deslocadas para baixo e o coeficiente angular diminui.

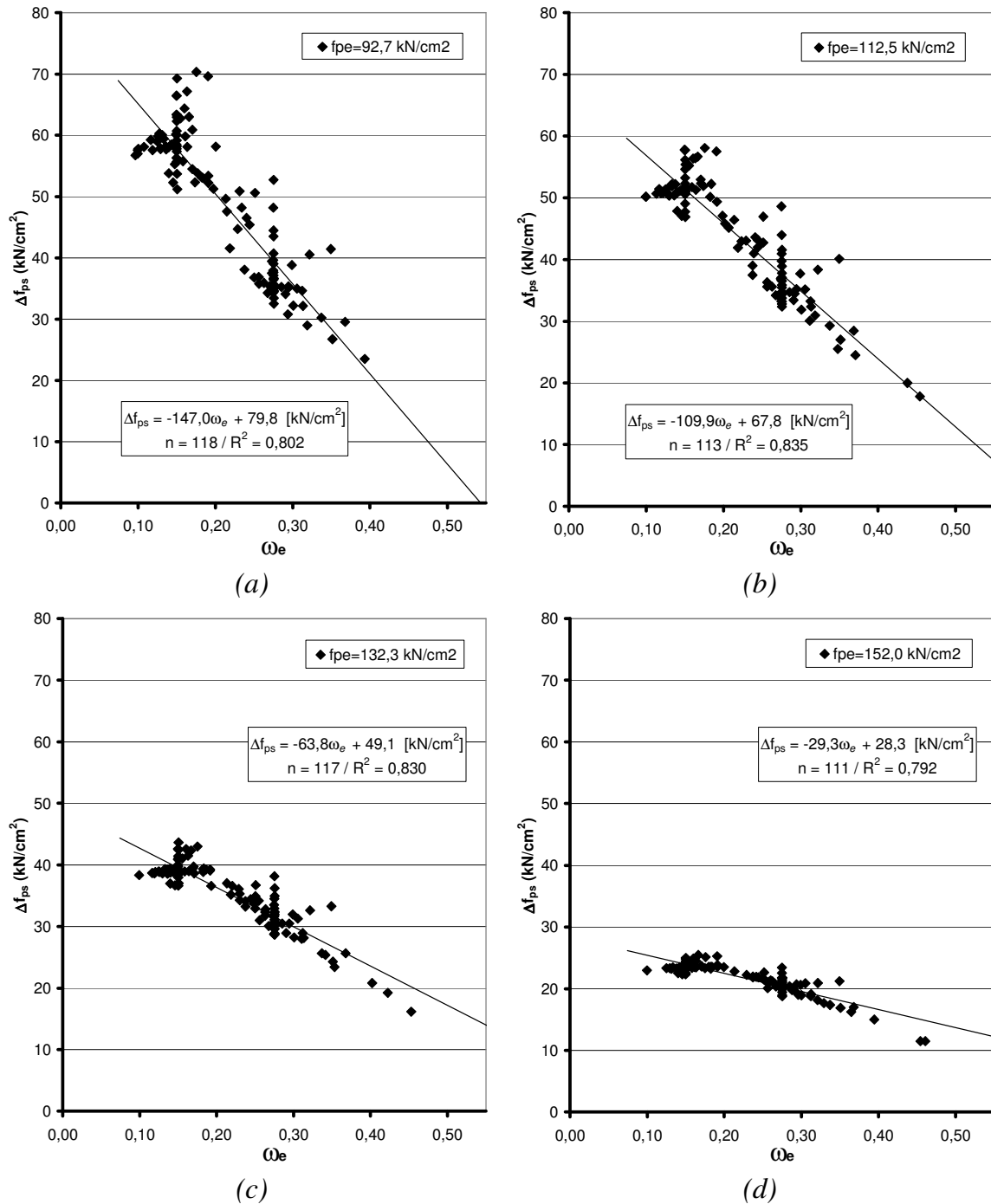


Figura 4.4 – Gráficos de dispersão ( $\omega_e$ ,  $\Delta f_{ps}$ ) de protótipos com carregamento nos terços médios e  $l/d_p = 21,7$ : a) Protótipos com  $f_{pe} = 92,7 \text{ kN/cm}^2$ ; b)  $f_{pe} = 112,5 \text{ kN/cm}^2$ ; c)  $f_{pe} = 132,3 \text{ kN/cm}^2$ ; d)  $f_{pe} = 152,0 \text{ kN/cm}^2$

A figura 4.5 apresenta um gráfico de dispersão ( $\omega_e$ ,  $\Delta f_{ps}$ ) onde os gráficos da figura 4.4 são superpostos. É possível observar que protótipos com maiores valores de tensão efetiva correspondem a menores valores resultantes de  $\Delta f_{ps}$ .

As equações (4.1) à (4.4) apresentadas ao lado do gráfico indicam as regressões lineares obtidas para as tensões efetivas 92,7; 112,5; 132,3 e 152,0 kN/cm<sup>2</sup>, respectivamente. A unidade do valor de  $\Delta f_{ps}$  resultante é o kN/cm<sup>2</sup>. Os coeficientes de determinação  $R^2$  e o tamanho  $n$  da amostra também são indicados.

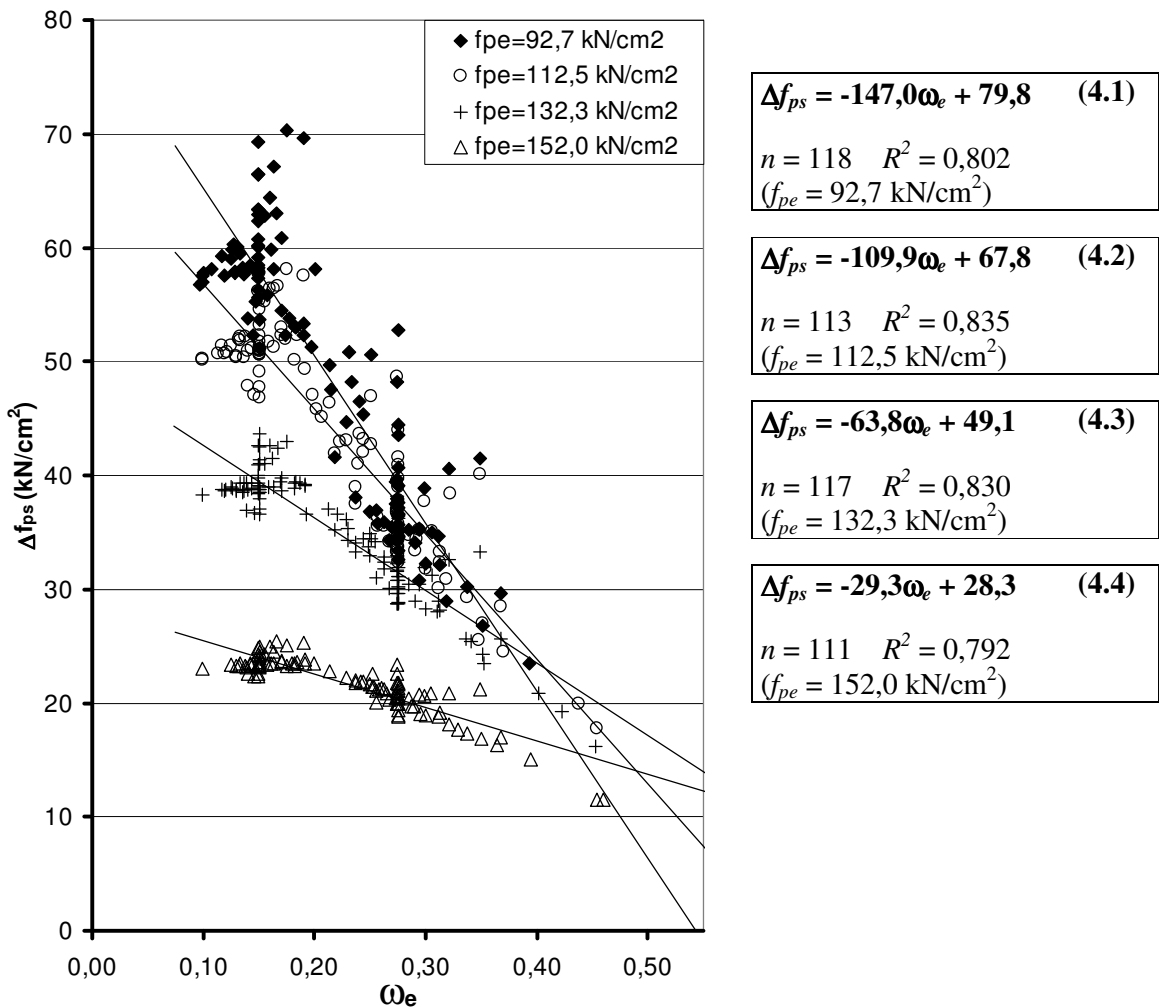


Figura 4.5 – Gráfico de dispersão ( $\omega_e$ ,  $\Delta f_{ps}$ ) e regressões lineares para protótipos com carregamento nos terços médios e  $l/d_p = 21,7$  – superposição de todos os valores de  $f_{pe}$

#### 4.2.1.2 Índices de Esbeltez à Flexão $l/d_p = 38,7$ e $55,7$

A análise de protótipos com carregamento nos terços e índices  $l/d_p$  iguais à 38,7 e 55,7 revelou resultados muito similares de  $\Delta f_{ps}$  aos dos protótipos correspondentes, com  $l/d_p$  igual à 21,7. A tabela 4.2 exemplifica resultados de deslocamento e  $\Delta f_{ps}$  na ruptura de protótipos derivados do protótipo de referência **0,30-0,150-112,5-REF**. Percebe-se o aumento de dutilidade com o aumento de  $l/d_p$ . Já os valores de  $\Delta f_{ps}$  são, conforme as diferenças percentuais indicadas, praticamente os mesmos, para quaisquer índices  $l/d_p$  de um determinado protótipo.

Diferenças percentuais desta mesma ordem podem ser obtidas entre os valores de  $\Delta f_{ps}$  resultantes da análise numérica de um mesmo protótipo, com a utilização de diferentes passos incrementais. As diferenças indicadas na tabela 4.2 podem ser consideradas, então, inerentes ao próprio processo de análise. As médias das diferenças nos resultados de  $\Delta f_{ps}$ , entre protótipos correspondentes com  $l/d_p = 38,7$  e 21,7, e protótipos com  $l/d_p = 55,7$  e 21,7 foram, respectivamente, iguais a 1,4 e 1,5 %.

Tabela 4.2 – Comparação de resultados, entre os vários índices  $l/d_p$  analisados, de  $\delta$  e  $\Delta f_{ps}$  na ruptura de protótipos com carregamento nos terços, derivados do protótipo de referência **0,30-0,150-112,5-REF** [kN; cm]

Laje protótipo	$l/d_p = 21,7$		$l/d_p = 38,7$		$l/d_p = 55,7$		Diferença $l/d_p$ 38,7 - 21,7 $\Delta f_{ps}$ (%)	Diferença $l/d_p$ 55,7 - 21,7 $\Delta f_{ps}$ (%)
	$\delta$	$\Delta f_{ps}$	$\delta$	$\Delta f_{ps}$	$\delta$	$\Delta f_{ps}$		
0,30-0,150-112,5-REF	6,5	51,8	20,8	51,9	43,0	51,6	0,3	-0,4
0,30-0,150-112,5-01	6,2	50,6	19,9	50,3	41,3	50,0	-0,6	-1,2
0,30-0,150-112,5-02	6,3	51,0	20,2	50,8	41,8	50,3	-0,5	-1,5
0,30-0,150-112,5-03	6,3	51,1	20,5	51,3	42,4	51,0	0,5	-0,1
0,30-0,150-112,5-04	6,6	52,3	21,1	52,4	43,7	52,1	0,2	-0,4
0,30-0,150-112,5-05	6,8	53,2	21,6	53,4	44,5	52,8	0,3	-0,8
0,30-0,150-112,5-06	6,8	54,6	22,4	54,8	46,4	54,6	0,4	-0,1
0,30-0,150-112,5-07	--	--	--	--	53,8	58,8	--	--
0,30-0,150-112,5-08	7,9	57,8	25,2	57,7	48,4	55,9	-0,2	-3,3
0,30-0,150-112,5-09	7,3	56,2	23,4	56,1	48,7	55,9	-0,1	-0,5
0,30-0,150-112,5-10	5,8	47,7	18,6	47,6	38,6	47,2	-0,3	-1,1
0,30-0,150-112,5-11	5,5	41,0	17,3	40,8	--	--	-0,4	--
0,30-0,150-112,5-12	6,7	51,9	21,6	51,8	--	--	-0,2	--
0,30-0,150-112,5-13	6,5	51,7	21,1	51,9	42,2	51,7	0,3	-0,2
0,30-0,150-112,5-14	6,4	52,2	20,4	52,0	41,9	51,6	-0,4	-1,2
0,30-0,150-112,5-15	6,4	52,2	20,3	52,0	41,9	51,7	-0,4	-1,1
0,30-0,150-112,5-16	6,3	52,0	20,2	52,0	41,9	51,8	0,0	-0,4
0,30-0,150-112,5-17	3,8	17,8	11,9	17,8	24,7	17,3	-0,1	-2,8
0,30-0,150-112,5-18	5,8	42,8	18,0	41,7	37,1	41,0	-2,4	-4,2
0,30-0,150-112,5-19	6,8	52,3	21,8	52,1	--	--	-0,3	--
0,30-0,150-112,5-20	6,3	51,8	20,1	51,7	41,7	51,4	-0,2	-0,9
0,30-0,150-112,5-21	6,1	51,4	19,5	51,3	40,0	50,8	-0,2	-1,2
0,30-0,150-112,5-22	5,8	50,2	18,6	50,3	--	--	0,1	--
0,30-0,150-112,5-23	5,6	50,8	18,0	50,4	37,2	50,2	-0,8	-1,2
0,30-0,150-112,5-24	5,8	50,1	18,4	50,1	--	--	0,0	--
0,30-0,150-112,5-25	6,1	51,4	19,5	51,3	40,5	50,7	-0,2	-1,3
0,30-0,150-112,5-26	6,8	52,9	21,8	52,7	45,0	52,3	-0,5	-1,3
0,30-0,150-112,5-27	--	--	21,1	49,6	44,6	50,5	--	--
0,30-0,150-112,5-28	6,3	47,0	19,5	45,9	40,6	45,6	-2,2	-2,8
0,30-0,150-112,5-29	8,1	57,5	26,4	58,7	54,9	58,6	2,1	1,9
0,30-0,150-112,5-30	8,2	58,1	26,3	58,6	54,5	58,4	0,9	0,6
0,30-0,150-112,5-31	7,5	56,4	24,1	56,3	49,7	56,0	-0,2	-0,7
0,30-0,150-112,5-32	5,8	47,9	18,3	47,6	37,9	47,2	-0,5	-1,4

-- indica que não houve convergência de análise

As figuras 4.6 e 4.7 apresentam os gráficos de dispersão dos pontos ( $\omega_e$ ,  $\Delta f_{ps}$ ) de protótipos com carregamento nos terços médios, para índices de esbeltez de 38,7 e 55,7, respectivamente, com a superposição de todos os valores de  $f_{pe}$  analisados. As regressões lineares são indicadas, para  $l/d_p = 38,7$  e  $f_{pe}$  variando de 92,7 a 152,0 kN/cm<sup>2</sup>, pelas equações (4.5) a (4.8) e, para  $l/d_p = 55,7$ , pelas equações (4.9) a (4.12), onde  $\Delta f_{ps}$  é dado em kN/cm<sup>2</sup>.

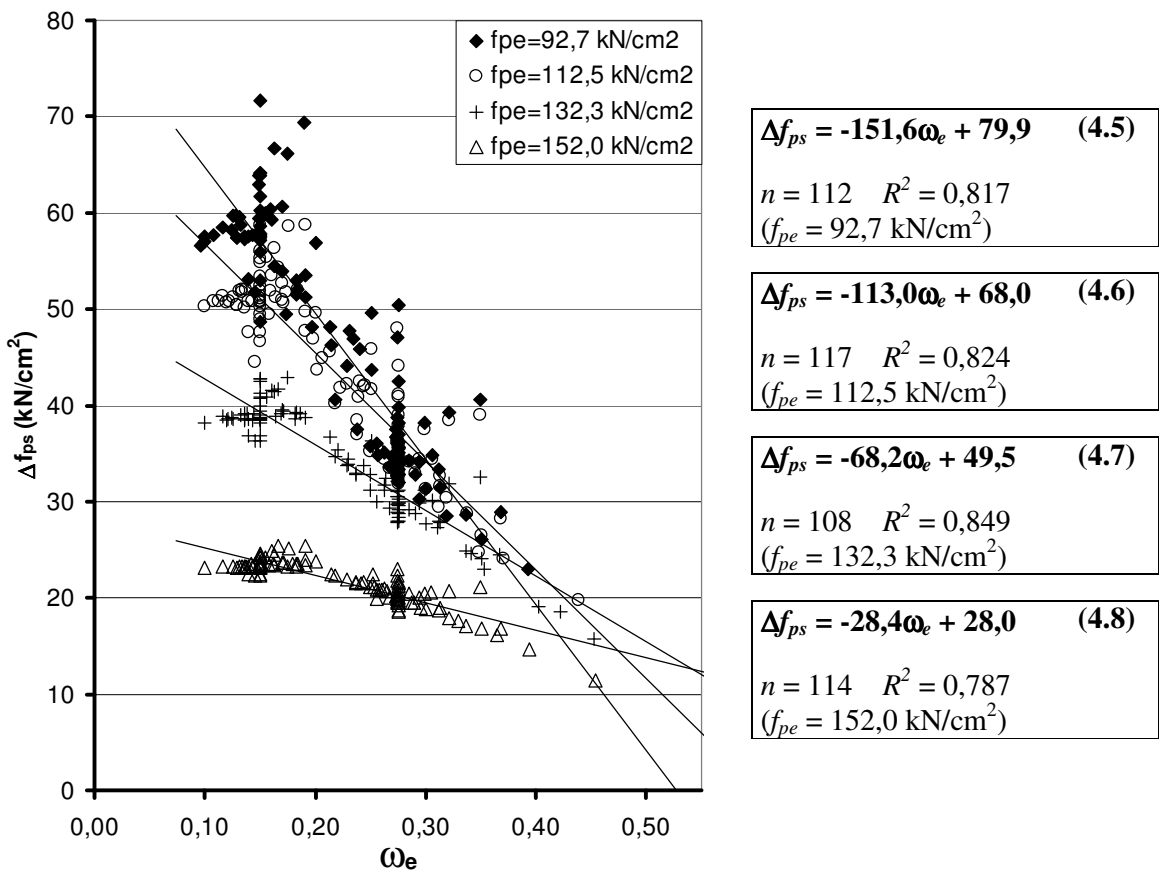


Figura 4.6 – Gráfico de dispersão ( $\omega_e$ ,  $\Delta f_{ps}$ ) e regressões lineares para protótipos com carregamento nos terços médios e  $l/d_p = 38,7$  – superposição de todos os valores de  $f_{pe}$

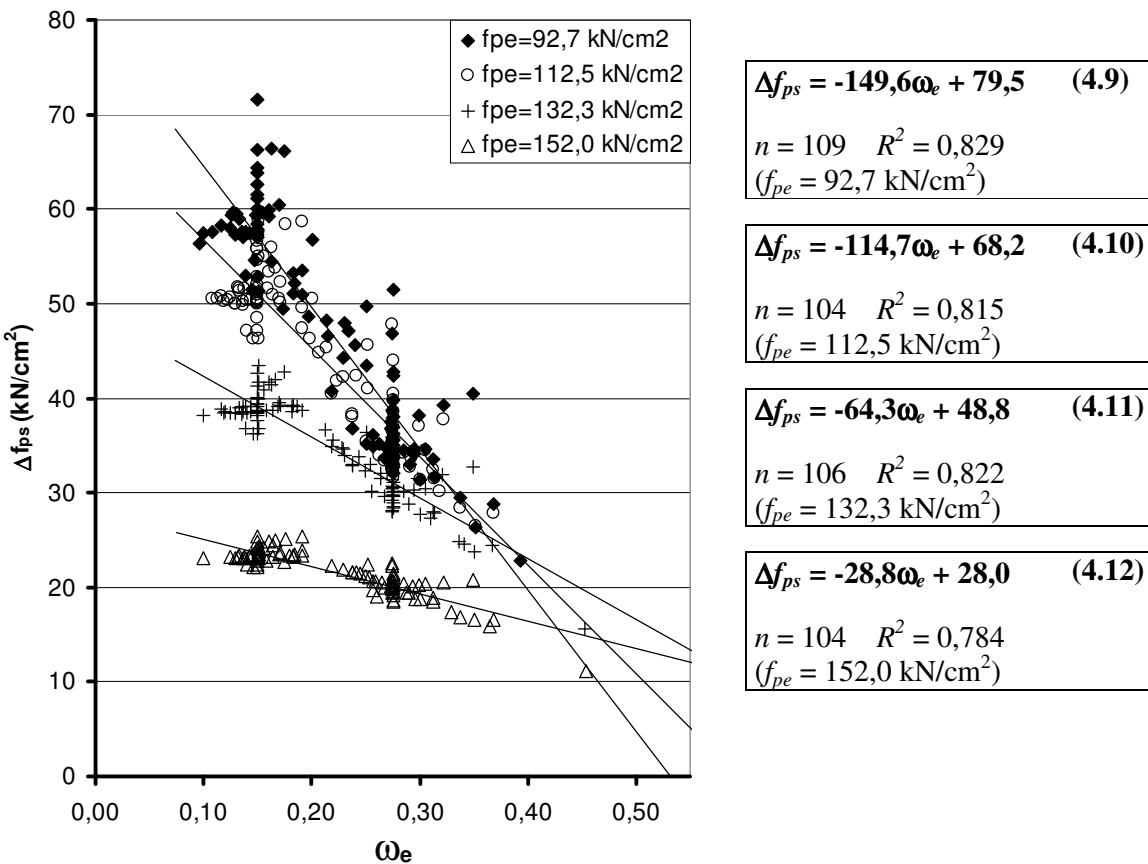


Figura 4.7 – Gráfico de dispersão ( $\omega_e$  ,  $\Delta f_{ps}$ ) e regressões lineares para protótipos com carregamento nos terços médios e  $l/d_p = 55,7$  – superposição de todos os valores de  $f_{pe}$

Observa-se a semelhança entre os gráficos das figuras (4.5) a (4.7) e entre o conjunto de regressões indicadas em cada uma delas, comparando-se mesmos valores de tensões efetivas  $f_{pe}$ .

A figura 4.8 apresenta a superposição dos gráficos das figuras (4.5) a (4.7), juntamente com as regressões lineares obtidas desta superposição, para  $f_{pe}$  variando de 92,7 a 152,0 kN/cm<sup>2</sup>, conforme indicado nas equações (4.13) a (4.16), onde  $\Delta f_{ps}$  é dado em kN/cm<sup>2</sup>.

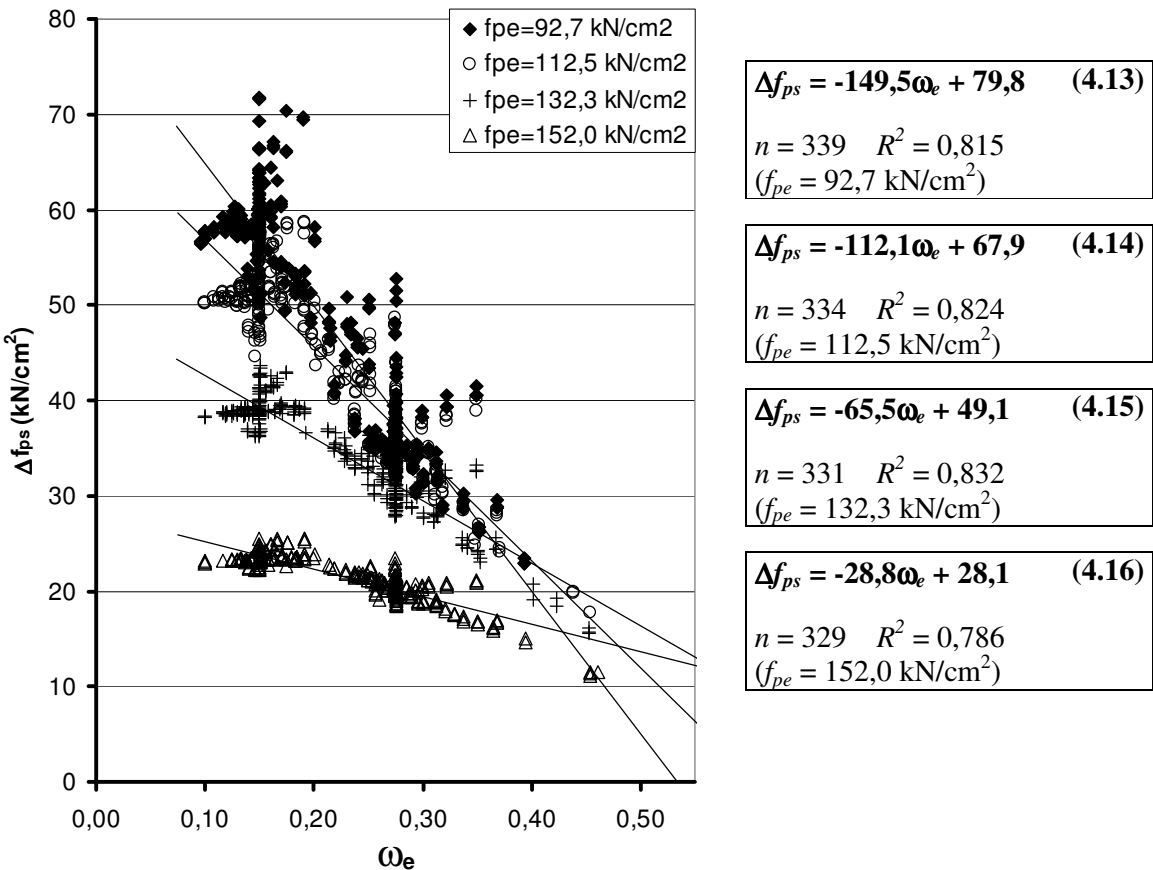


Figura 4.8 – Gráfico de dispersão ( $\omega_e$ ,  $\Delta f_{ps}$ ) e regressões lineares para protótipos com carregamento nos terços médios – superposição de todos os índices de esbeltez

#### 4.2.2 Carregamento Concentrado

Protótipos submetidos a carregamento concentrado foram, dentre os três tipos de carregamento estudados, os que apresentaram menor índice de convergência numérica e menores valores resultantes de  $\Delta f_{ps}$ . Os gráficos de dispersão correspondentes a cada índice  $l/d_p$  são apresentados a seguir.

#### 4.2.2.1 Índice de Esbeltez à Flexão $l/d_p = 21,7$

Na figura 4.9 (a), (b), (c) e (d) são apresentados os gráficos correspondentes aos protótipos com tensões efetivas  $f_{pe}$  iguais a 92,7, 112,5, 132,3 e 152,0 kN/cm<sup>2</sup>, respectivamente.

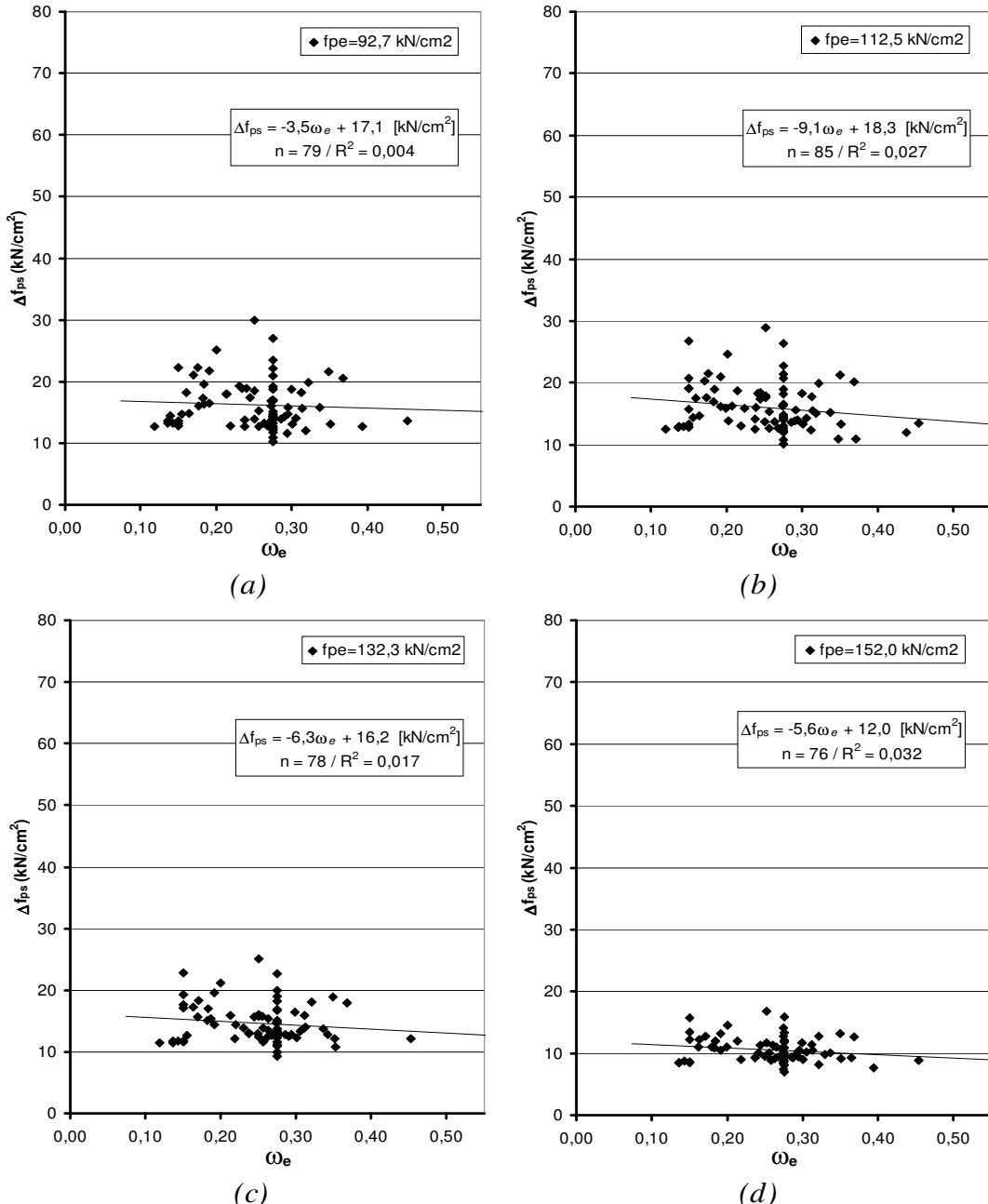


Figura 4.9 – Gráficos de dispersão ( $\omega_e$ ,  $\Delta f_{ps}$ ) de protótipos com carregamento concentrado e  $l/d_p = 21,7$ : a)  $f_{pe} = 92,7 \text{ kN/cm}^2$ ; b)  $f_{pe} = 112,5 \text{ kN/cm}^2$ ; c)  $f_{pe} = 132,3 \text{ kN/cm}^2$ ; d)  $f_{pe} = 152,0 \text{ kN/cm}^2$

A boa correlação obtida para protótipos com carregamento nos terços médios não é observada em protótipos com carregamento concentrado. As regressões lineares resultaram em retas que poderiam ser consideradas como patamares de valores de  $\Delta f_{ps}$ , tendo em vista a pequena variação de seus valores entre os extremos do domínio de  $\omega_e$ . Grupos de protótipos com valores maiores de  $f_{pe}$  apresentaram médias dos valores de  $\Delta f_{ps}$  menores, assim como também as dispersões em torno destas médias.

A figura 4.10 apresenta o gráfico de dispersão ( $\omega_e$ ,  $\Delta f_{ps}$ ) onde os gráficos da figura 4.9 são superpostos. As equações (4.17) à (4.20) apresentadas ao lado do gráfico indicam as regressões lineares obtidas para as tensões efetivas 92,7, 112,5, 132,3 e 152,0  $\text{kN/cm}^2$ , respectivamente. A unidade do valor de  $\Delta f_{ps}$  resultante é o  $\text{kN/cm}^2$ .

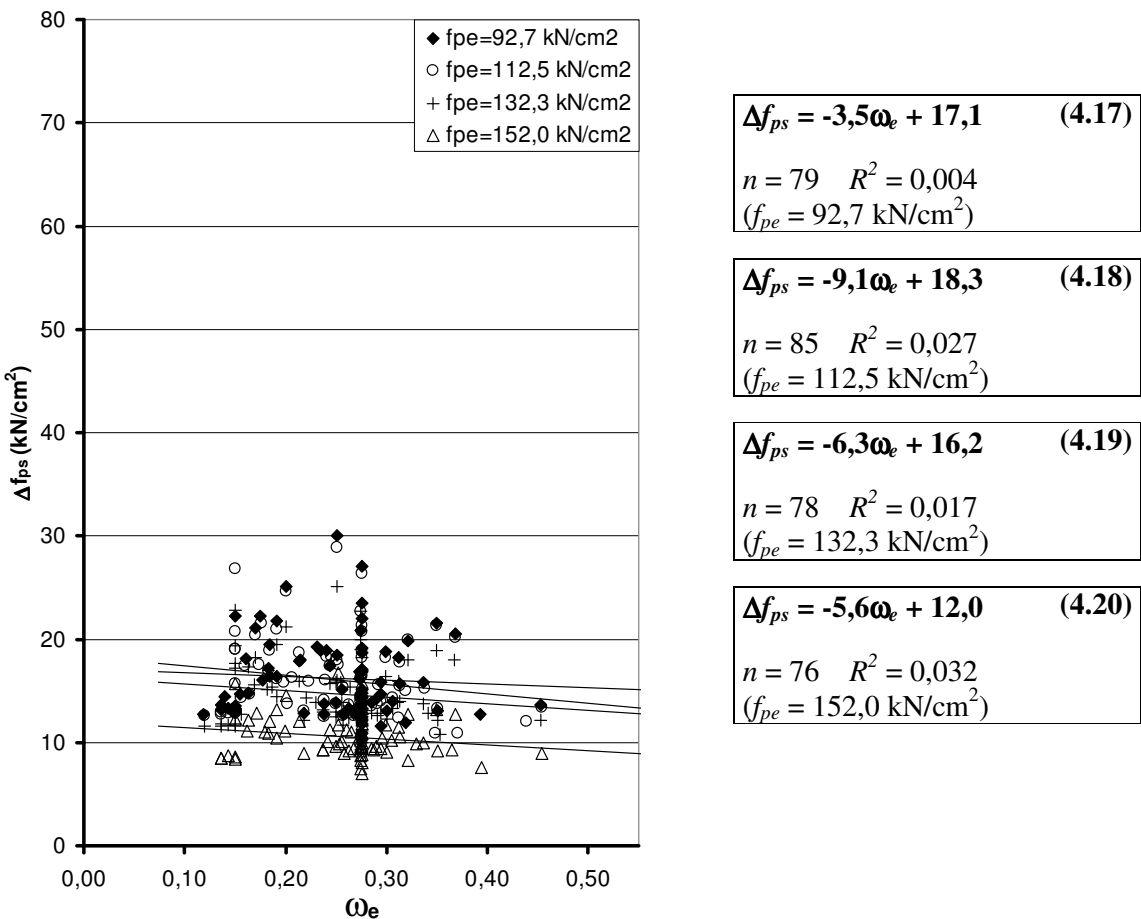


Figura 4.10 – Gráfico de dispersão ( $\omega_e$ ,  $\Delta f_{ps}$ ) e regressões lineares para protótipos com carregamento concentrado e  $l/d_p = 21,7$  – superposição de todos os valores de  $f_{pe}$

#### 4.2.2.2 Índices de Esbeltez à Flexão $l/d_p = 38,7$ e $55,7$

Da mesma maneira que para o carregamento nos terços, a análise de protótipos com carregamento concentrado e índices  $l/d_p$  iguais à 38,7 e 55,7 revelou resultados muito similares de  $\Delta f_{ps}$  aos dos protótipos correspondentes com  $l/d_p$  igual à 21,7.

As médias das diferenças nos resultados de  $\Delta f_{ps}$ , entre protótipos correspondentes com  $l/d_p = 38,7$  e 21,7, e protótipos com  $l/d_p = 55,7$  e 21,7 foram, respectivamente, iguais a 2,8 e 4,0 %.

A figura 4.11 (a) e (b) apresenta os gráficos de dispersão dos pontos ( $\omega_e$ ,  $\Delta f_{ps}$ ) de protótipos com carregamento concentrado, para índices de esbeltez de 38,7 e 55,7, respectivamente, com a superposição de todos os valores de  $f_{pe}$  analisados.

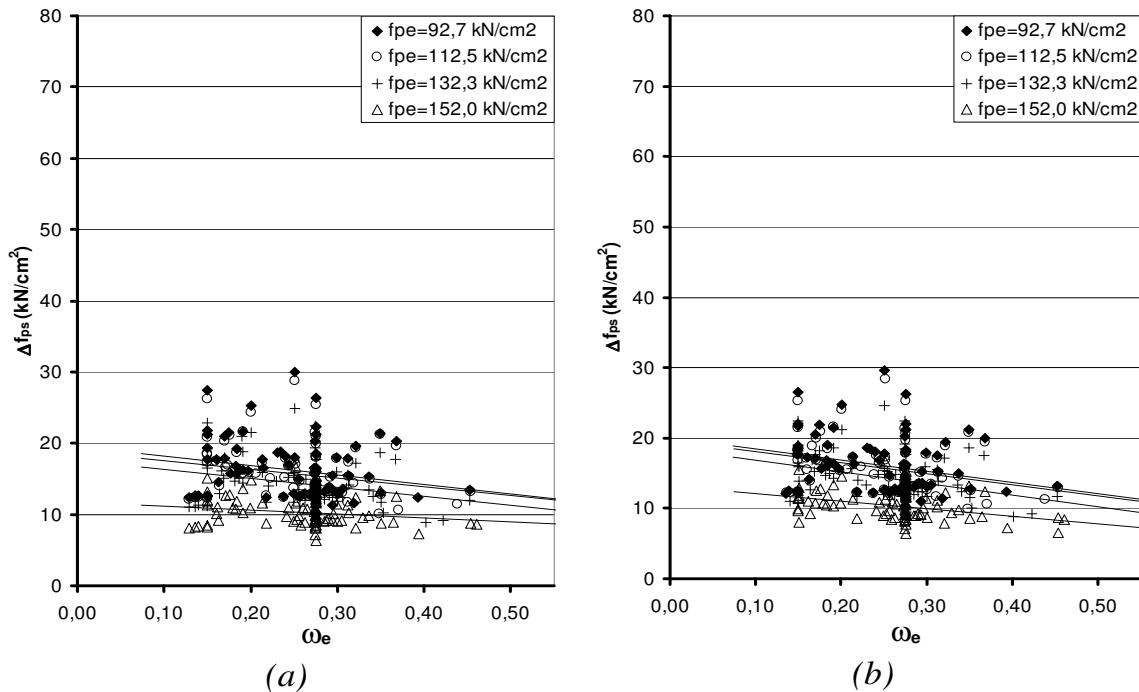


Figura 4.11 – Gráficos de dispersão ( $\omega_e$ ,  $\Delta f_{ps}$ ) de protótipos com carregamento concentrado: a)  $l/d_p = 38,7$ ; b)  $l/d_p = 55,7$

A figura 4.12 apresenta a superposição dos gráficos das figuras (4.10) e (4.11), juntamente com as regressões lineares obtidas desta superposição, para  $f_{pe}$  variando de 92,7 a 152,0 kN/cm<sup>2</sup>, conforme indicado nas equações (4.21) a (4.24), onde  $\Delta f_{ps}$  é dado em kN/cm<sup>2</sup>.

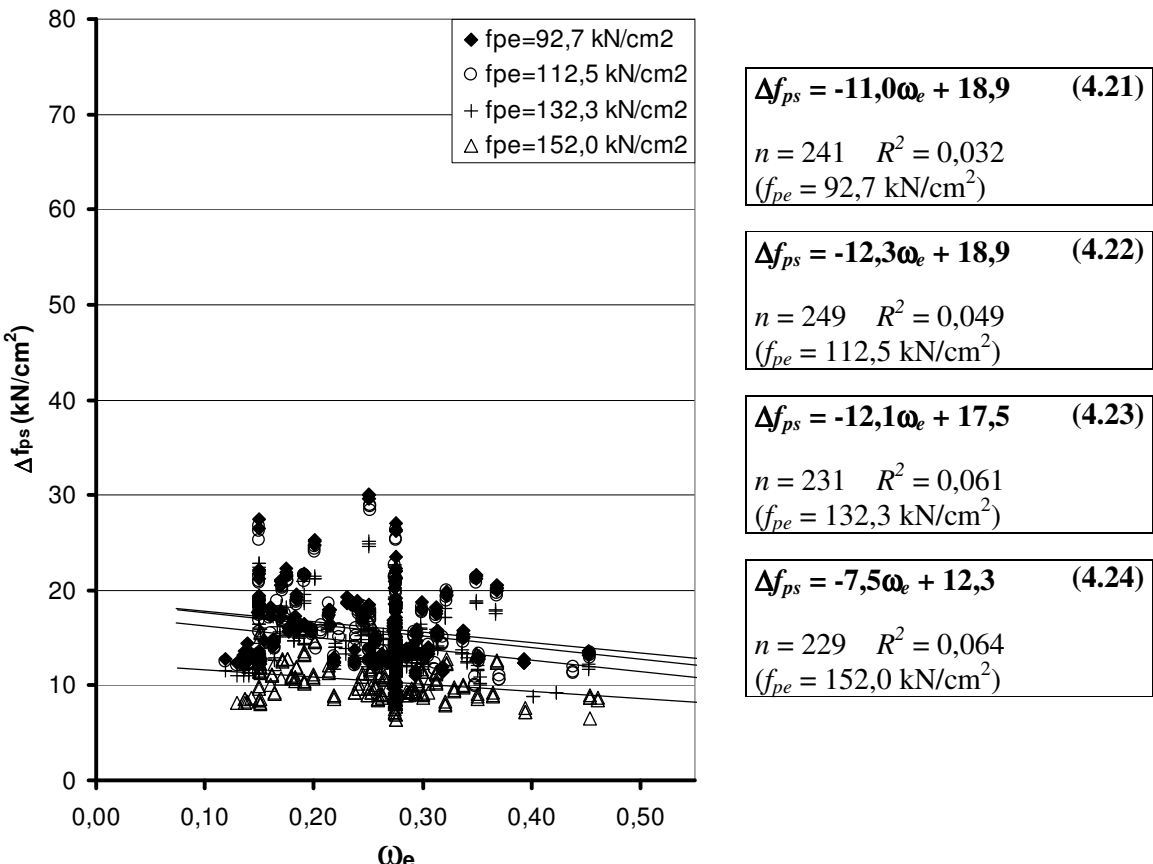


Figura 4.12 – Gráfico de dispersão ( $\omega_e$  ,  $\Delta f_{ps}$ ) e regressões lineares para protótipos com carregamento concentrado – superposição de todos os índices de esbeltez

A tabela 4.3 apresenta, para grupos de protótipos com mesmos valores de  $f_{pe}$ , as médias e desvios-padrão dos valores de  $\Delta f_{ps}$  em cada um dos gráficos de dispersão dos pontos ( $\omega_e$  ,  $\Delta f_{ps}$ ) apresentados nas figuras (4.10) a (4.12). Observa-se que para protótipos com mesmos valores de  $f_{pe}$ , as médias e desvios-padrão são muito similares, independentemente do índice de esbeltez à flexão.

Tabela 4.3 – Médias e desvios-padrão dos valores de  $\Delta f_{ps}$  dos grupos de protótipos com mesmo  $f_{pe}$  e carregamento concentrado [kN; cm]

Grupo de protótipos	Figura representativa	Amostra n	$\Delta f_{ps}$ médio	Desv-pad.	CV (%)
$l/d_p = 21,7 - f_{pe} = 92,7$	4.9(a) e 4.10	79	16,2	3,9	23,8
$l/d_p = 21,7 - f_{pe} = 112,5$	4.9(b) e 4.10	85	16,1	3,8	23,6
$l/d_p = 21,7 - f_{pe} = 132,3$	4.9(c) e 4.10	78	14,7	3,1	21,4
$l/d_p = 21,7 - f_{pe} = 152,0$	4.9(d) e 4.10	76	10,6	2,0	18,9
$l/d_p = 38,7 - f_{pe} = 92,7$	4.11(a)	80	16,2	4,1	25,0
$l/d_p = 38,7 - f_{pe} = 112,5$	4.11(a)	82	15,7	3,8	24,4
$l/d_p = 38,7 - f_{pe} = 132,3$	4.11(a)	77	14,3	3,4	23,5
$l/d_p = 38,7 - f_{pe} = 152,0$	4.11(a)	77	10,3	2,0	19,7
$l/d_p = 55,7 - f_{pe} = 92,7$	4.11(b)	82	16,1	4,0	24,8
$l/d_p = 55,7 - f_{pe} = 112,5$	4.11(b)	82	15,7	3,8	24,2
$l/d_p = 55,7 - f_{pe} = 132,3$	4.11(b)	76	14,3	3,3	23,0
$l/d_p = 55,7 - f_{pe} = 152,0$	4.11(b)	76	10,4	2,1	20,0
todos $l/d_p$ superpostos - $f_{pe} = 92,7$	4.12	241	16,2	4,0	24,5
todos $l/d_p$ superpostos - $f_{pe} = 112,5$	4.12	249	15,8	3,8	23,9
todos $l/d_p$ superpostos - $f_{pe} = 132,3$	4.12	231	14,4	3,3	22,6
todos $l/d_p$ superpostos - $f_{pe} = 152,0$	4.12	229	10,4	2,0	19,5

#### 4.2.3 Carregamento Distribuído

A análise de protótipos com carregamento distribuído, como descrito em 3.4.3, considera diferentes comprimentos de zona plastificada ( $L_o$ ). Protótipos com índice  $l/d_p = 21,7$  foram analisados com a consideração de valores de  $L_o$  iguais a  $l/6$  e  $l/20$ . Em protótipos com  $l/d_p = 55,7$ , foi utilizado para análise o valor de  $L_o = l/6$ , somente.

Considerando protótipos submetidos a carregamento distribuído com  $L_o = l/6$ , verifica-se que estes apresentaram resultados de  $\Delta f_{ps}$  intermediários, entre os dos protótipos com carregamento nos terços e carregamento concentrado. Os coeficientes de determinação obtidos foram também inferiores aos obtidos nos protótipos com carga nos terços médios, embora indiquem ainda a existência de correlação entre  $\omega_e$  e  $\Delta f_{ps}$ .

Protótipos com  $L_o = l/20$  apresentaram baixa convergência numérica. Foram obtidos resultados de  $\Delta f_{ps}$  intermediários entre protótipos com carregamento distribuído e  $L_o = l/6$ , e

carregamento concentrado. Os coeficientes de determinação obtidos foram muito inferiores aos dos protótipos com carregamento distribuído e  $L_o = l/6$ .

Os gráficos de dispersão correspondentes aos protótipos com  $L_o = l/6$  são apresentados a seguir. Por fim, serão ilustrados os gráficos de dispersão dos protótipos com  $L_o = l/20$ .

#### 4.2.3.1 $L_o = l/6$ e Índice de Esbeltez à Flexão $l/d_p = 21,7$

Na figura 4.13 (a), (b), (c) e (d) são apresentados os gráficos correspondentes aos protótipos com tensões efetivas  $f_{pe}$  iguais a 92,7; 112,5; 132,3 e 152,0  $\text{kN}/\text{cm}^2$ , respectivamente. O tamanho da amostra de  $n$  pontos e as regressões lineares e coeficientes de determinação  $R^2$  obtidos, são indicados em cada gráfico.

Assim como nos protótipos submetidos a carregamento nos terços médios e concentrado, protótipos com tensões efetivas  $f_{pe}$  menores resultaram em incrementos de tensão maiores.

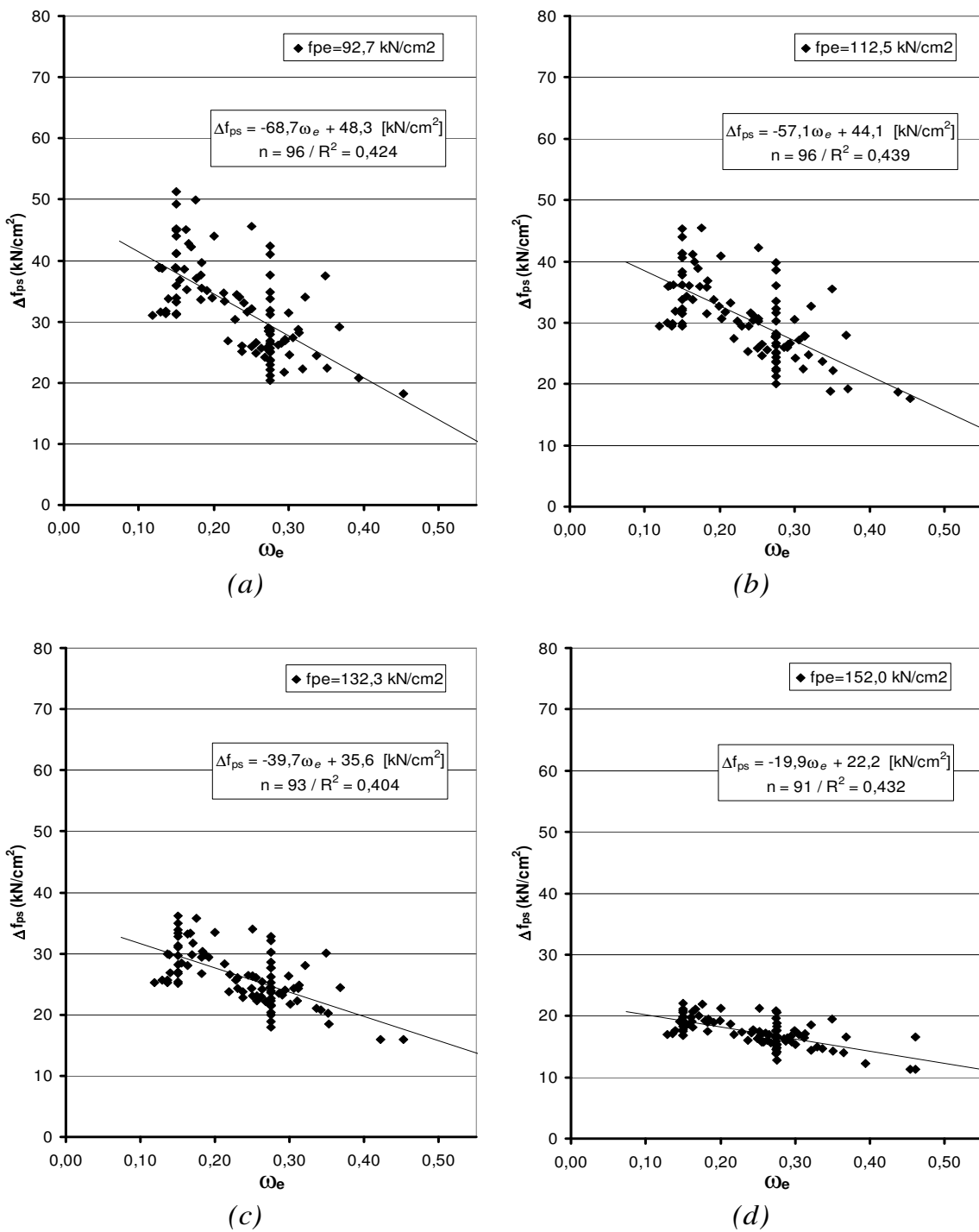


Figura 4.13 – Gráficos de dispersão ( $\omega_e$ ,  $\Delta f_{ps}$ ) de protótipos com carregamento distribuído com  $L_o = l/6$  e  $l/d_p = 21,7$ : a) Protótipos com  $f_{pe} = 92,7 \text{ kN/cm}^2$ ; b)  $f_{pe} = 112,5 \text{ kN/cm}^2$ ; c)  $f_{pe} = 132,3 \text{ kN/cm}^2$ ; d)  $f_{pe} = 152,0 \text{ kN/cm}^2$

A figura 4.14 apresenta o gráfico de dispersão ( $\omega_e$ ,  $\Delta f_{ps}$ ) onde os gráficos da figura 4.13 são superpostos. As equações (4.25) à (4.28) apresentadas ao lado do gráfico indicam as regressões lineares obtidas para as tensões efetivas 92,7, 112,5, 132,3 e 152,0 kN/cm<sup>2</sup>, respectivamente. A unidade do valor de  $\Delta f_{ps}$  resultante é o kN/cm<sup>2</sup>.

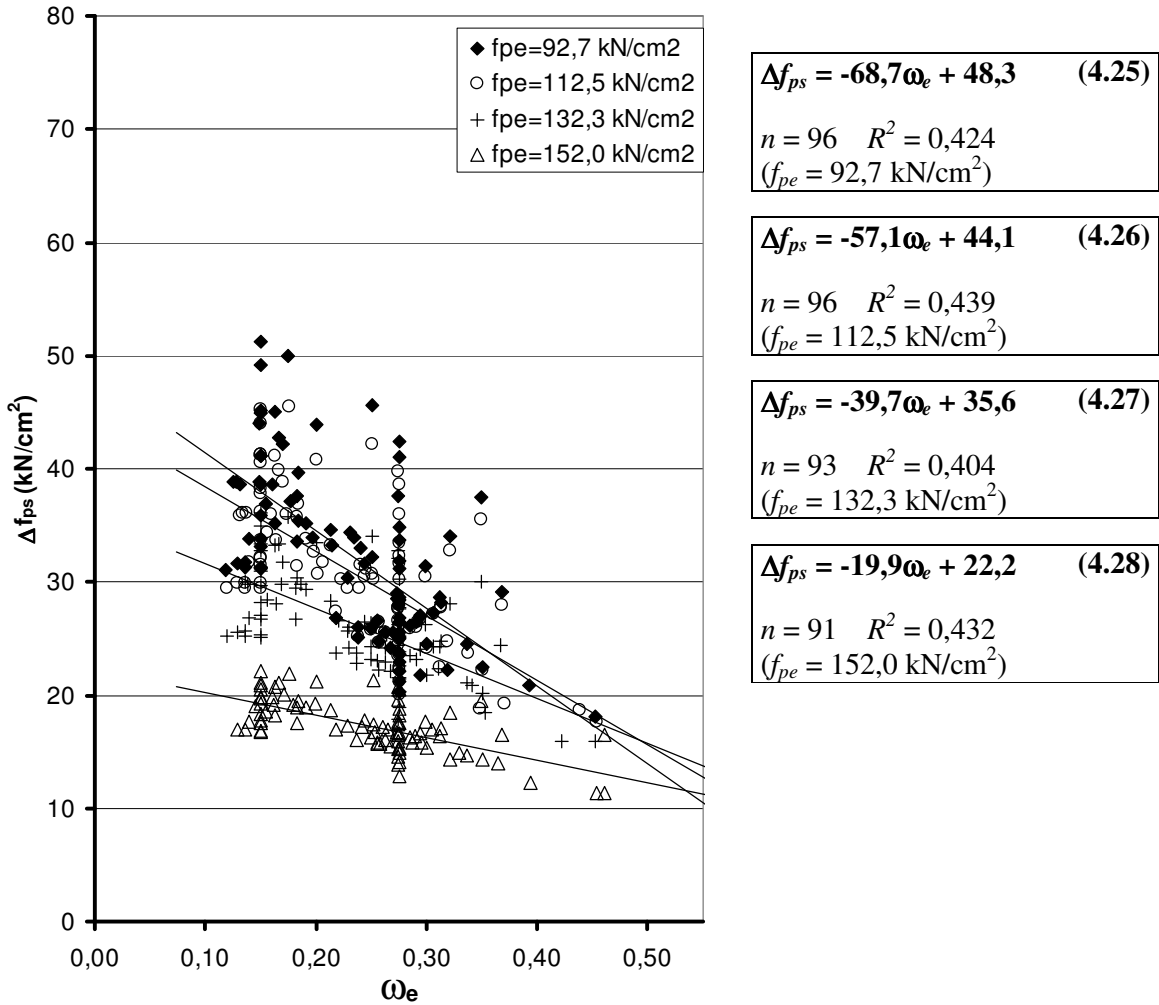


Figura 4.14 – Gráfico de dispersão ( $\omega_e$ ,  $\Delta f_{ps}$ ) e regressões lineares para protótipos com carregamento distribuído com  $L_o = l/6$  e  $l/d_p = 21,7$  – superposição de todos os valores de  $f_{pe}$

#### 4.2.3.2 $L_o = l/6$ e Índice de Esbeltez à Flexão $l/d_p = 55,7$

Da mesma maneira que para carregamento nos terços e concentrado, a análise de protótipos com carregamento distribuído com  $L_o = l/6$  e índice  $l/d_p$  igual a 55,7 revelou resultados muito similares de  $\Delta f_{ps}$  aos dos protótipos correspondentes com  $l/d_p$  igual a 21,7. Dessa forma, protótipos com índices de esbeltez iguais a 38,7 não foram estudados.

A média das diferenças nos resultados de  $\Delta f_{ps}$ , entre protótipos correspondentes com  $l/d_p = 21,7$  e  $l/d_p = 55,7$ , foi igual a 1,3 %. Tendo em vista a similaridade dos resultados, os gráficos de dispersão e as regressões lineares obtidas de protótipos com  $l/d_p = 55,7$  não serão apresentados, mas sim, a superposição dos resultados de ambas as esbeltezes – 21,7 e 55,7.

A figura 4.15 apresenta, então, a superposição dos gráficos de dispersão resultantes de protótipos com  $l/d_p$  iguais a 21,7 e 55,7, juntamente com as regressões lineares obtidas desta superposição, para  $f_{pe}$  variando de 92,7 a 152,0 kN/cm<sup>2</sup>, conforme indicado nas equações (4.29) a (4.32), onde  $\Delta f_{ps}$  é dado em kN/cm<sup>2</sup>.

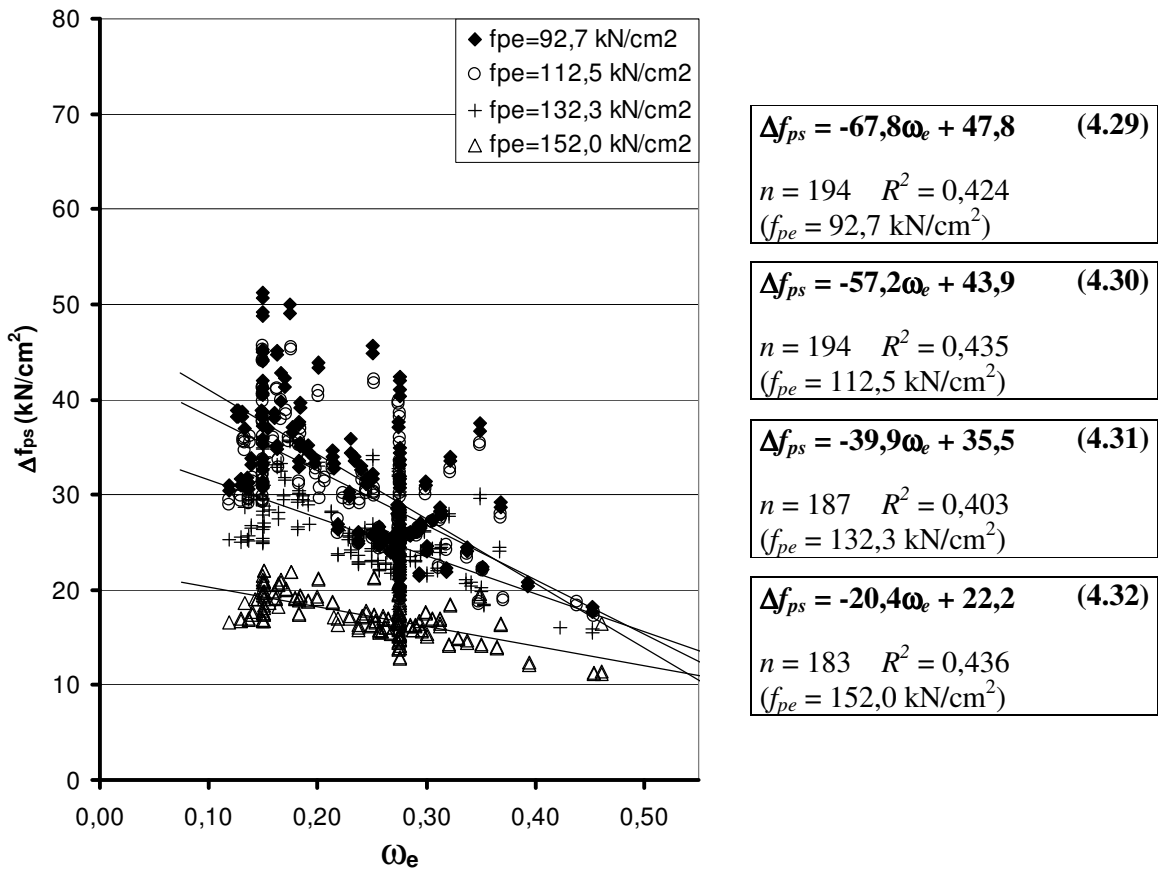


Figura 4.15 – Gráfico de dispersão ( $\omega_e$ ,  $\Delta f_{ps}$ ) e regressões lineares para protótipos com carregamento distribuído e  $L_o = l/6$  – superposição dos índices de esbeltez 21,7 e 55,7

#### 4.2.3.3 $L_o = l/20$ e Índice de Esbeltez à Flexão $l/d_p = 21,7$

Na figura 4.16 (a), (b), (c) e (d) são apresentados os gráficos correspondentes aos protótipos com tensões efetivas  $f_{pe}$  iguais a 92,7, 112,5, 132,3 e 152,0 kN/cm<sup>2</sup>, respectivamente. O tamanho da amostra de  $n$  pontos e as regressões lineares e coeficientes de determinação  $R^2$  obtidos, são indicados em cada gráfico.

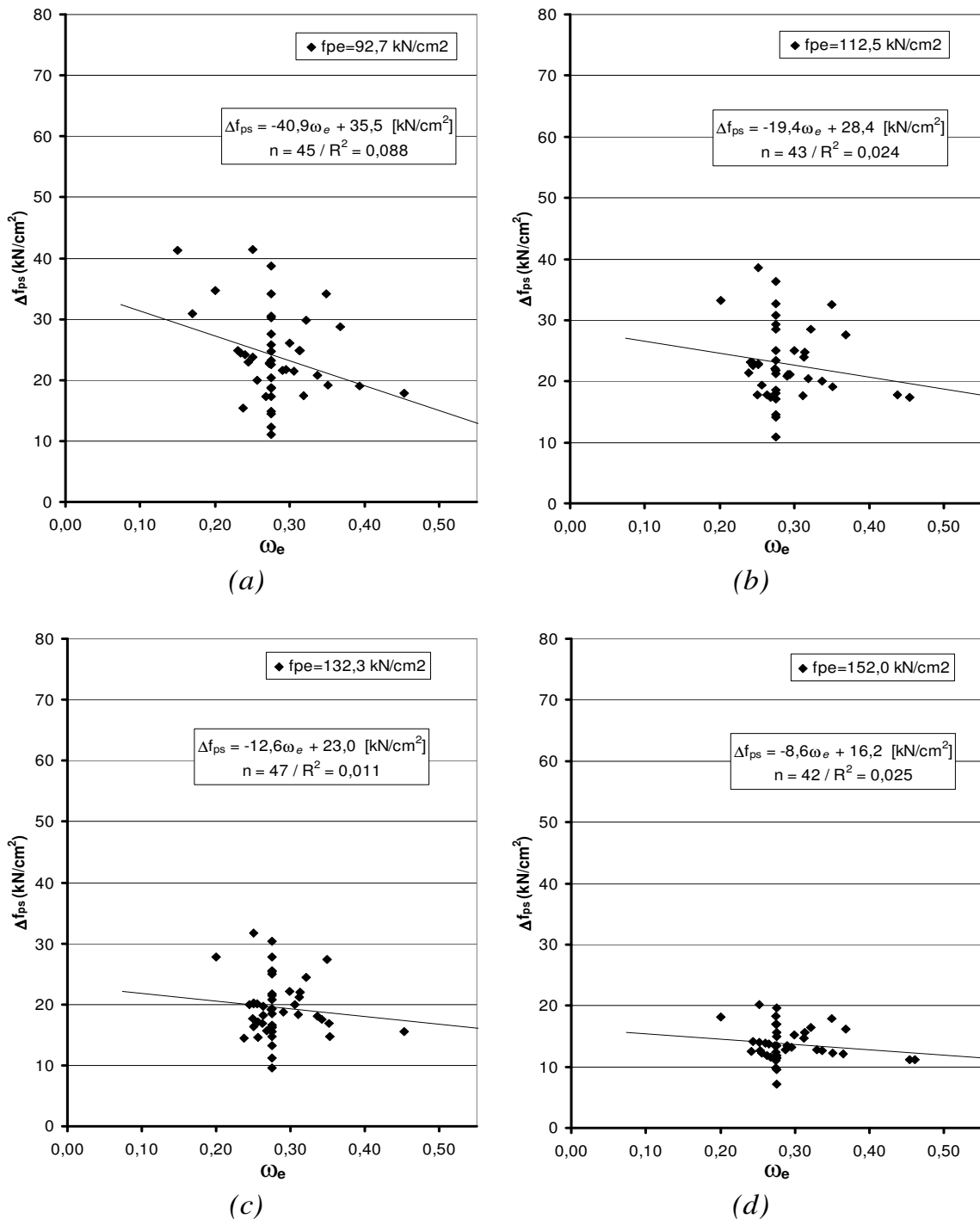


Figura 4.16 – Gráficos de dispersão ( $\omega_e$ ,  $\Delta f_{ps}$ ) de protótipos com carregamento distribuído com  $L_o = l/20$  e  $l/d_p = 21,7$ : a) Protótipos com  $f_{pe} = 92,7 \text{ kN/cm}^2$ ; b)  $f_{pe} = 112,5 \text{ kN/cm}^2$ ; c)  $f_{pe} = 132,3 \text{ kN/cm}^2$ ; d)  $f_{pe} = 152,0 \text{ kN/cm}^2$

Englobando-se os resultados obtidos para os diversos carregamentos é possível apresentar a tabela 4.4, que mostra a comparação de valores de  $\Delta f_{ps}$  obtidos em protótipos derivados do protótipo de referência **0,30-0,275-92,7-REF** (portanto com  $f_{pe} = 92,7 \text{ kN/cm}^2$ ) e  $l/d_p = 21,7$ , para os diversos tipos de carregamento estudados: terços médios, distribuído com  $L_o = l/6$ , distribuído com  $L_o = l/20$  e concentrado.

Tabela 4.4 – Valores obtidos de  $\Delta f_{ps}$  para diferentes tipos de carregamento aplicado [ $kN; cm$ ]

Laje protótipo	Valores de $\Delta f_{ps}$			
	carga terços médios	carga distribuída $L_o = l/6$	carga distribuída $L_o = l/20$	carga concentrada
0,30-0,275-92,7-REF	37,6	28,7	22,5	16,8
0,30-0,275-92,7-01	35,1	20,3	11,1	10,3
0,30-0,275-92,7-02	37,2	23,0	14,4	12,2
0,30-0,275-92,7-03	36,6	25,6	18,6	14,4
0,30-0,275-92,7-04	39,1	31,2	25,8	18,7
0,30-0,275-92,7-05	40,7	34,9	30,5	22,1
0,30-0,275-92,7-06	43,5	41,0	38,7	27,0
0,30-0,275-92,7-07	52,7	42,4	34,1	23,5
0,30-0,275-92,7-08	48,2	37,6	30,2	20,9
0,30-0,275-92,7-09	44,5	33,7	24,8	19,2
0,30-0,275-92,7-10	34,7	25,0	18,8	14,8
0,30-0,275-92,7-11	23,5	20,8	19,0	12,7
0,30-0,275-92,7-12	35,2	27,1	21,7	15,8
0,30-0,275-92,7-13	39,5	29,0	22,8	16,9
0,30-0,275-92,7-14	46,5	33,1	24,1	18,9
0,30-0,275-92,7-15	48,2	33,9	24,4	18,9
0,30-0,275-92,7-16	50,9	34,4	24,9	19,2
0,30-0,275-92,7-17	9,6	9,5	9,3	7,2
0,30-0,275-92,7-18	18,3	18,0	17,6	13,2
0,30-0,275-92,7-19	30,2	24,5	20,7	15,8
0,30-0,275-92,7-20	45,4	31,6	23,0	17,4
0,30-0,275-92,7-21	49,7	34,6	--	17,9
0,30-0,275-92,7-22	--	37,6	--	17,2
0,30-0,275-92,7-23	57,7	31,2	--	13,7
0,30-0,275-92,7-24	53,1	33,5	--	--
0,30-0,275-92,7-25	44,7	30,3	--	--
0,30-0,275-92,7-26	34,6	28,7	24,8	18,3
0,30-0,275-92,7-27	29,6	29,2	28,7	20,6
0,30-0,275-92,7-28	29,6	29,0	28,5	20,5
0,30-0,275-92,7-29	41,4	37,4	34,2	21,5
0,30-0,275-92,7-30	40,5	34,0	29,9	19,9
0,30-0,275-92,7-31	38,9	31,4	26,0	18,8
0,30-0,275-92,7-32	36,9	26,6	20,0	15,2

-- indica que não houve convergência de análise

Observa-se na tabela a tendência de queda nos valores obtidos de  $\Delta f_{ps}$ , no sentido da coluna relativa ao carregamento nos terços médios, para a coluna relativa ao carregamento concentrado. Esta tabela indica para este caso específico de protótipos derivados da laje **0,30-0,275-92,7-REF**, o comportamento geral já revelado pelos gráficos de dispersão ( $\omega_e$  ,  $\Delta f_{ps}$ ) apresentados anteriormente.

### 4.3 Influência dos Parâmetros Estudados no Valor de $\Delta f_{ps}$

Neste item, será realizada uma análise da influência de cada fator, individualmente, sobre o valor do incremento de tensão na armadura não aderente, no Estado Limite Último, sendo eles:

- Parâmetros internos de  $\omega_e$ , com exceção do parâmetro  $f_{pe}$
- Taxa mecânica total de armadura  $\omega_e$
- Parâmetro  $f_{pe}$
- Índice de esbeltez à flexão  $l/d_p$
- Tipo de carregamento

#### 4.3.1 Parâmetros Internos de $\omega_e$

Dentre os parâmetros internos de  $\omega_e$ , a tensão efetiva  $f_{pe}$  foi o parâmetro de influência predominante no valor de  $\Delta f_{ps}$ , como observado nos gráficos de dispersão ( $\omega_e$  ,  $\Delta f_{ps}$ ) resultantes de protótipos correspondentes, com distintos valores de  $f_{pe}$ . Este será portanto analisado à parte, no item 4.3.3.

A figura 4.17 ilustra novamente o gráfico de dispersão dos pontos ( $\omega_e$  ,  $\Delta f_{ps}$ ) de protótipos com carregamento nos terços médios, índice  $l/d_p = 21,7$  e  $f_{pe} = 92,7$  kN/cm<sup>2</sup>. Embora uma relação linear entre as variáveis  $\omega_e$  e  $\Delta f_{ps}$  possa ser admitida, é possível observar uma dispersão nos valores de  $\Delta f_{ps}$ , para valores de  $\omega_e$  iguais a 0,150 e 0,275. Estas taxas

correspondem, pois, aos protótipos de sufixos 01 a 10, onde os valores de  $\omega_e$  foram mantidos constantes, em relação ao protótipo de referência.

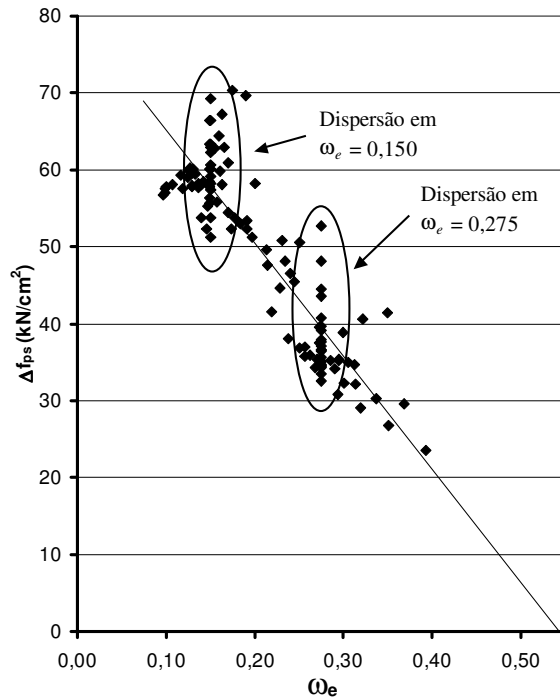


Figura 4.17 – Gráfico de dispersão dos pontos ( $\omega_e$ ,  $\Delta f_{ps}$ ) de protótipos com carregamento nos terços médios,  $l/d_p = 21,7$  e  $f_{pe} = 92,7$  kN/cm<sup>2</sup>

A tabela 4.5 permite uma análise mais detalhada dos protótipos, neste caso com  $\omega_e = 0,150$ , correspondentes aos ilustrados na figura 4.17. Protótipos com sufixos 01 a 06 tiveram os parâmetros  $f_y$  e  $A_s$  simultaneamente variados em relação à laje de referência, enquanto que protótipos com sufixo 07 a 10 sofreram variação de  $d_s$ ,  $A_{ps}$  e  $A_s$ . São apresentados nesta tabela os valores de  $\Delta f_{ps}$ , as deformações nos materiais  $\epsilon_c$  e  $\epsilon_s$ , a profundidade da linha neutra ( $x$ ) e as curvaturas ( $\varphi$ ), na situação de ruptura, para a seção central, no Estado Limite Último.

Tabela 4.5 – Valores de ruptura na zona plastificada de protótipos com carregamento nos terços,  $l/d_p = 21,7$ ,  $f_{pe} = 92,7 \text{ kN/cm}^2$  e  $\omega_e = 0,150$

ORDEM	Protótipo	$d_s$ [cm]	$f_y$ [kN/cm <sup>2</sup> ]	$\Delta f_{ps}$ [kN/cm <sup>2</sup> ]	$-\epsilon_c$ [%]	$\epsilon_s$ [%]	$x$ [cm]	$\Phi$ [1/cm]	Produto $[\Phi^*(d_p - x)]$
9	0,30-0,150-92,7-REF	17,5	50,0	60,0	0,30	1,00	4,0	0,00074	0,0085
16	0,30-0,150-92,7-01	17,5	12,5	57,4	0,29	1,00	3,9	0,00074	0,0085
13	0,30-0,150-92,7-02	17,5	25,0	58,2	0,29	1,00	3,9	0,00074	0,0085
10	0,30-0,150-92,7-03	17,5	37,5	59,2	0,29	1,00	3,9	0,00074	0,0085
8	0,30-0,150-92,7-04	17,5	60,0	60,7	0,29	1,00	4,0	0,00074	0,0085
7	0,30-0,150-92,7-05	17,5	75,0	62,3	0,29	1,00	4,0	0,00074	0,0085
4	0,30-0,150-92,7-06	17,5	100,0	63,4	0,29	1,00	3,9	0,00073	0,0085
--	0,30-0,150-92,7-07	12,5	50,0	--	--	--	--	--	--
1	0,30-0,150-92,7-08	14,0	50,0	69,3	0,31	1,00	3,3	0,00093	0,0114
2	0,30-0,150-92,7-09	15,5	50,0	66,5	0,29	1,00	3,4	0,00083	0,0100
19	0,30-0,150-92,7-10	19,5	50,0	53,7	0,28	1,00	4,2	0,00066	0,0074
--	0,70-0,150-92,7-REF	17,5	50,0	--	--	--	--	--	--
14	0,70-0,150-92,7-01	17,5	12,5	57,8	0,32	1,00	4,2	0,00075	0,0085
15	0,70-0,150-92,7-02	17,5	25,0	57,8	0,31	1,00	4,1	0,00075	0,0085
12	0,70-0,150-92,7-03	17,5	37,5	58,2	0,32	1,00	4,3	0,00076	0,0085
18	0,70-0,150-92,7-04	17,5	60,0	55,6	0,32	1,00	4,3	0,00076	0,0085
17	0,70-0,150-92,7-05	17,5	75,0	56,3	0,31	1,00	4,2	0,00075	0,0085
11	0,70-0,150-92,7-06	17,5	100,0	58,5	0,31	1,00	4,1	0,00075	0,0085
3	0,70-0,150-92,7-07	12,5	50,0	66,4	0,35	0,77	3,9	0,00089	0,0103
6	0,70-0,150-92,7-08	14,0	50,0	63,0	0,35	0,88	4,0	0,00088	0,0101
5	0,70-0,150-92,7-09	15,5	50,0	63,4	0,35	0,96	4,1	0,00085	0,0096
20	0,70-0,150-92,7-10	19,5	50,0	51,2	0,305	1,00	4,6	0,00067	0,0073

-- indica que não houve convergência numérica

A primeira coluna à esquerda indica a ordenação do protótipo, segundo valores decrescentes de  $\Delta f_{ps}$ . Observa-se que, em geral, protótipos com valores menores de altura útil da armadura passiva  $d_s$  (sufixos 07 a 09), em comparação com o valor de  $d_s$  dos protótipos de referência, resultaram em altos valores de  $\Delta f_{ps}$ . Também é possível notar a tendência de que menores valores de  $d_s$  resultaram em rupturas com linhas neutras altas (valores de  $x$  menores) e, ainda, grandes curvaturas.

Admitindo-se que o valor de  $\Delta f_{ps}$  é influenciado principalmente pelas deformações da zona plastificada, o mesmo pode ser considerado proporcional ao valor do produto  $\Phi(d_p - x)$ , que nada mais é do que a deformação da fibra de concreto na altura da armadura de protensão. Torna-se evidente, então, que valores de  $d_s$  menores resultem em maiores valores de  $\Delta f_{ps}$ . Nos protótipos com valores de  $d_s = 19,5 \text{ cm}$  (sufixo 10), portanto maiores que o dos protótipos de referência, observa-se, coerentemente, a tendência oposta, com baixos valores do produto  $\Phi(d_p - x)$ , e, portanto, de  $\Delta f_{ps}$ .

Protótipos com valores de tensão de escoamento  $f_y$  diferentes da tensão adotada para os protótipos de referência (sufixos 01 a 06), resultaram em valores de  $\varphi$  e  $x$  próximos ao do protótipo de referência **0,30-0,150-92,7-REF**, não sendo obtidos, em relação a este, valores de  $\Delta f_{ps}$  tão afastados quanto os obtidos nos protótipos onde  $d_s$  foi variado.

A figura 4.18 ilustra gráficos de dispersão ( $\omega_e$ ,  $\Delta f_{ps}$ ) de protótipos com carregamento nos terços médios e  $l/d_p = 21,7$ , para as quatro tensões efetivas estudadas. Os pontos resultantes dos protótipos com sufixos 07 a 09 e 29 a 31, correspondendo a valores de  $d_s$  arbitrados em 12,5, 14,0 e 15,5 cm, respectivamente, foram excluídos do gráfico. Estes foram considerados valores atípicos de  $d_s$ , para o projeto de uma laje similar à idealizada para a pesquisa. Protótipos com  $d_s = 19,5$  cm foram considerados.

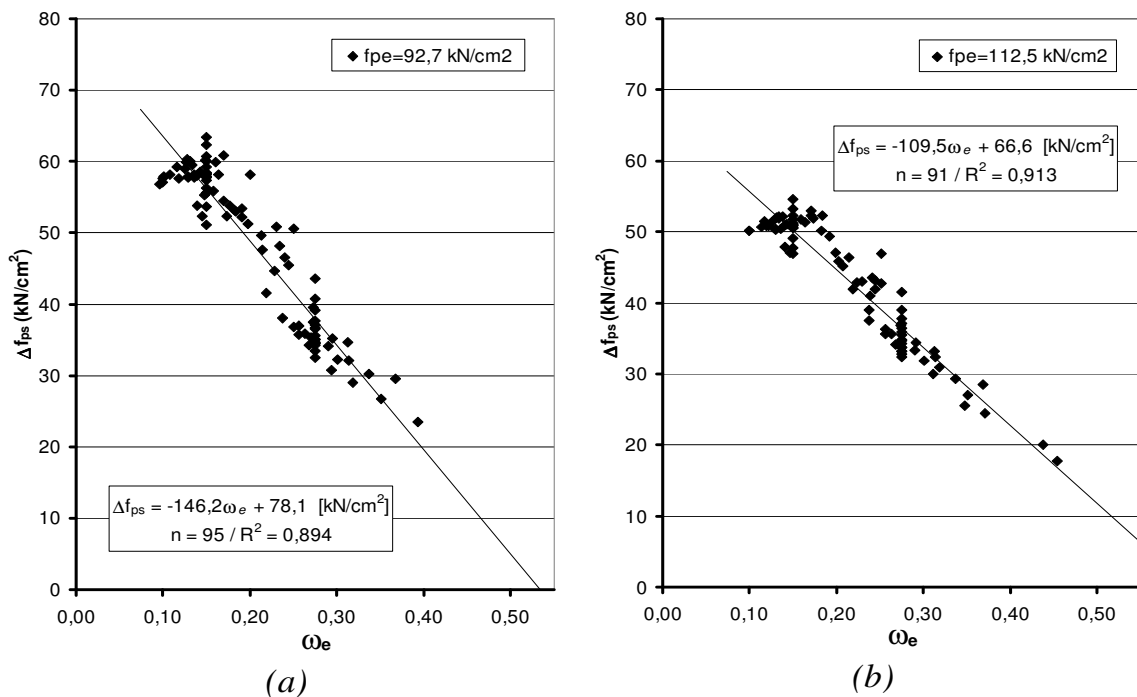


Figura 4.18 – Gráficos de dispersão ( $\omega_e$ ,  $\Delta f_{ps}$ ) de protótipos com carregamento nos terços médios e  $l/d_p = 21,7$ , desconsiderando protótipos com valores de  $d_s = 12,5, 14,0$  e  $15,5$  cm:  
a) Protótipos com  $f_{pe} = 92,7 \text{ kN/cm}^2$ ; b)  $f_{pe} = 112,5 \text{ kN/cm}^2$

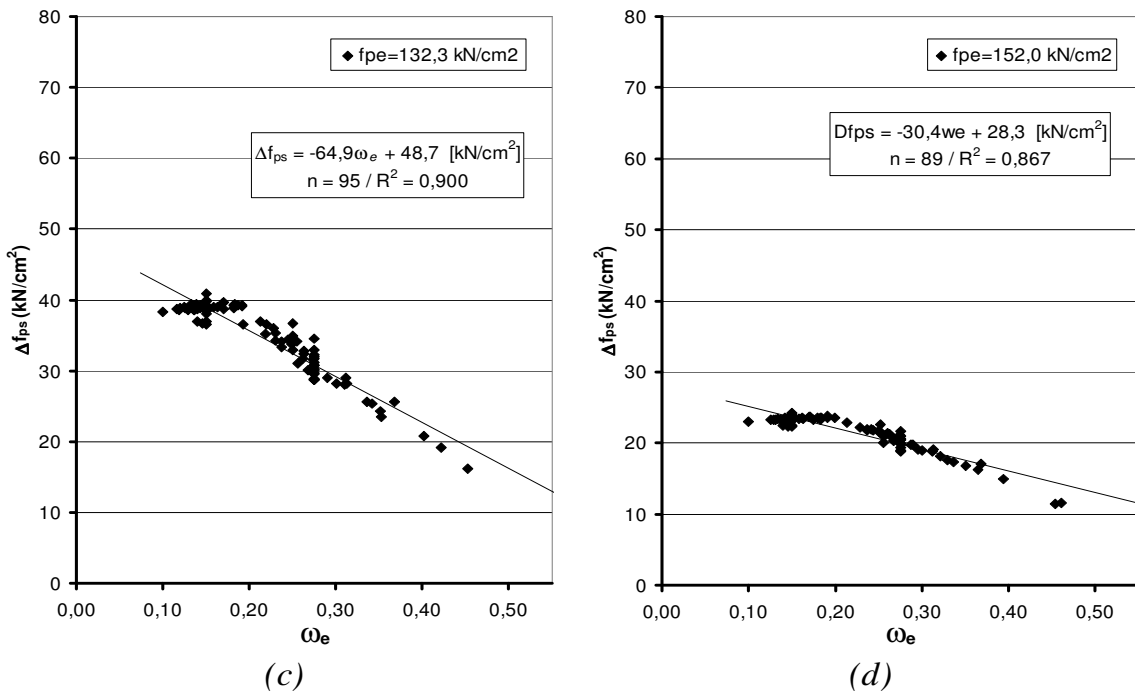


Figura 4.18 – Gráficos de dispersão ( $\omega_e$ ,  $\Delta f_{ps}$ ) de protótipos com carregamento nos terços médios e  $l/d_p = 21,7$ , desconsiderando protótipos com valores de  $d_s = 12,5$ ,  $14,0$  e  $15,5$  cm:

$$c) f_{pe} = 132,3 \text{ kN/cm}^2; d) f_{pe} = 152,0 \text{ kN/cm}^2$$

Em comparação com a figura 4.4, pode-se constatar, agora, maiores coeficientes de determinação e menores dispersões em torno das retas de regressão.

Foram elaborados, ainda, gráficos de dispersão de protótipos com carregamento nos terços, desconsiderando protótipos com valores distintos de  $f_y$ , em relação aos protótipos de referência. Não foram obtidas melhorias significativas nos coeficientes de determinação  $R^2$ .

A tendência indicada pela tabela 4.5, para valores de curvaturas e profundidade da linha neutra na zona plastificada, em função dos parâmetros  $d_s$  e  $f_y$ , foi igualmente observada para protótipos com carregamento distribuído e concentrado. Foram então plotados gráficos de dispersão ( $\omega_e$ ,  $\Delta f_{ps}$ ) de protótipos com carregamento distribuído ( $L_o = l/6$ ) e concentrado, utilizando o mesmo critério da figura 4.18. Os resultados, entretanto, revelaram dispersão semelhante aos gráficos originais e não apresentaram melhora significativa nos coeficientes de determinação e nos valores de desvio-padrão, este último no caso de protótipos com carga concentrada, citados na tabela 4.3. Assim, sugere-se que a zona não plastificada possa exercer

alguma influência considerável em protótipos submetidos a carregamento distribuído e concentrado. Valores menores do parâmetro  $f_y$  estão associados, para protótipos com carregamento distribuído e concentrado, a menores valores de  $\Delta f_{ps}$ . Isto é explicado pelo fato de que menores valores da deformação de escoamento da armadura passiva ( $\epsilon_y$ ) resultam em menores deformações nas seções da região não plastificada, já que nestas não há incremento de deformação, desde o escoamento da armadura passiva até a ruptura.

Além de protótipos com valores atípicos do parâmetro  $d_s$ , foram posteriormente elaborados gráficos de dispersão onde também protótipos com valores do parâmetro  $f_y$  iguais a 12,5; 25,0; 37,5; 75,0 e 100,0 kN/cm<sup>2</sup> foram descartados, mantendo-se, então, somente protótipos com  $f_y$  iguais a 50,0 e 60,0 kN/cm<sup>2</sup>. A figura 4.19(a) e (b) apresenta os gráficos de protótipos com  $l/d_p = 21,7$  e  $f_{pe} = 92,7$  kN/cm<sup>2</sup>, elaborados segundo este critério, para carregamento distribuído ( $L_o = l/6$ ) e concentrado, respectivamente. Uma melhora significativa na dispersão dos pontos ( $\omega_e$ ,  $\Delta f_{ps}$ ) pode ser observada, em comparação com os gráficos apresentados nas figuras 4.9(a) e 4.13(a).

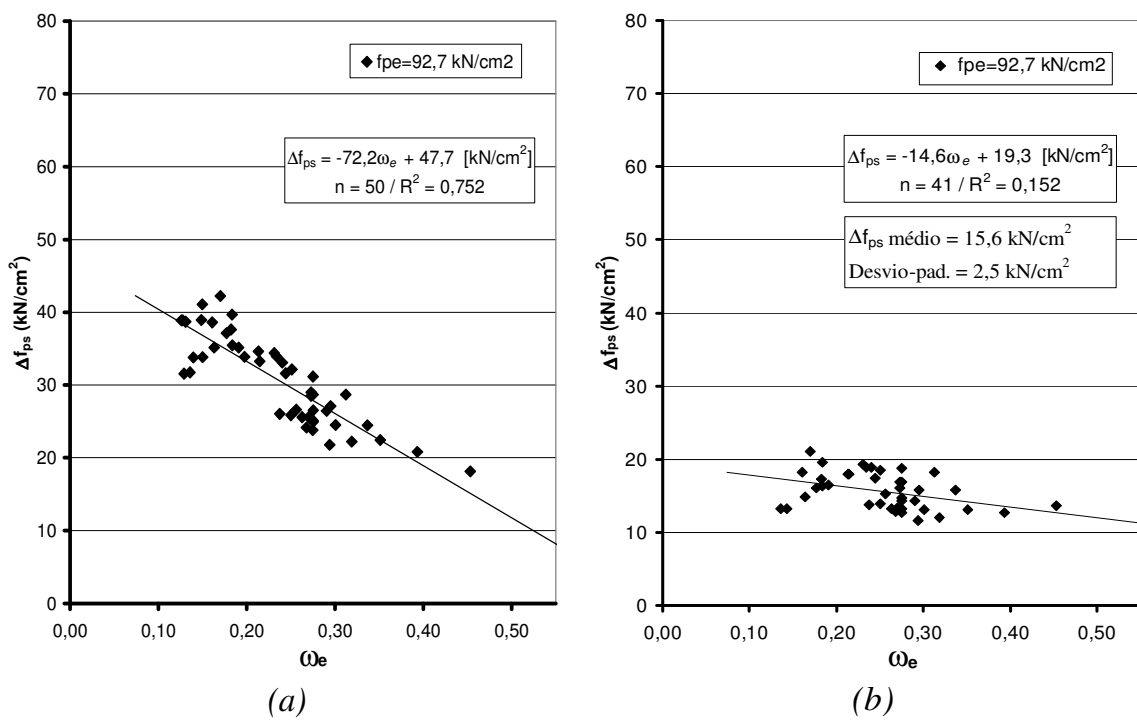


Figura 4.19 – Gráficos de dispersão ( $\omega_e$ ,  $\Delta f_{ps}$ ) de protótipos com  $l/d_p = 21,7$ , e  $f_{pe} = 92,7$  kN/cm<sup>2</sup>, desconsiderando protótipos com valores atípicos de  $d_s$  e  $f_y$ : a) Carregamento distribuído ( $L_o = l/6$ ); b) Carregamento concentrado

### 4.3.2 Taxa Mecânica Total de Armadura $\omega_e$

Já foi destacado que entre o parâmetro  $\omega_e$ , e o valor de  $\Delta f_{ps}$ , existe uma relação de inversa proporcionalidade. Esta relação pode ser mais facilmente observada em protótipos com carregamento nos terços médios, já que estes apresentaram as menores dispersões em torno das retas de regressão. Entretanto, a própria observação da figura 4.19 permite a identificação de tendência semelhante, para protótipos com carregamento distribuído e concentrado.

Em protótipos com carregamento nos terços médios, contudo, a relação inversamente proporcional entre as duas variáveis não se dá ao longo de todo o domínio de  $\omega_e$ . Mediante análise do gráfico da figura 4.18, por exemplo, é possível notar uma constância nos valores de  $\Delta f_{ps}$ , em um pequeno trecho desde o valor mínimo de  $\omega_e$ . A partir de então, os valores de  $\Delta f_{ps}$  decrescem, de forma aproximadamente linear, à medida que  $\omega_e$  aumenta.

De maneira a entender este comportamento, foram concebidos alguns protótipos submetidos a carregamento nos terços, com  $l/d_p = 21,7$  e  $f_{pe} = 92,7 \text{ kN/cm}^2$ , de mesmas características dos protótipos de referência. Porém, o índice  $PPR_e$  foi fixado em 0,50 e as taxas de armadura foram arbitradas de modo que compreendessem uma ampla faixa de valores. Os valores de  $A_{ps}$  e  $A_s$  foram calculados em função dos valores de  $PPR_e$  e  $\omega_e$  desejados. A tabela 4.6 apresenta valores de ruptura resultantes da análise destes protótipos, na seção central –  $\Delta f_{ps}$ , deformações nos materiais  $\epsilon_c$  e  $\epsilon_s$ , profundidade da linha neutra ( $x$ ) e curvaturas ( $\phi$ ).

Tabela 4.6 – Valores de ruptura de protótipos com carregamento nos terços,  $l/d_p = 21,7, f_{pe} = 92,7 \text{ kN/cm}^2, PPR_e = 0,50$  e  $\omega_e$  variados

Protótipo	$A_{ps}$ [cm <sup>2</sup> ]	$A_s$ [cm <sup>2</sup> ]	$\omega_e$	$\Delta f_{ps}$ [kN/cm <sup>2</sup> ]	$-\epsilon_c$ [%]	$\epsilon_s$ [%]	$x$ [cm]	$\phi$ [1/cm]	Produto [ $\phi^*(d_p - x)$ ]
0,50-0,110-92,7	3,9	7,2	0,110	58,4	0,24	1,00	3,4	0,00071	0,0086
0,50-0,130-92,7	4,6	8,5	0,130	58,4	0,27	1,00	3,7	0,00073	0,0085
0,50-0,150-92,7	5,3	9,9	0,150	58,9	0,31	1,00	4,1	0,00075	0,0085
0,50-0,170-92,7	6,0	11,2	0,170	59,0	0,35	1,00	4,5	0,00077	0,0085
0,50-0,200-92,7	7,1	13,2	0,200	50,2	0,35	0,81	5,3	0,00066	0,0067
0,50-0,220-92,7	7,8	14,5	0,220	45,8	0,35	0,72	5,7	0,00061	0,0060
0,50-0,250-92,7	8,9	16,4	0,250	40,4	0,35	0,65	6,1	0,00057	0,0053
0,50-0,280-92,7	9,9	18,4	0,280	35,6	0,35	0,53	7,0	0,00050	0,0043
0,50-0,310-92,7	11,0	20,4	0,310	31,5	0,35	0,45	7,6	0,00046	0,0036
0,50-0,340-92,7	12,1	22,4	0,340	28,3	0,35	0,39	8,2	0,00042	0,0031
0,50-0,380-92,7	13,5	25,0	0,380	24,3	0,35	0,32	9,1	0,00038	0,0024

A figura 4.20 (a) e (b) ilustra as curvas resultantes de  $\Delta f_{ps} \times \omega_e$  e  $\varphi \times \omega_e$ , respectivamente.

A figura 4.20 (a) retrata o comportamento descrito, com valores de  $\Delta f_{ps}$  praticamente constantes até  $\omega_e = 0,170$  e, após, caindo de forma aproximadamente linear, com o aumento de  $\omega_e$ . Já as curvaturas, apresentadas na figura 4.20 (b), ascendem, para valores de  $\omega_e$  entre 0,110 e 0,170, também caindo para valores de  $\omega_e$  superiores a 0,170. A observação das deformações nos materiais, indicadas na tabela 4.6, permite a delimitação dos domínios de deformação na ruptura, conforme classificação da norma NBR 6118 (ABNT, 2003). O valor de  $\omega_e = 0,170$  coincide com o limite entre os *domínios 2 e 3* de deformação, conforme retratado na figura 4.20.

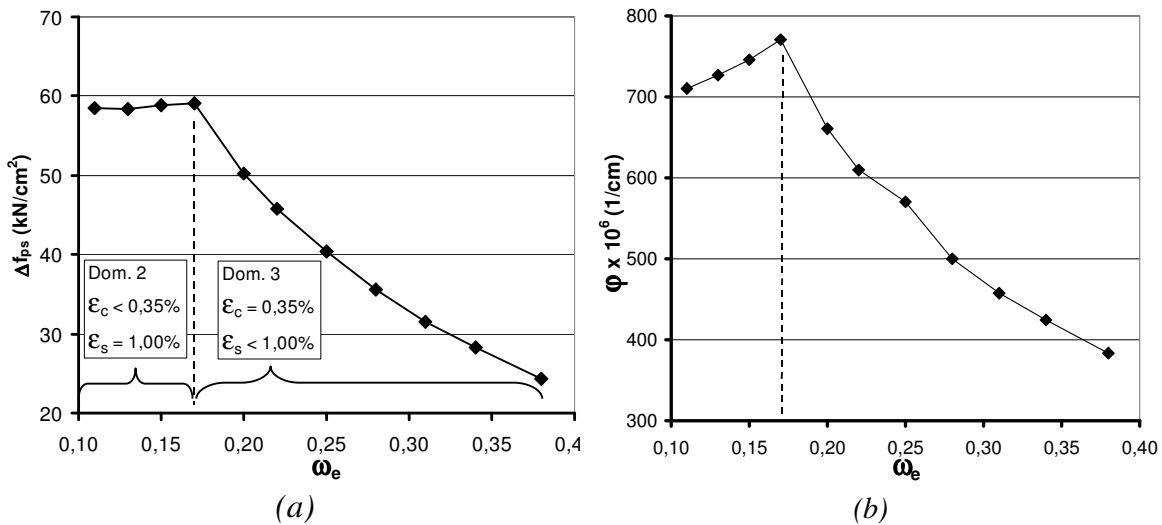


Figura 4.20 – Curvas resultantes da análise dos protótipos da tabela 4.6: a) Curva  $\Delta f_{ps} \times \omega_e$ ; b) Curva  $\varphi \times \omega_e$

A figura 4.21 retrata esquematicamente o estado de deformações do aço e do concreto na seção transversal, para ruptura no limite entre os *domínios 2 e 3*, ruptura no *domínio 2* e ruptura no *domínio 3*, dada pelas figuras 4.21(a), (b) e (c), respectivamente.

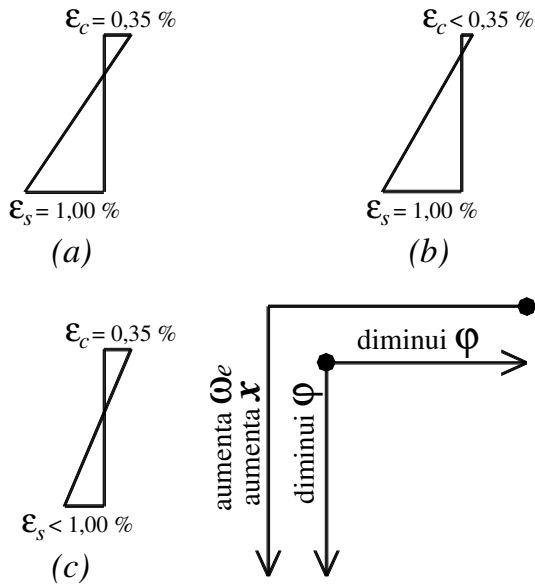


Figura 4.21 – Deformações da seção transversal em função do domínio de ruptura da norma NBR 6118 (2003): a) Limite entre domínios 2 e 3; b) Domínio 2; c) Domínio 3

Admitindo-se o estado de deformações da figura 4.21 (a) como referência, observa-se que, com o aumento de  $\omega_e$ , as deformações evoluem para o estado de deformação dado pela figura 4.21 (c), no *domínio 3*, com linha neutra mais baixa (valor de  $x$  maior) e menor curvatura. Se for admitido que o valor de  $\Delta f_{ps}$  é proporcional ao produto  $\varphi(d_p - x)$  na zona plastificada, torna-se evidente que protótipos situados no *domínio 3* apresentem valores inferiores de  $\Delta f_{ps}$  na ruptura.

Em contrapartida, com a diminuição de  $\omega_e$ , em relação ao estado de referência, as deformações evoluem para o estado de deformação dado pela figura 4.21 (b), no *domínio 2*, com linha neutra mais alta mas, no entanto, curvatura também menor. Se por um lado, linhas neutras mais altas levam a maiores valores de  $\Delta f_{ps}$ , curvaturas menores levam a incrementos de tensão menores. Mediante observação da tabela 4.6, é possível observar a constância do valor do produto  $\varphi(d_p - x)$ , para taxas de armadura inferiores a 0,170, explicando então o patamar obtido nos valores de  $\Delta f_{ps}$ .

Assim, novas regressões lineares para protótipos com carregamento nos terços médios poderiam ser elaboradas, sem a consideração de valores de  $\omega_e$  abaixo do qual o limite entre os

*domínios 2 e 3* é obtido. Para estes, poderia então ser considerado um patamar limite do valor de  $\Delta f_{ps}$ .

A análise dos protótipos da tabela 4.6, quando submetidos a carregamento concentrado e distribuído, revelaram, em ambos os casos, tendência semelhante para os valores de ruptura, inclusive  $\Delta f_{ps}$ . Entretanto, esta análise foi limitada para valores de  $\omega_e$  maiores ou iguais a 0,150, devido a problemas de convergência na análise numérica.

Conforme visto no item 2.2.1.3, Tao e Du (1985) estabeleceram a equação empírica (2.17), relacionando linearmente as variáveis  $\omega_e$  e  $\Delta f_{ps}$ . Os protótipos, com  $l/d_p = 19,1$ , foram ensaiados com carregamento nos terços e possuíam tensão  $f_{pe}$  média igual a 92,6 kN/cm<sup>2</sup>. A tabela 4.7 apresenta os valores de  $\Delta f_{ps}$  dos protótipos da tabela 4.6 calculados com a utilização da equação (2.17) de Tao e Du (1985), em comparação com valores obtidos por meio da regressão indicada na equação (4.13), derivada de protótipos com carregamento nos terços e  $f_{pe} = 92,7$  kN/cm<sup>2</sup>, para índice  $l/d_p$  variando entre 21,7 e 55,7. A equação (2.17) é válida somente para valores de  $q_o$  menores que 0,3. Observa-se valores analíticos de  $\Delta f_{ps}$  até 65 % maiores que os obtidos com a regressão de Tao e Du (1985).

Tabela 4.7 – Comparação de resultados numéricos dos protótipos da tabela 4.6, com os obtidos por meio da utilização das equações (2.17) e (4.13)

Protótipo	$\omega_e$	$q_o$	$\Delta f_{ps}$ analit.	$\Delta f_{ps}$ eq. (2.17)	$\Delta f_{ps}$ eq. (4.13)	$\frac{\Delta f_{ps}}{\Delta f_{ps}}$ analit eq(2.17)	$\frac{\Delta f_{ps}}{\Delta f_{ps}}$ analit eq(4.13)
0,50-0,110-92,7	0,11	0,12	58,4	56,2	63,4	1,04	0,92
0,50-0,130-92,7	0,13	0,14	58,4	52,1	60,4	1,12	0,97
0,50-0,150-92,7	0,15	0,16	58,9	48,1	57,4	1,22	1,03
0,50-0,170-92,7	0,17	0,18	59,0	44,0	54,4	1,34	1,09
0,50-0,200-92,7	0,2	0,21	50,2	37,9	49,9	1,33	1,01
0,50-0,220-92,7	0,22	0,23	45,8	33,8	46,9	1,35	0,98
0,50-0,250-92,7	0,25	0,27	40,4	27,7	42,4	1,46	0,95
0,50-0,280-92,7	0,28	0,30	35,6	21,6	37,9	1,65	0,94
0,50-0,310-92,7	0,31	0,33	31,5	--	33,5	--	0,94
0,50-0,340-92,7	0,34	0,36	28,3	--	29,0	--	0,98
0,50-0,380-92,7	0,38	0,40	24,3	--	23,0	--	1,06

### 4.3.3 Tensão Efetiva de Protensão $f_{pe}$

Conforme destacado em 2.1.2, Chakrabarti (1995) já havia observado em seus estudos que maiores tensões efetivas de protensão levavam a menores incrementos de tensão. Neste estudo, para carregamento nos terços médios e  $\omega_e = 0,150$ , os valores de  $\Delta f_{ps}$  obtidos por meio das regressões das equações (4.13) e (4.16), que correspondem a valores de  $f_{pe}$  iguais a 92,7 e 152,0 kN/cm<sup>2</sup>, respectivamente, diferem em mais de 140 %. A mesma comparação realizada para carregamento distribuído, por meio das equações (4.29) e (4.32), levam a uma diferença de 95 % nos valores de  $\Delta f_{ps}$ . As médias de  $\Delta f_{ps}$  para protótipos com carregamento concentrado, citadas na tabela 4.3, considerando todos os índices de esbeltez, foram em torno de 55 % maiores para protótipos com  $f_{pe} = 92,7$  kN/cm<sup>2</sup>, em comparação com a maior tensão efetiva utilizada, de 152,0 kN/cm<sup>2</sup>.

Tomando como exemplo protótipos com carregamento nos terços médios e taxa  $\omega_e = 0,150$ , os valores de  $\Delta f_{ps}$  calculados, por meio das equações (4.13) a (4.16), referindo-se a tensões efetivas de 92,7 a 152,0 kN/cm<sup>2</sup>, resultaram em 57,4, 51,1, 39,3 e 23,8 kN/cm<sup>2</sup>, respectivamente. A figura 4.22 retrata a relação *tensão x deformação* utilizada no modelo numérico para o aço de protensão, no domínio de deformações e tensões a que ele foi submetido durante a análise dos protótipos. Com linha contínua, estão representados os quatro níveis de tensão efetiva  $f_{pe}$ : 92,7; 112,5; 132,3 e 152,0 kN/cm<sup>2</sup>. Com linha tracejada, os correspondentes níveis máximos de tensão correspondentes aos valores de  $\Delta f_{ps}$  calculados pelas equações (4.13) a (4.16).

Observa-se que, a medida em que são utilizadas maiores tensões efetivas, maior é o trecho da curva *tensão x deformação* de módulo de elasticidade reduzido, em relação ao módulo inicial  $E_p$ , contido dentro da faixa de deformações a que a armadura protendida não aderente foi submetida. Assim, as deformações desenvolvidas na armadura de protensão de protótipos com maiores tensões efetivas resultam em menores aumentos correspondentes de tensão. Elementos com carregamento concentrado são os menos influenciados pela variável  $f_{pe}$ , tendo em vista a reduzida faixa de variação da tensão de protensão.

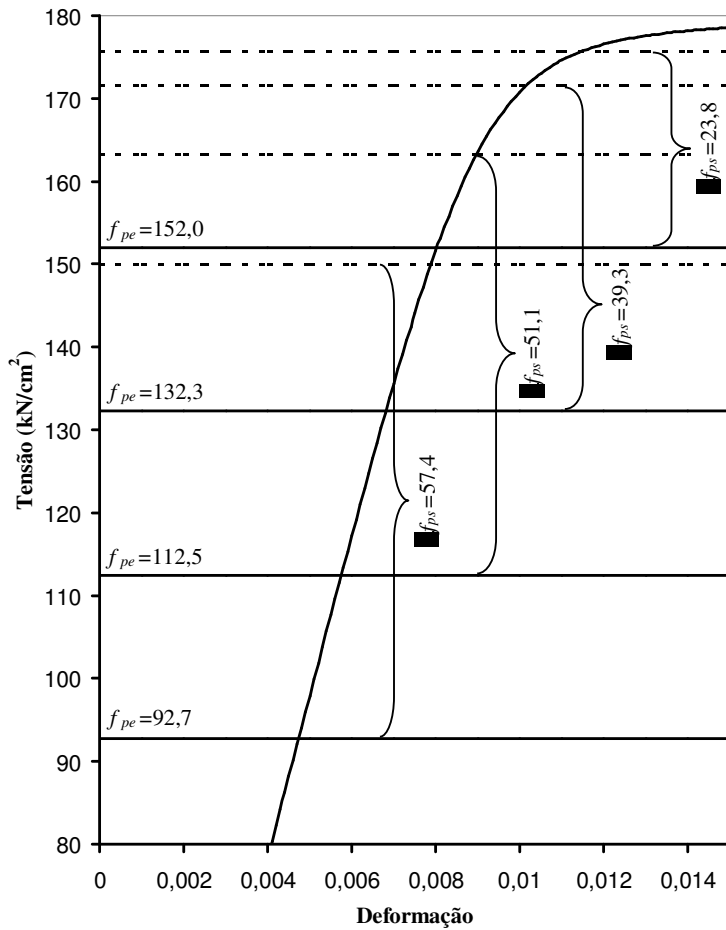


Figura 4.22 – Ampliação da curva *tensão x deformação* nos níveis de tensão atuantes no aço de protensão modelado nos protótipos com carregamento nos terços médios e  $\omega_e = 0,150$

#### 4.3.4 Índice de Esbeltez à Flexão $l/d_p$

Não foram observadas diferenças significativas nos valores de  $\Delta f_{ps}$ , para nenhum tipo de carregamento estudado, com a alteração do índice  $l/d_p$ . Na tabela 4.2, já haviam sido constatados valores próximos de  $\Delta f_{ps}$  em protótipos com carregamento nos terços médios e mesmo  $f_{pe}$ , para os três índices  $l/d_p$  estudados.

As regressões extraídas dos gráficos de dispersão ( $\omega_e$ ,  $\Delta f_{ps}$ ) de um grupo de protótipos com mesmo valor de  $f_{pe}$  e carregamento nos terços e distribuído foram muito similares, para qualquer valor adotado de  $l/d_p$ . Para carregamento concentrado, percebe-se a proximidade das

médias e desvios-padrão indicados na tabela 4.3. Devido à proximidade dos valores de  $\Delta f_{ps}$  obtidos entre os índices  $l/d_p$ , foram extraídas regressões gerais, por meio da superposição de todas as esbetezes, resultando nas equações de regressão (4.13) a (4.16) para carregamento nos terços, (4.21) a (4.24) para carregamento concentrado e (4.29) a (4.32) para carregamento distribuído.

Conforme já retratado em 2.1.4, Harajli (1990) havia mencionado que se somente o alongamento da armadura protendida não aderente que ocorre dentro da zona plastificada for considerado – pois esta é a parcela mais influente – então a magnitude de  $\Delta f_{ps}$  depende da proporção  $l_p/l$ . Considerando a configuração de carregamento ilustrado na figura 4.23, o incremento de alongamento  $\Delta l_{ps}$  da armadura de protensão pode ser então dado pela equação (4.33). Conclui-se, pela equação (4.34), que o incremento de deformação na armadura de protensão não aderente ( $\Delta \epsilon_{ps}$ ) e, consequentemente,  $\Delta f_{ps}$ , são proporcionais a  $l_p/l$ .

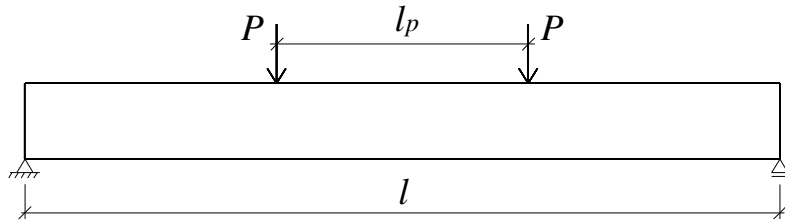


Figura 4.23 – Comprimento da zona plastificada  $l_p$ , entre cargas

$$\Delta l_{ps} = \Delta \epsilon l_p \quad (4.33)$$

onde:

$\Delta \epsilon$ : acréscimo de deformação da fibra de concreto na altura do cabo de protensão, desde o estado de referência até a ruptura

$$\Delta \epsilon_{ps} = \frac{\Delta l_{ps}}{l} = \Delta \epsilon \frac{l_p}{l} \quad (4.34)$$

Segundo alguns autores (Corley, 1966; Dilger, 1966; Mattock et al., 1971; Park e Paulay, 1975; Leonhardt, 1979; Harajli, 1990), a extensão da zona plastificada  $l_p$  pode ainda ser devido à distância  $L_o$  entre cargas, adicionada de uma parcela, geralmente constante e equivalente a  $d_p$ , devido à influência do esforço cortante. Dessa forma, a relação  $l_p/l$  passa também a depender da razão  $l/d_p$ , conforme indicado na equação (2.14), reproduzida novamente na equação (4.35), justificando, assim, possíveis diferenças nos valores de  $\Delta f_{ps}$ , para distintos índices  $l/d_p$ .

$$\frac{l_p}{l} = \frac{L_o + 2\frac{d_p}{2}}{l} = \frac{l/f + d_p}{l} = \frac{1}{f} + \frac{1}{l/d_p} \quad (4.35)$$

Nesta pesquisa, todavia, esta última parcela devida ao esforço cortante foi desconsiderada, resultando, dessa maneira, em relações idênticas de  $l_p/l$ , para quaisquer índices de esbeltez estudados e mesmo tipo de carregamento aplicado.

Harajli (1990) e Harajli e Hijazi (1991) consideraram para análise numérica o valor constante equivalente à  $d_p$ , como parcela adicional ao comprimento  $L_o$ , devido ao esforço cortante. A observação da figura 2.9, em 2.1.3, indica a pequena influência desta parcela para índices  $l/d_p$  superiores a 15, já retratada pelos autores.

Conforme também já destacado em 3.4.1 e 3.4.2, a análise dos protótipos de referência com a consideração de  $l_p = L_o + d_p$ , resultou em um acréscimo máximo de 3 e 4 % nos valores de  $f_{ps}$ , para  $l/d_p = 21,7$ , com carregamento nos terços médios e concentrado, respectivamente. Em concordância, Harajli (1990) e Harajli e Hijazi (1991) obtiveram, em suas análises numéricas, as máximas diferenças de  $\Delta f_{ps}$  devido ao fator  $l/d_p$ , entre elementos com baixos valores de  $l/d_p$  e carregamento concentrado. Na figura 2.9, pode ser observado este comportamento.

#### 4.3.5 Tipo de Carregamento

Os gráficos de dispersão apresentados em 4.2, bem como a tabela 4.4, revelam grande diferença nos valores de  $\Delta f_{ps}$ , em função do tipo de carregamento. Protótipos com carregamento aplicado nos terços médios e concentrado, resultaram nos extremos superior e inferior de valores de incremento de tensão obtidos. Evidentemente, protótipos com carregamento distribuído, para  $L_o = l/6$ , apresentaram comportamento intermediário, visto que o comprimento da zona plastificada foi arbitrado também como um valor intermediário entre os comprimentos adotados para carregamento nos terços e concentrado.

A figura 4.24 (a) e (b) ilustra este comportamento, com a superposição dos gráficos de dispersão ( $\omega_e$ ,  $\Delta f_{ps}$ ) resultantes de carregamento nos terços, distribuído ( $L_o = l/6$ ) e concentrado, para protótipos de índice  $l/d_p = 21,7$  e com  $f_{pe} = 92,7$  e  $152,0 \text{ kN/cm}^2$ , respectivamente.

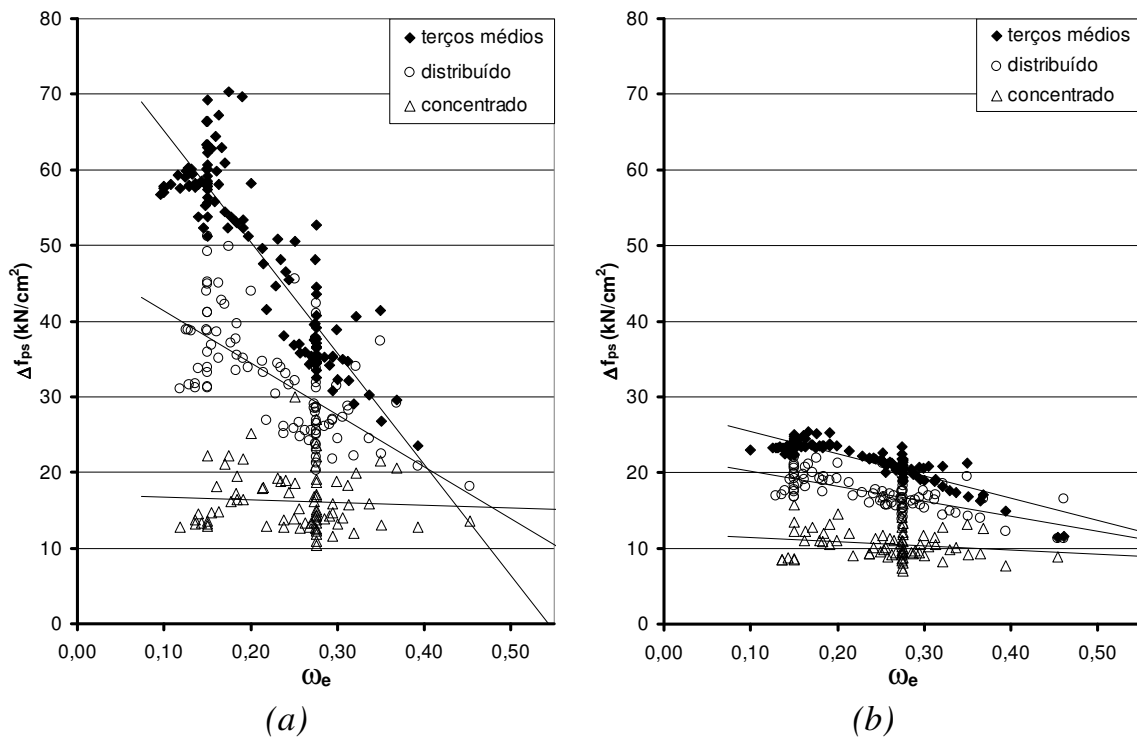


Figura 4.24 – Superposição dos gráficos ( $\omega_e$ ,  $\Delta f_{ps}$ ) de todos os tipos de carregamento, para protótipos com  $l/d_p = 21,7$ : a)  $f_{pe} = 92,7 \text{ kN/cm}^2$ ; b)  $f_{pe} = 152,0 \text{ kN/cm}^2$

Na tabela 4.4, foi possível identificar ainda a influência do carregamento distribuído aplicado fora da zona plastificada, comparando-se valores de  $\Delta f_{ps}$  resultantes de protótipos com carregamento distribuído, para  $L_o = l/20$ , e com carregamento concentrado.

A tabela 4.8 ilustra a influência da zona plastificada no valor de  $\Delta f_{ps}$ , em função do tipo de carregamento. Valores de  $\Delta f_{ps}$  do protótipo **0,30-0,150-92,7-REF**, com  $l/d_p = 55,7$ , obtidos das análises numéricas efetuadas conforme descrito no Capítulo 3, e indicados na tabela de resultados de ruptura (Apêndice B), são mostrados na coluna da esquerda, para os vários tipos de carregamento estudados. O protótipo foi também analisado com a substituição do carregamento original pela aplicação de momentos fletores, somente, nas seções limítrofes da zona de plastificação. Dessa maneira, foram obtidas, na ruptura, apenas deformações dentro da zona plastificada. Os resultados de incremento de tensão obtidos para cada tipo de carregamento, que pode ser entendido também como cada relação distinta de  $l_p/l$ , e denominados neste caso de  $\Delta f_{ps-plast}$ , são apresentados na coluna central. Percebe-se que o valor da razão  $\Delta f_{ps-plast} / \Delta f_{ps}$  é diminuído com a mudança de carregamento nos terços médios em direção ao carregamento concentrado, já que a razão  $l_p/l$  é também diminuída.

Tabela 4.8 – Comparação de resultados de  $\Delta f_{ps}$  do protótipo **0,30-0,150-92,7-REF** com deformações ocorrendo ao longo de todo o elemento, e apenas na zona plastificada [kN;cm]

Carregamento	Deformações		$\frac{\Delta f_{ps-plast}}{\Delta f_{ps}}$
	$\Delta f_{ps}$	apenas na zona plastificada $\Delta f_{ps-plast}$	
terços	59,3	54,2	0,91
distribuído	38,0	28,4	0,75
concentrado	17,7	10,3	0,58

#### 4.4 Comparação de Resultados

Neste item será realizada uma comparação entre resultados experimentais de diversos autores e resultados de  $\Delta f_{ps}$ , destes mesmos experimentos, previstos com a utilização das equações de regressão apresentadas em 4.2. Serão utilizados os mesmos dados experimentais e metodologia adotados em 2.2.4, comparando-se os resultados por meio de gráficos de dispersão dos pontos ( $f_{ps-exp}$ ,  $f_{ps-prev}$ ) e ( $\Delta f_{ps-exp}$ ,  $\Delta f_{ps-prev}$ ). Após, as retas de regressão obtidas

serão superpostas com as curvas resultantes da aplicação do método do ACI 318 (2002) e de Tao e Du (1985), para algumas configurações de carregamento e tensões efetivas  $f_{pe}$ .

#### 4.4.1 Aplicação das Equações de Regressão a Dados Experimentais

Foram tomadas para previsão de  $\Delta f_{ps}$ , as regressões das equações (4.13) a (4.16) e (4.21) a (4.24), para carregamento nos terços e concentrado, respectivamente, de acordo com cada uma das quatro tensões efetivas que caracterizam sua aplicação. Portanto, sua aplicação se deu independentemente do índice  $l/d_p$  utilizado em cada experimento. Os valores de  $\Delta f_{ps}$  foram obtidos mediante interpolação linear das equações de regressão, conforme a tensão efetiva de cada protótipo. Os protótipos experimentais com valores de  $\omega_e$  menores que 0,09 foram descartados, já que, geralmente, para valores abaixo deste, os protótipos idealizados nesta pesquisa apresentavam instabilidade à flexão, não sendo, portanto, considerados na elaboração das regressões lineares.

A figura 4.25 apresenta a comparação dos valores de  $\Delta f_{ps}$  e  $f_{ps}$  previstos, com os experimentais. Deve ser destacado que não foi utilizado entre os diversos autores, um critério padrão para caracterização da ruptura. Observa-se que os resultados experimentais de Harajli e Kanj (1991) foram os que mais se distanciaram dos valores previstos. Seus protótipos submetidos a carregamento concentrado resultaram em valores de  $\Delta f_{ps-prev}$  conservadores, verificando-se o contrário para carregamento nos terços médios. A média, o desvio-padrão e o coeficiente de variação do conjunto de pontos  $\Delta f_{ps-prev} / \Delta f_{ps-exp}$  foi de 1,22; 0,40 e 0,33, respectivamente. A média, o desvio-padrão e o coeficiente de variação do conjunto de pontos  $f_{ps-prev} / f_{ps-exp}$  foi de 1,04; 0,10 e 0,10, respectivamente.

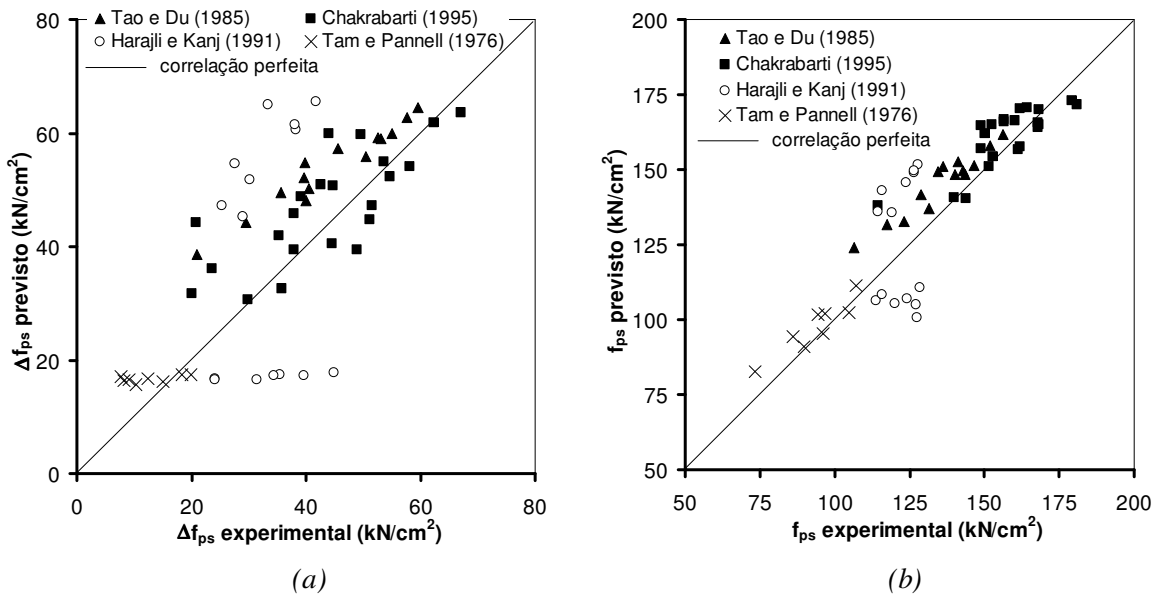


Figura 4.25 – Comparação de resultados experimentais e teóricos para equações de regressão obtidas no item 4.1: a) Valores de  $\Delta f_{ps}$ ; b) Valores de  $f_{ps}$

#### 4.4.2 Comparação com Métodos do ACI 318 (2002) e Tao e Du (1985)

A figura 4.26(a) apresenta comparativamente, para carregamento nos terços médios e  $f_{pe} = 92,7 \text{ kN/cm}^2$ , a equação de regressão (4.13), a curva resultante da aplicação do método do ACI 318 (2002) e a reta de regressão de Tao e Du (1985). A equação do ACI 318 (2002) não leva em conta a área de armadura passiva  $A_s$ . Portanto, foram estipulados os índices limites de  $PPR_e = 0,3$  e  $0,7$ , e calculados os valores de  $A_{ps}$ , em função de  $\omega_e$ , para aplicação do método. Na figura 4.26(b), é indicada a reta da regressão (4.16), para elementos com carregamento nos terços e  $f_{pe} = 152,0 \text{ kN/cm}^2$ , comparada às curvas do ACI 318 (2002). O método de Tao e Du (1985) não foi aplicado, pois este deriva de protótipos com média de tensão próxima de  $f_{pe} = 92,7 \text{ kN/cm}^2$ , retratado na figura 4.26(a). As figuras 4.27(a) e (b) referem-se a elementos com carregamento concentrado, para  $f_{pe} = 92,7$  e  $152,0 \text{ kN/cm}^2$ , respectivamente. São utilizadas, portanto, as regressões das equações (4.21) e (4.24).

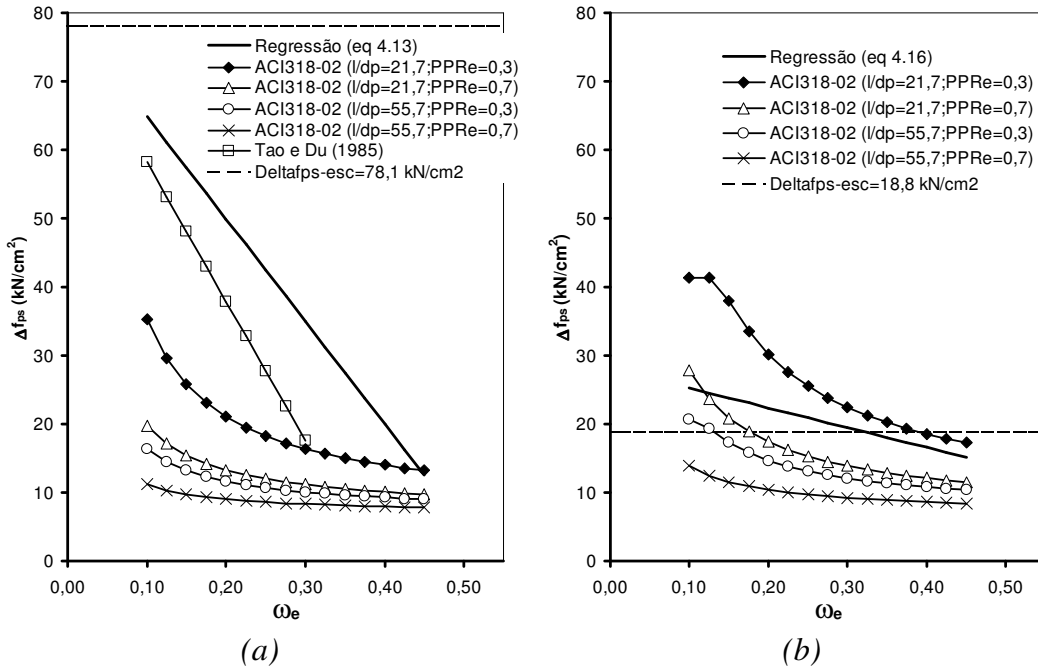


Figura 4.26 – Comparação entre regressões obtidas para carregamento nos terços médios e métodos do ACI 318 (2002) e Tao e Du (1985):

$$a) f_{pe} = 92,7 \text{ kN/cm}^2; b) f_{pe} = 152,0 \text{ kN/cm}^2$$

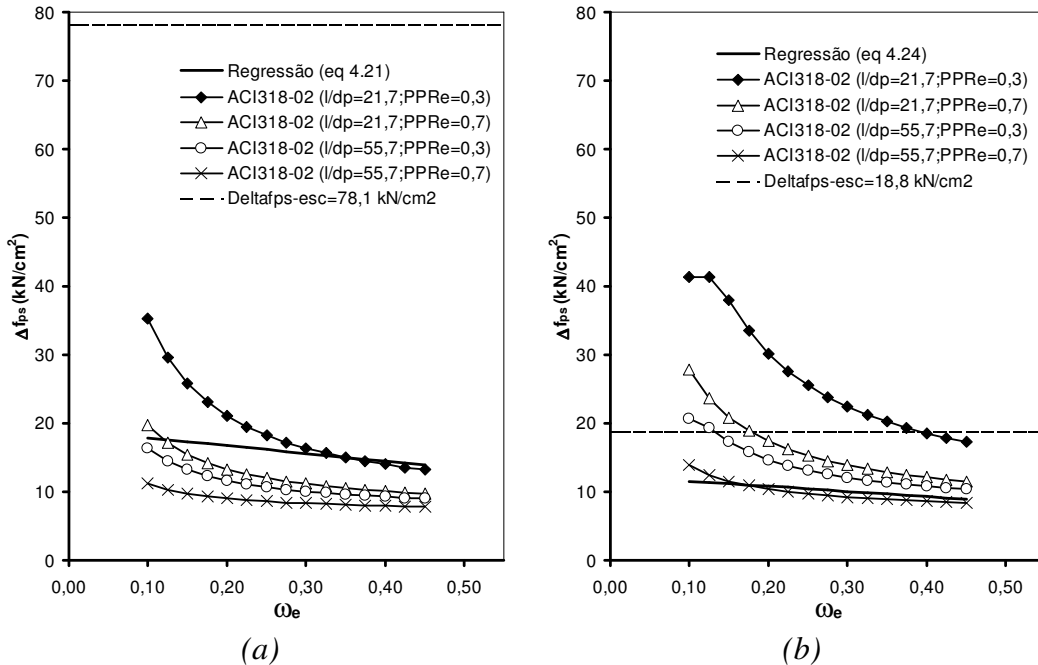


Figura 4.27 – Comparaçao entre regressões obtidas para carregamento concentrado e método do ACI 318 (2002): a)  $f_{pe} = 92,7 \text{ kN/cm}^2$ ; b)  $f_{pe} = 152,0 \text{ kN/cm}^2$

Observa-se que as curvas derivadas do método do ACI 318 (2002) não se modificam, em função do tipo de carregamento, para mesmas tensões efetivas. Nota-se também, que para  $f_{pe} = 152,0 \text{ kN/cm}^2$ , o método do ACI 318 (2002) obtém maiores resultados de  $\Delta f_{ps}$ , em comparação com  $f_{pe} = 92,7 \text{ kN/cm}^2$ . A limitação imposta pelo método do ACI 318 (2002), de  $f_{ps} \leq f_{py}$ , não foi considerada. O valor de  $\Delta f_{ps}$  correspondente ao patamar da tensão de escoamento  $f_{py} = 170,8 \text{ kN/cm}^2$ , denominado  $\Delta f_{ps-esc}$  e dado por  $\Delta f_{ps-esc} = f_{py} - f_{pe}$ , é indicado em cada gráfico.

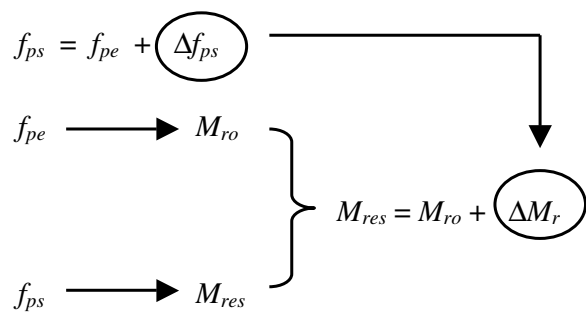
#### 4.5 Aumento de Capacidade Resistente em Função de $\Delta f_{ps}$

Neste item será analisada a significância do valor de  $\Delta f_{ps}$  na capacidade resistente dos protótipos, para todas as tensões efetivas e tipos de carregamento estudados.

Por capacidade resistente, entende-se o momento fletor resistente, calculado de forma analítica, por equilíbrio de esforços na seção transversal central dos elementos, no Estado Limite Último. Foi admitido um diagrama de tensões do concreto na forma de um retângulo equivalente ao diagrama parábola-retângulo real, de altura  $0,8x$ , conforme procedimento descrito na NBR 6118 (ABNT, 2003), item 17.2.2. Coeficientes de majoração dos esforços e minoração de resistências não foram considerados, incluindo-se aí o coeficiente 0,85 devido ao efeito *Rüsch* de longa duração.

Inicialmente, foram calculados analiticamente os *momentos fletores resistentes últimos* ( $M_{res}$ ) de cada protótipo analisado numericamente, considerando a tensão última de protensão  $f_{ps}$  obtida. Estes valores calculados analiticamente resultaram muito próximos dos momentos resistentes de ruptura resultantes das análises numéricas. Os valores de  $M_{res}$  calculados analiticamente e resultantes da análise numérica podem ser consultados nas tabelas de resultados, apresentadas no Apêndice B. A média das razões entre momento resistente calculado analiticamente e numericamente foi de 1,03, 1,04 e 1,02, para carregamento nos terços, concentrado e distribuído ( $L_o = l/6$ ), respectivamente. Comprovou-se, então, a adequação entre o procedimento analítico aproximado, com a consideração do diagrama retangular equivalente de tensões do concreto, e a relação constitutiva adotada no modelo numérico.

Obtidos os valores de  $M_{res}$ , foram calculados analiticamente os *momentos fletores resistentes efetivos* ( $M_{ro}$ ), considerando-se a tensão efetiva inicial  $f_{pe}$ . O acréscimo de momento fletor resistente devido ao incremento de tensão  $\Delta f_{ps}$ , ou o *incremento de momento resistente* ( $\Delta M_r$ ), será dado pela parcela  $M_{res} - M_{ro}$ . Foram então calculadas as razões  $\Delta M_r/M_{ro}$ , denominadas *aumento relativo da capacidade resistente*, e plotados gráficos de dispersão dos pontos ( $\omega_e$ ,  $\Delta M_r/M_{ro}$ ), para cada tensão efetiva e tipo de carregamento estudados. A figura 4.28 apresenta esquematicamente a relação entre as tensões efetiva ( $f_{pe}$ ) e última ( $f_{ps}$ ) e os momentos fletores resistentes efetivo e último, o incremento de momento resistente e o aumento relativo da capacidade resistente.



$$\text{Aumento relativo da capacidade resistente} = \Delta M_r / M_{ro}$$

onde:

$M_{ro}$ : momento fletor resistente efetivo, devido a  $f_{pe}$ ;

$M_{res}$ : momento fletor resistente último, devido a  $f_{ps}$ ;

$\Delta M_r$ : incremento de momento fletor resistente, devido a  $\Delta f_{ps}$ .

Figura 4.28 – Relação esquemática entre  $f_{pe}$ ,  $f_{ps}$  e  $\Delta f_{ps}$  e os momentos fletores resistentes e aumento da capacidade portante

Na figura 4.29 (a), (b), (c) e (d) são apresentados os gráficos de dispersão ( $\omega_e$ ,  $\Delta M_r/M_{ro}$ ) de protótipos com carregamento aplicado nos terços médios, para as tensões efetivas utilizadas de 92,7; 112,5; 132,3 e 152,0 kN/cm<sup>2</sup>, respectivamente. Tendo em vista a similaridade entre os resultados de  $\Delta f_{ps}$  dos três índices de esbeltez estudados, foram considerados somente protótipos com  $l/d_p = 21,7$ , a fim de reduzir o acúmulo de pontos no gráfico e facilitar a

visualização. As figuras 4.30 e 4.31, apresentadas em seguida, referem-se a protótipos com carregamento distribuído ( $L_o = l/6$ ) e concentrado, respectivamente, segundo o critério de classificação adotado na figura 4.29.

Na figura 4.32 (a) e (b) são apresentados, a título ilustrativo, os gráficos de dispersão dos pontos ( $PPR_e$ ,  $\Delta M_r/M_{ro}$ ) de protótipos com carregamento aplicado nos terços médios e  $l/d_p = 21,7$ , para tensões efetivas iguais a 92,7 e 152,0 kN/cm<sup>2</sup>, respectivamente.

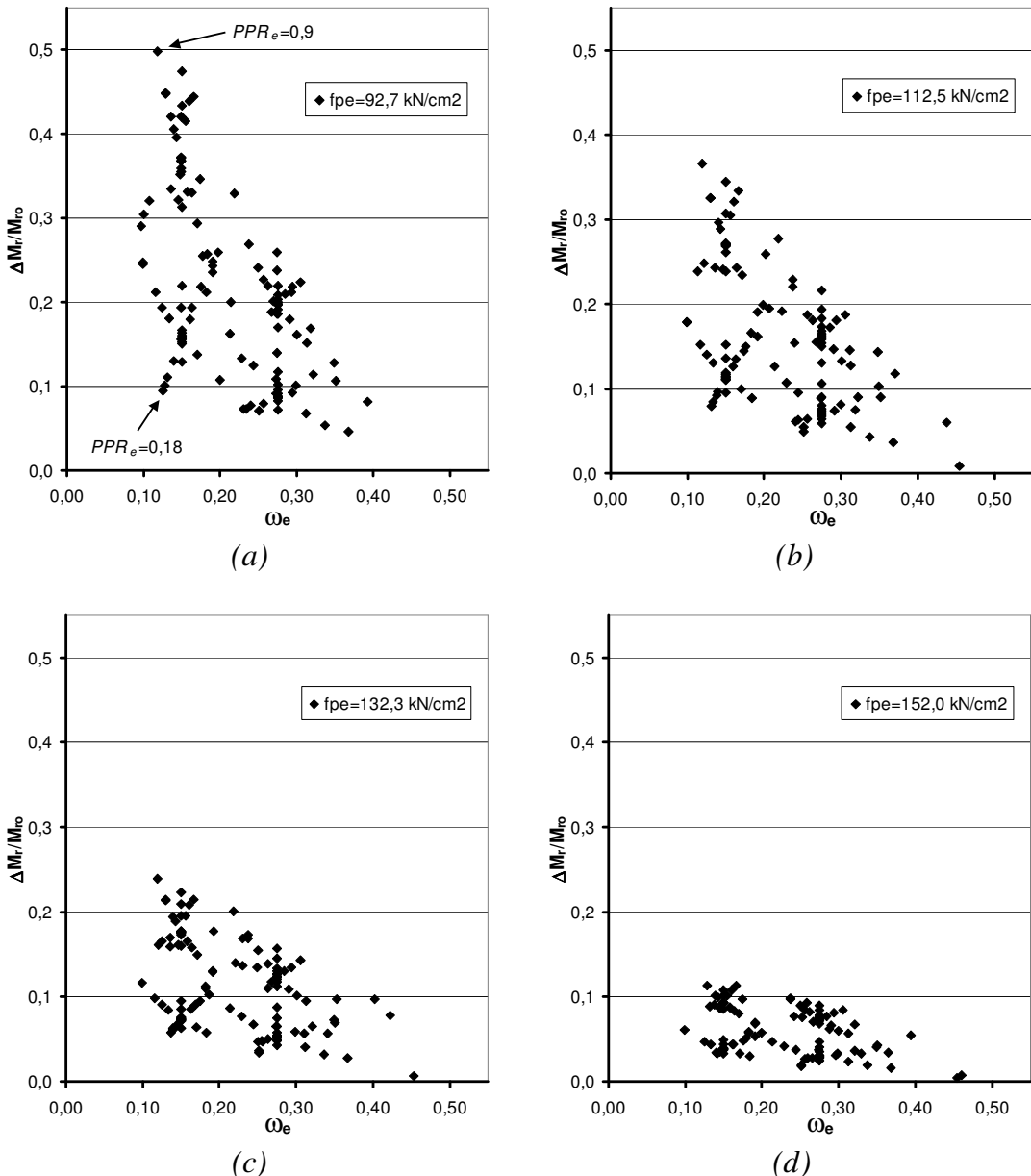


Figura 4.29 – Gráficos de dispersão ( $\omega_e$ ,  $\Delta M_r/M_{r0}$ ) de protótipos com carregamento aplicado nos terços e  $l/d_p = 21,7$ : a)  $f_{pe} = 92,7 \text{ kN/cm}^2$ ; b)  $f_{pe} = 112,5 \text{ kN/cm}^2$ ; c)  $f_{pe} = 132,3 \text{ kN/cm}^2$ ; d)  $f_{pe} = 152,0 \text{ kN/cm}^2$

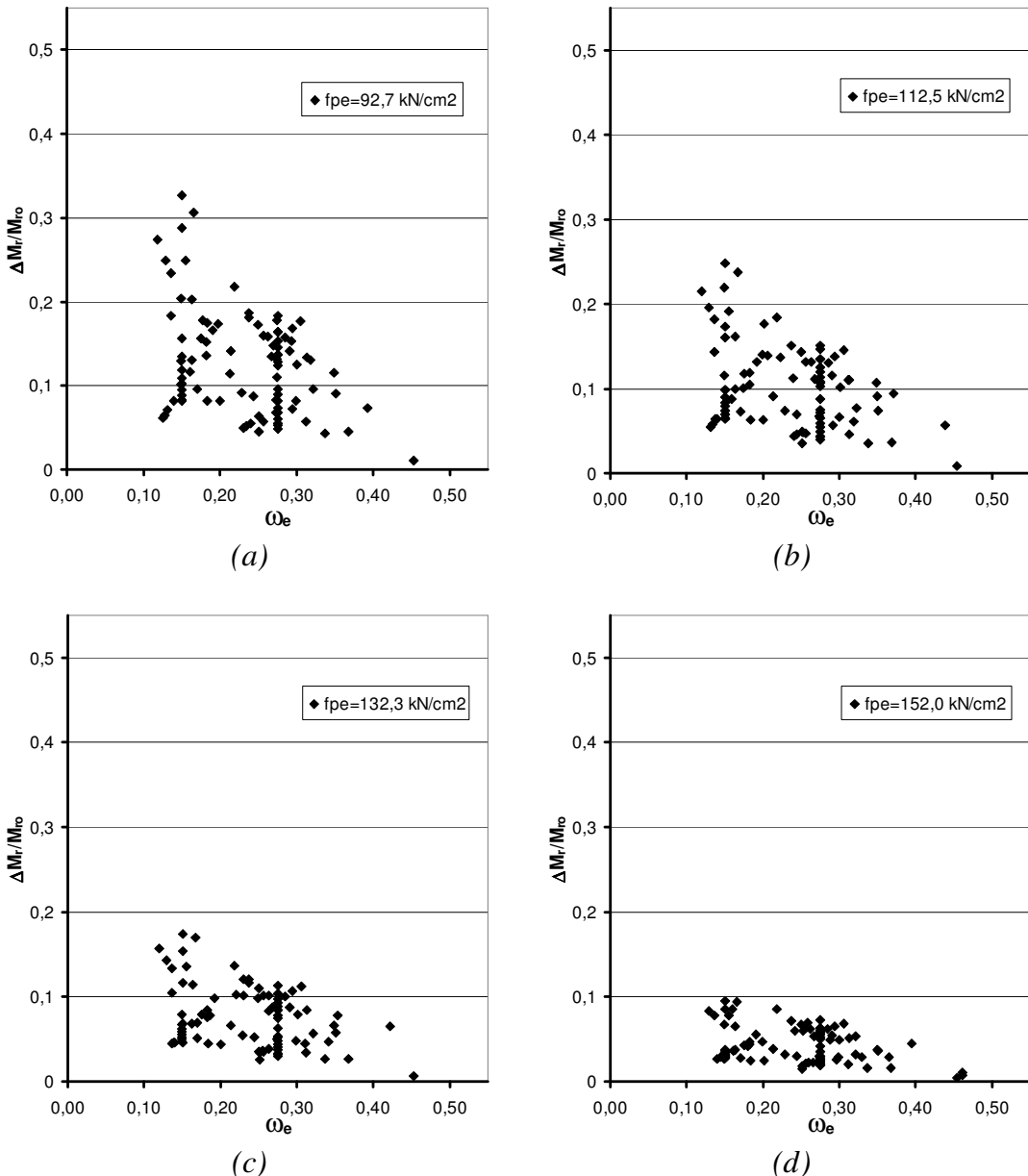


Figura 4.30 – Gráficos de dispersão ( $\omega_e$ ,  $\Delta M_r/M_{r0}$ ) de protótipos com carregamento distribuído ( $L_o = l/6$ ) e  $l/d_p = 21,7$ : a)  $f_{pe} = 92,7 \text{ kN/cm}^2$ ; b)  $f_{pe} = 112,5 \text{ kN/cm}^2$ ; c)  $f_{pe} = 132,3 \text{ kN/cm}^2$ ; d)  $f_{pe} = 152,0 \text{ kN/cm}^2$

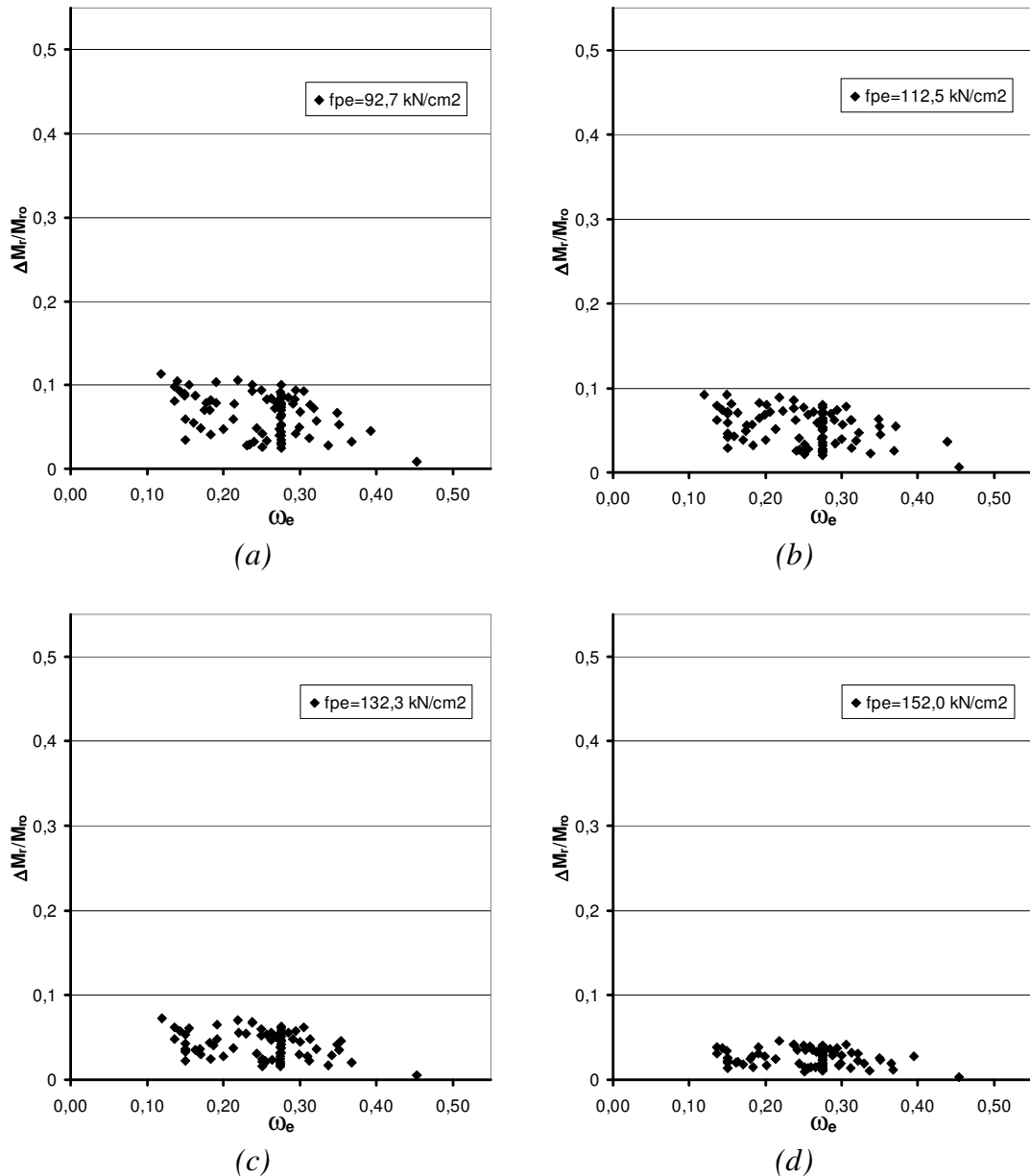


Figura 4.31 – Gráficos de dispersão ( $\omega_e$ ,  $\Delta M_r/M_{ro}$ ) de protótipos com carregamento concentrado e  $l/d_p = 21,7$ : a)  $f_{pe} = 92,7 \text{ kN/cm}^2$ ; b)  $f_{pe} = 112,5 \text{ kN/cm}^2$ ; c)  $f_{pe} = 132,3 \text{ kN/cm}^2$ ; d)  $f_{pe} = 152,0 \text{ kN/cm}^2$

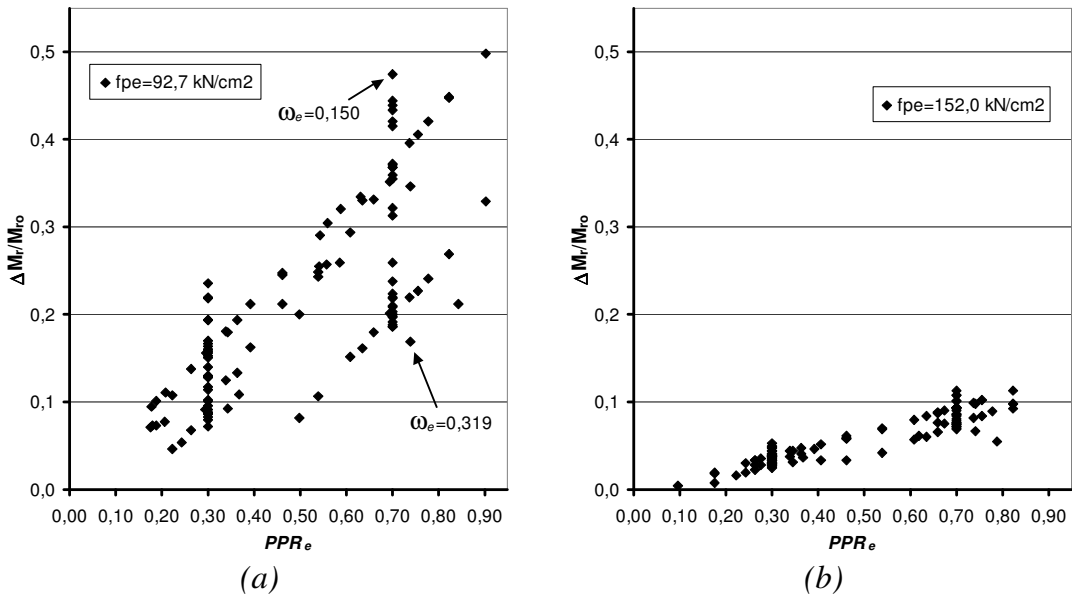


Figura 4.32 – Gráficos de dispersão ( $PPR_e$ ,  $\Delta M_r/M_{ro}$ ) de protótipos com carregamento aplicado nos terços e  $l/d_p = 21,7$ : a)  $f_{pe} = 92,7 \text{ kN/cm}^2$ ; b)  $f_{pe} = 152,0 \text{ kN/cm}^2$

Mediante comparação das figuras 4.29 a 4.31, observa-se que a tendência retratada anteriormente, de que valores crescentes de  $\Delta f_{ps}$  são obtidos seqüencialmente para protótipos com carregamento concentrado, distribuído e nos terços médios, evidentemente se reflete nos valores de incremento de momento fletor resistente. Protótipos com menores tensões efetivas de protensão também resultaram em maiores valores de  $\Delta M_r/M_{ro}$ .

Enquanto que protótipos submetidos a carregamento nos terços tiveram grandes aumentos nos valores de momentos fletores resistentes, em função do incremento de tensão – alguns valores próximos de até 50 % do momento fletor efetivo  $M_{ro}$  – protótipos submetidos a carregamento concentrado resultaram em valores máximos pouco maiores que 10 % de  $M_{ro}$ .

Nas figuras 4.29(a) e 4.32(a) e (b), pode ser notada a influência do parâmetro  $PPR_e$  no acréscimo de momentos fletores. Na figura 4.33, todavia, que apresenta ilustrativamente o gráfico de dispersão dos pontos ( $PPR_e$ ,  $\Delta f_{ps}$ ) para protótipos com carregamento nos terços médios,  $l/d_p = 21,7$  e  $f_{pe} = 92,7 \text{ kN/cm}^2$ , não foi percebida qualquer influência significativa do parâmetro  $PPR_e$  no valor de  $\Delta f_{ps}$ . Entretanto, em protótipos com maiores valores de  $PPR_e$ , a parcela da resultante de tração da armadura de protensão, em relação a resultante total de

tração, é maior. Justifica-se, assim, a maior influência de  $\Delta f_{ps}$  no incremento de momento fletor resistente, para protótipos com maiores índices  $PPR_e$ .

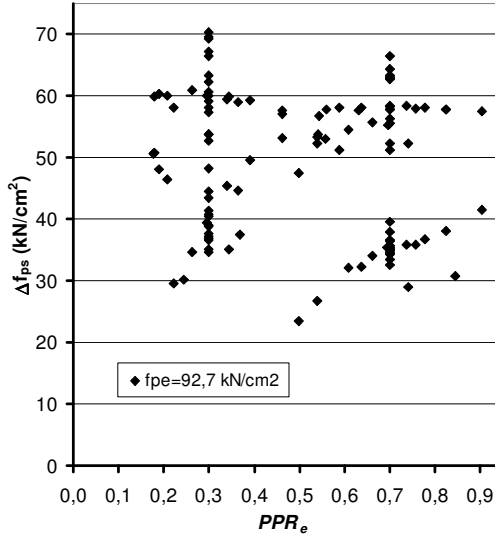


Figura 4.33 – Gráfico de dispersão ( $PPR_e$ ,  $\Delta f_{ps}$ ) de protótipos com carregamento nos terços médios,  $l/d_p = 21,7$  e  $f_{pe} = 92,7 \text{ kN/cm}^2$

A tabela 4.9 apresenta comparativamente valores de  $\Delta f_{ps}$ ,  $f_{ps}$  e  $M_{res}$  na ruptura de protótipos de referência, com  $l/d_p = 21,7$ , submetidos a carregamento nos terços médios e concentrado. Pode-se observar que a grande variação nos valores de  $\Delta f_{ps}$ , em função do tipo de carregamento aplicado, é refletida em menor intensidade nos valores de  $f_{ps}$ , sendo ainda menos relevante nos valores de momento fletor resistente último na ruptura.

Tabela 4.9 – Comparaçāo de valores de  $\Delta f_{ps}$ ,  $f_{ps}$  e  $M_{res}$  de protótipos de referência com  $l/d_p = 21,7$ , para carregamento nos terços e concentrado [ $kN \cdot cm$ ]

Protótipo	Terços Médios			Concentrado			$\frac{\Delta f_{ps-terços}}{\Delta f_{ps-conc}}$	$\frac{f_{ps-terços}}{f_{ps-conc}}$	$\frac{M_{res-terços}}{M_{res-conc}}$
	$\Delta f_{ps-terços}$	$f_{ps-terços}$	$M_{res-terços}$	$\Delta f_{ps-conc}$	$f_{ps-conc}$	$M_{res-conc}$			
0,30-0,275-92,7-REF	37,6	130,3	29425	16,8	109,5	28118	2,24	1,19	1,05
0,70-0,275-92,7-REF	34,6	127,3	29408	13,3	106,0	26482	2,61	1,20	1,11
0,30-0,275-112,5-REF	37,1	149,6	29013	16,4	128,9	27935	2,26	1,16	1,04
0,70-0,275-112,5-REF	34,3	146,8	28560	13,1	125,6	26122	2,63	1,17	1,09
0,30-0,275-132,3-REF	31,6	163,9	28436	14,8	147,1	27682	2,15	1,11	1,03
0,70-0,275-132,3-REF	30,2	162,5	27580	12,3	144,6	25807	2,46	1,12	1,07
0,30-0,275-152,0-REF	20,4	172,4	27846	10,9	162,9	27473	1,87	1,06	1,01
0,70-0,275-152,0-REF	20,5	172,5	26340	9,1	161,1	25344	2,24	1,07	1,04

## 5 Conclusões e Sugestões para a Continuidade da Pesquisa

Serão, a seguir, apresentadas as principais conclusões obtidas ao longo dos capítulos 2, 3 e 4 desta dissertação. Elas englobam, em seqüência, os diversos parâmetros considerados por inúmeros autores como de maior importância nos métodos de previsão do incremento de tensão, a parametrização e metodologia de análise e os resultados obtidos. Por fim, serão propostas sugestões para continuidade da pesquisa, tanto no que se refere ao estudo da influência de outros parâmetros no valor de  $\Delta f_{ps}$ , quanto no que diz respeito à elaboração de um método apropriado para previsão desta.

### 5.1 Conclusões

No **Capítulo 2**, foram apresentados inicialmente os parâmetros considerados por diversos autores, como de maior influência no valor do incremento de tensão em armaduras protendidas não aderentes ( $\Delta f_{ps}$ ). Destacam-se os parâmetros *índice de protensão parcial*, *taxa mecânica total de armadura*, *continuidade da estrutura*, *tipo de carregamento* e *índice de esbeltez à flexão*. Embora haja um consenso em relação à influência da taxa mecânica total de armadura, alguns autores, todavia, divergem quanto à importância do índice de esbeltez à flexão. Resultados contraditórios, experimentais e teóricos, foram também obtidos, por um mesmo autor, no estudo da influência do tipo de carregamento sobre o incremento de tensão. Uma revisão bibliográfica foi realizada, quanto ao comprimento de zona plastificada ( $l_p$ ), na ruptura de elementos lineares, fator este de grande importância no valor do incremento de tensão. Enquanto que para carregamento nos terços médios e concentrado, foram indicados, entre os diversos autores, valores iguais ou muito semelhantes para  $l_p$ , poucas e divergentes informações foram encontradas na literatura para elementos submetidos a carregamento distribuído. Alguns métodos empíricos e semi-empíricos disponíveis na literatura, foram apontados para previsão do incremento de tensão. Diferentes parâmetros são considerados, entre os autores, para aplicação no equacionamento do problema.

No **Capítulo 3** foi definido como seria realizado o estudo paramétrico. Um protótipo modelo foi idealizado para realização do estudo. A combinação de diversos parâmetros internos da taxa mecânica total de armadura foi considerada para estudo. Em função de resultados parciais de análise, a *tensão efetiva de protensão*, parâmetro interno de  $\omega_e$ , foi tratada como

um parâmetro principal. Os protótipos para estudo foram classificados em quatro grupos, de acordo com a tensão efetiva em estudo. Para cada protótipo assim definido, foram estudados três índices de esbeltez, combinados com três tipos de carregamento aplicado. Observou-se que o processo de análise numérica demandava o arbítrio do comprimento da zona plastificada. Distintas configurações, ou modelos analíticos, foram então elaborados, a fim de que fosse obtido um comprimento de zona plastificada constante na ruptura, arbitrado em função do tipo de carregamento em estudo.

A apresentação dos resultados e a análise paramétrica foram realizadas no **Capítulo 4**. Foi observada uma forte correlação entre as variáveis  $\omega_e$  e  $\Delta f_{ps}$ , independentemente da combinação resultante dos parâmetros internos de  $\omega_e$ , com exceção de  $f_{pe}$ . Foram apresentados os gráficos de dispersão dos pontos ( $\omega_e$  ,  $\Delta f_{ps}$ ), estes agrupados em função dos valores arbitrados de tensão efetiva ( $f_{pe}$ ), índice de esbeltez à flexão ( $l/d_p$ ) e tipo de carregamento aplicado. Foram extraídos, para cada gráfico de dispersão, regressões lineares e coeficientes de determinação. Resultados de  $\Delta f_{ps}$  inversamente proporcionais ao valor de  $\omega_e$  foram obtidos, para carregamento nos terços médios e distribuído.

A análise paramétrica revelou que os valores de incremento de tensão obtidos na ruptura foram tanto menores quanto maiores foram as tensões efetivas utilizadas. Não foi observada nenhuma influência significativa do parâmetro  $l/d_p$  no valor de  $\Delta f_{ps}$ , dentro da faixa de abrangência estudada,  $l/d_p = 21,7$  a  $55,7$ . Entretanto, a razão entre comprimento de zona plastificada e comprimento do vão ( $l_p/l$ ) foi mantida constante, para qualquer índice  $l/d_p$  estudado. Diversos autores preconizam um comprimento adicional constante de plastificação, na ruptura, por conta das fissuras inclinadas devido ao esforço cortante, ou efeito de treliça, admitido para elementos de concreto armado e protendido. Resultados analíticos com a consideração desta parcela revelaram, segundo alguns autores, diferenças pequenas nos valores de  $\Delta f_{ps}$  obtidos, em função do índice de esbeltez adotado, para valores acima de um índice  $l/d_p$  mínimo. Este valor mínimo foi apontado como variando de 15 a 24, muito próximo, portanto, do valor mínimo de 21,7 utilizado no presente trabalho. Grandes diferenças nos valores de  $\Delta f_{ps}$  foram obtidas para os distintos tipos de carregamento em estudo, já que estes determinavam o comprimento da zona plastificada na ruptura. Os valores de incremento de tensão e coeficientes de determinação diminuíram gradativamente, com a passagem de carregamento nos terços médios para carregamento distribuído e, finalmente, concentrado. Observou-se que para carregamento nos terços, poderiam ser estabelecidos

valores limites de incremento de tensão para taxas de armadura  $\omega_e$  abaixo de determinado valor. Dessa maneira, coeficientes de determinação ainda maiores poderiam ter sido obtidos. Para carregamento concentrado, os gráficos de dispersão ( $\omega_e$ ,  $\Delta f_{ps}$ ) revelaram pouca variação do valor do incremento de tensão em função da taxa de armadura, com grande dispersão de pontos. Melhores correlações podem ser obtidas, mediante eliminação de protótipos com valores considerados como atípicos, do ponto de vista de projeto, do parâmetro  $d_s$ , para protótipos com carregamento nos terços médios, e, ainda, do parâmetro  $f_y$ , para carregamentos distribuído e concentrado.

Foi avaliada, finalmente, a significância do valor de  $\Delta f_{ps}$  no aumento de capacidade portante dos protótipos estudados. O aumento de capacidade portante foi tanto maior quanto maiores foram os valores resultantes de  $\Delta f_{ps}$  e o índice de protensão parcial característico de cada protótipo. Para protótipos com carregamento nos terços, onde foram obtidos os maiores incrementos de tensão e ganhos de capacidade portante, foi observado um aumento máximo próximo de 50 % do momento fletor resistente efetivo inicial. Em contrapartida, para protótipos submetidos a carregamento concentrado, foi obtido um aumento máximo do momento resistente efetivo de pouco mais de 10 %.

Neste trabalho foi dada ênfase na análise dos parâmetros quanto a sua influência no valor do incremento de tensão das armaduras protendidas não aderentes. No item 5.2 é sugerido o estudo de outras configurações de modelos protótipos idealizados, bem como de parâmetros distintos dos aqui estudados. A fim de que possa ser formulado um critério de previsão da tensão última de protensão  $f_{ps}$ , acredita-se que mais resultados devam ser agregados aos desta pesquisa, onde então um tratamento estatístico apropriado seja dado.

A protensão não aderente é hoje mais amplamente utilizada em lajes planas de edifícios. Nestas estruturas, o dimensionamento ou verificação à ruptura no Estado Limite Último é freqüentemente realizado com a consideração da aplicação de carregamento distribuído. Os resultados desta pesquisa indicam um comportamento intermediário, com relação ao incremento de tensão, dos elementos submetidos a carregamento distribuído, em comparação aos carregamentos nos terços médios e concentrado. Isto se deve ao fato de que a extensão da zona plastificada foi também arbitrada entre os comprimentos adotados para os demais carregamentos, e o valor do incremento de tensão se mostrou fortemente dependente deste parâmetro. Entretanto, há divergências nas recomendações da extensão da zona plastificada de

elementos submetidos a carregamento distribuído, entre os diversos autores, e poucos são os estudos experimentais com a aplicação de carga uniformemente distribuída. Ressalta-se que os resultados obtidos para carregamento distribuído, nesta pesquisa, devam ser, portanto, inicialmente considerados do ponto de vista qualitativo, somente, até que a influência do carregamento distribuído na extensão da zona plastificada, seja melhor compreendida.

## 5.2 Sugestões para a Continuidade da Pesquisa

São apresentadas, a seguir, sugestões para a continuação do estudo dos parâmetros influentes na tensão última de protensão e a elaboração de algum método para sua previsão.

- Parâmetros não contemplados nesta pesquisa e considerados como também influentes no valor do incremento de tensão de armaduras protendidas não aderentes, poderiam ser abordados em seqüência à pesquisa. Sugere-se o estudo de outras relações de esbeltez ( $l/d_p$ ), ainda com a inclusão do efeito do esforço cortante. Outros perfis de cabo de protensão e geometria da seção transversal, o efeito da resistência do concreto  $f_c$ , assim como elementos contínuos poderiam também ser objetos de estudo.
- Realizar um estudo experimental para a determinação do comprimento de plastificação em elementos com protensão não aderente, submetidos a carregamento distribuído.
- Tratar deterministicamente os resultados desta pesquisa, agregados a resultados obtidos em trabalhos posteriores, tanto analíticos quanto experimentais, visando a obtenção de um método empírico para determinação da tensão última de protensão.
- Analisar conjuntamente estes e outros resultados futuros, para que seja obtido um critério semi-empírico para determinação da tensão última de protensão, com um maior embasamento teórico. Pode ser efetuada ainda a comparação com resultados de elementos com protensão aderente, de forma que um critério de dimensionamento baseado no equilíbrio de esforços da seção transversal, com a utilização de coeficientes de compatibilidade (ou redutores) de deformações, seja elaborado.

- Realizar um estudo probabilístico da influência dos diversos fatores determinantes da tensão última de protensão, objetivando, desta forma, a elaboração de um método de previsão mais abrangente.

Enfatiza-se, ainda, que o estudo dos fatores influentes e a determinação da própria tensão efetiva de protensão ( $f_{pe}$ ) podem constituir, por si só, uma pesquisa isolada, apresentando diversos aspectos a serem aprofundados.

## Referências Bibliográficas

- AMERICAN CONCRETE INSTITUTE. **Building Code Requirements for Structural Concrete: ACI Committe 318.** Farmington Hills, 2002.
- ASSOCIAÇÃO BRASILIRA DE NORMAS TÉCNICAS. **Projeto de Estruturas de Concreto – Procedimento: NBR 6118.** Rio de Janeiro, 2003.
- BARBIERI, R. A. **Modelo Numérico para a Análise à Flexão de Elementos com Protensão Aderente e Não Aderente.** 2003. Tese (Doutorado em Engenharia Civil) – Programa de Pós-Graduação em Engenharia Civil, Universidade Federal do Rio Grande do Sul, Porto Alegre.
- BAKER, A. L. L. **Ultimate Load Theory Applied to the Design of Reinforced and Prestressed Concrete Frames.** Londres: Concrete Publications, 1956.
- BURNS, N. H. Post-Tension Force Changes in Continuous Beams. **Proceedings of the ASCE Structures Congress**, New York, p. 455-456, 1990.
- BURNS, N. H.; CHARNEY, F. A.; VINES, W. R. Tests of One-Way Post-Tensioned Slabs with Unbonded Tendons. **PCI Journal**, Chicago, PCI, v. 23, n. 5, p. 67-83, Sep-Oct. 1978.
- CAMPBELL, T. I.; ALLOUCHE, E. N.; GREEN, M. F.; SOUDKI, K. A. Tendon Stress in Continuous Unbonded Prestressed Concrete Members – Part 1: Review of Literature. **PCI Journal**, Chicago, PCI, v. 43, n. 6, p. 86-93, Nov-Dec. 1998.
- CANADIAN STANDARDS ASSOCIATION. **Design of Concrete Structures: A23.3-94.** Ontário, 1994.
- CHAKRABARTI, P. R. Ultimate Stress for Unbonded Post-Tensioning Tendons in Partially Prestressed Beams. **ACI Structural Journal**, Farmington Hills, ACI, v. 92, n. 6, p. 689-697, Nov-Dec. 1995.
- CHEN, R. **The Strength and Behavior of Post-Tensioned Prestressed Concrete Slabs with Unbonded Tendons.** 1971. Dissertação (Mestrado em Engenharia) – Universidade do Texas, Austin.
- COOKE, N.; PARK, R.; YOUNG, P. Flexural Strenght of Prestressed Concrete Members with Unbonded Tendons. **PCI Journal**, Chicago, PCI, v. 26, n. 6, p. 52-80, Nov-Dec. 1981.
- COMITÉ EURO-INTERNACIONAL DU BETON. **CEB-FIP Model Code 1990.** Lousanne, (Bulletin d'Information, 213/214), 1993.
- CORLEY, W. G. Rotational Capacity of Reinforced Concrete Beams. **Journal of the Structural Division**, New York, ASCE, v. 92, n. 5, p. 121-146, Oct. 1966.

DEVALAPURA, R. K.; TRADOS, M. K. Stress-Strain Modelling of 270 ksi Low-Relaxation Prestressing Strands. **PCI Journal**, Chicago, PCI, v. 37, n. 2, p. 100-106, Mar-Apr. 1992.

DILGER, W. Veränderlichkeit der Biege- und Schubsteifigkeit bei Stahlbetontragwerken und ihr Einfluß auf Schnittkraftverteilung und Traglast bei statisch unbestimmter Lagerung. **Deutscher Ausschuß für Stahlbeton**, Berlim, c. 179, 1966.

GEBRE-MICHAEL, Z. **Behavior of Post-Tensioned Concrete Slabs with Unbonded Tendon Reinforcement**. 1970. Dissertação (Mestrado em Engenharia) – Universidade do Texas, Austin.

HARAJLI, M. H. Effect of Span-Depth Ratio on the Ultimate Steel Stress in Unbonded Prestressed Concrete Members. **ACI Structural Journal**, Farmington Hills, ACI, v. 87, n. 3, p. 305-312, May-Jun. 1990.

HARAJLI, M. H.; HIJAZI, S. A. Evaluation of the Ultimate Steel Stress in Partially Prestressed Concrete Members. **PCI Journal**, Chicago, PCI, v. 36, n. 1, p. 62-82, Jan-Feb. 1991.

HARAJLI, M. H.; KANJ, M. Y. Ultimate Flexural Strength of Concrete Members Prestressed with Unbonded Tendons. **ACI Structural Journal**, Farmington Hills, ACI, v. 88, n. 6, p. 663-673, Nov-Dec. 1991.

HEMAKOM, R. **Behavior of Post-Tensioned Concrete Slabs with Unbonded Tendons**. 1970. Dissertação (Mestrado em Engenharia) – Universidade do Texas, Austin.

KABAILA, A.; SAENZ, L. P.; TULIN, L. G.; GERSTLE, K. H. Equation for the Stress-Strain Curve of Concrete. **ACI Journal**, Farmington Hills, ACI, v. 61, n. 3, p. 1227-1239, Mar. 1964.

KORDINA, K.; HEGGER, J. Zur Ermittlung der Biegebruch-Tragfähigkeit bei Vorspannung ohne Verbund. **Beton- und Stahlbetonbau**, Berlim, v. 82, n. 4, p. 85-90, Apr. 1987

LEE, L.; MOON, J.; LIM, J. Proposed Methology for Computing of Unbonded Tendon Stress at Flexural Failure. **ACI Structural Journal**, Farmington Hills, ACI, v. 96, n. 6, p. 1040-1048, Nov-Dec. 1999.

LEONHARDT, F. **Construções de Concreto, Volume 4: Verificação da Capacidade de Utilização, Limitação da Fissuração, Deformações, Redistribuição de Momentos e Teoria das Linhas de Ruptura em Estruturas de Concreto Armado**. Rio de Janeiro: Interciência, 1979.

MATTOCK, A. H. Discussion of “Rotational Capacity of Reinforced Concrete Beams”. **Journal of the Structural Division**, New York, ASCE, v. 93, n. 2, p. 519-522, Apr. 1967.

- MATTOCK, A. H.; YAMAZAKI, J.; KATTULA, B. T. Comparative Study of Prestressed Concrete Beams, With and Without Bond. **ACI Journal, Farmington Hills**, ACI, v. 68, n. 2, p.116-125, Feb. 1971.
- MOJTAHEDI, S.; GAMBLE, W. L. Ultimate Steel Stress in Unbonded Prestressed Concrete. **Journal of the Structural Division**, New York, ASCE, v. 104, n. 7, p. 1159-1165, Jul. 1978.
- NAAMAN, A. E., ALKHAIRI, F. M. Stress at Ultimate in Unbonded Post-Tensioned Tendons: Part 1 – Evaluation of the State-of-the-Art. **ACI Structural Journal**, Farmington Hills, ACI, v. 88, n. 5, p. 641-650, Sep-Oct. 1991a.
- NAAMAN, A. E.; ALKHAIRI, F. M. Stress at Ultimate in Unbonded Post-Tensioned Tendons: Part 2 – Proposed Methology. **ACI Structural Journal**, Farmington Hills, ACI, v. 88, n. 6, p. 683-692, Nov-Dec. 1991b.
- NAAMAN, A. E.; ALKHAIRI, F. M. Analysis of Beams Prestressed with Unbonded Internal or External Tendons. **Journal of the Structural Division**, New York, ASCE, v. 119, n. 9, p. 2680-2699, Sep. 1993.
- NAAMAN, A. E.; BURNS, N.; FRENCH, C.; GAMBLE, W. L.; MATTOCK, A. H. Stresses in Unbonded Prestressing Tendons at Ultimate: Recommendation. **ACI Structural Journal**, Farmington Hills, ACI, v. 99, n. 4, p. 518-529, Jul-Aug. 2002.
- PARK, R.; PAULAY, T. **Reinforced Concrete Structures**. Nova York: John Wiley & Sons, 1975.
- ROZVANY, G. I. N.; WOODS, J. F. Sudden Collapse of Unbonded Under prestressed Structures. **ACI Journal**, Farmington Hills, ACI, v. 66, n. 2, p. 129-135, Feb. 1969.
- SAWYER, H. A. Design of Concrete Frames for Two Failure States. **Proceedings of the International Symposium on the Flexural Mechanics of Reinforced Concrete**, Miami, ASCE-ACI, p. 405-431, Nov. 1964.
- TAM, A.; PANNELL, F. N. The Ultimate Moment of Resistance of Unbonded Partially Prestressed Reinforced Concrete Beams. **Magazine of Concrete Research**, London, Cement and Concrete Association, v. 28, n. 97, p. 203-208, Dec. 1976.
- TAO, X; DU, G. Ultimate Stress of Unbonded Tendons in Partially Prestressed Concrete Beams. **PCI Journal**, Chicago, PCI, v. 30, n. 6, p. 72-91, Nov-Dec. 1985.
- TROST, H.; CORDES, H.; WELLER, B. Untersuchungen zur Vorspannung ohne Verbund. **Deutscher Ausschuß für Stahlbeton**, Berlim, c. 355, 1984.

**Apêndice A – Tabelas de Dados dos Protótipos**

## Apêndice A – Tabelas de Dados dos Protótipos

São apresentadas a seguir as tabelas com dados referentes aos parâmetros internos da taxa mecânica total de armadura ( $\omega_e$ ), característicos de cada protótipo estudado, bem como os valores resultantes de  $\omega_e$  e  $PPR_e$ .

Protótipo	$f_{pe}$ [kN/cm <sup>2</sup> ]	$f_y$ [kN/cm <sup>2</sup> ]	$\epsilon_y$ [%o]	$d_s$ [cm]	$A_{ps}$ [cm <sup>2</sup> ]	$A_s$ [cm <sup>2</sup> ]	$PPR_e$	$\omega_e$
0,30-0,150-92,7-REF	92,7	50,0	2,38	17,5	3,27	14,15	0,30	0,150
0,30-0,150-92,7-01	92,7	12,5	0,60	17,5	3,27	56,58	0,30	0,150
0,30-0,150-92,7-02	92,7	25,0	1,19	17,5	3,27	28,29	0,30	0,150
0,30-0,150-92,7-03	92,7	37,5	1,79	17,5	3,27	18,86	0,30	0,150
0,30-0,150-92,7-04	92,7	60,0	2,86	17,5	3,27	11,79	0,30	0,150
0,30-0,150-92,7-05	92,7	75,0	3,57	17,5	3,27	9,43	0,30	0,150
0,30-0,150-92,7-06	92,7	100,0	4,76	17,5	3,27	7,07	0,30	0,150
0,30-0,150-92,7-07	92,7	50,0	2,38	12,5	2,58	11,16	0,30	0,150
0,30-0,150-92,7-08	92,7	50,0	2,38	14,0	2,80	12,11	0,30	0,150
0,30-0,150-92,7-09	92,7	50,0	2,38	15,5	3,00	12,98	0,30	0,150
0,30-0,150-92,7-10	92,7	50,0	2,38	19,5	3,52	15,23	0,30	0,150
0,30-0,150-92,7-11	92,7	50,0	2,38	17,5	7,60	14,15	0,50	0,215
0,30-0,150-92,7-12	92,7	50,0	2,38	17,5	4,00	14,15	0,34	0,161
0,30-0,150-92,7-13	92,7	50,0	2,38	17,5	3,20	14,15	0,30	0,149
0,30-0,150-92,7-14	92,7	50,0	2,38	17,5	2,00	14,15	0,21	0,131
0,30-0,150-92,7-15	92,7	50,0	2,38	17,5	1,77	14,15	0,19	0,128
0,30-0,150-92,7-16	92,7	50,0	2,38	17,5	1,66	14,15	0,18	0,126
0,30-0,150-92,7-17	92,7	50,0	2,38	17,5	3,27	56,58	0,10	0,453
0,30-0,150-92,7-18	92,7	50,0	2,38	17,5	3,27	28,29	0,18	0,251
0,30-0,150-92,7-19	92,7	50,0	2,38	17,5	3,27	18,86	0,24	0,184
0,30-0,150-92,7-20	92,7	50,0	2,38	17,5	3,27	11,79	0,34	0,133
0,30-0,150-92,7-21	92,7	50,0	2,38	17,5	3,27	9,43	0,39	0,116
0,30-0,150-92,7-22	92,7	50,0	2,38	17,5	3,27	7,07	0,46	0,099
0,30-0,150-92,7-23	92,7	12,5	0,60	17,5	3,27	14,15	0,63	0,074
0,30-0,150-92,7-24	92,7	25,0	1,19	17,5	3,27	14,15	0,46	0,099
0,30-0,150-92,7-25	92,7	37,5	1,79	17,5	3,27	14,15	0,36	0,125
0,30-0,150-92,7-26	92,7	60,0	2,86	17,5	3,27	14,15	0,26	0,170
0,30-0,150-92,7-27	92,7	75,0	3,57	17,5	3,27	14,15	0,22	0,200
0,30-0,150-92,7-28	92,7	100,0	4,76	17,5	3,27	14,15	0,18	0,251
0,30-0,150-92,7-29	92,7	50,0	2,38	12,5	3,27	14,15	0,30	0,190
0,30-0,150-92,7-30	92,7	50,0	2,38	14,0	3,27	14,15	0,30	0,175
0,30-0,150-92,7-31	92,7	50,0	2,38	15,5	3,27	14,15	0,30	0,163
0,30-0,150-92,7-32	92,7	50,0	2,38	19,5	3,27	14,15	0,30	0,140

Protótipo	$f_{pe}$ [kN/cm <sup>2</sup> ]	$f_y$ [kN/cm <sup>2</sup> ]	$\epsilon_y$ [%o]	$d_s$ [cm]	$A_{ps}$ [cm <sup>2</sup> ]	$A_s$ [cm <sup>2</sup> ]	$PPR_e$	$\omega_e$
0,30-0,275-92,7-REF	92,7	50,0	2,38	17,5	6,00	25,96	0,30	0,275
0,30-0,275-92,7-01	92,7	12,5	0,60	17,5	6,00	103,82	0,30	0,275
0,30-0,275-92,7-02	92,7	25,0	1,19	17,5	6,00	51,91	0,30	0,275
0,30-0,275-92,7-03	92,7	37,5	1,79	17,5	6,00	34,61	0,30	0,275
0,30-0,275-92,7-04	92,7	60,0	2,86	17,5	6,00	21,63	0,30	0,275
0,30-0,275-92,7-05	92,7	75,0	3,57	17,5	6,00	17,30	0,30	0,275
0,30-0,275-92,7-06	92,7	100,0	4,76	17,5	6,00	12,98	0,30	0,275
0,30-0,275-92,7-07	92,7	50,0	2,38	12,5	4,73	20,46	0,30	0,275
0,30-0,275-92,7-08	92,7	50,0	2,38	14,0	5,13	22,19	0,30	0,275
0,30-0,275-92,7-09	92,7	50,0	2,38	15,5	5,52	23,88	0,30	0,275
0,30-0,275-92,7-10	92,7	50,0	2,38	19,5	6,45	27,90	0,30	0,275
0,30-0,275-92,7-11	92,7	50,0	2,38	17,5	13,90	25,96	0,50	0,393
0,30-0,275-92,7-12	92,7	50,0	2,38	17,5	7,32	25,96	0,34	0,295
0,30-0,275-92,7-13	92,7	50,0	2,38	17,5	5,86	25,96	0,30	0,273
0,30-0,275-92,7-14	92,7	50,0	2,38	17,5	3,66	25,96	0,21	0,240
0,30-0,275-92,7-15	92,7	50,0	2,38	17,5	3,25	25,96	0,19	0,234
0,30-0,275-92,7-16	92,7	50,0	2,38	17,5	3,05	25,96	0,18	0,231
0,30-0,275-92,7-17	92,7	50,0	2,38	17,5	6,00	103,82	0,10	0,831
0,30-0,275-92,7-18	92,7	50,0	2,38	17,5	6,00	51,91	0,18	0,461
0,30-0,275-92,7-19	92,7	50,0	2,38	17,5	6,00	34,61	0,24	0,337
0,30-0,275-92,7-20	92,7	50,0	2,38	17,5	6,00	21,63	0,34	0,244
0,30-0,275-92,7-21	92,7	50,0	2,38	17,5	6,00	17,30	0,39	0,213
0,30-0,275-92,7-22	92,7	50,0	2,38	17,5	6,00	12,98	0,46	0,182
0,30-0,275-92,7-23	92,7	12,5	0,60	17,5	6,00	25,96	0,63	0,136
0,30-0,275-92,7-24	92,7	25,0	1,19	17,5	6,00	25,96	0,46	0,182
0,30-0,275-92,7-25	92,7	37,5	1,79	17,5	6,00	25,96	0,36	0,229
0,30-0,275-92,7-26	92,7	60,0	2,86	17,5	6,00	25,96	0,26	0,312
0,30-0,275-92,7-27	92,7	75,0	3,57	17,5	6,00	25,96	0,22	0,368
0,30-0,275-92,7-28	92,7	100,0	4,76	17,5	6,00	25,96	0,18	0,461
0,30-0,275-92,7-29	92,7	50,0	2,38	12,5	6,00	25,96	0,30	0,349
0,30-0,275-92,7-30	92,7	50,0	2,38	14,0	6,00	25,96	0,30	0,321
0,30-0,275-92,7-31	92,7	50,0	2,38	15,5	6,00	25,96	0,30	0,299
0,30-0,275-92,7-32	92,7	50,0	2,38	19,5	6,00	25,96	0,30	0,256

Protótipo	$f_{pe}$ [kN/cm <sup>2</sup> ]	$f_y$ [kN/cm <sup>2</sup> ]	$\epsilon_y$ [%o]	$d_s$ [cm]	$A_{ps}$ [cm <sup>2</sup> ]	$A_s$ [cm <sup>2</sup> ]	$PPR_e$	$\omega_e$
0,70-0,150-92,7-REF	92,7	50,0	2,38	17,5	7,25	5,76	0,70	0,150
0,70-0,150-92,7-01	92,7	12,5	0,60	17,5	7,25	23,04	0,70	0,150
0,70-0,150-92,7-02	92,7	25,0	1,19	17,5	7,25	11,52	0,70	0,150
0,70-0,150-92,7-03	92,7	37,5	1,79	17,5	7,25	7,68	0,70	0,150
0,70-0,150-92,7-04	92,7	60,0	2,86	17,5	7,25	4,80	0,70	0,150
0,70-0,150-92,7-05	92,7	75,0	3,57	17,5	7,25	3,84	0,70	0,150
0,70-0,150-92,7-06	92,7	100,0	4,76	17,5	7,25	2,88	0,70	0,150
0,70-0,150-92,7-07	92,7	50,0	2,38	12,5	6,55	5,20	0,70	0,150
0,70-0,150-92,7-08	92,7	50,0	2,38	14,0	6,80	5,40	0,70	0,150
0,70-0,150-92,7-09	92,7	50,0	2,38	15,5	7,00	5,56	0,70	0,150
0,70-0,150-92,7-10	92,7	50,0	2,38	19,5	7,50	5,96	0,70	0,150
0,70-0,150-92,7-11	92,7	50,0	2,38	17,5	16,90	5,76	0,84	0,294
0,70-0,150-92,7-12	92,7	50,0	2,38	17,5	8,85	5,76	0,74	0,173
0,70-0,150-92,7-13	92,7	50,0	2,38	17,5	7,10	5,76	0,70	0,147
0,70-0,150-92,7-14	92,7	50,0	2,38	17,5	4,44	5,76	0,59	0,108
0,70-0,150-92,7-15	92,7	50,0	2,38	17,5	3,95	5,76	0,56	0,100
0,70-0,150-92,7-16	92,7	50,0	2,38	17,5	3,70	5,76	0,54	0,096
0,70-0,150-92,7-17	92,7	50,0	2,38	17,5	7,25	23,04	0,37	0,273
0,70-0,150-92,7-18	92,7	50,0	2,38	17,5	7,25	11,52	0,54	0,191
0,70-0,150-92,7-19	92,7	50,0	2,38	17,5	7,25	7,68	0,64	0,163
0,70-0,150-92,7-20	92,7	50,0	2,38	17,5	7,25	4,80	0,74	0,143
0,70-0,150-92,7-21	92,7	50,0	2,38	17,5	7,25	3,84	0,78	0,136
0,70-0,150-92,7-22	92,7	50,0	2,38	17,5	7,25	2,88	0,82	0,129
0,70-0,150-92,7-23	92,7	12,5	0,60	17,5	7,25	5,76	0,90	0,119
0,70-0,150-92,7-24	92,7	25,0	1,19	17,5	7,25	5,76	0,82	0,129
0,70-0,150-92,7-25	92,7	37,5	1,79	17,5	7,25	5,76	0,76	0,139
0,70-0,150-92,7-26	92,7	60,0	2,86	17,5	7,25	5,76	0,66	0,158
0,70-0,150-92,7-27	92,7	75,0	3,57	17,5	7,25	5,76	0,61	0,170
0,70-0,150-92,7-28	92,7	100,0	4,76	17,5	7,25	5,76	0,54	0,191
0,70-0,150-92,7-29	92,7	50,0	2,38	12,5	7,25	5,76	0,70	0,166
0,70-0,150-92,7-30	92,7	50,0	2,38	14,0	7,25	5,76	0,70	0,160
0,70-0,150-92,7-31	92,7	50,0	2,38	15,5	7,25	5,76	0,70	0,155
0,70-0,150-92,7-32	92,7	50,0	2,38	19,5	7,25	5,76	0,70	0,145

Protótipo	$f_{pe}$ [kN/cm <sup>2</sup> ]	$f_y$ [kN/cm <sup>2</sup> ]	$\epsilon_y$ [%o]	$d_s$ [cm]	$A_{ps}$ [cm <sup>2</sup> ]	$A_s$ [cm <sup>2</sup> ]	$PPR_e$	$\omega_e$
0,70-0,275-92,7-REF	92,7	50,0	2,38	17,5	13,35	10,61	0,70	0,275
0,70-0,275-92,7-01	92,7	12,5	0,60	17,5	13,35	42,43	0,70	0,275
0,70-0,275-92,7-02	92,7	25,0	1,19	17,5	13,35	21,22	0,70	0,275
0,70-0,275-92,7-03	92,7	37,5	1,79	17,5	13,35	14,14	0,70	0,275
0,70-0,275-92,7-04	92,7	60,0	2,86	17,5	13,35	8,84	0,70	0,275
0,70-0,275-92,7-05	92,7	75,0	3,57	17,5	13,35	7,07	0,70	0,275
0,70-0,275-92,7-06	92,7	100,0	4,76	17,5	13,35	5,30	0,70	0,275
0,70-0,275-92,7-07	92,7	50,0	2,38	12,5	12,00	9,53	0,70	0,275
0,70-0,275-92,7-08	92,7	50,0	2,38	14,0	12,47	9,91	0,70	0,275
0,70-0,275-92,7-09	92,7	50,0	2,38	15,5	12,88	10,23	0,70	0,275
0,70-0,275-92,7-10	92,7	50,0	2,38	19,5	13,70	10,89	0,70	0,275
0,70-0,275-92,7-11	92,7	50,0	2,38	17,5	30,90	10,61	0,84	0,538
0,70-0,275-92,7-12	92,7	50,0	2,38	17,5	16,25	10,61	0,74	0,319
0,70-0,275-92,7-13	92,7	50,0	2,38	17,5	13,00	10,61	0,69	0,270
0,70-0,275-92,7-14	92,7	50,0	2,38	17,5	8,13	10,61	0,59	0,197
0,70-0,275-92,7-15	92,7	50,0	2,38	17,5	7,22	10,61	0,56	0,184
0,70-0,275-92,7-16	92,7	50,0	2,38	17,5	6,77	10,61	0,54	0,177
0,70-0,275-92,7-17	92,7	50,0	2,38	17,5	13,35	42,43	0,37	0,503
0,70-0,275-92,7-18	92,7	50,0	2,38	17,5	13,35	21,22	0,54	0,351
0,70-0,275-92,7-19	92,7	50,0	2,38	17,5	13,35	14,14	0,64	0,301
0,70-0,275-92,7-20	92,7	50,0	2,38	17,5	13,35	8,84	0,74	0,263
0,70-0,275-92,7-21	92,7	50,0	2,38	17,5	13,35	7,07	0,78	0,250
0,70-0,275-92,7-22	92,7	50,0	2,38	17,5	13,35	5,30	0,82	0,237
0,70-0,275-92,7-23	92,7	12,5	0,60	17,5	13,35	10,61	0,90	0,219
0,70-0,275-92,7-24	92,7	25,0	1,19	17,5	13,35	10,61	0,82	0,237
0,70-0,275-92,7-25	92,7	37,5	1,79	17,5	13,35	10,61	0,76	0,256
0,70-0,275-92,7-26	92,7	60,0	2,86	17,5	13,35	10,61	0,66	0,291
0,70-0,275-92,7-27	92,7	75,0	3,57	17,5	13,35	10,61	0,61	0,313
0,70-0,275-92,7-28	92,7	100,0	4,76	17,5	13,35	10,61	0,54	0,351
0,70-0,275-92,7-29	92,7	50,0	2,38	12,5	13,35	10,61	0,70	0,306
0,70-0,275-92,7-30	92,7	50,0	2,38	14,0	13,35	10,61	0,70	0,294
0,70-0,275-92,7-31	92,7	50,0	2,38	15,5	13,35	10,61	0,70	0,285
0,70-0,275-92,7-32	92,7	50,0	2,38	19,5	13,35	10,61	0,70	0,268

Protótipo	$f_{pe}$ [kN/cm <sup>2</sup> ]	$f_y$ [kN/cm <sup>2</sup> ]	$\epsilon_y$ [%o]	$d_s$ [cm]	$A_{ps}$ [cm <sup>2</sup> ]	$A_s$ [cm <sup>2</sup> ]	$PPR_e$	$\omega_e$
0,30-0,150-112,5-REF	112,5	50,0	2,38	17,5	2,70	14,18	0,30	0,150
0,30-0,150-112,5-01	112,5	12,5	0,60	17,5	2,70	56,70	0,30	0,150
0,30-0,150-112,5-02	112,5	25,0	1,19	17,5	2,70	28,35	0,30	0,150
0,30-0,150-112,5-03	112,5	37,5	1,79	17,5	2,70	18,90	0,30	0,150
0,30-0,150-112,5-04	112,5	60,0	2,86	17,5	2,70	11,81	0,30	0,150
0,30-0,150-112,5-05	112,5	75,0	3,57	17,5	2,70	9,45	0,30	0,150
0,30-0,150-112,5-06	112,5	100,0	4,76	17,5	2,70	7,09	0,30	0,150
0,30-0,150-112,5-07	112,5	50,0	2,38	12,5	2,13	11,18	0,30	0,150
0,30-0,150-112,5-08	112,5	50,0	2,38	14,0	2,30	12,08	0,30	0,150
0,30-0,150-112,5-09	112,5	50,0	2,38	15,5	2,48	13,02	0,30	0,150
0,30-0,150-112,5-10	112,5	50,0	2,38	19,5	2,90	15,23	0,30	0,150
0,30-0,150-112,5-11	112,5	50,0	2,38	17,5	7,59	14,18	0,55	0,239
0,30-0,150-112,5-12	112,5	50,0	2,38	17,5	4,00	14,18	0,39	0,174
0,30-0,150-112,5-13	112,5	50,0	2,38	17,5	3,20	14,18	0,34	0,159
0,30-0,150-112,5-14	112,5	50,0	2,38	17,5	2,00	14,18	0,24	0,138
0,30-0,150-112,5-15	112,5	50,0	2,38	17,5	1,78	14,18	0,22	0,133
0,30-0,150-112,5-16	112,5	50,0	2,38	17,5	1,66	14,18	0,21	0,131
0,30-0,150-112,5-17	112,5	50,0	2,38	17,5	2,70	56,70	0,10	0,454
0,30-0,150-112,5-18	112,5	50,0	2,38	17,5	2,70	28,35	0,18	0,251
0,30-0,150-112,5-19	112,5	50,0	2,38	17,5	2,70	18,90	0,24	0,184
0,30-0,150-112,5-20	112,5	50,0	2,38	17,5	2,70	11,81	0,34	0,133
0,30-0,150-112,5-21	112,5	50,0	2,38	17,5	2,70	9,45	0,39	0,116
0,30-0,150-112,5-22	112,5	50,0	2,38	17,5	2,70	7,09	0,46	0,100
0,30-0,150-112,5-23	112,5	12,5	0,60	17,5	2,70	14,18	0,63	0,074
0,30-0,150-112,5-24	112,5	25,0	1,19	17,5	2,70	14,18	0,46	0,100
0,30-0,150-112,5-25	112,5	37,5	1,79	17,5	2,70	14,18	0,36	0,125
0,30-0,150-112,5-26	112,5	60,0	2,86	17,5	2,70	14,18	0,26	0,170
0,30-0,150-112,5-27	112,5	75,0	3,57	17,5	2,70	14,18	0,22	0,201
0,30-0,150-112,5-28	112,5	100,0	4,76	17,5	2,70	14,18	0,18	0,251
0,30-0,150-112,5-29	112,5	50,0	2,38	12,5	2,70	14,18	0,30	0,191
0,30-0,150-112,5-30	112,5	50,0	2,38	14,0	2,70	14,18	0,30	0,176
0,30-0,150-112,5-31	112,5	50,0	2,38	15,5	2,70	14,18	0,30	0,163
0,30-0,150-112,5-32	112,5	50,0	2,38	19,5	2,70	14,18	0,30	0,140

Protótipo	$f_{pe}$ [kN/cm <sup>2</sup> ]	$f_y$ [kN/cm <sup>2</sup> ]	$\epsilon_y$ [%o]	$d_s$ [cm]	$A_{ps}$ [cm <sup>2</sup> ]	$A_s$ [cm <sup>2</sup> ]	$PPR_e$	$\omega_e$
0,30-0,275-112,5-REF	112,5	50,0	2,38	17,5	4,95	25,99	0,30	0,275
0,30-0,275-112,5-01	112,5	12,5	0,60	17,5	4,95	103,95	0,30	0,275
0,30-0,275-112,5-02	112,5	25,0	1,19	17,5	4,95	51,98	0,30	0,275
0,30-0,275-112,5-03	112,5	37,5	1,79	17,5	4,95	34,65	0,30	0,275
0,30-0,275-112,5-04	112,5	60,0	2,86	17,5	4,95	21,66	0,30	0,275
0,30-0,275-112,5-05	112,5	75,0	3,57	17,5	4,95	17,33	0,30	0,275
0,30-0,275-112,5-06	112,5	100,0	4,76	17,5	4,95	12,99	0,30	0,275
0,30-0,275-112,5-07	112,5	50,0	2,38	12,5	3,89	20,42	0,30	0,275
0,30-0,275-112,5-08	112,5	50,0	2,38	14,0	4,23	22,21	0,30	0,275
0,30-0,275-112,5-09	112,5	50,0	2,38	15,5	4,55	23,89	0,30	0,275
0,30-0,275-112,5-10	112,5	50,0	2,38	19,5	5,30	27,83	0,30	0,275
0,30-0,275-112,5-11	112,5	50,0	2,38	17,5	13,91	25,99	0,55	0,438
0,30-0,275-112,5-12	112,5	50,0	2,38	17,5	7,32	25,99	0,39	0,318
0,30-0,275-112,5-13	112,5	50,0	2,38	17,5	5,85	25,99	0,34	0,292
0,30-0,275-112,5-14	112,5	50,0	2,38	17,5	3,66	25,99	0,24	0,252
0,30-0,275-112,5-15	112,5	50,0	2,38	17,5	3,25	25,99	0,22	0,245
0,30-0,275-112,5-16	112,5	50,0	2,38	17,5	3,05	25,99	0,21	0,241
0,30-0,275-112,5-17	112,5	50,0	2,38	17,5	4,95	103,95	0,10	0,832
0,30-0,275-112,5-18	112,5	50,0	2,38	17,5	4,95	51,98	0,18	0,461
0,30-0,275-112,5-19	112,5	50,0	2,38	17,5	4,95	34,65	0,24	0,337
0,30-0,275-112,5-20	112,5	50,0	2,38	17,5	4,95	21,66	0,34	0,245
0,30-0,275-112,5-21	112,5	50,0	2,38	17,5	4,95	17,33	0,39	0,214
0,30-0,275-112,5-22	112,5	50,0	2,38	17,5	4,95	12,99	0,46	0,183
0,30-0,275-112,5-23	112,5	12,5	0,60	17,5	4,95	25,99	0,63	0,136
0,30-0,275-112,5-24	112,5	25,0	1,19	17,5	4,95	25,99	0,46	0,183
0,30-0,275-112,5-25	112,5	37,5	1,79	17,5	4,95	25,99	0,36	0,229
0,30-0,275-112,5-26	112,5	60,0	2,86	17,5	4,95	25,99	0,26	0,313
0,30-0,275-112,5-27	112,5	75,0	3,57	17,5	4,95	25,99	0,22	0,368
0,30-0,275-112,5-28	112,5	100,0	4,76	17,5	4,95	25,99	0,18	0,461
0,30-0,275-112,5-29	112,5	50,0	2,38	12,5	4,95	25,99	0,30	0,350
0,30-0,275-112,5-30	112,5	50,0	2,38	14,0	4,95	25,99	0,30	0,322
0,30-0,275-112,5-31	112,5	50,0	2,38	15,5	4,95	25,99	0,30	0,299
0,30-0,275-112,5-32	112,5	50,0	2,38	19,5	4,95	25,99	0,30	0,256

Protótipo	$f_{pe}$ [kN/cm <sup>2</sup> ]	$f_y$ [kN/cm <sup>2</sup> ]	$\epsilon_y$ [%o]	$d_s$ [cm]	$A_{ps}$ [cm <sup>2</sup> ]	$A_s$ [cm <sup>2</sup> ]	$PPR_e$	$\omega_e$
0,70-0,150-112,5-REF	112,5	50,0	2,38	17,5	6,00	5,79	0,70	0,150
0,70-0,150-112,5-01	112,5	12,5	0,60	17,5	6,00	23,14	0,70	0,150
0,70-0,150-112,5-02	112,5	25,0	1,19	17,5	6,00	11,57	0,70	0,150
0,70-0,150-112,5-03	112,5	37,5	1,79	17,5	6,00	7,71	0,70	0,150
0,70-0,150-112,5-04	112,5	60,0	2,86	17,5	6,00	4,82	0,70	0,150
0,70-0,150-112,5-05	112,5	75,0	3,57	17,5	6,00	3,86	0,70	0,150
0,70-0,150-112,5-06	112,5	100,0	4,76	17,5	6,00	2,89	0,70	0,150
0,70-0,150-112,5-07	112,5	50,0	2,38	12,5	5,40	5,21	0,70	0,150
0,70-0,150-112,5-08	112,5	50,0	2,38	14,0	5,60	5,40	0,70	0,150
0,70-0,150-112,5-09	112,5	50,0	2,38	15,5	5,80	5,59	0,70	0,150
0,70-0,150-112,5-10	112,5	50,0	2,38	19,5	6,18	5,96	0,70	0,150
0,70-0,150-112,5-11	112,5	50,0	2,38	17,5	16,90	5,79	0,87	0,348
0,70-0,150-112,5-12	112,5	50,0	2,38	17,5	8,85	5,79	0,77	0,202
0,70-0,150-112,5-13	112,5	50,0	2,38	17,5	7,10	5,79	0,73	0,170
0,70-0,150-112,5-14	112,5	50,0	2,38	17,5	4,44	5,79	0,63	0,122
0,70-0,150-112,5-15	112,5	50,0	2,38	17,5	3,95	5,79	0,61	0,113
0,70-0,150-112,5-16	112,5	50,0	2,38	17,5	3,70	5,79	0,59	0,108
0,70-0,150-112,5-17	112,5	50,0	2,38	17,5	6,00	23,14	0,37	0,274
0,70-0,150-112,5-18	112,5	50,0	2,38	17,5	6,00	11,57	0,54	0,192
0,70-0,150-112,5-19	112,5	50,0	2,38	17,5	6,00	7,71	0,64	0,164
0,70-0,150-112,5-20	112,5	50,0	2,38	17,5	6,00	4,82	0,74	0,143
0,70-0,150-112,5-21	112,5	50,0	2,38	17,5	6,00	3,86	0,78	0,136
0,70-0,150-112,5-22	112,5	50,0	2,38	17,5	6,00	2,89	0,82	0,130
0,70-0,150-112,5-23	112,5	12,5	0,60	17,5	6,00	5,79	0,90	0,119
0,70-0,150-112,5-24	112,5	25,0	1,19	17,5	6,00	5,79	0,82	0,130
0,70-0,150-112,5-25	112,5	37,5	1,79	17,5	6,00	5,79	0,76	0,140
0,70-0,150-112,5-26	112,5	60,0	2,86	17,5	6,00	5,79	0,66	0,158
0,70-0,150-112,5-27	112,5	75,0	3,57	17,5	6,00	5,79	0,61	0,171
0,70-0,150-112,5-28	112,5	100,0	4,76	17,5	6,00	5,79	0,54	0,192
0,70-0,150-112,5-29	112,5	50,0	2,38	12,5	6,00	5,79	0,70	0,167
0,70-0,150-112,5-30	112,5	50,0	2,38	14,0	6,00	5,79	0,70	0,161
0,70-0,150-112,5-31	112,5	50,0	2,38	15,5	6,00	5,79	0,70	0,156
0,70-0,150-112,5-32	112,5	50,0	2,38	19,5	6,00	5,79	0,70	0,146

Protótipo	$f_{pe}$ [kN/cm <sup>2</sup> ]	$f_y$ [kN/cm <sup>2</sup> ]	$\epsilon_y$ [%o]	$d_s$ [cm]	$A_{ps}$ [cm <sup>2</sup> ]	$A_s$ [cm <sup>2</sup> ]	$PPR_e$	$\omega_e$
0,70-0,275-112,5-REF	112,5	50,0	2,38	17,5	11,00	10,61	0,70	0,275
0,70-0,275-112,5-01	112,5	12,5	0,60	17,5	11,00	42,43	0,70	0,275
0,70-0,275-112,5-02	112,5	25,0	1,19	17,5	11,00	21,21	0,70	0,275
0,70-0,275-112,5-03	112,5	37,5	1,79	17,5	11,00	14,14	0,70	0,275
0,70-0,275-112,5-04	112,5	60,0	2,86	17,5	11,00	8,84	0,70	0,275
0,70-0,275-112,5-05	112,5	75,0	3,57	17,5	11,00	7,07	0,70	0,275
0,70-0,275-112,5-06	112,5	100,0	4,76	17,5	11,00	5,30	0,70	0,275
0,70-0,275-112,5-07	112,5	50,0	2,38	12,5	9,90	9,55	0,70	0,275
0,70-0,275-112,5-08	112,5	50,0	2,38	14,0	10,27	9,90	0,70	0,275
0,70-0,275-112,5-09	112,5	50,0	2,38	15,5	10,60	10,22	0,70	0,275
0,70-0,275-112,5-10	112,5	50,0	2,38	19,5	11,30	10,90	0,70	0,275
0,70-0,275-112,5-11	112,5	50,0	2,38	17,5	30,90	10,61	0,87	0,636
0,70-0,275-112,5-12	112,5	50,0	2,38	17,5	16,25	10,61	0,78	0,371
0,70-0,275-112,5-13	112,5	50,0	2,38	17,5	13,00	10,61	0,73	0,312
0,70-0,275-112,5-14	112,5	50,0	2,38	17,5	8,13	10,61	0,63	0,223
0,70-0,275-112,5-15	112,5	50,0	2,38	17,5	7,22	10,61	0,60	0,207
0,70-0,275-112,5-16	112,5	50,0	2,38	17,5	6,77	10,61	0,59	0,199
0,70-0,275-112,5-17	112,5	50,0	2,38	17,5	11,00	42,43	0,37	0,503
0,70-0,275-112,5-18	112,5	50,0	2,38	17,5	11,00	21,21	0,54	0,351
0,70-0,275-112,5-19	112,5	50,0	2,38	17,5	11,00	14,14	0,64	0,301
0,70-0,275-112,5-20	112,5	50,0	2,38	17,5	11,00	8,84	0,74	0,263
0,70-0,275-112,5-21	112,5	50,0	2,38	17,5	11,00	7,07	0,78	0,250
0,70-0,275-112,5-22	112,5	50,0	2,38	17,5	11,00	5,30	0,82	0,237
0,70-0,275-112,5-23	112,5	12,5	0,60	17,5	11,00	10,61	0,90	0,219
0,70-0,275-112,5-24	112,5	25,0	1,19	17,5	11,00	10,61	0,82	0,237
0,70-0,275-112,5-25	112,5	37,5	1,79	17,5	11,00	10,61	0,76	0,256
0,70-0,275-112,5-26	112,5	60,0	2,86	17,5	11,00	10,61	0,66	0,291
0,70-0,275-112,5-27	112,5	75,0	3,57	17,5	11,00	10,61	0,61	0,313
0,70-0,275-112,5-28	112,5	100,0	4,76	17,5	11,00	10,61	0,54	0,351
0,70-0,275-112,5-29	112,5	50,0	2,38	12,5	11,00	10,61	0,70	0,306
0,70-0,275-112,5-30	112,5	50,0	2,38	14,0	11,00	10,61	0,70	0,294
0,70-0,275-112,5-31	112,5	50,0	2,38	15,5	11,00	10,61	0,70	0,285
0,70-0,275-112,5-32	112,5	50,0	2,38	19,5	11,00	10,61	0,70	0,268

Protótipo	$f_{pe}$ [kN/cm <sup>2</sup> ]	$f_y$ [kN/cm <sup>2</sup> ]	$\epsilon_y$ [%o]	$d_s$ [cm]	$A_{ps}$ [cm <sup>2</sup> ]	$A_s$ [cm <sup>2</sup> ]	$PPR_e$	$\omega_e$
0,30-0,150-132,3-REF	132,3	50,0	2,38	17,5	2,29	14,14	0,30	0,150
0,30-0,150-132,3-01	132,3	12,5	0,60	17,5	2,29	56,55	0,30	0,150
0,30-0,150-132,3-02	132,3	25,0	1,19	17,5	2,29	28,28	0,30	0,150
0,30-0,150-132,3-03	132,3	37,5	1,79	17,5	2,29	18,85	0,30	0,150
0,30-0,150-132,3-04	132,3	60,0	2,86	17,5	2,29	11,78	0,30	0,150
0,30-0,150-132,3-05	132,3	75,0	3,57	17,5	2,29	9,43	0,30	0,150
0,30-0,150-132,3-06	132,3	100,0	4,76	17,5	2,29	7,07	0,30	0,150
0,30-0,150-132,3-07	132,3	50,0	2,38	12,5	1,80	11,11	0,30	0,150
0,30-0,150-132,3-08	132,3	50,0	2,38	14,0	1,96	12,10	0,30	0,150
0,30-0,150-132,3-09	132,3	50,0	2,38	15,5	2,11	13,03	0,30	0,150
0,30-0,150-132,3-10	132,3	50,0	2,38	19,5	2,47	15,25	0,30	0,150
0,30-0,150-132,3-11	132,3	50,0	2,38	17,5	7,60	14,14	0,59	0,263
0,30-0,150-132,3-12	132,3	50,0	2,38	17,5	4,00	14,14	0,43	0,186
0,30-0,150-132,3-13	132,3	50,0	2,38	17,5	3,20	14,14	0,37	0,169
0,30-0,150-132,3-14	132,3	50,0	2,38	17,5	2,00	14,14	0,27	0,144
0,30-0,150-132,3-15	132,3	50,0	2,38	17,5	1,77	14,14	0,25	0,139
0,30-0,150-132,3-16	132,3	50,0	2,38	17,5	1,66	14,14	0,24	0,136
0,30-0,150-132,3-17	132,3	50,0	2,38	17,5	2,29	56,55	0,10	0,453
0,30-0,150-132,3-18	132,3	50,0	2,38	17,5	2,29	28,28	0,18	0,251
0,30-0,150-132,3-19	132,3	50,0	2,38	17,5	2,29	18,85	0,24	0,184
0,30-0,150-132,3-20	132,3	50,0	2,38	17,5	2,29	11,78	0,34	0,133
0,30-0,150-132,3-21	132,3	50,0	2,38	17,5	2,29	9,43	0,39	0,116
0,30-0,150-132,3-22	132,3	50,0	2,38	17,5	2,29	7,07	0,46	0,099
0,30-0,150-132,3-23	132,3	12,5	0,60	17,5	2,29	14,14	0,63	0,074
0,30-0,150-132,3-24	132,3	25,0	1,19	17,5	2,29	14,14	0,46	0,099
0,30-0,150-132,3-25	132,3	37,5	1,79	17,5	2,29	14,14	0,36	0,125
0,30-0,150-132,3-26	132,3	60,0	2,86	17,5	2,29	14,14	0,26	0,170
0,30-0,150-132,3-27	132,3	75,0	3,57	17,5	2,29	14,14	0,22	0,200
0,30-0,150-132,3-28	132,3	100,0	4,76	17,5	2,29	14,14	0,18	0,251
0,30-0,150-132,3-29	132,3	50,0	2,38	12,5	2,29	14,14	0,30	0,190
0,30-0,150-132,3-30	132,3	50,0	2,38	14,0	2,29	14,14	0,30	0,175
0,30-0,150-132,3-31	132,3	50,0	2,38	15,5	2,29	14,14	0,30	0,163
0,30-0,150-132,3-32	132,3	50,0	2,38	19,5	2,29	14,14	0,30	0,139

Protótipo	$f_{pe}$ [kN/cm <sup>2</sup> ]	$f_y$ [kN/cm <sup>2</sup> ]	$\epsilon_y$ [%o]	$d_s$ [cm]	$A_{ps}$ [cm <sup>2</sup> ]	$A_s$ [cm <sup>2</sup> ]	$PPR_e$	$\omega_e$
0,30-0,275-132,3-REF	132,3	50,0	2,38	17,5	4,20	25,93	0,30	0,275
0,30-0,275-132,3-01	132,3	12,5	0,60	17,5	4,20	103,72	0,30	0,275
0,30-0,275-132,3-02	132,3	25,0	1,19	17,5	4,20	51,86	0,30	0,275
0,30-0,275-132,3-03	132,3	37,5	1,79	17,5	4,20	34,57	0,30	0,275
0,30-0,275-132,3-04	132,3	60,0	2,86	17,5	4,20	21,61	0,30	0,275
0,30-0,275-132,3-05	132,3	75,0	3,57	17,5	4,20	17,29	0,30	0,275
0,30-0,275-132,3-06	132,3	100,0	4,76	17,5	4,20	12,97	0,30	0,275
0,30-0,275-132,3-07	132,3	50,0	2,38	12,5	3,31	20,44	0,30	0,275
0,30-0,275-132,3-08	132,3	50,0	2,38	14,0	3,60	22,23	0,30	0,275
0,30-0,275-132,3-09	132,3	50,0	2,38	15,5	3,87	23,89	0,30	0,275
0,30-0,275-132,3-10	132,3	50,0	2,38	19,5	4,51	27,84	0,30	0,275
0,30-0,275-132,3-11	132,3	50,0	2,38	17,5	13,90	25,93	0,59	0,482
0,30-0,275-132,3-12	132,3	50,0	2,38	17,5	7,32	25,93	0,43	0,341
0,30-0,275-132,3-13	132,3	50,0	2,38	17,5	5,86	25,93	0,37	0,310
0,30-0,275-132,3-14	132,3	50,0	2,38	17,5	3,66	25,93	0,27	0,263
0,30-0,275-132,3-15	132,3	50,0	2,38	17,5	3,25	25,93	0,25	0,255
0,30-0,275-132,3-16	132,3	50,0	2,38	17,5	3,05	25,93	0,24	0,250
0,30-0,275-132,3-17	132,3	50,0	2,38	17,5	4,20	103,72	0,10	0,831
0,30-0,275-132,3-18	132,3	50,0	2,38	17,5	4,20	51,86	0,18	0,460
0,30-0,275-132,3-19	132,3	50,0	2,38	17,5	4,20	34,57	0,24	0,337
0,30-0,275-132,3-20	132,3	50,0	2,38	17,5	4,20	21,61	0,34	0,244
0,30-0,275-132,3-21	132,3	50,0	2,38	17,5	4,20	17,29	0,39	0,213
0,30-0,275-132,3-22	132,3	50,0	2,38	17,5	4,20	12,97	0,46	0,182
0,30-0,275-132,3-23	132,3	12,5	0,60	17,5	4,20	25,93	0,63	0,136
0,30-0,275-132,3-24	132,3	25,0	1,19	17,5	4,20	25,93	0,46	0,182
0,30-0,275-132,3-25	132,3	37,5	1,79	17,5	4,20	25,93	0,36	0,229
0,30-0,275-132,3-26	132,3	60,0	2,86	17,5	4,20	25,93	0,26	0,312
0,30-0,275-132,3-27	132,3	75,0	3,57	17,5	4,20	25,93	0,22	0,367
0,30-0,275-132,3-28	132,3	100,0	4,76	17,5	4,20	25,93	0,18	0,460
0,30-0,275-132,3-29	132,3	50,0	2,38	12,5	4,20	25,93	0,30	0,349
0,30-0,275-132,3-30	132,3	50,0	2,38	14,0	4,20	25,93	0,30	0,321
0,30-0,275-132,3-31	132,3	50,0	2,38	15,5	4,20	25,93	0,30	0,299
0,30-0,275-132,3-32	132,3	50,0	2,38	19,5	4,20	25,93	0,30	0,256

Protótipo	$f_{pe}$ [kN/cm <sup>2</sup> ]	$f_y$ [kN/cm <sup>2</sup> ]	$\epsilon_y$ [%o]	$d_s$ [cm]	$A_{ps}$ [cm <sup>2</sup> ]	$A_s$ [cm <sup>2</sup> ]	$PPR_e$	$\omega_e$
0,70-0,150-132,3-REF	132,3	50,0	2,38	17,5	5,10	5,78	0,70	0,150
0,70-0,150-132,3-01	132,3	12,5	0,60	17,5	5,10	23,13	0,70	0,150
0,70-0,150-132,3-02	132,3	25,0	1,19	17,5	5,10	11,57	0,70	0,150
0,70-0,150-132,3-03	132,3	37,5	1,79	17,5	5,10	7,71	0,70	0,150
0,70-0,150-132,3-04	132,3	60,0	2,86	17,5	5,10	4,82	0,70	0,150
0,70-0,150-132,3-05	132,3	75,0	3,57	17,5	5,10	3,86	0,70	0,150
0,70-0,150-132,3-06	132,3	100,0	4,76	17,5	5,10	2,89	0,70	0,150
0,70-0,150-132,3-07	132,3	50,0	2,38	12,5	4,60	5,22	0,70	0,150
0,70-0,150-132,3-08	132,3	50,0	2,38	14,0	4,78	5,42	0,70	0,150
0,70-0,150-132,3-09	132,3	50,0	2,38	15,5	4,93	5,59	0,70	0,150
0,70-0,150-132,3-10	132,3	50,0	2,38	19,5	5,25	5,95	0,70	0,150
0,70-0,150-132,3-11	132,3	50,0	2,38	17,5	16,90	5,78	0,89	0,402
0,70-0,150-132,3-12	132,3	50,0	2,38	17,5	8,85	5,78	0,80	0,230
0,70-0,150-132,3-13	132,3	50,0	2,38	17,5	7,10	5,78	0,76	0,193
0,70-0,150-132,3-14	132,3	50,0	2,38	17,5	4,44	5,78	0,67	0,136
0,70-0,150-132,3-15	132,3	50,0	2,38	17,5	3,95	5,78	0,64	0,126
0,70-0,150-132,3-16	132,3	50,0	2,38	17,5	3,70	5,78	0,63	0,120
0,70-0,150-132,3-17	132,3	50,0	2,38	17,5	5,10	23,13	0,37	0,274
0,70-0,150-132,3-18	132,3	50,0	2,38	17,5	5,10	11,57	0,54	0,191
0,70-0,150-132,3-19	132,3	50,0	2,38	17,5	5,10	7,71	0,64	0,164
0,70-0,150-132,3-20	132,3	50,0	2,38	17,5	5,10	4,82	0,74	0,143
0,70-0,150-132,3-21	132,3	50,0	2,38	17,5	5,10	3,86	0,78	0,136
0,70-0,150-132,3-22	132,3	50,0	2,38	17,5	5,10	2,89	0,82	0,129
0,70-0,150-132,3-23	132,3	12,5	0,60	17,5	5,10	5,78	0,90	0,119
0,70-0,150-132,3-24	132,3	25,0	1,19	17,5	5,10	5,78	0,82	0,129
0,70-0,150-132,3-25	132,3	37,5	1,79	17,5	5,10	5,78	0,76	0,140
0,70-0,150-132,3-26	132,3	60,0	2,86	17,5	5,10	5,78	0,66	0,158
0,70-0,150-132,3-27	132,3	75,0	3,57	17,5	5,10	5,78	0,61	0,171
0,70-0,150-132,3-28	132,3	100,0	4,76	17,5	5,10	5,78	0,54	0,191
0,70-0,150-132,3-29	132,3	50,0	2,38	12,5	5,10	5,78	0,70	0,167
0,70-0,150-132,3-30	132,3	50,0	2,38	14,0	5,10	5,78	0,70	0,160
0,70-0,150-132,3-31	132,3	50,0	2,38	15,5	5,10	5,78	0,70	0,155
0,70-0,150-132,3-32	132,3	50,0	2,38	19,5	5,10	5,78	0,70	0,146

Protótipo	$f_{pe}$ [kN/cm <sup>2</sup> ]	$f_y$ [kN/cm <sup>2</sup> ]	$\epsilon_y$ [%o]	$d_s$ [cm]	$A_{ps}$ [cm <sup>2</sup> ]	$A_s$ [cm <sup>2</sup> ]	$PPR_e$	$\omega_e$
0,70-0,275-132,3-REF	132,3	50,0	2,38	17,5	9,35	10,60	0,70	0,275
0,70-0,275-132,3-01	132,3	12,5	0,60	17,5	9,35	42,41	0,70	0,275
0,70-0,275-132,3-02	132,3	25,0	1,19	17,5	9,35	21,21	0,70	0,275
0,70-0,275-132,3-03	132,3	37,5	1,79	17,5	9,35	14,14	0,70	0,275
0,70-0,275-132,3-04	132,3	60,0	2,86	17,5	9,35	8,84	0,70	0,275
0,70-0,275-132,3-05	132,3	75,0	3,57	17,5	9,35	7,07	0,70	0,275
0,70-0,275-132,3-06	132,3	100,0	4,76	17,5	9,35	5,30	0,70	0,275
0,70-0,275-132,3-07	132,3	50,0	2,38	12,5	8,40	9,53	0,70	0,275
0,70-0,275-132,3-08	132,3	50,0	2,38	14,0	8,75	9,92	0,70	0,275
0,70-0,275-132,3-09	132,3	50,0	2,38	15,5	9,03	10,24	0,70	0,275
0,70-0,275-132,3-10	132,3	50,0	2,38	19,5	9,62	10,91	0,70	0,275
0,70-0,275-132,3-11	132,3	50,0	2,38	17,5	30,90	10,60	0,89	0,735
0,70-0,275-132,3-12	132,3	50,0	2,38	17,5	16,25	10,60	0,80	0,422
0,70-0,275-132,3-13	132,3	50,0	2,38	17,5	13,00	10,60	0,76	0,353
0,70-0,275-132,3-14	132,3	50,0	2,38	17,5	8,13	10,60	0,67	0,249
0,70-0,275-132,3-15	132,3	50,0	2,38	17,5	7,22	10,60	0,64	0,230
0,70-0,275-132,3-16	132,3	50,0	2,38	17,5	6,77	10,60	0,63	0,220
0,70-0,275-132,3-17	132,3	50,0	2,38	17,5	9,35	42,41	0,37	0,502
0,70-0,275-132,3-18	132,3	50,0	2,38	17,5	9,35	21,21	0,54	0,351
0,70-0,275-132,3-19	132,3	50,0	2,38	17,5	9,35	14,14	0,64	0,300
0,70-0,275-132,3-20	132,3	50,0	2,38	17,5	9,35	8,84	0,74	0,263
0,70-0,275-132,3-21	132,3	50,0	2,38	17,5	9,35	7,07	0,78	0,250
0,70-0,275-132,3-22	132,3	50,0	2,38	17,5	9,35	5,30	0,82	0,237
0,70-0,275-132,3-23	132,3	12,5	0,60	17,5	9,35	10,60	0,90	0,218
0,70-0,275-132,3-24	132,3	25,0	1,19	17,5	9,35	10,60	0,82	0,237
0,70-0,275-132,3-25	132,3	37,5	1,79	17,5	9,35	10,60	0,76	0,256
0,70-0,275-132,3-26	132,3	60,0	2,86	17,5	9,35	10,60	0,66	0,290
0,70-0,275-132,3-27	132,3	75,0	3,57	17,5	9,35	10,60	0,61	0,313
0,70-0,275-132,3-28	132,3	100,0	4,76	17,5	9,35	10,60	0,54	0,351
0,70-0,275-132,3-29	132,3	50,0	2,38	12,5	9,35	10,60	0,70	0,306
0,70-0,275-132,3-30	132,3	50,0	2,38	14,0	9,35	10,60	0,70	0,294
0,70-0,275-132,3-31	132,3	50,0	2,38	15,5	9,35	10,60	0,70	0,285
0,70-0,275-132,3-32	132,3	50,0	2,38	19,5	9,35	10,60	0,70	0,267

Protótipo	$f_{pe}$ [kN/cm <sup>2</sup> ]	$f_y$ [kN/cm <sup>2</sup> ]	$\epsilon_y$ [%o]	$d_s$ [cm]	$A_{ps}$ [cm <sup>2</sup> ]	$A_s$ [cm <sup>2</sup> ]	$PPR_e$	$\omega_e$
0,30-0,150-152,0-REF	152,0	50,0	2,38	17,5	2,00	14,19	0,30	0,150
0,30-0,150-152,0-01	152,0	12,5	0,60	17,5	2,00	56,75	0,30	0,150
0,30-0,150-152,0-02	152,0	25,0	1,19	17,5	2,00	28,37	0,30	0,150
0,30-0,150-152,0-03	152,0	37,5	1,79	17,5	2,00	18,92	0,30	0,150
0,30-0,150-152,0-04	152,0	60,0	2,86	17,5	2,00	11,82	0,30	0,150
0,30-0,150-152,0-05	152,0	75,0	3,57	17,5	2,00	9,46	0,30	0,150
0,30-0,150-152,0-06	152,0	100,0	4,76	17,5	2,00	7,09	0,30	0,150
0,30-0,150-152,0-07	152,0	50,0	2,38	12,5	1,57	11,14	0,30	0,150
0,30-0,150-152,0-08	152,0	50,0	2,38	14,0	1,71	12,13	0,30	0,150
0,30-0,150-152,0-09	152,0	50,0	2,38	15,5	1,84	13,05	0,30	0,150
0,30-0,150-152,0-10	152,0	50,0	2,38	19,5	2,14	15,18	0,30	0,150
0,30-0,150-152,0-11	152,0	50,0	2,38	17,5	7,60	14,19	0,62	0,288
0,30-0,150-152,0-12	152,0	50,0	2,38	17,5	4,00	14,19	0,46	0,199
0,30-0,150-152,0-13	152,0	50,0	2,38	17,5	3,20	14,19	0,41	0,180
0,30-0,150-152,0-14	152,0	50,0	2,38	17,5	2,46	14,19	0,35	0,162
0,30-0,150-152,0-15	152,0	50,0	2,38	17,5	1,78	14,19	0,28	0,145
0,30-0,150-152,0-16	152,0	50,0	2,38	17,5	1,67	14,19	0,26	0,142
0,30-0,150-152,0-17	152,0	50,0	2,38	17,5	2,00	56,75	0,10	0,454
0,30-0,150-152,0-18	152,0	50,0	2,38	17,5	2,00	28,37	0,18	0,252
0,30-0,150-152,0-19	152,0	50,0	2,38	17,5	2,00	18,92	0,24	0,184
0,30-0,150-152,0-20	152,0	50,0	2,38	17,5	2,00	11,82	0,34	0,133
0,30-0,150-152,0-21	152,0	50,0	2,38	17,5	2,00	9,46	0,39	0,117
0,30-0,150-152,0-22	152,0	50,0	2,38	17,5	2,00	7,09	0,46	0,100
0,30-0,150-152,0-23	152,0	12,5	0,60	17,5	2,00	14,19	0,63	0,074
0,30-0,150-152,0-24	152,0	25,0	1,19	17,5	2,00	14,19	0,46	0,100
0,30-0,150-152,0-25	152,0	37,5	1,79	17,5	2,00	14,19	0,36	0,125
0,30-0,150-152,0-26	152,0	60,0	2,86	17,5	2,00	14,19	0,26	0,171
0,30-0,150-152,0-27	152,0	75,0	3,57	17,5	2,00	14,19	0,22	0,201
0,30-0,150-152,0-28	152,0	100,0	4,76	17,5	2,00	14,19	0,18	0,252
0,30-0,150-152,0-29	152,0	50,0	2,38	12,5	2,00	14,19	0,30	0,191
0,30-0,150-152,0-30	152,0	50,0	2,38	14,0	2,00	14,19	0,30	0,176
0,30-0,150-152,0-31	152,0	50,0	2,38	15,5	2,00	14,19	0,30	0,163
0,30-0,150-152,0-32	152,0	50,0	2,38	19,5	2,00	14,19	0,30	0,140

Protótipo	$f_{pe}$ [kN/cm <sup>2</sup> ]	$f_y$ [kN/cm <sup>2</sup> ]	$\epsilon_y$ [%o]	$d_s$ [cm]	$A_{ps}$ [cm <sup>2</sup> ]	$A_s$ [cm <sup>2</sup> ]	$PPR_e$	$\omega_e$
0,30-0,275-152,0-REF	152,0	50,0	2,38	17,5	3,66	25,96	0,30	0,275
0,30-0,275-152,0-01	152,0	12,5	0,60	17,5	3,66	103,85	0,30	0,275
0,30-0,275-152,0-02	152,0	25,0	1,19	17,5	3,66	51,92	0,30	0,275
0,30-0,275-152,0-03	152,0	37,5	1,79	17,5	3,66	34,62	0,30	0,275
0,30-0,275-152,0-04	152,0	60,0	2,86	17,5	3,66	21,63	0,30	0,275
0,30-0,275-152,0-05	152,0	75,0	3,57	17,5	3,66	17,31	0,30	0,275
0,30-0,275-152,0-06	152,0	100,0	4,76	17,5	3,66	12,98	0,30	0,275
0,30-0,275-152,0-07	152,0	50,0	2,38	12,5	2,88	20,43	0,30	0,275
0,30-0,275-152,0-08	152,0	50,0	2,38	14,0	3,13	22,20	0,30	0,275
0,30-0,275-152,0-09	152,0	50,0	2,38	15,5	3,37	23,90	0,30	0,275
0,30-0,275-152,0-10	152,0	50,0	2,38	19,5	3,93	27,88	0,30	0,275
0,30-0,275-152,0-11	152,0	50,0	2,38	17,5	13,91	25,96	0,62	0,526
0,30-0,275-152,0-12	152,0	50,0	2,38	17,5	7,32	25,96	0,46	0,365
0,30-0,275-152,0-13	152,0	50,0	2,38	17,5	5,86	25,96	0,41	0,329
0,30-0,275-152,0-14	152,0	50,0	2,38	17,5	4,50	25,96	0,35	0,296
0,30-0,275-152,0-15	152,0	50,0	2,38	17,5	3,25	25,96	0,28	0,265
0,30-0,275-152,0-16	152,0	50,0	2,38	17,5	3,05	25,96	0,26	0,260
0,30-0,275-152,0-17	152,0	50,0	2,38	17,5	3,66	103,85	0,10	0,831
0,30-0,275-152,0-18	152,0	50,0	2,38	17,5	3,66	51,92	0,18	0,461
0,30-0,275-152,0-19	152,0	50,0	2,38	17,5	3,66	34,62	0,24	0,337
0,30-0,275-152,0-20	152,0	50,0	2,38	17,5	3,66	21,63	0,34	0,244
0,30-0,275-152,0-21	152,0	50,0	2,38	17,5	3,66	17,31	0,39	0,213
0,30-0,275-152,0-22	152,0	50,0	2,38	17,5	3,66	12,98	0,46	0,182
0,30-0,275-152,0-23	152,0	12,5	0,60	17,5	3,66	25,96	0,63	0,136
0,30-0,275-152,0-24	152,0	25,0	1,19	17,5	3,66	25,96	0,46	0,182
0,30-0,275-152,0-25	152,0	37,5	1,79	17,5	3,66	25,96	0,36	0,229
0,30-0,275-152,0-26	152,0	60,0	2,86	17,5	3,66	25,96	0,26	0,312
0,30-0,275-152,0-27	152,0	75,0	3,57	17,5	3,66	25,96	0,22	0,368
0,30-0,275-152,0-28	152,0	100,0	4,76	17,5	3,66	25,96	0,18	0,461
0,30-0,275-152,0-29	152,0	50,0	2,38	12,5	3,66	25,96	0,30	0,349
0,30-0,275-152,0-30	152,0	50,0	2,38	14,0	3,66	25,96	0,30	0,322
0,30-0,275-152,0-31	152,0	50,0	2,38	15,5	3,66	25,96	0,30	0,299
0,30-0,275-152,0-32	152,0	50,0	2,38	19,5	3,66	25,96	0,30	0,256

Protótipo	$f_{pe}$ [kN/cm <sup>2</sup> ]	$f_y$ [kN/cm <sup>2</sup> ]	$\epsilon_y$ [%o]	$d_s$ [cm]	$A_{ps}$ [cm <sup>2</sup> ]	$A_s$ [cm <sup>2</sup> ]	$PPR_e$	$\omega_e$
0,70-0,150-152,0-REF	152,0	50,0	2,38	17,5	4,43	5,77	0,70	0,150
0,70-0,150-152,0-01	152,0	12,5	0,60	17,5	4,43	23,09	0,70	0,150
0,70-0,150-152,0-02	152,0	25,0	1,19	17,5	4,43	11,54	0,70	0,150
0,70-0,150-152,0-03	152,0	37,5	1,79	17,5	4,43	7,70	0,70	0,150
0,70-0,150-152,0-04	152,0	60,0	2,86	17,5	4,43	4,81	0,70	0,150
0,70-0,150-152,0-05	152,0	75,0	3,57	17,5	4,43	3,85	0,70	0,150
0,70-0,150-152,0-06	152,0	100,0	4,76	17,5	4,43	2,89	0,70	0,150
0,70-0,150-152,0-07	152,0	50,0	2,38	12,5	4,00	5,21	0,70	0,150
0,70-0,150-152,0-08	152,0	50,0	2,38	14,0	4,15	5,41	0,70	0,150
0,70-0,150-152,0-09	152,0	50,0	2,38	15,5	4,28	5,58	0,70	0,150
0,70-0,150-152,0-10	152,0	50,0	2,38	19,5	4,56	5,94	0,70	0,150
0,70-0,150-152,0-11	152,0	50,0	2,38	17,5	16,84	5,77	0,90	0,454
0,70-0,150-152,0-12	152,0	50,0	2,38	17,5	8,86	5,77	0,82	0,258
0,70-0,150-152,0-13	152,0	50,0	2,38	17,5	7,09	5,77	0,79	0,215
0,70-0,150-152,0-14	152,0	50,0	2,38	17,5	5,45	5,77	0,74	0,175
0,70-0,150-152,0-15	152,0	50,0	2,38	17,5	3,94	5,77	0,67	0,138
0,70-0,150-152,0-16	152,0	50,0	2,38	17,5	3,69	5,77	0,66	0,132
0,70-0,150-152,0-17	152,0	50,0	2,38	17,5	4,43	23,09	0,37	0,274
0,70-0,150-152,0-18	152,0	50,0	2,38	17,5	4,43	11,54	0,54	0,191
0,70-0,150-152,0-19	152,0	50,0	2,38	17,5	4,43	7,70	0,64	0,164
0,70-0,150-152,0-20	152,0	50,0	2,38	17,5	4,43	4,81	0,74	0,143
0,70-0,150-152,0-21	152,0	50,0	2,38	17,5	4,43	3,85	0,78	0,136
0,70-0,150-152,0-22	152,0	50,0	2,38	17,5	4,43	2,89	0,82	0,129
0,70-0,150-152,0-23	152,0	12,5	0,60	17,5	4,43	5,77	0,90	0,119
0,70-0,150-152,0-24	152,0	25,0	1,19	17,5	4,43	5,77	0,82	0,129
0,70-0,150-152,0-25	152,0	37,5	1,79	17,5	4,43	5,77	0,76	0,140
0,70-0,150-152,0-26	152,0	60,0	2,86	17,5	4,43	5,77	0,66	0,158
0,70-0,150-152,0-27	152,0	75,0	3,57	17,5	4,43	5,77	0,61	0,170
0,70-0,150-152,0-28	152,0	100,0	4,76	17,5	4,43	5,77	0,54	0,191
0,70-0,150-152,0-29	152,0	50,0	2,38	12,5	4,43	5,77	0,70	0,166
0,70-0,150-152,0-30	152,0	50,0	2,38	14,0	4,43	5,77	0,70	0,160
0,70-0,150-152,0-31	152,0	50,0	2,38	15,5	4,43	5,77	0,70	0,155
0,70-0,150-152,0-32	152,0	50,0	2,38	19,5	4,43	5,77	0,70	0,146

Protótipo	$f_{pe}$ [kN/cm <sup>2</sup> ]	$f_y$ [kN/cm <sup>2</sup> ]	$\epsilon_y$ [%o]	$d_s$ [cm]	$A_{ps}$ [cm <sup>2</sup> ]	$A_s$ [cm <sup>2</sup> ]	$PPR_e$	$\omega_e$
0,70-0,275-152,0-REF	152,0	50,0	2,38	17,5	8,13	10,59	0,70	0,275
0,70-0,275-152,0-01	152,0	12,5	0,60	17,5	8,13	42,37	0,70	0,275
0,70-0,275-152,0-02	152,0	25,0	1,19	17,5	8,13	21,18	0,70	0,275
0,70-0,275-152,0-03	152,0	37,5	1,79	17,5	8,13	14,12	0,70	0,275
0,70-0,275-152,0-04	152,0	60,0	2,86	17,5	8,13	8,83	0,70	0,275
0,70-0,275-152,0-05	152,0	75,0	3,57	17,5	8,13	7,06	0,70	0,275
0,70-0,275-152,0-06	152,0	100,0	4,76	17,5	8,13	5,30	0,70	0,275
0,70-0,275-152,0-07	152,0	50,0	2,38	12,5	7,32	9,54	0,70	0,275
0,70-0,275-152,0-08	152,0	50,0	2,38	14,0	7,61	9,91	0,70	0,275
0,70-0,275-152,0-09	152,0	50,0	2,38	15,5	7,85	10,23	0,70	0,275
0,70-0,275-152,0-10	152,0	50,0	2,38	19,5	8,37	10,90	0,70	0,275
0,70-0,275-152,0-11	152,0	50,0	2,38	17,5	30,89	10,59	0,90	0,833
0,70-0,275-152,0-12	152,0	50,0	2,38	17,5	16,26	10,59	0,82	0,474
0,70-0,275-152,0-13	152,0	50,0	2,38	17,5	13,01	10,59	0,79	0,395
0,70-0,275-152,0-14	152,0	50,0	2,38	17,5	10,01	10,59	0,74	0,321
0,70-0,275-152,0-15	152,0	50,0	2,38	17,5	7,23	10,59	0,67	0,253
0,70-0,275-152,0-16	152,0	50,0	2,38	17,5	6,77	10,59	0,66	0,242
0,70-0,275-152,0-17	152,0	50,0	2,38	17,5	8,13	42,37	0,37	0,502
0,70-0,275-152,0-18	152,0	50,0	2,38	17,5	8,13	21,18	0,54	0,351
0,70-0,275-152,0-19	152,0	50,0	2,38	17,5	8,13	14,12	0,64	0,300
0,70-0,275-152,0-20	152,0	50,0	2,38	17,5	8,13	8,83	0,74	0,262
0,70-0,275-152,0-21	152,0	50,0	2,38	17,5	8,13	7,06	0,78	0,250
0,70-0,275-152,0-22	152,0	50,0	2,38	17,5	8,13	5,30	0,82	0,237
0,70-0,275-152,0-23	152,0	12,5	0,60	17,5	8,13	10,59	0,90	0,218
0,70-0,275-152,0-24	152,0	25,0	1,19	17,5	8,13	10,59	0,82	0,237
0,70-0,275-152,0-25	152,0	37,5	1,79	17,5	8,13	10,59	0,76	0,256
0,70-0,275-152,0-26	152,0	60,0	2,86	17,5	8,13	10,59	0,66	0,290
0,70-0,275-152,0-27	152,0	75,0	3,57	17,5	8,13	10,59	0,61	0,313
0,70-0,275-152,0-28	152,0	100,0	4,76	17,5	8,13	10,59	0,54	0,351
0,70-0,275-152,0-29	152,0	50,0	2,38	12,5	8,13	10,59	0,70	0,305
0,70-0,275-152,0-30	152,0	50,0	2,38	14,0	8,13	10,59	0,70	0,294
0,70-0,275-152,0-31	152,0	50,0	2,38	15,5	8,13	10,59	0,70	0,285
0,70-0,275-152,0-32	152,0	50,0	2,38	19,5	8,13	10,59	0,70	0,267

## **Apêndice B – Tabelas de Resultados de Ruptura dos Protótipos**

## Apêndice B – Tabelas de Resultados de Ruptura dos Protótipos

São apresentadas a seguir as tabelas com os resultados obtidos das análises numéricas dos protótipos, na situação de ruptura no Estado Limite Último. Serão seqüencialmente mostradas tabelas relativas a protótipos submetidos a carregamento nos terços médios, carregamento concentrado, carregamento distribuído com  $L_o = l/6$  e, finalmente, carregamento distribuído com  $L_o = l/20$ . Linhas em branco constantes nas tabelas indicam que os protótipos correspondentes não foram considerados para elaboração dos gráficos de dispersão dos pontos ( $\omega_e$ ,  $\Delta f_{ps}$ ) e das regressões lineares apresentadas, devido a apresentarem comportamento indesejado de projeto, instabilidade à flexão ou super-armação, ou não atingirem convergência de ruptura para nenhum incremento de análise utilizado.

### **Apêndice B.1 – Protótipos Submetidos a Carregamento nos Terços Médios**

Protótipo	$l/d_p$	$M_{ro}$ [kN.cm]	$\delta$ [cm]	- $\varepsilon_c$ [%o]	$\varepsilon_s$ [%o]	$\Delta f_{ps}$ [kN/cm <sup>2</sup> ]	$f_{ps}$ [kN/cm <sup>2</sup> ]	$M_{res}$ (numerico) [kN.cm]	$M_{res}$ (analit.) [kN.cm]	$\Delta M_r/M_{ro}$
0,30-0,150-92,7-REF	21,7	15800	6,6	2,95	10,00	60,0	152,7	17735	18299	0,16
0,30-0,150-92,7-01	21,7	15800	6,3	2,88	10,00	57,4	150,1	17494	18189	0,15
0,30-0,150-92,7-02	21,7	15800	6,4	2,91	10,00	58,2	150,9	17628	18223	0,15
0,30-0,150-92,7-03	21,7	15800	6,2	2,91	10,00	59,2	151,9	17572	18263	0,16
0,30-0,150-92,7-04	21,7	15800	6,6	2,92	10,00	60,7	153,4	17723	18326	0,16
0,30-0,150-92,7-05	21,7	15800	6,8	2,92	10,00	62,3	155,0	17651	18391	0,16
0,30-0,150-92,7-06	21,7	15800	6,9	2,85	10,00	63,4	156,1	17371	18434	0,17
0,30-0,150-92,7-07	21,7									
0,30-0,150-92,7-08	21,7	11566	7,9	3,06	10,00	69,3	162,0	13019	14106	0,22
0,30-0,150-92,7-09	21,7	13294	7,2	2,86	10,00	66,5	159,2	14431	15873	0,19
0,30-0,150-92,7-10	21,7	18426	5,9	2,78	10,00	53,7	146,4	20064	20798	0,13
0,30-0,150-92,7-11	21,7	20806	5,7	3,50	7,53	47,6	140,3	24141	24970	0,20
0,30-0,150-92,7-12	21,7	16672	6,7	3,13	10,00	59,8	152,5	18821	19666	0,18
0,30-0,150-92,7-13	21,7	15716	6,6	2,93	10,00	60,1	152,8	17662	18169	0,16
0,30-0,150-92,7-14	21,7	14255	6,3	2,51	10,00	60,0	152,7	15332	15831	0,11
0,30-0,150-92,7-15	21,7	13972	6,3	2,37	10,00	60,3	153,0	14347	15379	0,10
0,30-0,150-92,7-16	21,7	13836	6,2	2,34	10,00	59,8	152,5	14212	15149	0,09
0,30-0,150-92,7-17	21,7									
0,30-0,150-92,7-18	21,7									
0,30-0,150-92,7-19	21,7									
0,30-0,150-92,7-20	21,7	14018	6,4	2,66	10,00	59,4	152,1	15864	16549	0,18
0,30-0,150-92,7-21	21,7	12200	6,1	2,34	10,00	59,3	152,0	13848	14782	0,21
0,30-0,150-92,7-22	21,7	10348	5,8	2,10	10,00	57,6	150,3	11827	12914	0,25
0,30-0,150-92,7-23	21,7									
0,30-0,150-92,7-24	21,7	10348	5,8	2,11	10,00	57,0	149,7	12011	12888	0,25
0,30-0,150-92,7-25	21,7	13113	6,2	2,44	10,00	59,0	151,7	14716	15655	0,19
0,30-0,150-92,7-26	21,7	17893	6,8	3,21	10,00	60,9	153,6	19532	20357	0,14
0,30-0,150-92,7-27	21,7	20939	6,8	3,50	9,90	58,2	150,9	22439	23193	0,11
0,30-0,150-92,7-28	21,7	25766	6,1	3,50	6,71	50,6	143,3	27120	27586	0,07
0,30-0,150-92,7-29	21,7	12264	8,0	3,50	7,85	69,7	162,4	14548	15154	0,24
0,30-0,150-92,7-30	21,7	13325	8,1	3,50	9,43	70,3	163,0	15489	16243	0,22
0,30-0,150-92,7-31	21,7	14385	7,6	3,34	10,00	67,2	159,9	16491	17174	0,19
0,30-0,150-92,7-32	21,7	17215	5,8	2,64	10,00	53,8	146,5	18961	19458	0,13

Protótipo	$l/d_p$	$M_{ro}$ [kN.cm]	$\delta$ [cm]	$-\varepsilon_c$ [%o]	$\varepsilon_s$ [%o]	$\Delta f_{ps}$ [kN/cm <sup>2</sup> ]	$f_{ps}$ [kN/cm <sup>2</sup> ]	$M_{res}$ (numerico) [kN.cm]	$M_{res}$ (analit.) [kN.cm]	$\Delta M_r/M_{ro}$
0,30-0,275-92,7-REF	21,7	27036	5,0	3,50	5,59	37,6	130,3	28800	29425	0,09
0,30-0,275-92,7-01	21,7	27036	4,8	3,50	5,93	35,1	127,8	28352	29271	0,08
0,30-0,275-92,7-02	21,7	27036	4,9	3,50	6,01	37,2	129,9	28022	29396	0,09
0,30-0,275-92,7-03	21,7	27036	4,9	3,50	5,63	36,6	129,3	28761	29363	0,09
0,30-0,275-92,7-04	21,7	27036	5,1	3,50	5,59	39,1	131,8	28884	29514	0,09
0,30-0,275-92,7-05	21,7	27036	5,2	3,50	5,57	40,7	133,4	29002	29616	0,10
0,30-0,275-92,7-06	21,7	27036	5,5	3,50	5,58	43,5	136,2	28985	29788	0,10
0,30-0,275-92,7-07	21,7	16915	6,2	3,50	4,59	52,7	145,4	19269	19792	0,17
0,30-0,275-92,7-08	21,7	19765	5,8	3,50	5,04	48,2	140,9	21744	22540	0,14
0,30-0,275-92,7-09	21,7	22801	5,5	3,50	5,44	44,5	137,2	24544	25484	0,12
0,30-0,275-92,7-10	21,7	31508	4,8	3,50	6,21	34,7	127,4	32838	33796	0,07
0,30-0,275-92,7-11	21,7	34322	3,9	3,50	3,08	23,5	116,2	36388	37141	0,08
0,30-0,275-92,7-12	21,7	28347	4,8	3,50	5,14	35,2	127,9	30189	30982	0,09
0,30-0,275-92,7-13	21,7	26895	5,1	3,50	5,99	39,5	132,2	28257	29348	0,09
0,30-0,275-92,7-14	21,7	24620	5,7	3,50	7,16	46,5	139,2	25810	26526	0,08
0,30-0,275-92,7-15	21,7	24185	5,9	3,50	7,48	48,2	140,9	25463	25955	0,07
0,30-0,275-92,7-16	21,7	23971	6,1	3,50	8,02	50,9	143,6	24471	25733	0,07
0,30-0,275-92,7-17	21,7									
0,30-0,275-92,7-18	21,7									
0,30-0,275-92,7-19	21,7	32367	4,4	3,50	4,27	30,2	122,9	33387	34100	0,05
0,30-0,275-92,7-20	21,7	24195	5,6	3,50	7,04	45,4	138,1	25911	27209	0,12
0,30-0,275-92,7-21	21,7	21237	5,9	3,50	7,87	49,7	142,4	23945	24685	0,16
0,30-0,275-92,7-22	21,7									
0,30-0,275-92,7-23	21,7	13330	6,3	2,91	10,00	57,7	150,4	16895	17784	0,33
0,30-0,275-92,7-24	21,7	18162	6,2	3,50	9,19	53,1	145,8	21162	22014	0,21
0,30-0,275-92,7-25	21,7	22730	5,5	3,50	7,32	44,7	137,4	25048	25772	0,13
0,30-0,275-92,7-26	21,7	30291	4,8	3,50	4,80	34,6	127,3	31679	32360	0,07
0,30-0,275-92,7-27	21,7	34858	4,5	3,50	3,57	29,6	122,3	35946	36459	0,05
0,30-0,275-92,7-28	21,7									
0,30-0,275-92,7-29	21,7	20547	5,3	3,50	2,94	41,4	134,1	22623	23171	0,13
0,30-0,275-92,7-30	21,7	22494	5,2	3,50	3,78	40,5	133,2	24522	25063	0,11
0,30-0,275-92,7-31	21,7	24440	5,1	3,50	4,55	38,9	131,6	26258	26905	0,10
0,30-0,275-92,7-32	21,7	29632	4,9	3,50	6,65	36,9	129,6	31527	31976	0,08

Protótipo	$l/d_p$	$M_{ro}$ [kN.cm]	$\delta$ [cm]	$-\varepsilon_c$ [%o]	$\varepsilon_s$ [%o]	$\Delta f_{ps}$ [kN/cm <sup>2</sup> ]	$f_{ps}$ [kN/cm <sup>2</sup> ]	$M_{res}$ (numerico) [kN.cm]	$M_{res}$ (analit.) [kN.cm]	$\Delta M_r/M_{ro}$
0,70-0,150-92,7-REF	21,7									
0,70-0,150-92,7-01	21,7	14305	6,4	3,16	10,00	57,8	150,5	18205	19579	0,37
0,70-0,150-92,7-02	21,7	14305	6,3	3,09	10,00	57,8	150,5	17992	19574	0,37
0,70-0,150-92,7-03	21,7	14305	6,5	3,23	10,00	58,2	150,9	18619	19613	0,37
0,70-0,150-92,7-04	21,7	14305	6,3	3,24	10,00	55,6	148,3	18507	19386	0,36
0,70-0,150-92,7-05	21,7	14305	6,3	3,14	10,00	56,3	149,0	18177	19443	0,36
0,70-0,150-92,7-06	21,7	14305	6,4	3,14	10,00	58,5	151,2	18278	19635	0,37
0,70-0,150-92,7-07	21,7	11724	7,5	3,50	7,66	66,4	159,1	16346	17289	0,47
0,70-0,150-92,7-08	21,7	12539	7,2	3,50	8,81	63,0	155,7	16990	17981	0,43
0,70-0,150-92,7-09	21,7	13294	7,2	3,50	9,60	63,4	156,1	17970	18895	0,42
0,70-0,150-92,7-10	21,7	15354	5,7	3,05	10,00	51,2	143,9	19560	20166	0,31
0,70-0,150-92,7-11	21,7	25024	4,2	3,50	4,56	30,8	123,5	29853	30338	0,21
0,70-0,150-92,7-12	21,7	16221	6,1	3,50	8,78	52,3	145,0	21223	21849	0,35
0,70-0,150-92,7-13	21,7	14123	6,3	3,25	10,00	55,3	148,0	18563	19088	0,35
0,70-0,150-92,7-14	21,7	10808	6,0	2,38	10,00	58,1	150,8	13663	14274	0,32
0,70-0,150-92,7-15	21,7	10181	5,9	2,26	10,00	57,8	150,5	12779	13282	0,30
0,70-0,150-92,7-16	21,7	9859	5,8	2,17	10,00	56,7	149,4	12224	12726	0,29
0,70-0,150-92,7-17	21,7	26420	5,0	3,50	5,76	37,5	130,2	28223	29302	0,11
0,70-0,150-92,7-18	21,7	18551	6,1	3,50	8,50	52,3	145,0	22271	23062	0,24
0,70-0,150-92,7-19	21,7	15744	6,6	3,50	9,91	58,1	150,8	20003	20940	0,33
0,70-0,150-92,7-20	21,7	13578	6,5	3,18	10,00	58,5	151,2	18155	18959	0,40
0,70-0,150-92,7-21	21,7	12844	6,3	2,97	10,00	58,2	150,9	17012	18249	0,42
0,70-0,150-92,7-22	21,7	12105	6,2	2,96	10,00	57,8	150,5	16811	17523	0,45
0,70-0,150-92,7-23	21,7	10985	6,1	2,62	10,00	57,6	150,3	15080	16462	0,50
0,70-0,150-92,7-24	21,7	12105	6,3	2,98	10,00	57,9	150,6	16883	17534	0,45
0,70-0,150-92,7-25	21,7	13212	6,3	3,07	10,00	58,0	150,7	17595	18577	0,41
0,70-0,150-92,7-26	21,7	15171	6,3	3,24	10,00	55,8	148,5	18922	20207	0,33
0,70-0,150-92,7-27	21,7	16454	6,4	3,50	9,24	54,5	147,2	20596	21294	0,29
0,70-0,150-92,7-28	21,7	18551	6,3	3,50	8,43	53,4	146,1	22433	23156	0,25
0,70-0,150-92,7-29	21,7	12865	7,1	3,50	7,00	63,0	155,7	17387	18587	0,44
0,70-0,150-92,7-30	21,7	13297	7,3	3,50	8,58	64,4	157,1	17522	19139	0,44
0,70-0,150-92,7-31	21,7	13729	7,1	3,50	9,49	62,8	155,5	18194	19430	0,42
0,70-0,150-92,7-32	21,7	14882	5,6	2,80	10,00	52,3	145,0	18311	19668	0,32

Protótipo	$l/d_p$	$M_{ro}$ [kN.cm]	$\delta$ [cm]	$-\varepsilon_c$ [%o]	$\varepsilon_s$ [%o]	$\Delta f_{ps}$ [kN/cm <sup>2</sup> ]	$f_{ps}$ [kN/cm <sup>2</sup> ]	$M_{res}$ (numerico) [kN.cm]	$M_{res}$ (analit.) [kN.cm]	$\Delta M_r/M_{ro}$
0,70-0,275-92,7-REF	21,7	24557	4,6	3,50	5,18	34,6	127,3	28666	29408	0,20
0,70-0,275-92,7-01	21,7	24557	4,4	3,50	5,24	32,5	125,2	28369	29134	0,19
0,70-0,275-92,7-02	21,7	24557	4,5	3,50	5,21	33,4	126,1	28419	29254	0,19
0,70-0,275-92,7-03	21,7	24557	4,6	3,50	5,28	34,5	127,2	28498	29392	0,20
0,70-0,275-92,7-04	21,7	24557	4,6	3,50	5,16	35,1	127,8	28593	29473	0,20
0,70-0,275-92,7-05	21,7	24557	4,7	3,50	5,15	35,7	128,4	28677	29547	0,20
0,70-0,275-92,7-06	21,7	24557	4,8	3,50	5,14	36,6	129,3	28694	29673	0,21
0,70-0,275-92,7-07	21,7	20045	5,0	3,50	3,22	39,6	132,3	24421	25244	0,26
0,70-0,275-92,7-08	21,7	21444	4,8	3,50	3,98	38,0	130,7	25317	26549	0,24
0,70-0,275-92,7-09	21,7	22801	4,7	3,50	4,41	36,4	129,1	26840	27799	0,22
0,70-0,275-92,7-10	21,7	26184	4,6	3,50	6,21	34,3	127,0	29803	31064	0,19
0,70-0,275-92,7-11	21,7									
0,70-0,275-92,7-12	21,7	27445	4,1	3,50	4,13	29,0	121,7	31533	32069	0,17
0,70-0,275-92,7-13	21,7	24196	4,7	3,50	5,32	35,4	128,1	28229	29066	0,20
0,70-0,275-92,7-14	21,7	18902	6,0	3,50	8,37	51,3	144,0	22500	23807	0,26
0,70-0,275-92,7-15	21,7	17857	6,2	3,50	8,75	53,0	145,7	21744	22460	0,26
0,70-0,275-92,7-16	21,7	17333	6,3	3,50	9,03	53,8	146,5	21240	21759	0,26
0,70-0,275-92,7-17	21,7									
0,70-0,275-92,7-18	21,7	31142	4,1	3,50	3,70	26,7	119,4	33476	34465	0,11
0,70-0,275-92,7-19	21,7	26830	4,5	3,50	4,69	32,2	124,9	30368	31176	0,16
0,70-0,275-92,7-20	21,7	23391	4,7	3,50	5,46	35,9	128,6	27719	28522	0,22
0,70-0,275-92,7-21	21,7	22205	4,7	3,50	5,77	36,8	129,5	26779	27564	0,24
0,70-0,275-92,7-22	21,7	21000	4,8	3,50	6,31	38,1	130,8	25642	26645	0,27
0,70-0,275-92,7-23	21,7	19156	5,1	3,50	6,74	41,6	134,3	24684	25472	0,33
0,70-0,275-92,7-24	21,7									
0,70-0,275-92,7-25	21,7	22800	4,6	3,50	5,59	35,8	128,5	27221	27969	0,23
0,70-0,275-92,7-26	21,7	25930	4,6	3,50	4,93	34,1	126,8	29495	30594	0,18
0,70-0,275-92,7-27	21,7	27937	4,5	3,50	4,33	32,2	124,9	31438	32178	0,15
0,70-0,275-92,7-28	21,7									
0,70-0,275-92,7-29	21,7	21905	4,6	3,50	2,72	35,0	127,7	25983	26809	0,22
0,70-0,275-92,7-30	21,7	22700	4,6	3,50	3,46	35,3	128,0	26723	27650	0,22
0,70-0,275-92,7-31	21,7	23496	4,6	3,50	4,25	35,3	128,0	27484	28433	0,21
0,70-0,275-92,7-32	21,7	25617	4,6	3,50	6,17	34,3	127,0	29635	30429	0,19

Protótipo	$l/d_p$	$M_{ro}$ [kN.cm]	$\delta$ [cm]	$-\varepsilon_c$ [%o]	$\varepsilon_s$ [%o]	$\Delta f_{ps}$ [kN/cm <sup>2</sup> ]	$f_{ps}$ [kN/cm <sup>2</sup> ]	$M_{res}$ (numerico) [kN.cm]	$M_{res}$ (analit.) [kN.cm]	$\Delta M_r/M_{ro}$
0,30-0,150-112,5-REF	21,7	15830	6,5	2,79	10,00	51,8	164,3	16939	17619	0,11
0,30-0,150-112,5-01	21,7	15830	6,2	2,73	10,00	50,6	163,1	16575	17578	0,11
0,30-0,150-112,5-02	21,7	15830	6,3	2,71	10,00	51,0	163,5	16547	17593	0,11
0,30-0,150-112,5-03	21,7	15830	6,3	2,78	10,00	51,1	163,6	16598	17594	0,11
0,30-0,150-112,5-04	21,7	15830	6,6	2,85	10,00	52,3	164,8	17219	17636	0,11
0,30-0,150-112,5-05	21,7	15830	6,8	2,87	10,00	53,2	165,7	17203	17668	0,12
0,30-0,150-112,5-06	21,7	15830	6,8	2,66	10,00	54,6	167,1	16503	17715	0,12
0,30-0,150-112,5-07	21,7									
0,30-0,150-112,5-08	21,7	11533	7,9	3,00	10,00	57,8	170,3	12611	13284	0,15
0,30-0,150-112,5-09	21,7	13334	7,3	2,86	10,00	56,2	168,7	14324	15145	0,14
0,30-0,150-112,5-10	21,7	18423	5,8	2,72	10,00	47,7	160,2	19700	20168	0,09
0,30-0,150-112,5-11	21,7	22591	5,5	3,50	6,97	41,0	153,5	25194	26078	0,15
0,30-0,150-112,5-12	21,7	17695	6,7	3,29	10,00	51,9	164,4	19655	20256	0,14
0,30-0,150-112,5-13	21,7	16551	6,5	2,87	10,00	51,7	164,2	17292	18639	0,13
0,30-0,150-112,5-14	21,7	14798	6,4	2,59	10,00	52,2	164,7	15741	16158	0,09
0,30-0,150-112,5-15	21,7	14469	6,4	2,49	10,00	52,2	164,7	15080	15685	0,08
0,30-0,150-112,5-16	21,7	14302	6,3	2,44	10,00	52,0	164,5	14918	15440	0,08
0,30-0,150-112,5-17	21,7	42006	3,8	3,50	2,38	17,8	130,3	41949	42371	0,01
0,30-0,150-112,5-18	21,7	25811	5,8	3,50	7,26	42,8	155,3	25983	27087	0,05
0,30-0,150-112,5-19	21,7	19296	6,8	3,31	10,00	52,3	164,8	20255	21018	0,09
0,30-0,150-112,5-20	21,7	14044	6,3	2,57	10,00	51,8	164,3	15405	15876	0,13
0,30-0,150-112,5-21	21,7	12224	6,1	2,30	10,00	51,4	163,9	13462	14082	0,15
0,30-0,150-112,5-22	21,7	10368	5,8	2,07	10,00	50,2	162,7	11496	12224	0,18
0,30-0,150-112,5-23	21,7									
0,30-0,150-112,5-24	21,7	10368	5,8	2,12	10,00	50,1	162,6	11804	12221	0,18
0,30-0,150-112,5-25	21,7	13138	6,1	2,37	10,00	51,4	163,9	14179	14975	0,14
0,30-0,150-112,5-26	21,7	17927	6,8	3,07	10,00	52,9	165,4	18692	19704	0,10
0,30-0,150-112,5-27	21,7									
0,30-0,150-112,5-28	21,7	25811	6,3	3,50	7,08	47,0	159,5	26487	27210	0,05
0,30-0,150-112,5-29	21,7	12286	8,1	3,50	9,75	57,5	170,0	14946	14270	0,16
0,30-0,150-112,5-30	21,7	13349	8,2	3,50	10,00	58,1	170,6	14716	15352	0,15
0,30-0,150-112,5-31	21,7	14412	7,5	3,17	10,00	56,4	168,9	15607	16358	0,14
0,30-0,150-112,5-32	21,7	17247	5,8	2,55	10,00	47,9	160,4	18379	18902	0,10

Protótipo	$l/d_p$	$M_{ro}$ [kN.cm]	$\delta$ [cm]	$-\varepsilon_c$ [%o]	$\varepsilon_s$ [%o]	$\Delta f_{ps}$ [kN/cm <sup>2</sup> ]	$f_{ps}$ [kN/cm <sup>2</sup> ]	$M_{res}$ (numerico) [kN.cm]	$M_{res}$ (analit.) [kN.cm]	$\Delta M_r/M_{ro}$
0,30-0,275-112,5-REF	21,7	27064	5,2	3,50	5,94	37,1	149,6	28257	29013	0,07
0,30-0,275-112,5-01	21,7	27064	4,8	3,50	5,87	32,8	145,3	28375	28794	0,06
0,30-0,275-112,5-02	21,7	27064	4,9	3,50	5,99	34,8	147,3	28083	28895	0,07
0,30-0,275-112,5-03	21,7	27064	5,0	3,50	5,99	35,8	148,3	28151	28951	0,07
0,30-0,275-112,5-04	21,7	27064	5,2	3,50	5,88	37,8	150,3	28291	29051	0,07
0,30-0,275-112,5-05	21,7	27064	5,4	3,50	5,81	38,9	151,4	28397	29110	0,08
0,30-0,275-112,5-06	21,7	27064	5,6	3,50	5,88	41,5	154,0	28341	29244	0,08
0,30-0,275-112,5-07	21,7	16887	6,4	3,50	4,90	48,6	161,1	18541	19085	0,13
0,30-0,275-112,5-08	21,7	19776	5,9	3,50	5,32	44,0	156,5	21106	21878	0,11
0,30-0,275-112,5-09	21,7	22808	5,5	3,50	5,46	41,0	153,5	24354	24858	0,09
0,30-0,275-112,5-10	21,7	31434	4,8	3,50	5,46	33,7	146,2	32121	33275	0,06
0,30-0,275-112,5-11	21,7	36740	3,6	3,50	2,54	20,0	132,5	38287	38960	0,06
0,30-0,275-112,5-12	21,7	29870	4,6	3,50	4,68	30,9	143,4	31399	32114	0,08
0,30-0,275-112,5-13	21,7	28150	4,9	3,50	5,41	34,5	147,0	29366	30237	0,07
0,30-0,275-112,5-14	21,7									
0,30-0,275-112,5-15	21,7	24941	5,8	3,50	7,36	43,2	155,7	25575	26506	0,06
0,30-0,275-112,5-16	21,7	24685	5,8	3,50	7,46	43,6	156,1	25502	26179	0,06
0,30-0,275-112,5-17	21,7									
0,30-0,275-112,5-18	21,7									
0,30-0,275-112,5-19	21,7	32399	4,5	3,50	4,37	29,3	141,8	33129	33789	0,04
0,30-0,275-112,5-20	21,7	24220	5,6	3,50	7,11	42,0	154,5	25625	26537	0,10
0,30-0,275-112,5-21	21,7	21259	6,1	3,50	8,28	46,4	158,9	23262	23937	0,13
0,30-0,275-112,5-22	21,7	18181	6,7	3,46	10,00	50,2	162,7	20131	21203	0,17
0,30-0,275-112,5-23	21,7	13345	6,2	2,74	10,00	50,4	162,9	15780	16582	0,24
0,30-0,275-112,5-24	21,7									
0,30-0,275-112,5-25	21,7	22754	5,7	3,50	7,61	43,0	155,5	24499	25184	0,11
0,30-0,275-112,5-26	21,7	30321	4,9	3,50	4,91	33,2	145,7	31365	31966	0,05
0,30-0,275-112,5-27	21,7	34891	4,5	3,50	3,61	28,4	140,9	35599	36166	0,04
0,30-0,275-112,5-28	21,7									
0,30-0,275-112,5-29	21,7	20567	5,4	3,50	3,25	40,1	152,6	21806	22672	0,10
0,30-0,275-112,5-30	21,7	22516	5,3	3,50	4,03	38,4	150,9	23766	24533	0,09
0,30-0,275-112,5-31	21,7	24465	5,2	3,50	4,78	37,7	150,2	25759	26448	0,08
0,30-0,275-112,5-32	21,7	29662	5,1	3,50	7,08	36,3	148,8	30749	31574	0,06

Protótipo	$l/d_p$	$M_{ro}$ [kN.cm]	$\delta$ [cm]	$-\varepsilon_c$ [%o]	$\varepsilon_s$ [%o]	$\Delta f_{ps}$ [kN/cm <sup>2</sup> ]	$f_{ps}$ [kN/cm <sup>2</sup> ]	$M_{res}$ (numerico) [kN.cm]	$M_{res}$ (analit.) [kN.cm]	$\Delta M_r/M_{ro}$
0,70-0,150-112,5-REF	21,7	14363	6,2	3,01	10,00	49,1	161,6	17326	18107	0,26
0,70-0,150-112,5-01	21,7	14363	6,3	2,98	10,00	50,6	163,1	17292	18223	0,27
0,70-0,150-112,5-02	21,7	14363	6,3	2,98	10,00	50,8	163,3	17359	18232	0,27
0,70-0,150-112,5-03	21,7	14363	6,3	2,96	10,00	50,9	163,4	17225	18246	0,27
0,70-0,150-112,5-04	21,7	14363	6,3	2,93	10,00	51,0	163,5	16984	18250	0,27
0,70-0,150-112,5-05	21,7									
0,70-0,150-112,5-06	21,7	14363	6,4	2,99	10,00	51,3	163,8	17281	18272	0,27
0,70-0,150-112,5-07	21,7	11729	8,1	3,50	8,89	57,8	170,3	14795	15765	0,34
0,70-0,150-112,5-08	21,7									
0,70-0,150-112,5-09	21,7	13362	7,3	3,35	10,00	55,4	167,9	16626	17466	0,31
0,70-0,150-112,5-10	21,7	15354	5,6	2,67	10,00	46,9	159,4	17768	19021	0,24
0,70-0,150-112,5-11	21,7	28534	3,8	3,50	3,63	25,5	138,0	33213	32623	0,14
0,70-0,150-112,5-12	21,7	18431	5,9	3,50	8,43	45,8	158,3	22086	23207	0,26
0,70-0,150-112,5-13	21,7									
0,70-0,150-112,5-14	21,7	12027	6,0	2,44	10,00	50,8	163,3	14111	15014	0,25
0,70-0,150-112,5-15	21,7	11277	6,0	2,34	10,00	50,7	163,2	13456	13963	0,24
0,70-0,150-112,5-16	21,7	10892								
0,70-0,150-112,5-17	21,7	26517	5,1	3,50	5,93	36,9	149,4	28016	28870	0,09
0,70-0,150-112,5-18	21,7									
0,70-0,150-112,5-19	21,7	15806	6,6	3,26	10,00	51,3	163,8	18911	19642	0,24
0,70-0,150-112,5-20	21,7	13632	6,3	2,93	10,00	51,1	163,6	16749	17567	0,29
0,70-0,150-112,5-21	21,7									
0,70-0,150-112,5-22	21,7	12154	6,1	2,76	10,00	50,5	163,0	15517	16113	0,33
0,70-0,150-112,5-23	21,7	11030	6,0	2,48	10,00	50,8	163,3	14139	15066	0,37
0,70-0,150-112,5-24	21,7	12154	6,1	2,73	10,00	50,3	162,8	15416	16103	0,32
0,70-0,150-112,5-25	21,7	13265	6,3	2,89	10,00	50,9	163,4	16564	17202	0,30
0,70-0,150-112,5-26	21,7									
0,70-0,150-112,5-27	21,7	16519	6,8	3,40	10,00	52,4	164,9	19510	20394	0,23
0,70-0,150-112,5-28	21,7	18623	6,5	3,50	8,98	49,4	161,9	21419	22175	0,19
0,70-0,150-112,5-29	21,7	12916	7,6	3,50	7,89	56,7	169,2	15881	17222	0,33
0,70-0,150-112,5-30	21,7	13350	7,6	3,50	9,15	56,4	168,9	16536	17636	0,32
0,70-0,150-112,5-31	21,7	13784	7,3	3,40	10,00	55,3	167,8	16833	17986	0,30
0,70-0,150-112,5-32	21,7	14941	5,6	2,68	10,00	47,1	159,6	17623	18537	0,24

Protótipo	$l/d_p$	$M_{ro}$ [kN.cm]	$\delta$ [cm]	$-\varepsilon_c$ [%o]	$\varepsilon_s$ [%o]	$\Delta f_{ps}$ [kN/cm <sup>2</sup> ]	$f_{ps}$ [kN/cm <sup>2</sup> ]	$M_{res}$ (numerico) [kN.cm]	$M_{res}$ (analit.) [kN.cm]	$\Delta M_r/M_{ro}$
0,70-0,275-112,5-REF	21,7	24556	4,7	3,50	5,51	34,3	146,8	27815	28560	0,16
0,70-0,275-112,5-01	21,7	24556	4,6	3,50	5,61	32,4	144,9	27288	28343	0,15
0,70-0,275-112,5-02	21,7	24556	4,6	3,50	5,51	33,2	145,7	27725	28432	0,16
0,70-0,275-112,5-03	21,7	24556	4,7	3,50	5,51	33,7	146,2	27747	28496	0,16
0,70-0,275-112,5-04	21,7	24556	4,8	3,50	5,47	34,6	147,1	27798	28596	0,16
0,70-0,275-112,5-05	21,7	24556	4,9	3,50	5,49	35,5	148,0	27837	28687	0,17
0,70-0,275-112,5-06	21,7	24556	5,0	3,50	5,56	36,5	149,0	27635	28803	0,17
0,70-0,275-112,5-07	21,7	20065	5,2	3,50	3,71	39,8	152,3	23172	24407	0,22
0,70-0,275-112,5-08	21,7	21435	5,0	3,50	4,11	37,1	149,6	24891	25586	0,19
0,70-0,275-112,5-09	21,7	22778	5,0	3,50	4,90	36,7	149,2	25765	26956	0,18
0,70-0,275-112,5-10	21,7	26206	4,7	3,50	6,36	33,2	145,7	29366	30144	0,15
0,70-0,275-112,5-11	21,7									
0,70-0,275-112,5-12	21,7	30664	3,8	3,50	3,41	24,5	137,0	34042	34290	0,12
0,70-0,275-112,5-13	21,7	26986	4,3	3,50	4,60	30,1	142,6	30161	30904	0,15
0,70-0,275-112,5-14	21,7	20848	5,6	3,50	7,53	42,9	155,4	23889	24846	0,19
0,70-0,275-112,5-15	21,7	19618	5,9	3,50	8,10	45,2	157,7	22831	23445	0,20
0,70-0,275-112,5-16	21,7	19000	6,1	3,50	8,64	47,1	159,6	21834	22784	0,20
0,70-0,275-112,5-17	21,7									
0,70-0,275-112,5-18	21,7	31142	4,2	3,50	3,91	27,0	139,5	33095	33928	0,09
0,70-0,275-112,5-19	21,7	26829	4,5	3,50	4,92	31,9	144,4	29668	30403	0,13
0,70-0,275-112,5-20	21,7	23390	4,8	3,50	5,87	35,6	148,1	26734	27622	0,18
0,70-0,275-112,5-21	21,7	22204								
0,70-0,275-112,5-22	21,7	20999	5,0	3,50	6,74	37,5	150,0	24880	25631	0,22
0,70-0,275-112,5-23	21,7	19155	5,4	3,50	7,51	41,9	154,4	23475	24454	0,28
0,70-0,275-112,5-24	21,7	20999	5,1	3,50	6,78	39,0	151,5	24807	25808	0,23
0,70-0,275-112,5-25	21,7	22800	4,8	3,50	5,93	35,6	148,1	26622	27076	0,19
0,70-0,275-112,5-26	21,7	25929	4,7	3,50	5,16	33,4	145,9	28974	29733	0,15
0,70-0,275-112,5-27	21,7	27937	4,6	3,50	4,68	32,4	144,9	30441	31486	0,13
0,70-0,275-112,5-28	21,7									
0,70-0,275-112,5-29	21,7	21904	4,8	3,50	2,90	35,2	147,7	25267	26001	0,19
0,70-0,275-112,5-30	21,7	22700	4,8	3,50	3,71	35,2	147,7	26000	26805	0,18
0,70-0,275-112,5-31	21,7	23495	4,8	3,50	4,48	34,7	147,2	26711	27546	0,17
0,70-0,275-112,5-32	21,7	25617	4,7	3,50	6,58	34,2	146,7	28755	29605	0,16

Protótipo	$l/d_p$	$M_{ro}$ [kN.cm]	$\delta$ [cm]	$-\varepsilon_c$ [%o]	$\varepsilon_s$ [%o]	$\Delta f_{ps}$ [kN/cm <sup>2</sup> ]	$f_{ps}$ [kN/cm <sup>2</sup> ]	$M_{res}$ (numerico) [kN.cm]	$M_{res}$ (analit.) [kN.cm]	$\Delta M_r/M_{ro}$
0,30-0,150-132,3-REF	21,7	15792	6,4	2,72	10,00	39,3	171,6	16469	16950	0,07
0,30-0,150-132,3-01	21,7	15792	6,2	2,69	10,00	38,5	170,8	16279	16925	0,07
0,30-0,150-132,3-02	21,7	15792	6,2	2,68	10,00	38,8	171,1	16374	16934	0,07
0,30-0,150-132,3-03	21,7	15792	6,3	2,63	10,00	39,0	171,3	15993	16942	0,07
0,30-0,150-132,3-04	21,7	15792	6,6	2,72	10,00	39,7	172,0	16357	16963	0,07
0,30-0,150-132,3-05	21,7	15792	6,6	2,69	10,00	40,0	172,3	16273	16970	0,07
0,30-0,150-132,3-06	21,7	15792	7,0	2,69	10,00	40,9	173,2	16452	16996	0,08
0,30-0,150-132,3-07	21,7									
0,30-0,150-132,3-08	21,7	11556	7,8	2,77	10,00	42,6	174,9	11513	12661	0,10
0,30-0,150-132,3-09	21,7	13341	7,2	2,78	10,00	41,4	173,7	13820	14482	0,09
0,30-0,150-132,3-10	21,7	18451	5,8	2,59	10,00	37,0	169,3	18810	19609	0,06
0,30-0,150-132,3-11	21,7	24291	5,3	3,50	6,67	32,3	164,6	25894	26971	0,11
0,30-0,150-132,3-12	21,7	18664	6,7	3,31	10,00	39,3	171,6	19683	20582	0,10
0,30-0,150-132,3-13	21,7	17336	6,6	2,97	10,00	39,5	171,8	17768	18917	0,09
0,30-0,150-132,3-14	21,7	15293	6,4	2,57	10,00	39,3	171,6	15668	16313	0,07
0,30-0,150-132,3-15	21,7	14894	6,4	2,53	10,00	39,4	171,7	15371	15803	0,06
0,30-0,150-132,3-16	21,7	14702	6,3	2,46	10,00	39,3	171,6	14968	15556	0,06
0,30-0,150-132,3-17	21,7	41929	3,8	3,50	2,43	16,1	148,4	41652	42211	0,01
0,30-0,150-132,3-18	21,7	25754	5,8	3,50	7,35	34,4	166,7	25804	26629	0,03
0,30-0,150-132,3-19	21,7	19252	6,8	3,24	10,00	39,4	171,7	19812	20360	0,06
0,30-0,150-132,3-20	21,7	14011	6,3	2,45	10,00	39,4	171,7	14604	15196	0,08
0,30-0,150-132,3-21	21,7	12194	5,9	2,13	10,00	38,7	171,0	12286	13386	0,10
0,30-0,150-132,3-22	21,7	10343	5,7	1,95	10,00	38,3	170,6	10533	11549	0,12
0,30-0,150-132,3-23	21,7									
0,30-0,150-132,3-24	21,7									
0,30-0,150-132,3-25	21,7	13107	6,1	2,27	10,00	39,0	171,3	13535	14294	0,09
0,30-0,150-132,3-26	21,7	17885	6,8	3,04	10,00	39,7	172,0	18563	19022	0,06
0,30-0,150-132,3-27	21,7									
0,30-0,150-132,3-28	21,7	25754	6,3	3,50	7,12	36,7	169,0	26196	26688	0,04
0,30-0,150-132,3-29	21,7									
0,30-0,150-132,3-30	21,7	13318	8,3	3,26	10,00	43,0	175,3	13759	14583	0,09
0,30-0,150-132,3-31	21,7	14378	7,4	2,97	10,00	41,5	173,8	14929	15601	0,08
0,30-0,150-132,3-32	21,7	17206	5,7	2,44	10,00	37,0	169,3	17567	18296	0,06

Protótipo	$l/d_p$	$M_{ro}$ [kN.cm]	$\delta$ [cm]	$-\varepsilon_c$ [%o]	$\varepsilon_s$ [%o]	$\Delta f_{ps}$ [kN/cm <sup>2</sup> ]	$f_{ps}$ [kN/cm <sup>2</sup> ]	$M_{res}$ (numerico) [kN.cm]	$M_{res}$ (analit.) [kN.cm]	$\Delta M_r/M_{ro}$
0,30-0,275-132,3-REF	21,7	27014	5,3	3,50	5,34	31,6	163,9	27389	28436	0,05
0,30-0,275-132,3-01	21,7	27014	4,9	3,50	6,22	28,8	161,1	27848	28309	0,05
0,30-0,275-132,3-02	21,7	27014	5,0	3,50	6,21	29,6	161,9	27759	28347	0,05
0,30-0,275-132,3-03	21,7	27014	5,2	3,50	6,29	30,7	163,0	27619	28395	0,05
0,30-0,275-132,3-04	21,7	27014	5,4	3,50	6,29	32,2	164,5	27753	28461	0,05
0,30-0,275-132,3-05	21,7	27014	5,5	3,50	6,22	32,9	165,2	27826	28493	0,05
0,30-0,275-132,3-06	21,7	27014	5,8	3,50	6,31	34,5	166,8	27703	28562	0,06
0,30-0,275-132,3-07	21,7	16897	6,6	3,50	5,16	38,2	170,5	17779	18374	0,09
0,30-0,275-132,3-08	21,7	19790	6,1	3,50	5,55	36,2	168,5	20568	21273	0,07
0,30-0,275-132,3-09	21,7	22812	5,9	3,50	6,16	34,9	167,2	23038	24308	0,07
0,30-0,275-132,3-10	21,7	31452	4,9	3,50	6,62	28,7	161,0	31757	32795	0,04
0,30-0,275-132,3-11	21,7									
0,30-0,275-132,3-12	21,7	31288	4,5	3,50	4,43	25,4	157,7	32177	33073	0,06
0,30-0,275-132,3-13	21,7	29341	4,8	3,50	5,20	28,0	160,3	30088	31002	0,06
0,30-0,275-132,3-14	21,7	26231	5,5	3,50	6,74	32,8	165,1	26840	27539	0,05
0,30-0,275-132,3-15	21,7	25628	5,7	3,50	7,28	34,2	166,5	25563	26855	0,05
0,30-0,275-132,3-16	21,7	25331	5,9	3,50	7,60	34,9	167,2	25205	26514	0,05
0,30-0,275-132,3-17	21,7									
0,30-0,275-132,3-18	21,7									
0,30-0,275-132,3-19	21,7	32342	4,6	3,50	4,53	25,6	157,9	32502	33382	0,03
0,30-0,275-132,3-20	21,7	24175	5,8	3,50	7,39	34,4	166,7	25149	25798	0,07
0,30-0,275-132,3-21	21,7	21218	6,3	3,50	8,63	37,0	169,3	22495	23046	0,09
0,30-0,275-132,3-22	21,7	18146	6,7	3,25	10,00	39,3	171,6	19207	20174	0,11
0,30-0,275-132,3-23	21,7	13318	6,1	2,58	10,00	38,5	170,8	14957	15438	0,16
0,30-0,275-132,3-24	21,7	18146	6,6	3,25	10,00	38,8	171,1	19258	20150	0,11
0,30-0,275-132,3-25	21,7	22711	6,1	3,50	8,42	36,1	168,4	23111	24452	0,08
0,30-0,275-132,3-26	21,7	30267	5,0	3,50	5,23	29,0	161,3	30587	31491	0,04
0,30-0,275-132,3-27	21,7	34831	4,6	3,50	3,97	25,6	157,9	34725	35813	0,03
0,30-0,275-132,3-28	21,7									
0,30-0,275-132,3-29	21,7	20531	5,6	3,50	3,44	33,3	165,6	21324	22026	0,07
0,30-0,275-132,3-30	21,7	22476	5,5	3,50	4,30	32,6	164,9	23211	23943	0,07
0,30-0,275-132,3-31	21,7	24421	5,4	3,50	5,11	32,0	164,3	25138	25857	0,06
0,30-0,275-132,3-32	21,7	29607	5,2	3,50	7,42	31,0	163,3	30206	31002	0,05

Protótipo	$l/d_p$	$M_{ro}$ [kN.cm]	$\delta$ [cm]	$-\varepsilon_c$ [%o]	$\varepsilon_s$ [%o]	$\Delta f_{ps}$ [kN/cm <sup>2</sup> ]	$f_{ps}$ [kN/cm <sup>2</sup> ]	$M_{res}$ (numerico) [kN.cm]	$M_{res}$ (analit.) [kN.cm]	$\Delta M_r/M_{ro}$
0,70-0,150-132,3-REF	21,7	14357	6,2	2,75	10,00	39,0	171,3	15870	16909	0,18
0,70-0,150-132,3-01	21,7	14357	6,2	2,81	10,00	38,5	170,8	16122	16878	0,18
0,70-0,150-132,3-02	21,7	14357	6,2	2,78	10,00	38,6	170,9	16015	16884	0,18
0,70-0,150-132,3-03	21,7									
0,70-0,150-132,3-04	21,7	14357	6,1	2,66	10,00	38,8	171,1	15623	16898	0,18
0,70-0,150-132,3-05	21,7	14357	6,0	2,70	10,00	38,0	170,3	15657	16846	0,17
0,70-0,150-132,3-06	21,7	14357	6,2	2,75	10,00	38,7	171,0	15926	16892	0,18
0,70-0,150-132,3-07	21,7	11748	8,8	3,50	9,78	43,7	176,0	13658	14374	0,22
0,70-0,150-132,3-08	21,7	12576	7,9	3,17	10,00	42,5	174,8	14067	15213	0,21
0,70-0,150-132,3-09	21,7	13357	7,1	2,98	10,00	41,0	173,3	14974	15968	0,20
0,70-0,150-132,3-10	21,7	15340	5,5	2,55	10,00	36,6	168,9	16827	17796	0,16
0,70-0,150-132,3-11	21,7	31747	3,6	3,50	3,15	20,8	153,1	36579	34823	0,10
0,70-0,150-132,3-12	21,7	20544	5,6	3,50	7,80	34,3	166,6	22965	24021	0,17
0,70-0,150-132,3-13	21,7	17734	6,1	3,50	9,31	36,6	168,9	20193	20877	0,18
0,70-0,150-132,3-14	21,7	13205	6,1	2,52	10,00	38,6	170,9	14587	15450	0,17
0,70-0,150-132,3-15	21,7	12337	6,0	2,35	10,00	38,9	171,2	13473	14375	0,17
0,70-0,150-132,3-16	21,7	11890	6,0	2,29	10,00	38,8	171,1	13003	13810	0,16
0,70-0,150-132,3-17	21,7	26508	5,3	3,50	6,34	31,6	163,9	27243	28236	0,07
0,70-0,150-132,3-18	21,7	18617	6,7	3,33	10,00	39,2	171,5	19532	21041	0,13
0,70-0,150-132,3-19	21,7	15800	6,4	3,02	10,00	39,0	171,3	17639	18306	0,16
0,70-0,150-132,3-20	21,7	13627	6,1	2,59	10,00	38,9	171,2	14946	16196	0,19
0,70-0,150-132,3-21	21,7									
0,70-0,150-132,3-22	21,7	12149	5,9	2,38	10,00	38,6	170,9	13557	14750	0,21
0,70-0,150-132,3-23	21,7	11026	5,9	2,36	10,00	38,6	170,9	13092	13662	0,24
0,70-0,150-132,3-24	21,7	12149	5,9	2,35	10,00	38,7	171,0	13467	14757	0,21
0,70-0,150-132,3-25	21,7	13260	6,1	2,63	10,00	38,8	171,1	15019	15834	0,19
0,70-0,150-132,3-26	21,7	15226	6,3	2,87	10,00	38,9	171,2	16671	17747	0,17
0,70-0,150-132,3-27	21,7	16513	6,5	3,13	10,00	38,7	171,0	18255	18974	0,15
0,70-0,150-132,3-28	21,7	18617	6,8	3,50	10,00	39,1	171,4	20266	21031	0,13
0,70-0,150-132,3-29	21,7	12912	8,1	3,50	8,97	42,3	174,6	14604	15680	0,21
0,70-0,150-132,3-30	21,7	13345	8,0	3,33	10,00	42,6	174,9	14761	16128	0,21
0,70-0,150-132,3-31	21,7	13779	7,1	3,03	10,00	41,1	173,4	15198	16465	0,19
0,70-0,150-132,3-32	21,7	14936	5,5	2,53	10,00	36,7	169,0	16615	17339	0,16

Protótipo	$l/d_p$	$M_{ro}$ [kN.cm]	$\delta$ [cm]	$-\varepsilon_c$ [%o]	$\varepsilon_s$ [%o]	$\Delta f_{ps}$ [kN/cm <sup>2</sup> ]	$f_{ps}$ [kN/cm <sup>2</sup> ]	$M_{res}$ (numerico) [kN.cm]	$M_{res}$ (analit.) [kN.cm]	$\Delta M_r/M_{ro}$
0,70-0,275-132,3-REF	21,7	24548	4,9	3,50	5,99	30,2	162,5	26773	27580	0,12
0,70-0,275-132,3-01	21,7	24548	4,7	3,50	5,94	28,7	161,0	26734	27430	0,12
0,70-0,275-132,3-02	21,7	24548	4,8	3,50	6,04	29,6	161,9	26583	27520	0,12
0,70-0,275-132,3-03	21,7	24548	4,9	3,50	6,07	30,1	162,4	26549	27567	0,12
0,70-0,275-132,3-04	21,7	24548	4,9	3,50	6,20	31,2	163,5	26454	27669	0,13
0,70-0,275-132,3-05	21,7	24548	5,0	3,50	5,92	30,7	163,0	26818	27630	0,13
0,70-0,275-132,3-06	21,7	24548	5,2	3,50	6,05	31,9	164,2	26605	27743	0,13
0,70-0,275-132,3-07	21,7	20028	5,5	3,50	3,94	33,5	165,8	22500	23175	0,16
0,70-0,275-132,3-08	21,7	21470	5,3	3,50	4,56	32,4	164,7	23900	24589	0,15
0,70-0,275-132,3-09	21,7	22812	5,1	3,50	5,07	31,1	163,4	25362	25866	0,13
0,70-0,275-132,3-10	21,7	26231	4,8	3,50	6,69	28,9	161,2	28425	29175	0,11
0,70-0,275-132,3-11	21,7									
0,70-0,275-132,3-12	21,7	33622	3,6	3,50	2,72	19,2	151,5	37195	36249	0,08
0,70-0,275-132,3-13	21,7	29608	4,0	3,50	3,90	23,4	155,7	32127	32498	0,10
0,70-0,275-132,3-14	21,7	22726	5,5	3,50	7,26	33,7	166,0	24404	25778	0,13
0,70-0,275-132,3-15	21,7	21325	5,8	3,50	7,97	35,3	167,6	23133	24250	0,14
0,70-0,275-132,3-16	21,7	20619	6,0	3,50	8,45	36,6	168,9	22315	23498	0,14
0,70-0,275-132,3-17	21,7									
0,70-0,275-132,3-18	21,7	31132	4,3	3,50	4,13	24,3	156,6	32513	33281	0,07
0,70-0,275-132,3-19	21,7	26820	4,7	3,50	5,32	28,2	160,5	28408	29541	0,10
0,70-0,275-132,3-20	21,7	23382	5,1	3,50	6,54	31,8	164,1	25552	26627	0,14
0,70-0,275-132,3-21	21,7	22197	5,3	3,50	7,05	33,0	165,3	24393	25628	0,15
0,70-0,275-132,3-22	21,7	20992	5,5	3,50	7,59	34,1	166,4	23301	24613	0,17
0,70-0,275-132,3-23	21,7	19148	5,7	3,50	8,15	35,2	167,5	22086	22985	0,20
0,70-0,275-132,3-24	21,7	20992	5,4	3,50	7,31	33,3	165,6	23721	24524	0,17
0,70-0,275-132,3-25	21,7									
0,70-0,275-132,3-26	21,7	25921	4,8	3,50	5,45	28,9	161,2	28011	28756	0,11
0,70-0,275-132,3-27	21,7	27927	4,7	3,50	4,90	28,1	160,4	29853	30582	0,10
0,70-0,275-132,3-28	21,7									
0,70-0,275-132,3-29	21,7	21897	5,1	3,50	3,33	31,3	163,6	23984	25029	0,14
0,70-0,275-132,3-30	21,7	22692	5,0	3,50	4,04	30,5	162,8	24947	25748	0,13
0,70-0,275-132,3-31	21,7	23487	5,0	3,50	4,90	30,5	162,8	25715	26542	0,13
0,70-0,275-132,3-32	21,7	25608	4,9	3,50	7,08	30,1	162,4	27747	28624	0,12

Protótipo	$l/d_p$	$M_{ro}$ [kN.cm]	$\delta$ [cm]	$-\varepsilon_c$ [%o]	$\varepsilon_s$ [%o]	$\Delta f_{ps}$ [kN/cm <sup>2</sup> ]	$f_{ps}$ [kN/cm <sup>2</sup> ]	$M_{res}$ (numerico) [kN.cm]	$M_{res}$ (analit.) [kN.cm]	$\Delta M_r/M_{ro}$
0,30-0,150-152,0-REF	21,7	15842	6,4	2,62	10,00	23,5	175,5	15875	16449	0,04
0,30-0,150-152,0-01	21,7	15842	6,1	2,60	10,00	23,1	175,1	15920	16439	0,04
0,30-0,150-152,0-02	21,7	15842	6,2	2,65	10,00	23,2	175,2	16116	16442	0,04
0,30-0,150-152,0-03	21,7	15842	6,3	2,62	10,00	23,4	175,4	16015	16445	0,04
0,30-0,150-152,0-04	21,7	15842	6,5	2,63	10,00	23,6	175,6	16010	16452	0,04
0,30-0,150-152,0-05	21,7	15842	6,7	2,66	10,00	23,9	175,9	16133	16459	0,04
0,30-0,150-152,0-06	21,7	15842	6,9	2,64	10,00	24,2	176,2	16066	16466	0,04
0,30-0,150-152,0-07	21,7									
0,30-0,150-152,0-08	21,7	11581	7,9	2,74	10,00	25,0	177,0	11356	12149	0,05
0,30-0,150-152,0-09	21,7	13364	7,2	2,70	10,00	24,5	176,5	13451	13954	0,04
0,30-0,150-152,0-10	21,7	18373	5,7	2,51	10,00	22,5	174,5	18390	18986	0,03
0,30-0,150-152,0-11	21,7	25974	5,1	3,50	6,16	19,8	171,8	26700	27572	0,06
0,30-0,150-152,0-12	21,7	19668	6,7	3,31	10,00	23,5	175,5	19650	20805	0,06
0,30-0,150-152,0-13	21,7	18166	6,6	3,03	10,00	23,5	175,5	18216	19100	0,05
0,30-0,150-152,0-14	21,7	16746	6,4	2,67	10,00	23,5	175,5	16094	17481	0,04
0,30-0,150-152,0-15	21,7	15403	6,3	2,50	10,00	23,5	175,5	15259	15945	0,04
0,30-0,150-152,0-16	21,7	15180	6,3	2,49	10,00	23,5	175,5	15170	15691	0,03
0,30-0,150-152,0-17	21,7	42030	3,8	3,50	2,42	11,5	163,5	41663	42205	0,00
0,30-0,150-152,0-18	21,7	25829	5,9	3,50	7,50	21,5	173,5	25642	26308	0,02
0,30-0,150-152,0-19	21,7	19311	6,7	3,15	10,00	23,5	175,5	19375	19891	0,03
0,30-0,150-152,0-20	21,7	14055	6,2	2,38	10,00	23,5	175,5	14251	14674	0,04
0,30-0,150-152,0-21	21,7									
0,30-0,150-152,0-22	21,7	10376	5,6	1,92	10,00	23,0	175,0	10247	11010	0,06
0,30-0,150-152,0-23	21,7									
0,30-0,150-152,0-24	21,7									
0,30-0,150-152,0-25	21,7	13149	6,0	2,26	10,00	23,3	175,3	13327	13771	0,05
0,30-0,150-152,0-26	21,7	17940	6,7	2,95	10,00	23,7	175,7	18099	18535	0,03
0,30-0,150-152,0-27	21,7									
0,30-0,150-152,0-28	21,7	25830	6,4	3,50	7,39	22,6	174,6	25871	26333	0,02
0,30-0,150-152,0-29	21,7	12295	8,8	3,50	9,44	25,3	177,3	12611	12947	0,05
0,30-0,150-152,0-30	21,7	13359	8,3	3,22	10,00	25,1	177,1	13512	14007	0,05
0,30-0,150-152,0-31	21,7	14423	7,4	2,92	10,00	24,5	176,5	14582	15054	0,04
0,30-0,150-152,0-32	21,7	17260	5,7	2,42	10,00	22,5	174,5	17359	17842	0,03

Protótipo	$l/d_p$	$M_{ro}$ [kN.cm]	$\delta$ [cm]	$-\varepsilon_c$ [%o]	$\varepsilon_s$ [%o]	$\Delta f_{ps}$ [kN/cm <sup>2</sup> ]	$f_{ps}$ [kN/cm <sup>2</sup> ]	$M_{res}$ (numerico) [kN.cm]	$M_{res}$ (analit.) [kN.cm]	$\Delta M_r/M_{ro}$
0,30-0,275-152,0-REF	21,7	27041	5,5	3,50	6,62	20,4	172,4	26885	27846	0,03
0,30-0,275-152,0-01	21,7	27041	5,0	3,50	6,43	19,0	171,0	27439	27788	0,03
0,30-0,275-152,0-02	21,7	27041	5,1	3,50	6,43	19,4	171,4	27383	27807	0,03
0,30-0,275-152,0-03	21,7	27041	5,3	3,50	5,50	19,9	171,9	27221	27825	0,03
0,30-0,275-152,0-04	21,7	27041	5,5	3,50	6,48	20,6	172,6	27193	27852	0,03
0,30-0,275-152,0-05	21,7	27041	5,7	3,50	6,52	21,0	173,0	27260	27870	0,03
0,30-0,275-152,0-06	21,7	27041	5,9	3,50	6,50	21,6	173,6	27227	27892	0,03
0,30-0,275-152,0-07	21,7	16892	6,8	3,50	5,59	23,4	175,4	16900	17685	0,05
0,30-0,275-152,0-08	21,7	19772	6,3	3,50	5,88	22,5	174,5	19846	20579	0,04
0,30-0,275-152,0-09	21,7	22821	5,9	3,50	6,29	21,7	173,7	22696	23637	0,04
0,30-0,275-152,0-10	21,7	31483	5,0	3,50	6,71	18,8	170,8	31634	32252	0,02
0,30-0,275-152,0-11	21,7									
0,30-0,275-152,0-12	21,7	32698	4,3	3,50	4,09	16,2	168,2	33090	33807	0,03
0,30-0,275-152,0-13	21,7	30528	4,6	3,50	4,81	17,7	169,7	31007	31552	0,03
0,30-0,275-152,0-14	21,7	28415	5,0	3,50	5,64	19,0	171,0	28716	29310	0,03
0,30-0,275-152,0-15	21,7	26365	5,6	3,50	6,94	20,8	172,8	26347	27106	0,03
0,30-0,275-152,0-16	21,7	26020	5,8	3,50	7,41	21,4	173,4	25401	26737	0,03
0,30-0,275-152,0-17	21,7									
0,30-0,275-152,0-18	21,7	41633	3,8	3,50	2,38	11,5	163,5	41563	41952	0,01
0,30-0,275-152,0-19	21,7	32373	4,6	3,50	4,71	17,4	169,4	32233	32989	0,02
0,30-0,275-152,0-20	21,7	24199	6,0	3,50	7,87	21,8	173,8	24298	25103	0,04
0,30-0,275-152,0-21	21,7	21241	6,5	3,50	9,29	22,8	174,8	21403	22228	0,05
0,30-0,275-152,0-22	21,7	18165	6,6	3,06	10,00	23,5	175,5	18339	19231	0,06
0,30-0,275-152,0-23	21,7									
0,30-0,275-152,0-24	21,7	18165	6,4	3,07	10,00	23,2	175,2	18384	19218	0,06
0,30-0,275-152,0-25	21,7	22735	6,1	3,50	8,53	22,2	174,2	22999	23676	0,04
0,30-0,275-152,0-26	21,7	30297	5,0	3,50	5,27	18,8	170,8	30363	30993	0,02
0,30-0,275-152,0-27	21,7	34864	4,7	3,50	3,92	17,0	169,0	34887	35434	0,02
0,30-0,275-152,0-28	21,7									
0,30-0,275-152,0-29	21,7	20551	5,7	3,50	3,67	21,2	173,2	20675	21386	0,04
0,30-0,275-152,0-30	21,7	22498	5,6	3,50	4,51	20,9	172,9	22668	23321	0,04
0,30-0,275-152,0-31	21,7	24445	5,5	3,50	5,35	20,6	172,6	24679	25257	0,03
0,30-0,275-152,0-32	21,7	29637	5,3	3,50	7,68	20,1	172,1	29691	30429	0,03

Protótipo	$l/d_p$	$M_{ro}$ [kN.cm]	$\delta$ [cm]	$-\varepsilon_c$ [%o]	$\varepsilon_s$ [%o]	$\Delta f_{ps}$ [kN/cm <sup>2</sup> ]	$f_{ps}$ [kN/cm <sup>2</sup> ]	$M_{res}$ (numerico) [kN.cm]	$M_{res}$ (analit.) [kN.cm]	$\Delta M_r/M_{ro}$
0,70-0,150-152,0-REF	21,7	14331	6,1	2,61	10,00	23,3	175,3	15058	15670	0,09
0,70-0,150-152,0-01	21,7	14331	6,0	2,50	10,00	23,2	175,2	14531	15663	0,09
0,70-0,150-152,0-02	21,7	14331	6,1	2,50	10,00	23,3	175,3	14817	15667	0,09
0,70-0,150-152,0-03	21,7	14331	6,1	2,56	10,00	23,3	175,3	14772	15670	0,09
0,70-0,150-152,0-04	21,7	14331	6,0	2,47	10,00	23,3	175,3	14442	15667	0,09
0,70-0,150-152,0-05	21,7	14331	6,0	2,47	10,00	23,3	175,3	14408	15667	0,09
0,70-0,150-152,0-06	21,7	14331	6,1	2,51	10,00	23,3	175,3	14559	15670	0,09
0,70-0,150-152,0-07	21,7									
0,70-0,150-152,0-08	21,7	12547	7,3	2,83	10,00	24,8	176,8	12448	13897	0,11
0,70-0,150-152,0-09	21,7	13326	7,0	2,78	10,00	24,3	176,3	13943	14680	0,10
0,70-0,150-152,0-10	21,7	15310	5,5	2,40	10,00	22,3	174,3	15707	16622	0,09
0,70-0,150-152,0-11	21,7									
0,70-0,150-152,0-12	21,7	22584	5,5	3,50	7,46	21,2	173,2	23480	24678	0,09
0,70-0,150-152,0-13	21,7									
0,70-0,150-152,0-14	21,7	16337	6,3	2,99	10,00	23,3	175,3	17219	17931	0,10
0,70-0,150-152,0-15	21,7	13345	5,9	2,28	10,00	23,3	175,3	13148	14551	0,09
0,70-0,150-152,0-16	21,7	12842	5,9	2,26	10,00	23,3	175,3	12935	13981	0,09
0,70-0,150-152,0-17	21,7	26462	5,2	3,50	6,64	20,5	172,5	26611	27442	0,04
0,70-0,150-152,0-18	21,7	18583	6,7	3,27	10,00	23,5	175,5	19157	19858	0,07
0,70-0,150-152,0-19	21,7	15771	6,4	2,82	10,00	23,4	175,4	16251	17092	0,08
0,70-0,150-152,0-20	21,7	13602	6,0	2,41	10,00	23,3	175,3	13803	14954	0,10
0,70-0,150-152,0-21	21,7									
0,70-0,150-152,0-22	21,7	12126	5,9	2,26	10,00	23,3	175,3	12566	13502	0,11
0,70-0,150-152,0-23	21,7									
0,70-0,150-152,0-24	21,7									
0,70-0,150-152,0-25	21,7	13235	6,0	2,45	10,00	23,2	175,2	13915	14585	0,10
0,70-0,150-152,0-26	21,7	15198	6,2	2,57	10,00	23,4	175,4	15131	16525	0,09
0,70-0,150-152,0-27	21,7	16483	6,6	2,92	10,00	23,6	175,6	17096	17801	0,08
0,70-0,150-152,0-28	21,7	18583	6,9	3,11	10,00	23,9	175,9	18591	19877	0,07
0,70-0,150-152,0-29	21,7	12888	8,9	3,50	9,85	25,5	177,5	13473	14349	0,11
0,70-0,150-152,0-30	21,7	13321	7,8	3,11	10,00	24,9	176,9	13764	14751	0,11
0,70-0,150-152,0-31	21,7	13754	7,0	2,77	10,00	24,3	176,3	13865	15147	0,10
0,70-0,150-152,0-32	21,7	14908	5,5	2,40	10,00	22,3	174,3	15567	16191	0,09

Protótipo	$l/d_p$	$M_{ro}$ [kN.cm]	$\delta$ [cm]	$-\varepsilon_c$ [%o]	$\varepsilon_s$ [%o]	$\Delta f_{ps}$ [kN/cm <sup>2</sup> ]	$f_{ps}$ [kN/cm <sup>2</sup> ]	$M_{res}$ (numerico) [kN.cm]	$M_{res}$ (analit.) [kN.cm]	$\Delta M_r/M_{ro}$
0,70-0,275-152,0-REF	21,7	24527	5,3	3,50	6,78	20,5	172,5	25199	26340	0,07
0,70-0,275-152,0-01	21,7	24527	5,2	3,50	6,84	20,0	172,0	25110	26296	0,07
0,70-0,275-152,0-02	21,7	24527	5,2	3,50	6,96	20,0	172,0	24869	26295	0,07
0,70-0,275-152,0-03	21,7	24527	5,3	3,50	6,97	20,6	172,6	24897	26345	0,07
0,70-0,275-152,0-04	21,7									
0,70-0,275-152,0-05	21,7	24527	5,4	3,50	6,82	20,9	172,9	25149	26375	0,08
0,70-0,275-152,0-06	21,7	24527	5,5	3,50	6,78	21,1	173,1	25205	26394	0,08
0,70-0,275-152,0-07	21,7	20048	5,8	3,50	4,45	21,7	173,7	21167	21851	0,09
0,70-0,275-152,0-08	21,7	21456	5,6	3,50	5,17	21,3	173,3	22265	23270	0,08
0,70-0,275-152,0-09	21,7	22789	5,3	3,50	5,87	20,5	172,5	23542	24569	0,08
0,70-0,275-152,0-10	21,7	26223	5,1	3,50	7,55	19,9	171,9	27008	28016	0,07
0,70-0,275-152,0-11	21,7									
0,70-0,275-152,0-12	21,7									
0,70-0,275-152,0-13	21,7	32060	3,8	3,50	3,43	15,0	167,0	33885	33813	0,05
0,70-0,275-152,0-14	21,7	27586	4,6	3,50	5,14	18,1	170,1	28879	29428	0,07
0,70-0,275-152,0-15	21,7	22981	5,7	3,50	7,58	21,4	173,4	23811	24719	0,08
0,70-0,275-152,0-16	21,7	22183	5,9	3,50	8,10	21,9	173,9	22954	23878	0,08
0,70-0,275-152,0-17	21,7									
0,70-0,275-152,0-18	21,7	31107	4,4	3,50	4,39	16,9	168,9	31662	32422	0,04
0,70-0,275-152,0-19	21,7	26798	4,8	3,50	5,58	18,9	170,9	27624	28406	0,06
0,70-0,275-152,0-20	21,7	23362	5,6	3,50	7,41	21,2	173,2	24023	25275	0,08
0,70-0,275-152,0-21	21,7	22178	5,7	3,50	7,97	21,7	173,7	22965	24168	0,09
0,70-0,275-152,0-22	21,7	20974	5,8	3,50	8,28	22,0	174,0	22147	23032	0,10
0,70-0,275-152,0-23	21,7									
0,70-0,275-152,0-24	21,7	20974	5,8	3,50	8,21	21,8	173,8	22187	23019	0,10
0,70-0,275-152,0-25	21,7	22772	5,5	3,50	7,37	21,0	173,0	23889	24688	0,08
0,70-0,275-152,0-26	21,7	25899	5,1	3,50	6,03	19,8	171,8	26846	27606	0,07
0,70-0,275-152,0-27	21,7	27904	4,9	3,50	5,32	19,1	171,1	28716	29494	0,06
0,70-0,275-152,0-28	21,7									
0,70-0,275-152,0-29	21,7	21879	5,4	3,50	3,87	20,9	172,9	22534	23722	0,08
0,70-0,275-152,0-30	21,7	22673	5,3	3,50	4,74	20,7	172,7	23452	24503	0,08
0,70-0,275-152,0-31	21,7	23467	5,2	3,50	5,44	20,4	172,4	24533	25270	0,08
0,70-0,275-152,0-32	21,7	25586	5,2	3,50	7,88	20,3	172,3	26364	27383	0,07

Protótipo	$l/d_p$	$M_{ro}$ [kN.cm]	$\delta$ [cm]	$-\varepsilon_c$ [%o]	$\varepsilon_s$ [%o]	$\Delta f_{ps}$ [kN/cm <sup>2</sup> ]	$f_{ps}$ [kN/cm <sup>2</sup> ]	$M_{res}$ (numerico) [kN.cm]	$M_{res}$ (analit.) [kN.cm]	$\Delta M_r/M_{ro}$
0,30-0,150-92,7-REF	38,7	15800	20,9	2,95	10,00	59,5	152,2	17825	18275	0,16
0,30-0,150-92,7-01	38,7									
0,30-0,150-92,7-02	38,7	15800	20,3	2,95	10,00	57,8	150,5	17825	18206	0,15
0,30-0,150-92,7-03	38,7	15800	20,6	2,94	10,00	58,6	151,3	17725	18241	0,15
0,30-0,150-92,7-04	38,7	15800	21,2	2,95	10,00	60,3	153,0	17825	18309	0,16
0,30-0,150-92,7-05	38,7	15800	21,7	2,95	10,00	61,7	154,4	17825	18368	0,16
0,30-0,150-92,7-06	38,7	15800	22,4	2,94	10,00	63,9	156,6	17825	18454	0,17
0,30-0,150-92,7-07	38,7									
0,30-0,150-92,7-08	38,7	11566	26,2	3,26	10,00	71,7	164,4	13825	14193	0,23
0,30-0,150-92,7-09	38,7	13294	23,1	3,13	10,00	63,8	156,5	15525	15772	0,19
0,30-0,150-92,7-10	38,7	18426	18,8	2,86	10,00	53,0	145,7	20525	20767	0,13
0,30-0,150-92,7-11	38,7	20806	18,0	3,50	7,35	46,3	139,0	24425	24859	0,19
0,30-0,150-92,7-12	38,7	16672	21,3	3,23	10,00	59,3	152,0	19325	19639	0,18
0,30-0,150-92,7-13	38,7	15716	20,9	2,94	10,00	59,5	152,2	17825	18142	0,15
0,30-0,150-92,7-14	38,7	14255	20,3	2,58	10,00	59,6	152,3	15725	15819	0,11
0,30-0,150-92,7-15	38,7	13972	20,2	2,50	10,00	59,7	152,4	15225	15365	0,10
0,30-0,150-92,7-16	38,7	13836	20,1	2,43	10,00	59,7	152,4	14825	15147	0,09
0,30-0,150-92,7-17	38,7									
0,30-0,150-92,7-18	38,7	25766	17,6	3,50	6,70	43,8	136,5	27125	27343	0,06
0,30-0,150-92,7-19	38,7									
0,30-0,150-92,7-20	38,7	14018	20,3	2,74	10,00	58,7	151,4	16325	16518	0,18
0,30-0,150-92,7-21	38,7	12200	19,5	2,43	10,00	58,5	151,2	14325	14748	0,21
0,30-0,150-92,7-22	38,7	10348	18,8	2,22	10,00	57,0	149,7	12625	12887	0,25
0,30-0,150-92,7-23	38,7									
0,30-0,150-92,7-24	38,7									
0,30-0,150-92,7-25	38,7	13113	19,8	2,58	10,00	58,3	151,0	15425	15623	0,19
0,30-0,150-92,7-26	38,7	17893	22,1	3,35	10,00	60,6	153,3	20125	20345	0,14
0,30-0,150-92,7-27	38,7	20939	21,2	8,79	10,00	56,9	149,6	22625	23145	0,11
0,30-0,150-92,7-28	38,7	25766	19,2	3,50	6,57	49,6	142,3	27425	27549	0,07
0,30-0,150-92,7-29	38,7	12264	26,0	3,50	7,83	69,4	162,1	14625	15145	0,23
0,30-0,150-92,7-30	38,7	13325	24,6	3,50	9,05	66,1	158,8	15825	16070	0,21
0,30-0,150-92,7-31	38,7	14385	24,2	3,37	10,00	66,7	159,4	16725	17154	0,19
0,30-0,150-92,7-32	38,7	17215	18,4	2,64	10,00	53,1	145,8	19025	19428	0,13

Protótipo	$l/d_p$	$M_{ro}$ [kN.cm]	$\delta$ [cm]	- $\varepsilon_c$ [%o]	$\varepsilon_s$ [%o]	$\Delta f_{ps}$ [kN/cm <sup>2</sup> ]	$f_{ps}$ [kN/cm <sup>2</sup> ]	$M_{res}$ (numerico) [kN.cm]	$M_{res}$ (analit.) [kN.cm]	$\Delta M_r/M_{ro}$
0,30-0,275-92,7-REF	38,7	27036	15,8	3,50	5,52	37,0	129,7	29125	29386	0,09
0,30-0,275-92,7-01	38,7	27036	14,7	3,50	5,55	32,8	125,5	29125	29123	0,08
0,30-0,275-92,7-02	38,7	27036	15,0	3,50	5,56	33,9	126,6	29025	29197	0,08
0,30-0,275-92,7-03	38,7	27036	15,4	3,50	5,54	35,6	128,3	29125	29302	0,08
0,30-0,275-92,7-04	38,7	27036	16,2	3,50	5,51	38,2	130,9	29225	29459	0,09
0,30-0,275-92,7-05	38,7	27036	16,6	3,50	5,48	39,9	132,6	29325	29563	0,09
0,30-0,275-92,7-06	38,7	27036	17,4	3,50	5,41	42,5	135,2	29525	29722	0,10
0,30-0,275-92,7-07	38,7	16915	19,4	3,50	4,51	50,5	143,2	19425	19670	0,16
0,30-0,275-92,7-08	38,7	19765	18,4	3,50	4,90	47,1	139,8	22025	22477	0,14
0,30-0,275-92,7-09	38,7									
0,30-0,275-92,7-10	38,7	31508	15,2	3,50	6,26	34,5	127,2	32925	33783	0,07
0,30-0,275-92,7-11	38,7	34322	12,3	3,50	3,05	22,9	115,6	36625	37075	0,08
0,30-0,275-92,7-12	38,7	28347	15,1	3,50	5,01	34,1	126,8	30625	30906	0,09
0,30-0,275-92,7-13	38,7	26895	16,0	3,50	5,62	37,6	130,3	28825	29233	0,09
0,30-0,275-92,7-14	38,7	24620	18,1	3,50	7,12	45,9	138,6	26025	26500	0,08
0,30-0,275-92,7-15	38,7	24185	18,4	3,50	7,29	46,9	139,6	25725	25908	0,07
0,30-0,275-92,7-16	38,7	23971	18,6	3,50	7,46	47,8	140,5	25425	25628	0,07
0,30-0,275-92,7-17	38,7									
0,30-0,275-92,7-18	38,7									
0,30-0,275-92,7-19	38,7	32367	28,6	3,50	4,19	28,6	121,3	33725	34011	0,05
0,30-0,275-92,7-20	38,7									
0,30-0,275-92,7-21	38,7	21237	18,6	3,50	7,64	48,1	140,8	24325	24581	0,16
0,30-0,275-92,7-22	38,7	18162	19,9	3,50	8,88	53,0	145,7	21725	22008	0,21
0,30-0,275-92,7-23	38,7	13330	20,1	3,02	10,00	57,2	149,9	17525	17749	0,33
0,30-0,275-92,7-24	38,7	18162	19,5	3,50	8,91	51,5	144,2	21625	21901	0,21
0,30-0,275-92,7-25	38,7	22730	17,5	3,50	7,08	44,1	136,8	25425	25733	0,13
0,30-0,275-92,7-26	38,7	30291	15,1	3,50	4,64	33,4	126,1	32125	32287	0,07
0,30-0,275-92,7-27	38,7	34858	14,3	3,50	3,54	28,9	121,6	36025	36423	0,04
0,30-0,275-92,7-28	38,7									
0,30-0,275-92,7-29	38,7	20547	16,7	3,50	2,91	40,6	133,3	22825	23119	0,13
0,30-0,275-92,7-30	38,7	22494	16,4	3,50	3,76	39,3	132,0	24725	24984	0,11
0,30-0,275-92,7-31	38,7	24440	16,1	3,50	4,48	38,2	130,9	26625	26864	0,10
0,30-0,275-92,7-32	38,7	29632	15,6	3,50	6,55	36,1	128,8	31725	31925	0,08

Protótipo	$l/d_p$	$M_{ro}$ [kN.cm]	$\delta$ [cm]	- $\varepsilon_c$ [%o]	$\varepsilon_s$ [%o]	$\Delta f_{ps}$ [kN/cm <sup>2</sup> ]	$f_{ps}$ [kN/cm <sup>2</sup> ]	$M_{res}$ (numerico) [kN.cm]	$M_{res}$ (analit.) [kN.cm]	$\Delta M_r/M_{ro}$
0,70-0,150-92,7-REF	38,7	14305	20,7	3,33	10,00	57,5	150,2	18925	19547	0,37
0,70-0,150-92,7-01	38,7	14305	20,6	3,32	10,00	57,2	149,9	18925	19524	0,36
0,70-0,150-92,7-02	38,7	14305	20,7	3,36	10,00	57,5	150,2	19125	19553	0,37
0,70-0,150-92,7-03	38,7	14305	20,7	3,34	10,00	57,7	150,4	19025	19564	0,37
0,70-0,150-92,7-04	38,7	14305	20,7	3,31	10,00	57,8	150,5	18925	19577	0,37
0,70-0,150-92,7-05	38,7	14305	20,5	3,32	10,00	55,9	148,6	18925	19407	0,36
0,70-0,150-92,7-06	38,7									
0,70-0,150-92,7-07	38,7	11724	23,2	3,50	7,29	64,1	156,8	16725	17102	0,46
0,70-0,150-92,7-08	38,7	12539	23,2	3,50	8,57	64,1	156,8	17225	18079	0,44
0,70-0,150-92,7-09	38,7	13294	22,8	3,50	9,58	62,9	155,6	17925	18856	0,42
0,70-0,150-92,7-10	38,7	15354	17,9	3,03	10,00	48,7	141,4	19525	19944	0,30
0,70-0,150-92,7-11	38,7	25024	13,4	3,50	4,55	30,2	122,9	29925	30249	0,21
0,70-0,150-92,7-12	38,7	16221	18,9	3,50	8,81	49,5	142,2	21125	21560	0,33
0,70-0,150-92,7-13	38,7	14123	20,8	3,30	10,00	57,9	150,6	18825	19314	0,37
0,70-0,150-92,7-14	38,7	10808	19,2	2,43	10,00	57,7	150,4	14025	14249	0,32
0,70-0,150-92,7-15	38,7	10181	18,9	2,30	10,00	57,6	150,3	13025	13271	0,30
0,70-0,150-92,7-16	38,7	9859	18,6	2,23	10,00	56,6	149,3	12525	12718	0,29
0,70-0,150-92,7-17	38,7	26420	15,7	3,50	5,50	36,8	129,5	28925	29246	0,11
0,70-0,150-92,7-18	38,7	18551	19,3	3,50	8,41	51,3	144,0	22425	22978	0,24
0,70-0,150-92,7-19	38,7	15744	20,2	3,50	9,45	54,5	147,2	20225	20628	0,31
0,70-0,150-92,7-20	38,7	13578	20,4	3,15	10,00	57,7	150,4	18125	18888	0,39
0,70-0,150-92,7-21	38,7	12844	20,2	3,11	10,00	57,5	150,2	17725	18192	0,42
0,70-0,150-92,7-22	38,7	12105	20,0	3,01	10,00	57,5	150,2	17025	17496	0,45
0,70-0,150-92,7-23	38,7									
0,70-0,150-92,7-24	38,7	12105	20,0	3,02	10,00	57,4	150,1	17125	17490	0,44
0,70-0,150-92,7-25	38,7	13212	20,3	3,14	10,00	57,5	150,2	17945	18530	0,40
0,70-0,150-92,7-26	38,7	15171								
0,70-0,150-92,7-27	38,7	16454	20,3	3,50	9,24	54,0	146,7	20615	21248	0,29
0,70-0,150-92,7-28	38,7	18551	20,0	3,50	8,26	53,5	146,2	22725	23165	0,25
0,70-0,150-92,7-29	38,7									
0,70-0,150-92,7-30	38,7	13297	21,9	3,50	7,83	60,4	153,1	18125	18795	0,41
0,70-0,150-92,7-31	38,7	13729	21,7	3,50	8,91	59,9	152,6	18725	19183	0,40
0,70-0,150-92,7-32	38,7	14882	18,2	2,89	10,00	51,8	144,5	18925	19625	0,32

Protótipo	$l/d_p$	$M_{ro}$ [kN.cm]	$\delta$ [cm]	- $\varepsilon_c$ [%o]	$\varepsilon_s$ [%o]	$\Delta f_{ps}$ [kN/cm <sup>2</sup> ]	$f_{ps}$ [kN/cm <sup>2</sup> ]	$M_{res}$ (numerico) [kN.cm]	$M_{res}$ (analit.) [kN.cm]	$\Delta M_r/M_{ro}$
0,70-0,275-92,7-REF	38,7	24557	14,6	3,50	5,14	33,9	126,6	28825	29318	0,19
0,70-0,275-92,7-01	38,7	24557	14,1	3,50	5,20	32,0	124,7	28625	29059	0,18
0,70-0,275-92,7-02	38,7	24557	14,3	3,50	5,18	32,8	125,5	28625	29173	0,19
0,70-0,275-92,7-03	38,7	24557	14,4	3,50	5,15	33,3	126,0	28725	29241	0,19
0,70-0,275-92,7-04	38,7	24557	14,7	3,50	5,12	34,4	127,1	28825	29384	0,20
0,70-0,275-92,7-05	38,7	24557	14,9	3,50	5,08	35,1	127,8	28925	29468	0,20
0,70-0,275-92,7-06	38,7	24557	15,3	3,50	5,06	36,2	128,9	28925	29613	0,21
0,70-0,275-92,7-07	38,7	20045	15,7	3,50	3,17	38,7	131,4	24525	25132	0,25
0,70-0,275-92,7-08	38,7	21444	15,1	3,50	3,73	36,0	128,7	25825	26301	0,23
0,70-0,275-92,7-09	38,7	22801	15,0	3,50	4,34	35,5	128,2	27125	27677	0,21
0,70-0,275-92,7-10	38,7	26184	14,3	3,50	5,94	32,7	125,4	30325	30838	0,18
0,70-0,275-92,7-11	38,7									
0,70-0,275-92,7-12	38,7	27445	13,2	3,50	4,15	28,6	121,3	31565	32005	0,17
0,70-0,275-92,7-13	38,7	24196	14,7	3,50	5,27	34,6	127,3	28425	28967	0,20
0,70-0,275-92,7-14	38,7	18902	17,7	3,50	7,98	48,1	140,8	23025	23519	0,24
0,70-0,275-92,7-15	38,7	17857	19,5	3,50	8,60	52,1	144,8	21925	22380	0,25
0,70-0,275-92,7-16	38,7									
0,70-0,275-92,7-17	38,7									
0,70-0,275-92,7-18	38,7	31142	26,1	3,50	3,62	26,1	118,8	34025	34394	0,10
0,70-0,275-92,7-19	38,7	26830	14,0	3,50	4,60	31,3	124,0	30525	31054	0,16
0,70-0,275-92,7-20	38,7	23391	14,8	3,50	5,41	35,2	127,9	27825	28418	0,21
0,70-0,275-92,7-21	38,7	22205	14,9	3,50	5,59	35,7	128,4	27225	27413	0,23
0,70-0,275-92,7-22	38,7	21000	15,4	3,50	6,34	37,5	130,2	25625	26571	0,27
0,70-0,275-92,7-23	38,7	19156	16,0	3,50	6,66	40,7	133,4	24725	25340	0,32
0,70-0,275-92,7-24	38,7									
0,70-0,275-92,7-25	38,7	22800	14,7	3,50	5,54	34,8	127,5	27425	27829	0,22
0,70-0,275-92,7-26	38,7	25930	14,4	3,50	4,78	32,9	125,6	29925	30433	0,17
0,70-0,275-92,7-27	38,7	27937	14,2	3,50	4,29	31,5	124,2	31625	32100	0,15
0,70-0,275-92,7-28	38,7	31142								
0,70-0,275-92,7-29	38,7	21905	14,7	3,50	2,64	34,8	127,5	26225	26777	0,22
0,70-0,275-92,7-30	38,7	22700	14,6	3,50	3,42	34,1	126,8	26925	27487	0,21
0,70-0,275-92,7-31	38,7	23496	14,6	3,50	4,14	34,3	127,0	27725	28305	0,20
0,70-0,275-92,7-32	38,7	25617	14,5	3,50	6,14	33,6	126,3	29825	30337	0,18

Protótipo	$l/d_p$	$M_{ro}$ [kN.cm]	$\delta$ [cm]	$-\varepsilon_c$ [%o]	$\varepsilon_s$ [%o]	$\Delta f_{ps}$ [kN/cm <sup>2</sup> ]	$f_{ps}$ [kN/cm <sup>2</sup> ]	$M_{res}$ (numerico) [kN.cm]	$M_{res}$ (analit.) [kN.cm]	$\Delta M_r/M_{ro}$
0,30-0,150-112,5-REF	38,7	15830	20,8	2,88	10,00	51,9	164,4	17405	17623	0,11
0,30-0,150-112,5-01	38,7	15830	19,9	2,87	10,00	50,3	162,8	17365	17567	0,11
0,30-0,150-112,5-02	38,7	15830	20,2	2,87	10,00	50,8	163,3	17355	17585	0,11
0,30-0,150-112,5-03	38,7	15830	20,5	2,88	10,00	51,3	163,8	17375	17603	0,11
0,30-0,150-112,5-04	38,7	15830	21,1	2,88	10,00	52,4	164,9	17385	17640	0,11
0,30-0,150-112,5-05	38,7	15830	21,6	2,87	10,00	53,4	165,9	17345	17673	0,12
0,30-0,150-112,5-06	38,7	15830	22,4	2,87	10,00	54,8	167,3	17375	17722	0,12
0,30-0,150-112,5-07	38,7									
0,30-0,150-112,5-08	38,7	11533	25,2	3,08	10,00	57,7	170,2	12955	13281	0,15
0,30-0,150-112,5-09	38,7	13334	23,4	2,97	10,00	56,1	168,6	14815	15143	0,14
0,30-0,150-112,5-10	38,7	18423	18,6	2,75	10,00	47,6	160,1	19895	20163	0,09
0,30-0,150-112,5-11	38,7	22591	17,3	3,50	6,93	40,8	153,3	25295	26066	0,15
0,30-0,150-112,5-12	38,7	17695	21,6	3,36	10,00	51,8	164,3	19935	20252	0,14
0,30-0,150-112,5-13	38,7	16551	21,1	3,05	10,00	51,9	164,4	18375	18647	0,13
0,30-0,150-112,5-14	38,7	14798	20,4	2,63	10,00	52,0	164,5	15965	16153	0,09
0,30-0,150-112,5-15	38,7	14469	20,3	2,55	10,00	52,0	164,5	15525	15680	0,08
0,30-0,150-112,5-16	38,7	14302	20,2	2,51	10,00	52,0	164,5	15295	15439	0,08
0,30-0,150-112,5-17	38,7									
0,30-0,150-112,5-18	38,7	25811	18,0	3,50	6,98	41,7	154,2	26645	27057	0,05
0,30-0,150-112,5-19	38,7	19296	21,8	3,35	10,00	52,1	164,6	20335	21013	0,09
0,30-0,150-112,5-20	38,7	14044	20,1	2,60	10,00	51,7	164,2	15585	15872	0,13
0,30-0,150-112,5-21	38,7	12224	19,5	2,36	10,00	51,3	163,8	13825	14078	0,15
0,30-0,150-112,5-22	38,7	10368	18,6	2,14	10,00	50,3	162,8	12025	12226	0,18
0,30-0,150-112,5-23	38,7									
0,30-0,150-112,5-24	38,7									
0,30-0,150-112,5-25	38,7	13138	19,5	2,38	10,00	51,3	163,8	14175	14971	0,14
0,30-0,150-112,5-26	38,7	17927	21,8	3,20	10,00	52,7	165,2	19445	19695	0,10
0,30-0,150-112,5-27	38,7	20977	21,1	3,50	8,97	49,6	162,1	22305	22573	0,08
0,30-0,150-112,5-28	38,7	25811	19,5	3,50	6,78	45,9	158,4	26945	27179	0,05
0,30-0,150-112,5-29	38,7	12286	26,4	3,50	8,25	58,7	171,2	13985	14311	0,16
0,30-0,150-112,5-30	38,7	13349	26,3	3,50	9,63	58,6	171,1	15085	15369	0,15
0,30-0,150-112,5-31	38,7	14412	24,1	3,28	10,00	56,3	168,8	16125	16355	0,13
0,30-0,150-112,5-32	38,7	17247	18,3	2,59	10,00	47,6	160,1	18695	18894	0,10

Protótipo	$l/d_p$	$M_{ro}$ [kN.cm]	$\delta$ [cm]	$-\varepsilon_c$ [%o]	$\varepsilon_s$ [%o]	$\Delta f_{ps}$ [kN/cm <sup>2</sup> ]	$f_{ps}$ [kN/cm <sup>2</sup> ]	$M_{res}$ (numerico) [kN.cm]	$M_{res}$ (analit.) [kN.cm]	$\Delta M_r/M_{ro}$
0,30-0,275-112,5-REF	38,7	27064	16,2	3,50	5,77	36,2	148,7	28575	28970	0,07
0,30-0,275-112,5-01	38,7	27064	14,9	3,50	5,75	32,2	144,7	28585	28762	0,06
0,30-0,275-112,5-02	38,7	27064	15,3	3,50	5,80	33,3	145,8	28525	28817	0,06
0,30-0,275-112,5-03	38,7	27064	15,7	3,50	5,71	34,7	147,2	28685	28893	0,07
0,30-0,275-112,5-04	38,7	27064	16,3	3,50	5,67	36,0	148,5	28675	28958	0,07
0,30-0,275-112,5-05	38,7	27064	17,2	3,50	5,93	39,0	151,5	28385	29115	0,08
0,30-0,275-112,5-06	38,7	27064	17,9	3,50	5,79	41,2	153,7	28645	29225	0,08
0,30-0,275-112,5-07	38,7	16887	20,1	3,50	4,76	48,0	160,5	18795	19058	0,13
0,30-0,275-112,5-08	38,7	19776	18,7	3,50	5,07	44,1	156,6	21575	21885	0,11
0,30-0,275-112,5-09	38,7	22808	17,6	3,50	5,45	40,9	153,4	24495	24856	0,09
0,30-0,275-112,5-10	38,7	31434	15,3	3,50	6,33	33,2	145,7	32695	33247	0,06
0,30-0,275-112,5-11	38,7	36740	11,6	3,50	2,51	19,8	132,3	38715	38945	0,06
0,30-0,275-112,5-12	38,7	29870	14,5	3,50	4,57	30,4	142,9	31735	32078	0,07
0,30-0,275-112,5-13	38,7	28150	15,5	3,50	5,28	33,9	146,4	29875	30204	0,07
0,30-0,275-112,5-14	38,7									
0,30-0,275-112,5-15	38,7	24941	18,1	3,50	7,09	42,1	154,6	26045	26470	0,06
0,30-0,275-112,5-16	38,7	24685	18,2	3,50	7,17	42,5	155,0	25855	26141	0,06
0,30-0,275-112,5-17	38,7									
0,30-0,275-112,5-18	38,7									
0,30-0,275-112,5-19	38,7	32399	14,2	3,50	4,27	28,8	141,3	33505	33768	0,04
0,30-0,275-112,5-20	38,7	24220	17,9	3,50	7,09	41,9	154,4	25675	26532	0,10
0,30-0,275-112,5-21	38,7	21259	19,1	3,50	8,05	45,6	158,1	23595	23890	0,12
0,30-0,275-112,5-22	38,7									
0,30-0,275-112,5-23	38,7	13345	19,6	2,77	10,00	50,2	162,7	16005	16571	0,24
0,30-0,275-112,5-24	38,7									
0,30-0,275-112,5-25	38,7	22754	17,9	3,50	7,40	42,2	154,7	24835	25138	0,10
0,30-0,275-112,5-26	38,7	30321	15,3	3,50	4,79	32,7	145,2	31715	31940	0,05
0,30-0,275-112,5-27	38,7	34891	14,3	3,50	3,57	28,2	140,7	35965	36157	0,04
0,30-0,275-112,5-28	38,7									
0,30-0,275-112,5-29	38,7	20567	17,0	3,50	3,13	39,0	151,5	22075	22615	0,10
0,30-0,275-112,5-30	38,7	22516	16,8	3,50	3,97	38,5	151,0	23955	24538	0,09
0,30-0,275-112,5-31	38,7	24465	16,0	3,50	4,77	37,6	150,1	25835	26441	0,08
0,30-0,275-112,5-32	38,7	29662	16,0	3,50	6,89	35,6	148,1	31045	31539	0,06

Protótipo	$l/d_p$	$M_{ro}$ [kN.cm]	$\delta$ [cm]	$-\varepsilon_c$ [%o]	$\varepsilon_s$ [%o]	$\Delta f_{ps}$ [kN/cm <sup>2</sup> ]	$f_{ps}$ [kN/cm <sup>2</sup> ]	$M_{res}$ (numerico) [kN.cm]	$M_{res}$ (analit.) [kN.cm]	$\Delta M_r/M_{ro}$
0,70-0,150-112,5-REF	38,7	14363	19,8	3,07	10,00	48,9	161,4	17635	18098	0,26
0,70-0,150-112,5-01	38,7	14363	20,1	3,00	10,00	50,6	163,1	17335	18224	0,27
0,70-0,150-112,5-02	38,7	14363	20,1	3,00	10,00	50,8	163,3	17325	18237	0,27
0,70-0,150-112,5-03	38,7	14363	20,1	3,00	10,00	50,8	163,3	17425	18236	0,27
0,70-0,150-112,5-04	38,7	14363	20,3	3,02	10,00	51,1	163,6	17435	18258	0,27
0,70-0,150-112,5-05	38,7	14363	20,0	3,08	10,00	49,5	162,0	17685	18139	0,26
0,70-0,150-112,5-06	38,7	14363	20,3	2,99	10,00	51,1	163,6	17315	18257	0,27
0,70-0,150-112,5-07	38,7	11729	26,1	3,50	8,77	58,8	171,3	14845	15836	0,35
0,70-0,150-112,5-08	38,7									
0,70-0,150-112,5-09	38,7	13362	23,4	3,44	10,00	55,3	167,8	17055	17458	0,31
0,70-0,150-112,5-10	38,7	15354	18,1	2,84	10,00	46,7	159,2	18585	19003	0,24
0,70-0,150-112,5-11	38,7	28534	12,0	3,50	3,58	24,8	137,3	33535	32509	0,14
0,70-0,150-112,5-12	38,7	18431	18,1	3,50	8,03	43,6	156,1	22515	22990	0,25
0,70-0,150-112,5-13	38,7	15963	21,0	3,47	10,00	50,9	163,4	19545	20420	0,28
0,70-0,150-112,5-14	38,7	12027	19,2	2,45	10,00	50,9	163,4	14175	15019	0,25
0,70-0,150-112,5-15	38,7	11277	19,1	2,39	10,00	50,8	163,3	13655	13968	0,24
0,70-0,150-112,5-16	38,7	10892	19,0	2,31	10,00	50,8	163,3	13135	13429	0,23
0,70-0,150-112,5-17	38,7	26517	16,1	3,50	5,77	36,1	148,6	28275	28825	0,09
0,70-0,150-112,5-18	38,7	18623	19,8	3,50	8,79	47,7	160,2	21725	22061	0,18
0,70-0,150-112,5-19	38,7	15806	21,0	3,35	10,00	51,2	163,7	19225	19633	0,24
0,70-0,150-112,5-20	38,7	13632	20,1	2,99	10,00	50,8	163,3	17115	17542	0,29
0,70-0,150-112,5-21	38,7									
0,70-0,150-112,5-22	38,7	12154	19,6	2,78	10,00	50,5	163,0	15645	16111	0,33
0,70-0,150-112,5-23	38,7	11030	19,1	2,51	10,00	50,7	163,2	14175	15060	0,37
0,70-0,150-112,5-24	38,7	12154	19,6	2,79	10,00	50,4	162,9	15685	16108	0,33
0,70-0,150-112,5-25	38,7	13265	20,0	2,94	10,00	50,8	163,3	16735	17193	0,30
0,70-0,150-112,5-26	38,7	15232	20,1	3,12	10,00	49,5	162,0	17975	18962	0,24
0,70-0,150-112,5-27	38,7	16519	21,3	3,45	10,00	50,7	163,2	19735	20276	0,23
0,70-0,150-112,5-28	38,7	18623	20,8	3,50	8,75	49,7	162,2	21765	22202	0,19
0,70-0,150-112,5-29	38,7	12916	23,2	3,50	7,55	54,3	166,8	16275	17046	0,32
0,70-0,150-112,5-30	38,7	13350	22,8	3,50	8,63	53,5	166,0	17015	17421	0,30
0,70-0,150-112,5-31	38,7	13784	23,4	3,46	10,00	55,4	167,9	17195	17993	0,31
0,70-0,150-112,5-32	38,7	14941	17,3	2,69	10,00	44,6	157,1	17665	18351	0,23

Protótipo	$l/d_p$	$M_{ro}$ [kN.cm]	$\delta$ [cm]	$-\varepsilon_c$ [%o]	$\varepsilon_s$ [%o]	$\Delta f_{ps}$ [kN/cm <sup>2</sup> ]	$f_{ps}$ [kN/cm <sup>2</sup> ]	$M_{res}$ (numerico) [kN.cm]	$M_{res}$ (analit.) [kN.cm]	$\Delta M_r/M_{ro}$
0,70-0,275-112,5-REF	38,7	24556	14,9	3,50	5,38	33,7	146,2	28075	28496	0,16
0,70-0,275-112,5-01	38,7	24556	14,4	3,50	5,43	31,8	144,3	27945	28283	0,15
0,70-0,275-112,5-02	38,7	24556	14,6	3,50	5,41	32,6	145,1	27985	28369	0,16
0,70-0,275-112,5-03	38,7	24556	14,6	3,50	5,38	32,9	145,4	28085	28404	0,16
0,70-0,275-112,5-04	38,7	24556	15,1	3,50	5,35	34,2	146,7	28195	28546	0,16
0,70-0,275-112,5-05	38,7	24556	14,7	3,50	5,32	34,8	147,3	28295	28610	0,17
0,70-0,275-112,5-06	38,7	24556	15,7	3,50	5,29	35,8	148,3	28375	28723	0,17
0,70-0,275-112,5-07	38,7	20065	16,2	3,50	3,43	37,9	150,4	23855	24217	0,21
0,70-0,275-112,5-08	38,7	21435	15,7	3,50	3,97	36,6	149,1	25195	25533	0,19
0,70-0,275-112,5-09	38,7	22778	15,1	3,50	4,58	34,3	146,8	26285	26703	0,17
0,70-0,275-112,5-10	38,7	26206	14,6	3,50	6,22	32,7	145,2	29685	30081	0,15
0,70-0,275-112,5-11	38,7									
0,70-0,275-112,5-12	38,7	30664	12,1	3,50	3,31	24,1	136,6	34685	34234	0,12
0,70-0,275-112,5-13	38,7	26986	13,6	3,50	4,47	29,5	142,0	26995	30837	0,14
0,70-0,275-112,5-14	38,7	20848	17,5	3,50	7,21	41,8	154,3	24275	24741	0,19
0,70-0,275-112,5-15	38,7	19618	18,7	3,50	8,01	44,9	157,4	22985	23422	0,19
0,70-0,275-112,5-16	38,7	19000	18,7	3,50	8,58	46,9	159,4	22035	22767	0,20
0,70-0,275-112,5-17	38,7									
0,70-0,275-112,5-18	38,7	31142	13,2	3,50	3,80	26,5	139,0	33555	33880	0,09
0,70-0,275-112,5-19	38,7	26829	14,4	3,50	4,82	31,4	143,9	29985	30354	0,13
0,70-0,275-112,5-20	38,7	23390	15,1	3,50	5,65	34,4	146,9	27135	27488	0,18
0,70-0,275-112,5-21	38,7	22204	15,4	3,50	6,12	35,3	147,8	26165	26489	0,19
0,70-0,275-112,5-22	38,7	20999	15,8	3,50	6,60	37,0	149,5	25045	25568	0,22
0,70-0,275-112,5-23	38,7	19155	16,7	3,50	7,10	40,2	152,7	23805	24247	0,27
0,70-0,275-112,5-24	38,7	20999	16,2	3,50	6,66	38,5	151,0	24965	25744	0,23
0,70-0,275-112,5-25	38,7	22800	15,3	3,50	5,87	35,3	147,8	26685	27042	0,19
0,70-0,275-112,5-26	38,7	25929	14,8	3,50	5,04	32,9	145,4	29265	29682	0,14
0,70-0,275-112,5-27	38,7	27937	14,5	3,50	4,50	31,5	144,0	31005	31400	0,12
0,70-0,275-112,5-28	38,7									
0,70-0,275-112,5-29	38,7	21904	15,1	3,50	2,81	34,5	147,0	25605	25923	0,18
0,70-0,275-112,5-30	38,7	22700	15,1	3,50	3,57	34,4	146,9	26365	26709	0,18
0,70-0,275-112,5-31	38,7	23495	15,0	3,50	4,34	34,1	146,6	27115	27478	0,17
0,70-0,275-112,5-32	38,7	25617	14,9	3,50	6,42	33,5	146,0	29105	29530	0,15

Protótipo	$l/d_p$	$M_{ro}$ [kN.cm]	$\delta$ [cm]	$-\varepsilon_c$ [%o]	$\varepsilon_s$ [%o]	$\Delta f_{ps}$ [kN/cm <sup>2</sup> ]	$f_{ps}$ [kN/cm <sup>2</sup> ]	$M_{res}$ (numerico) [kN.cm]	$M_{res}$ (analit.) [kN.cm]	$\Delta M_r/M_{ro}$
0,30-0,150-132,3-REF	38,7	15792	20,5	2,75	10,00	39,0	171,3	16585	16942	0,07
0,30-0,150-132,3-01	38,7	15792	19,7	2,78	10,00	38,2	170,5	16795	16916	0,07
0,30-0,150-132,3-02	38,7	15792	19,9	2,76	10,00	38,4	170,7	16615	16924	0,07
0,30-0,150-132,3-03	38,7	15792	20,2	2,79	10,00	38,7	171,0	16865	16933	0,07
0,30-0,150-132,3-04	38,7	15792	20,8	2,72	10,00	39,4	171,7	16535	16953	0,07
0,30-0,150-132,3-05	38,7	15792	21,3	2,73	10,00	40,0	172,3	16575	16969	0,07
0,30-0,150-132,3-06	38,7	15792	22,1	2,72	10,00	40,7	173,0	16565	16990	0,08
0,30-0,150-132,3-07	38,7									
0,30-0,150-132,3-08	38,7	11556	25,6	2,96	10,00	42,7	175,0	12375	12665	0,10
0,30-0,150-132,3-09	38,7	13341	23,2	2,85	10,00	41,3	173,6	14235	14480	0,09
0,30-0,150-132,3-10	38,7	18451	18,5	2,67	10,00	36,8	169,1	19415	19602	0,06
0,30-0,150-132,3-11	38,7	24291	16,8	3,50	6,52	31,7	164,0	26125	26922	0,11
0,30-0,150-132,3-12	38,7	18664	21,5	3,33	10,00	39,1	171,4	19895	20574	0,10
0,30-0,150-132,3-13	38,7	17336	21,2	3,11	10,00	39,2	171,5	18705	18906	0,09
0,30-0,150-132,3-14	38,7	15293	20,5	2,68	10,00	39,2	171,5	16225	16309	0,07
0,30-0,150-132,3-15	38,7	14894	20,3	2,57	10,00	39,2	171,5	15635	15800	0,06
0,30-0,150-132,3-16	38,7	14702	20,2	2,53	10,00	39,2	171,5	15405	15554	0,06
0,30-0,150-132,3-17	38,7	41929	12,0	3,50	2,39	15,7	148,0	42095	42204	0,01
0,30-0,150-132,3-18	38,7									
0,30-0,150-132,3-19	38,7	19252	21,8	3,30	10,00	39,3	171,6	20095	20357	0,06
0,30-0,150-132,3-20	38,7	14011	20,0	2,51	10,00	39,0	171,3	15035	15187	0,08
0,30-0,150-132,3-21	38,7	12194	19,3	2,28	10,00	38,8	171,1	13235	13390	0,10
0,30-0,150-132,3-22	38,7	10343	18,5	2,07	10,00	38,2	170,5	11365	11547	0,12
0,30-0,150-132,3-23	38,7									
0,30-0,150-132,3-24	38,7									
0,30-0,150-132,3-25	38,7	13107	19,3	2,32	10,00	38,7	171,0	13695	14287	0,09
0,30-0,150-132,3-26	38,7	17885	21,6	3,10	10,00	39,5	171,8	18935	19017	0,06
0,30-0,150-132,3-27	38,7	20929								
0,30-0,150-132,3-28	38,7	25754	19,8	3,50	6,99	36,3	168,6	26545	26678	0,04
0,30-0,150-132,3-29	38,7									
0,30-0,150-132,3-30	38,7	13318	26,6	3,35	10,00	42,9	175,2	14125	14580	0,09
0,30-0,150-132,3-31	38,7	14378	23,6	3,04	10,00	41,4	173,7	15175	15598	0,08
0,30-0,150-132,3-32	38,7	17206	18,2	2,51	10,00	36,8	169,1	18155	18291	0,06

Protótipo	$l/d_p$	$M_{ro}$ [kN.cm]	$\delta$ [cm]	- $\varepsilon_c$ [%o]	$\varepsilon_s$ [%o]	$\Delta f_{ps}$ [kN/cm <sup>2</sup> ]	$f_{ps}$ [kN/cm <sup>2</sup> ]	$M_{res}$ (numerico) [kN.cm]	$M_{res}$ (analit.) [kN.cm]	$\Delta M_r/M_{ro}$
0,30-0,275-132,3-REF	38,7	27014	16,6	3,50	6,02	30,5	162,8	28155	28388	0,05
0,30-0,275-132,3-01	38,7	27014	15,3	3,50	6,01	27,8	160,1	28195	28268	0,05
0,30-0,275-132,3-02	38,7	27014	15,8	3,50	6,06	29,0	161,3	28095	28318	0,05
0,30-0,275-132,3-03	38,7	27014	16,1	3,50	6,03	29,7	162,0	28135	28351	0,05
0,30-0,275-132,3-04	38,7	27014	16,8	3,50	5,99	31,1	163,4	28205	28410	0,05
0,30-0,275-132,3-05	38,7	27014	17,4	3,50	6,01	32,2	164,5	28205	28459	0,05
0,30-0,275-132,3-06	38,7	27014	18,2	3,50	5,96	33,5	165,8	28275	28520	0,06
0,30-0,275-132,3-07	38,7	16897	20,8	3,50	5,05	37,8	170,1	18075	18360	0,09
0,30-0,275-132,3-08	38,7	19790	19,3	3,50	5,38	35,7	168,0	20975	21250	0,07
0,30-0,275-132,3-09	38,7	22812	17,8	3,50	5,75	32,8	165,1	23755	24220	0,06
0,30-0,275-132,3-10	38,7	31452	15,4	3,50	6,41	27,9	160,2	32495	32758	0,04
0,30-0,275-132,3-11	38,7									
0,30-0,275-132,3-12	38,7	31288	14,1	3,50	4,29	24,6	156,9	32595	33017	0,06
0,30-0,275-132,3-13	38,7	29341	15,1	3,50	5,02	27,2	159,5	30615	30956	0,06
0,30-0,275-132,3-14	38,7	26231	17,5	3,50	6,70	32,5	164,8	26895	27526	0,05
0,30-0,275-132,3-15	38,7									
0,30-0,275-132,3-16	38,7									
0,30-0,275-132,3-17	38,7									
0,30-0,275-132,3-18	38,7									
0,30-0,275-132,3-19	38,7	32342	14,4	3,50	4,39	24,9	157,2	33105	33352	0,03
0,30-0,275-132,3-20	38,7	24175	18,1	3,50	7,18	33,7	166,0	25435	25766	0,07
0,30-0,275-132,3-21	38,7	21218	19,9	3,50	8,55	36,7	169,0	22705	23031	0,09
0,30-0,275-132,3-22	38,7	18146	21,4	3,50	3,33	39,1	171,4	19705	20162	0,11
0,30-0,275-132,3-23	38,7	13318	19,4	3,50	2,61	38,4	170,7	15125	15431	0,16
0,30-0,275-132,3-24	38,7	18146	20,9	3,50	3,33	38,5	170,8	19695	20135	0,11
0,30-0,275-132,3-25	38,7	22711	18,2	3,50	7,91	33,7	166,0	24045	24339	0,07
0,30-0,275-132,3-26	38,7	30267	15,6	3,50	4,98	27,9	160,2	31215	31448	0,04
0,30-0,275-132,3-27	38,7	34831	14,5	3,50	3,69	24,5	156,8	35575	35768	0,03
0,30-0,275-132,3-28	38,7									
0,30-0,275-132,3-29	38,7	20531	17,5	3,50	3,28	32,5	164,8	21735	21992	0,07
0,30-0,275-132,3-30	38,7	22476	17,2	3,50	4,13	31,9	164,2	23605	23908	0,06
0,30-0,275-132,3-31	38,7	24421	16,9	3,50	4,95	31,3	163,6	25545	25826	0,06
0,30-0,275-132,3-32	38,7	29607	16,3	3,50	7,13	30,0	162,3	30715	30958	0,05

Protótipo	$l/d_p$	$M_{ro}$ [kN.cm]	$\delta$ [cm]	$-\varepsilon_c$ [%o]	$\varepsilon_s$ [%o]	$\Delta f_{ps}$ [kN/cm <sup>2</sup> ]	$f_{ps}$ [kN/cm <sup>2</sup> ]	$M_{res}$ (numerico) [kN.cm]	$M_{res}$ (analit.) [kN.cm]	$\Delta M_r/M_{ro}$
0,70-0,150-132,3-REF	38,7	14357	19,9	2,86	10,00	38,6	170,9	16445	16887	0,18
0,70-0,150-132,3-01	38,7	14357	19,8	2,87	10,00	38,4	170,7	16525	16874	0,18
0,70-0,150-132,3-02	38,7	14357	19,9	2,86	10,00	38,5	170,8	16485	16882	0,18
0,70-0,150-132,3-03	38,7	14357	19,9	2,86	10,00	38,6	170,9	16445	16886	0,18
0,70-0,150-132,3-04	38,7	14357	20,0	2,86	10,00	38,7	171,0	16505	16890	0,18
0,70-0,150-132,3-05	38,7									
0,70-0,150-132,3-06	38,7									
0,70-0,150-132,3-07	38,7	11748	27,0	3,50	9,54	42,8	175,1	13845	14325	0,22
0,70-0,150-132,3-08	38,7	12576	25,4	3,29	10,00	42,5	174,8	14525	15212	0,21
0,70-0,150-132,3-09	38,7	13357	22,7	3,05	10,00	40,9	173,2	15185	15963	0,20
0,70-0,150-132,3-10	38,7	15340	17,7	2,62	10,00	36,3	168,6	17295	17776	0,16
0,70-0,150-132,3-11	38,7	31747	11,1	3,50	2,89	19,1	151,4	35565	34582	0,09
0,70-0,150-132,3-12	38,7	20544	17,6	3,50	7,57	33,9	166,2	23325	23986	0,17
0,70-0,150-132,3-13	38,7									
0,70-0,150-132,3-14	38,7	13205	19,4	2,59	10,00	38,6	170,9	14985	15446	0,17
0,70-0,150-132,3-15	38,7	12337	19,1	2,38	10,00	38,6	170,9	13685	14363	0,16
0,70-0,150-132,3-16	38,7	11890	19,1	2,37	10,00	38,6	170,9	13535	13800	0,16
0,70-0,150-132,3-17	38,7	26508	16,5	3,50	6,02	30,5	162,8	27885	28176	0,06
0,70-0,150-132,3-18	38,7									
0,70-0,150-132,3-19	38,7	15800	20,5	3,06	10,00	38,8	171,1	17845	18293	0,16
0,70-0,150-132,3-20	38,7	13627	19,6	2,77	10,00	38,4	170,7	15795	16168	0,19
0,70-0,150-132,3-21	38,7									
0,70-0,150-132,3-22	38,7									
0,70-0,150-132,3-23	38,7	11026	18,9	2,38	10,00	38,5	170,8	13205	13656	0,24
0,70-0,150-132,3-24	38,7									
0,70-0,150-132,3-25	38,7	13260	19,6	2,70	10,00	38,6	170,9	15365	15823	0,19
0,70-0,150-132,3-26	38,7									
0,70-0,150-132,3-27	38,7	16513	21,4	3,19	10,00	39,4	171,7	18585	19019	0,15
0,70-0,150-132,3-28	38,7	18617	21,6	3,50	9,52	38,8	171,1	20575	21013	0,13
0,70-0,150-132,3-29	38,7	12912	24,9	3,50	8,44	41,7	174,0	15065	15636	0,21
0,70-0,150-132,3-30	38,7	13345	24,8	3,50	9,81	41,5	173,8	15545	16062	0,20
0,70-0,150-132,3-31	38,7	13779	23,0	3,24	10,00	40,9	173,2	16005	16456	0,19
0,70-0,150-132,3-32	38,7	14936	17,7	2,58	10,00	36,3	168,6	16955	17318	0,16

Protótipo	$l/d_p$	$M_{ro}$ [kN.cm]	$\delta$ [cm]	$-\varepsilon_c$ [%o]	$\varepsilon_s$ [%o]	$\Delta f_{ps}$ [kN/cm <sup>2</sup> ]	$f_{ps}$ [kN/cm <sup>2</sup> ]	$M_{res}$ (numerico) [kN.cm]	$M_{res}$ (analit.) [kN.cm]	$\Delta M_r/M_{ro}$
0,70-0,275-132,3-REF	38,7	24548	15,6	3,50	5,84	29,6	161,9	26975	27516	0,12
0,70-0,275-132,3-01	38,7	24548	14,9	3,50	5,86	27,9	160,2	26945	27357	0,11
0,70-0,275-132,3-02	38,7	24548	15,2	3,50	5,86	28,8	161,1	26935	27439	0,12
0,70-0,275-132,3-03	38,7	24548	15,4	3,50	5,85	29,2	161,5	26965	27476	0,12
0,70-0,275-132,3-04	38,7	24548	15,7	3,50	5,81	29,8	162,1	27035	27539	0,12
0,70-0,275-132,3-05	38,7	24548	15,8	3,50	5,77	29,8	162,1	27035	27540	0,12
0,70-0,275-132,3-06	38,7	24548	16,4	3,50	5,87	31,2	163,5	26985	27669	0,13
0,70-0,275-132,3-07	38,7	20028	17,2	3,50	3,93	32,9	165,2	22465	23115	0,15
0,70-0,275-132,3-08	38,7	21470	16,7	3,50	4,52	32,0	164,3	23955	24555	0,14
0,70-0,275-132,3-09	38,7	22812	16,0	3,50	5,13	30,2	162,5	25205	25784	0,13
0,70-0,275-132,3-10	38,7	26231	15,1	3,50	6,65	28,4	160,7	28555	29127	0,11
0,70-0,275-132,3-11	38,7									
0,70-0,275-132,3-12	38,7	33622	11,2	3,50	2,71	18,5	150,8	36645	36155	0,08
0,70-0,275-132,3-13	38,7	29608	12,9	3,50	3,93	23,1	155,4	32195	32454	0,10
0,70-0,275-132,3-14	38,7	22726	17,2	3,50	7,00	32,8	165,1	24745	25698	0,13
0,70-0,275-132,3-15	38,7	21325	18,1	3,50	7,63	34,4	166,7	23645	24177	0,13
0,70-0,275-132,3-16	38,7	20619	18,7	3,50	8,08	35,4	167,7	22865	23406	0,14
0,70-0,275-132,3-17	38,7									
0,70-0,275-132,3-18	38,7	31132	13,7	3,50	4,19	24,1	156,4	32385	33269	0,07
0,70-0,275-132,3-19	38,7	26820	14,9	3,50	5,20	27,7	160,0	28945	29488	0,10
0,70-0,275-132,3-20	38,7	23382	16,3	3,50	6,41	31,1	163,4	25855	26566	0,14
0,70-0,275-132,3-21	38,7	22197	16,4	3,50	6,88	31,2	163,5	24675	25453	0,15
0,70-0,275-132,3-22	38,7	20992	17,0	3,50	7,21	33,0	165,3	23865	24495	0,17
0,70-0,275-132,3-23	38,7	19148	17,9	3,50	8,01	34,7	167,0	22285	22931	0,20
0,70-0,275-132,3-24	38,7	20992	17,0	3,50	7,22	32,8	165,1	23835	24477	0,17
0,70-0,275-132,3-25	38,7									
0,70-0,275-132,3-26	38,7	25921	15,3	3,50	5,42	28,7	161,0	28195	28735	0,11
0,70-0,275-132,3-27	38,7	27927	15,1	3,50	4,89	27,8	160,1	29975	30553	0,09
0,70-0,275-132,3-28	38,7									
0,70-0,275-132,3-29	38,7	21897	15,8	3,50	3,18	30,2	162,5	24325	24925	0,14
0,70-0,275-132,3-30	38,7	22692	15,7	3,50	3,93	29,9	162,2	25155	25692	0,13
0,70-0,275-132,3-31	38,7	23487	15,5	3,50	4,81	29,2	161,5	25865	26423	0,12
0,70-0,275-132,3-32	38,7	25608	15,5	3,50	6,91	29,3	161,6	28025	28553	0,12

Protótipo	$l/d_p$	$M_{ro}$ [kN.cm]	$\delta$ [cm]	$-\varepsilon_c$ [%o]	$\varepsilon_s$ [%o]	$\Delta f_{ps}$ [kN/cm <sup>2</sup> ]	$f_{ps}$ [kN/cm <sup>2</sup> ]	$M_{res}$ (numerico) [kN.cm]	$M_{res}$ (analit.) [kN.cm]	$\Delta M_r/M_{ro}$
0,30-0,150-152,0-REF	38,7	15842	20,5	2,67	10,00	23,5	175,5	16205	16448	0,04
0,30-0,150-152,0-01	38,7	15842	19,6	2,69	10,00	23,1	175,1	16285	16438	0,04
0,30-0,150-152,0-02	38,7	15842	19,9	2,68	10,00	23,2	175,2	16255	16442	0,04
0,30-0,150-152,0-03	38,7	15842	20,2	2,69	10,00	23,4	175,4	16285	16445	0,04
0,30-0,150-152,0-04	38,7	15842	20,8	2,70	10,00	23,6	175,6	16315	16452	0,04
0,30-0,150-152,0-05	38,7	15842	21,2	2,66	10,00	23,9	175,9	16105	16457	0,04
0,30-0,150-152,0-06	38,7	15842	22,1	2,68	10,00	24,2	176,2	16235	16466	0,04
0,30-0,150-152,0-07	38,7									
0,30-0,150-152,0-08	38,7									
0,30-0,150-152,0-09	38,7	13364	23,0	2,76	10,00	24,4	176,4	13725	13953	0,04
0,30-0,150-152,0-10	38,7	18373	18,3	2,55	10,00	22,5	174,5	18605	18985	0,03
0,30-0,150-152,0-11	38,7	25974	16,0	3,50	5,99	19,5	171,5	27075	27554	0,06
0,30-0,150-152,0-12	38,7									
0,30-0,150-152,0-13	38,7	18166	20,4	3,13	10,00	23,5	175,5	18835	19099	0,05
0,30-0,150-152,0-14	38,7	16746	20,8	2,83	10,00	23,5	175,5	17125	17482	0,04
0,30-0,150-152,0-15	38,7	15403	20,3	2,58	10,00	23,5	175,5	15715	15946	0,04
0,30-0,150-152,0-16	38,7	15180	20,2	2,53	10,00	23,5	175,5	15415	15691	0,03
0,30-0,150-152,0-17	38,7	42030	12,0	3,50	2,40	11,4	163,4	42085	42204	0,00
0,30-0,150-152,0-18	38,7	25829	18,7	3,50	7,50	21,5	173,5	25655	26307	0,02
0,30-0,150-152,0-19	38,7	19311	21,6	3,21	10,00	23,6	175,6	19705	19891	0,03
0,30-0,150-152,0-20	38,7	14055	19,6	2,38	10,00	23,3	175,3	14215	14670	0,04
0,30-0,150-152,0-21	38,7	12233	18,9	2,13	10,00	23,2	175,2	12215	12860	0,05
0,30-0,150-152,0-22	38,7	10376	18,3	2,00	10,00	23,1	175,1	10835	11013	0,06
0,30-0,150-152,0-23	38,7									
0,30-0,150-152,0-24	38,7									
0,30-0,150-152,0-25	38,7	13149	19,2	2,28	10,00	23,3	175,3	13435	13770	0,05
0,30-0,150-152,0-26	38,7	17940	21,5	2,99	10,00	23,7	175,7	18325	18535	0,03
0,30-0,150-152,0-27	38,7	20993	22,4	3,28	10,00	23,8	175,8	20475	21566	0,03
0,30-0,150-152,0-28	38,7	25830	20,2	3,50	7,23	22,5	174,5	26075	26330	0,02
0,30-0,150-152,0-29	38,7	12295	28,8	3,50	9,41	25,5	177,5	12655	12952	0,05
0,30-0,150-152,0-30	38,7	13359	26,5	3,27	10,00	25,1	177,1	13705	14007	0,05
0,30-0,150-152,0-31	38,7	14423	23,6	2,98	10,00	24,5	176,5	14825	15054	0,04
0,30-0,150-152,0-32	38,7	17260	18,1	2,45	10,00	22,5	174,5	17645	17841	0,03

Protótipo	$l/d_p$	$M_{ro}$ [kN.cm]	$\delta$ [cm]	$-\varepsilon_c$ [%o]	$\varepsilon_s$ [%o]	$\Delta f_{ps}$ [kN/cm <sup>2</sup> ]	$f_{ps}$ [kN/cm <sup>2</sup> ]	$M_{res}$ (numerico) [kN.cm]	$M_{res}$ (analit.) [kN.cm]	$\Delta M_r/M_{ro}$
0,30-0,275-152,0-REF	38,7	27041	17,0	3,50	6,34	20,1	172,1	27575	27833	0,03
0,30-0,275-152,0-01	38,7	27041	15,7	3,50	6,27	18,7	170,7	27705	27779	0,03
0,30-0,275-152,0-02	38,7	27041	16,2	3,50	6,33	19,3	171,3	27585	27801	0,03
0,30-0,275-152,0-03	38,7	27041	16,6	3,50	6,35	19,7	171,7	27555	27818	0,03
0,30-0,275-152,0-04	38,7	27041	17,3	3,50	6,33	20,4	172,4	27605	27844	0,03
0,30-0,275-152,0-05	38,7	27041	17,9	3,50	6,34	20,8	172,8	27585	27862	0,03
0,30-0,275-152,0-06	38,7	27041	18,7	3,50	6,34	21,5	173,5	27605	27887	0,03
0,30-0,275-152,0-07	38,7	16892	21,0	3,50	5,37	23,0	175,0	17225	17670	0,05
0,30-0,275-152,0-08	38,7	19772	19,9	3,50	5,70	22,4	174,4	20285	20574	0,04
0,30-0,275-152,0-09	38,7	22821	18,7	3,50	6,17	21,6	173,6	22905	23632	0,04
0,30-0,275-152,0-10	38,7	31483	15,7	3,50	6,60	18,6	170,6	32025	32246	0,02
0,30-0,275-152,0-11	38,7									
0,30-0,275-152,0-12	38,7	32698	13,7	3,50	4,02	16,1	168,1	33385	33797	0,03
0,30-0,275-152,0-13	38,7	30528	14,8	3,50	4,81	17,7	169,7	31155	31551	0,03
0,30-0,275-152,0-14	38,7	28415	15,9	3,50	5,55	18,9	170,9	31345	29304	0,03
0,30-0,275-152,0-15	38,7	26365	17,7	3,50	6,85	20,7	172,7	26605	27102	0,03
0,30-0,275-152,0-16	38,7	26020	17,9	3,50	6,93	20,8	172,8	26375	26720	0,03
0,30-0,275-152,0-17	38,7									
0,30-0,275-152,0-18	38,7									
0,30-0,275-152,0-19	38,7	32373	14,6	3,50	4,52	17,0	169,0	32745	32978	0,02
0,30-0,275-152,0-20	38,7	24199	18,7	3,50	7,62	21,6	173,6	24745	25093	0,04
0,30-0,275-152,0-21	38,7									
0,30-0,275-152,0-22	38,7	18165	21,2	3,16	10,00	23,5	175,5	18855	19229	0,06
0,30-0,275-152,0-23	38,7	13332	19,1	2,45	10,00	23,2	175,2	14175	14451	0,08
0,30-0,275-152,0-24	38,7	18165	20,7	3,18	10,00	23,2	175,2	18935	19218	0,06
0,30-0,275-152,0-25	38,7	22735	19,2	3,50	8,27	22,0	174,0	23415	23666	0,04
0,30-0,275-152,0-26	38,7	30297	15,8	3,50	5,15	18,6	170,6	30765	30988	0,02
0,30-0,275-152,0-27	38,7	34864	14,7	3,50	3,82	16,8	168,8	35195	35429	0,02
0,30-0,275-152,0-28	38,7									
0,30-0,275-152,0-29	38,7	20551	18,1	3,50	3,57	21,1	173,1	21015	21381	0,04
0,30-0,275-152,0-30	38,7	22498	17,7	3,50	4,38	20,7	172,7	23025	23313	0,04
0,30-0,275-152,0-31	38,7	24445	17,4	3,50	5,23	20,4	172,4	24955	25249	0,03
0,30-0,275-152,0-32	38,7	29637	16,8	3,50	7,50	19,9	171,9	30105	30420	0,03

Protótipo	$l/d_p$	$M_{ro}$ [kN.cm]	$\delta$ [cm]	$-\varepsilon_c$ [%o]	$\varepsilon_s$ [%o]	$\Delta f_{ps}$ [kN/cm <sup>2</sup> ]	$f_{ps}$ [kN/cm <sup>2</sup> ]	$M_{res}$ (numerico) [kN.cm]	$M_{res}$ (analit.) [kN.cm]	$\Delta M_r/M_{ro}$
0,70-0,150-152,0-REF	38,7	14331	19,1	2,61	10,00	23,1	175,1	15275	15657	0,09
0,70-0,150-152,0-01	38,7	14331	19,5	2,67	10,00	23,2	175,2	15375	15663	0,09
0,70-0,150-152,0-02	38,7	14331	19,5	2,64	10,00	23,2	175,2	15225	15666	0,09
0,70-0,150-152,0-03	38,7	14331	19,6	2,66	10,00	23,3	175,3	15315	15667	0,09
0,70-0,150-152,0-04	38,7	14331	19,6	2,66	10,00	23,3	175,3	15305	15669	0,09
0,70-0,150-152,0-05	38,7	14331	19,3	2,47	10,00	23,3	175,3	14425	15670	0,09
0,70-0,150-152,0-06	38,7	14331	19,5	2,51	10,00	23,4	175,4	14595	15672	0,09
0,70-0,150-152,0-07	38,7									
0,70-0,150-152,0-08	38,7	12547	24,2	3,05	10,00	24,6	176,6	13345	13884	0,11
0,70-0,150-152,0-09	38,7	13326	21,9	2,82	10,00	24,1	176,1	14245	14674	0,10
0,70-0,150-152,0-10	38,7	15310	17,4	2,46	10,00	22,3	174,3	16145	16621	0,09
0,70-0,150-152,0-11	38,7									
0,70-0,150-152,0-12	38,7	22584	17,1	3,50	7,22	20,9	172,9	23955	24654	0,09
0,70-0,150-152,0-13	38,7	19417	19,5	3,50	8,95	22,5	174,5	20845	21312	0,10
0,70-0,150-152,0-14	38,7	16337	20,3	3,03	10,00	23,3	175,3	17455	17933	0,10
0,70-0,150-152,0-15	38,7	13345	19,1	2,44	10,00	23,2	175,2	14085	14549	0,09
0,70-0,150-152,0-16	38,7	12842	19,1	2,38	10,00	23,3	175,3	13575	13981	0,09
0,70-0,150-152,0-17	38,7	26462	17,1	3,50	6,46	20,2	172,2	27075	27432	0,04
0,70-0,150-152,0-18	38,7	18583	21,3	3,31	10,00	23,5	175,5	19455	19855	0,07
0,70-0,150-152,0-19	38,7	15771	20,1	2,84	10,00	23,3	175,3	16515	17087	0,08
0,70-0,150-152,0-20	38,7	13602	19,3	2,53	10,00	23,3	175,3	14475	14951	0,10
0,70-0,150-152,0-21	38,7	12867	18,8	2,29	10,00	23,2	175,2	12975	14227	0,11
0,70-0,150-152,0-22	38,7	12126	18,6	2,29	10,00	23,2	175,2	12895	13495	0,11
0,70-0,150-152,0-23	38,7									
0,70-0,150-152,0-24	38,7									
0,70-0,150-152,0-25	38,7	13235	19,2	2,49	10,00	23,3	175,3	14205	14589	0,10
0,70-0,150-152,0-26	38,7	15198	19,8	2,67	10,00	23,3	175,3	15485	16524	0,09
0,70-0,150-152,0-27	38,7	16483	21,0	2,97	10,00	23,6	175,6	17375	17802	0,08
0,70-0,150-152,0-28	38,7	18583	22,3	3,29	10,00	23,9	175,9	19365	19878	0,07
0,70-0,150-152,0-29	38,7	12888	27,7	3,50	9,54	25,4	177,4	13815	14343	0,11
0,70-0,150-152,0-30	38,7	13321	25,3	3,24	10,00	24,9	176,9	14255	14751	0,11
0,70-0,150-152,0-31	38,7	13754	22,5	2,95	10,00	24,2	176,2	14675	15145	0,10
0,70-0,150-152,0-32	38,7	14908	17,4	2,24	10,00	22,3	174,3	15815	16190	0,09

Protótipo	$l/d_p$	$M_{ro}$ [kN.cm]	$\delta$ [cm]	$-\varepsilon_c$ [%o]	$\varepsilon_s$ [%o]	$\Delta f_{ps}$ [kN/cm <sup>2</sup> ]	$f_{ps}$ [kN/cm <sup>2</sup> ]	$M_{res}$ (numerico) [kN.cm]	$M_{res}$ (analit.) [kN.cm]	$\Delta M_r/M_{ro}$
0,70-0,275-152,0-REF	38,7	24527	16,2	3,50	6,48	19,7	171,7	25825	26269	0,07
0,70-0,275-152,0-01	38,7	24527	16,0	3,50	6,52	19,5	171,5	25705	26256	0,07
0,70-0,275-152,0-02	38,7	24527	16,2	3,50	6,55	19,9	171,9	25635	26284	0,07
0,70-0,275-152,0-03	38,7	24527	16,3	3,50	6,45	19,9	171,9	25845	26289	0,07
0,70-0,275-152,0-04	38,7	24527	16,7	3,50	6,47	20,3	172,3	25855	26320	0,07
0,70-0,275-152,0-05	38,7	24527	16,7	3,50	6,48	20,2	172,2	25855	26315	0,07
0,70-0,275-152,0-06	38,7	24527	17,3	3,50	6,42	20,8	172,8	25935	26362	0,07
0,70-0,275-152,0-07	38,7	20048	18,4	3,50	4,45	21,7	173,7	21185	21851	0,09
0,70-0,275-152,0-08	38,7	21456	17,7	3,50	5,12	21,3	173,3	22505	23262	0,08
0,70-0,275-152,0-09	38,7	22789	16,7	3,50	5,62	20,2	172,2	24135	24543	0,08
0,70-0,275-152,0-10	38,7	26223	15,9	3,50	7,21	19,5	171,5	27615	27981	0,07
0,70-0,275-152,0-11	38,7									
0,70-0,275-152,0-12	38,7									
0,70-0,275-152,0-13	38,7	32060	12,2	3,50	3,42	14,7	166,7	33955	33777	0,05
0,70-0,275-152,0-14	38,7	27586	14,4	3,50	4,99	17,9	169,9	29235	29405	0,07
0,70-0,275-152,0-15	38,7	22981	17,6	3,50	7,28	21,1	173,1	24225	24694	0,07
0,70-0,275-152,0-16	38,7	22183	18,2	3,50	7,81	21,5	173,5	23365	23847	0,08
0,70-0,275-152,0-17	38,7									
0,70-0,275-152,0-18	38,7	31107	14,0	3,50	4,33	16,8	168,8	32025	32414	0,04
0,70-0,275-152,0-19	38,7	26798	15,3	3,50	5,50	18,8	170,8	28065	28396	0,06
0,70-0,275-152,0-20	38,7	23362	17,4	3,50	7,25	21,0	173,0	24165	25257	0,08
0,70-0,275-152,0-21	38,7	22178	17,5	3,50	7,37	21,1	173,1	23745	24118	0,09
0,70-0,275-152,0-22	38,7	20974	18,1	3,50	7,95	21,7	173,7	22635	23003	0,10
0,70-0,275-152,0-23	38,7	19131	19,1	3,50	8,81	22,3	174,3	20805	21284	0,11
0,70-0,275-152,0-24	38,7	20974	17,9	3,50	7,97	21,5	173,5	22555	22986	0,10
0,70-0,275-152,0-25	38,7	22772	17,1	3,50	7,19	20,8	172,8	24135	24668	0,08
0,70-0,275-152,0-26	38,7	25899	16,0	3,50	5,88	19,5	171,5	27115	27586	0,07
0,70-0,275-152,0-27	38,7	27904	15,6	3,50	5,22	19,0	171,0	29085	29482	0,06
0,70-0,275-152,0-28	38,7									
0,70-0,275-152,0-29	38,7	21879	16,9	3,50	3,74	20,6	172,6	22905	23701	0,08
0,70-0,275-152,0-30	38,7	22673	16,4	3,50	4,47	20,0	172,0	24005	24445	0,08
0,70-0,275-152,0-31	38,7	23467	16,8	3,50	5,49	20,4	172,4	24425	25274	0,08
0,70-0,275-152,0-32	38,7	25586	16,4	3,50	7,61	20,0	172,0	26845	27358	0,07

Protótipo	$l/d_p$	$M_{ro}$ [kN.cm]	$\delta$ [cm]	$-\varepsilon_c$ [%o]	$\varepsilon_s$ [%o]	$\Delta f_{ps}$ [kN/cm <sup>2</sup> ]	$f_{ps}$ [kN/cm <sup>2</sup> ]	$M_{res}$ (numerico) [kN.cm]	$M_{res}$ (analit.) [kN.cm]	$\Delta M_r/M_{ro}$
0,30-0,150-92,7-REF	55,7	15800	43,3	2,94	10,00	59,3	152,0	17782	18270	0,16
0,30-0,150-92,7-01	55,7	15800	41,6	2,40	10,00	57,1	149,8	17854	18179	0,15
0,30-0,150-92,7-02	55,7	15800	42,3	2,95	10,00	57,8	150,5	17869	18209	0,15
0,30-0,150-92,7-03	55,7	15800	42,7	2,95	10,00	58,5	151,2	17869	18235	0,15
0,30-0,150-92,7-04	55,7	15800	43,8	2,94	10,00	60,0	152,7	17825	18296	0,16
0,30-0,150-92,7-05	55,7	15800	45,0	3,02	10,00	61,5	154,2	18229	18359	0,16
0,30-0,150-92,7-06	55,7	15800	46,8	3,01	10,00	63,8	156,5	18229	18454	0,17
0,30-0,150-92,7-07	55,7									
0,30-0,150-92,7-08	55,7	11566	54,3	3,24	10,00	71,6	164,3	13822	14190	0,23
0,30-0,150-92,7-09	55,7	13294	48,8	3,08	10,00	66,2	158,9	15392	15865	0,19
0,30-0,150-92,7-10	55,7	18426	39,0	2,87	10,00	52,9	145,6	20561	20760	0,13
0,30-0,150-92,7-11	55,7	20806	37,6	3,50	7,48	46,6	139,3	24291	24892	0,20
0,30-0,150-92,7-12	55,7	16672	44,0	3,18	10,00	59,2	151,9	19150	19632	0,18
0,30-0,150-92,7-13	55,7	15716	43,2	2,91	10,00	59,4	152,1	17667	18138	0,15
0,30-0,150-92,7-14	55,7	14255	42,0	2,55	10,00	59,5	152,2	15593	15815	0,11
0,30-0,150-92,7-15	55,7	13972	41,9	2,49	10,00	59,6	152,3	15190	15362	0,10
0,30-0,150-92,7-16	55,7	13836	41,6	2,43	10,00	59,4	152,1	14845	15140	0,09
0,30-0,150-92,7-17	55,7									
0,30-0,150-92,7-18	55,7	25766	36,4	3,50	6,68	43,4	136,1	27185	27332	0,06
0,30-0,150-92,7-19	55,7									
0,30-0,150-92,7-20	55,7	14018	42,1	2,71	10,00	59,0	151,7	16184	16531	0,18
0,30-0,150-92,7-21	55,7	12200	40,5	2,43	10,00	58,3	151,0	14369	14741	0,21
0,30-0,150-92,7-22	55,7									
0,30-0,150-92,7-23	55,7									
0,30-0,150-92,7-24	55,7									
0,30-0,150-92,7-25	55,7	13113	40,9	2,56	10,00	58,1	150,8	15277	15615	0,19
0,30-0,150-92,7-26	55,7	17893	45,5	3,31	10,00	60,4	153,1	19971	20337	0,14
0,30-0,150-92,7-27	55,7	20939	44,0	3,50	8,79	56,7	149,4	22707	23139	0,11
0,30-0,150-92,7-28	55,7	25766	40,0	3,50	6,65	49,7	142,4	27243	27554	0,07
0,30-0,150-92,7-29	55,7									
0,30-0,150-92,7-30	55,7	13325	51,2	3,50	9,10	66,1	158,8	15795	16071	0,21
0,30-0,150-92,7-31	55,7	14385	50,1	3,36	10,00	66,5	159,2	16702	17147	0,19
0,30-0,150-92,7-32	55,7	17215	38,2	2,64	10,00	53,0	145,7	18992	19425	0,13

Protótipo	$l/d_p$	$M_{ro}$ [kN.cm]	$\delta$ [cm]	$-\varepsilon_c$ [%o]	$\varepsilon_s$ [%o]	$\Delta f_{ps}$ [kN/cm <sup>2</sup> ]	$f_{ps}$ [kN/cm <sup>2</sup> ]	$M_{res}$ (numerico) [kN.cm]	$M_{res}$ (analit.) [kN.cm]	$\Delta M_r/M_{ro}$
0,30-0,275-92,7-REF	55,7	27036	32,9	3,50	5,55	37,0	129,7	29129	29387	0,09
0,30-0,275-92,7-01	55,7	27036	30,5	3,50	5,56	32,7	125,4	29072	29122	0,08
0,30-0,275-92,7-02	55,7	27036	31,4	3,50	5,59	34,4	127,1	28971	29226	0,08
0,30-0,275-92,7-03	55,7	27036	32,1	3,50	5,55	35,6	128,3	29101	29297	0,08
0,30-0,275-92,7-04	55,7	27036	33,5	3,50	5,52	38,1	130,8	29173	29453	0,09
0,30-0,275-92,7-05	55,7	27036	34,5	3,50	5,50	39,8	132,5	29288	29557	0,09
0,30-0,275-92,7-06	55,7	27036	36,1	3,50	5,45	42,4	135,1	29417	29720	0,10
0,30-0,275-92,7-07	55,7	16915	40,6	3,50	4,50	51,5	144,2	19424	19725	0,17
0,30-0,275-92,7-08	55,7	19765	38,1	3,50	4,91	46,9	139,6	22045	22468	0,14
0,30-0,275-92,7-09	55,7	22801	35,9	3,50	5,28	42,8	135,5	24881	25386	0,11
0,30-0,275-92,7-10	55,7	31508	31,2	3,50	6,12	33,7	126,4	33233	33731	0,07
0,30-0,275-92,7-11	55,7	34322	25,6	3,50	3,07	22,9	115,6	36502	37068	0,08
0,30-0,275-92,7-12	55,7	28347	31,4	3,50	5,04	34,1	126,8	30555	30904	0,09
0,30-0,275-92,7-13	55,7	26895	33,1	3,50	5,63	37,4	130,1	28813	29225	0,09
0,30-0,275-92,7-14	55,7	24620	37,5	3,50	7,10	45,6	138,3	26062	26489	0,08
0,30-0,275-92,7-15	55,7	24185	38,4	3,50	7,39	47,2	139,9	25573	25919	0,07
0,30-0,275-92,7-16	55,7	23971	38,9	3,50	7,53	48,0	140,7	25371	25635	0,07
0,30-0,275-92,7-17	55,7									
0,30-0,275-92,7-18	55,7									
0,30-0,275-92,7-19	55,7	32367	29,4	3,50	4,22	29,4	122,1	33651	34055	0,05
0,30-0,275-92,7-20	55,7									
0,30-0,275-92,7-21	55,7	21237	38,6	3,50	7,70	48,2	140,9	24233	24590	0,16
0,30-0,275-92,7-22	55,7	18162	41,5	3,50	8,87	53,3	146,0	21728	22024	0,21
0,30-0,275-92,7-23	55,7	13330	41,6	3,00	10,00	57,1	149,8	17379	17740	0,33
0,30-0,275-92,7-24	55,7	18162	40,2	3,50	8,88	51,1	143,8	21641	21875	0,20
0,30-0,275-92,7-25	55,7	22730	36,4	3,50	7,14	44,3	137,0	25371	25742	0,13
0,30-0,275-92,7-26	55,7	30291	31,5	3,50	4,71	33,6	126,3	31966	32297	0,07
0,30-0,275-92,7-27	55,7	34858	29,6	3,50	3,55	28,8	121,5	36013	36416	0,04
0,30-0,275-92,7-28	55,7									
0,30-0,275-92,7-29	55,7	20547	34,7	3,50	2,93	40,5	133,2	22736	23112	0,12
0,30-0,275-92,7-30	55,7	22494	34,1	3,50	3,73	39,3	132,0	24593	24984	0,11
0,30-0,275-92,7-31	55,7	24440	33,5	3,50	4,51	38,2	130,9	26552	26863	0,10
0,30-0,275-92,7-32	55,7	29632	32,4	3,50	6,59	36,1	128,8	31649	31926	0,08

Protótipo	$l/d_p$	$M_{ro}$ [kN.cm]	$\delta$ [cm]	$-\varepsilon_c$ [%o]	$\varepsilon_s$ [%o]	$\Delta f_{ps}$ [kN/cm <sup>2</sup> ]	$f_{ps}$ [kN/cm <sup>2</sup> ]	$M_{res}$ (numerico) [kN.cm]	$M_{res}$ (analit.) [kN.cm]	$\Delta M_r/M_{ro}$
0,70-0,150-92,7-REF	55,7	14305	43,1	3,33	10,00	57,7	150,4	19035	19563	0,37
0,70-0,150-92,7-01	55,7	14305	42,6	3,32	10,00	57,0	149,7	18963	19506	0,36
0,70-0,150-92,7-02	55,7	14305	42,9	3,34	10,00	57,3	150,0	19093	19533	0,37
0,70-0,150-92,7-03	55,7	14305	43,1	3,35	10,00	57,6	150,3	19049	19554	0,37
0,70-0,150-92,7-04	55,7	14305	43,0	3,32	10,00	57,7	150,4	18963	19565	0,37
0,70-0,150-92,7-05	55,7	14305	43,2	3,33	10,00	57,8	150,5	19035	19575	0,37
0,70-0,150-92,7-06	55,7									
0,70-0,150-92,7-07	55,7	11724	48,3	3,50	7,36	64,3	157,0	16573	17119	0,46
0,70-0,150-92,7-08	55,7	12539	46,8	3,50	8,56	61,2	153,9	17221	17834	0,42
0,70-0,150-92,7-09	55,7	13294	47,1	3,50	9,53	62,6	155,3	18085	18829	0,42
0,70-0,150-92,7-10	55,7	15354	37,7	2,95	10,00	51,3	144,0	19150	20177	0,31
0,70-0,150-92,7-11	55,7									
0,70-0,150-92,7-12	55,7	16221	39,1	3,50	8,83	49,4	142,1	21065	21546	0,33
0,70-0,150-92,7-13	55,7	14123	41,5	3,24	10,00	54,6	147,3	18545	19029	0,35
0,70-0,150-92,7-14	55,7	10808	39,8	2,42	10,00	57,7	150,4	13923	14246	0,32
0,70-0,150-92,7-15	55,7	10181	39,3	2,28	10,00	57,5	150,2	12987	13266	0,30
0,70-0,150-92,7-16	55,7	9859	38,6	2,23	10,00	56,3	149,0	12598	12707	0,29
0,70-0,150-92,7-17	55,7	26420	32,7	3,50	5,53	36,8	129,5	28885	29250	0,11
0,70-0,150-92,7-18	55,7	18551	39,9	3,50	8,36	50,9	143,6	22491	22951	0,24
0,70-0,150-92,7-19	55,7	15744	42,1	3,50	9,52	54,5	147,2	20230	20631	0,31
0,70-0,150-92,7-20	55,7	13578	42,3	3,15	10,00	57,5	150,2	18070	18871	0,39
0,70-0,150-92,7-21	55,7	12844	41,9	3,06	10,00	57,5	150,2	17509	18192	0,42
0,70-0,150-92,7-22	55,7	12105	41,4	3,00	10,00	57,3	150,0	17033	17478	0,44
0,70-0,150-92,7-23	55,7									
0,70-0,150-92,7-24	55,7	12105	41,3	2,96	10,00	57,3	150,0	16889	17479	0,44
0,70-0,150-92,7-25	55,7	13212	42,1	3,11	10,00	57,5	150,2	17696	18533	0,40
0,70-0,150-92,7-26	55,7									
0,70-0,150-92,7-27	55,7									
0,70-0,150-92,7-28	55,7	18551	41,6	3,50	8,30	53,5	146,2	22649	23165	0,25
0,70-0,150-92,7-29	55,7									
0,70-0,150-92,7-30	55,7	13297	45,2	3,50	7,76	60,0	152,7	18200	18755	0,41
0,70-0,150-92,7-31	55,7	13729	45,0	3,50	8,88	59,6	152,3	18689	19156	0,40
0,70-0,150-92,7-32	55,7	14882	37,9	2,94	10,00	51,5	144,2	19078	19601	0,32

Protótipo	$l/d_p$	$M_{ro}$ [kN.cm]	$\delta$ [cm]	$-\varepsilon_c$ [%o]	$\varepsilon_s$ [%o]	$\Delta f_{ps}$ [kN/cm <sup>2</sup> ]	$f_{ps}$ [kN/cm <sup>2</sup> ]	$M_{res}$ (numerico) [kN.cm]	$M_{res}$ (analit.) [kN.cm]	$\Delta M_r/M_{ro}$
0,70-0,275-92,7-REF	55,7	24557	30,3	3,50	5,19	34,0	126,7	28640	29327	0,19
0,70-0,275-92,7-01	55,7	24557	29,4	3,50	5,24	32,1	124,8	28467	29070	0,18
0,70-0,275-92,7-02	55,7	24557	29,8	3,50	5,25	33,0	125,7	28496	29198	0,19
0,70-0,275-92,7-03	55,7	24557	30,2	3,50	5,26	33,7	126,4	28481	29285	0,19
0,70-0,275-92,7-04	55,7	24557	30,6	3,50	5,18	34,5	127,2	28640	29391	0,20
0,70-0,275-92,7-05	55,7	24557	31,0	3,50	5,14	35,0	127,7	28741	29462	0,20
0,70-0,275-92,7-06	55,7	24557	31,9	3,50	5,12	36,2	128,9	28885	29619	0,21
0,70-0,275-92,7-07	55,7	20045	32,8	3,50	3,18	38,7	131,4	24507	25128	0,25
0,70-0,275-92,7-08	55,7	21444	31,4	3,50	3,76	35,9	128,6	25717	26286	0,23
0,70-0,275-92,7-09	55,7	22801	31,2	3,50	4,39	35,6	128,3	26969	27690	0,21
0,70-0,275-92,7-10	55,7	26184	29,8	3,50	6,04	32,9	125,6	30037	30868	0,18
0,70-0,275-92,7-11	55,7									
0,70-0,275-92,7-12	55,7									
0,70-0,275-92,7-13	55,7	24196	30,7	3,50	5,33	34,7	127,4	28251	28980	0,20
0,70-0,275-92,7-14	55,7	18902	38,5	3,50	7,95	48,7	141,4	23139	23569	0,25
0,70-0,275-92,7-15	55,7	17857	40,6	3,50	8,63	52,1	144,8	22001	22384	0,25
0,70-0,275-92,7-16	55,7									
0,70-0,275-92,7-17	55,7									
0,70-0,275-92,7-18	55,7	31142	27,1	3,50	3,70	26,3	119,0	33781	34418	0,11
0,70-0,275-92,7-19	55,7	26830	29,3	3,50	4,67	31,4	124,1	30353	31075	0,16
0,70-0,275-92,7-20	55,7	23391	30,8	3,50	5,47	35,2	127,9	27675	28424	0,22
0,70-0,275-92,7-21	55,7	22205	30,9	3,50	5,66	35,2	127,9	26869	27338	0,23
0,70-0,275-92,7-22	55,7	21000	31,7	3,50	6,18	36,8	129,5	25889	26467	0,26
0,70-0,275-92,7-23	55,7	19156	33,4	3,50	6,72	40,8	133,5	24593	25359	0,32
0,70-0,275-92,7-24	55,7									
0,70-0,275-92,7-25	55,7	22800	30,6	3,50	5,56	34,8	127,5	27286	27838	0,22
0,70-0,275-92,7-26	55,7	25930	30,1	3,50	4,86	33,0	125,7	29777	30456	0,17
0,70-0,275-92,7-27	55,7	27937	29,7	3,50	4,36	31,6	124,3	31462	32115	0,15
0,70-0,275-92,7-28	55,7									
0,70-0,275-92,7-29	55,7	21905	30,6	3,50	2,70	34,7	127,4	26077	26768	0,22
0,70-0,275-92,7-30	55,7	22700	30,7	3,50	3,43	34,7	127,4	26869	27561	0,21
0,70-0,275-92,7-31	55,7	23496	30,6	3,50	4,21	34,5	127,2	27574	28329	0,21
0,70-0,275-92,7-32	55,7	25617	30,2	3,50	6,20	33,7	126,4	29648	30344	0,18

Protótipo	$l/d_p$	$M_{ro}$ [kN.cm]	$\delta$ [cm]	$-\varepsilon_c$ [%o]	$\varepsilon_s$ [%o]	$\Delta f_{ps}$ [kN/cm <sup>2</sup> ]	$f_{ps}$ [kN/cm <sup>2</sup> ]	$M_{res}$ (numerico) [kN.cm]	$M_{res}$ (analit.) [kN.cm]	$\Delta M_r/M_{ro}$
0,30-0,150-112,5-REF	55,7	15830	43,0	2,86	10,00	51,6	164,1	17278	17612	0,11
0,30-0,150-112,5-01	55,7	15830	41,3	2,86	10,00	50,0	162,5	17365	17557	0,11
0,30-0,150-112,5-02	55,7	15830	41,8	2,88	10,00	50,3	162,8	17379	17567	0,11
0,30-0,150-112,5-03	55,7	15830	42,4	2,86	10,00	51,0	163,5	17350	17592	0,11
0,30-0,150-112,5-04	55,7	15830	43,7	2,87	10,00	52,1	164,6	17336	17629	0,11
0,30-0,150-112,5-05	55,7	15830	44,5	2,87	10,00	52,8	165,3	17379	17653	0,12
0,30-0,150-112,5-06	55,7	15830	46,4	2,87	10,00	54,6	167,1	17422	17713	0,12
0,30-0,150-112,5-07	55,7	9906	53,8	3,10	10,00	58,8	171,3	13073	11578	0,17
0,30-0,150-112,5-08	55,7	11533	48,4	2,94	10,00	55,9	168,4	14701	13228	0,15
0,30-0,150-112,5-09	55,7	13334	48,7	3,00	10,00	55,9	168,4	14974	15136	0,14
0,30-0,150-112,5-10	55,7	18423	38,5	2,73	10,00	47,2	159,7	19821	20148	0,09
0,30-0,150-112,5-11	55,7									
0,30-0,150-112,5-12	55,7									
0,30-0,150-112,5-13	55,7	16551	42,2	2,60	10,00	51,7	164,2	18257	18636	0,13
0,30-0,150-112,5-14	55,7	14798	41,9	2,52	10,00	51,6	164,1	15853	16142	0,09
0,30-0,150-112,5-15	55,7	14469	41,9	2,49	10,00	51,7	164,2	15277	15672	0,08
0,30-0,150-112,5-16	55,7	14302	41,9	2,49	10,00	51,8	164,3	15104	15435	0,08
0,30-0,150-112,5-17	55,7									
0,30-0,150-112,5-18	55,7	25811	37,1	3,50	6,91	41,0	153,5	26667	27034	0,05
0,30-0,150-112,5-19	55,7	19296								
0,30-0,150-112,5-20	55,7	14044	41,7	2,59	10,00	51,4	163,9	15536	15859	0,13
0,30-0,150-112,5-21	55,7	12224	40,0	2,31	10,00	50,8	163,3	13505	14061	0,15
0,30-0,150-112,5-22	55,7									
0,30-0,150-112,5-23	55,7									
0,30-0,150-112,5-24	55,7									
0,30-0,150-112,5-25	55,7	13138	40,5	2,45	10,00	50,7	163,2	14614	14951	0,14
0,30-0,150-112,5-26	55,7	17927	45,0	3,18	10,00	52,3	164,8	19337	19682	0,10
0,30-0,150-112,5-27	55,7	20977	44,6	3,50	8,94	50,5	163,0	22405	22601	0,08
0,30-0,150-112,5-28	55,7	25811	40,6	3,50	6,84	45,6	158,1	26840	27171	0,05
0,30-0,150-112,5-29	55,7	12286	54,9	3,50	8,31	58,6	171,1	13966	14308	0,16
0,30-0,150-112,5-30	55,7	13349	54,5	3,50	9,66	58,4	170,9	15075	15364	0,15
0,30-0,150-112,5-31	55,7	14412	49,7	3,24	10,00	56,0	168,5	15997	16344	0,13
0,30-0,150-112,5-32	55,7	17247	37,9	2,57	10,00	47,2	159,7	18574	18878	0,09

Protótipo	$l/d_p$	$M_{ro}$ [kN.cm]	$\delta$ [cm]	$-\varepsilon_c$ [%o]	$\varepsilon_s$ [%o]	$\Delta f_{ps}$ [kN/cm <sup>2</sup> ]	$f_{ps}$ [kN/cm <sup>2</sup> ]	$M_{res}$ (numerico) [kN.cm]	$M_{res}$ (analit.) [kN.cm]	$\Delta M_r/M_{ro}$
0,30-0,275-112,5-REF	55,7	27064	33,5	3,50	5,75	35,7	148,2	28640	28941	0,07
0,30-0,275-112,5-01	55,7	27064	31,1	3,50	5,80	32,1	144,6	28525	28760	0,06
0,30-0,275-112,5-02	55,7	27064	31,9	3,50	5,75	33,2	145,7	28597	28815	0,06
0,30-0,275-112,5-03	55,7	27064	32,8	3,50	5,84	34,8	147,3	28409	28898	0,07
0,30-0,275-112,5-04	55,7	27064	34,5	3,50	5,84	37,1	149,6	28510	29014	0,07
0,30-0,275-112,5-05	55,7	27064	35,6	3,50	5,87	38,6	151,1	28453	29094	0,08
0,30-0,275-112,5-06	55,7	27064	36,5	3,50	5,62	39,8	152,3	28913	29154	0,08
0,30-0,275-112,5-07	55,7	16887	42,0	3,50	4,84	47,8	160,3	18617	19049	0,13
0,30-0,275-112,5-08	55,7	19776	39,0	3,50	5,15	44,0	156,5	21454	21879	0,11
0,30-0,275-112,5-09	55,7	22808	36,6	3,50	5,47	40,5	153,0	24464	24837	0,09
0,30-0,275-112,5-10	55,7	31434	31,8	3,50	6,33	32,7	145,2	32729	33222	0,06
0,30-0,275-112,5-11	55,7									
0,30-0,275-112,5-12	55,7	29870	30,2	3,50	4,64	30,2	142,7	31549	32063	0,07
0,30-0,275-112,5-13	55,7	28150	32,3	3,50	5,35	33,7	146,2	29677	30191	0,07
0,30-0,275-112,5-14	55,7									
0,30-0,275-112,5-15	55,7									
0,30-0,275-112,5-16	55,7	24685	38,0	3,50	7,24	42,3	154,8	25832	26135	0,06
0,30-0,275-112,5-17	55,7									
0,30-0,275-112,5-18	55,7									
0,30-0,275-112,5-19	55,7	32399	29,6	3,50	4,29	28,4	140,9	33435	33750	0,04
0,30-0,275-112,5-20	55,7									
0,30-0,275-112,5-21	55,7	21259	39,9	3,50	8,09	45,3	157,8	23571	23877	0,12
0,30-0,275-112,5-22	55,7									
0,30-0,275-112,5-23	55,7	13345	40,6	2,77	10,00	49,8	162,3	16155	16547	0,24
0,30-0,275-112,5-24	55,7									
0,30-0,275-112,5-25	55,7	22754	37,5	3,50	7,50	42,2	154,7	24781	25137	0,10
0,30-0,275-112,5-26	55,7	30321	31,9	3,50	4,87	32,5	145,0	31549	31932	0,05
0,30-0,275-112,5-27	55,7	34891	29,9	3,50	3,61	27,9	140,4	35811	36142	0,04
0,30-0,275-112,5-28	55,7									
0,30-0,275-112,5-29	55,7									
0,30-0,275-112,5-30	55,7	22516	34,8	3,50	3,94	37,8	150,3	23989	24504	0,09
0,30-0,275-112,5-31	55,7	24465	34,4	3,50	4,80	37,0	149,5	25875	26413	0,08
0,30-0,275-112,5-32	55,7	29662	33,4	3,50	6,95	35,5	148,0	31059	31530	0,06

Protótipo	$l/d_p$	$M_{ro}$ [kN.cm]	$\delta$ [cm]	$-\varepsilon_c$ [%o]	$\varepsilon_s$ [%o]	$\Delta f_{ps}$ [kN/cm <sup>2</sup> ]	$f_{ps}$ [kN/cm <sup>2</sup> ]	$M_{res}$ (numerico) [kN.cm]	$M_{res}$ (analit.) [kN.cm]	$\Delta M_r/M_{ro}$
0,70-0,150-112,5-REF	55,7	14363	41,0	3,06	10,00	48,5	161,0	17667	18064	0,26
0,70-0,150-112,5-01	55,7	14363	42,0	3,11	10,00	50,2	162,7	17897	18189	0,27
0,70-0,150-112,5-02	55,7	14363	41,8	3,02	10,00	50,4	162,9	17494	18206	0,27
0,70-0,150-112,5-03	55,7	14363	42,1	3,08	10,00	50,4	162,9	17768	18209	0,27
0,70-0,150-112,5-04	55,7	14363	42,0	3,01	10,00	50,6	163,1	17393	18219	0,27
0,70-0,150-112,5-05	55,7									
0,70-0,150-112,5-06	55,7									
0,70-0,150-112,5-07	55,7									
0,70-0,150-112,5-08	55,7	12533	51,0	3,50	9,35	56,7	169,2	16069	16611	0,33
0,70-0,150-112,5-09	55,7	13362	48,4	3,40	10,00	55,0	167,5	16861	17438	0,31
0,70-0,150-112,5-10	55,7	15354	37,5	2,81	10,00	46,3	158,8	18416	18975	0,24
0,70-0,150-112,5-11	55,7									
0,70-0,150-112,5-12	55,7									
0,70-0,150-112,5-13	55,7	15963	43,5	3,47	10,00	50,6	163,1	19582	20390	0,28
0,70-0,150-112,5-14	55,7	12027	40,2	2,55	10,00	50,4	162,9	14715	14994	0,25
0,70-0,150-112,5-15	55,7	11277	39,6	2,37	10,00	50,5	163,0	13592	13953	0,24
0,70-0,150-112,5-16	55,7	10892	39,3	2,27	10,00	50,5	163,0	12915	13415	0,23
0,70-0,150-112,5-17	55,7	26517	32,9	3,50	5,65	34,9	147,4	28481	28746	0,08
0,70-0,150-112,5-18	55,7	18623	41,2	3,50	8,80	47,4	159,9	21713	22038	0,18
0,70-0,150-112,5-19	55,7	15806	43,6	3,33	10,00	50,9	163,4	19193	19614	0,24
0,70-0,150-112,5-20	55,7	13632	41,5	2,94	10,00	50,4	162,9	16947	17513	0,28
0,70-0,150-112,5-21	55,7	12896	41,1	2,87	10,00	50,3	162,8	16385	16805	0,30
0,70-0,150-112,5-22	55,7	12154	40,2	2,71	10,00	50,0	162,5	15349	16074	0,32
0,70-0,150-112,5-23	55,7	11030	39,8	2,55	10,00	50,3	162,8	14384	15030	0,36
0,70-0,150-112,5-24	55,7	12154	40,4	2,76	10,00	50,0	162,5	15579	16073	0,32
0,70-0,150-112,5-25	55,7	13265	41,4	2,91	10,00	50,4	162,9	16673	17166	0,29
0,70-0,150-112,5-26	55,7									
0,70-0,150-112,5-27	55,7	16519	43,8	3,40	10,00	50,2	162,7	19582	20238	0,23
0,70-0,150-112,5-28	55,7	18623	43,3	3,50	8,81	49,5	162,0	21685	22186	0,19
0,70-0,150-112,5-29	55,7	12916	47,9	3,50	7,53	53,8	166,3	16328	17013	0,32
0,70-0,150-112,5-30	55,7	13350	47,5	3,50	8,73	53,4	165,9	16875	17416	0,30
0,70-0,150-112,5-31	55,7	13784	48,5	3,46	10,00	55,0	167,5	17192	17968	0,30
0,70-0,150-112,5-32	55,7	14941	37,3	2,77	10,00	46,3	158,8	18171	18477	0,24

Protótipo	$l/d_p$	$M_{ro}$ [kN.cm]	$\delta$ [cm]	$-\varepsilon_c$ [%o]	$\varepsilon_s$ [%o]	$\Delta f_{ps}$ [kN/cm <sup>2</sup> ]	$f_{ps}$ [kN/cm <sup>2</sup> ]	$M_{res}$ (numerico) [kN.cm]	$M_{res}$ (analit.) [kN.cm]	$\Delta M_r/M_{ro}$
0,70-0,275-112,5-REF	55,7	24556	31,3	3,50	5,52	33,7	146,2	27646	28495	0,16
0,70-0,275-112,5-01	55,7	24556	30,0	3,50	5,47	31,6	144,1	27790	28254	0,15
0,70-0,275-112,5-02	55,7	24556	30,6	3,50	5,53	32,7	145,2	27689	28374	0,16
0,70-0,275-112,5-03	55,7	24556	30,9	3,50	5,52	33,2	145,7	27733	28433	0,16
0,70-0,275-112,5-04	55,7	24556	31,6	3,50	5,47	34,1	146,6	27862	28532	0,16
0,70-0,275-112,5-05	55,7	24556	31,9	3,50	5,43	34,6	147,1	27920	28590	0,16
0,70-0,275-112,5-06	55,7	24556	31,6	3,50	5,43	35,7	148,2	28006	28710	0,17
0,70-0,275-112,5-07	55,7	20065	34,2	3,50	3,58	38,6	151,1	23485	24282	0,21
0,70-0,275-112,5-08	55,7	21435	33,1	3,50	4,10	36,7	149,2	24925	25539	0,19
0,70-0,275-112,5-09	55,7	22778	32,2	3,50	4,74	35,3	147,8	25961	26813	0,18
0,70-0,275-112,5-10	55,7	26206	30,5	3,50	6,33	32,5	145,0	29317	30059	0,15
0,70-0,275-112,5-11	55,7									
0,70-0,275-112,5-12	55,7									
0,70-0,275-112,5-13	55,7									
0,70-0,275-112,5-14	55,7	20848	36,8	3,50	7,36	41,8	154,3	24104	24747	0,19
0,70-0,275-112,5-15	55,7	19618	39,0	3,50	8,14	44,9	157,4	22837	23419	0,19
0,70-0,275-112,5-16	55,7	19000	40,3	3,50	8,56	46,4	158,9	22073	22727	0,20
0,70-0,275-112,5-17	55,7									
0,70-0,275-112,5-18	55,7	31142	27,7	3,50	3,92	26,5	139,0	33205	33875	0,09
0,70-0,275-112,5-19	55,7	26829	30,1	3,50	4,94	31,3	143,8	29633	30345	0,13
0,70-0,275-112,5-20	55,7	23390	31,5	3,50	5,88	33,9	146,4	26725	27429	0,17
0,70-0,275-112,5-21	55,7	22204	32,3	3,50	6,31	35,4	147,9	25789	26505	0,19
0,70-0,275-112,5-22	55,7	20999	33,8	3,50	6,69	38,4	150,9	24939	25732	0,23
0,70-0,275-112,5-23	55,7	19155	35,2	3,50	7,31	40,5	153,0	23513	24284	0,27
0,70-0,275-112,5-24	55,7	20999	33,6	3,50	6,68	38,0	150,5	24925	25688	0,22
0,70-0,275-112,5-25	55,7	22800	30,9	3,50	6,03	35,5	148,0	26422	27060	0,19
0,70-0,275-112,5-26	55,7	25929	30,9	3,50	5,17	32,8	145,3	28827	29669	0,14
0,70-0,275-112,5-27	55,7	27937	30,4	3,50	4,36	31,5	144,0	30569	31391	0,12
0,70-0,275-112,5-28	55,7									
0,70-0,275-112,5-29	55,7	21904	31,7	3,50	2,96	34,6	147,1	24982	25935	0,18
0,70-0,275-112,5-30	55,7	22700	31,6	3,50	6,69	34,3	146,8	25976	26703	0,18
0,70-0,275-112,5-31	55,7	23495	31,6	3,50	4,50	34,2	146,7	26667	27488	0,17
0,70-0,275-112,5-32	55,7	25617	31,1	3,50	6,54	33,4	145,9	28769	29515	0,15

Protótipo	$l/d_p$	$M_{ro}$ [kN.cm]	$\delta$ [cm]	$-\varepsilon_c$ [%o]	$\varepsilon_s$ [%o]	$\Delta f_{ps}$ [kN/cm <sup>2</sup> ]	$f_{ps}$ [kN/cm <sup>2</sup> ]	$M_{res}$ (numerico) [kN.cm]	$M_{res}$ (analit.) [kN.cm]	$\Delta M_r/M_{ro}$
0,30-0,150-132,3-REF	55,7	15792	41,0	2,74	10,00	39,1	171,4	16544	16945	0,07
0,30-0,150-132,3-01	55,7	15792	40,8	2,75	10,00	38,1	170,4	16630	16916	0,07
0,30-0,150-132,3-02	55,7	15792	41,4	2,77	10,00	38,4	170,7	16745	16923	0,07
0,30-0,150-132,3-03	55,7	15792	41,8	2,72	10,00	38,8	171,1	16472	16934	0,07
0,30-0,150-132,3-04	55,7	15792	43,2	2,74	10,00	39,4	171,7	16616	16953	0,07
0,30-0,150-132,3-05	55,7	15792	44,2	2,73	10,00	39,9	172,2	16558	16967	0,07
0,30-0,150-132,3-06	55,7	15792	45,3	2,76	10,00	40,1	172,4	16717	16974	0,07
0,30-0,150-132,3-07	55,7									
0,30-0,150-132,3-08	55,7	11556	53,1	2,94	10,00	42,7	175,0	12339	12664	0,10
0,30-0,150-132,3-09	55,7	13341	47,9	2,82	10,00	41,3	173,6	14139	14478	0,09
0,30-0,150-132,3-10	55,7	18451	38,3	2,65	10,00	36,8	169,1	19323	19600	0,06
0,30-0,150-132,3-11	55,7	24291	34,6	3,50	6,47	31,5	163,8	26163	26901	0,11
0,30-0,150-132,3-12	55,7	18664	44,6	3,34	10,00	39,1	171,4	19870	20572	0,10
0,30-0,150-132,3-13	55,7	17336	43,8	3,09	10,00	39,1	171,4	18646	18903	0,09
0,30-0,150-132,3-14	55,7	15293	42,4	2,64	10,00	39,2	171,5	16069	16309	0,07
0,30-0,150-132,3-15	55,7	14894	41,9	2,54	10,00	39,1	171,4	15493	15798	0,06
0,30-0,150-132,3-16	55,7	14702	41,9	2,52	10,00	39,2	171,5	15349	15554	0,06
0,30-0,150-132,3-17	55,7	41929	24,9	3,50	2,40	15,7	148,0	42003	42203	0,01
0,30-0,150-132,3-18	55,7									
0,30-0,150-132,3-19	55,7	19252	45,0	3,27	10,00	39,3	171,6	19957	20355	0,06
0,30-0,150-132,3-20	55,7	14011	41,3	2,48	10,00	39,0	171,3	14902	15185	0,08
0,30-0,150-132,3-21	55,7	12194	40,0	2,27	10,00	38,8	171,1	13189	13389	0,10
0,30-0,150-132,3-22	55,7	10343	38,4	2,07	10,00	38,2	170,5	11518	11545	0,12
0,30-0,150-132,3-23	55,7									
0,30-0,150-132,3-24	55,7									
0,30-0,150-132,3-25	55,7	13107	40,1	2,39	10,00	38,4	170,7	14197	14277	0,09
0,30-0,150-132,3-26	55,7	17885	44,7	3,05	10,00	39,5	171,8	18704	19016	0,06
0,30-0,150-132,3-27	55,7									
0,30-0,150-132,3-28	55,7	25754	41,4	3,50	7,08	36,4	168,7	26365	26679	0,04
0,30-0,150-132,3-29	55,7									
0,30-0,150-132,3-30	55,7	13318	55,1	3,35	10,00	42,8	175,1	14139	14579	0,09
0,30-0,150-132,3-31	55,7	14378	49,0	3,04	10,00	41,4	173,7	15133	15596	0,08
0,30-0,150-132,3-32	55,7	17206	37,8	2,50	10,00	36,8	169,1	18041	18290	0,06

Protótipo	$l/d_p$	$M_{ro}$ [kN.cm]	$\delta$ [cm]	- $\varepsilon_c$ [%o]	$\varepsilon_s$ [%o]	$\Delta f_{ps}$ [kN/cm <sup>2</sup> ]	$f_{ps}$ [kN/cm <sup>2</sup> ]	$M_{res}$ (numerico) [kN.cm]	$M_{res}$ (analit.) [kN.cm]	$\Delta M_r/M_{ro}$
0,30-0,275-132,3-REF	55,7	27014	34,6	3,50	6,12	30,7	163,0	28021	28395	0,05
0,30-0,275-132,3-01	55,7	27014	31,9	3,50	6,06	28,0	160,3	28078	28277	0,05
0,30-0,275-132,3-02	55,7	27014	33,0	3,50	6,14	29,2	161,5	27949	28326	0,05
0,30-0,275-132,3-03	55,7	27014	33,6	3,50	6,06	29,7	162,0	28121	28352	0,05
0,30-0,275-132,3-04	55,7	27014	35,2	3,50	6,10	31,3	163,6	28049	28422	0,05
0,30-0,275-132,3-05	55,7	27014	36,1	3,50	6,02	32,1	164,4	28165	28456	0,05
0,30-0,275-132,3-06	55,7	27014	37,9	3,50	6,04	33,6	165,9	28165	28525	0,06
0,30-0,275-132,3-07	55,7	16897	43,2	3,50	5,11	37,8	170,1	17941	18361	0,09
0,30-0,275-132,3-08	55,7	19790	40,2	3,50	5,45	35,8	168,1	20864	21254	0,07
0,30-0,275-132,3-09	55,7									
0,30-0,275-132,3-10	55,7	31452	32,2	3,50	6,49	28,1	160,4	32341	32764	0,04
0,30-0,275-132,3-11	55,7									
0,30-0,275-132,3-12	55,7	31288	29,3	3,50	4,32	24,6	156,9	32485	33016	0,06
0,30-0,275-132,3-13	55,7	29341	31,4	3,50	5,08	27,3	159,6	30382	30959	0,06
0,30-0,275-132,3-14	55,7	26231	35,9	3,50	6,57	32,0	164,3	27142	27509	0,05
0,30-0,275-132,3-15	55,7	25628	37,0	3,50	6,94	33,1	165,4	26379	26815	0,05
0,30-0,275-132,3-16	55,7									
0,30-0,275-132,3-17	55,7									
0,30-0,275-132,3-18	55,7									
0,30-0,275-132,3-19	55,7	32342	30,0	3,50	4,42	24,9	157,2	33003	33352	0,03
0,30-0,275-132,3-20	55,7	24175	37,8	3,50	7,28	33,9	166,2	25357	25772	0,07
0,30-0,275-132,3-21	55,7	21218	41,3	3,50	8,57	36,7	169,0	22707	23030	0,09
0,30-0,275-132,3-22	55,7	18146	44,6	3,34	10,00	39,1	171,4	19741	20162	0,11
0,30-0,275-132,3-23	55,7	13318	40,0	2,57	10,00	38,4	170,7	14960	15429	0,16
0,30-0,275-132,3-24	55,7	18146	43,4	3,34	10,00	38,5	170,8	19784	20134	0,11
0,30-0,275-132,3-25	55,7	22711	38,8	3,50	7,91	34,8	167,1	24104	24392	0,07
0,30-0,275-132,3-26	55,7	30267	32,4	3,50	5,03	28,0	160,3	31073	31450	0,04
0,30-0,275-132,3-27	55,7	34831	30,2	3,50	3,72	24,5	156,8	35465	35769	0,03
0,30-0,275-132,3-28	55,7									
0,30-0,275-132,3-29	55,7	20531	36,6	3,50	3,38	32,7	165,0	21569	22000	0,07
0,30-0,275-132,3-30	55,7	22476	35,8	3,50	4,17	31,9	164,2	23542	23910	0,06
0,30-0,275-132,3-31	55,7	24421	35,3	3,50	5,06	31,5	163,8	25299	25835	0,06
0,30-0,275-132,3-32	55,7	29607	34,1	3,50	7,22	30,2	162,5	30555	30966	0,05

Protótipo	$l/d_p$	$M_{ro}$ [kN.cm]	$\delta$ [cm]	$-\varepsilon_c$ [%o]	$\varepsilon_s$ [%o]	$\Delta f_{ps}$ [kN/cm <sup>2</sup> ]	$f_{ps}$ [kN/cm <sup>2</sup> ]	$M_{res}$ (numerico) [kN.cm]	$M_{res}$ (analit.) [kN.cm]	$\Delta M_r/M_{ro}$
0,70-0,150-132,3-REF	55,7	14357	41,4	2,86	10,00	38,6	170,9	16486	16885	0,18
0,70-0,150-132,3-01	55,7	14357	41,1	2,88	10,00	38,4	170,7	16573	16873	0,18
0,70-0,150-132,3-02	55,7	14357	41,2	2,86	10,00	38,5	170,8	16486	16879	0,18
0,70-0,150-132,3-03	55,7	14357	41,3	2,86	10,00	38,5	170,8	16486	16882	0,18
0,70-0,150-132,3-04	55,7	14357	40,3	2,82	10,00	37,6	169,9	16270	16823	0,17
0,70-0,150-132,3-05	55,7									
0,70-0,150-132,3-06	55,7	14357	43,1	2,86	10,00	39,4	171,7	16443	16939	0,18
0,70-0,150-132,3-07	55,7	11748	57,7	3,50	9,61	43,4	175,7	13808	14361	0,22
0,70-0,150-132,3-08	55,7	12576	51,3	3,33	10,00	41,7	174,0	14686	15164	0,21
0,70-0,150-132,3-09	55,7	13357	45,7	3,07	10,00	39,9	172,2	15320	15901	0,19
0,70-0,150-132,3-10	55,7	15340	36,8	2,61	10,00	36,3	168,6	17221	17774	0,16
0,70-0,150-132,3-11	55,7									
0,70-0,150-132,3-12	55,7	20544	36,6	3,50	7,61	33,9	166,2	23240	23990	0,17
0,70-0,150-132,3-13	55,7									
0,70-0,150-132,3-14	55,7	13205	40,4	2,58	10,00	38,6	170,9	14873	15448	0,17
0,70-0,150-132,3-15	55,7									
0,70-0,150-132,3-16	55,7	11890	39,6	2,34	10,00	38,6	170,9	13390	13798	0,16
0,70-0,150-132,3-17	55,7	26508	34,2	3,50	6,04	30,5	162,8	27877	28175	0,06
0,70-0,150-132,3-18	55,7									
0,70-0,150-132,3-19	55,7	15800	42,5	3,04	10,00	38,8	171,1	17768	18292	0,16
0,70-0,150-132,3-20	55,7	13627	40,7	2,69	10,00	38,6	170,9	15478	16178	0,19
0,70-0,150-132,3-21	55,7									
0,70-0,150-132,3-22	55,7	12149	39,6	2,48	10,00	38,5	170,8	14110	14739	0,21
0,70-0,150-132,3-23	55,7	11026	39,1	2,36	10,00	38,4	170,7	13145	13650	0,24
0,70-0,150-132,3-24	55,7	12149	39,7	2,49	10,00	38,5	170,8	14153	14741	0,21
0,70-0,150-132,3-25	55,7	13260	40,5	2,70	10,00	38,5	170,8	15421	15817	0,19
0,70-0,150-132,3-26	55,7	15226	42,1	2,96	10,00	38,8	171,1	17163	17736	0,16
0,70-0,150-132,3-27	55,7	16513	44,1	3,17	10,00	39,3	171,6	18488	19014	0,15
0,70-0,150-132,3-28	55,7	18617	44,8	3,50	9,50	38,7	171,0	20605	21006	0,13
0,70-0,150-132,3-29	55,7	12912	52,6	3,50	8,70	41,9	174,2	14830	15654	0,21
0,70-0,150-132,3-30	55,7	13345	51,8	3,50	9,94	41,6	173,9	15464	16069	0,20
0,70-0,150-132,3-31	55,7	13779	47,6	3,20	10,00	40,9	173,2	15910	16454	0,19
0,70-0,150-132,3-32	55,7	14936	36,5	2,55	10,00	36,2	168,5	16789	17311	0,16

Protótipo	$l/d_p$	$M_{ro}$ [kN.cm]	$\delta$ [cm]	$-\varepsilon_c$ [%o]	$\varepsilon_s$ [%o]	$\Delta f_{ps}$ [kN/cm <sup>2</sup> ]	$f_{ps}$ [kN/cm <sup>2</sup> ]	$M_{res}$ (numerico) [kN.cm]	$M_{res}$ (analit.) [kN.cm]	$\Delta M_r/M_{ro}$
0,70-0,275-132,3-REF	55,7	24548	32,6	3,50	5,95	29,7	162,0	26782	27532	0,12
0,70-0,275-132,3-01	55,7	24548	31,4	3,50	5,95	28,4	160,7	26797	27404	0,12
0,70-0,275-132,3-02	55,7	24548	31,9	3,50	5,96	29,0	161,3	26811	27460	0,12
0,70-0,275-132,3-03	55,7	24548	32,4	3,50	6,01	29,6	161,9	26725	27514	0,12
0,70-0,275-132,3-04	55,7	24548	33,0	3,50	5,96	30,1	162,4	26840	27567	0,12
0,70-0,275-132,3-05	55,7	24548	33,5	3,50	5,95	30,6	162,9	26854	27611	0,12
0,70-0,275-132,3-06	55,7	24548	34,2	3,50	5,88	31,1	163,4	26955	27666	0,13
0,70-0,275-132,3-07	55,7	20028	36,2	3,50	4,03	33,5	165,8	22361	23170	0,16
0,70-0,275-132,3-08	55,7	21470	34,8	3,50	4,56	32,0	164,3	23845	24555	0,14
0,70-0,275-132,3-09	55,7	22812	33,5	3,50	5,29	30,5	162,8	24910	25811	0,13
0,70-0,275-132,3-10	55,7	26231	31,5	3,50	6,68	28,5	160,8	28381	29144	0,11
0,70-0,275-132,3-11	55,7									
0,70-0,275-132,3-12	55,7									
0,70-0,275-132,3-13	55,7									
0,70-0,275-132,3-14	55,7									
0,70-0,275-132,3-15	55,7	21325	37,9	3,50	7,75	34,6	166,9	23499	24191	0,13
0,70-0,275-132,3-16	55,7	20619	39,2	3,50	8,19	35,6	167,9	22693	23420	0,14
0,70-0,275-132,3-17	55,7									
0,70-0,275-132,3-18	55,7	31132	28,3	3,50	4,12	23,8	156,1	32542	33243	0,07
0,70-0,275-132,3-19	55,7	26820	31,0	3,50	5,27	27,8	160,1	28741	29497	0,10
0,70-0,275-132,3-20	55,7									
0,70-0,275-132,3-21	55,7	22197	35,0	3,50	6,97	32,4	164,7	24550	25571	0,15
0,70-0,275-132,3-22	55,7	20992	35,4	3,50	7,22	32,9	165,2	23845	24488	0,17
0,70-0,275-132,3-23	55,7	19148	37,7	3,50	8,16	34,9	167,2	22088	22959	0,20
0,70-0,275-132,3-24	55,7	20992	35,5	3,50	7,33	33,0	165,3	23614	24496	0,17
0,70-0,275-132,3-25	55,7									
0,70-0,275-132,3-26	55,7	25921	31,9	3,50	5,48	28,7	161,0	27992	28737	0,11
0,70-0,275-132,3-27	55,7	27927	31,5	3,50	4,96	27,9	160,2	29806	30560	0,09
0,70-0,275-132,3-28	55,7									
0,70-0,275-132,3-29	55,7	21897	33,2	3,50	3,26	30,5	162,8	24147	24953	0,14
0,70-0,275-132,3-30	55,7	22692	33,0	3,50	4,05	30,2	162,5	25011	25725	0,13
0,70-0,275-132,3-31	55,7	23487	32,9	3,50	4,89	30,1	162,4	25688	26508	0,13
0,70-0,275-132,3-32	55,7	25608	32,5	3,50	7,09	29,6	161,9	27790	28582	0,12

Protótipo	$l/d_p$	$M_{ro}$ [kN.cm]	$\delta$ [cm]	$-\varepsilon_c$ [%o]	$\varepsilon_s$ [%o]	$\Delta f_{ps}$ [kN/cm <sup>2</sup> ]	$f_{ps}$ [kN/cm <sup>2</sup> ]	$M_{res}$ (numerico) [kN.cm]	$M_{res}$ (analit.) [kN.cm]	$\Delta M_r/M_{ro}$
0,30-0,150-152,0-REF	55,7	15842	42,6	2,70	10,00	23,4	175,4	16357	16447	0,04
0,30-0,150-152,0-01	55,7	15842	40,6	2,65	10,00	23,1	175,1	16141	16437	0,04
0,30-0,150-152,0-02	55,7	15842	41,3	2,70	10,00	23,2	175,2	16414	16439	0,04
0,30-0,150-152,0-03	55,7	15842	41,8	2,69	10,00	23,3	175,3	16357	16443	0,04
0,30-0,150-152,0-04	55,7	15842	43,1	2,68	10,00	23,6	175,6	16270	16450	0,04
0,30-0,150-152,0-05	55,7	15842	44,0	2,67	10,00	23,8	175,8	16213	16455	0,04
0,30-0,150-152,0-06	55,7	15842	45,8	2,67	10,00	24,1	176,1	16213	16464	0,04
0,30-0,150-152,0-07	55,7									
0,30-0,150-152,0-08	55,7									
0,30-0,150-152,0-09	55,7	13364	47,6	2,74	10,00	24,4	176,4	13693	13951	0,04
0,30-0,150-152,0-10	55,7	18373	38,0	2,55	10,00	22,4	174,4	18632	18982	0,03
0,30-0,150-152,0-11	55,7	25974	33,3	3,50	6,03	19,4	171,4	26998	27543	0,06
0,30-0,150-152,0-12	55,7									
0,30-0,150-152,0-13	55,7	18166	43,9	3,10	10,00	23,4	175,4	18718	19096	0,05
0,30-0,150-152,0-14	55,7									
0,30-0,150-152,0-15	55,7	15403	42,2	2,60	10,00	23,4	175,4	15853	15944	0,04
0,30-0,150-152,0-16	55,7	15180	41,9	2,53	10,00	23,4	175,4	15478	15689	0,03
0,30-0,150-152,0-17	55,7	42030	24,8	3,50	2,39	11,2	163,2	42133	42200	0,00
0,30-0,150-152,0-18	55,7									
0,30-0,150-152,0-19	55,7	19311	45,2	3,31	10,00	23,5	175,5	20273	19889	0,03
0,30-0,150-152,0-20	55,7	14055	41,0	2,41	10,00	23,3	175,3	14441	14671	0,04
0,30-0,150-152,0-21	55,7									
0,30-0,150-152,0-22	55,7	10376	38,1	1,96	10,00	23,1	175,1	10582	11014	0,06
0,30-0,150-152,0-23	55,7									
0,30-0,150-152,0-24	55,7									
0,30-0,150-152,0-25	55,7	13149	40,0	2,29	10,00	23,2	175,2	13477	13769	0,05
0,30-0,150-152,0-26	55,7	17940	44,4	2,97	10,00	23,6	175,6	18243	18532	0,03
0,30-0,150-152,0-27	55,7									
0,30-0,150-152,0-28	55,7	25830	41,9	3,50	7,24	22,4	174,4	26033	26328	0,02
0,30-0,150-152,0-29	55,7	12295	59,8	3,50	9,49	25,5	177,5	12584	12952	0,05
0,30-0,150-152,0-30	55,7	13359	55,0	3,28	10,00	25,1	177,1	13793	14006	0,05
0,30-0,150-152,0-31	55,7	14423	48,7	2,95	10,00	24,4	176,4	14773	15053	0,04
0,30-0,150-152,0-32	55,7	17260	37,5	2,45	10,00	22,4	174,4	17710	17838	0,03

Protótipo	$l/d_p$	$M_{ro}$ [kN.cm]	$\delta$ [cm]	$-\varepsilon_c$ [%o]	$\varepsilon_s$ [%o]	$\Delta f_{ps}$ [kN/cm <sup>2</sup> ]	$f_{ps}$ [kN/cm <sup>2</sup> ]	$M_{res}$ (numerico) [kN.cm]	$M_{res}$ (analit.) [kN.cm]	$\Delta M_r/M_{ro}$
0,30-0,275-152,0-REF	55,7	27041	35,3	3,50	6,34	19,9	171,9	27617	27827	0,03
0,30-0,275-152,0-01	55,7	27041	32,5	3,50	6,27	18,6	170,6	27761	27774	0,03
0,30-0,275-152,0-02	55,7	27041	33,6	3,50	6,35	19,2	171,2	27560	27797	0,03
0,30-0,275-152,0-03	55,7	27041	34,4	3,50	6,32	19,5	171,5	27646	27810	0,03
0,30-0,275-152,0-04	55,7	27041	36,0	3,50	6,34	20,2	172,2	27603	27839	0,03
0,30-0,275-152,0-05	55,7	27041	37,1	3,50	6,34	20,7	172,7	27617	27856	0,03
0,30-0,275-152,0-06	55,7	27041	38,8	3,50	6,32	21,3	173,3	27646	27882	0,03
0,30-0,275-152,0-07	55,7									
0,30-0,275-152,0-08	55,7	19772	41,1	3,50	5,71	22,3	174,3	20288	20570	0,04
0,30-0,275-152,0-09	55,7	22821	38,7	3,50	6,12	21,4	173,4	23053	23625	0,04
0,30-0,275-152,0-10	55,7	31483	32,5	3,50	6,60	18,5	170,5	32038	32239	0,02
0,30-0,275-152,0-11	55,7									
0,30-0,275-152,0-12	55,7	32698	28,5	3,50	4,05	15,9	167,9	33320	33785	0,03
0,30-0,275-152,0-13	55,7	30528	30,7	3,50	4,82	17,5	169,5	31145	31540	0,03
0,30-0,275-152,0-14	55,7	28415	33,0	3,50	5,57	18,8	170,8	29043	29298	0,03
0,30-0,275-152,0-15	55,7	26365	36,3	3,50	6,77	20,5	172,5	26768	27094	0,03
0,30-0,275-152,0-16	55,7	26020	31,8	3,50	5,63	19,1	171,1	26552	26661	0,02
0,30-0,275-152,0-17	55,7									
0,30-0,275-152,0-18	55,7									
0,30-0,275-152,0-19	55,7	32373	30,3	3,50	4,52	16,8	168,8	32773	32970	0,02
0,30-0,275-152,0-20	55,7	24199	38,7	3,50	7,60	21,5	173,5	24795	25087	0,04
0,30-0,275-152,0-21	55,7									
0,30-0,275-152,0-22	55,7	18165	43,8	3,15	10,00	23,4	175,4	18805	19225	0,06
0,30-0,275-152,0-23	55,7	13332	39,6	2,46	10,00	23,1	175,1	14211	14448	0,08
0,30-0,275-152,0-24	55,7	18165	42,8	3,17	10,00	23,2	175,2	18920	19215	0,06
0,30-0,275-152,0-25	55,7	22735	39,8	3,50	8,26	21,9	173,9	23456	23661	0,04
0,30-0,275-152,0-26	55,7	30297	32,8	3,50	5,16	18,5	170,5	30757	30981	0,02
0,30-0,275-152,0-27	55,7	34864	30,5	3,50	3,83	16,6	168,6	35221	35422	0,02
0,30-0,275-152,0-28	55,7									
0,30-0,275-152,0-29	55,7	20551	37,3	3,50	3,53	20,8	172,8	21123	21372	0,04
0,30-0,275-152,0-30	55,7	22498	36,6	3,50	4,38	20,5	172,5	23038	23307	0,04
0,30-0,275-152,0-31	55,7	24445	35,9	3,50	5,21	20,2	172,2	25011	25242	0,03
0,30-0,275-152,0-32	55,7	29637	34,8	3,50	7,47	19,7	171,7	30195	30414	0,03

Protótipo	$l/d_p$	$M_{ro}$ [kN.cm]	$\delta$ [cm]	$-\varepsilon_c$ [%o]	$\varepsilon_s$ [%o]	$\Delta f_{ps}$ [kN/cm <sup>2</sup> ]	$f_{ps}$ [kN/cm <sup>2</sup> ]	$M_{res}$ (numerico) [kN.cm]	$M_{res}$ (analit.) [kN.cm]	$\Delta M_r/M_{ro}$
0,70-0,150-152,0-REF	55,7	14331	40,5	2,61	10,00	23,2	175,2	15104	15663	0,09
0,70-0,150-152,0-01	55,7	14331	40,4	2,65	10,00	23,1	175,1	15305	15659	0,09
0,70-0,150-152,0-02	55,7	14331	40,5	2,65	10,00	23,2	175,2	15334	15660	0,09
0,70-0,150-152,0-03	55,7	14331	40,5	2,63	10,00	23,2	175,2	15190	15663	0,09
0,70-0,150-152,0-04	55,7	14331	40,6	2,64	10,00	23,2	175,2	15277	15663	0,09
0,70-0,150-152,0-05	55,7	14331	39,4	2,57	10,00	22,8	174,8	14845	15641	0,09
0,70-0,150-152,0-06	55,7	14331	40,4	2,55	10,00	23,2	175,2	14816	15665	0,09
0,70-0,150-152,0-07	55,7	11738	58,5	3,32	10,00	25,5	177,5	12497	13083	0,11
0,70-0,150-152,0-08	55,7	12547	51,5	3,04	10,00	24,8	176,8	13333	13899	0,11
0,70-0,150-152,0-09	55,7	13326	46,0	2,83	10,00	24,2	176,2	14139	14675	0,10
0,70-0,150-152,0-10	55,7	15310	36,3	2,48	10,00	22,2	174,2	16299	16615	0,09
0,70-0,150-152,0-11	55,7									
0,70-0,150-152,0-12	55,7	22584	35,4	3,50	7,19	20,7	172,7	23902	24634	0,09
0,70-0,150-152,0-13	55,7									
0,70-0,150-152,0-14	55,7	16337	40,7	3,01	10,00	22,7	174,7	17365	17892	0,10
0,70-0,150-152,0-15	55,7	13345	40,0	2,47	10,00	23,2	175,2	14211	14546	0,09
0,70-0,150-152,0-16	55,7	12842	39,6	2,38	10,00	23,2	175,2	13664	13976	0,09
0,70-0,150-152,0-17	55,7	26462	35,4	3,50	6,44	20,1	172,1	27113	27423	0,04
0,70-0,150-152,0-18	55,7	18583	44,2	3,31	10,00	23,4	175,4	19438	19851	0,07
0,70-0,150-152,0-19	55,7	15771	41,7	2,84	10,00	23,3	175,3	16573	17082	0,08
0,70-0,150-152,0-20	55,7	13602	40,0	2,52	10,00	23,2	175,2	14456	14945	0,10
0,70-0,150-152,0-21	55,7									
0,70-0,150-152,0-22	55,7	12126	39,0	2,31	10,00	23,2	175,2	12944	13493	0,11
0,70-0,150-152,0-23	55,7									
0,70-0,150-152,0-24	55,7									
0,70-0,150-152,0-25	55,7	13235	39,6	2,45	10,00	23,1	175,1	14009	14583	0,10
0,70-0,150-152,0-26	55,7	15198	40,0	2,70	10,00	22,8	174,8	15694	16493	0,09
0,70-0,150-152,0-27	55,7	16483	43,3	2,94	10,00	23,5	175,5	17264	17796	0,08
0,70-0,150-152,0-28	55,7	18583	46,4	3,28	10,00	23,8	175,8	19352	19876	0,07
0,70-0,150-152,0-29	55,7	12888	55,9	3,50	9,51	25,0	177,0	13822	14325	0,11
0,70-0,150-152,0-30	55,7	13321	52,3	3,23	10,00	24,9	176,9	14240	14748	0,11
0,70-0,150-152,0-31	55,7	13754	46,5	2,93	10,00	24,2	176,2	14686	15142	0,10
0,70-0,150-152,0-32	55,7	14908	36,1	2,42	10,00	22,2	174,2	15824	16182	0,09

Protótipo	$l/d_p$	$M_{ro}$ [kN.cm]	$\delta$ [cm]	$-\varepsilon_c$ [%o]	$\varepsilon_s$ [%o]	$\Delta f_{ps}$ [kN/cm <sup>2</sup> ]	$f_{ps}$ [kN/cm <sup>2</sup> ]	$M_{res}$ (numerico) [kN.cm]	$M_{res}$ (analit.) [kN.cm]	$\Delta M_r/M_{ro}$
0,70-0,275-152,0-REF	55,7	24527	34,5	3,50	6,62	20,1	172,1	25544	26307	0,07
0,70-0,275-152,0-01	55,7	24527	33,3	3,50	6,57	19,5	171,5	25645	26250	0,07
0,70-0,275-152,0-02	55,7	24527	33,8	3,50	6,61	19,8	171,8	25558	26276	0,07
0,70-0,275-152,0-03	55,7	24527	34,0	3,50	6,58	19,9	171,9	25601	26289	0,07
0,70-0,275-152,0-04	55,7	24527	34,3	3,50	6,61	19,9	171,9	25573	26283	0,07
0,70-0,275-152,0-05	55,7	24527	35,6	3,50	6,68	20,6	172,6	25400	26344	0,07
0,70-0,275-152,0-06	55,7	24527	36,1	3,50	6,52	20,7	172,7	25760	26358	0,07
0,70-0,275-152,0-07	55,7	20048	41,1	3,50	4,99	22,5	174,5	20043	21915	0,09
0,70-0,275-152,0-08	55,7	21456	36,7	3,50	5,10	21,1	173,1	22505	23247	0,08
0,70-0,275-152,0-09	55,7									
0,70-0,275-152,0-10	55,7	26223	33,3	3,50	7,36	19,5	171,5	27387	27981	0,07
0,70-0,275-152,0-11	55,7									
0,70-0,275-152,0-12	55,7									
0,70-0,275-152,0-13	55,7									
0,70-0,275-152,0-14	55,7									
0,70-0,275-152,0-15	55,7	22981	36,8	3,50	7,38	21,1	173,1	24075	24690	0,07
0,70-0,275-152,0-16	55,7	22183	38,3	3,50	7,88	21,6	173,6	23240	23853	0,08
0,70-0,275-152,0-17	55,7									
0,70-0,275-152,0-18	55,7	31107	29,1	3,50	4,37	16,6	168,6	31880	32403	0,04
0,70-0,275-152,0-19	55,7	26798	32,0	3,50	5,57	18,7	170,7	27891	28388	0,06
0,70-0,275-152,0-20	55,7									
0,70-0,275-152,0-21	55,7	22178	36,7	3,50	7,56	21,1	173,1	23456	24122	0,09
0,70-0,275-152,0-22	55,7	20974	37,9	3,50	8,10	21,7	173,7	22361	23004	0,10
0,70-0,275-152,0-23	55,7	19131	39,9	3,50	8,91	22,3	174,3	20662	21282	0,11
0,70-0,275-152,0-24	55,7	20974	37,8	3,50	8,12	21,6	173,6	22333	22998	0,10
0,70-0,275-152,0-25	55,7	22772	35,6	3,50	7,23	20,7	172,7	24046	24659	0,08
0,70-0,275-152,0-26	55,7	25899	33,3	3,50	5,94	19,4	171,4	27041	27576	0,06
0,70-0,275-152,0-27	55,7	27904	32,5	3,50	5,29	18,9	170,9	28899	29473	0,06
0,70-0,275-152,0-28	55,7									
0,70-0,275-152,0-29	55,7	21879	35,1	3,50	3,71	20,4	172,4	22966	23685	0,08
0,70-0,275-152,0-30	55,7	22673	34,7	3,50	4,65	20,1	172,1	23672	24452	0,08
0,70-0,275-152,0-31	55,7	23467	34,9	3,50	5,52	20,3	172,3	24363	25264	0,08
0,70-0,275-152,0-32	55,7	25586	34,4	3,50	7,77	20,0	172,0	26595	27358	0,07

## **Apêndice B.2 – Protótipos Submetidos a Carregamento Concentrado**

Protótipo	$l/d_p$	$M_{ro}$ [kN.cm]	$\delta$ [cm]	- $\varepsilon_c$ [%o]	$\varepsilon_s$ [%o]	$\Delta f_{ps}$ [kN/cm <sup>2</sup> ]	$f_{ps}$ [kN/cm <sup>2</sup> ]	$M_{res}$ (numerico) [kN.cm]	$M_{res}$ (analit.) [kN.cm]	$\Delta M_r/M_{ro}$
0,30-0,150-92,7-REF	21,7									
0,30-0,150-92,7-01	21,7	15800	1,6	2,48	10,00	12,9	105,6	15946	16344	0,03
0,30-0,150-92,7-02	21,7									
0,30-0,150-92,7-03	21,7									
0,30-0,150-92,7-04	21,7									
0,30-0,150-92,7-05	21,7	15800	2,6	2,55	10,00	22,2	114,9	15747	16735	0,06
0,30-0,150-92,7-06	21,7									
0,30-0,150-92,7-07	21,7									
0,30-0,150-92,7-08	21,7									
0,30-0,150-92,7-09	21,7									
0,30-0,150-92,7-10	21,7									
0,30-0,150-92,7-11	21,7	20806	2,3	3,39	10,00	18,0	110,7	21529	22416	0,08
0,30-0,150-92,7-12	21,7	16672	2,2	2,80	10,00	18,2	110,9	16887	17595	0,06
0,30-0,150-92,7-13	21,7									
0,30-0,150-92,7-14	21,7									
0,30-0,150-92,7-15	21,7									
0,30-0,150-92,7-16	21,7									
0,30-0,150-92,7-17	21,7	41945	2,7	3,50	2,61	13,6	106,3	41809	42285	0,01
0,30-0,150-92,7-18	21,7	25766	2,6	3,50	7,72	18,5	111,2	25500	26439	0,03
0,30-0,150-92,7-19	21,7	19261	2,5	3,16	10,00	19,5	112,2	19607	20047	0,04
0,30-0,150-92,7-20	21,7									
0,30-0,150-92,7-21	21,7									
0,30-0,150-92,7-22	21,7									
0,30-0,150-92,7-23	21,7									
0,30-0,150-92,7-24	21,7									
0,30-0,150-92,7-25	21,7									
0,30-0,150-92,7-26	21,7	17893	2,6	2,92	10,00	21,1	113,8	18171	18757	0,05
0,30-0,150-92,7-27	21,7	20939	3,1	3,38	10,00	25,1	117,8	20922	21924	0,05
0,30-0,150-92,7-28	21,7	25766	3,7	3,50	7,52	30,0	122,7	25787	26853	0,04
0,30-0,150-92,7-29	21,7									
0,30-0,150-92,7-30	21,7	13325	2,6	3,10	10,00	22,3	115,0	13354	14262	0,07
0,30-0,150-92,7-31	21,7									
0,30-0,150-92,7-32	21,7									

Protótipo	$l/d_p$	$M_{ro}$ [kN.cm]	$\delta$ [cm]	$-\varepsilon_c$ [%o]	$\varepsilon_s$ [%o]	$\Delta f_{ps}$ [kN/cm <sup>2</sup> ]	$f_{ps}$ [kN/cm <sup>2</sup> ]	$M_{res}$ (numerico) [kN.cm]	$M_{res}$ (analit.) [kN.cm]	$\Delta M_r/M_{ro}$
0,30-0,275-92,7-REF	21,7	27036	2,4	3,50	6,36	16,8	109,5	27629	28118	0,04
0,30-0,275-92,7-01	21,7	27036	1,8	3,50	7,56	10,3	103,0	26561	27703	0,02
0,30-0,275-92,7-02	21,7	27036	2,0	3,50	6,81	12,2	104,9	27111	27823	0,03
0,30-0,275-92,7-03	21,7	27036	2,2	3,50	6,47	14,4	107,1	27494	27965	0,03
0,30-0,275-92,7-04	21,7	27036	2,6	3,50	6,60	18,7	111,4	27318	28240	0,04
0,30-0,275-92,7-05	21,7	27036	3,0	3,50	6,75	22,1	114,8	27629	28452	0,05
0,30-0,275-92,7-06	21,7	27036	3,5	3,50	6,53	27,0	119,7	28044	28766	0,06
0,30-0,275-92,7-07	21,7	16915	3,0	3,50	5,60	23,5	116,2	17613	18217	0,08
0,30-0,275-92,7-08	21,7	19765	2,7	3,50	5,53	20,9	113,6	20348	20985	0,06
0,30-0,275-92,7-09	21,7	22801	2,6	3,50	6,34	19,2	111,9	22988	23975	0,05
0,30-0,275-92,7-10	21,7	31508	2,3	3,50	7,11	14,8	107,5	31673	32497	0,03
0,30-0,275-92,7-11	21,7	34322	2,2	3,50	3,57	12,7	105,4	34799	35879	0,05
0,30-0,275-92,7-12	21,7	28347	2,4	3,50	5,92	15,8	108,5	28618	29554	0,04
0,30-0,275-92,7-13	21,7	26895	2,4	3,50	6,35	16,9	109,6	27486	27959	0,04
0,30-0,275-92,7-14	21,7	24620	2,6	3,50	8,27	18,9	111,6	24615	25404	0,03
0,30-0,275-92,7-15	21,7	24185	2,6	3,50	8,45	18,9	111,6	23865	24886	0,03
0,30-0,275-92,7-16	21,7	23971	2,6	3,50	8,38	19,2	111,9	24049	24645	0,03
0,30-0,275-92,7-17	21,7									
0,30-0,275-92,7-18	21,7									
0,30-0,275-92,7-19	21,7	32367	2,5	3,50	4,93	15,8	108,5	32566	33284	0,03
0,30-0,275-92,7-20	21,7	24195	2,4	3,50	7,74	17,4	110,1	24663	25373	0,05
0,30-0,275-92,7-21	21,7	21237	2,4	3,50	9,37	17,9	110,6	21760	22505	0,06
0,30-0,275-92,7-22	21,7	18162	2,2	3,06	10,00	17,2	109,9	18801	19438	0,07
0,30-0,275-92,7-23	21,7	13330	1,6	2,09	10,00	13,7	106,4	13035	14410	0,08
0,30-0,275-92,7-24	21,7									
0,30-0,275-92,7-25	21,7									
0,30-0,275-92,7-26	21,7	30291	2,7	3,50	5,36	18,3	111,0	30748	31395	0,04
0,30-0,275-92,7-27	21,7	34858	3,2	3,50	3,89	20,6	113,3	35525	35979	0,03
0,30-0,275-92,7-28	21,7									
0,30-0,275-92,7-29	21,7	20547	2,9	3,50	3,44	21,5	114,2	21329	21930	0,07
0,30-0,275-92,7-30	21,7	22494	2,7	3,50	4,28	19,9	112,6	23243	23772	0,06
0,30-0,275-92,7-31	21,7	24440	2,6	3,50	5,26	18,8	111,5	25149	25648	0,05
0,30-0,275-92,7-32	21,7	29632	2,3	3,50	7,70	15,2	107,9	29623	30611	0,03

Protótipo	$l/d_p$	$M_{ro}$ [kN.cm]	$\delta$ [cm]	- $\varepsilon_c$ [%o]	$\varepsilon_s$ [%o]	$\Delta f_{ps}$ [kN/cm <sup>2</sup> ]	$f_{ps}$ [kN/cm <sup>2</sup> ]	$M_{res}$ (numerico) [kN.cm]	$M_{res}$ (analit.) [kN.cm]	$\Delta M_r/M_{ro}$
0,70-0,150-92,7-REF	21,7									
0,70-0,150-92,7-01	21,7	14305	1,6	2,48	10,00	13,2	105,9	15356	15551	0,09
0,70-0,150-92,7-02	21,7	14305	1,6	2,41	10,00	13,6	106,3	15101	15583	0,09
0,70-0,150-92,7-03	21,7									
0,70-0,150-92,7-04	21,7									
0,70-0,150-92,7-05	21,7									
0,70-0,150-92,7-06	21,7									
0,70-0,150-92,7-07	21,7									
0,70-0,150-92,7-08	21,7									
0,70-0,150-92,7-09	21,7									
0,70-0,150-92,7-10	21,7									
0,70-0,150-92,7-11	21,7	25024	1,6	3,50	6,00	11,6	104,3	26617	27103	0,08
0,70-0,150-92,7-12	21,7									
0,70-0,150-92,7-13	21,7									
0,70-0,150-92,7-14	21,7									
0,70-0,150-92,7-15	21,7									
0,70-0,150-92,7-16	21,7									
0,70-0,150-92,7-17	21,7	26420	2,3	3,50	6,33	16,1	108,8	27039	27680	0,05
0,70-0,150-92,7-18	21,7	18551	2,1	3,19	10,00	16,4	109,1	19104	20009	0,08
0,70-0,150-92,7-19	21,7	15744	1,8	2,84	10,00	14,8	107,5	16536	17113	0,09
0,70-0,150-92,7-20	21,7	13578	1,5	2,18	10,00	13,3	106,0	12884	14837	0,09
0,70-0,150-92,7-21	21,7	12844	1,4	2,10	10,00	13,2	105,9	12397	14107	0,10
0,70-0,150-92,7-22	21,7									
0,70-0,150-92,7-23	21,7	10985	1,4	1,93	10,00	12,7	105,4	11552	12234	0,11
0,70-0,150-92,7-24	21,7									
0,70-0,150-92,7-25	21,7	13212	1,6	2,36	10,00	14,5	107,2	13354	14590	0,10
0,70-0,150-92,7-26	21,7									
0,70-0,150-92,7-27	21,7									
0,70-0,150-92,7-28	21,7	18551	2,7	3,36	10,00	21,7	114,4	19479	20470	0,10
0,70-0,150-92,7-29	21,7									
0,70-0,150-92,7-30	21,7									
0,70-0,150-92,7-31	21,7	13729	1,6	2,37	10,00	14,7	107,4	12238	15113	0,10
0,70-0,150-92,7-32	21,7									

Protótipo	$l/d_p$	$M_{ro}$ [kN.cm]	$\delta$ [cm]	$-\varepsilon_c$ [%o]	$\varepsilon_s$ [%o]	$\Delta f_{ps}$ [kN/cm <sup>2</sup> ]	$f_{ps}$ [kN/cm <sup>2</sup> ]	$M_{res}$ (numerico) [kN.cm]	$M_{res}$ (analit.) [kN.cm]	$\Delta M_r/M_{ro}$
0,70-0,275-92,7-REF	21,7	24557	1,9	3,50	6,80	13,3	106,0	25253	26482	0,08
0,70-0,275-92,7-01	21,7	24557	1,6	3,50	7,43	10,9	103,6	24830	26148	0,06
0,70-0,275-92,7-02	21,7	24557	1,7	3,50	6,95	11,8	104,5	25492	26268	0,07
0,70-0,275-92,7-03	21,7	24557	1,8	3,50	6,71	12,4	105,1	25309	26362	0,07
0,70-0,275-92,7-04	21,7	24557	2,0	3,50	6,64	14,3	107,0	25707	26623	0,08
0,70-0,275-92,7-05	21,7	24557	2,1	3,50	7,31	15,1	107,8	25125	26738	0,09
0,70-0,275-92,7-06	21,7	24557	2,3	3,50	6,39	17,1	109,8	26138	27014	0,10
0,70-0,275-92,7-07	21,7									
0,70-0,275-92,7-08	21,7	21444	1,9	3,50	5,24	14,2	106,9	22438	23413	0,09
0,70-0,275-92,7-09	21,7	22801	1,9	3,50	5,98	13,7	106,4	23682	24749	0,09
0,70-0,275-92,7-10	21,7	26184	1,8	3,50	7,31	12,7	105,4	27279	28052	0,07
0,70-0,275-92,7-11	21,7									
0,70-0,275-92,7-12	21,7	27445	1,7	3,50	5,41	12,0	104,7	28132	29419	0,07
0,70-0,275-92,7-13	21,7	24196	1,9	3,50	6,77	13,4	106,1	25069	26095	0,08
0,70-0,275-92,7-14	21,7									
0,70-0,275-92,7-15	21,7	17857	2,0	3,05	10,00	16,4	109,1	18211	19317	0,08
0,70-0,275-92,7-16	21,7	17333	2,0	2,96	10,00	16,1	108,8	17852	18690	0,08
0,70-0,275-92,7-17	21,7									
0,70-0,275-92,7-18	21,7	31142	2,1	3,50	4,45	13,0	105,7	31505	32801	0,05
0,70-0,275-92,7-19	21,7	26830	1,9	3,50	5,88	13,1	105,8	27414	28655	0,07
0,70-0,275-92,7-20	21,7	23391	1,8	3,50	7,22	13,3	106,0	24232	25355	0,08
0,70-0,275-92,7-21	21,7	22205	1,8	3,50	8,76	13,9	106,6	22701	24299	0,09
0,70-0,275-92,7-22	21,7	21000	1,7	3,50	9,31	13,7	106,4	21337	23107	0,10
0,70-0,275-92,7-23	21,7	19156	1,6	3,50	9,15	12,9	105,6	20683	21190	0,11
0,70-0,275-92,7-24	21,7	21000	1,7	3,50	8,35	12,7	105,4	22390	22958	0,09
0,70-0,275-92,7-25	21,7	22800	1,7	3,50	7,36	12,7	105,4	24160	24699	0,08
0,70-0,275-92,7-26	21,7	25930	2,0	3,50	6,43	14,3	107,0	26728	27946	0,08
0,70-0,275-92,7-27	21,7	27937	2,3	3,50	5,52	15,7	108,4	28874	30065	0,08
0,70-0,275-92,7-28	21,7									
0,70-0,275-92,7-29	21,7	21905	1,9	3,50	3,78	14,0	106,7	23068	23928	0,09
0,70-0,275-92,7-30	21,7	22700	2,0	3,50	4,82	14,7	107,4	23905	24829	0,09
0,70-0,275-92,7-31	21,7	23496	1,9	3,50	5,72	13,8	106,5	24312	25499	0,09
0,70-0,275-92,7-32	21,7	25617	1,8	3,50	7,71	12,8	105,5	26752	27477	0,07

Protótipo	$l/d_p$	$M_{ro}$ [kN.cm]	$\delta$ [cm]	- $\varepsilon_c$ [%o]	$\varepsilon_s$ [%o]	$\Delta f_{ps}$ [kN/cm <sup>2</sup> ]	$f_{ps}$ [kN/cm <sup>2</sup> ]	$M_{res}$ (numerico) [kN.cm]	$M_{res}$ (analit.) [kN.cm]	$\Delta M_r/M_{ro}$
0,30-0,150-112,5-REF	21,7									
0,30-0,150-112,5-01	21,7	15830	1,6	2,15	10,00	13,0	125,5	14734	16282	0,03
0,30-0,150-112,5-02	21,7									
0,30-0,150-112,5-03	21,7									
0,30-0,150-112,5-04	21,7	15830	2,3	2,32	10,00	19,0	131,5	15085	16493	0,04
0,30-0,150-112,5-05	21,7	15830	2,5	2,26	10,00	20,7	133,2	15244	16551	0,05
0,30-0,150-112,5-06	21,7	15830	3,2	2,68	10,00	26,8	139,3	16313	16761	0,06
0,30-0,150-112,5-07	21,7									
0,30-0,150-112,5-08	21,7									
0,30-0,150-112,5-09	21,7	13334	2,3	2,27	10,00	19,0	131,5	13298	13953	0,05
0,30-0,150-112,5-10	21,7									
0,30-0,150-112,5-11	21,7	22591	2,2	3,50	8,84	16,0	128,5	22980	23982	0,06
0,30-0,150-112,5-12	21,7	17695	2,2	3,00	10,00	17,6	130,1	17876	18573	0,05
0,30-0,150-112,5-13	21,7	16551	2,2	2,79	10,00	17,5	130,0	16895	17263	0,04
0,30-0,150-112,5-14	21,7									
0,30-0,150-112,5-15	21,7									
0,30-0,150-112,5-16	21,7									
0,30-0,150-112,5-17	21,7	42006	2,7	3,50	2,84	13,4	125,9	41275	42281	0,01
0,30-0,150-112,5-18	21,7	25811	2,6	3,50	7,72	17,9	130,4	25404	26350	0,02
0,30-0,150-112,5-19	21,7	19296	2,4	3,09	10,00	18,9	131,4	18562	19925	0,03
0,30-0,150-112,5-20	21,7									
0,30-0,150-112,5-21	21,7									
0,30-0,150-112,5-22	21,7									
0,30-0,150-112,5-23	21,7									
0,30-0,150-112,5-24	21,7									
0,30-0,150-112,5-25	21,7									
0,30-0,150-112,5-26	21,7	17927	2,6	2,90	10,00	20,4	132,9	18012	18616	0,04
0,30-0,150-112,5-27	21,7	20977	3,1	3,50	10,00	24,6	137,1	20763	21775	0,04
0,30-0,150-112,5-28	21,7	25811	3,7	3,50	7,55	28,9	141,4	25763	26676	0,03
0,30-0,150-112,5-29	21,7									
0,30-0,150-112,5-30	21,7	13349	2,6	2,89	10,00	21,5	134,0	12963	14098	0,06
0,30-0,150-112,5-31	21,7									
0,30-0,150-112,5-32	21,7									

Protótipo	$l/d_p$	$M_{ro}$ [kN.cm]	$\delta$ [cm]	$-\varepsilon_c$ [%o]	$\varepsilon_s$ [%o]	$\Delta f_{ps}$ [kN/cm <sup>2</sup> ]	$f_{ps}$ [kN/cm <sup>2</sup> ]	$M_{res}$ (numerico) [kN.cm]	$M_{res}$ (analit.) [kN.cm]	$\Delta M_r/M_{ro}$
0,30-0,275-112,5-REF	21,7	27064	2,5	3,50	6,36	16,4	128,9	27446	27935	0,03
0,30-0,275-112,5-01	21,7	27064	1,7	3,50	7,62	10,1	122,6	26449	27605	0,02
0,30-0,275-112,5-02	21,7	27064	2,0	3,50	6,83	11,9	124,4	26999	27700	0,02
0,30-0,275-112,5-03	21,7	27064	2,2	3,50	6,88	14,3	126,8	26975	27823	0,03
0,30-0,275-112,5-04	21,7	27064	2,6	3,50	6,58	18,2	130,7	27127	28031	0,04
0,30-0,275-112,5-05	21,7	27064	3,0	3,50	6,74	21,4	133,9	27374	28198	0,04
0,30-0,275-112,5-06	21,7	27064	3,6	3,50	6,58	26,3	138,8	27869	28458	0,05
0,30-0,275-112,5-07	21,7	16887	3,0	3,50	5,60	22,7	135,2	17334	17925	0,06
0,30-0,275-112,5-08	21,7	19776	2,8	3,50	6,57	20,7	133,2	19575	20776	0,05
0,30-0,275-112,5-09	21,7	22808	2,7	3,50	6,38	18,9	131,4	23004	23766	0,04
0,30-0,275-112,5-10	21,7	31434	2,3	3,50	7,21	14,5	127,0	31433	32235	0,03
0,30-0,275-112,5-11	21,7	36740	2,2	3,50	3,23	12,0	124,5	37207	38096	0,04
0,30-0,275-112,5-12	21,7	29870	2,4	3,50	4,45	15,0	127,5	30197	30975	0,04
0,30-0,275-112,5-13	21,7	28150	2,4	3,50	6,01	15,6	128,1	28243	29107	0,03
0,30-0,275-112,5-14	21,7	25461	2,5	3,50	7,77	17,6	130,1	25221	26177	0,03
0,30-0,275-112,5-15	21,7	24941	2,6	3,50	8,47	18,4	130,9	24591	25613	0,03
0,30-0,275-112,5-16	21,7	24685	2,6	3,50	8,27	18,3	130,8	24519	25318	0,03
0,30-0,275-112,5-17	21,7									
0,30-0,275-112,5-18	21,7									
0,30-0,275-112,5-19	21,7	32399	2,5	3,50	4,93	15,2	127,7	32032	33128	0,02
0,30-0,275-112,5-20	21,7	24220	2,5	3,50	8,23	17,4	129,9	24479	25193	0,04
0,30-0,275-112,5-21	21,7	21259	2,5	3,50	10,00	18,6	131,1	21592	22350	0,05
0,30-0,275-112,5-22	21,7	18181	2,2	3,06	10,00	16,9	129,4	18713	19218	0,06
0,30-0,275-112,5-23	21,7	13345	1,5	2,33	10,00	12,8	125,3	13912	14179	0,06
0,30-0,275-112,5-24	21,7									
0,30-0,275-112,5-25	21,7									
0,30-0,275-112,5-26	21,7	30321	2,7	3,50	5,35	17,8	130,3	30548	31209	0,03
0,30-0,275-112,5-27	21,7	34891	3,2	3,50	4,07	20,2	132,7	35134	35799	0,03
0,30-0,275-112,5-28	21,7									
0,30-0,275-112,5-29	21,7	20567	3,0	3,50	3,98	21,3	133,8	20731	21697	0,05
0,30-0,275-112,5-30	21,7	22516	2,8	3,50	4,73	19,9	132,4	22852	23575	0,05
0,30-0,275-112,5-31	21,7	24465	2,6	3,50	5,26	18,3	130,8	24934	25436	0,04
0,30-0,275-112,5-32	21,7	29662	2,3	3,50	8,41	15,4	127,9	29368	30480	0,03

Protótipo	$l/d_p$	$M_{ro}$ [kN.cm]	$\delta$ [cm]	- $\varepsilon_c$ [%o]	$\varepsilon_s$ [%o]	$\Delta f_{ps}$ [kN/cm <sup>2</sup> ]	$f_{ps}$ [kN/cm <sup>2</sup> ]	$M_{res}$ (numerico) [kN.cm]	$M_{res}$ (analit.) [kN.cm]	$\Delta M_r/M_{ro}$
0,70-0,150-112,5-REF	21,7									
0,70-0,150-112,5-01	21,7	14363	1,6	2,50	10,00	12,8	125,3	15420	15361	0,07
0,70-0,150-112,5-02	21,7	14363	1,6	2,39	10,00	13,3	125,8	14925	15400	0,07
0,70-0,150-112,5-03	21,7									
0,70-0,150-112,5-04	21,7									
0,70-0,150-112,5-05	21,7									
0,70-0,150-112,5-06	21,7									
0,70-0,150-112,5-07	21,7									
0,70-0,150-112,5-08	21,7	12533	1,6	1,96	10,00	15,7	128,2	10204	13686	0,09
0,70-0,150-112,5-09	21,7									
0,70-0,150-112,5-10	21,7									
0,70-0,150-112,5-11	21,7	28534	1,5	3,50	4,92	10,9	123,4	30126	30330	0,06
0,70-0,150-112,5-12	21,7	18431	1,7	3,00	10,00	13,8	126,3	17270	19912	0,08
0,70-0,150-112,5-13	21,7									
0,70-0,150-112,5-14	21,7									
0,70-0,150-112,5-15	21,7									
0,70-0,150-112,5-16	21,7									
0,70-0,150-112,5-17	21,7	26517	2,4	3,50	6,95	16,2	128,7	26808	27568	0,04
0,70-0,150-112,5-18	21,7	18623	2,1	3,15	10,00	16,2	128,7	18985	19813	0,06
0,70-0,150-112,5-19	21,7	15806	1,8	2,87	10,00	14,6	127,1	16289	16925	0,07
0,70-0,150-112,5-20	21,7	13632	1,4	2,11	10,00	12,9	125,4	12325	14646	0,07
0,70-0,150-112,5-21	21,7	12896	1,4	2,08	10,00	12,9	125,4	12166	13923	0,08
0,70-0,150-112,5-22	21,7									
0,70-0,150-112,5-23	21,7	11030	1,4	1,89	10,00	12,6	125,1	11305	12050	0,09
0,70-0,150-112,5-24	21,7									
0,70-0,150-112,5-25	21,7									
0,70-0,150-112,5-26	21,7									
0,70-0,150-112,5-27	21,7									
0,70-0,150-112,5-28	21,7	18623	2,7	3,30	10,00	20,9	133,4	19256	20156	0,08
0,70-0,150-112,5-29	21,7									
0,70-0,150-112,5-30	21,7									
0,70-0,150-112,5-31	21,7	13784	1,6	2,36	10,00	14,4	126,9	12054	14903	0,08
0,70-0,150-112,5-32	21,7									

Protótipo	$l/d_p$	$M_{ro}$ [kN.cm]	$\delta$ [cm]	$-\varepsilon_c$ [%o]	$\varepsilon_s$ [%o]	$\Delta f_{ps}$ [kN/cm <sup>2</sup> ]	$f_{ps}$ [kN/cm <sup>2</sup> ]	$M_{res}$ (numerico) [kN.cm]	$M_{res}$ (analit.) [kN.cm]	$\Delta M_r/M_{ro}$
0,70-0,275-112,5-REF	21,7	24556	1,9	3,50	6,81	13,1	125,6	24958	26122	0,06
0,70-0,275-112,5-01	21,7	24556	1,6	3,50	7,55	10,8	123,3	24527	25857	0,05
0,70-0,275-112,5-02	21,7	24556	1,7	3,50	7,77	12,1	124,6	24312	26011	0,06
0,70-0,275-112,5-03	21,7	24556	1,8	3,50	6,77	12,3	124,8	25038	26026	0,06
0,70-0,275-112,5-04	21,7	24556	2,0	3,50	7,32	14,3	126,8	25046	26269	0,07
0,70-0,275-112,5-05	21,7	24556	2,1	3,50	7,29	14,8	127,3	24798	26328	0,07
0,70-0,275-112,5-06	21,7	24556	2,3	3,50	6,74	16,5	129,0	25787	26530	0,08
0,70-0,275-112,5-07	21,7									
0,70-0,275-112,5-08	21,7	21435	1,9	3,50	5,66	14,3	126,8	21927	23075	0,08
0,70-0,275-112,5-09	21,7	22778	1,9	3,50	6,26	13,9	126,4	23403	24410	0,07
0,70-0,275-112,5-10	21,7	26206	1,8	3,50	7,76	12,6	125,1	26728	27746	0,06
0,70-0,275-112,5-11	21,7									
0,70-0,275-112,5-12	21,7	30664	1,6	3,50	4,26	10,9	123,4	31713	32332	0,05
0,70-0,275-112,5-13	21,7	26986	1,8	3,50	6,00	12,4	124,9	27446	28646	0,06
0,70-0,275-112,5-14	21,7	20848	2,1	3,50	10,00	15,9	128,4	20891	22367	0,07
0,70-0,275-112,5-15	21,7	19618	2,1	3,09	10,00	16,3	128,8	19957	21030	0,07
0,70-0,275-112,5-16	21,7	19000	2,1	3,21	10,00	15,9	128,4	19327	20302	0,07
0,70-0,275-112,5-17	21,7									
0,70-0,275-112,5-18	21,7	31142	2,1	3,50	5,02	13,3	125,8	31194	32538	0,04
0,70-0,275-112,5-19	21,7	26829	2,0	3,50	6,32	13,3	125,8	27175	28362	0,06
0,70-0,275-112,5-20	21,7	23390	1,9	3,50	7,90	13,7	126,2	23913	25059	0,07
0,70-0,275-112,5-21	21,7	22204	1,8	3,50	8,93	13,7	126,2	22326	23916	0,08
0,70-0,275-112,5-22	21,7	20999	1,8	3,50	10,00	14,1	126,6	20093	22792	0,09
0,70-0,275-112,5-23	21,7	19155	1,6	3,50	9,65	13,1	125,6	20340	20867	0,09
0,70-0,275-112,5-24	21,7	20999	1,7	3,50	8,39	12,5	125,0	22087	22594	0,08
0,70-0,275-112,5-25	21,7	22800	1,7	3,50	7,66	12,6	125,1	23722	24361	0,07
0,70-0,275-112,5-26	21,7	25929	2,0	3,50	6,49	13,8	126,3	26090	27543	0,06
0,70-0,275-112,5-27	21,7	27937	2,3	3,50	5,66	15,5	128,0	28443	29673	0,06
0,70-0,275-112,5-28	21,7									
0,70-0,275-112,5-29	21,7	21904	2,0	3,50	3,73	14,3	126,8	22980	23613	0,08
0,70-0,275-112,5-30	21,7	22700	1,9	3,50	5,13	14,0	126,5	22980	24372	0,07
0,70-0,275-112,5-31	21,7	23495	1,9	3,50	5,70	13,6	126,1	24033	25121	0,07
0,70-0,275-112,5-32	21,7	25617	1,8	3,50	7,94	12,6	125,1	26154	27129	0,06

Protótipo	$l/d_p$	$M_{ro}$ [kN.cm]	$\delta$ [cm]	- $\varepsilon_c$ [%o]	$\varepsilon_s$ [%o]	$\Delta f_{ps}$ [kN/cm <sup>2</sup> ]	$f_{ps}$ [kN/cm <sup>2</sup> ]	$M_{res}$ (numerico) [kN.cm]	$M_{res}$ (analit.) [kN.cm]	$\Delta M_r/M_{ro}$
0,30-0,150-132,3-REF	21,7									
0,30-0,150-132,3-01	21,7	15792	1,6	2,15	10,00	11,8	144,1	14614	16142	0,02
0,30-0,150-132,3-02	21,7									
0,30-0,150-132,3-03	21,7									
0,30-0,150-132,3-04	21,7	15792	2,4	2,41	10,00	17,6	149,9	15882	16314	0,03
0,30-0,150-132,3-05	21,7	15792	2,6	2,48	10,00	19,3	151,6	15164	16364	0,04
0,30-0,150-132,3-06	21,7	15792	3,1	2,58	10,00	22,8	155,1	15914	16468	0,04
0,30-0,150-132,3-07	21,7									
0,30-0,150-132,3-08	21,7									
0,30-0,150-132,3-09	21,7	13341	2,3	2,46	10,00	17,2	149,5	13410	13816	0,04
0,30-0,150-132,3-10	21,7									
0,30-0,150-132,3-11	21,7	24291	2,1	3,50	7,48	13,5	145,8	24575	25429	0,05
0,30-0,150-132,3-12	21,7	18664	2,2	3,06	10,00	15,4	147,7	18650	19422	0,04
0,30-0,150-132,3-13	21,7	17336	2,2	2,87	10,00	15,6	147,9	17126	17966	0,04
0,30-0,150-132,3-14	21,7									
0,30-0,150-132,3-15	21,7									
0,30-0,150-132,3-16	21,7									
0,30-0,150-132,3-17	21,7	41929	2,7	3,50	2,84	12,2	144,5	41187	42142	0,01
0,30-0,150-132,3-18	21,7	25754	2,6	3,50	7,72	16,1	148,4	25261	26164	0,02
0,30-0,150-132,3-19	21,7	19252	2,4	3,03	10,00	17,0	149,3	18339	19731	0,02
0,30-0,150-132,3-20	21,7									
0,30-0,150-132,3-21	21,7									
0,30-0,150-132,3-22	21,7									
0,30-0,150-132,3-23	21,7									
0,30-0,150-132,3-24	21,7									
0,30-0,150-132,3-25	21,7									
0,30-0,150-132,3-26	21,7	17885	2,6	2,89	10,00	18,3	150,6	18091	18411	0,03
0,30-0,150-132,3-27	21,7	20929	3,1	3,29	10,00	21,2	153,5	20460	21513	0,03
0,30-0,150-132,3-28	21,7	25754	3,8	3,50	8,05	25,1	157,4	25452	26395	0,02
0,30-0,150-132,3-29	21,7									
0,30-0,150-132,3-30	21,7									
0,30-0,150-132,3-31	21,7	14378	2,4	2,59	10,00	17,3	149,6	13793	14890	0,04
0,30-0,150-132,3-32	21,7									

Protótipo	$l/d_p$	$M_{ro}$ [kN.cm]	$\delta$ [cm]	$-\varepsilon_c$ [%o]	$\varepsilon_s$ [%o]	$\Delta f_{ps}$ [kN/cm <sup>2</sup> ]	$f_{ps}$ [kN/cm <sup>2</sup> ]	$M_{res}$ (numerico) [kN.cm]	$M_{res}$ (analit.) [kN.cm]	$\Delta M_r/M_{ro}$
0,30-0,275-132,3-REF	21,7	27014	2,4	3,50	6,35	14,8	147,1	27247	27682	0,02
0,30-0,275-132,3-01	21,7	27014	1,8	3,50	7,58	9,3	141,6	26409	27434	0,02
0,30-0,275-132,3-02	21,7	27014	2,0	3,50	6,85	10,9	143,2	26848	27508	0,02
0,30-0,275-132,3-03	21,7	27014	2,2	3,50	6,89	12,9	145,2	26800	27600	0,02
0,30-0,275-132,3-04	21,7	27014	2,7	3,50	7,09	16,7	149,0	26864	27769	0,03
0,30-0,275-132,3-05	21,7	27014	3,0	3,50	6,95	19,0	151,3	26960	27875	0,03
0,30-0,275-132,3-06	21,7	27014	3,5	3,50	6,49	22,7	155,0	27271	28039	0,04
0,30-0,275-132,3-07	21,7	16897	3,0	3,50	5,57	20,0	152,3	17078	17676	0,05
0,30-0,275-132,3-08	21,7	19790	2,8	3,50	6,19	18,2	150,5	19591	20540	0,04
0,30-0,275-132,3-09	21,7	22812	2,7	3,50	6,37	16,9	149,2	22789	23542	0,03
0,30-0,275-132,3-10	21,7	31452	2,3	3,50	7,17	13,1	145,4	31306	32071	0,02
0,30-0,275-132,3-11	21,7									
0,30-0,275-132,3-12	21,7	31288	2,3	3,50	5,02	12,9	145,2	31083	32202	0,03
0,30-0,275-132,3-13	21,7	29341	2,4	3,50	5,67	13,8	146,1	29432	30168	0,03
0,30-0,275-132,3-14	21,7	26231	2,5	3,50	7,49	15,4	147,7	25883	26849	0,02
0,30-0,275-132,3-15	21,7	25628	2,5	3,50	7,48	15,8	148,1	25691	26199	0,02
0,30-0,275-132,3-16	21,7	25331	2,5	3,50	7,75	15,8	148,1	24966	25869	0,02
0,30-0,275-132,3-17	21,7									
0,30-0,275-132,3-18	21,7									
0,30-0,275-132,3-19	21,7	32342	2,5	3,50	4,92	13,8	146,1	31856	32904	0,02
0,30-0,275-132,3-20	21,7	24175	2,5	3,50	8,29	15,7	148,0	24232	24920	0,03
0,30-0,275-132,3-21	21,7	21218	2,4	3,50	9,70	16,0	148,3	21473	22014	0,04
0,30-0,275-132,3-22	21,7	18146	2,2	3,00	10,00	15,1	147,4	18331	18934	0,04
0,30-0,275-132,3-23	21,7	13318	1,5	1,93	10,00	11,5	143,8	12732	13958	0,05
0,30-0,275-132,3-24	21,7									
0,30-0,275-132,3-25	21,7									
0,30-0,275-132,3-26	21,7	30267	2,7	3,50	5,34	16,0	148,3	30333	30946	0,02
0,30-0,275-132,3-27	21,7	34831	3,2	3,50	4,06	18,0	150,3	34903	35522	0,02
0,30-0,275-132,3-28	21,7									
0,30-0,275-132,3-29	21,7	20531	2,9	3,50	3,95	18,9	151,2	20420	21386	0,04
0,30-0,275-132,3-30	21,7	22476	2,9	3,50	4,76	18,0	150,3	22757	23291	0,04
0,30-0,275-132,3-31	21,7	24421	2,6	3,50	5,29	16,4	148,7	24671	25164	0,03
0,30-0,275-132,3-32	21,7	29607	2,3	3,50	8,43	13,9	146,2	29185	30236	0,02

Protótipo	$l/d_p$	$M_{ro}$ [kN.cm]	$\delta$ [cm]	- $\varepsilon_c$ [%o]	$\varepsilon_s$ [%o]	$\Delta f_{ps}$ [kN/cm <sup>2</sup> ]	$f_{ps}$ [kN/cm <sup>2</sup> ]	$M_{res}$ (numerico) [kN.cm]	$M_{res}$ (analit.) [kN.cm]	$\Delta M_r/M_{ro}$
0,70-0,150-132,3-REF	21,7									
0,70-0,150-132,3-01	21,7	14357	1,5	2,39	10,00	11,6	143,9	14638	15129	0,05
0,70-0,150-132,3-02	21,7									
0,70-0,150-132,3-03	21,7									
0,70-0,150-132,3-04	21,7									
0,70-0,150-132,3-05	21,7									
0,70-0,150-132,3-06	21,7									
0,70-0,150-132,3-07	21,7									
0,70-0,150-132,3-08	21,7									
0,70-0,150-132,3-09	21,7									
0,70-0,150-132,3-10	21,7									
0,70-0,150-132,3-11	21,7									
0,70-0,150-132,3-12	21,7									
0,70-0,150-132,3-13	21,7									
0,70-0,150-132,3-14	21,7									
0,70-0,150-132,3-15	21,7									
0,70-0,150-132,3-16	21,7									
0,70-0,150-132,3-17	21,7	26508	2,4	3,50	6,93	14,6	146,9	26593	27316	0,03
0,70-0,150-132,3-18	21,7	18617	2,1	3,08	10,00	14,4	146,7	18705	19519	0,05
0,70-0,150-132,3-19	21,7									
0,70-0,150-132,3-20	21,7	13627	1,4	2,11	10,00	11,7	144,0	12126	14414	0,06
0,70-0,150-132,3-21	21,7	12891	1,4	2,06	10,00	11,8	144,1	11982	13687	0,06
0,70-0,150-132,3-22	21,7									
0,70-0,150-132,3-23	21,7	11026	1,4	1,84	10,00	11,5	143,8	11065	11823	0,07
0,70-0,150-132,3-24	21,7									
0,70-0,150-132,3-25	21,7									
0,70-0,150-132,3-26	21,7									
0,70-0,150-132,3-27	21,7									
0,70-0,150-132,3-28	21,7	18617	2,8	3,30	10,00	19,5	151,8	19144	19837	0,07
0,70-0,150-132,3-29	21,7									
0,70-0,150-132,3-30	21,7									
0,70-0,150-132,3-31	21,7	13779	1,5	2,25	10,00	12,7	145,0	13920	14622	0,06
0,70-0,150-132,3-32	21,7									

Protótipo	$l/d_p$	$M_{ro}$ [kN.cm]	$\delta$ [cm]	$-\varepsilon_c$ [%o]	$\varepsilon_s$ [%o]	$\Delta f_{ps}$ [kN/cm <sup>2</sup> ]	$f_{ps}$ [kN/cm <sup>2</sup> ]	$M_{res}$ (numerico) [kN.cm]	$M_{res}$ (analit.) [kN.cm]	$\Delta M_r/M_{ro}$
0,70-0,275-132,3-REF	21,7	24548	1,9	3,50	7,31	12,3	144,6	24711	25807	0,05
0,70-0,275-132,3-01	21,7	24548	1,6	3,50	7,55	9,9	142,2	24352	25566	0,04
0,70-0,275-132,3-02	21,7	24548	1,7	3,50	7,79	11,1	143,4	24065	25686	0,05
0,70-0,275-132,3-03	21,7	24548	1,8	3,50	6,80	11,2	143,5	24758	25697	0,05
0,70-0,275-132,3-04	21,7	24548	2,0	3,50	7,34	13,0	145,3	24734	25878	0,05
0,70-0,275-132,3-05	21,7	24548	2,1	3,50	7,28	13,7	146,0	24703	25951	0,06
0,70-0,275-132,3-06	21,7	24548	2,3	3,50	7,42	15,1	147,4	24878	26085	0,06
0,70-0,275-132,3-07	21,7									
0,70-0,275-132,3-08	21,7	21470	2,0	3,50	5,47	13,3	145,6	22079	22777	0,06
0,70-0,275-132,3-09	21,7	22812	2,0	3,50	6,23	12,7	145,0	23068	24086	0,06
0,70-0,275-132,3-10	21,7	26231	1,8	3,50	7,90	11,7	144,0	26361	27444	0,05
0,70-0,275-132,3-11	21,7									
0,70-0,275-132,3-12	21,7									
0,70-0,275-132,3-13	21,7	29608	1,8	3,50	4,92	10,8	143,1	30397	30971	0,05
0,70-0,275-132,3-14	21,7	22726	2,0	3,50	8,09	13,0	145,3	23195	23924	0,05
0,70-0,275-132,3-15	21,7	21325	2,1	3,50	9,32	13,9	146,2	21648	22493	0,05
0,70-0,275-132,3-16	21,7	20619	2,1	3,50	10,00	14,4	146,7	20747	21769	0,06
0,70-0,275-132,3-17	21,7									
0,70-0,275-132,3-18	21,7	31132	2,1	3,50	5,02	12,1	144,4	30923	32222	0,04
0,70-0,275-132,3-19	21,7	26820	2,0	3,50	6,51	12,3	144,6	26768	28026	0,04
0,70-0,275-132,3-20	21,7	23382	1,8	3,50	8,34	12,4	144,7	23060	24676	0,06
0,70-0,275-132,3-21	21,7	22197	1,8	3,50	8,84	12,5	144,8	22079	23523	0,06
0,70-0,275-132,3-22	21,7	20992	1,8	3,50	10,00	13,0	145,3	19718	22397	0,07
0,70-0,275-132,3-23	21,7	19148	1,7	3,50	9,92	12,1	144,4	20021	20501	0,07
0,70-0,275-132,3-24	21,7	20992	1,8	3,50	10,00	13,2	145,5	20986	22417	0,07
0,70-0,275-132,3-25	21,7	22792	1,7	3,50	7,86	11,7	144,0	23323	24020	0,05
0,70-0,275-132,3-26	21,7	25921	2,0	3,50	6,53	12,6	144,9	25771	27179	0,05
0,70-0,275-132,3-27	21,7	27927	2,3	3,50	5,55	14,0	146,3	28148	29274	0,05
0,70-0,275-132,3-28	21,7									
0,70-0,275-132,3-29	21,7	21897	2,0	3,50	4,05	13,3	145,6	22087	23255	0,06
0,70-0,275-132,3-30	21,7	22692	1,9	3,50	5,45	12,8	145,1	22677	24000	0,06
0,70-0,275-132,3-31	21,7	23487	2,0	3,50	6,06	12,8	145,1	23722	24797	0,06
0,70-0,275-132,3-32	21,7	25608	1,9	3,50	9,60	12,7	145,0	25253	26910	0,05

Protótipo	$l/d_p$	$M_{ro}$ [kN.cm]	$\delta$ [cm]	- $\varepsilon_c$ [%o]	$\varepsilon_s$ [%o]	$\Delta f_{ps}$ [kN/cm <sup>2</sup> ]	$f_{ps}$ [kN/cm <sup>2</sup> ]	$M_{res}$ (numerico) [kN.cm]	$M_{res}$ (analit.) [kN.cm]	$\Delta M_r/M_{ro}$
0,30-0,150-152,0-REF	21,7									
0,30-0,150-152,0-01	21,7	15842	1,7	2,54	10,00	8,6	160,6	16616	16065	0,01
0,30-0,150-152,0-02	21,7									
0,30-0,150-152,0-03	21,7									
0,30-0,150-152,0-04	21,7	15842	2,4	2,33	10,00	12,3	164,3	15555	16159	0,02
0,30-0,150-152,0-05	21,7	15842	2,6	2,47	10,00	13,5	165,5	14941	16190	0,02
0,30-0,150-152,0-06	21,7	15842	3,2	2,57	10,00	15,7	167,7	15651	16247	0,03
0,30-0,150-152,0-07	21,7									
0,30-0,150-152,0-08	21,7									
0,30-0,150-152,0-09	21,7									
0,30-0,150-152,0-10	21,7									
0,30-0,150-152,0-11	21,7	25974	2,0	3,50	6,91	9,3	161,3	25572	26733	0,03
0,30-0,150-152,0-12	21,7	19668	2,3	3,15	10,00	11,1	163,1	19431	20207	0,03
0,30-0,150-152,0-13	21,7	18166	2,2	2,92	10,00	11,0	163,0	17964	18605	0,02
0,30-0,150-152,0-14	21,7	16746	2,2	2,75	10,00	11,1	163,1	16584	17094	0,02
0,30-0,150-152,0-15	21,7									
0,30-0,150-152,0-16	21,7									
0,30-0,150-152,0-17	21,7	42030	2,7	3,50	2,84	8,9	160,9	41187	42166	0,00
0,30-0,150-152,0-18	21,7	25829	2,6	3,50	8,21	11,7	163,7	25149	26090	0,01
0,30-0,150-152,0-19	21,7	19311	2,4	3,01	10,00	12,0	164,0	18195	19607	0,02
0,30-0,150-152,0-20	21,7									
0,30-0,150-152,0-21	21,7									
0,30-0,150-152,0-22	21,7									
0,30-0,150-152,0-23	21,7									
0,30-0,150-152,0-24	21,7									
0,30-0,150-152,0-25	21,7									
0,30-0,150-152,0-26	21,7	17940	2,6	2,87	10,00	12,8	164,8	17948	18263	0,02
0,30-0,150-152,0-27	21,7	20993	3,1	3,25	10,00	14,6	166,6	20276	21344	0,02
0,30-0,150-152,0-28	21,7	25830	3,8	3,50	10,00	16,8	168,8	25229	26203	0,01
0,30-0,150-152,0-29	21,7									
0,30-0,150-152,0-30	21,7									
0,30-0,150-152,0-31	21,7	14423	2,3	2,57	10,00	12,2	164,2	13673	14738	0,02
0,30-0,150-152,0-32	21,7									

Protótipo	$l/d_p$	$M_{ro}$ [kN.cm]	$\delta$ [cm]	$-\varepsilon_c$ [%o]	$\varepsilon_s$ [%o]	$\Delta f_{ps}$ [kN/cm <sup>2</sup> ]	$f_{ps}$ [kN/cm <sup>2</sup> ]	$M_{res}$ (numerico) [kN.cm]	$M_{res}$ (analit.) [kN.cm]	$\Delta M_r/M_{ro}$
0,30-0,275-152,0-REF	21,7	27041	2,5	3,50	6,98	10,9	162,9	26952	27473	0,02
0,30-0,275-152,0-01	21,7	27041	1,8	3,50	7,65	6,9	159,0	26282	27316	0,01
0,30-0,275-152,0-02	21,7	27041	2,0	3,50	6,85	8,1	160,1	26744	27360	0,01
0,30-0,275-152,0-03	21,7	27041	2,2	3,50	6,90	9,4	161,5	26617	27415	0,01
0,30-0,275-152,0-04	21,7	27041	2,7	3,50	6,92	11,9	163,9	26680	27510	0,02
0,30-0,275-152,0-05	21,7	27041	3,0	3,50	6,93	13,3	165,3	26656	27568	0,02
0,30-0,275-152,0-06	21,7	27041	3,6	3,50	7,03	15,8	167,8	26983	27665	0,02
0,30-0,275-152,0-07	21,7	16892	3,0	3,50	5,83	14,1	166,1	16815	17371	0,03
0,30-0,275-152,0-08	21,7	19772	2,8	3,50	6,16	12,8	164,8	19304	20233	0,02
0,30-0,275-152,0-09	21,7	22821	2,6	3,50	6,65	12,1	164,1	22414	23277	0,02
0,30-0,275-152,0-10	21,7	31483	2,3	3,50	7,19	9,6	161,6	31122	31877	0,01
0,30-0,275-152,0-11	21,7									
0,30-0,275-152,0-12	21,7	32698	2,3	3,50	4,54	9,2	161,2	32470	33333	0,02
0,30-0,275-152,0-13	21,7	30528	2,4	3,50	5,46	9,8	161,8	30213	31100	0,02
0,30-0,275-152,0-14	21,7	28415	2,4	3,50	6,46	10,4	162,4	27980	28908	0,02
0,30-0,275-152,0-15	21,7	26365	2,5	3,50	7,49	11,0	163,0	25755	26758	0,01
0,30-0,275-152,0-16	21,7	26020	2,5	3,50	7,49	11,3	163,3	25747	26399	0,01
0,30-0,275-152,0-17	21,7									
0,30-0,275-152,0-18	21,7									
0,30-0,275-152,0-19	21,7	32373	2,5	3,50	4,95	10,0	162,0	31665	32730	0,01
0,30-0,275-152,0-20	21,7	24199	2,5	3,50	8,27	11,2	163,2	23977	24666	0,02
0,30-0,275-152,0-21	21,7	21241	2,5	3,50	10,00	12,0	164,0	21002	21764	0,02
0,30-0,275-152,0-22	21,7	18165	2,2	2,97	10,00	10,9	162,9	18099	18660	0,03
0,30-0,275-152,0-23	21,7	13332	1,5	1,97	10,00	8,5	160,5	12453	13746	0,03
0,30-0,275-152,0-24	21,7									
0,30-0,275-152,0-25	21,7									
0,30-0,275-152,0-26	21,7	30297	2,7	3,50	5,33	11,4	163,4	30118	30721	0,01
0,30-0,275-152,0-27	21,7	34864	3,2	3,50	4,06	12,7	164,7	34671	35290	0,01
0,30-0,275-152,0-28	21,7									
0,30-0,275-152,0-29	21,7	20551	2,9	3,50	3,88	13,2	165,2	20133	21074	0,03
0,30-0,275-152,0-30	21,7	22498	2,9	3,50	4,85	12,8	164,8	22414	23002	0,02
0,30-0,275-152,0-31	21,7	24445	2,6	3,50	5,25	11,7	163,7	24447	24906	0,02
0,30-0,275-152,0-32	21,7	29637	2,3	3,50	8,43	10,1	162,1	28993	30036	0,01

Protótipo	$l/d_p$	$M_{ro}$ [kN.cm]	$\delta$ [cm]	- $\varepsilon_c$ [%o]	$\varepsilon_s$ [%o]	$\Delta f_{ps}$ [kN/cm <sup>2</sup> ]	$f_{ps}$ [kN/cm <sup>2</sup> ]	$M_{res}$ (numerico) [kN.cm]	$M_{res}$ (analit.) [kN.cm]	$\Delta M_r/M_{ro}$
0,70-0,150-152,0-REF	21,7									
0,70-0,150-152,0-01	21,7	14331	1,5	2,35	10,00	8,4	160,4	14391	14817	0,03
0,70-0,150-152,0-02	21,7									
0,70-0,150-152,0-03	21,7									
0,70-0,150-152,0-04	21,7									
0,70-0,150-152,0-05	21,7									
0,70-0,150-152,0-06	21,7									
0,70-0,150-152,0-07	21,7									
0,70-0,150-152,0-08	21,7									
0,70-0,150-152,0-09	21,7									
0,70-0,150-152,0-10	21,7									
0,70-0,150-152,0-11	21,7									
0,70-0,150-152,0-12	21,7	22584	1,8	3,50	8,41	8,9	160,9	22525	23480	0,04
0,70-0,150-152,0-13	21,7									
0,70-0,150-152,0-14	21,7									
0,70-0,150-152,0-15	21,7									
0,70-0,150-152,0-16	21,7									
0,70-0,150-152,0-17	21,7	26462	2,4	3,50	6,92	10,6	162,6	26306	26973	0,02
0,70-0,150-152,0-18	21,7	18583	2,1	3,08	10,00	10,5	162,5	18307	19154	0,03
0,70-0,150-152,0-19	21,7									
0,70-0,150-152,0-20	21,7	13602	1,4	2,10	10,00	8,7	160,7	11831	14109	0,04
0,70-0,150-152,0-21	21,7	12867	1,4	2,05	10,00	8,5	160,5	11257	13367	0,04
0,70-0,150-152,0-22	21,7									
0,70-0,150-152,0-23	21,7									
0,70-0,150-152,0-24	21,7									
0,70-0,150-152,0-25	21,7									
0,70-0,150-152,0-26	21,7									
0,70-0,150-152,0-27	21,7									
0,70-0,150-152,0-28	21,7	18583	2,7	3,10	10,00	13,2	165,2	18331	19300	0,04
0,70-0,150-152,0-29	21,7									
0,70-0,150-152,0-30	21,7									
0,70-0,150-152,0-31	21,7									
0,70-0,150-152,0-32	21,7									

Protótipo	$l/d_p$	$M_{ro}$ [kN.cm]	$\delta$ [cm]	$-\varepsilon_c$ [%o]	$\varepsilon_s$ [%o]	$\Delta f_{ps}$ [kN/cm <sup>2</sup> ]	$f_{ps}$ [kN/cm <sup>2</sup> ]	$M_{res}$ (numerico) [kN.cm]	$M_{res}$ (analit.) [kN.cm]	$\Delta M_r/M_{ro}$
0,70-0,275-152,0-REF	21,7	24527	1,9	3,50	7,43	9,1	161,1	24264	25344	0,03
0,70-0,275-152,0-01	21,7	24527	1,6	3,50	7,59	7,4	159,5	24081	25194	0,03
0,70-0,275-152,0-02	21,7	24527	1,7	3,50	7,90	8,3	160,3	23634	25268	0,03
0,70-0,275-152,0-03	21,7	24527	1,8	3,50	7,45	8,7	160,7	24328	25302	0,03
0,70-0,275-152,0-04	21,7	24527	2,0	3,50	7,58	9,5	161,5	23985	25373	0,03
0,70-0,275-152,0-05	21,7	24527	2,1	3,50	8,02	10,2	162,2	23913	25438	0,04
0,70-0,275-152,0-06	21,7	24527	2,3	3,50	7,84	11,1	163,1	24065	25516	0,04
0,70-0,275-152,0-07	21,7									
0,70-0,275-152,0-08	21,7	21456	2,0	3,50	5,72	9,9	161,9	21369	22308	0,04
0,70-0,275-152,0-09	21,7	22789	2,0	3,50	6,51	9,7	161,7	22621	23636	0,04
0,70-0,275-152,0-10	21,7	26223	1,9	3,50	8,07	8,8	160,8	26481	27022	0,03
0,70-0,275-152,0-11	21,7									
0,70-0,275-152,0-12	21,7									
0,70-0,275-152,0-13	21,7	32060	1,7	3,50	4,11	7,6	159,6	32741	32963	0,03
0,70-0,275-152,0-14	21,7	27586	1,7	3,50	6,00	8,2	160,2	26928	28431	0,03
0,70-0,275-152,0-15	21,7	22981	2,0	3,50	8,56	9,8	161,8	22797	23786	0,04
0,70-0,275-152,0-16	21,7	22183	2,1	3,50	9,33	10,1	162,1	21895	22973	0,04
0,70-0,275-152,0-17	21,7									
0,70-0,275-152,0-18	21,7	31107	2,2	3,50	5,03	9,1	161,1	30883	31825	0,02
0,70-0,275-152,0-19	21,7	26798	2,0	3,50	6,45	9,1	161,1	26385	27576	0,03
0,70-0,275-152,0-20	21,7	23362	1,8	3,50	8,46	9,2	161,2	22645	24197	0,04
0,70-0,275-152,0-21	21,7	22178	1,9	3,50	9,73	9,6	161,6	21497	23070	0,04
0,70-0,275-152,0-22	21,7	20974	1,7	3,33	10,00	9,2	161,2	19335	21848	0,04
0,70-0,275-152,0-23	21,7	19131	1,6	3,37	10,00	9,0	161,0	19176	20008	0,05
0,70-0,275-152,0-24	21,7	20974	1,7	3,39	10,00	9,3	161,3	20420	21854	0,04
0,70-0,275-152,0-25	21,7									
0,70-0,275-152,0-26	21,7	25899	2,1	3,50	6,75	9,7	161,7	25763	26741	0,03
0,70-0,275-152,0-27	21,7	27904	2,4	3,50	6,11	10,5	162,5	27598	28788	0,03
0,70-0,275-152,0-28	21,7									
0,70-0,275-152,0-29	21,7	21879	2,1	3,50	4,58	10,2	162,2	21624	22787	0,04
0,70-0,275-152,0-30	21,7	22673	1,9	3,50	5,15	9,4	161,4	22653	23511	0,04
0,70-0,275-152,0-31	21,7	23467	2,0	3,50	6,05	9,4	161,4	23291	24310	0,04
0,70-0,275-152,0-32	21,7	25586	1,9	3,50	9,72	9,4	161,5	24758	26430	0,03

Protótipo	$l/d_p$	$M_{ro}$ [kN.cm]	$\delta$ [cm]	- $\varepsilon_c$ [%o]	$\varepsilon_s$ [%o]	$\Delta f_{ps}$ [kN/cm <sup>2</sup> ]	$f_{ps}$ [kN/cm <sup>2</sup> ]	$M_{res}$ (numerico) [kN.cm]	$M_{res}$ (analit.) [kN.cm]	$\Delta M_r/M_{ro}$
0,30-0,150-92,7-REF	38,7	15800	7,1	2,70	10,00	17,8	110,5	16443	16549	0,05
0,30-0,150-92,7-01	38,7	15800	5,2	2,50	10,00	12,5	105,2	16201	16327	0,03
0,30-0,150-92,7-02	38,7									
0,30-0,150-92,7-03	38,7									
0,30-0,150-92,7-04	38,7	15800	7,6	2,64	10,00	19,4	112,1	16329	16618	0,05
0,30-0,150-92,7-05	38,7	15800	8,3	2,46	10,00	21,7	114,4	16073	16716	0,06
0,30-0,150-92,7-06	38,7	15800	10,0	2,77	10,00	27,4	120,1	16671	16954	0,07
0,30-0,150-92,7-07	38,7									
0,30-0,150-92,7-08	38,7	11566	8,0	2,97	10,00	21,2	113,9	12225	12353	0,07
0,30-0,150-92,7-09	38,7									
0,30-0,150-92,7-10	38,7									
0,30-0,150-92,7-11	38,7	20806	7,0	3,50	9,38	16,5	109,2	21488	22288	0,07
0,30-0,150-92,7-12	38,7	16672	7,2	2,86	10,00	17,8	110,5	17384	17577	0,05
0,30-0,150-92,7-13	38,7									
0,30-0,150-92,7-14	38,7									
0,30-0,150-92,7-15	38,7									
0,30-0,150-92,7-16	38,7									
0,30-0,150-92,7-17	38,7	41945	8,6	3,50	2,65	13,5	106,2	41780	42280	0,01
0,30-0,150-92,7-18	38,7	25766	8,1	3,50	7,25	18,0	110,7	26019	26420	0,03
0,30-0,150-92,7-19	38,7	19261	7,9	3,12	10,00	19,3	112,0	19635	20037	0,04
0,30-0,150-92,7-20	38,7									
0,30-0,150-92,7-21	38,7									
0,30-0,150-92,7-22	38,7									
0,30-0,150-92,7-23	38,7									
0,30-0,150-92,7-24	38,7									
0,30-0,150-92,7-25	38,7									
0,30-0,150-92,7-26	38,7	17893	8,3	2,97	10,00	20,9	113,6	18367	18752	0,05
0,30-0,150-92,7-27	38,7	20939	10,0	3,50	9,87	25,2	117,9	21530	21929	0,05
0,30-0,150-92,7-28	38,7	25766	11,9	3,50	7,25	30,0	122,7	26390	26853	0,04
0,30-0,150-92,7-29	38,7									
0,30-0,150-92,7-30	38,7	13325	8,0	2,81	10,00	21,5	114,2	13394	14230	0,07
0,30-0,150-92,7-31	38,7									
0,30-0,150-92,7-32	38,7									

Protótipo	$l/d_p$	$M_{ro}$ [kN.cm]	$\delta$ [cm]	$-\varepsilon_c$ [%o]	$\varepsilon_s$ [%o]	$\Delta f_{ps}$ [kN/cm <sup>2</sup> ]	$f_{ps}$ [kN/cm <sup>2</sup> ]	$M_{res}$ (numerico) [kN.cm]	$M_{res}$ (analit.) [kN.cm]	$\Delta M_r/M_{ro}$
0,30-0,275-92,7-REF	38,7	27036	7,8	3,50	6,50	16,5	109,2	27672	28101	0,04
0,30-0,275-92,7-01	38,7	27036	5,4	3,50	6,80	9,4	102,1	27202	27644	0,02
0,30-0,275-92,7-02	38,7	27036	6,3	3,50	7,16	12,3	105,0	27387	27830	0,03
0,30-0,275-92,7-03	38,7	27036	7,0	3,50	6,54	14,1	106,8	27501	27944	0,03
0,30-0,275-92,7-04	38,7	27036	8,4	3,50	6,37	18,4	111,1	27729	28221	0,04
0,30-0,275-92,7-05	38,7	27036	9,4	3,50	6,23	21,3	114,0	27815	28403	0,05
0,30-0,275-92,7-06	38,7	27036	11,1	3,50	6,36	26,3	119,0	28028	28720	0,06
0,30-0,275-92,7-07	38,7	16915	9,2	3,50	5,41	22,3	115,0	17555	18153	0,07
0,30-0,275-92,7-08	38,7	19765	8,6	3,50	5,82	20,3	113,0	20162	20950	0,06
0,30-0,275-92,7-09	38,7	22801	8,2	3,50	6,12	18,6	111,3	23240	23942	0,05
0,30-0,275-92,7-10	38,7	31508	7,2	3,50	6,65	14,2	106,9	32004	32457	0,03
0,30-0,275-92,7-11	38,7	34322	6,9	3,50	3,46	12,4	105,1	34968	35840	0,04
0,30-0,275-92,7-12	38,7	28347	7,6	3,50	5,68	15,5	108,2	29054	29528	0,04
0,30-0,275-92,7-13	38,7	26895	7,8	3,50	6,51	16,6	109,3	27558	27942	0,04
0,30-0,275-92,7-14	38,7	24620	8,1	3,50	7,96	18,1	110,8	24694	25372	0,03
0,30-0,275-92,7-15	38,7	24185	8,3	3,50	8,31	18,8	111,5	24494	24882	0,03
0,30-0,275-92,7-16	38,7	23971	8,2	3,50	8,29	18,7	111,4	24110	24625	0,03
0,30-0,275-92,7-17	38,7									
0,30-0,275-92,7-18	38,7									
0,30-0,275-92,7-19	38,7	32367	8,0	3,50	4,66	15,3	108,0	32831	33256	0,03
0,30-0,275-92,7-20	38,7	24195	7,6	3,50	7,62	16,9	109,6	24779	25340	0,05
0,30-0,275-92,7-21	38,7	21237	7,6	3,50	9,42	17,7	110,4	21830	22491	0,06
0,30-0,275-92,7-22	38,7	18162	6,8	3,00	10,00	16,8	109,5	18737	19409	0,07
0,30-0,275-92,7-23	38,7	13330	4,9	2,34	10,00	12,7	105,4	14078	14334	0,08
0,30-0,275-92,7-24	38,7									
0,30-0,275-92,7-25	38,7									
0,30-0,275-92,7-26	38,7	30291	8,6	3,50	5,19	17,8	110,5	30893	31369	0,04
0,30-0,275-92,7-27	38,7	34858	10,0	3,50	3,90	20,3	113,0	35438	35963	0,03
0,30-0,275-92,7-28	38,7									
0,30-0,275-92,7-29	38,7	20547	9,4	3,50	3,46	21,4	114,1	21374	21921	0,07
0,30-0,275-92,7-30	38,7	22494	8,7	3,50	4,37	19,6	112,3	23155	23754	0,06
0,30-0,275-92,7-31	38,7	24440	8,2	3,50	5,21	18,1	110,8	25036	25603	0,05
0,30-0,275-92,7-32	38,7	29632	7,3	3,50	7,53	14,9	107,6	30194	30595	0,03

Protótipo	$l/d_p$	$M_{ro}$ [kN.cm]	$\delta$ [cm]	- $\varepsilon_c$ [%o]	$\varepsilon_s$ [%o]	$\Delta f_{ps}$ [kN/cm <sup>2</sup> ]	$f_{ps}$ [kN/cm <sup>2</sup> ]	$M_{res}$ (numerico) [kN.cm]	$M_{res}$ (analit.) [kN.cm]	$\Delta M_r/M_{ro}$
0,70-0,150-92,7-REF	38,7									
0,70-0,150-92,7-01	38,7	14305	4,8	2,39	10,00	12,6	105,3	14790	15490	0,08
0,70-0,150-92,7-02	38,7									
0,70-0,150-92,7-03	38,7									
0,70-0,150-92,7-04	38,7									
0,70-0,150-92,7-05	38,7									
0,70-0,150-92,7-06	38,7									
0,70-0,150-92,7-07	38,7									
0,70-0,150-92,7-08	38,7									
0,70-0,150-92,7-09	38,7									
0,70-0,150-92,7-10	38,7									
0,70-0,150-92,7-11	38,7	25024	5,0	3,50	6,15	11,3	104,0	26247	27046	0,08
0,70-0,150-92,7-12	38,7									
0,70-0,150-92,7-13	38,7									
0,70-0,150-92,7-14	38,7									
0,70-0,150-92,7-15	38,7									
0,70-0,150-92,7-16	38,7									
0,70-0,150-92,7-17	38,7	26420	7,4	3,50	6,49	15,8	108,5	27002	27656	0,05
0,70-0,150-92,7-18	38,7	18551	6,7	3,17	10,00	16,3	109,0	19293	19993	0,08
0,70-0,150-92,7-19	38,7	15744	5,8	2,85	10,00	14,5	107,2	16657	17085	0,09
0,70-0,150-92,7-20	38,7									
0,70-0,150-92,7-21	38,7									
0,70-0,150-92,7-22	38,7	12105	4,4	2,12	10,00	12,4	105,1	11826	13301	0,10
0,70-0,150-92,7-23	38,7									
0,70-0,150-92,7-24	38,7									
0,70-0,150-92,7-25	38,7	13212	4,7	2,35	10,00	12,6	105,3	13650	14415	0,09
0,70-0,150-92,7-26	38,7									
0,70-0,150-92,7-27	38,7	16454	7,1	3,04	10,00	17,8	110,5	17797	18079	0,10
0,70-0,150-92,7-28	38,7	18551	8,7	3,39	10,00	21,6	114,3	19692	20462	0,10
0,70-0,150-92,7-29	38,7									
0,70-0,150-92,7-30	38,7									
0,70-0,150-92,7-31	38,7									
0,70-0,150-92,7-32	38,7									

Protótipo	$l/d_p$	$M_{ro}$ [kN.cm]	$\delta$ [cm]	$-\varepsilon_c$ [%o]	$\varepsilon_s$ [%o]	$\Delta f_{ps}$ [kN/cm <sup>2</sup> ]	$f_{ps}$ [kN/cm <sup>2</sup> ]	$M_{res}$ (numerico) [kN.cm]	$M_{res}$ (analit.) [kN.cm]	$\Delta M_r/M_{ro}$
0,70-0,275-92,7-REF	38,7	24557	5,9	3,50	6,62	13,0	105,7	25663	26445	0,08
0,70-0,275-92,7-01	38,7	24557	5,0	3,50	6,88	10,2	102,9	25321	26041	0,06
0,70-0,275-92,7-02	38,7	24557	5,4	3,50	7,03	11,5	104,2	25349	26231	0,07
0,70-0,275-92,7-03	38,7	24557	5,7	3,50	7,13	12,4	105,1	25292	26355	0,07
0,70-0,275-92,7-04	38,7	24557	6,2	3,62	6,83	13,7	106,4	25634	26547	0,08
0,70-0,275-92,7-05	38,7	24557	6,6	3,50	6,88	14,7	107,4	25577	26686	0,09
0,70-0,275-92,7-06	38,7	24557	7,1	3,50	6,60	16,0	108,7	25706	26871	0,09
0,70-0,275-92,7-07	38,7									
0,70-0,275-92,7-08	38,7	21444	6,3	3,50	5,11	14,3	107,0	22656	23435	0,09
0,70-0,275-92,7-09	38,7	22801	5,9	3,50	5,97	13,3	106,0	23483	24688	0,08
0,70-0,275-92,7-10	38,7	26184	5,8	3,50	7,72	12,4	105,1	26945	28005	0,07
0,70-0,275-92,7-11	38,7									
0,70-0,275-92,7-12	38,7	27445	5,6	3,50	5,21	11,6	104,3	28712	29361	0,07
0,70-0,275-92,7-13	38,7	24196	5,9	3,50	6,78	13,0	105,7	25150	26049	0,08
0,70-0,275-92,7-14	38,7	18902	6,5	2,98	10,00	16,1	108,8	19635	20487	0,08
0,70-0,275-92,7-15	38,7	17857	6,4	3,07	10,00	15,7	108,4	18509	19261	0,08
0,70-0,275-92,7-16	38,7	17333	6,4	2,98	10,00	15,7	108,4	18039	18659	0,08
0,70-0,275-92,7-17	38,7									
0,70-0,275-92,7-18	38,7	31142	6,8	3,50	4,50	13,0	105,7	32047	32799	0,05
0,70-0,275-92,7-19	38,7	26830	6,2	3,50	5,62	12,9	105,6	27843	28625	0,07
0,70-0,275-92,7-20	38,7	23391	5,8	3,50	7,18	12,9	105,6	24452	25295	0,08
0,70-0,275-92,7-21	38,7	22205	5,5	3,50	7,94	12,9	105,6	23041	24145	0,09
0,70-0,275-92,7-22	38,7									
0,70-0,275-92,7-23	38,7	19156	5,1	3,50	9,13	12,4	105,1	20604	21125	0,10
0,70-0,275-92,7-24	38,7	21000	5,3	3,50	8,47	12,4	105,1	22257	22916	0,09
0,70-0,275-92,7-25	38,7	22800	5,6	3,50	7,32	12,5	105,2	24224	24673	0,08
0,70-0,275-92,7-26	38,7	25930	6,5	3,50	5,99	13,9	106,6	27173	27895	0,08
0,70-0,275-92,7-27	38,7	27937	7,4	3,50	5,12	15,5	108,2	29282	30036	0,08
0,70-0,275-92,7-28	38,7									
0,70-0,275-92,7-29	38,7	21905	6,0	3,50	3,90	13,6	106,3	22898	23881	0,09
0,70-0,275-92,7-30	38,7	22700	6,0	3,50	4,72	13,5	106,2	23668	24650	0,09
0,70-0,275-92,7-31	38,7	23496	5,9	3,50	5,75	13,2	105,9	24224	25405	0,08
0,70-0,275-92,7-32	38,7	25617	5,9	3,50	8,06	12,8	105,5	26589	27470	0,07

Protótipo	$l/d_p$	$M_{ro}$ [kN.cm]	$\delta$ [cm]	- $\varepsilon_c$ [%o]	$\varepsilon_s$ [%o]	$\Delta f_{ps}$ [kN/cm <sup>2</sup> ]	$f_{ps}$ [kN/cm <sup>2</sup> ]	$M_{res}$ (numerico) [kN.cm]	$M_{res}$ (analit.) [kN.cm]	$\Delta M_r/M_{ro}$
0,30-0,150-112,5-REF	38,7	15830	7,1	2,69	10,00	17,4	129,9	16358	16435	0,04
0,30-0,150-112,5-01	38,7	15830	5,2	2,49	10,00	12,2	124,7	16115	16255	0,03
0,30-0,150-112,5-02	38,7									
0,30-0,150-112,5-03	38,7									
0,30-0,150-112,5-04	38,7	15830	7,5	2,56	10,00	18,6	131,1	16073	16478	0,04
0,30-0,150-112,5-05	38,7	15830	8,2	2,41	10,00	20,9	133,4	15731	16557	0,05
0,30-0,150-112,5-06	38,7	15830	10,0	2,72	10,00	26,3	138,8	16472	16743	0,06
0,30-0,150-112,5-07	38,7									
0,30-0,150-112,5-08	38,7									
0,30-0,150-112,5-09	38,7	13334	7,2	2,51	10,00	18,5	131,0	13294	13935	0,05
0,30-0,150-112,5-10	38,7									
0,30-0,150-112,5-11	38,7	22591	6,9	3,50	8,40	15,2	127,7	23084	23913	0,06
0,30-0,150-112,5-12	38,7	17695	7,1	2,96	10,00	17,0	129,5	18039	18545	0,05
0,30-0,150-112,5-13	38,7	16551	7,2	2,86	10,00	17,5	130,0	16970	17264	0,04
0,30-0,150-112,5-14	38,7									
0,30-0,150-112,5-15	38,7									
0,30-0,150-112,5-16	38,7									
0,30-0,150-112,5-17	38,7	42006	8,6	3,50	2,65	13,1	125,6	41765	42275	0,01
0,30-0,150-112,5-18	38,7	25811	8,3	3,50	7,53	17,7	130,2	25919	26343	0,02
0,30-0,150-112,5-19	38,7	19296	7,9	3,09	10,00	18,7	131,2	19478	19919	0,03
0,30-0,150-112,5-20	38,7									
0,30-0,150-112,5-21	38,7									
0,30-0,150-112,5-22	38,7									
0,30-0,150-112,5-23	38,7									
0,30-0,150-112,5-24	38,7									
0,30-0,150-112,5-25	38,7									
0,30-0,150-112,5-26	38,7	17927	8,3	2,95	10,00	20,3	132,8	18210	18612	0,04
0,30-0,150-112,5-27	38,7	20977	10,0	3,50	9,89	24,3	136,8	21331	21764	0,04
0,30-0,150-112,5-28	38,7	25811	12,0	3,54	7,27	28,8	141,3	26247	26674	0,03
0,30-0,150-112,5-29	38,7									
0,30-0,150-112,5-30	38,7	13349	8,3	3,05	10,00	21,1	133,6	13479	14083	0,05
0,30-0,150-112,5-31	38,7									
0,30-0,150-112,5-32	38,7									

Protótipo	$l/d_p$	$M_{ro}$ [kN.cm]	$\delta$ [cm]	$-\varepsilon_c$ [%o]	$\varepsilon_s$ [%o]	$\Delta f_{ps}$ [kN/cm <sup>2</sup> ]	$f_{ps}$ [kN/cm <sup>2</sup> ]	$M_{res}$ (numerico) [kN.cm]	$M_{res}$ (analit.) [kN.cm]	$\Delta M_r/M_{ro}$
0,30-0,275-112,5-REF	38,7	27064	7,8	3,50	6,50	16,1	128,6	27515	27922	0,03
0,30-0,275-112,5-01	38,7	27064	5,4	3,50	6,82	9,2	121,7	27131	27556	0,02
0,30-0,275-112,5-02	38,7	27064	6,3	3,50	7,17	12,0	124,5	27287	27705	0,02
0,30-0,275-112,5-03	38,7	27064	6,9	3,50	6,54	13,7	126,2	27387	27796	0,03
0,30-0,275-112,5-04	38,7	27064	8,4	3,50	6,44	18,0	130,5	27487	28019	0,04
0,30-0,275-112,5-05	38,7	27064	9,5	3,50	6,61	20,9	133,4	27515	28175	0,04
0,30-0,275-112,5-06	38,7	27064	11,0	3,50	6,40	25,4	137,9	27658	28408	0,05
0,30-0,275-112,5-07	38,7	16887	9,1	3,50	5,33	21,5	134,0	17469	17869	0,06
0,30-0,275-112,5-08	38,7	19776	8,7	3,50	6,05	19,9	132,4	19949	20739	0,05
0,30-0,275-112,5-09	38,7	22808	8,2	3,50	6,14	18,1	130,6	23027	23724	0,04
0,30-0,275-112,5-10	38,7	31434	7,3	3,50	7,00	14,1	126,6	31748	32215	0,02
0,30-0,275-112,5-11	38,7	36740	6,8	3,50	2,87	11,4	123,9	37277	38035	0,04
0,30-0,275-112,5-12	38,7	29870	7,4	3,50	5,15	14,3	126,8	30209	30925	0,04
0,30-0,275-112,5-13	38,7	28150	7,6	3,50	5,66	15,2	127,7	28698	29084	0,03
0,30-0,275-112,5-14	38,7	25461	7,9	3,50	7,28	17,0	129,5	25663	26155	0,03
0,30-0,275-112,5-15	38,7	24941	8,1	3,50	7,63	17,5	130,0	25221	25582	0,03
0,30-0,275-112,5-16	38,7	24685	8,2	3,50	8,25	17,9	130,4	24580	25302	0,02
0,30-0,275-112,5-17	38,7									
0,30-0,275-112,5-18	38,7									
0,30-0,275-112,5-19	38,7	32399	8,0	3,50	4,65	15,0	127,5	32702	33115	0,02
0,30-0,275-112,5-20	38,7	24220	7,7	3,50	8,06	16,8	129,3	24509	25162	0,04
0,30-0,275-112,5-21	38,7	21259	7,6	3,50	9,43	17,2	129,7	21630	22268	0,05
0,30-0,275-112,5-22	38,7	18181	6,9	3,02	10,00	16,4	128,9	18652	19188	0,06
0,30-0,275-112,5-23	38,7	13345	4,8	2,34	10,00	12,4	124,9	13892	14158	0,06
0,30-0,275-112,5-24	38,7									
0,30-0,275-112,5-25	38,7									
0,30-0,275-112,5-26	38,7	30321	8,6	3,50	5,17	17,3	129,8	30736	31188	0,03
0,30-0,275-112,5-27	38,7	34891	10,0	3,50	3,93	19,7	132,2	35239	35779	0,03
0,30-0,275-112,5-28	38,7									
0,30-0,275-112,5-29	38,7	20567	9,5	3,50	3,66	21,2	133,7	21188	21691	0,05
0,30-0,275-112,5-30	38,7	22516	8,8	3,50	4,58	19,3	131,8	22927	23542	0,05
0,30-0,275-112,5-31	38,7	24465	8,4	3,50	5,44	17,8	130,3	24822	25413	0,04
0,30-0,275-112,5-32	38,7	29662	7,3	3,50	7,53	14,6	127,1	30052	30440	0,03

Protótipo	$l/d_p$	$M_{ro}$ [kN.cm]	$\delta$ [cm]	- $\varepsilon_c$ [%o]	$\varepsilon_s$ [%o]	$\Delta f_{ps}$ [kN/cm <sup>2</sup> ]	$f_{ps}$ [kN/cm <sup>2</sup> ]	$M_{res}$ (numerico) [kN.cm]	$M_{res}$ (analit.) [kN.cm]	$\Delta M_r/M_{ro}$
0,70-0,150-112,5-REF	38,7									
0,70-0,150-112,5-01	38,7	14363	4,8	2,38	10,00	12,3	124,8	15018	15325	0,07
0,70-0,150-112,5-02	38,7									
0,70-0,150-112,5-03	38,7									
0,70-0,150-112,5-04	38,7									
0,70-0,150-112,5-05	38,7									
0,70-0,150-112,5-06	38,7									
0,70-0,150-112,5-07	38,7									
0,70-0,150-112,5-08	38,7									
0,70-0,150-112,5-09	38,7									
0,70-0,150-112,5-10	38,7									
0,70-0,150-112,5-11	38,7	28534	6,3	3,50	4,46	10,1	122,6	30180	30205	0,06
0,70-0,150-112,5-12	38,7									
0,70-0,150-112,5-13	38,7									
0,70-0,150-112,5-14	38,7									
0,70-0,150-112,5-15	38,7									
0,70-0,150-112,5-16	38,7									
0,70-0,150-112,5-17	38,7	26517	7,5	3,50	6,82	15,7	128,2	26831	27533	0,04
0,70-0,150-112,5-18	38,7	18623	6,6	3,12	10,00	15,7	128,2	19136	19778	0,06
0,70-0,150-112,5-19	38,7	15806	5,7	2,79	10,00	14,0	126,5	16429	16878	0,07
0,70-0,150-112,5-20	38,7									
0,70-0,150-112,5-21	38,7	12896	4,5	2,18	10,00	12,3	124,8	12425	13875	0,08
0,70-0,150-112,5-22	38,7	12154	4,4	2,11	10,00	12,1	124,6	11612	13127	0,08
0,70-0,150-112,5-23	38,7									
0,70-0,150-112,5-24	38,7									
0,70-0,150-112,5-25	38,7	13265	4,7	2,34	10,00	12,4	124,9	13465	14243	0,07
0,70-0,150-112,5-26	38,7									
0,70-0,150-112,5-27	38,7	16519	6,8	2,95	10,00	16,7	129,2	17198	17780	0,08
0,70-0,150-112,5-28	38,7	18623	8,9	3,37	10,00	21,6	134,1	19564	20207	0,09
0,70-0,150-112,5-29	38,7									
0,70-0,150-112,5-30	38,7									
0,70-0,150-112,5-31	38,7									
0,70-0,150-112,5-32	38,7									

Protótipo	$l/d_p$	$M_{ro}$ [kN.cm]	$\delta$ [cm]	$-\varepsilon_c$ [%o]	$\varepsilon_s$ [%o]	$\Delta f_{ps}$ [kN/cm <sup>2</sup> ]	$f_{ps}$ [kN/cm <sup>2</sup> ]	$M_{res}$ (numerico) [kN.cm]	$M_{res}$ (analit.) [kN.cm]	$\Delta M_r/M_{ro}$
0,70-0,275-112,5-REF	38,7	24556	6,1	3,50	6,96	13,1	125,6	25335	26127	0,06
0,70-0,275-112,5-01	38,7	24556	5,0	3,50	6,91	10,0	122,5	25136	25764	0,05
0,70-0,275-112,5-02	38,7	24556	5,4	3,50	7,27	11,5	124,0	24893	25933	0,06
0,70-0,275-112,5-03	38,7	24556	5,7	3,50	7,00	12,1	124,6	25121	26010	0,06
0,70-0,275-112,5-04	38,7	24556	6,3	3,50	6,89	13,7	126,2	25378	26200	0,07
0,70-0,275-112,5-05	38,7	24556	6,5	3,50	6,87	14,3	126,8	25107	26269	0,07
0,70-0,275-112,5-06	38,7	24556	7,2	3,50	6,76	16,0	128,5	25364	26465	0,08
0,70-0,275-112,5-07	38,7									
0,70-0,275-112,5-08	38,7	21435	6,0	3,50	5,77	13,8	126,3	21972	23022	0,07
0,70-0,275-112,5-09	38,7	22778	5,9	3,50	6,11	13,1	125,6	23126	24317	0,07
0,70-0,275-112,5-10	38,7	26206	5,9	3,50	8,11	12,5	125,0	26646	27724	0,06
0,70-0,275-112,5-11	38,7									
0,70-0,275-112,5-12	38,7	30664	5,4	3,50	4,09	10,6	123,1	31890	32287	0,05
0,70-0,275-112,5-13	38,7	26986	5,6	3,50	5,41	11,7	124,2	27786	28553	0,06
0,70-0,275-112,5-14	38,7	20848	6,5	3,50	9,65	15,1	127,6	21317	22290	0,07
0,70-0,275-112,5-15	38,7	19618	6,5	3,37	10,00	15,8	128,3	19065	20986	0,07
0,70-0,275-112,5-16	38,7	19000	6,5	2,93	10,00	15,8	128,3	19507	20298	0,07
0,70-0,275-112,5-17	38,7									
0,70-0,275-112,5-18	38,7	31142	6,7	3,50	4,70	12,8	125,3	31420	32485	0,04
0,70-0,275-112,5-19	38,7	26829	6,2	3,50	5,64	12,7	125,2	27558	28292	0,05
0,70-0,275-112,5-20	38,7	23390	5,8	3,50	7,36	12,8	125,3	24067	24950	0,07
0,70-0,275-112,5-21	38,7	22204	5,9	3,50	9,14	13,8	126,3	22770	23920	0,08
0,70-0,275-112,5-22	38,7	20999								
0,70-0,275-112,5-23	38,7	19155	5,2	3,50	9,64	12,6	125,1	20219	20810	0,09
0,70-0,275-112,5-24	38,7	20999	5,3	3,50	8,74	12,4	124,9	21801	22577	0,08
0,70-0,275-112,5-25	38,7	22800	5,6	3,50	7,61	12,4	124,9	23753	24338	0,07
0,70-0,275-112,5-26	38,7	25929	6,5	3,50	6,20	13,8	126,3	26760	27539	0,06
0,70-0,275-112,5-27	38,7	27937	7,4	3,50	5,34	15,3	127,8	28798	29651	0,06
0,70-0,275-112,5-28	38,7									
0,70-0,275-112,5-29	38,7	21904	5,8	3,50	3,90	13,1	125,6	22400	23472	0,07
0,70-0,275-112,5-30	38,7	22700	6,0	3,50	4,95	13,4	125,9	23183	24302	0,07
0,70-0,275-112,5-31	38,7	23495	5,9	3,50	5,76	13,0	125,5	23910	25051	0,07
0,70-0,275-112,5-32	38,7	25617	5,9	3,50	7,94	12,6	125,1	26575	27122	0,06

Protótipo	$l/d_p$	$M_{ro}$ [kN.cm]	$\delta$ [cm]	- $\varepsilon_c$ [%o]	$\varepsilon_s$ [%o]	$\Delta f_{ps}$ [kN/cm <sup>2</sup> ]	$f_{ps}$ [kN/cm <sup>2</sup> ]	$M_{res}$ (numerico) [kN.cm]	$M_{res}$ (analit.) [kN.cm]	$\Delta M_r/M_{ro}$
0,30-0,150-132,3-REF	38,7									
0,30-0,150-132,3-01	38,7	15792	5,1	2,33	10,00	11,1	143,4	15688	16122	0,02
0,30-0,150-132,3-02	38,7									
0,30-0,150-132,3-03	38,7									
0,30-0,150-132,3-04	38,7	15792	7,7	2,62	10,00	16,9	149,2	16144	16294	0,03
0,30-0,150-132,3-05	38,7	15792	8,5	2,46	10,00	19,2	151,5	15987	16360	0,04
0,30-0,150-132,3-06	38,7	15792	10,1	2,67	10,00	22,8	155,1	16172	16466	0,04
0,30-0,150-132,3-07	38,7									
0,30-0,150-132,3-08	38,7									
0,30-0,150-132,3-09	38,7	13341	7,2	2,50	10,00	16,5	148,8	13151	13797	0,03
0,30-0,150-132,3-10	38,7									
0,30-0,150-132,3-11	38,7	24291	6,6	3,50	7,39	12,9	145,2	24437	25379	0,04
0,30-0,150-132,3-12	38,7	18664	7,1	3,04	10,00	15,1	147,4	18552	19408	0,04
0,30-0,150-132,3-13	38,7	17336	7,0	2,84	10,00	15,1	147,4	17512	17946	0,04
0,30-0,150-132,3-14	38,7									
0,30-0,150-132,3-15	38,7									
0,30-0,150-132,3-16	38,7									
0,30-0,150-132,3-17	38,7	41929	8,6	3,50	2,65	11,9	144,2	41680	42138	0,00
0,30-0,150-132,3-18	38,7	25754	8,3	3,50	7,54	15,8	148,1	25777	26159	0,02
0,30-0,150-132,3-19	38,7	19252	7,9	3,07	10,00	16,7	149,0	19293	19724	0,02
0,30-0,150-132,3-20	38,7									
0,30-0,150-132,3-21	38,7									
0,30-0,150-132,3-22	38,7									
0,30-0,150-132,3-23	38,7									
0,30-0,150-132,3-24	38,7									
0,30-0,150-132,3-25	38,7									
0,30-0,150-132,3-26	38,7	17885	8,3	2,90	10,00	18,0	150,3	18068	18402	0,03
0,30-0,150-132,3-27	38,7	20929	10,1	3,50	10,00	21,5	153,8	21103	21521	0,03
0,30-0,150-132,3-28	38,7	25754	12,1	3,50	7,51	24,9	157,2	25976	26389	0,02
0,30-0,150-132,3-29	38,7	12258	9,3	3,50	9,90	20,9	153,2	12353	12877	0,05
0,30-0,150-132,3-30	38,7									
0,30-0,150-132,3-31	38,7									
0,30-0,150-132,3-32	38,7									

Protótipo	$l/d_p$	$M_{ro}$ [kN.cm]	$\delta$ [cm]	$-\varepsilon_c$ [%o]	$\varepsilon_s$ [%o]	$\Delta f_{ps}$ [kN/cm <sup>2</sup> ]	$f_{ps}$ [kN/cm <sup>2</sup> ]	$M_{res}$ (numerico) [kN.cm]	$M_{res}$ (analit.) [kN.cm]	$\Delta M_r/M_{ro}$
0,30-0,275-132,3-REF	38,7	27014	7,8	3,50	6,81	14,7	147,0	27074	27678	0,02
0,30-0,275-132,3-01	38,7	27014	5,4	3,50	6,85	8,5	140,8	27017	27399	0,01
0,30-0,275-132,3-02	38,7	27014	6,3	3,50	7,21	11,0	143,3	27131	27512	0,02
0,30-0,275-132,3-03	38,7	27014	7,0	3,50	6,83	12,7	145,0	27216	27590	0,02
0,30-0,275-132,3-04	38,7	27014	8,5	3,50	6,73	16,3	148,6	27230	27753	0,03
0,30-0,275-132,3-05	38,7	27014	9,5	3,50	6,56	18,6	150,9	27230	27855	0,03
0,30-0,275-132,3-06	38,7	27014	11,2	3,50	6,74	22,5	154,8	27330	28031	0,04
0,30-0,275-132,3-07	38,7	16897	9,3	3,50	5,57	19,3	151,6	17070	17649	0,04
0,30-0,275-132,3-08	38,7	19790	8,7	3,50	6,05	17,7	150,0	19735	20520	0,04
0,30-0,275-132,3-09	38,7	22812	8,3	3,50	6,38	16,4	148,7	22827	23522	0,03
0,30-0,275-132,3-10	38,7	31452	7,3	3,50	7,04	12,8	145,1	31591	32058	0,02
0,30-0,275-132,3-11	38,7									
0,30-0,275-132,3-12	38,7	31288	7,2	3,50	4,81	12,5	144,8	31306	32179	0,03
0,30-0,275-132,3-13	38,7	29341	7,4	3,50	6,64	13,7	146,0	28427	30161	0,03
0,30-0,275-132,3-14	38,7	26231	7,9	3,50	7,05	15,0	147,3	26318	26833	0,02
0,30-0,275-132,3-15	38,7	25628	7,9	3,50	7,28	15,2	147,5	25677	26178	0,02
0,30-0,275-132,3-16	38,7	25331	8,0	3,50	7,60	15,4	147,7	25250	25858	0,02
0,30-0,275-132,3-17	38,7									
0,30-0,275-132,3-18	38,7									
0,30-0,275-132,3-19	38,7	32342	7,9	3,50	4,62	13,4	145,7	32360	32890	0,02
0,30-0,275-132,3-20	38,7	24175	7,7	3,50	8,05	15,2	147,5	24295	24895	0,03
0,30-0,275-132,3-21	38,7	21218	7,7	3,50	9,94	15,8	148,1	21331	22007	0,04
0,30-0,275-132,3-22	38,7	18146	6,8	3,01	10,00	14,7	147,0	18011	18909	0,04
0,30-0,275-132,3-23	38,7	13318	4,7	2,24	10,00	11,1	143,4	13607	13932	0,05
0,30-0,275-132,3-24	38,7									
0,30-0,275-132,3-25	38,7									
0,30-0,275-132,3-26	38,7	30267	8,6	3,50	5,39	15,7	148,0	30337	30934	0,02
0,30-0,275-132,3-27	38,7	34831	10,1	3,50	4,11	17,7	150,0	35011	35514	0,02
0,30-0,275-132,3-28	38,7									
0,30-0,275-132,3-29	38,7	20531	9,5	3,50	3,73	18,7	151,0	20747	21377	0,04
0,30-0,275-132,3-30	38,7	22476	8,8	3,50	4,71	17,2	149,5	22485	23253	0,03
0,30-0,275-132,3-31	38,7	24421	8,4	3,50	5,52	16,0	148,3	24551	25147	0,03
0,30-0,275-132,3-32	38,7	29607	7,4	3,50	7,86	13,4	145,7	29867	30217	0,02

Protótipo	$l/d_p$	$M_{ro}$ [kN.cm]	$\delta$ [cm]	- $\varepsilon_c$ [%o]	$\varepsilon_s$ [%o]	$\Delta f_{ps}$ [kN/cm <sup>2</sup> ]	$f_{ps}$ [kN/cm <sup>2</sup> ]	$M_{res}$ (numerico) [kN.cm]	$M_{res}$ (analit.) [kN.cm]	$\Delta M_r/M_{ro}$
0,70-0,150-132,3-REF	38,7									
0,70-0,150-132,3-01	38,7	14357	4,8	2,38	10,00	11,3	143,6	14405	15107	0,05
0,70-0,150-132,3-02	38,7									
0,70-0,150-132,3-03	38,7									
0,70-0,150-132,3-04	38,7									
0,70-0,150-132,3-05	38,7									
0,70-0,150-132,3-06	38,7									
0,70-0,150-132,3-07	38,7									
0,70-0,150-132,3-08	38,7									
0,70-0,150-132,3-09	38,7									
0,70-0,150-132,3-10	38,7									
0,70-0,150-132,3-11	38,7	31747	6,3	3,50	3,36	8,8	141,1	33657	33087	0,04
0,70-0,150-132,3-12	38,7									
0,70-0,150-132,3-13	38,7									
0,70-0,150-132,3-14	38,7									
0,70-0,150-132,3-15	38,7									
0,70-0,150-132,3-16	38,7									
0,70-0,150-132,3-17	38,7	26508	7,6	3,50	6,87	14,3	146,6	26774	27299	0,03
0,70-0,150-132,3-18	38,7	18617	6,7	3,16	10,00	14,3	146,6	18766	19513	0,05
0,70-0,150-132,3-19	38,7	15800	5,8	2,77	10,00	12,9	145,2	16244	16640	0,05
0,70-0,150-132,3-20	38,7									
0,70-0,150-132,3-21	38,7									
0,70-0,150-132,3-22	38,7	12149	4,3	2,04	10,00	11,0	143,3	11228	12898	0,06
0,70-0,150-132,3-23	38,7									
0,70-0,150-132,3-24	38,7									
0,70-0,150-132,3-25	38,7	13260	4,7	2,33	10,00	11,3	143,6	13251	14022	0,06
0,70-0,150-132,3-26	38,7									
0,70-0,150-132,3-27	38,7									
0,70-0,150-132,3-28	38,7	18617	8,7	3,21	10,00	18,9	151,2	19065	19794	0,06
0,70-0,150-132,3-29	38,7	12912	6,6	3,26	10,00	16,1	148,4	12824	13980	0,08
0,70-0,150-132,3-30	38,7									
0,70-0,150-132,3-31	38,7									
0,70-0,150-132,3-32	38,7									

Protótipo	$l/d_p$	$M_{ro}$ [kN.cm]	$\delta$ [cm]	$-\varepsilon_c$ [%o]	$\varepsilon_s$ [%o]	$\Delta f_{ps}$ [kN/cm <sup>2</sup> ]	$f_{ps}$ [kN/cm <sup>2</sup> ]	$M_{res}$ (numerico) [kN.cm]	$M_{res}$ (analit.) [kN.cm]	$\Delta M_r/M_{ro}$
0,70-0,275-132,3-REF	38,7	24548	6,0	3,50	6,91	11,8	144,1	24922	25758	0,05
0,70-0,275-132,3-01	38,7	24548	5,0	3,50	6,93	9,3	141,6	24965	25497	0,04
0,70-0,275-132,3-02	38,7	24548	5,5	3,50	7,69	10,8	143,1	24594	25657	0,05
0,70-0,275-132,3-03	38,7	24548	5,7	3,50	7,14	11,2	143,5	24794	25690	0,05
0,70-0,275-132,3-04	38,7	24548	6,4	3,50	7,07	12,7	145,0	25136	25850	0,05
0,70-0,275-132,3-05	38,7	24548	6,7	3,50	7,22	13,4	145,7	24865	25919	0,06
0,70-0,275-132,3-06	38,7	24548	7,3	3,50	7,01	14,7	147,0	24965	26050	0,06
0,70-0,275-132,3-07	38,7									
0,70-0,275-132,3-08	38,7	21470	6,1	3,50	5,89	12,8	145,1	21530	22725	0,06
0,70-0,275-132,3-09	38,7	22812	6,0	3,50	6,34	12,2	144,5	22870	24037	0,05
0,70-0,275-132,3-10	38,7	26231	5,9	3,50	8,13	11,4	143,7	26375	27420	0,05
0,70-0,275-132,3-11	38,7									
0,70-0,275-132,3-12	38,7	33622	6,8	3,50	3,17	9,2	141,5	35025	34911	0,04
0,70-0,275-132,3-13	38,7	29608	5,4	3,50	4,64	10,2	142,5	30266	30890	0,04
0,70-0,275-132,3-14	38,7	22726	6,2	3,50	8,41	12,8	145,1	22841	23903	0,05
0,70-0,275-132,3-15	38,7	21325	6,9	3,38	10,00	14,7	147,0	21773	22564	0,06
0,70-0,275-132,3-16	38,7	20619	6,5	3,41	10,00	13,9	146,2	20162	21734	0,05
0,70-0,275-132,3-17	38,7									
0,70-0,275-132,3-18	38,7	31132	6,7	3,50	4,70	11,7	144,0	31178	32182	0,03
0,70-0,275-132,3-19	38,7	26820	6,3	3,50	5,98	11,9	144,2	27287	27988	0,04
0,70-0,275-132,3-20	38,7	23382	5,9	3,50	7,66	11,9	144,2	23768	24625	0,05
0,70-0,275-132,3-21	38,7	22197	5,6	3,50	8,04	11,7	144,0	22670	23439	0,06
0,70-0,275-132,3-22	38,7									
0,70-0,275-132,3-23	38,7	19148	5,3	3,50	9,89	11,7	144,0	19892	20457	0,07
0,70-0,275-132,3-24	38,7									
0,70-0,275-132,3-25	38,7	22792	5,5	3,50	7,61	11,2	143,5	23312	23975	0,05
0,70-0,275-132,3-26	38,7	25921	6,5	3,50	6,35	12,6	144,9	26375	27181	0,05
0,70-0,275-132,3-27	38,7	27927	7,5	3,50	5,60	14,1	146,4	28456	29279	0,05
0,70-0,275-132,3-28	38,7									
0,70-0,275-132,3-29	38,7	21897	6,0	3,50	4,15	12,4	144,7	22029	23162	0,06
0,70-0,275-132,3-30	38,7	22692	6,1	3,50	4,95	12,4	144,7	22955	23959	0,06
0,70-0,275-132,3-31	38,7	23487	6,0	3,50	6,02	12,1	144,4	23625	24726	0,05
0,70-0,275-132,3-32	38,7									

Protótipo	$l/d_p$	$M_{ro}$ [kN.cm]	$\delta$ [cm]	- $\varepsilon_c$ [%o]	$\varepsilon_s$ [%o]	$\Delta f_{ps}$ [kN/cm <sup>2</sup> ]	$f_{ps}$ [kN/cm <sup>2</sup> ]	$M_{res}$ (numerico) [kN.cm]	$M_{res}$ (analit.) [kN.cm]	$\Delta M_r/M_{ro}$
0,30-0,150-152,0-REF	38,7									
0,30-0,150-152,0-01	38,7	15842	5,2	2,48	10,00	8,2	160,2	15987	16053	0,01
0,30-0,150-152,0-02	38,7									
0,30-0,150-152,0-03	38,7									
0,30-0,150-152,0-04	38,7	15842	7,0	2,49	10,00	11,3	163,3	14633	16134	0,02
0,30-0,150-152,0-05	38,7	15842	8,3	2,28	10,00	13,2	165,2	15674	16184	0,02
0,30-0,150-152,0-06	38,7	15842	9,7	2,52	10,00	15,1	167,1	15517	16232	0,02
0,30-0,150-152,0-07	38,7									
0,30-0,150-152,0-08	38,7									
0,30-0,150-152,0-09	38,7	13364	7,4	2,49	10,00	11,9	163,9	13237	13652	0,02
0,30-0,150-152,0-10	38,7									
0,30-0,150-152,0-11	38,7	25974	6,5	3,50	6,93	9,2	161,2	24494	26723	0,03
0,30-0,150-152,0-12	38,7	19668	7,1	3,00	10,00	10,8	162,8	19550	20195	0,03
0,30-0,150-152,0-13	38,7	18166	7,1	2,98	10,00	10,9	162,9	18139	18601	0,02
0,30-0,150-152,0-14	38,7	16746	7,1	2,76	10,00	11,0	163,0	16885	17092	0,02
0,30-0,150-152,0-15	38,7									
0,30-0,150-152,0-16	38,7									
0,30-0,150-152,0-17	38,7	42030	8,6	3,50	2,65	8,7	160,7	41680	42163	0,00
0,30-0,150-152,0-18	38,7	25829	8,3	3,50	7,55	11,6	163,6	25677	26088	0,01
0,30-0,150-152,0-19	38,7	19311	7,9	3,04	10,00	11,9	163,9	19165	19604	0,02
0,30-0,150-152,0-20	38,7									
0,30-0,150-152,0-21	38,7									
0,30-0,150-152,0-22	38,7									
0,30-0,150-152,0-23	38,7									
0,30-0,150-152,0-24	38,7									
0,30-0,150-152,0-25	38,7									
0,30-0,150-152,0-26	38,7	17940	8,3	2,87	10,00	12,6	164,6	17897	18258	0,02
0,30-0,150-152,0-27	38,7	20993	10,1	3,47	10,00	14,7	166,7	20889	21348	0,02
0,30-0,150-152,0-28	38,7	25830	12,1	3,50	7,52	16,7	168,7	25720	26201	0,01
0,30-0,150-152,0-29	38,7									
0,30-0,150-152,0-30	38,7	13359	8,0	2,86	10,00	12,8	164,8	12980	13690	0,02
0,30-0,150-152,0-31	38,7									
0,30-0,150-152,0-32	38,7									

Protótipo	$l/d_p$	$M_{ro}$ [kN.cm]	$\delta$ [cm]	$-\varepsilon_c$ [%o]	$\varepsilon_s$ [%o]	$\Delta f_{ps}$ [kN/cm <sup>2</sup> ]	$f_{ps}$ [kN/cm <sup>2</sup> ]	$M_{res}$ (numerico) [kN.cm]	$M_{res}$ (analit.) [kN.cm]	$\Delta M_r/M_{ro}$
0,30-0,275-152,0-REF	38,7	27041	7,8	3,50	6,83	10,6	162,6	26846	27460	0,02
0,30-0,275-152,0-01	38,7	27041	5,4	3,50	6,87	6,4	158,4	26931	27294	0,01
0,30-0,275-152,0-02	38,7	27041	6,3	3,50	7,25	8,1	160,1	26974	27363	0,01
0,30-0,275-152,0-03	38,7	27041	7,0	3,50	6,92	9,3	161,3	26988	27410	0,01
0,30-0,275-152,0-04	38,7	27041	8,5	3,50	6,71	11,7	163,7	26974	27502	0,02
0,30-0,275-152,0-05	38,7	27041	9,6	3,50	6,94	13,2	165,2	26860	27563	0,02
0,30-0,275-152,0-06	38,7	27041	11,2	3,50	6,71	15,4	167,4	26917	27649	0,02
0,30-0,275-152,0-07	38,7	16892	9,3	3,50	5,69	13,6	165,6	16814	17354	0,03
0,30-0,275-152,0-08	38,7	19772	8,8	3,50	6,12	12,6	164,6	19507	20226	0,02
0,30-0,275-152,0-09	38,7	22821	8,3	3,50	6,36	11,7	163,7	22585	23263	0,02
0,30-0,275-152,0-10	38,7	31483	7,3	3,50	7,39	9,5	161,5	31135	31873	0,01
0,30-0,275-152,0-11	38,7									
0,30-0,275-152,0-12	38,7	32698	7,2	3,50	4,33	8,9	160,9	32546	33312	0,02
0,30-0,275-152,0-13	38,7	30528	7,4	3,50	5,30	9,5	161,5	30266	31084	0,02
0,30-0,275-152,0-14	38,7	28415	7,7	3,50	5,99	10,1	162,1	28442	28894	0,02
0,30-0,275-152,0-15	38,7	26365	7,9	3,50	7,06	10,8	162,8	26190	26749	0,01
0,30-0,275-152,0-16	38,7	26020	7,9	3,50	7,28	10,9	162,9	25777	26387	0,01
0,30-0,275-152,0-17	38,7									
0,30-0,275-152,0-18	38,7	41633	8,4	3,50	2,65	8,6	160,6	41281	41873	0,01
0,30-0,275-152,0-19	38,7	32373	8,0	3,50	4,69	9,9	161,9	32360	32724	0,01
0,30-0,275-152,0-20	38,7	24199	7,7	3,50	8,08	10,9	162,9	24053	24653	0,02
0,30-0,275-152,0-21	38,7	21241	7,8	3,50	10,00	11,5	163,5	21074	21742	0,02
0,30-0,275-152,0-22	38,7	18165	6,9	2,99	10,00	10,7	162,7	18068	18652	0,03
0,30-0,275-152,0-23	38,7	13332	4,8	2,24	10,00	8,1	160,1	13550	13727	0,03
0,30-0,275-152,0-24	38,7									
0,30-0,275-152,0-25	38,7									
0,30-0,275-152,0-26	38,7	30297	8,7	3,50	5,42	11,3	163,3	30266	30718	0,01
0,30-0,275-152,0-27	38,7	34864	10,1	3,50	4,10	12,6	164,6	34769	35286	0,01
0,30-0,275-152,0-28	38,7									
0,30-0,275-152,0-29	38,7	20551	9,6	3,50	3,90	13,3	165,3	20490	21078	0,03
0,30-0,275-152,0-30	38,7	22498	8,9	3,50	4,91	12,3	164,3	22200	22985	0,02
0,30-0,275-152,0-31	38,7	24445	8,4	3,50	5,50	11,5	163,5	24309	24899	0,02
0,30-0,275-152,0-32	38,7	29637	7,4	3,50	7,92	9,8	161,8	29653	30026	0,01

Protótipo	$l/d_p$	$M_{ro}$ [kN.cm]	$\delta$ [cm]	- $\varepsilon_c$ [%o]	$\varepsilon_s$ [%o]	$\Delta f_{ps}$ [kN/cm <sup>2</sup> ]	$f_{ps}$ [kN/cm <sup>2</sup> ]	$M_{res}$ (numerico) [kN.cm]	$M_{res}$ (analit.) [kN.cm]	$\Delta M_r/M_{ro}$
0,70-0,150-152,0-REF	38,7									
0,70-0,150-152,0-01	38,7	14331	4,7	2,30	10,00					
0,70-0,150-152,0-02	38,7	14331	4,9	2,33	10,00	8,5	160,5	14462	14820	0,03
0,70-0,150-152,0-03	38,7									
0,70-0,150-152,0-04	38,7									
0,70-0,150-152,0-05	38,7									
0,70-0,150-152,0-06	38,7									
0,70-0,150-152,0-07	38,7									
0,70-0,150-152,0-08	38,7									
0,70-0,150-152,0-09	38,7									
0,70-0,150-152,0-10	38,7									
0,70-0,150-152,0-11	38,7									
0,70-0,150-152,0-12	38,7	22584	5,4	3,50	8,15	8,5	160,5	22571	23438	0,04
0,70-0,150-152,0-13	38,7									
0,70-0,150-152,0-14	38,7									
0,70-0,150-152,0-15	38,7									
0,70-0,150-152,0-16	38,7									
0,70-0,150-152,0-17	38,7	26462	7,5	3,50	6,97	10,3	162,3	26219	26960	0,02
0,70-0,150-152,0-18	38,7	18583	6,6	3,01	10,00	10,3	162,3	18410	19142	0,03
0,70-0,150-152,0-19	38,7	15771	5,5	2,69	10,00	9,1	161,1	15731	16289	0,03
0,70-0,150-152,0-20	38,7									
0,70-0,150-152,0-21	38,7									
0,70-0,150-152,0-22	38,7	12126	4,3	2,05	10,00	8,1	160,1	11285	12608	0,04
0,70-0,150-152,0-23	38,7									
0,70-0,150-152,0-24	38,7									
0,70-0,150-152,0-25	38,7	13235	4,6	2,29	10,00	8,3	160,3	12995	13721	0,04
0,70-0,150-152,0-26	38,7									
0,70-0,150-152,0-27	38,7									
0,70-0,150-152,0-28	38,7	18583	8,9	3,12	10,00	13,5	165,5	18680	19321	0,04
0,70-0,150-152,0-29	38,7									
0,70-0,150-152,0-30	38,7	13321	5,6	2,71	10,00	10,1	162,1	12667	13901	0,04
0,70-0,150-152,0-31	38,7									
0,70-0,150-152,0-32	38,7									

Protótipo	$l/d_p$	$M_{ro}$ [kN.cm]	$\delta$ [cm]	$-\varepsilon_c$ [%o]	$\varepsilon_s$ [%o]	$\Delta f_{ps}$ [kN/cm <sup>2</sup> ]	$f_{ps}$ [kN/cm <sup>2</sup> ]	$M_{res}$ (numerico) [kN.cm]	$M_{res}$ (analit.) [kN.cm]	$\Delta M_r/M_{ro}$
0,70-0,275-152,0-REF	38,7	24527	6,0	3,50	7,28	8,8	160,9	24338	25318	0,03
0,70-0,275-152,0-01	38,7	24527	5,1	3,50	7,28	7,2	159,2	24694	25167	0,03
0,70-0,275-152,0-02	38,7	24527	5,5	3,50	7,75	8,1	160,1	24281	25250	0,03
0,70-0,275-152,0-03	38,7	24527	5,7	3,50	7,40	8,4	160,4	24295	25275	0,03
0,70-0,275-152,0-04	38,7	24527	6,4	3,50	7,17	9,3	161,3	24494	25358	0,03
0,70-0,275-152,0-05	38,7	24527	6,6	3,50	7,35	9,8	161,8	24238	25402	0,04
0,70-0,275-152,0-06	38,7	24527	7,4	3,50	7,35	10,9	162,9	24452	25496	0,04
0,70-0,275-152,0-07	38,7									
0,70-0,275-152,0-08	38,7	21456	6,0	3,50	5,89	9,2	161,2	20932	22248	0,04
0,70-0,275-152,0-09	38,7	22789	6,0	3,50	6,37	9,0	161,0	22499	23579	0,03
0,70-0,275-152,0-10	38,7	26223	5,9	3,50	7,98	8,5	160,5	26390	26999	0,03
0,70-0,275-152,0-11	38,7									
0,70-0,275-152,0-12	38,7									
0,70-0,275-152,0-13	38,7	32060	5,2	3,50	3,77	7,2	159,2	32688	32914	0,03
0,70-0,275-152,0-14	38,7	27586	5,7	3,50	5,68	8,1	160,1	27587	28416	0,03
0,70-0,275-152,0-15	38,7	22981	6,2	3,50	8,32	9,3	161,3	22727	23743	0,03
0,70-0,275-152,0-16	38,7	22183	6,4	3,50	9,10	9,7	161,7	21944	22940	0,03
0,70-0,275-152,0-17	38,7									
0,70-0,275-152,0-18	38,7	31107	6,8	3,50	4,76	8,8	160,8	30992	31797	0,02
0,70-0,275-152,0-19	38,7	26798	6,4	3,50	6,52	8,9	161,0	26618	27566	0,03
0,70-0,275-152,0-20	38,7	23362	5,9	3,50	8,04	8,9	160,9	23126	24176	0,03
0,70-0,275-152,0-21	38,7	22178	5,7	3,50	8,74	9,0	161,0	21986	23011	0,04
0,70-0,275-152,0-22	38,7									
0,70-0,275-152,0-23	38,7	19131	5,3	3,50	10,00	8,8	160,8	19413	19987	0,04
0,70-0,275-152,0-24	38,7									
0,70-0,275-152,0-25	38,7									
0,70-0,275-152,0-26	38,7	25899	6,6	3,50	6,75	9,4	161,4	25748	26718	0,03
0,70-0,275-152,0-27	38,7	27904	7,4	3,50	5,85	10,3	162,3	27729	28765	0,03
0,70-0,275-152,0-28	38,7									
0,70-0,275-152,0-29	38,7	21879	6,1	3,50	4,15	9,2	161,2	21644	22701	0,04
0,70-0,275-152,0-30	38,7	22673	6,1	3,50	4,98	9,2	161,2	22727	23492	0,04
0,70-0,275-152,0-31	38,7	23467	6,0	3,50	6,01	8,9	161,0	23255	24268	0,03
0,70-0,275-152,0-32	38,7									

Protótipo	$l/d_p$	$M_{ro}$ [kN.cm]	$\delta$ [cm]	$-\varepsilon_c$ [%o]	$\varepsilon_s$ [%o]	$\Delta f_{ps}$ [kN/cm <sup>2</sup> ]	$f_{ps}$ [kN/cm <sup>2</sup> ]	$M_{res}$ (numerico) [kN.cm]	$M_{res}$ (analit.) [kN.cm]	$\Delta M_r/M_{ro}$
0,30-0,150-92,7-REF	55,7	15800	14,7	2,71	10,00	17,7	110,4	16459	16545	0,05
0,30-0,150-92,7-01	55,7	15800	10,8	2,46	10,00	12,3	105,0	16192	16321	0,03
0,30-0,150-92,7-02	55,7									
0,30-0,150-92,7-03	55,7									
0,30-0,150-92,7-04	55,7	15800	15,5	2,58	10,00	18,9	111,6	16233	16598	0,05
0,30-0,150-92,7-05	55,7	15800	17,5	2,53	10,00	22,0	114,7	16315	16727	0,06
0,30-0,150-92,7-06	55,7	15800	20,4	2,70	10,00	26,4	119,1	16459	16912	0,07
0,30-0,150-92,7-07	55,7									
0,30-0,150-92,7-08	55,7	11566	17,0	3,04	10,00	21,7	114,4	12518	12371	0,07
0,30-0,150-92,7-09	55,7	13294	14,8	2,52	10,00	18,5	111,2	13319	14024	0,05
0,30-0,150-92,7-10	55,7									
0,30-0,150-92,7-11	55,7	20806	14,7	3,60	9,45	16,4	109,1	21508	22274	0,07
0,30-0,150-92,7-12	55,7	16672	14,6	2,81	10,00	17,3	110,0	17259	17553	0,05
0,30-0,150-92,7-13	55,7	15716	14,7	2,68	10,00	17,6	110,3	16438	16445	0,05
0,30-0,150-92,7-14	55,7									
0,30-0,150-92,7-15	55,7									
0,30-0,150-92,7-16	55,7									
0,30-0,150-92,7-17	55,7	41945	17,7	3,50	2,38	13,1	105,8	42033	42272	0,01
0,30-0,150-92,7-18	55,7	25766	16,9	3,50	7,30	17,8	110,5	26065	26413	0,03
0,30-0,150-92,7-19	55,7	19261	16,0	3,23	10,00	19,0	111,7	18758	20024	0,04
0,30-0,150-92,7-20	55,7									
0,30-0,150-92,7-21	55,7									
0,30-0,150-92,7-22	55,7									
0,30-0,150-92,7-23	55,7									
0,30-0,150-92,7-24	55,7									
0,30-0,150-92,7-25	55,7									
0,30-0,150-92,7-26	55,7	17893	17,0	2,93	10,00	20,6	113,3	18409	18736	0,05
0,30-0,150-92,7-27	55,7	20939	20,5	3,50	9,48	24,7	117,4	21652	21907	0,05
0,30-0,150-92,7-28	55,7	25766	24,7	3,50	6,98	29,7	122,4	26537	26840	0,04
0,30-0,150-92,7-29	55,7									
0,30-0,150-92,7-30	55,7	13325	17,2	2,98	10,00	21,9	114,6	13421	14246	0,07
0,30-0,150-92,7-31	55,7									
0,30-0,150-92,7-32	55,7									

Protótipo	$l/d_p$	$M_{ro}$ [kN.cm]	$\delta$ [cm]	- $\varepsilon_c$ [%o]	$\varepsilon_s$ [%o]	$\Delta f_{ps}$ [kN/cm <sup>2</sup> ]	$f_{ps}$ [kN/cm <sup>2</sup> ]	$M_{res}$ (numerico) [kN.cm]	$M_{res}$ (analit.) [kN.cm]	$\Delta M_r/M_{ro}$
0,30-0,275-92,7-REF	55,7	27036	15,9	3,50	6,48	16,1	108,8	27481	28075	0,04
0,30-0,275-92,7-01	55,7	27036	11,0	3,50	6,61	9,1	101,8	27230	27624	0,02
0,30-0,275-92,7-02	55,7	27036	12,8	3,50	6,76	11,7	104,4	27522	27794	0,03
0,30-0,275-92,7-03	55,7	27036	14,3	3,50	6,23	13,7	106,4	27830	27919	0,03
0,30-0,275-92,7-04	55,7	27036	17,4	3,50	6,32	18,1	110,8	27768	28203	0,04
0,30-0,275-92,7-05	55,7	27036	19,6	3,50	6,30	21,2	113,9	27994	28400	0,05
0,30-0,275-92,7-06	55,7	27036	23,0	3,50	6,10	26,2	118,9	28261	28710	0,06
0,30-0,275-92,7-07	55,7	16915	19,0	3,50	5,26	22,0	114,7	17752	18136	0,07
0,30-0,275-92,7-08	55,7	19765	18,1	3,50	5,53	20,3	113,0	20646	20950	0,06
0,30-0,275-92,7-09	55,7	22801	17,0	3,50	5,94	18,3	111,0	23417	23922	0,05
0,30-0,275-92,7-10	55,7	31508	15,0	3,50	6,81	14,1	106,8	31955	32452	0,03
0,30-0,275-92,7-11	55,7	34322	14,4	3,50	3,53	12,3	105,0	35055	35832	0,04
0,30-0,275-92,7-12	55,7	28347	15,6	3,50	5,49	15,2	107,9	29184	29505	0,04
0,30-0,275-92,7-13	55,7	26895	16,1	3,50	6,45	16,4	109,1	27666	27927	0,04
0,30-0,275-92,7-14	55,7	24620	16,9	3,50	7,82	18,1	110,8	25121	25369	0,03
0,30-0,275-92,7-15	55,7	24185	17,0	3,50	8,26	18,5	111,2	24443	24870	0,03
0,30-0,275-92,7-16	55,7	23971	17,0	3,50	8,28	18,5	111,2	24258	24620	0,03
0,30-0,275-92,7-17	55,7									
0,30-0,275-92,7-18	55,7									
0,30-0,275-92,7-19	55,7	32367	16,3	3,50	4,52	15,0	107,7	32817	33236	0,03
0,30-0,275-92,7-20	55,7	24195	15,9	3,50	7,63	16,8	109,5	24936	25332	0,05
0,30-0,275-92,7-21	55,7	21237	15,7	3,50	9,40	17,4	110,1	21857	22472	0,06
0,30-0,275-92,7-22	55,7	18162	14,3	3,01	10,00	16,8	109,5	18881	19407	0,07
0,30-0,275-92,7-23	55,7									
0,30-0,275-92,7-24	55,7									
0,30-0,275-92,7-25	55,7									
0,30-0,275-92,7-26	55,7	30291	17,7	3,50	5,14	17,6	110,3	30950	31354	0,04
0,30-0,275-92,7-27	55,7	34858	20,7	3,50	3,84	20,0	112,7	35465	35949	0,03
0,30-0,275-92,7-28	55,7									
0,30-0,275-92,7-29	55,7	20547	19,4	3,50	3,42	21,2	113,9	21467	21907	0,07
0,30-0,275-92,7-30	55,7	22494	18,1	3,50	4,44	19,4	112,1	23171	23741	0,06
0,30-0,275-92,7-31	55,7	24440	17,2	3,50	5,26	18,0	110,7	25141	25598	0,05
0,30-0,275-92,7-32	55,7	29632	15,0	3,50	7,64	14,7	107,4	30088	30582	0,03

Protótipo	$l/d_p$	$M_{ro}$ [kN.cm]	$\delta$ [cm]	- $\varepsilon_c$ [%o]	$\varepsilon_s$ [%o]	$\Delta f_{ps}$ [kN/cm <sup>2</sup> ]	$f_{ps}$ [kN/cm <sup>2</sup> ]	$M_{res}$ (numerico) [kN.cm]	$M_{res}$ (analit.) [kN.cm]	$\Delta M_r/M_{ro}$
0,70-0,150-92,7-REF	55,7									
0,70-0,150-92,7-01	55,7	14305	10,2	2,49	10,00	12,5	105,2	15515	15482	0,08
0,70-0,150-92,7-02	55,7									
0,70-0,150-92,7-03	55,7									
0,70-0,150-92,7-04	55,7									
0,70-0,150-92,7-05	55,7									
0,70-0,150-92,7-06	55,7									
0,70-0,150-92,7-07	55,7	11724	13,7	3,19	10,00	18,4	111,1	12272	13316	0,14
0,70-0,150-92,7-08	55,7									
0,70-0,150-92,7-09	55,7									
0,70-0,150-92,7-10	55,7									
0,70-0,150-92,7-11	55,7	25024	10,3	3,50	6,11	11,0	103,7	26188	27000	0,08
0,70-0,150-92,7-12	55,7									
0,70-0,150-92,7-13	55,7									
0,70-0,150-92,7-14	55,7									
0,70-0,150-92,7-15	55,7									
0,70-0,150-92,7-16	55,7									
0,70-0,150-92,7-17	55,7	26420	15,6	3,50	6,43	15,8	108,5	27317	27653	0,05
0,70-0,150-92,7-18	55,7	18551	14,0	3,15	10,00	16,3	109,0	19538	19996	0,08
0,70-0,150-92,7-19	55,7	15744	11,8	2,80	10,00	14,2	106,9	16562	17053	0,08
0,70-0,150-92,7-20	55,7									
0,70-0,150-92,7-21	55,7	12844	9,1	2,06	10,00	12,1	104,8	12169	14009	0,09
0,70-0,150-92,7-22	55,7									
0,70-0,150-92,7-23	55,7									
0,70-0,150-92,7-24	55,7									
0,70-0,150-92,7-25	55,7	13212	9,7	2,37	10,00	12,5	105,2	13565	14403	0,09
0,70-0,150-92,7-26	55,7									
0,70-0,150-92,7-27	55,7	16454	14,4	3,01	10,00	17,2	109,9	17588	18020	0,10
0,70-0,150-92,7-28	55,7	18551	18,0	3,34	10,00	21,5	114,2	19661	20450	0,10
0,70-0,150-92,7-29	55,7									
0,70-0,150-92,7-30	55,7									
0,70-0,150-92,7-31	55,7									
0,70-0,150-92,7-32	55,7									

Protótipo	$l/d_p$	$M_{ro}$ [kN.cm]	$\delta$ [cm]	$-\varepsilon_c$ [%o]	$\varepsilon_s$ [%o]	$\Delta f_{ps}$ [kN/cm <sup>2</sup> ]	$f_{ps}$ [kN/cm <sup>2</sup> ]	$M_{res}$ (numerico) [kN.cm]	$M_{res}$ (analit.) [kN.cm]	$\Delta M_r/M_{ro}$
0,70-0,275-92,7-REF	55,7	24557	12,3	3,50	6,58	12,7	105,4	25695	26404	0,08
0,70-0,275-92,7-01	55,7	24557	10,5	3,50	7,15	10,3	103,0	25141	26049	0,06
0,70-0,275-92,7-02	55,7	24557	11,3	3,50	6,80	11,4	104,1	25900	26210	0,07
0,70-0,275-92,7-03	55,7	24557	11,7	3,50	6,80	12,1	104,8	25593	26307	0,07
0,70-0,275-92,7-04	55,7	24557	12,8	3,50	6,60	13,4	106,1	25613	26500	0,08
0,70-0,275-92,7-05	55,7	24557	13,7	3,50	6,51	14,5	107,2	25798	26650	0,09
0,70-0,275-92,7-06	55,7	24557	15,2	3,50	6,65	16,2	108,9	25962	26893	0,10
0,70-0,275-92,7-07	55,7									
0,70-0,275-92,7-08	55,7	21444	12,4	3,50	5,18	13,5	106,2	22411	23326	0,09
0,70-0,275-92,7-09	55,7	22801	12,4	3,50	5,93	13,2	105,9	23704	24680	0,08
0,70-0,275-92,7-10	55,7	26184	12,1	3,50	7,39	12,2	104,9	27317	27979	0,07
0,70-0,275-92,7-11	55,7									
0,70-0,275-92,7-12	55,7	27445	11,5	3,50	5,23	11,4	104,1	28610	29330	0,07
0,70-0,275-92,7-13	55,7	24196	12,4	3,50	6,80	12,9	105,6	25326	26034	0,08
0,70-0,275-92,7-14	55,7	18902	13,5	3,29	10,00	15,7	108,4	19579	20447	0,08
0,70-0,275-92,7-15	55,7	17857	13,7	3,06	10,00	16,1	108,8	18984	19288	0,08
0,70-0,275-92,7-16	55,7	17333	13,4	3,00	10,00	15,7	108,4	18080	18657	0,08
0,70-0,275-92,7-17	55,7									
0,70-0,275-92,7-18	55,7	31142	13,9	3,50	4,46	12,7	105,4	31996	32764	0,05
0,70-0,275-92,7-19	55,7	26830	12,8	3,50	6,69	13,1	105,8	26927	28648	0,07
0,70-0,275-92,7-20	55,7	23391	11,9	3,50	7,23	12,7	105,4	24361	25271	0,08
0,70-0,275-92,7-21	55,7	22205	11,5	3,50	7,83	12,7	105,4	23130	24115	0,09
0,70-0,275-92,7-22	55,7									
0,70-0,275-92,7-23	55,7	19156	10,6	3,50	9,27	12,4	105,1	20646	21114	0,10
0,70-0,275-92,7-24	55,7	21000	10,9	3,50	8,55	12,2	104,9	22062	22885	0,09
0,70-0,275-92,7-25	55,7	22800	11,3	3,50	7,49	12,2	104,9	23807	24620	0,08
0,70-0,275-92,7-26	55,7	25930	13,3	3,50	6,00	13,5	106,2	27091	27844	0,07
0,70-0,275-92,7-27	55,7	27937	15,3	3,50	5,27	15,3	108,0	29226	30008	0,07
0,70-0,275-92,7-28	55,7									
0,70-0,275-92,7-29	55,7	21905	12,3	3,50	3,92	13,3	106,0	22719	23828	0,09
0,70-0,275-92,7-30	55,7	22700	12,7	3,50	4,74	13,5	106,2	23704	24661	0,09
0,70-0,275-92,7-31	55,7	23496	12,5	3,50	5,40	13,1	105,8	24607	25393	0,08
0,70-0,275-92,7-32	55,7	25617	12,1	3,50	7,77	12,4	105,1	26680	27410	0,07

Protótipo	$l/d_p$	$M_{ro}$ [kN.cm]	$\delta$ [cm]	- $\varepsilon_c$ [%o]	$\varepsilon_s$ [%o]	$\Delta f_{ps}$ [kN/cm <sup>2</sup> ]	$f_{ps}$ [kN/cm <sup>2</sup> ]	$M_{res}$ (numerico) [kN.cm]	$M_{res}$ (analit.) [kN.cm]	$\Delta M_r/M_{ro}$
0,30-0,150-112,5-REF	55,7									
0,30-0,150-112,5-01	55,7	15830	11,0	2,53	10,00	12,3	124,8	16192	16259	0,03
0,30-0,150-112,5-02	55,7									
0,30-0,150-112,5-03	55,7									
0,30-0,150-112,5-04	55,7	15830	15,5	2,56	10,00	18,3	130,8	16110	16469	0,04
0,30-0,150-112,5-05	55,7	15830	17,7	2,55	10,00	21,5	134,0	16356	16577	0,05
0,30-0,150-112,5-06	55,7	15830	20,3	2,62	10,00	25,2	137,7	16192	16707	0,06
0,30-0,150-112,5-07	55,7									
0,30-0,150-112,5-08	55,7									
0,30-0,150-112,5-09	55,7	13334	14,9	2,55	10,00	18,2	130,7	13237	13926	0,04
0,30-0,150-112,5-10	55,7									
0,30-0,150-112,5-11	55,7	22591	14,1	3,50	8,13	14,8	127,3	23232	23881	0,06
0,30-0,150-112,5-12	55,7	17695	14,7	2,94	10,00	16,8	129,3	18121	18534	0,05
0,30-0,150-112,5-13	55,7	16551	14,8	2,82	10,00	17,1	129,6	17013	17247	0,04
0,30-0,150-112,5-14	55,7									
0,30-0,150-112,5-15	55,7									
0,30-0,150-112,5-16	55,7									
0,30-0,150-112,5-17	55,7	42006	17,9	3,50	2,57	13,0	125,5	41930	42272	0,01
0,30-0,150-112,5-18	55,7	25811	16,9	3,50	7,32	17,3	129,8	25962	26330	0,02
0,30-0,150-112,5-19	55,7	19296	16,3	3,15	10,00	18,5	131,0	19558	19910	0,03
0,30-0,150-112,5-20	55,7									
0,30-0,150-112,5-21	55,7									
0,30-0,150-112,5-22	55,7									
0,30-0,150-112,5-23	55,7									
0,30-0,150-112,5-24	55,7									
0,30-0,150-112,5-25	55,7									
0,30-0,150-112,5-26	55,7	17927	17,1	2,93	10,00	19,9	132,4	18327	18602	0,04
0,30-0,150-112,5-27	55,7	20977	20,7	3,50	9,58	24,0	136,5	21467	21754	0,04
0,30-0,150-112,5-28	55,7	25811	24,8	3,50	7,17	28,5	141,0	26331	26664	0,03
0,30-0,150-112,5-29	55,7									
0,30-0,150-112,5-30	55,7	13349	16,9	2,95	10,00	20,9	133,4	13154	14076	0,05
0,30-0,150-112,5-31	55,7									
0,30-0,150-112,5-32	55,7									

Protótipo	$l/d_p$	$M_{ro}$ [kN.cm]	$\delta$ [cm]	$-\varepsilon_c$ [%o]	$\varepsilon_s$ [%o]	$\Delta f_{ps}$ [kN/cm <sup>2</sup> ]	$f_{ps}$ [kN/cm <sup>2</sup> ]	$M_{res}$ (numerico) [kN.cm]	$M_{res}$ (analit.) [kN.cm]	$\Delta M_r/M_{ro}$
0,30-0,275-112,5-REF	55,7	27064	16,1	3,50	6,68	15,9	128,4	27296	27910	0,03
0,30-0,275-112,5-01	55,7	27064	11,0	3,50	6,66	8,9	121,4	27132	27542	0,02
0,30-0,275-112,5-02	55,7	27064	12,9	3,50	6,78	11,5	124,0	27419	27677	0,02
0,30-0,275-112,5-03	55,7	27064	13,1	3,50	7,81	13,0	125,5	22924	27759	0,03
0,30-0,275-112,5-04	55,7	27064	17,5	3,50	6,46	17,8	130,3	27604	28011	0,04
0,30-0,275-112,5-05	55,7	27064	19,6	3,50	6,33	20,6	133,1	27727	28160	0,04
0,30-0,275-112,5-06	55,7	27064	23,1	3,50	6,16	25,3	137,8	27973	28405	0,05
0,30-0,275-112,5-07	55,7	16887	19,0	3,50	5,28	21,4	133,9	17485	17863	0,06
0,30-0,275-112,5-08	55,7	19776	18,1	3,50	5,76	19,8	132,3	20318	20731	0,05
0,30-0,275-112,5-09	55,7	22808	17,1	3,50	6,09	17,9	130,4	23212	23716	0,04
0,30-0,275-112,5-10	55,7	31434	15,0	3,50	6,83	13,8	126,3	31750	32197	0,02
0,30-0,275-112,5-11	55,7	36740	14,0	3,50	2,92	11,3	123,8	37251	38020	0,03
0,30-0,275-112,5-12	55,7	29870	15,3	3,50	5,24	14,3	126,8	30293	30920	0,04
0,30-0,275-112,5-13	55,7	28150	15,7	3,50	5,64	15,1	127,6	28836	29076	0,03
0,30-0,275-112,5-14	55,7	25461	16,5	3,50	7,43	16,9	129,4	25675	26150	0,03
0,30-0,275-112,5-15	55,7	24941	16,7	3,50	7,62	17,3	129,8	25244	25573	0,03
0,30-0,275-112,5-16	55,7	24685	16,9	3,50	7,91	17,6	130,1	24997	25292	0,02
0,30-0,275-112,5-17	55,7									
0,30-0,275-112,5-18	55,7									
0,30-0,275-112,5-19	55,7	32399	16,3	3,50	4,52	14,6	127,1	32694	33099	0,02
0,30-0,275-112,5-20	55,7	24220	15,9	3,50	7,77	16,4	128,9	24669	25139	0,04
0,30-0,275-112,5-21	55,7	21259	15,9	3,50	9,77	17,3	129,8	21631	22272	0,05
0,30-0,275-112,5-22	55,7	18181	14,2	2,92	10,00	16,2	128,7	18676	19176	0,05
0,30-0,275-112,5-23	55,7									
0,30-0,275-112,5-24	55,7									
0,30-0,275-112,5-25	55,7									
0,30-0,275-112,5-26	55,7	30321	17,7	3,50	5,14	17,1	129,6	30765	31177	0,03
0,30-0,275-112,5-27	55,7	34891	20,7	3,50	3,82	19,4	131,9	35301	35768	0,03
0,30-0,275-112,5-28	55,7									
0,30-0,275-112,5-29	55,7	20567	19,6	3,50	3,56	20,8	133,3	21262	21674	0,05
0,30-0,275-112,5-30	55,7	22516	18,1	3,50	4,43	18,9	131,4	22924	23518	0,04
0,30-0,275-112,5-31	55,7	24465	17,3	3,50	5,21	17,6	130,1	25079	25401	0,04
0,30-0,275-112,5-32	55,7	29662	15,0	3,50	7,72	14,4	126,9	29903	30431	0,03

Protótipo	$l/d_p$	$M_{ro}$ [kN.cm]	$\delta$ [cm]	$-\varepsilon_c$ [%o]	$\varepsilon_s$ [%o]	$\Delta f_{ps}$ [kN/cm <sup>2</sup> ]	$f_{ps}$ [kN/cm <sup>2</sup> ]	$M_{res}$ (numerico) [kN.cm]	$M_{res}$ (analit.) [kN.cm]	$\Delta M_r/M_{ro}$
0,70-0,150-112,5-REF	55,7									
0,70-0,150-112,5-01	55,7	14363	10,2	2,48	10,00	12,3	124,8	15330	15319	0,07
0,70-0,150-112,5-02	55,7									
0,70-0,150-112,5-03	55,7									
0,70-0,150-112,5-04	55,7									
0,70-0,150-112,5-05	55,7									
0,70-0,150-112,5-06	55,7									
0,70-0,150-112,5-07	55,7	11729	13,5	3,09	10,00	17,7	130,2	11964	12988	0,11
0,70-0,150-112,5-08	55,7	12533	13,2	2,91	10,00	16,8	129,3	13175	13771	0,10
0,70-0,150-112,5-09	55,7									
0,70-0,150-112,5-10	55,7									
0,70-0,150-112,5-11	55,7	28534	9,8	3,50	4,57	10,0	122,5	30026	30184	0,06
0,70-0,150-112,5-12	55,7									
0,70-0,150-112,5-13	55,7									
0,70-0,150-112,5-14	55,7									
0,70-0,150-112,5-15	55,7									
0,70-0,150-112,5-16	55,7									
0,70-0,150-112,5-17	55,7	26517	15,6	3,50	6,42	15,4	127,9	27152	27514	0,04
0,70-0,150-112,5-18	55,7	18623	14,0	3,24	10,00	15,8	128,3	19250	19783	0,06
0,70-0,150-112,5-19	55,7	15806	11,8	2,84	10,00	13,9	126,4	16315	16867	0,07
0,70-0,150-112,5-20	55,7									
0,70-0,150-112,5-21	55,7	12896	9,4	2,05	10,00	12,3	124,8	12087	13871	0,08
0,70-0,150-112,5-22	55,7									
0,70-0,150-112,5-23	55,7									
0,70-0,150-112,5-24	55,7									
0,70-0,150-112,5-25	55,7	13265	9,8	2,36	10,00	12,2	124,7	13380	14232	0,07
0,70-0,150-112,5-26	55,7									
0,70-0,150-112,5-27	55,7	16519	14,5	2,99	10,00	16,9	129,4	17485	17798	0,08
0,70-0,150-112,5-28	55,7	18623	18,7	3,39	10,00	21,6	134,1	19825	20202	0,08
0,70-0,150-112,5-29	55,7	12916	14,8	3,43	10,00	18,9	131,4	13544	14384	0,11
0,70-0,150-112,5-30	55,7	13350	12,2	3,03	10,00	15,5	128,0	13770	14558	0,09
0,70-0,150-112,5-31	55,7									
0,70-0,150-112,5-32	55,7									

Protótipo	$l/d_p$	$M_{ro}$ [kN.cm]	$\delta$ [cm]	$-\varepsilon_c$ [%o]	$\varepsilon_s$ [%o]	$\Delta f_{ps}$ [kN/cm <sup>2</sup> ]	$f_{ps}$ [kN/cm <sup>2</sup> ]	$M_{res}$ (numerico) [kN.cm]	$M_{res}$ (analit.) [kN.cm]	$\Delta M_r/M_{ro}$
0,70-0,275-112,5-REF	55,7	24556	12,3	3,50	6,69	12,6	125,1	25367	26064	0,06
0,70-0,275-112,5-01	55,7	24556	10,5	3,50	7,23	10,1	122,6	24874	25776	0,05
0,70-0,275-112,5-02	55,7	24556	11,1	3,50	7,11	11,2	123,7	25059	25900	0,05
0,70-0,275-112,5-03	55,7	24556	11,7	3,50	6,99	11,9	124,4	25141	25987	0,06
0,70-0,275-112,5-04	55,7	24556	13,0	3,50	6,88	13,4	125,9	25285	26164	0,07
0,70-0,275-112,5-05	55,7	24556	13,9	3,50	6,69	14,4	126,9	25449	26282	0,07
0,70-0,275-112,5-06	55,7	24556	15,3	3,50	6,56	16,0	128,5	25777	26472	0,08
0,70-0,275-112,5-07	55,7									
0,70-0,275-112,5-08	55,7									
0,70-0,275-112,5-09	55,7	22778	12,3	3,50	6,04	13,0	125,5	23191	24297	0,07
0,70-0,275-112,5-10	55,7	26206	12,1	3,50	7,27	12,0	124,5	27276	27674	0,06
0,70-0,275-112,5-11	55,7									
0,70-0,275-112,5-12	55,7	30664	11,2	3,50	4,20	10,5	123,0	31832	32272	0,05
0,70-0,275-112,5-13	55,7	26986	11,9	3,50	5,40	11,6	124,1	28015	28549	0,06
0,70-0,275-112,5-14	55,7	20848	14,1	3,50	10,00	15,8	128,3	21447	22357	0,07
0,70-0,275-112,5-15	55,7	19618	13,6	3,13	10,00	15,5	128,0	19887	20964	0,07
0,70-0,275-112,5-16	55,7	19000	13,6	3,22	10,00	15,4	127,9	19415	20265	0,07
0,70-0,275-112,5-17	55,7									
0,70-0,275-112,5-18	55,7	31142	13,9	3,50	4,45	12,5	125,0	31730	32463	0,04
0,70-0,275-112,5-19	55,7	26829	13,0	3,50	5,67	12,6	125,1	26455	28280	0,05
0,70-0,275-112,5-20	55,7	23390	11,9	3,50	7,29	12,5	125,0	24135	24914	0,07
0,70-0,275-112,5-21	55,7	22204	11,7	3,50	8,03	12,6	125,1	22863	23781	0,07
0,70-0,275-112,5-22	55,7									
0,70-0,275-112,5-23	55,7	19155	10,6	3,50	9,40	12,2	124,7	20112	20750	0,08
0,70-0,275-112,5-24	55,7	20999	10,9	3,50	8,68	12,1	124,6	21713	22544	0,07
0,70-0,275-112,5-25	55,7	22800	11,4	3,50	7,57	12,1	124,6	23581	24290	0,07
0,70-0,275-112,5-26	55,7	25929	13,4	3,50	6,28	13,4	125,9	26639	27500	0,06
0,70-0,275-112,5-27	55,7	27937	15,3	3,50	5,43	15,0	127,5	28815	29626	0,06
0,70-0,275-112,5-28	55,7									
0,70-0,275-112,5-29	55,7	21904	12,6	3,50	4,09	13,4	125,9	22411	23510	0,07
0,70-0,275-112,5-30	55,7	22700	12,7	3,50	4,82	13,3	125,8	23355	24296	0,07
0,70-0,275-112,5-31	55,7	23495	12,6	3,50	5,54	13,1	125,6	24300	25061	0,07
0,70-0,275-112,5-32	55,7	25617	12,2	3,50	7,92	12,3	124,8	26455	27090	0,06

Protótipo	$l/d_p$	$M_{ro}$ [kN.cm]	$\delta$ [cm]	- $\varepsilon_c$ [%o]	$\varepsilon_s$ [%o]	$\Delta f_{ps}$ [kN/cm <sup>2</sup> ]	$f_{ps}$ [kN/cm <sup>2</sup> ]	$M_{res}$ (numerico) [kN.cm]	$M_{res}$ (analit.) [kN.cm]	$\Delta M_r/M_{ro}$
0,30-0,150-132,3-REF	55,7									
0,30-0,150-132,3-01	55,7	15792	10,7	2,48	10,00	10,9	143,2	16069	16116	0,02
0,30-0,150-132,3-02	55,7									
0,30-0,150-132,3-03	55,7									
0,30-0,150-132,3-04	55,7	15792	15,7	2,56	10,00	16,5	148,8	16028	16281	0,03
0,30-0,150-132,3-05	55,7	15792	17,7	2,50	10,00	19,0	151,3	16151	16354	0,04
0,30-0,150-132,3-06	55,7	15792	20,6	2,61	10,00	22,4	154,7	16048	16456	0,04
0,30-0,150-132,3-07	55,7									
0,30-0,150-132,3-08	55,7	11556	16,7	2,93	10,00	18,2	150,5	12026	12031	0,04
0,30-0,150-132,3-09	55,7	13341	14,8	2,48	10,00	16,1	148,4	13072	13785	0,03
0,30-0,150-132,3-10	55,7									
0,30-0,150-132,3-11	55,7	24291	13,6	3,50	7,48	12,7	145,0	24464	25363	0,04
0,30-0,150-132,3-12	55,7	18664	14,7	3,08	10,00	14,9	147,2	18840	19398	0,04
0,30-0,150-132,3-13	55,7	17336	14,8	2,89	10,00	15,2	147,5	17629	17949	0,04
0,30-0,150-132,3-14	55,7									
0,30-0,150-132,3-15	55,7									
0,30-0,150-132,3-16	55,7									
0,30-0,150-132,3-17	55,7	41929	17,7	3,50	2,56	11,7	144,0	41725	42135	0,00
0,30-0,150-132,3-18	55,7	25754	17,1	3,50	7,60	15,7	148,0	25777	26155	0,02
0,30-0,150-132,3-19	55,7	19252	16,0	2,88	10,00	16,3	148,6	19189	19712	0,02
0,30-0,150-132,3-20	55,7									
0,30-0,150-132,3-21	55,7									
0,30-0,150-132,3-22	55,7									
0,30-0,150-132,3-23	55,7									
0,30-0,150-132,3-24	55,7									
0,30-0,150-132,3-25	55,7									
0,30-0,150-132,3-26	55,7	17885	17,0	2,89	10,00	17,7	150,0	18101	18393	0,03
0,30-0,150-132,3-27	55,7	20929	20,8	3,50	10,00	21,2	153,5	21221	21513	0,03
0,30-0,150-132,3-28	55,7	25754	25,0	3,50	7,37	24,6	156,9	26003	26382	0,02
0,30-0,150-132,3-29	55,7									
0,30-0,150-132,3-30	55,7	13318	16,8	2,93	10,00	18,2	150,5	13072	13855	0,04
0,30-0,150-132,3-31	55,7									
0,30-0,150-132,3-32	55,7									

Protótipo	$l/d_p$	$M_{ro}$ [kN.cm]	$\delta$ [cm]	- $\varepsilon_c$ [%o]	$\varepsilon_s$ [%o]	$\Delta f_{ps}$ [kN/cm <sup>2</sup> ]	$f_{ps}$ [kN/cm <sup>2</sup> ]	$M_{res}$ (numerico) [kN.cm]	$M_{res}$ (analit.) [kN.cm]	$\Delta M_r/M_{ro}$
0,30-0,275-132,3-REF	55,7	27014	16,1	3,50	6,69	14,4	146,7	27091	27664	0,02
0,30-0,275-132,3-01	55,7	27014	11,1	3,50	6,87	8,4	140,7	27009	27396	0,01
0,30-0,275-132,3-02	55,7	27014	12,9	3,50	6,80	10,5	142,8	27276	27491	0,02
0,30-0,275-132,3-03	55,7	27014	13,0	3,50	7,81	11,8	144,1	22514	27548	0,02
0,30-0,275-132,3-04	55,7	27014	17,5	3,50	6,43	16,0	148,3	27358	27738	0,03
0,30-0,275-132,3-05	55,7	27014	19,7	3,50	6,51	18,5	150,8	27399	27851	0,03
0,30-0,275-132,3-06	55,7	27014	23,4	3,50	6,46	22,4	154,7	27604	28025	0,04
0,30-0,275-132,3-07	55,7	16897	19,3	3,50	5,41	19,2	151,5	17300	17643	0,04
0,30-0,275-132,3-08	55,7	19790	18,3	3,50	5,78	17,7	150,0	20174	20520	0,04
0,30-0,275-132,3-09	55,7	22812	17,1	3,50	6,21	16,1	148,4	22945	23509	0,03
0,30-0,275-132,3-10	55,7	31452	15,0	3,50	6,83	12,5	144,8	31627	32043	0,02
0,30-0,275-132,3-11	55,7									
0,30-0,275-132,3-12	55,7	31288	15,0	3,50	4,73	12,4	144,7	31504	32171	0,03
0,30-0,275-132,3-13	55,7									
0,30-0,275-132,3-14	55,7	26231	16,4	3,50	7,12	14,8	147,1	26331	26826	0,02
0,30-0,275-132,3-15	55,7	25628	16,7	3,50	7,46	15,2	147,5	25777	26178	0,02
0,30-0,275-132,3-16	55,7	25331	16,7	3,50	7,63	15,4	147,7	25428	25855	0,02
0,30-0,275-132,3-17	55,7									
0,30-0,275-132,3-18	55,7									
0,30-0,275-132,3-19	55,7	32342	16,3	3,50	4,67	13,3	145,6	32407	32886	0,02
0,30-0,275-132,3-20	55,7	24175	15,9	3,50	7,88	14,9	147,2	24402	24882	0,03
0,30-0,275-132,3-21	55,7	21218	15,9	3,50	9,69	15,6	147,9	21570	21995	0,04
0,30-0,275-132,3-22	55,7	18146	14,2	3,00	10,00	14,6	146,9	18306	18908	0,04
0,30-0,275-132,3-23	55,7									
0,30-0,275-132,3-24	55,7									
0,30-0,275-132,3-25	55,7									
0,30-0,275-132,3-26	55,7	30267	17,8	3,50	5,31	15,5	147,8	30560	30928	0,02
0,30-0,275-132,3-27	55,7	34831	20,8	3,50	4,02	17,5	149,8	35034	35505	0,02
0,30-0,275-132,3-28	55,7									
0,30-0,275-132,3-29	55,7	20531	19,7	3,50	3,74	18,6	150,9	20892	21372	0,04
0,30-0,275-132,3-30	55,7	22476	18,3	3,50	4,65	17,1	149,4	22719	23252	0,03
0,30-0,275-132,3-31	55,7	24421	17,3	3,50	5,48	15,9	148,2	24689	25141	0,03
0,30-0,275-132,3-32	55,7	29607	15,1	3,50	7,73	13,1	145,4	29698	30201	0,02

Protótipo	$l/d_p$	$M_{ro}$ [kN.cm]	$\delta$ [cm]	$-\varepsilon_c$ [%o]	$\varepsilon_s$ [%o]	$\Delta f_{ps}$ [kN/cm <sup>2</sup> ]	$f_{ps}$ [kN/cm <sup>2</sup> ]	$M_{res}$ (numerico) [kN.cm]	$M_{res}$ (analit.) [kN.cm]	$\Delta M_r/M_{ro}$
0,70-0,150-132,3-REF	55,7									
0,70-0,150-132,3-01	55,7									
0,70-0,150-132,3-02	55,7									
0,70-0,150-132,3-03	55,7									
0,70-0,150-132,3-04	55,7									
0,70-0,150-132,3-05	55,7									
0,70-0,150-132,3-06	55,7									
0,70-0,150-132,3-07	55,7	11748	13,5	3,06	10,00	15,9	148,2	11697	12714	0,08
0,70-0,150-132,3-08	55,7	12576	11,9	2,84	10,00	13,8	146,1	12867	13444	0,07
0,70-0,150-132,3-09	55,7									
0,70-0,150-132,3-10	55,7									
0,70-0,150-132,3-11	55,7	31747	9,4	3,50	3,48	8,8	141,1	33679	33081	0,04
0,70-0,150-132,3-12	55,7									
0,70-0,150-132,3-13	55,7									
0,70-0,150-132,3-14	55,7									
0,70-0,150-132,3-15	55,7									
0,70-0,150-132,3-16	55,7									
0,70-0,150-132,3-17	55,7	26508	15,6	3,50	6,57	14,0	146,3	26865	27280	0,03
0,70-0,150-132,3-18	55,7	18617	14,0	3,19	10,00	14,3	146,6	19004	19510	0,05
0,70-0,150-132,3-19	55,7	15800	11,8	2,78	10,00	12,6	144,9	16110	16620	0,05
0,70-0,150-132,3-20	55,7									
0,70-0,150-132,3-21	55,7									
0,70-0,150-132,3-22	55,7									
0,70-0,150-132,3-23	55,7									
0,70-0,150-132,3-24	55,7									
0,70-0,150-132,3-25	55,7	13260	9,6	2,31	10,00	11,0	143,3	13195	14003	0,06
0,70-0,150-132,3-26	55,7									
0,70-0,150-132,3-27	55,7									
0,70-0,150-132,3-28	55,7	18617	17,9	3,20	10,00	18,6	150,9	19066	19775	0,06
0,70-0,150-132,3-29	55,7	12912	14,8	3,41	10,00	16,9	149,2	13319	14028	0,09
0,70-0,150-132,3-30	55,7	13345	11,9	2,83	10,00	13,9	146,2	13011	14269	0,07
0,70-0,150-132,3-31	55,7									
0,70-0,150-132,3-32	55,7									

Protótipo	$l/d_p$	$M_{ro}$ [kN.cm]	$\delta$ [cm]	- $\varepsilon_c$ [%o]	$\varepsilon_s$ [%o]	$\Delta f_{ps}$ [kN/cm <sup>2</sup> ]	$f_{ps}$ [kN/cm <sup>2</sup> ]	$M_{res}$ (numerico) [kN.cm]	$M_{res}$ (analit.) [kN.cm]	$\Delta M_r/M_{ro}$
0,70-0,275-132,3-REF	55,7	24548	12,5	3,50	6,96	11,7	144,0	25038	25746	0,05
0,70-0,275-132,3-01	55,7	24548	10,5	3,50	7,34	9,4	141,7	24607	25511	0,04
0,70-0,275-132,3-02	55,7	24548	11,6	3,50	7,98	11,0	143,3	24813	25672	0,05
0,70-0,275-132,3-03	55,7	24548	10,5	3,50	4,88	9,5	141,8	21057	25519	0,04
0,70-0,275-132,3-04	55,7	24548	13,0	3,50	6,84	12,3	144,6	24997	25801	0,05
0,70-0,275-132,3-05	55,7	24548	14,0	3,50	6,92	13,3	145,6	25079	25907	0,06
0,70-0,275-132,3-06	55,7	24548	15,2	3,50	6,95	14,6	146,9	24874	26036	0,06
0,70-0,275-132,3-07	55,7									
0,70-0,275-132,3-08	55,7	21470	12,6	3,50	5,49	12,3	144,6	21960	22680	0,06
0,70-0,275-132,3-09	55,7	22812	12,5	3,50	6,25	12,1	144,4	23047	24028	0,05
0,70-0,275-132,3-10	55,7	26231	12,2	3,50	7,84	11,2	143,5	26701	27401	0,04
0,70-0,275-132,3-11	55,7									
0,70-0,275-132,3-12	55,7	33622	10,8	3,50	3,26	9,2	141,5	35034	34906	0,04
0,70-0,275-132,3-13	55,7	29608	11,3	3,50	4,72	10,0	142,3	30149	30871	0,04
0,70-0,275-132,3-14	55,7	22726	12,9	3,50	7,97	12,4	144,7	23232	23875	0,05
0,70-0,275-132,3-15	55,7	21325	13,4	3,50	9,49	13,4	145,7	21447	22452	0,05
0,70-0,275-132,3-16	55,7	20619	13,8	3,39	10,00	14,0	146,3	20749	21736	0,05
0,70-0,275-132,3-17	55,7									
0,70-0,275-132,3-18	55,7	31132	13,9	3,50	4,61	11,6	143,9	31360	32171	0,03
0,70-0,275-132,3-19	55,7	26820	13,0	3,50	5,88	11,6	143,9	27296	27963	0,04
0,70-0,275-132,3-20	55,7	23382	12,4	3,50	7,80	12,0	144,3	23868	24633	0,05
0,70-0,275-132,3-21	55,7	22197	11,9	3,50	8,53	12,0	144,3	22534	23473	0,06
0,70-0,275-132,3-22	55,7									
0,70-0,275-132,3-23	55,7	19148	10,9	3,50	10,00	11,6	143,9	19784	20446	0,07
0,70-0,275-132,3-24	55,7									
0,70-0,275-132,3-25	55,7	22792	11,6	3,50	7,85	11,3	143,6	23294	23986	0,05
0,70-0,275-132,3-26	55,7	25921	13,5	3,50	6,30	12,4	144,7	26393	27157	0,05
0,70-0,275-132,3-27	55,7	27927	15,4	3,50	5,41	13,8	146,1	28507	29253	0,05
0,70-0,275-132,3-28	55,7									
0,70-0,275-132,3-29	55,7									
0,70-0,275-132,3-30	55,7	22692	12,8	3,50	4,81	12,3	144,6	23089	23950	0,06
0,70-0,275-132,3-31	55,7	23487	12,5	3,50	5,83	12,0	144,3	23766	24710	0,05
0,70-0,275-132,3-32	55,7									

Protótipo	$l/d_p$	$M_{ro}$ [kN.cm]	$\delta$ [cm]	$-\varepsilon_c$ [%o]	$\varepsilon_s$ [%o]	$\Delta f_{ps}$ [kN/cm <sup>2</sup> ]	$f_{ps}$ [kN/cm <sup>2</sup> ]	$M_{res}$ (numerico) [kN.cm]	$M_{res}$ (analit.) [kN.cm]	$\Delta M_r/M_{ro}$
0,30-0,150-152,0-REF	55,7									
0,30-0,150-152,0-01	55,7	15842	10,8	2,47	10,00	8,1	160,1	16069	16050	0,01
0,30-0,150-152,0-02	55,7									
0,30-0,150-152,0-03	55,7									
0,30-0,150-152,0-04	55,7	15842	15,8	2,57	10,00	11,8	163,8	15884	16148	0,02
0,30-0,150-152,0-05	55,7	15842	17,1	2,46	10,00	12,9	164,9	15535	16176	0,02
0,30-0,150-152,0-06	55,7	15842	21,0	2,63	10,00	15,5	167,5	15905	16242	0,03
0,30-0,150-152,0-07	55,7									
0,30-0,150-152,0-08	55,7	11581	16,2	2,83	10,00	12,5	164,5	11718	11866	0,02
0,30-0,150-152,0-09	55,7	13364	14,8	2,48	10,00	11,5	163,5	12929	13641	0,02
0,30-0,150-152,0-10	55,7									
0,30-0,150-152,0-11	55,7	25974	13,3	3,50	6,73	9,0	161,0	25859	26707	0,03
0,30-0,150-152,0-12	55,7	19668	14,7	3,21	10,00	10,7	162,7	19517	20189	0,03
0,30-0,150-152,0-13	55,7	18166	14,6	2,92	10,00	10,8	162,8	18142	18594	0,02
0,30-0,150-152,0-14	55,7	16746	14,7	2,78	10,00	11,0	163,0	16849	17090	0,02
0,30-0,150-152,0-15	55,7									
0,30-0,150-152,0-16	55,7									
0,30-0,150-152,0-17	55,7	42030	17,9	3,50	2,57	8,6	160,6	41848	42162	0,00
0,30-0,150-152,0-18	55,7	25829	17,2	3,50	7,64	11,3	163,3	25777	26081	0,01
0,30-0,150-152,0-19	55,7	19311	16,4	2,96	10,00	11,8	163,8	19456	19603	0,02
0,30-0,150-152,0-20	55,7									
0,30-0,150-152,0-21	55,7									
0,30-0,150-152,0-22	55,7									
0,30-0,150-152,0-23	55,7									
0,30-0,150-152,0-24	55,7									
0,30-0,150-152,0-25	55,7									
0,30-0,150-152,0-26	55,7	17940	17,0	2,86	10,00	12,4	164,4	17875	18253	0,02
0,30-0,150-152,0-27	55,7	20993	20,8	3,46	10,00	14,6	166,6	21016	21344	0,02
0,30-0,150-152,0-28	55,7	25830	25,0	3,50	7,37	16,5	168,5	25859	26198	0,01
0,30-0,150-152,0-29	55,7									
0,30-0,150-152,0-30	55,7	13359	16,8	2,82	10,00	12,8	164,8	12764	13691	0,02
0,30-0,150-152,0-31	55,7									
0,30-0,150-152,0-32	55,7									

Protótipo	$l/d_p$	$M_{ro}$ [kN.cm]	$\delta$ [cm]	$-\varepsilon_c$ [%o]	$\varepsilon_s$ [%o]	$\Delta f_{ps}$ [kN/cm <sup>2</sup> ]	$f_{ps}$ [kN/cm <sup>2</sup> ]	$M_{res}$ (numerico) [kN.cm]	$M_{res}$ (analit.) [kN.cm]	$\Delta M_r/M_{ro}$
0,30-0,275-152,0-REF	55,7	27041	16,1	3,50	6,70	10,4	162,4	26886	27453	0,02
0,30-0,275-152,0-01	55,7	27041	11,1	3,50	6,90	6,3	158,3	26927	27291	0,01
0,30-0,275-152,0-02	55,7	27041	12,9	3,50	6,82	7,8	159,8	27152	27350	0,01
0,30-0,275-152,0-03	55,7									
0,30-0,275-152,0-04	55,7	27041	17,7	3,50	6,66	11,6	163,6	27091	27498	0,02
0,30-0,275-152,0-05	55,7	27041	20,0	3,50	6,77	13,2	165,2	27152	27562	0,02
0,30-0,275-152,0-06	55,7	27041	23,4	3,50	6,60	15,4	167,4	27194	27649	0,02
0,30-0,275-152,0-07	55,7	16892	19,5	3,50	5,51	13,6	165,6	17054	17352	0,03
0,30-0,275-152,0-08	55,7	19772	18,4	3,50	5,91	12,6	164,6	19866	20225	0,02
0,30-0,275-152,0-09	55,7	22821	17,3	3,50	6,34	11,6	163,6	22699	23260	0,02
0,30-0,275-152,0-10	55,7	31483	15,1	3,50	7,10	9,3	161,3	31422	31866	0,01
0,30-0,275-152,0-11	55,7									
0,30-0,275-152,0-12	55,7	32698	14,9	3,50	4,45	8,9	160,9	32551	33309	0,02
0,30-0,275-152,0-13	55,7	30528	15,3	3,50	5,11	9,4	161,4	30539	31078	0,02
0,30-0,275-152,0-14	55,7	28415	15,9	3,50	5,90	10,0	162,0	28569	28888	0,02
0,30-0,275-152,0-15	55,7	26365	16,3	3,50	7,12	10,7	162,7	26208	26746	0,01
0,30-0,275-152,0-16	55,7	26020	16,4	3,50	7,35	10,8	162,8	25921	26386	0,01
0,30-0,275-152,0-17	55,7									
0,30-0,275-152,0-18	55,7	41633	17,3	3,50	2,38	8,5	160,5	41602	41868	0,01
0,30-0,275-152,0-19	55,7	32373	16,5	3,50	4,87	9,8	161,8	32222	32722	0,01
0,30-0,275-152,0-20	55,7	24199	16,1	3,50	8,09	10,8	162,8	24156	24649	0,02
0,30-0,275-152,0-21	55,7	21241	16,1	3,50	9,95	11,3	163,3	21323	21733	0,02
0,30-0,275-152,0-22	55,7	18165	14,2	2,98	10,00	10,5	162,5	18060	18642	0,03
0,30-0,275-152,0-23	55,7									
0,30-0,275-152,0-24	55,7									
0,30-0,275-152,0-25	55,7									
0,30-0,275-152,0-26	55,7	30297	17,8	3,50	5,29	11,2	163,2	30354	30711	0,01
0,30-0,275-152,0-27	55,7	34864	20,8	3,50	4,01	12,4	164,4	34808	35281	0,01
0,30-0,275-152,0-28	55,7									
0,30-0,275-152,0-29	55,7	20551	19,7	3,50	3,84	13,2	165,2	20584	21071	0,03
0,30-0,275-152,0-30	55,7	22498	18,3	3,50	4,62	12,2	164,2	22452	22979	0,02
0,30-0,275-152,0-31	55,7	24445	17,3	3,50	5,51	11,4	163,4	24423	24896	0,02
0,30-0,275-152,0-32	55,7	29637	15,2	3,50	8,02	9,7	161,7	29472	30021	0,01

Protótipo	$l/d_p$	$M_{ro}$ [kN.cm]	$\delta$ [cm]	- $\varepsilon_c$ [%o]	$\varepsilon_s$ [%o]	$\Delta f_{ps}$ [kN/cm <sup>2</sup> ]	$f_{ps}$ [kN/cm <sup>2</sup> ]	$M_{res}$ (numerico) [kN.cm]	$M_{res}$ (analit.) [kN.cm]	$\Delta M_r/M_{ro}$
0,70-0,150-152,0-REF	55,7									
0,70-0,150-152,0-01	55,7									
0,70-0,150-152,0-02	55,7									
0,70-0,150-152,0-03	55,7									
0,70-0,150-152,0-04	55,7									
0,70-0,150-152,0-05	55,7									
0,70-0,150-152,0-06	55,7									
0,70-0,150-152,0-07	55,7	11738	13,5	3,06	10,00	11,4	163,4	11451	12342	0,05
0,70-0,150-152,0-08	55,7	12547	11,8	2,80	10,00	10,0	162,0	12600	13094	0,04
0,70-0,150-152,0-09	55,7	13326	11,4	2,54	10,00	9,6	161,6	12908	13865	0,04
0,70-0,150-152,0-10	55,7									
0,70-0,150-152,0-11	55,7	34578	8,9	3,50	2,54	6,5	158,5	37087	35476	0,03
0,70-0,150-152,0-12	55,7	22584	11,2	3,50	8,12	8,4	160,4	22616	23427	0,04
0,70-0,150-152,0-13	55,7									
0,70-0,150-152,0-14	55,7									
0,70-0,150-152,0-15	55,7									
0,70-0,150-152,0-16	55,7									
0,70-0,150-152,0-17	55,7	26462	15,7	3,50	6,76	10,3	162,3	26578	26957	0,02
0,70-0,150-152,0-18	55,7	18583	13,9	3,12	10,00	10,3	162,3	18696	19143	0,03
0,70-0,150-152,0-19	55,7	15771	11,9	2,69	10,00	9,3	161,3	15966	16297	0,03
0,70-0,150-152,0-20	55,7									
0,70-0,150-152,0-21	55,7									
0,70-0,150-152,0-22	55,7									
0,70-0,150-152,0-23	55,7									
0,70-0,150-152,0-24	55,7									
0,70-0,150-152,0-25	55,7									
0,70-0,150-152,0-26	55,7									
0,70-0,150-152,0-27	55,7	16483	14,1	2,85	10,00	10,8	162,8	16623	17087	0,04
0,70-0,150-152,0-28	55,7	18583	18,2	3,16	10,00	13,3	165,3	18758	19307	0,04
0,70-0,150-152,0-29	55,7									
0,70-0,150-152,0-30	55,7									
0,70-0,150-152,0-31	55,7									
0,70-0,150-152,0-32	55,7									

Protótipo	$l/d_p$	$M_{ro}$ [kN.cm]	$\delta$ [cm]	$-\varepsilon_c$ [%o]	$\varepsilon_s$ [%o]	$\Delta f_{ps}$ [kN/cm <sup>2</sup> ]	$f_{ps}$ [kN/cm <sup>2</sup> ]	$M_{res}$ (numerico) [kN.cm]	$M_{res}$ (analit.) [kN.cm]	$\Delta M_r/M_{ro}$
0,70-0,275-152,0-REF	55,7	24527	12,5	3,50	7,19	8,7	160,7	24607	25307	0,03
0,70-0,275-152,0-01	55,7	24527	10,5	3,50	7,38	7,1	159,1	24382	25159	0,03
0,70-0,275-152,0-02	55,7	24527	11,6	3,50	8,13	8,2	160,2	24300	25260	0,03
0,70-0,275-152,0-03	55,7	24527	11,9	3,50	7,31	8,3	160,3	24464	25267	0,03
0,70-0,275-152,0-04	55,7	24527	13,0	3,50	7,14	9,1	161,1	24443	25342	0,03
0,70-0,275-152,0-05	55,7	24527	13,9	3,50	7,17	9,8	161,8	24423	25399	0,04
0,70-0,275-152,0-06	55,7	24527	15,2	3,50	7,19	10,7	162,7	24464	25477	0,04
0,70-0,275-152,0-07	55,7									
0,70-0,275-152,0-08	55,7	21456	12,6	3,50	5,69	9,1	161,1	21467	22241	0,04
0,70-0,275-152,0-09	55,7	22789	12,7	3,50	6,39	9,1	161,1	22678	23584	0,03
0,70-0,275-152,0-10	55,7	26223	12,3	3,50	8,08	8,4	160,5	26311	26992	0,03
0,70-0,275-152,0-11	55,7									
0,70-0,275-152,0-12	55,7									
0,70-0,275-152,0-13	55,7	32060	11,0	3,50	3,90	7,2	159,2	32674	32911	0,03
0,70-0,275-152,0-14	55,7	27586	11,8	3,50	5,41	7,9	159,9	27932	28403	0,03
0,70-0,275-152,0-15	55,7	22981	13,0	3,50	8,18	9,3	161,3	22986	23741	0,03
0,70-0,275-152,0-16	55,7	22183	13,4	3,50	8,91	9,6	161,6	22226	22935	0,03
0,70-0,275-152,0-17	55,7									
0,70-0,275-152,0-18	55,7	31107	14,0	3,50	4,73	8,6	160,6	30909	31785	0,02
0,70-0,275-152,0-19	55,7	26798	13,2	3,50	6,13	8,8	160,8	26927	27549	0,03
0,70-0,275-152,0-20	55,7	23362	12,1	3,50	7,79	8,7	160,7	23335	24154	0,03
0,70-0,275-152,0-21	55,7	22178	12,0	3,50	9,28	9,0	161,0	21549	23017	0,04
0,70-0,275-152,0-22	55,7	20974								
0,70-0,275-152,0-23	55,7	19131	10,7	3,36	10,00	8,6	160,6	19271	19966	0,04
0,70-0,275-152,0-24	55,7									
0,70-0,275-152,0-25	55,7									
0,70-0,275-152,0-26	55,7	25899	13,5	3,50	6,56	9,2	161,2	25859	26702	0,03
0,70-0,275-152,0-27	55,7	27904	15,6	3,50	5,73	10,2	162,2	27973	28763	0,03
0,70-0,275-152,0-28	55,7									
0,70-0,275-152,0-29	55,7									
0,70-0,275-152,0-30	55,7	22673	12,8	3,50	4,98	9,1	161,1	22740	23486	0,04
0,70-0,275-152,0-31	55,7	23467	12,7	3,50	6,06	9,0	161,0	23294	24271	0,03
0,70-0,275-152,0-32	55,7									

**Apêndice B.3 – Protótipos Submetidos a Carregamento Distribuído –**

$$L_o = l/6$$

Protótipo	$l/d_p$	$M_{ro}$ [kN.cm]	$\delta$ [cm]	$-\varepsilon_c$ [%o]	$\varepsilon_s$ [%o]	$\Delta f_{ps}$ [kN/cm <sup>2</sup> ]	$f_{ps}$ [kN/cm <sup>2</sup> ]	$M_{res}$ (numerico) [kN.cm]	$M_{res}$ (analit.) [kN.cm]	$\Delta M_r/M_{ro}$
0,30-0,150-92,7-REF	21,7	15800	4,4	2,83	10,00	38,7	131,4	17104	17420	0,10
0,30-0,150-92,7-01	21,7	15800	3,8	2,77	10,00	31,2	123,9	16748	17109	0,08
0,30-0,150-92,7-02	21,7	15800	3,9	2,76	10,00	33,2	125,9	16762	17193	0,09
0,30-0,150-92,7-03	21,7	15800	4,1	2,71	10,00	35,9	128,6	17053	17306	0,10
0,30-0,150-92,7-04	21,7	15800	4,6	2,84	10,00	41,1	133,8	17149	17521	0,11
0,30-0,150-92,7-05	21,7	15800	5,0	2,84	10,00	45,0	137,7	17129	17680	0,12
0,30-0,150-92,7-06	21,7	15800	5,5	2,90	10,00	51,2	143,9	17551	17938	0,14
0,30-0,150-92,7-07	21,7									
0,30-0,150-92,7-08	21,7	11566	5,5	3,09	10,00	49,2	141,9	13008	13380	0,16
0,30-0,150-92,7-09	21,7	13294	4,9	2,92	10,00	44,0	136,7	14586	15012	0,13
0,30-0,150-92,7-10	21,7	18426	4,0	2,70	10,00	33,8	126,5	19630	19930	0,08
0,30-0,150-92,7-11	21,7	20806	4,2	3,50	8,18	33,3	126,0	23130	23753	0,14
0,30-0,150-92,7-12	21,7	16672	4,5	3,03	10,00	38,6	131,3	18252	18620	0,12
0,30-0,150-92,7-13	21,7	15716	4,5	2,84	10,00	38,9	131,6	17076	17314	0,10
0,30-0,150-92,7-14	21,7	14255	4,3	2,45	10,00	38,7	131,4	14884	15274	0,07
0,30-0,150-92,7-15	21,7	13972	4,3	2,42	10,00	38,9	131,6	14581	14882	0,07
0,30-0,150-92,7-16	21,7	13836	4,3	2,40	10,00	38,9	131,6	14489	14691	0,06
0,30-0,150-92,7-17	21,7	41945	3,6	3,50	2,38	18,2	110,9	42092	42396	0,01
0,30-0,150-92,7-18	21,7	25766	4,2	3,50	6,98	32,2	124,9	26597	26930	0,05
0,30-0,150-92,7-19	21,7	19261	4,8	3,36	10,00	39,7	132,4	20397	20847	0,08
0,30-0,150-92,7-20	21,7									
0,30-0,150-92,7-21	21,7									
0,30-0,150-92,7-22	21,7									
0,30-0,150-92,7-23	21,7									
0,30-0,150-92,7-24	21,7									
0,30-0,150-92,7-25	21,7									
0,30-0,150-92,7-26	21,7	17893	4,8	3,18	10,00	42,2	134,9	19264	19612	0,10
0,30-0,150-92,7-27	21,7	20939	5,2	3,50	8,94	43,9	136,6	22332	22650	0,08
0,30-0,150-92,7-28	21,7	25766	5,5	3,50	6,76	45,6	138,3	27048	27409	0,06
0,30-0,150-92,7-29	21,7									
0,30-0,150-92,7-30	21,7	13325	5,7	3,50	9,82	49,9	142,6	14949	15409	0,16
0,30-0,150-92,7-31	21,7	14385	5,1	3,22	10,00	45,1	137,8	15842	16270	0,13
0,30-0,150-92,7-32	21,7	17215	3,9	2,56	10,00	33,8	126,5	18416	18632	0,08

Protótipo	$l/d_p$	$M_{ro}$ [kN.cm]	$\delta$ [cm]	$-\varepsilon_c$ [%o]	$\varepsilon_s$ [%o]	$\Delta f_{ps}$ [kN/cm <sup>2</sup> ]	$f_{ps}$ [kN/cm <sup>2</sup> ]	$M_{res}$ (numerico) [kN.cm]	$M_{res}$ (analit.) [kN.cm]	$\Delta M_r/M_{ro}$
0,30-0,275-92,7-REF	21,7	27036	4,0	3,50	5,85	28,7	121,4	28423	28869	0,07
0,30-0,275-92,7-01	21,7	27036	3,2	3,50	6,30	20,3	113,0	27708	28343	0,05
0,30-0,275-92,7-02	21,7	27036	3,5	3,50	6,12	23,0	115,7	27956	28509	0,05
0,30-0,275-92,7-03	21,7	27036	3,7	3,50	5,87	25,6	118,3	28415	28673	0,06
0,30-0,275-92,7-04	21,7	27036	4,2	3,50	5,76	31,2	123,9	28590	29024	0,07
0,30-0,275-92,7-05	21,7	27036	4,6	3,50	5,66	34,9	127,6	28824	29254	0,08
0,30-0,275-92,7-06	21,7	27036	5,1	3,50	5,48	41,0	133,7	29306	29633	0,10
0,30-0,275-92,7-07	21,7	16915	5,0	3,50	4,76	42,4	135,1	18803	19238	0,14
0,30-0,275-92,7-08	21,7	19765	4,7	3,50	5,06	37,6	130,3	21550	21944	0,11
0,30-0,275-92,7-09	21,7	22801	4,4	3,50	5,52	33,7	126,4	24370	24849	0,09
0,30-0,275-92,7-10	21,7	31508	3,7	3,50	6,33	25,0	117,7	32754	33170	0,05
0,30-0,275-92,7-11	21,7	34322	3,5	3,50	3,17	20,8	113,5	36275	36832	0,07
0,30-0,275-92,7-12	21,7	28347	3,9	3,50	5,29	27,1	119,8	29906	30391	0,07
0,30-0,275-92,7-13	21,7	26895	4,0	3,50	5,93	29,0	121,7	28324	28710	0,07
0,30-0,275-92,7-14	21,7	24620	4,3	3,50	7,35	33,1	125,8	25625	25982	0,06
0,30-0,275-92,7-15	21,7	24185	4,3	3,50	7,64	33,9	126,6	25131	25438	0,05
0,30-0,275-92,7-16	21,7	23971	4,4	3,50	7,83	34,4	127,1	24800	25170	0,05
0,30-0,275-92,7-17	21,7									
0,30-0,275-92,7-18	21,7									
0,30-0,275-92,7-19	21,7	32367	3,8	3,50	4,28	24,5	117,2	33457	33777	0,04
0,30-0,275-92,7-20	21,7	24195	4,1	3,50	7,00	31,6	124,3	25826	26313	0,09
0,30-0,275-92,7-21	21,7	21237	4,4	3,50	8,35	34,6	127,3	23139	23665	0,11
0,30-0,275-92,7-22	21,7	18162	4,5	3,50	9,78	37,6	130,3	20570	20918	0,15
0,30-0,275-92,7-23	21,7	13330	3,6	2,61	10,00	31,2	123,9	15200	15778	0,18
0,30-0,275-92,7-24	21,7	18162	4,2	3,44	10,00	33,5	126,2	20197	20623	0,14
0,30-0,275-92,7-25	21,7	22730	4,0	3,50	7,75	30,3	123,0	24353	24814	0,09
0,30-0,275-92,7-26	21,7	30291	4,1	3,50	4,84	28,7	121,4	31580	32014	0,06
0,30-0,275-92,7-27	21,7	34858	4,4	3,50	3,57	29,2	121,9	35971	36436	0,05
0,30-0,275-92,7-28	21,7									
0,30-0,275-92,7-29	21,7	20547	4,8	3,50	3,00	37,4	130,1	22538	22925	0,12
0,30-0,275-92,7-30	21,7	22494	4,5	3,50	3,81	34,0	126,7	24277	24658	0,10
0,30-0,275-92,7-31	21,7	24440	4,2	3,50	4,70	31,4	124,1	26031	26445	0,08
0,30-0,275-92,7-32	21,7	29632	3,8	3,50	6,95	26,6	119,3	30931	31333	0,06

Protótipo	$l/d_p$	$M_{ro}$ [kN.cm]	$\delta$ [cm]	$-\varepsilon_c$ [%o]	$\varepsilon_s$ [%o]	$\Delta f_{ps}$ [kN/cm <sup>2</sup> ]	$f_{ps}$ [kN/cm <sup>2</sup> ]	$M_{res}$ (numerico) [kN.cm]	$M_{res}$ (analit.) [kN.cm]	$\Delta M_r/M_{ro}$
0,70-0,150-92,7-REF	21,7									
0,70-0,150-92,7-01	21,7	14305	3,7	2,84	10,00	31,3	124,0	16514	17217	0,20
0,70-0,150-92,7-02	21,7									
0,70-0,150-92,7-03	21,7									
0,70-0,150-92,7-04	21,7									
0,70-0,150-92,7-05	21,7									
0,70-0,150-92,7-06	21,7									
0,70-0,150-92,7-07	21,7	11724	5,1	3,50	9,54	45,2	137,9	14422	15559	0,33
0,70-0,150-92,7-08	21,7	12539	4,6	3,22	10,00	41,2	133,9	14507	16153	0,29
0,70-0,150-92,7-09	21,7									
0,70-0,150-92,7-10	21,7									
0,70-0,150-92,7-11	21,7	25024	3,1	3,50	5,05	21,8	114,5	28591	28851	0,15
0,70-0,150-92,7-12	21,7									
0,70-0,150-92,7-13	21,7									
0,70-0,150-92,7-14	21,7									
0,70-0,150-92,7-15	21,7									
0,70-0,150-92,7-16	21,7									
0,70-0,150-92,7-17	21,7	26420	4,0	3,50	5,83	28,5	121,2	28204	28627	0,08
0,70-0,150-92,7-18	21,7	18551	4,4	3,50	9,04	35,1	127,8	21281	21624	0,17
0,70-0,150-92,7-19	21,7	15744	4,2	3,18	10,00	35,2	127,9	18416	18940	0,20
0,70-0,150-92,7-20	21,7									
0,70-0,150-92,7-21	21,7	12844	3,6	2,54	10,00	31,7	124,4	14696	15848	0,23
0,70-0,150-92,7-22	21,7	12105	3,5	2,50	10,00	31,6	124,3	14321	15121	0,25
0,70-0,150-92,7-23	21,7	10985	3,4	2,24	10,00	31,0	123,7	12911	13990	0,27
0,70-0,150-92,7-24	21,7									
0,70-0,150-92,7-25	21,7									
0,70-0,150-92,7-26	21,7									
0,70-0,150-92,7-27	21,7									
0,70-0,150-92,7-28	21,7									
0,70-0,150-92,7-29	21,7	12865	4,9	3,50	9,05	42,8	135,5	15352	16809	0,31
0,70-0,150-92,7-30	21,7									
0,70-0,150-92,7-31	21,7	13729	4,2	2,94	10,00	36,9	129,6	15107	17143	0,25
0,70-0,150-92,7-32	21,7									

Protótipo	$l/d_p$	$M_{ro}$ [kN.cm]	$\delta$ [cm]	$-\varepsilon_c$ [%o]	$\varepsilon_s$ [%o]	$\Delta f_{ps}$ [kN/cm <sup>2</sup> ]	$f_{ps}$ [kN/cm <sup>2</sup> ]	$M_{res}$ (numerico) [kN.cm]	$M_{res}$ (analit.) [kN.cm]	$\Delta M_r/M_{ro}$
0,70-0,275-92,7-REF	21,7	24557	3,5	3,50	5,55	25,1	117,8	27583	28130	0,15
0,70-0,275-92,7-01	21,7	24557	3,1	3,50	6,17	21,2	113,9	26567	27597	0,12
0,70-0,275-92,7-02	21,7	24557	3,2	3,50	5,72	22,1	114,8	27228	27718	0,13
0,70-0,275-92,7-03	21,7	24557	3,4	3,50	5,65	23,6	116,3	27377	27923	0,14
0,70-0,275-92,7-04	21,7	24557	3,7	3,50	5,48	26,5	119,2	27791	28320	0,15
0,70-0,275-92,7-05	21,7	24557	3,9	3,50	5,43	28,5	121,2	28005	28585	0,16
0,70-0,275-92,7-06	21,7	24557	4,3	3,50	5,24	31,9	124,6	28481	29047	0,18
0,70-0,275-92,7-07	21,7									
0,70-0,275-92,7-08	21,7	21444	3,8	3,50	4,24	28,0	120,7	24590	25259	0,18
0,70-0,275-92,7-09	21,7	22801	3,7	3,50	4,70	26,9	119,6	26079	26538	0,16
0,70-0,275-92,7-10	21,7	26184	3,4	3,50	6,44	23,8	116,5	29057	29627	0,13
0,70-0,275-92,7-11	21,7									
0,70-0,275-92,7-12	21,7	27445	3,3	3,50	4,47	22,2	114,9	30644	31039	0,13
0,70-0,275-92,7-13	21,7	24196	3,6	3,50	5,73	25,6	118,3	27221	27773	0,15
0,70-0,275-92,7-14	21,7	18902	4,2	3,50	8,72	33,9	126,6	21756	22192	0,17
0,70-0,275-92,7-15	21,7	17857	4,4	3,50	9,36	35,5	128,2	20588	20976	0,17
0,70-0,275-92,7-16	21,7	17333	4,5	3,47	10,00	37,1	129,8	19877	20423	0,18
0,70-0,275-92,7-17	21,7									
0,70-0,275-92,7-18	21,7	31142	3,5	3,50	3,82	22,5	115,2	33417	33954	0,09
0,70-0,275-92,7-19	21,7	26830	3,5	3,50	4,98	24,5	117,2	29542	30180	0,12
0,70-0,275-92,7-20	21,7	23391	3,5	3,50	6,01	25,6	118,3	26521	27107	0,16
0,70-0,275-92,7-21	21,7	22205	3,5	3,50	6,48	25,9	118,6	25458	26035	0,17
0,70-0,275-92,7-22	21,7	21000	3,5	3,50	6,98	26,0	118,7	24295	24928	0,19
0,70-0,275-92,7-23	21,7	19156	3,5	3,50	8,11	26,9	119,6	22382	23325	0,22
0,70-0,275-92,7-24	21,7	21000	3,4	3,50	7,09	25,1	117,8	24130	24795	0,18
0,70-0,275-92,7-25	21,7	22800	3,4	3,50	6,41	24,8	117,5	25715	26440	0,16
0,70-0,275-92,7-26	21,7	25930	3,7	3,50	5,18	26,4	119,1	28983	29589	0,14
0,70-0,275-92,7-27	21,7	27937	4,0	3,50	4,45	28,2	120,9	31083	31685	0,13
0,70-0,275-92,7-28	21,7									
0,70-0,275-92,7-29	21,7	21905	3,7	3,50	2,93	27,3	120,0	25129	25781	0,18
0,70-0,275-92,7-30	21,7	22700	3,7	3,50	3,68	26,9	119,6	25925	26515	0,17
0,70-0,275-92,7-31	21,7	23496	3,6	3,50	4,54	26,1	118,8	26557	27206	0,16
0,70-0,275-92,7-32	21,7	25617	3,4	3,50	6,62	24,2	116,9	28494	29062	0,13

Protótipo	$l/d_p$	$M_{ro}$ [kN.cm]	$\delta$ [cm]	$-\varepsilon_c$ [%o]	$\varepsilon_s$ [%o]	$\Delta f_{ps}$ [kN/cm <sup>2</sup> ]	$f_{ps}$ [kN/cm <sup>2</sup> ]	$M_{res}$ (numerico) [kN.cm]	$M_{res}$ (analit.) [kN.cm]	$\Delta M_r/M_{ro}$
0,30-0,150-112,5-REF	21,7	15830	4,4	2,80	10,00	36,2	148,7	16793	17084	0,08
0,30-0,150-112,5-01	21,7	15830	3,7	2,72	10,00	29,5	142,0	16479	16855	0,06
0,30-0,150-112,5-02	21,7	15830	3,9	2,71	10,00	31,5	144,0	16508	16924	0,07
0,30-0,150-112,5-03	21,7	15830	4,2	2,67	10,00	33,7	146,2	16764	17001	0,07
0,30-0,150-112,5-04	21,7	15830	4,7	2,79	10,00	38,3	150,8	16792	17156	0,08
0,30-0,150-112,5-05	21,7	15830	5,0	2,78	10,00	41,3	153,8	16820	17259	0,09
0,30-0,150-112,5-06	21,7	15830	5,4	2,74	10,00	45,3	157,8	16618	17396	0,10
0,30-0,150-112,5-07	21,7									
0,30-0,150-112,5-08	21,7	11533	5,4	2,97	10,00	44,0	156,5	12475	12870	0,12
0,30-0,150-112,5-09	21,7	13334	4,9	2,86	10,00	40,6	153,1	14264	14647	0,10
0,30-0,150-112,5-10	21,7	18423	4,0	2,67	10,00	32,1	144,6	19340	19600	0,06
0,30-0,150-112,5-11	21,7	22591	4,0	3,50	7,26	29,5	142,0	24563	25126	0,11
0,30-0,150-112,5-12	21,7	17695	4,6	3,17	10,00	36,0	148,5	19038	19481	0,10
0,30-0,150-112,5-13	21,7	16551	4,5	2,93	10,00	36,0	148,5	17633	18011	0,09
0,30-0,150-112,5-14	21,7	14798	4,3	2,54	10,00	36,1	148,6	15506	15742	0,06
0,30-0,150-112,5-15	21,7	14469	4,3	2,47	10,00	36,1	148,6	15017	15311	0,06
0,30-0,150-112,5-16	21,7	14302	4,3	2,42	10,00	35,8	148,3	14709	15089	0,05
0,30-0,150-112,5-17	21,7	42006	3,6	3,50	2,38	17,6	130,1	42121	42367	0,01
0,30-0,150-112,5-18	21,7	25811	4,3	3,50	7,07	30,7	143,2	26428	26730	0,04
0,30-0,150-112,5-19	21,7	19296	4,7	3,30	10,00	36,9	149,4	20093	20517	0,06
0,30-0,150-112,5-20	21,7									
0,30-0,150-112,5-21	21,7									
0,30-0,150-112,5-22	21,7									
0,30-0,150-112,5-23	21,7									
0,30-0,150-112,5-24	21,7									
0,30-0,150-112,5-25	21,7									
0,30-0,150-112,5-26	21,7	17927	4,9	3,11	10,00	38,9	151,4	18899	19238	0,07
0,30-0,150-112,5-27	21,7	20977	5,2	3,50	9,12	40,8	153,3	22005	22294	0,06
0,30-0,150-112,5-28	21,7	25811	5,5	3,50	6,93	42,2	154,7	26745	27069	0,05
0,30-0,150-112,5-29	21,7									
0,30-0,150-112,5-30	21,7	13349	5,7	3,44	10,00	45,5	158,0	14462	14922	0,12
0,30-0,150-112,5-31	21,7	14412	5,1	3,11	10,00	41,2	153,7	15407	15839	0,10
0,30-0,150-112,5-32	21,7	17247	3,9	2,51	10,00	31,8	144,3	18124	18352	0,06

Protótipo	$l/d_p$	$M_{ro}$ [kN.cm]	$\delta$ [cm]	$-\varepsilon_c$ [%o]	$\varepsilon_s$ [%o]	$\Delta f_{ps}$ [kN/cm <sup>2</sup> ]	$f_{ps}$ [kN/cm <sup>2</sup> ]	$M_{res}$ (numerico) [kN.cm]	$M_{res}$ (analit.) [kN.cm]	$\Delta M_r/M_{ro}$
0,30-0,275-112,5-REF	21,7	27064	4,0	3,50	6,06	28,0	140,5	28117	28543	0,05
0,30-0,275-112,5-01	21,7	27064	3,3	3,50	6,47	20,1	132,6	27518	28131	0,04
0,30-0,275-112,5-02	21,7	27064	3,5	3,50	6,24	22,4	134,9	27791	28254	0,04
0,30-0,275-112,5-03	21,7	27064	3,8	3,50	6,13	25,2	137,7	28090	28397	0,05
0,30-0,275-112,5-04	21,7	27064	4,3	3,50	6,00	30,2	142,7	28235	28659	0,06
0,30-0,275-112,5-05	21,7	27064	3,5	3,50	5,87	33,5	146,0	28422	28830	0,07
0,30-0,275-112,5-06	21,7	27064	5,2	3,50	5,68	38,6	151,1	28770	29094	0,08
0,30-0,275-112,5-07	21,7	16887	5,1	3,50	5,00	39,8	152,3	18219	18693	0,11
0,30-0,275-112,5-08	21,7	19776	4,8	3,50	5,36	36,0	148,5	21068	21504	0,09
0,30-0,275-112,5-09	21,7	22808	4,4	3,50	5,68	32,3	144,8	23924	24431	0,07
0,30-0,275-112,5-10	21,7	31434	3,7	3,50	6,46	24,4	136,9	32432	32773	0,04
0,30-0,275-112,5-11	21,7	36740	3,4	3,50	2,58	18,7	131,2	38413	38824	0,06
0,30-0,275-112,5-12	21,7	29870	3,8	3,50	4,82	24,8	137,3	31199	31677	0,06
0,30-0,275-112,5-13	21,7	28150	3,9	3,50	5,45	26,4	138,9	29361	29761	0,06
0,30-0,275-112,5-14	21,7	25461	4,2	3,50	6,99	30,3	142,8	26302	26691	0,05
0,30-0,275-112,5-15	21,7	24941	4,3	3,50	7,38	31,2	143,7	25612	26078	0,05
0,30-0,275-112,5-16	21,7	24685	4,3	3,50	7,48	31,6	144,1	25396	25771	0,04
0,30-0,275-112,5-17	21,7									
0,30-0,275-112,5-18	21,7									
0,30-0,275-112,5-19	21,7	32399	3,8	3,50	4,36	23,7	136,2	33153	33529	0,03
0,30-0,275-112,5-20	21,7	24220	4,2	3,50	7,20	30,4	142,9	25363	25909	0,07
0,30-0,275-112,5-21	21,7	21259	4,4	3,50	8,57	33,3	145,8	22706	23191	0,09
0,30-0,275-112,5-22	21,7	18181	4,6	3,40	10,00	35,7	148,2	19976	20349	0,12
0,30-0,275-112,5-23	21,7	13345	3,5	2,53	10,00	29,5	142,0	14726	15258	0,14
0,30-0,275-112,5-24	21,7	18181	4,1	3,27	10,00	31,4	143,9	19483	20092	0,11
0,30-0,275-112,5-25	21,7	22754	4,1	3,50	8,00	29,5	142,0	23972	24431	0,07
0,30-0,275-112,5-26	21,7	30321	4,1	3,50	4,99	27,8	140,3	31233	31702	0,05
0,30-0,275-112,5-27	21,7	34891	4,4	3,50	3,62	28,0	140,5	35713	36146	0,04
0,30-0,275-112,5-28	21,7									
0,30-0,275-112,5-29	21,7	20567	4,8	3,50	3,13	35,5	148,0	22066	22437	0,09
0,30-0,275-112,5-30	21,7	22516	4,5	3,50	4,00	32,7	145,2	23870	24242	0,08
0,30-0,275-112,5-31	21,7	24465	4,3	3,50	4,97	30,5	143,0	25582	26077	0,07
0,30-0,275-112,5-32	21,7	29662	3,9	3,50	5,45	26,4	138,9	29361	31062	0,05

Protótipo	$l/d_p$	$M_{ro}$ [kN.cm]	$\delta$ [cm]	$-\varepsilon_c$ [%o]	$\varepsilon_s$ [%o]	$\Delta f_{ps}$ [kN/cm <sup>2</sup> ]	$f_{ps}$ [kN/cm <sup>2</sup> ]	$M_{res}$ (numerico) [kN.cm]	$M_{res}$ (analit.) [kN.cm]	$\Delta M_r/M_{ro}$
0,70-0,150-112,5-REF	21,7									
0,70-0,150-112,5-01	21,7	14363	3,7	2,71	10,00	29,9	142,4	15880	16668	0,16
0,70-0,150-112,5-02	21,7									
0,70-0,150-112,5-03	21,7									
0,70-0,150-112,5-04	21,7	14363	3,9	2,75	10,00	32,2	144,7	15872	16847	0,17
0,70-0,150-112,5-05	21,7									
0,70-0,150-112,5-06	21,7									
0,70-0,150-112,5-07	21,7	11729	5,1	3,50	9,69	41,3	153,8	13751	14641	0,25
0,70-0,150-112,5-08	21,7	12533	4,5	3,06	10,00	37,8	150,3	14003	15281	0,22
0,70-0,150-112,5-09	21,7									
0,70-0,150-112,5-10	21,7									
0,70-0,150-112,5-11	21,7	28534	2,9	3,50	3,96	18,8	131,3	31913	31591	0,11
0,70-0,150-112,5-12	21,7	18431	4,0	3,50	9,62	30,7	143,2	20292	21679	0,18
0,70-0,150-112,5-13	21,7									
0,70-0,150-112,5-14	21,7									
0,70-0,150-112,5-15	21,7									
0,70-0,150-112,5-16	21,7									
0,70-0,150-112,5-17	21,7	26517	4,0	3,50	5,99	27,7	140,2	27870	28294	0,07
0,70-0,150-112,5-18	21,7	18623	4,4	3,50	9,36	33,8	146,3	20667	21078	0,13
0,70-0,150-112,5-19	21,7	15806	4,2	3,05	10,00	33,7	146,2	17764	18354	0,16
0,70-0,150-112,5-20	21,7									
0,70-0,150-112,5-21	21,7	12896	3,5	2,40	10,00	29,9	142,4	13854	15246	0,18
0,70-0,150-112,5-22	21,7	12154	3,5	2,28	10,00	29,9	142,4	13230	14529	0,20
0,70-0,150-112,5-23	21,7	11030	3,4	2,17	10,00	29,5	142,0	12294	13400	0,21
0,70-0,150-112,5-24	21,7									
0,70-0,150-112,5-25	21,7									
0,70-0,150-112,5-26	21,7									
0,70-0,150-112,5-27	21,7									
0,70-0,150-112,5-28	21,7									
0,70-0,150-112,5-29	21,7	12916	4,9	3,50	9,16	39,9	152,4	14803	15981	0,24
0,70-0,150-112,5-30	21,7									
0,70-0,150-112,5-31	21,7	13784	4,1	2,77	10,00	34,3	146,8	14410	16427	0,19
0,70-0,150-112,5-32	21,7									

Protótipo	$l/d_p$	$M_{ro}$ [kN.cm]	$\delta$ [cm]	$-\varepsilon_c$ [%o]	$\varepsilon_s$ [%o]	$\Delta f_{ps}$ [kN/cm <sup>2</sup> ]	$f_{ps}$ [kN/cm <sup>2</sup> ]	$M_{res}$ (numerico) [kN.cm]	$M_{res}$ (analit.) [kN.cm]	$\Delta M_r/M_{ro}$
0,70-0,275-112,5-REF	21,7	24556	3,6	3,50	5,92	25,0	137,5	26886	27511	0,12
0,70-0,275-112,5-01	21,7	24556	3,2	3,50	6,41	21,2	133,7	26174	27074	0,10
0,70-0,275-112,5-02	21,7	24556	3,3	3,50	6,06	22,2	134,7	26595	27188	0,11
0,70-0,275-112,5-03	21,7	24556	3,4	3,50	5,99	23,6	136,1	26730	27348	0,11
0,70-0,275-112,5-04	21,7	24556	3,7	3,50	5,69	26,2	138,7	27170	27642	0,13
0,70-0,275-112,5-05	21,7	24556	4,0	3,50	5,59	28,3	140,8	27407	27879	0,14
0,70-0,275-112,5-06	21,7	24556	4,4	3,50	5,56	31,6	144,1	27747	28259	0,15
0,70-0,275-112,5-07	21,7									
0,70-0,275-112,5-08	21,7	21435	3,8	3,50	4,65	27,7	140,2	23731	24567	0,15
0,70-0,275-112,5-09	21,7	22778	3,7	3,50	5,10	26,6	139,1	25221	25848	0,13
0,70-0,275-112,5-10	21,7	26206	3,4	3,50	6,65	23,5	136,0	28447	29024	0,11
0,70-0,275-112,5-11	21,7									
0,70-0,275-112,5-12	21,7	30664	3,1	3,50	3,50	19,2	131,7	33546	33539	0,09
0,70-0,275-112,5-13	21,7	26986	3,4	3,50	4,92	22,5	135,0	29397	29958	0,11
0,70-0,275-112,5-14	21,7	20848	4,1	3,50	8,03	30,2	142,7	23100	23693	0,14
0,70-0,275-112,5-15	21,7	19618	4,2	3,50	8,70	31,8	144,3	21755	22337	0,14
0,70-0,275-112,5-16	21,7	19000	4,3	3,50	9,08	32,7	145,2	21141	21657	0,14
0,70-0,275-112,5-17	21,7									
0,70-0,275-112,5-18	21,7	31142	3,5	3,50	4,00	22,2	134,7	32882	33452	0,07
0,70-0,275-112,5-19	21,7	26829	3,6	3,50	5,17	24,2	136,7	28935	29570	0,10
0,70-0,275-112,5-20	21,7	23390	3,6	3,50	6,35	25,6	138,1	25931	26469	0,13
0,70-0,275-112,5-21	21,7	22204	3,6	3,50	6,92	25,8	138,3	24672	25378	0,14
0,70-0,275-112,5-22	21,7									
0,70-0,275-112,5-23	21,7	19155	3,6	3,50	8,80	27,4	139,9	21340	22680	0,18
0,70-0,275-112,5-24	21,7	20999	3,5	3,50	7,56	25,3	137,8	23396	24165	0,15
0,70-0,275-112,5-25	21,7	22800	3,5	3,50	6,71	24,6	137,1	25115	25797	0,13
0,70-0,275-112,5-26	21,7	25929	3,8	3,50	5,41	26,0	138,5	28282	28919	0,12
0,70-0,275-112,5-27	21,7	27937	4,1	3,50	4,78	27,9	140,4	30354	31015	0,11
0,70-0,275-112,5-28	21,7									
0,70-0,275-112,5-29	21,7	21904	3,8	3,50	3,12	27,1	139,6	24493	25097	0,15
0,70-0,275-112,5-30	21,7	22700	3,8	3,50	3,87	26,7	139,2	25368	25843	0,14
0,70-0,275-112,5-31	21,7	23495	3,7	3,50	4,74	25,9	138,4	26018	26553	0,13
0,70-0,275-112,5-32	21,7	25617	3,5	3,50	6,99	24,1	136,6	27840	28471	0,11

Protótipo	$l/d_p$	$M_{ro}$ [kN.cm]	$\delta$ [cm]	$-\varepsilon_c$ [%o]	$\varepsilon_s$ [%o]	$\Delta f_{ps}$ [kN/cm <sup>2</sup> ]	$f_{ps}$ [kN/cm <sup>2</sup> ]	$M_{res}$ (numerico) [kN.cm]	$M_{res}$ (analit.) [kN.cm]	$\Delta M_r/M_{ro}$
0,30-0,150-132,3-REF	21,7	15792	4,4	2,67	10,00	29,7	162,0	16201	16668	0,06
0,30-0,150-132,3-01	21,7	15792	3,7	2,66	10,00	25,1	157,4	16196	16535	0,05
0,30-0,150-132,3-02	21,7	15792	3,9	2,67	10,00	26,7	159,0	16378	16579	0,05
0,30-0,150-132,3-03	21,7	15792	4,1	2,60	10,00	28,2	160,5	16424	16625	0,05
0,30-0,150-132,3-04	21,7	15792	4,6	2,71	10,00	31,3	163,6	16376	16716	0,06
0,30-0,150-132,3-05	21,7	15792	5,0	2,72	10,00	33,4	165,7	16455	16777	0,06
0,30-0,150-132,3-06	21,7	15792	5,5	2,74	10,00	36,1	168,4	16490	16857	0,07
0,30-0,150-132,3-07	21,7									
0,30-0,150-132,3-08	21,7	11556	5,4	2,90	10,00	35,0	167,3	12074	12464	0,08
0,30-0,150-132,3-09	21,7	13341	4,9	2,78	10,00	32,8	165,1	13890	14246	0,07
0,30-0,150-132,3-10	21,7	18451	4,0	2,60	10,00	27,0	159,3	18999	19298	0,05
0,30-0,150-132,3-11	21,7	24291	3,9	3,50	6,75	24,2	156,5	25603	26311	0,08
0,30-0,150-132,3-12	21,7	18664	4,6	3,31	10,00	29,9	162,2	19714	20128	0,08
0,30-0,150-132,3-13	21,7	17336	4,5	3,00	10,00	29,9	162,2	18216	18536	0,07
0,30-0,150-132,3-14	21,7									
0,30-0,150-132,3-15	21,7	14894	4,3	2,52	10,00	29,8	162,1	15327	15584	0,05
0,30-0,150-132,3-16	21,7	14702	4,4	2,50	10,00	30,0	162,3	15155	15355	0,04
0,30-0,150-132,3-17	21,7	41929	3,6	3,50	2,44	15,9	148,2	41913	42207	0,01
0,30-0,150-132,3-18	21,7	25754	4,3	3,50	7,19	26,3	158,6	26162	26424	0,03
0,30-0,150-132,3-19	21,7	19252	4,7	3,22	10,00	30,4	162,7	19705	20108	0,04
0,30-0,150-132,3-20	21,7									
0,30-0,150-132,3-21	21,7									
0,30-0,150-132,3-22	21,7									
0,30-0,150-132,3-23	21,7									
0,30-0,150-132,3-24	21,7									
0,30-0,150-132,3-25	21,7									
0,30-0,150-132,3-26	21,7	17885	4,8	3,02	10,00	31,8	164,1	18475	18796	0,05
0,30-0,150-132,3-27	21,7	20929	5,3	3,50	9,50	33,4	165,7	21525	21848	0,04
0,30-0,150-132,3-28	21,7	25754	5,5	3,50	7,16	34,1	166,4	26226	26621	0,03
0,30-0,150-132,3-29	21,7									
0,30-0,150-132,3-30	21,7	13318	5,7	3,34	10,00	35,8	168,1	13965	14373	0,08
0,30-0,150-132,3-31	21,7	14378	5,1	3,02	10,00	33,2	165,5	14967	15358	0,07
0,30-0,150-132,3-32	21,7	17206	3,9	2,45	10,00	26,8	159,1	17616	17997	0,05

Protótipo	$l/d_p$	$M_{ro}$ [kN.cm]	$\delta$ [cm]	- $\varepsilon_c$ [%o]	$\varepsilon_s$ [%o]	$\Delta f_{ps}$ [kN/cm <sup>2</sup> ]	$f_{ps}$ [kN/cm <sup>2</sup> ]	$M_{res}$ (numerico) [kN.cm]	$M_{res}$ (analit.) [kN.cm]	$\Delta M_r/M_{ro}$
0,30-0,275-132,3-REF	21,7	27014	4,1	3,50	6,27	24,4	156,7	27647	28116	0,04
0,30-0,275-132,3-01	21,7	27014	3,3	3,50	6,52	17,9	150,2	27284	27825	0,03
0,30-0,275-132,3-02	21,7	27014	3,5	3,50	6,35	20,0	152,3	27501	27917	0,03
0,30-0,275-132,3-03	21,7	27014	3,8	3,50	6,33	22,3	154,6	27643	28020	0,04
0,30-0,275-132,3-04	21,7	27014	4,3	3,50	6,21	26,2	158,5	27820	28194	0,04
0,30-0,275-132,3-05	21,7	27014	4,7	3,50	6,19	28,6	160,9	27853	28301	0,05
0,30-0,275-132,3-06	21,7	27014	5,3	3,50	6,15	32,1	164,4	27928	28456	0,05
0,30-0,275-132,3-07	21,7	16897	5,2	3,50	5,18	32,8	165,1	17744	18167	0,08
0,30-0,275-132,3-08	21,7	19790	4,8	3,50	5,59	30,2	162,5	20574	21031	0,06
0,30-0,275-132,3-09	21,7	22812	4,5	3,50	5,85	27,6	159,9	23543	23998	0,05
0,30-0,275-132,3-10	21,7	31452	3,8	3,50	6,57	21,5	153,8	32182	32462	0,03
0,30-0,275-132,3-11	21,7									
0,30-0,275-132,3-12	21,7	31288	3,7	3,50	4,46	20,8	153,1	32173	32758	0,05
0,30-0,275-132,3-13	21,7	29341	3,8	3,50	5,19	22,3	154,6	30114	30669	0,05
0,30-0,275-132,3-14	21,7	26231	4,2	3,50	6,73	25,3	157,6	26821	27244	0,04
0,30-0,275-132,3-15	21,7	25628	4,3	3,50	7,10	26,0	158,3	26107	26563	0,04
0,30-0,275-132,3-16	21,7	25331	4,3	3,50	7,31	26,3	158,6	25756	26226	0,04
0,30-0,275-132,3-17	21,7									
0,30-0,275-132,3-18	21,7									
0,30-0,275-132,3-19	21,7	32342	3,8	3,50	4,53	21,1	153,4	32762	33199	0,03
0,30-0,275-132,3-20	21,7	24175	4,3	3,50	7,52	26,5	158,8	24929	25429	0,05
0,30-0,275-132,3-21	21,7	21218	4,5	3,50	8,77	28,3	160,6	22225	22622	0,07
0,30-0,275-132,3-22	21,7	18146	4,5	3,21	10,00	29,4	161,7	19091	19670	0,08
0,30-0,275-132,3-23	21,7	13318	3,5	2,46	10,00	25,2	157,5	14270	14712	0,10
0,30-0,275-132,3-24	21,7	18146	4,1	3,18	10,00	26,7	159,0	19013	19528	0,08
0,30-0,275-132,3-25	21,7	22711	4,1	3,50	8,23	25,6	157,9	23576	23953	0,05
0,30-0,275-132,3-26	21,7	30267	4,2	3,50	5,16	24,3	156,6	30805	31295	0,03
0,30-0,275-132,3-27	21,7	34831	4,4	3,50	3,79	24,4	156,7	35325	35768	0,03
0,30-0,275-132,3-28	21,7									
0,30-0,275-132,3-29	21,7	20531	4,9	3,50	3,42	30,0	162,3	21439	21882	0,07
0,30-0,275-132,3-30	21,7	22476	4,6	3,50	4,31	28,0	160,3	23200	23738	0,06
0,30-0,275-132,3-31	21,7	24421	4,3	3,50	5,09	26,3	158,6	25167	25605	0,05
0,30-0,275-132,3-32	21,7	29607	3,9	3,50	7,45	23,1	155,4	30272	30648	0,04

Protótipo	$l/d_p$	$M_{ro}$ [kN.cm]	$\delta$ [cm]	$-\varepsilon_c$ [%o]	$\varepsilon_s$ [%o]	$\Delta f_{ps}$ [kN/cm <sup>2</sup> ]	$f_{ps}$ [kN/cm <sup>2</sup> ]	$M_{res}$ (numerico) [kN.cm]	$M_{res}$ (analit.) [kN.cm]	$\Delta M_r/M_{ro}$
0,70-0,150-132,3-REF	21,7									
0,70-0,150-132,3-01	21,7	14357	3,6	2,64	10,00	25,4	157,7	15471	16029	0,12
0,70-0,150-132,3-02	21,7									
0,70-0,150-132,3-03	21,7									
0,70-0,150-132,3-04	21,7									
0,70-0,150-132,3-05	21,7									
0,70-0,150-132,3-06	21,7									
0,70-0,150-132,3-07	21,7	11748	5,2	3,46	10,00	33,9	166,2	13161	13796	0,17
0,70-0,150-132,3-08	21,7	12576	4,5	2,94	10,00	31,0	163,3	13257	14509	0,15
0,70-0,150-132,3-09	21,7									
0,70-0,150-132,3-10	21,7									
0,70-0,150-132,3-11	21,7									
0,70-0,150-132,3-12	21,7	20544	3,8	3,50	8,07	24,2	156,5	22380	23028	0,12
0,70-0,150-132,3-13	21,7									
0,70-0,150-132,3-14	21,7									
0,70-0,150-132,3-15	21,7									
0,70-0,150-132,3-16	21,7									
0,70-0,150-132,3-17	21,7	26508	4,0	3,50	6,29	24,4	156,7	27342	27846	0,05
0,70-0,150-132,3-18	21,7	18617	4,5	3,45	10,00	29,4	161,7	20009	20442	0,10
0,70-0,150-132,3-19	21,7	15800	4,2	2,96	10,00	28,1	160,4	17147	17613	0,11
0,70-0,150-132,3-20	21,7									
0,70-0,150-132,3-21	21,7	12891	3,5	2,34	10,00	25,7	158,0	13312	14616	0,13
0,70-0,150-132,3-22	21,7	12149	3,4	2,35	10,00	25,6	157,9	13199	13882	0,14
0,70-0,150-132,3-23	21,7	11026	3,4	2,14	10,00	25,3	157,6	11964	12761	0,16
0,70-0,150-132,3-24	21,7									
0,70-0,150-132,3-25	21,7									
0,70-0,150-132,3-26	21,7									
0,70-0,150-132,3-27	21,7									
0,70-0,150-132,3-28	21,7									
0,70-0,150-132,3-29	21,7	12912	5,1	3,50	9,43	33,3	165,6	14250	15101	0,17
0,70-0,150-132,3-30	21,7									
0,70-0,150-132,3-31	21,7	13779	4,0	2,64	10,00	28,5	160,8	13642	15652	0,14
0,70-0,150-132,3-32	21,7									

Protótipo	$l/d_p$	$M_{ro}$ [kN.cm]	$\delta$ [cm]	$-\varepsilon_c$ [%o]	$\varepsilon_s$ [%o]	$\Delta f_{ps}$ [kN/cm <sup>2</sup> ]	$f_{ps}$ [kN/cm <sup>2</sup> ]	$M_{res}$ (numerico) [kN.cm]	$M_{res}$ (analit.) [kN.cm]	$\Delta M_r/M_{ro}$
0,70-0,275-132,3-REF	21,7	24548	3,7	3,50	6,28	22,6	154,9	26231	26836	0,09
0,70-0,275-132,3-01	21,7	24548	3,2	3,50	6,48	19,0	151,3	25788	26472	0,08
0,70-0,275-132,3-02	21,7	24548	3,4	3,50	6,43	20,3	152,6	25884	26607	0,08
0,70-0,275-132,3-03	21,7	24548	3,5	3,50	6,41	21,5	153,8	26073	26728	0,09
0,70-0,275-132,3-04	21,7	24548	3,8	3,50	6,25	23,6	155,9	26298	26936	0,10
0,70-0,275-132,3-05	21,7	24548	4,1	3,50	6,10	25,2	157,5	26546	27091	0,10
0,70-0,275-132,3-06	21,7	24548	4,5	3,50	5,87	27,7	160,0	26907	27334	0,11
0,70-0,275-132,3-07	21,7									
0,70-0,275-132,3-08	21,7									
0,70-0,275-132,3-09	21,7	22812	3,8	3,50	5,44	23,8	156,1	24548	25171	0,10
0,70-0,275-132,3-10	21,7	26231	3,5	3,50	7,09	21,4	153,7	27820	28436	0,08
0,70-0,275-132,3-11	21,7									
0,70-0,275-132,3-12	21,7	33622	3,0	3,50	2,81	16,0	148,3	36667	35822	0,07
0,70-0,275-132,3-13	21,7	29608	3,2	3,50	4,17	18,5	150,8	31688	31909	0,08
0,70-0,275-132,3-14	21,7	22726	3,9	3,50	7,29	24,3	156,6	24249	24948	0,10
0,70-0,275-132,3-15	21,7	21325	4,1	3,50	8,14	26,0	158,3	22806	23492	0,10
0,70-0,275-132,3-16	21,7	20619	4,2	3,50	8,53	26,6	158,9	22109	22728	0,10
0,70-0,275-132,3-17	21,7									
0,70-0,275-132,3-18	21,7	31132	3,6	3,50	4,26	20,2	152,5	32331	32927	0,06
0,70-0,275-132,3-19	21,7	26820	3,6	3,50	5,41	21,7	154,0	28317	28931	0,08
0,70-0,275-132,3-20	21,7	23382	3,7	3,50	6,77	22,9	155,2	25018	25742	0,10
0,70-0,275-132,3-21	21,7	22197	3,7	3,50	7,20	23,1	155,4	24034	24629	0,11
0,70-0,275-132,3-22	21,7	20992	3,7	3,50	8,00	23,7	156,0	22564	23531	0,12
0,70-0,275-132,3-23	21,7	19148	3,6	3,50	8,79	23,7	156,0	21031	21765	0,14
0,70-0,275-132,3-24	21,7	20992	3,5	3,50	7,95	22,8	155,1	22715	23435	0,12
0,70-0,275-132,3-25	21,7	22792	3,5	3,50	6,99	22,2	154,5	24559	25107	0,10
0,70-0,275-132,3-26	21,7	25921	3,8	3,50	5,61	23,1	155,4	27603	28202	0,09
0,70-0,275-132,3-27	21,7	27927	4,1	3,50	5,05	24,8	157,1	29644	30274	0,08
0,70-0,275-132,3-28	21,7									
0,70-0,275-132,3-29	21,7	21897	3,9	3,50	3,43	24,3	156,6	23698	24352	0,11
0,70-0,275-132,3-30	21,7	22692	3,9	3,50	4,24	24,1	156,4	24630	25123	0,11
0,70-0,275-132,3-31	21,7	23487	3,8	3,50	5,10	23,5	155,8	25347	25857	0,10
0,70-0,275-132,3-32	21,7	25608	3,6	3,50	7,51	22,1	154,4	27202	27842	0,09

Protótipo	$l/d_p$	$M_{ro}$ [kN.cm]	$\delta$ [cm]	$-\varepsilon_c$ [%o]	$\varepsilon_s$ [%o]	$\Delta f_{ps}$ [kN/cm <sup>2</sup> ]	$f_{ps}$ [kN/cm <sup>2</sup> ]	$M_{res}$ (numerico) [kN.cm]	$M_{res}$ (analit.) [kN.cm]	$\Delta M_r/M_{ro}$
0,30-0,150-152,0-REF	21,7	15842	4,4	2,66	10,00	19,2	171,2	15968	16338	0,03
0,30-0,150-152,0-01	21,7	15842	3,7	2,64	10,00	16,8	168,8	15979	16275	0,03
0,30-0,150-152,0-02	21,7	15842	3,9	2,61	10,00	17,5	169,5	16144	16294	0,03
0,30-0,150-152,0-03	21,7	15842	4,1	2,52	10,00	18,3	170,3	15959	16315	0,03
0,30-0,150-152,0-04	21,7	15842	4,6	2,64	10,00	19,9	171,9	16011	16355	0,03
0,30-0,150-152,0-05	21,7	15842	5,0	2,66	10,00	20,9	172,9	16054	16382	0,03
0,30-0,150-152,0-06	21,7	15842	5,5	2,59	10,00	22,1	174,1	15836	16412	0,04
0,30-0,150-152,0-07	21,7									
0,30-0,150-152,0-08	21,7									
0,30-0,150-152,0-09	21,7	13364	4,9	2,71	10,00	20,5	172,5	13437	13859	0,04
0,30-0,150-152,0-10	21,7	18373	4,0	2,55	10,00	17,8	169,8	18560	18857	0,03
0,30-0,150-152,0-11	21,7	25974	3,8	3,50	6,24	15,8	167,8	26610	27259	0,05
0,30-0,150-152,0-12	21,7	19668	4,7	3,41	10,00	19,2	171,2	20052	20599	0,05
0,30-0,150-152,0-13	21,7	18166	4,5	3,09	10,00	19,2	171,2	18515	18929	0,04
0,30-0,150-152,0-14	21,7	16746	4,4	2,80	10,00	19,1	171,1	16913	17345	0,04
0,30-0,150-152,0-15	21,7	15403	4,3	2,43	10,00	19,1	171,1	15145	15843	0,03
0,30-0,150-152,0-16	21,7									
0,30-0,150-152,0-17	21,7	42030	3,7	3,50	2,44	11,3	163,3	41915	42203	0,00
0,30-0,150-152,0-18	21,7	25829	4,3	3,50	7,30	17,5	169,5	25959	26218	0,02
0,30-0,150-152,0-19	21,7	19311	4,7	3,17	10,00	19,5	171,5	19439	19791	0,02
0,30-0,150-152,0-20	21,7									
0,30-0,150-152,0-21	21,7									
0,30-0,150-152,0-22	21,7									
0,30-0,150-152,0-23	21,7									
0,30-0,150-152,0-24	21,7									
0,30-0,150-152,0-25	21,7									
0,30-0,150-152,0-26	21,7	17940	4,8	2,94	10,00	20,0	172,0	18066	18444	0,03
0,30-0,150-152,0-27	21,7	20993	5,5	3,50	10,00	21,2	173,2	21158	21503	0,02
0,30-0,150-152,0-28	21,7	25830	5,6	3,50	7,35	21,3	173,3	25941	26304	0,02
0,30-0,150-152,0-29	21,7									
0,30-0,150-152,0-30	21,7	13359	5,6	3,22	10,00	21,9	173,9	13456	13924	0,04
0,30-0,150-152,0-31	21,7	14423	5,0	2,90	10,00	20,7	172,7	14463	14958	0,04
0,30-0,150-152,0-32	21,7	17260	3,9	2,41	10,00	17,6	169,6	17462	17716	0,03

Protótipo	$l/d_p$	$M_{ro}$ [kN.cm]	$\delta$ [cm]	- $\varepsilon_c$ [%o]	$\varepsilon_s$ [%o]	$\Delta f_{ps}$ [kN/cm <sup>2</sup> ]	$f_{ps}$ [kN/cm <sup>2</sup> ]	$M_{res}$ (numerico) [kN.cm]	$M_{res}$ (analit.) [kN.cm]	$\Delta M_r/M_{ro}$
0,30-0,275-152,0-REF	21,7	27041	4,1	3,50	6,49	16,6	168,6	27260	27697	0,02
0,30-0,275-152,0-01	21,7	27041	3,3	3,50	6,71	12,8	164,8	26903	27549	0,02
0,30-0,275-152,0-02	21,7	27041	3,5	3,50	6,55	14,1	166,1	27238	27598	0,02
0,30-0,275-152,0-03	21,7	27041	3,8	3,50	6,47	15,3	167,3	27291	27647	0,02
0,30-0,275-152,0-04	21,7	27041	4,4	3,50	6,50	17,6	169,6	27293	27735	0,03
0,30-0,275-152,0-05	21,7	27041	4,7	3,50	6,49	18,8	170,8	27355	27784	0,03
0,30-0,275-152,0-06	21,7	27041	5,3	3,50	6,50	20,6	172,6	27341	27851	0,03
0,30-0,275-152,0-07	21,7	16892	5,3	3,50	5,41	20,8	172,8	17210	17597	0,04
0,30-0,275-152,0-08	21,7	19772	4,9	3,50	5,83	19,6	171,6	20063	20475	0,04
0,30-0,275-152,0-09	21,7	22821	4,5	3,50	6,10	18,3	170,3	23025	23509	0,03
0,30-0,275-152,0-10	21,7	31483	3,8	3,50	6,69	14,9	166,9	31711	32093	0,02
0,30-0,275-152,0-11	21,7									
0,30-0,275-152,0-12	21,7	32698	3,6	3,50	4,08	13,9	165,9	33091	33651	0,03
0,30-0,275-152,0-13	21,7	30528	3,8	3,50	4,95	15,0	167,0	30823	31397	0,03
0,30-0,275-152,0-14	21,7	28415	4,0	3,50	5,65	15,8	167,8	28810	29159	0,03
0,30-0,275-152,0-15	21,7	26365	4,2	3,50	6,78	16,9	168,9	26658	26968	0,02
0,30-0,275-152,0-16	21,7	26020	4,3	3,50	7,06	17,2	169,2	26268	26598	0,02
0,30-0,275-152,0-17	21,7									
0,30-0,275-152,0-18	21,7	41633	3,6	3,50	2,37	11,4	163,4	41647	41948	0,01
0,30-0,275-152,0-19	21,7	32373	3,8	3,50	4,63	14,6	166,6	32501	32893	0,02
0,30-0,275-152,0-20	21,7	24199	4,4	3,50	7,82	17,8	169,8	24481	24936	0,03
0,30-0,275-152,0-21	21,7	21241	4,6	3,50	9,14	18,7	170,7	21625	22053	0,04
0,30-0,275-152,0-22	21,7	18165	4,5	3,07	10,00	19,0	171,0	18468	19026	0,05
0,30-0,275-152,0-23	21,7									
0,30-0,275-152,0-24	21,7	18165	4,0	3,08	10,00	17,5	169,5	18480	18960	0,04
0,30-0,275-152,0-25	21,7	22735	4,1	3,50	8,54	17,3	169,3	23011	23468	0,03
0,30-0,275-152,0-26	21,7	30297	4,2	3,50	5,26	16,4	168,4	30473	30906	0,02
0,30-0,275-152,0-27	21,7	34864	4,4	3,50	3,87	16,5	168,5	34972	35417	0,02
0,30-0,275-152,0-28	21,7	41633	4,5	3,50	3,66	16,5	168,5	35650	42089	0,01
0,30-0,275-152,0-29	21,7	20551	5,0	3,50	3,61	19,5	171,5	20924	21320	0,04
0,30-0,275-152,0-30	21,7	22498	4,6	3,50	4,52	18,5	170,5	22681	23227	0,03
0,30-0,275-152,0-31	21,7	24445	4,4	3,50	5,33	17,6	169,6	24665	25140	0,03
0,30-0,275-152,0-32	21,7	29637	3,9	3,50	7,60	15,8	167,8	29922	30261	0,02

Protótipo	$l/d_p$	$M_{ro}$ [kN.cm]	$\delta$ [cm]	$-\varepsilon_c$ [%o]	$\varepsilon_s$ [%o]	$\Delta f_{ps}$ [kN/cm <sup>2</sup> ]	$f_{ps}$ [kN/cm <sup>2</sup> ]	$M_{res}$ (numerico) [kN.cm]	$M_{res}$ (analit.) [kN.cm]	$\Delta M_r/M_{ro}$
0,70-0,150-152,0-REF	21,7									
0,70-0,150-152,0-01	21,7	14331	3,6	2,50	10,00	16,9	168,9	14621	15302	0,07
0,70-0,150-152,0-02	21,7									
0,70-0,150-152,0-03	21,7									
0,70-0,150-152,0-04	21,7									
0,70-0,150-152,0-05	21,7									
0,70-0,150-152,0-06	21,7									
0,70-0,150-152,0-07	21,7	11738	5,1	3,25	10,00	21,1	173,1	12176	12852	0,09
0,70-0,150-152,0-08	21,7	12547	4,5	2,90	10,00	19,7	171,7	12733	13623	0,09
0,70-0,150-152,0-09	21,7									
0,70-0,150-152,0-10	21,7									
0,70-0,150-152,0-11	21,7									
0,70-0,150-152,0-12	21,7	22584	3,6	3,50	7,50	15,7	167,7	23494	24144	0,07
0,70-0,150-152,0-13	21,7									
0,70-0,150-152,0-14	21,7									
0,70-0,150-152,0-15	21,7									
0,70-0,150-152,0-16	21,7									
0,70-0,150-152,0-17	21,7	26462	4,1	3,50	6,62	16,7	168,7	26816	27264	0,03
0,70-0,150-152,0-18	21,7	18583	4,5	3,24	10,00	18,9	170,9	19127	19610	0,06
0,70-0,150-152,0-19	21,7	15771	4,1	2,83	10,00	18,2	170,2	16318	16800	0,07
0,70-0,150-152,0-20	21,7									
0,70-0,150-152,0-21	21,7	12867	3,5	2,25	10,00	17,0	169,0	12663	13865	0,08
0,70-0,150-152,0-22	21,7	12126	3,5	2,25	10,00	17,0	169,0	12609	13132	0,08
0,70-0,150-152,0-23	21,7									
0,70-0,150-152,0-24	21,7									
0,70-0,150-152,0-25	21,7									
0,70-0,150-152,0-26	21,7									
0,70-0,150-152,0-27	21,7									
0,70-0,150-152,0-28	21,7									
0,70-0,150-152,0-29	21,7	12888	5,2	3,47	10,00	21,1	173,1	13195	14099	0,09
0,70-0,150-152,0-30	21,7	13321	4,2	3,03	10,00	19,8	171,8	13237	14459	0,09
0,70-0,150-152,0-31	21,7	13754	4,0	2,56	10,00	18,6	170,6	12918	14824	0,08
0,70-0,150-152,0-32	21,7									

Protótipo	$l/d_p$	$M_{ro}$ [kN.cm]	$\delta$ [cm]	$-\varepsilon_c$ [%o]	$\varepsilon_s$ [%o]	$\Delta f_{ps}$ [kN/cm <sup>2</sup> ]	$f_{ps}$ [kN/cm <sup>2</sup> ]	$M_{res}$ (numerico) [kN.cm]	$M_{res}$ (analit.) [kN.cm]	$\Delta M_r/M_{ro}$
0,70-0,275-152,0-REF	21,7	24527	3,8	3,50	6,74	15,9	167,9	25290	25939	0,06
0,70-0,275-152,0-01	21,7	24527	3,3	3,50	6,98	13,9	165,9	24988	25761	0,05
0,70-0,275-152,0-02	21,7	24527	3,4	3,50	6,78	14,5	166,5	25229	25817	0,05
0,70-0,275-152,0-03	21,7	24527	3,6	3,50	6,76	15,2	167,2	25307	25880	0,06
0,70-0,275-152,0-04	21,7	24527	3,9	3,50	6,72	16,5	168,5	25328	25989	0,06
0,70-0,275-152,0-05	21,7	24527	4,2	3,50	6,74	17,4	169,4	25420	26072	0,06
0,70-0,275-152,0-06	21,7									
0,70-0,275-152,0-07	21,7	20048	4,2	3,50	4,71	17,6	169,6	20731	21513	0,07
0,70-0,275-152,0-08	21,7									
0,70-0,275-152,0-09	21,7	22789	4,0	3,50	5,86	16,6	168,6	23618	24231	0,06
0,70-0,275-152,0-10	21,7	26223	3,6	3,50	7,62	15,3	167,3	26998	27604	0,05
0,70-0,275-152,0-11	21,7									
0,70-0,275-152,0-12	21,7									
0,70-0,275-152,0-13	21,7	32060	3,1	3,50	3,45	12,3	164,3	33845	33505	0,05
0,70-0,275-152,0-14	21,7	27586	3,5	3,50	5,19	14,3	166,3	28632	29047	0,05
0,70-0,275-152,0-15	21,7	22981	4,0	3,50	7,64	16,8	168,8	23694	24347	0,06
0,70-0,275-152,0-16	21,7	22183	4,1	3,50	8,13	17,2	169,2	22871	23519	0,06
0,70-0,275-152,0-17	21,7									
0,70-0,275-152,0-18	21,7	31107	3,6	3,50	4,45	14,3	166,3	31632	32223	0,04
0,70-0,275-152,0-19	21,7	26798	6,7	3,50	5,71	15,3	167,3	27547	28105	0,05
0,70-0,275-152,0-20	21,7	23362	3,8	3,50	7,23	16,0	168,0	24096	24813	0,06
0,70-0,275-152,0-21	21,7	22178	3,8	3,50	7,80	16,3	168,3	23051	23681	0,07
0,70-0,275-152,0-22	21,7									
0,70-0,275-152,0-23	21,7	19131	3,8	3,50	9,80	17,0	169,0	19750	20774	0,09
0,70-0,275-152,0-24	21,7	20974	3,7	3,50	8,47	16,0	168,0	21820	22484	0,07
0,70-0,275-152,0-25	21,7	22772	3,7	3,50	7,45	15,7	167,7	23738	24209	0,06
0,70-0,275-152,0-26	21,7	25899	3,9	3,50	6,17	16,3	168,3	26701	27314	0,05
0,70-0,275-152,0-27	21,7	27904	4,2	3,50	5,35	17,0	169,0	28721	29324	0,05
0,70-0,275-152,0-28	21,7									
0,70-0,275-152,0-29	21,7	21879	4,1	3,50	3,77	16,9	168,9	22811	23382	0,07
0,70-0,275-152,0-30	21,7	22673	4,0	3,50	4,66	16,7	168,7	23542	24153	0,07
0,70-0,275-152,0-31	21,7	23467	3,9	3,50	5,57	16,3	168,3	24285	24917	0,06
0,70-0,275-152,0-32	21,7	25586	3,7	3,50	7,87	15,5	167,5	26433	26966	0,05

Protótipo	$l/d_p$	$M_{ro}$ [kN.cm]	$\delta$ [cm]	$-\varepsilon_c$ [%o]	$\varepsilon_s$ [%o]	$\Delta f_{ps}$ [kN/cm <sup>2</sup> ]	$f_{ps}$ [kN/cm <sup>2</sup> ]	$M_{res}$ (numerico) [kN.cm]	$M_{res}$ (analit.) [kN.cm]	$\Delta M_r/M_{ro}$
0,30-0,150-92,7-REF	55,7	15800	29,3	2,81	10,00	38,0	130,7	17029	17392	0,10
0,30-0,150-92,7-01	55,7	15800	24,6	2,74	10,00	30,7	123,4	16750	17089	0,08
0,30-0,150-92,7-02	55,7	15800	25,9	2,76	10,00	32,7	125,4	16852	17171	0,09
0,30-0,150-92,7-03	55,7	15800	27,5	2,71	10,00	35,3	128,0	17048	17281	0,09
0,30-0,150-92,7-04	55,7	15800	30,9	2,85	10,00	40,6	133,3	17272	17500	0,11
0,30-0,150-92,7-05	55,7	15800	33,5	2,89	10,00	44,9	137,6	17515	17679	0,12
0,30-0,150-92,7-06	55,7	15800	37,0	2,93	10,00	50,7	143,4	17692	17917	0,13
0,30-0,150-92,7-07	55,7									
0,30-0,150-92,7-08	55,7	11566	36,2	3,12	10,00	48,8	141,5	13166	13364	0,16
0,30-0,150-92,7-09	55,7	13294	33,2	2,70	10,00	44,2	136,9	14865	15019	0,13
0,30-0,150-92,7-10	55,7	18426	26,5	2,71	10,00	33,3	126,0	19661	19905	0,08
0,30-0,150-92,7-11	55,7	20806	28,0	3,50	8,16	32,8	125,5	23169	23708	0,14
0,30-0,150-92,7-12	55,7	16672	29,7	3,02	10,00	38,0	130,7	18270	18588	0,11
0,30-0,150-92,7-13	55,7	15716	29,4	2,80	10,00	38,3	131,0	17095	17287	0,10
0,30-0,150-92,7-14	55,7	14255	28,6	2,49	10,00	38,2	130,9	15210	15261	0,07
0,30-0,150-92,7-15	55,7	13972	28,4	2,41	10,00	38,1	130,8	14613	14865	0,06
0,30-0,150-92,7-16	55,7	13836	28,4	2,38	10,00	38,2	130,9	14491	14678	0,06
0,30-0,150-92,7-17	55,7	41945	24,0	3,50	2,38	17,7	110,4	42121	42385	0,01
0,30-0,150-92,7-18	55,7	25766	28,2	3,50	6,95	31,7	124,4	26734	26912	0,04
0,30-0,150-92,7-19	55,7	19261	31,5	3,41	10,00	39,2	131,9	20566	20827	0,08
0,30-0,150-92,7-20	55,7	14018	28,0	2,51	10,00	37,0	129,7	15387	15604	0,11
0,30-0,150-92,7-21	55,7									
0,30-0,150-92,7-22	55,7									
0,30-0,150-92,7-23	55,7									
0,30-0,150-92,7-24	55,7									
0,30-0,150-92,7-25	55,7									
0,30-0,150-92,7-26	55,7	17893	32,2	3,16	10,00	41,3	134,0	19288	19576	0,09
0,30-0,150-92,7-27	55,7	20939	34,4	3,50	8,96	43,4	136,1	22404	22629	0,08
0,30-0,150-92,7-28	55,7	25766	36,0	3,50	6,72	44,9	137,6	27098	27383	0,06
0,30-0,150-92,7-29	55,7									
0,30-0,150-92,7-30	55,7	13325	37,4	3,50	9,60	49,0	141,7	15135	15371	0,15
0,30-0,150-92,7-31	55,7	14385	34,1	3,25	10,00	44,6	137,3	16087	16252	0,13
0,30-0,150-92,7-32	55,7	17215	26,0	2,55	10,00	33,2	125,9	18457	18608	0,08

Protótipo	$l/d_p$	$M_{ro}$ [kN.cm]	$\delta$ [cm]	- $\varepsilon_c$ [%o]	$\varepsilon_s$ [%o]	$\Delta f_{ps}$ [kN/cm <sup>2</sup> ]	$f_{ps}$ [kN/cm <sup>2</sup> ]	$M_{res}$ (numerico) [kN.cm]	$M_{res}$ (analit.) [kN.cm]	$\Delta M_r/M_{ro}$
0,30-0,275-92,7-REF	55,7	27036	26,3	3,50	5,81	28,2	120,9	28563	28835	0,07
0,30-0,275-92,7-01	55,7	27036	21,0	3,50	6,07	19,5	112,2	28208	28289	0,05
0,30-0,275-92,7-02	55,7	27036	22,8	3,50	6,02	22,4	115,1	28255	28471	0,05
0,30-0,275-92,7-03	55,7	27036	24,5	3,50	5,92	25,2	117,9	28358	28650	0,06
0,30-0,275-92,7-04	55,7	27036	27,9	3,50	5,78	30,7	123,4	28647	28994	0,07
0,30-0,275-92,7-05	55,7	27036	30,2	3,50	5,64	34,4	127,1	28936	29222	0,08
0,30-0,275-92,7-06	55,7	27036	34,0	3,50	5,51	40,3	133,0	29216	29592	0,09
0,30-0,275-92,7-07	55,7	16915	33,7	3,50	4,70	41,9	134,6	18952	19215	0,14
0,30-0,275-92,7-08	55,7	19765	31,0	3,50	5,08	37,1	129,8	21592	21914	0,11
0,30-0,275-92,7-09	55,7	22801	29,0	3,50	5,45	33,2	125,9	24560	24816	0,09
0,30-0,275-92,7-10	55,7	31508	24,4	3,50	6,30	24,5	117,2	32808	33138	0,05
0,30-0,275-92,7-11	55,7	34322	23,1	3,50	3,19	20,4	113,1	36196	36785	0,07
0,30-0,275-92,7-12	55,7	28347	25,6	3,50	5,25	26,5	119,2	29981	30349	0,07
0,30-0,275-92,7-13	55,7	26895	26,5	3,50	5,94	28,5	121,2	28348	28680	0,07
0,30-0,275-92,7-14	55,7	24620	28,5	3,40	7,33	32,5	125,2	25735	25961	0,05
0,30-0,275-92,7-15	55,7	24185	29,1	3,50	7,73	33,6	126,3	25129	25426	0,05
0,30-0,275-92,7-16	55,7	23971	30,5	3,50	9,64	35,8	128,5	19698	25218	0,05
0,30-0,275-92,7-17	55,7									
0,30-0,275-92,7-18	55,7									
0,30-0,275-92,7-19	55,7	32367	25,0	3,50	4,32	24,1	116,8	33387	33753	0,04
0,30-0,275-92,7-20	55,7	24195	27,6	3,50	7,03	31,2	123,9	25894	26283	0,09
0,30-0,275-92,7-21	55,7	21237	28,9	3,50	8,29	34,0	126,7	23225	23621	0,11
0,30-0,275-92,7-22	55,7	18162	30,5	3,50	9,93	37,3	130,0	20491	20895	0,15
0,30-0,275-92,7-23	55,7	13330	23,7	2,56	10,00	30,6	123,3	15135	15727	0,18
0,30-0,275-92,7-24	55,7	18162	27,3	3,37	10,00	32,8	125,5	19987	20571	0,13
0,30-0,275-92,7-25	55,7	22730	26,6	3,50	7,71	29,8	122,5	24504	24779	0,09
0,30-0,275-92,7-26	55,7	30291	27,1	3,50	4,82	28,2	120,9	31689	31984	0,06
0,30-0,275-92,7-27	55,7	34858	28,9	3,50	3,55	28,6	121,3	36056	36407	0,04
0,30-0,275-92,7-28	55,7									
0,30-0,275-92,7-29	55,7	20547	31,6	3,50	2,99	36,7	129,4	22554	22881	0,11
0,30-0,275-92,7-30	55,7	22494	29,3	3,50	3,81	33,5	126,2	24354	24627	0,09
0,30-0,275-92,7-31	55,7	24440	28,0	3,50	4,71	30,9	123,6	26090	26414	0,08
0,30-0,275-92,7-32	55,7	29632	25,1	3,50	6,97	26,2	118,9	30980	31307	0,06

Protótipo	$l/d_p$	$M_{ro}$ [kN.cm]	$\delta$ [cm]	$-\varepsilon_c$ [%o]	$\varepsilon_s$ [%o]	$\Delta f_{ps}$ [kN/cm <sup>2</sup> ]	$f_{ps}$ [kN/cm <sup>2</sup> ]	$M_{res}$ (numerico) [kN.cm]	$M_{res}$ (analit.) [kN.cm]	$\Delta M_r/M_{ro}$
0,70-0,150-92,7-REF	55,7									
0,70-0,150-92,7-01	55,7	14305	24,5	2,91	10,00	30,8	123,5	16871	17166	0,20
0,70-0,150-92,7-02	55,7									
0,70-0,150-92,7-03	55,7									
0,70-0,150-92,7-04	55,7									
0,70-0,150-92,7-05	55,7									
0,70-0,150-92,7-06	55,7									
0,70-0,150-92,7-07	55,7	11724	32,3	3,50	8,76	42,0	134,7	14837	15294	0,30
0,70-0,150-92,7-08	55,7	12539	31,4	3,50	9,98	40,5	133,2	15518	16096	0,28
0,70-0,150-92,7-09	55,7	13294	29,0	3,20	10,00	37,2	129,9	15928	16644	0,25
0,70-0,150-92,7-10	55,7									
0,70-0,150-92,7-11	55,7	25024	20,9	3,50	5,23	21,5	114,2	28162	28809	0,15
0,70-0,150-92,7-12	55,7									
0,70-0,150-92,7-13	55,7									
0,70-0,150-92,7-14	55,7									
0,70-0,150-92,7-15	55,7									
0,70-0,150-92,7-16	55,7									
0,70-0,150-92,7-17	55,7	26420	26,1	3,50	5,81	27,9	120,6	28236	28584	0,08
0,70-0,150-92,7-18	55,7	18551	28,8	3,50	9,11	34,5	127,2	21144	21571	0,16
0,70-0,150-92,7-19	55,7	15744	28,0	3,21	10,00	34,8	127,5	18606	18906	0,20
0,70-0,150-92,7-20	55,7									
0,70-0,150-92,7-21	55,7	12844	23,9	2,60	10,00	31,2	123,9	15014	15798	0,23
0,70-0,150-92,7-22	55,7	12105	23,6	2,53	10,00	31,0	123,7	14398	15069	0,24
0,70-0,150-92,7-23	55,7	10985	22,9	2,42	10,00	30,5	123,2	13614	13939	0,27
0,70-0,150-92,7-24	55,7									
0,70-0,150-92,7-25	55,7									
0,70-0,150-92,7-26	55,7									
0,70-0,150-92,7-27	55,7									
0,70-0,150-92,7-28	55,7									
0,70-0,150-92,7-29	55,7	12865	31,0	3,50	8,10	39,7	132,4	15723	16535	0,29
0,70-0,150-92,7-30	55,7									
0,70-0,150-92,7-31	55,7									
0,70-0,150-92,7-32	55,7									

Protótipo	$l/d_p$	$M_{ro}$ [kN.cm]	$\delta$ [cm]	$-\varepsilon_c$ [%o]	$\varepsilon_s$ [%o]	$\Delta f_{ps}$ [kN/cm <sup>2</sup> ]	$f_{ps}$ [kN/cm <sup>2</sup> ]	$M_{res}$ (numerico) [kN.cm]	$M_{res}$ (analit.) [kN.cm]	$\Delta M_r/M_{ro}$
0,70-0,275-92,7-REF	55,7	24557	23,5	3,50	5,65	24,8	117,5	27424	28091	0,14
0,70-0,275-92,7-01	55,7	24557	20,4	3,50	5,91	20,2	112,9	26865	27450	0,12
0,70-0,275-92,7-02	55,7	24557	21,5	3,50	5,86	21,9	114,6	27023	27691	0,13
0,70-0,275-92,7-03	55,7	24557	22,3	3,50	5,66	23,1	115,8	27275	27859	0,13
0,70-0,275-92,7-04	55,7	24557	24,4	3,50	5,60	26,1	118,8	27592	28268	0,15
0,70-0,275-92,7-05	55,7	24557	25,7	3,50	5,54	28,1	120,8	27742	28530	0,16
0,70-0,275-92,7-06	55,7	24557	28,4	3,50	5,38	31,7	124,4	28283	29019	0,18
0,70-0,275-92,7-07	55,7	20045	25,6	3,50	3,70	28,8	121,5	23179	23878	0,19
0,70-0,275-92,7-08	55,7	21444	25,2	3,50	4,30	27,9	120,6	24532	25246	0,18
0,70-0,275-92,7-09	55,7	22801	24,4	3,50	4,82	26,5	119,2	25829	26487	0,16
0,70-0,275-92,7-10	55,7	26184	22,7	3,50	6,53	23,5	116,2	28936	29583	0,13
0,70-0,275-92,7-11	55,7									
0,70-0,275-92,7-12	55,7	27445	21,9	3,50	4,60	21,9	114,6	30308	30983	0,13
0,70-0,275-92,7-13	55,7	24196	23,6	3,50	5,78	25,2	117,9	27060	27713	0,15
0,70-0,275-92,7-14	55,7	18902	28,0	3,50	8,78	33,2	125,9	21639	22132	0,17
0,70-0,275-92,7-15	55,7	17857	29,0	3,50	9,41	35,0	127,7	20575	20936	0,17
0,70-0,275-92,7-16	55,7	17333	29,7	3,45	10,00	36,5	129,2	19941	20374	0,18
0,70-0,275-92,7-17	55,7									
0,70-0,275-92,7-18	55,7	31142	23,3	3,50	3,90	22,1	114,8	33303	33916	0,09
0,70-0,275-92,7-19	55,7	26830	23,4	3,50	5,01	24,1	116,8	29431	30122	0,12
0,70-0,275-92,7-20	55,7	23391	23,5	3,50	6,12	25,3	118,0	26351	27061	0,16
0,70-0,275-92,7-21	55,7	22205	23,4	3,50	6,70	25,6	118,3	25148	26001	0,17
0,70-0,275-92,7-22	55,7	21000	23,3	3,50	7,11	25,9	118,6	24158	24911	0,19
0,70-0,275-92,7-23	55,7	19156	23,0	3,50	8,13	26,3	119,0	22190	23241	0,21
0,70-0,275-92,7-24	55,7	21000	22,5	3,50	7,20	24,8	117,5	24028	24757	0,18
0,70-0,275-92,7-25	55,7	22800	22,8	3,50	6,42	24,5	117,2	25819	26402	0,16
0,70-0,275-92,7-26	55,7	25930	24,6	3,50	5,24	26,0	118,7	28815	29539	0,14
0,70-0,275-92,7-27	55,7	27937	26,5	3,50	4,52	27,9	120,6	30952	31645	0,13
0,70-0,275-92,7-28	55,7									
0,70-0,275-92,7-29	55,7	21905	25,2	3,50	2,94	27,3	120,0	25082	25770	0,18
0,70-0,275-92,7-30	55,7	22700	24,7	3,50	3,76	26,6	119,3	25810	26480	0,17
0,70-0,275-92,7-31	55,7	23496	24,0	3,50	4,54	25,6	118,3	26417	27141	0,16
0,70-0,275-92,7-32	55,7	25617	22,8	3,50	6,68	23,8	116,5	28404	29017	0,13

Protótipo	$l/d_p$	$M_{ro}$ [kN.cm]	$\delta$ [cm]	$-\varepsilon_c$ [%o]	$\varepsilon_s$ [%o]	$\Delta f_{ps}$ [kN/cm <sup>2</sup> ]	$f_{ps}$ [kN/cm <sup>2</sup> ]	$M_{res}$ (numerico) [kN.cm]	$M_{res}$ (analit.) [kN.cm]	$\Delta M_r/M_{ro}$
0,30-0,150-112,5-REF	55,7	15830	29,1	2,74	10,00	35,4	147,9	16777	17059	0,08
0,30-0,150-112,5-01	55,7	15830	24,6	2,70	10,00	29,3	141,8	16516	16847	0,06
0,30-0,150-112,5-02	55,7	15830	26,0	2,72	10,00	31,0	143,5	16600	16908	0,07
0,30-0,150-112,5-03	55,7	15830	27,3	2,65	10,00	33,1	145,6	16777	16978	0,07
0,30-0,150-112,5-04	55,7	15830	30,8	2,79	10,00	37,7	150,2	16917	17137	0,08
0,30-0,150-112,5-05	55,7	15830	33,2	2,82	10,00	41,1	153,6	17076	17253	0,09
0,30-0,150-112,5-06	55,7	15830	36,8	2,84	10,00	45,7	158,2	17197	17411	0,10
0,30-0,150-112,5-07	55,7									
0,30-0,150-112,5-08	55,7	11533	36,0	3,01	10,00	44,1	156,6	12662	12875	0,12
0,30-0,150-112,5-09	55,7	13334	32,9	2,89	10,00	40,5	153,0	14463	14644	0,10
0,30-0,150-112,5-10	55,7	18423	26,3	2,65	10,00	31,5	144,0	19325	19578	0,06
0,30-0,150-112,5-11	55,7	22591	26,8	3,50	7,34	29,1	141,6	24513	25094	0,11
0,30-0,150-112,5-12	55,7	17695	30,2	3,18	10,00	35,5	148,0	19129	19460	0,10
0,30-0,150-112,5-13	55,7	16551	29,6	2,93	10,00	35,6	148,1	17757	17996	0,09
0,30-0,150-112,5-14	55,7	14798	28,7	2,56	10,00	35,5	148,0	15602	15726	0,06
0,30-0,150-112,5-15	55,7	14469	28,4	2,46	10,00	35,5	148,0	14995	15297	0,06
0,30-0,150-112,5-16	55,7	14302	28,4	2,44	10,00	35,5	148,0	14874	15082	0,05
0,30-0,150-112,5-17	55,7	42006	24,0	3,50	2,38	17,2	129,7	42112	42358	0,01
0,30-0,150-112,5-18	55,7	25811	28,3	3,50	7,04	30,2	142,7	26445	26714	0,03
0,30-0,150-112,5-19	55,7	19296	31,3	3,30	10,00	36,4	148,9	20211	20502	0,06
0,30-0,150-112,5-20	55,7	14044	27,8	2,45	10,00	34,6	147,1	15033	15272	0,09
0,30-0,150-112,5-21	55,7									
0,30-0,150-112,5-22	55,7									
0,30-0,150-112,5-23	55,7									
0,30-0,150-112,5-24	55,7									
0,30-0,150-112,5-25	55,7									
0,30-0,150-112,5-26	55,7	17927	32,2	3,11	10,00	38,5	151,0	18952	19223	0,07
0,30-0,150-112,5-27	55,7	20977	34,6	3,50	9,11	40,3	152,8	22078	22279	0,06
0,30-0,150-112,5-28	55,7	25811	36,4	3,50	6,92	41,7	154,2	26799	27055	0,05
0,30-0,150-112,5-29	55,7									
0,30-0,150-112,5-30	55,7	13349	38,1	3,49	10,00	45,3	157,8	14650	14915	0,12
0,30-0,150-112,5-31	55,7	14412	34,0	3,16	10,00	41,0	153,5	15667	15833	0,10
0,30-0,150-112,5-32	55,7	17247	25,9	2,52	10,00	31,4	143,9	18131	18336	0,06

Protótipo	$l/d_p$	$M_{ro}$ [kN.cm]	$\delta$ [cm]	$-\varepsilon_c$ [%o]	$\varepsilon_s$ [%o]	$\Delta f_{ps}$ [kN/cm <sup>2</sup> ]	$f_{ps}$ [kN/cm <sup>2</sup> ]	$M_{res}$ (numerico) [kN.cm]	$M_{res}$ (analit.) [kN.cm]	$\Delta M_r/M_{ro}$
0,30-0,275-112,5-REF	55,7	27064	26,6	3,50	6,00	27,4	139,9	28246	28514	0,05
0,30-0,275-112,5-01	55,7	27064	21,1	3,50	6,14	19,0	131,5	28068	28075	0,04
0,30-0,275-112,5-02	55,7	27064	23,0	3,50	6,22	22,0	134,5	27826	28233	0,04
0,30-0,275-112,5-03	55,7	27064	24,8	3,50	6,12	24,7	137,2	28078	28373	0,05
0,30-0,275-112,5-04	55,7	27064	28,2	3,50	5,96	29,7	142,2	28302	28633	0,06
0,30-0,275-112,5-05	55,7	27064	30,5	3,50	5,88	33,0	145,5	28488	28805	0,06
0,30-0,275-112,5-06	55,7	27064	34,3	3,50	5,70	38,1	150,6	28749	29069	0,07
0,30-0,275-112,5-07	55,7	16887	34,2	3,50	4,98	39,5	152,0	18392	18680	0,11
0,30-0,275-112,5-08	55,7	19776	31,5	3,50	5,33	35,4	147,9	21144	21477	0,09
0,30-0,275-112,5-09	55,7	22808	29,3	3,50	5,66	31,9	144,4	24121	24412	0,07
0,30-0,275-112,5-10	55,7	31434	24,6	3,50	6,46	23,9	136,4	32389	32749	0,04
0,30-0,275-112,5-11	55,7	36740	22,6	3,50	2,65	18,4	130,9	38211	38787	0,06
0,30-0,275-112,5-12	55,7	29870	24,9	3,50	4,78	24,2	136,7	31185	31636	0,06
0,30-0,275-112,5-13	55,7	28150	25,9	3,50	5,49	26,1	138,6	29384	29738	0,06
0,30-0,275-112,5-14	55,7	25461	28,0	3,50	6,96	29,9	142,4	26463	26674	0,05
0,30-0,275-112,5-15	55,7	24941	28,4	3,50	7,28	30,6	143,1	25726	26055	0,04
0,30-0,275-112,5-16	55,7	24685	29,6	3,50	8,90	32,4	144,9	20902	25797	0,05
0,30-0,275-112,5-17	55,7									
0,30-0,275-112,5-18	55,7									
0,30-0,275-112,5-19	55,7	32399	25,1	3,50	4,40	23,4	135,9	33191	33513	0,03
0,30-0,275-112,5-20	55,7	24220	27,9	3,50	7,22	30,1	142,6	25502	25892	0,07
0,30-0,275-112,5-21	55,7	21259	29,3	3,50	8,54	32,8	145,3	22805	23163	0,09
0,30-0,275-112,5-22	55,7	18181	30,3	3,38	10,00	35,2	147,7	19894	20319	0,12
0,30-0,275-112,5-23	55,7	13345	23,6	2,50	10,00	29,1	141,6	14669	15234	0,14
0,30-0,275-112,5-24	55,7	18181	27,2	3,29	10,00	31,1	143,6	19549	20074	0,10
0,30-0,275-112,5-25	55,7	22754	27,0	3,50	7,98	29,0	141,5	24056	24405	0,07
0,30-0,275-112,5-26	55,7	30321	27,2	3,50	4,91	27,2	139,7	31427	31675	0,04
0,30-0,275-112,5-27	55,7	34891	29,1	3,50	3,62	27,6	140,1	35906	36131	0,04
0,30-0,275-112,5-28	55,7									
0,30-0,275-112,5-29	55,7	20567	32,0	3,50	3,17	35,1	147,6	22096	22418	0,09
0,30-0,275-112,5-30	55,7	22516	29,9	3,50	4,01	32,3	144,8	23916	24218	0,08
0,30-0,275-112,5-31	55,7	24465	28,3	3,50	4,89	30,0	142,5	25726	26047	0,06
0,30-0,275-112,5-32	55,7	29662	25,4	3,50	7,16	25,6	138,1	30728	31017	0,05

Protótipo	$l/d_p$	$M_{ro}$ [kN.cm]	$\delta$ [cm]	$-\varepsilon_c$ [%o]	$\varepsilon_s$ [%o]	$\Delta f_{ps}$ [kN/cm <sup>2</sup> ]	$f_{ps}$ [kN/cm <sup>2</sup> ]	$M_{res}$ (numerico) [kN.cm]	$M_{res}$ (analit.) [kN.cm]	$\Delta M_r/M_{ro}$
0,70-0,150-112,5-REF	55,7									
0,70-0,150-112,5-01	55,7	14363	24,3	2,81	10,00	29,2	141,7	16273	16621	0,16
0,70-0,150-112,5-02	55,7									
0,70-0,150-112,5-03	55,7									
0,70-0,150-112,5-04	55,7									
0,70-0,150-112,5-05	55,7									
0,70-0,150-112,5-06	55,7									
0,70-0,150-112,5-07	55,7	11729	32,3	3,50	9,40	39,8	152,3	14097	14539	0,24
0,70-0,150-112,5-08	55,7	12533	30,5	3,34	10,00	37,7	150,2	14764	15271	0,22
0,70-0,150-112,5-09	55,7									
0,70-0,150-112,5-10	55,7									
0,70-0,150-112,5-11	55,7	28534	19,2	3,50	4,07	18,5	131,0	31399	31538	0,11
0,70-0,150-112,5-12	55,7	18431	26,3	3,50	8,97	29,7	142,2	20917	21570	0,17
0,70-0,150-112,5-13	55,7									
0,70-0,150-112,5-14	55,7									
0,70-0,150-112,5-15	55,7									
0,70-0,150-112,5-16	55,7									
0,70-0,150-112,5-17	55,7	26517	26,4	3,50	6,06	27,3	139,8	27833	28272	0,07
0,70-0,150-112,5-18	55,7	18623	29,5	3,50	9,58	33,7	146,2	20622	21071	0,13
0,70-0,150-112,5-19	55,7	15806	27,7	3,09	10,00	32,9	145,4	17944	18290	0,16
0,70-0,150-112,5-20	55,7									
0,70-0,150-112,5-21	55,7	12896	23,6	2,47	10,00	29,6	142,1	14202	15225	0,18
0,70-0,150-112,5-22	55,7	12154	23,3	2,48	10,00	29,3	141,8	14062	14478	0,19
0,70-0,150-112,5-23	55,7	11030	22,8	2,35	10,00	29,0	141,5	13157	13362	0,21
0,70-0,150-112,5-24	55,7									
0,70-0,150-112,5-25	55,7									
0,70-0,150-112,5-26	55,7									
0,70-0,150-112,5-27	55,7									
0,70-0,150-112,5-28	55,7									
0,70-0,150-112,5-29	55,7	12916	30,9	3,50	8,69	38,0	150,5	14967	15832	0,23
0,70-0,150-112,5-30	55,7									
0,70-0,150-112,5-31	55,7									
0,70-0,150-112,5-32	55,7									

Protótipo	$l/d_p$	$M_{ro}$ [kN.cm]	$\delta$ [cm]	- $\varepsilon_c$ [%o]	$\varepsilon_s$ [%o]	$\Delta f_{ps}$ [kN/cm <sup>2</sup> ]	$f_{ps}$ [kN/cm <sup>2</sup> ]	$M_{res}$ (numerico) [kN.cm]	$M_{res}$ (analit.) [kN.cm]	$\Delta M_r/M_{ro}$
0,70-0,275-112,5-REF	55,7	24556	23,8	3,50	5,40	24,7	137,2	26790	27470	0,12
0,70-0,275-112,5-01	55,7	24556	20,7	3,50	6,12	20,1	132,6	26501	26948	0,10
0,70-0,275-112,5-02	55,7	24556	22,0	3,50	6,24	21,7	134,2	26407	27130	0,10
0,70-0,275-112,5-03	55,7	24556	23,0	3,50	6,08	23,4	135,9	26687	27324	0,11
0,70-0,275-112,5-04	55,7	24556	24,8	3,50	5,91	25,9	138,4	26874	27611	0,12
0,70-0,275-112,5-05	55,7	24556	26,2	3,50	5,81	27,8	140,3	27042	27825	0,13
0,70-0,275-112,5-06	55,7	24556	28,9	3,50	5,65	31,2	143,7	27499	28210	0,15
0,70-0,275-112,5-07	55,7	20065	25,9	3,50	4,03	28,2	140,7	22339	23185	0,16
0,70-0,275-112,5-08	55,7	21435	25,4	3,50	4,53	27,3	139,8	23916	24529	0,14
0,70-0,275-112,5-09	55,7	22778	24,8	3,50	5,20	26,3	138,8	25036	25817	0,13
0,70-0,275-112,5-10	55,7	26206	23,0	3,50	6,79	23,3	135,8	28339	29006	0,11
0,70-0,275-112,5-11	55,7									
0,70-0,275-112,5-12	55,7	30664	20,6	3,50	3,60	18,9	131,4	33154	33496	0,09
0,70-0,275-112,5-13	55,7	26986	22,5	3,50	5,02	22,3	134,8	29235	29934	0,11
0,70-0,275-112,5-14	55,7	20848	26,8	3,50	8,02	29,6	142,1	23001	23637	0,13
0,70-0,275-112,5-15	55,7	19618	28,0	3,50	8,76	31,4	143,9	21779	22309	0,14
0,70-0,275-112,5-16	55,7	19000	28,5	3,50	9,13	32,2	144,7	21079	21617	0,14
0,70-0,275-112,5-17	55,7									
0,70-0,275-112,5-18	55,7	31142	23,5	3,50	4,11	22,0	134,5	32734	33424	0,07
0,70-0,275-112,5-19	55,7	26829	23,9	3,50	5,27	24,0	136,5	28861	29548	0,10
0,70-0,275-112,5-20	55,7	23390	24,0	3,50	6,54	25,3	137,8	25642	26435	0,13
0,70-0,275-112,5-21	55,7	22204	23,7	3,50	7,00	25,4	137,9	24457	25324	0,14
0,70-0,275-112,5-22	55,7	20999	23,7	3,50	7,39	25,6	138,1	23580	24211	0,15
0,70-0,275-112,5-23	55,7	19155	23,3	3,50	8,37	25,9	138,4	21695	22499	0,17
0,70-0,275-112,5-24	55,7	20999	23,0	3,50	7,57	24,8	137,3	23356	24115	0,15
0,70-0,275-112,5-25	55,7	22800	23,2	3,50	6,73	24,4	136,9	25138	25767	0,13
0,70-0,275-112,5-26	55,7	25929	24,9	3,50	5,43	25,7	138,2	28199	28883	0,11
0,70-0,275-112,5-27	55,7	27937	27,0	3,50	4,81	27,6	140,1	30289	30986	0,11
0,70-0,275-112,5-28	55,7									
0,70-0,275-112,5-29	55,7	21904	25,7	3,50	3,13	27,1	139,6	24438	25101	0,15
0,70-0,275-112,5-30	55,7	22700	25,0	3,50	4,03	26,4	138,9	25073	25809	0,14
0,70-0,275-112,5-31	55,7	23495	24,5	3,50	4,83	25,6	138,1	25829	26520	0,13
0,70-0,275-112,5-32	55,7	25617	23,4	3,50	7,12	24,0	136,5	27835	28458	0,11

Protótipo	$l/d_p$	$M_{ro}$ [kN.cm]	$\delta$ [cm]	$-\varepsilon_c$ [%o]	$\varepsilon_s$ [%o]	$\Delta f_{ps}$ [kN/cm <sup>2</sup> ]	$f_{ps}$ [kN/cm <sup>2</sup> ]	$M_{res}$ (numerico) [kN.cm]	$M_{res}$ (analit.) [kN.cm]	$\Delta M_r/M_{ro}$
0,30-0,150-132,3-REF	55,7	15792	29,1	2,69	10,00	29,5	161,8	16432	16664	0,06
0,30-0,150-132,3-01	55,7	15792	24,5	2,71	10,00	24,9	157,2	16451	16528	0,05
0,30-0,150-132,3-02	55,7	15792	25,8	2,66	10,00	26,3	158,6	16264	16569	0,05
0,30-0,150-132,3-03	55,7	15792	27,1	2,53	10,00	27,9	160,2	16376	16615	0,05
0,30-0,150-132,3-04	55,7	15792	30,5	2,72	10,00	30,9	163,2	16470	16703	0,06
0,30-0,150-132,3-05	55,7	15792	33,0	2,72	10,00	33,1	165,4	16526	16769	0,06
0,30-0,150-132,3-06	55,7	15792	36,6	2,75	10,00	36,0	168,3	16666	16852	0,07
0,30-0,150-132,3-07	55,7									
0,30-0,150-132,3-08	55,7	11556	35,6	2,92	10,00	34,8	167,1	12252	12461	0,08
0,30-0,150-132,3-09	55,7	13341	32,8	2,82	10,00	32,8	165,1	14071	14245	0,07
0,30-0,150-132,3-10	55,7	18451	26,2	2,61	10,00	26,6	158,9	19064	19283	0,05
0,30-0,150-132,3-11	55,7	24291	26,0	3,50	6,83	24,0	156,3	25549	26291	0,08
0,30-0,150-132,3-12	55,7	18664	30,4	3,30	10,00	29,4	161,7	19679	20107	0,08
0,30-0,150-132,3-13	55,7	17336	29,7	3,00	10,00	29,5	161,8	18215	18520	0,07
0,30-0,150-132,3-14	55,7	15293	29,0	2,63	10,00	29,5	161,8	15988	16059	0,05
0,30-0,150-132,3-15	55,7	14894	28,7	2,54	10,00	29,5	161,8	15508	15577	0,05
0,30-0,150-132,3-16	55,7	14702	28,7	2,50	10,00	29,5	161,8	15182	15345	0,04
0,30-0,150-132,3-17	55,7	41929	24,1	2,50	2,43	15,6	147,9	42018	42201	0,01
0,30-0,150-132,3-18	55,7	25754	28,5	3,50	7,21	26,0	158,3	26174	26416	0,03
0,30-0,150-132,3-19	55,7	19252	31,2	3,24	10,00	30,1	162,4	19838	20100	0,04
0,30-0,150-132,3-20	55,7	14011	27,5	2,38	10,00	28,7	161,0	14585	14878	0,06
0,30-0,150-132,3-21	55,7									
0,30-0,150-132,3-22	55,7									
0,30-0,150-132,3-23	55,7									
0,30-0,150-132,3-24	55,7									
0,30-0,150-132,3-25	55,7									
0,30-0,150-132,3-26	55,7	17885	32,0	3,03	10,00	31,5	163,8	18560	18787	0,05
0,30-0,150-132,3-27	55,7	20929	35,0	3,50	9,41	33,0	165,3	21630	21837	0,04
0,30-0,150-132,3-28	55,7	25754	36,6	3,50	7,11	33,7	166,0	26314	26612	0,03
0,30-0,150-132,3-29	55,7									
0,30-0,150-132,3-30	55,7	13318	37,7	3,35	10,00	35,5	167,8	14071	14365	0,08
0,30-0,150-132,3-31	55,7	14378	33,6	3,06	10,00	32,9	165,2	15219	15349	0,07
0,30-0,150-132,3-32	55,7	17206	25,7	2,46	10,00	26,5	158,8	17711	17988	0,05

Protótipo	$l/d_p$	$M_{ro}$ [kN.cm]	$\delta$ [cm]	- $\varepsilon_c$ [%o]	$\varepsilon_s$ [%o]	$\Delta f_{ps}$ [kN/cm <sup>2</sup> ]	$f_{ps}$ [kN/cm <sup>2</sup> ]	$M_{res}$ (numerico) [kN.cm]	$M_{res}$ (analit.) [kN.cm]	$\Delta M_r/M_{ro}$
0,30-0,275-132,3-REF	55,7	27014	27,0	3,50	6,24	24,1	156,4	27798	28100	0,04
0,30-0,275-132,3-01	55,7	27014	21,3	3,50	6,29	17,3	149,6	27732	27795	0,03
0,30-0,275-132,3-02	55,7	27014	23,1	3,50	6,33	19,6	151,9	27564	27902	0,03
0,30-0,275-132,3-03	55,7	27014	25,1	3,50	6,30	21,9	154,2	27760	28004	0,04
0,30-0,275-132,3-04	55,7	27014	28,5	3,50	6,21	25,8	158,1	27816	28177	0,04
0,30-0,275-132,3-05	55,7	27014	31,0	3,50	6,20	28,3	160,6	27938	28289	0,05
0,30-0,275-132,3-06	55,7	27014	34,9	3,50	6,13	31,9	164,2	28068	28447	0,05
0,30-0,275-132,3-07	55,7	16897	34,4	3,50	5,18	32,4	164,7	17795	18154	0,07
0,30-0,275-132,3-08	55,7	19790	31,9	3,50	5,54	29,9	162,2	20697	21016	0,06
0,30-0,275-132,3-09	55,7	22812	29,5	3,50	5,87	27,3	159,6	23589	23984	0,05
0,30-0,275-132,3-10	55,7	31452	24,7	3,50	6,55	21,1	153,4	32146	32444	0,03
0,30-0,275-132,3-11	55,7									
0,30-0,275-132,3-12	55,7	31288	24,5	3,50	4,43	20,4	152,7	32146	32729	0,05
0,30-0,275-132,3-13	55,7	29341	25,5	3,50	5,21	22,0	154,3	30177	30651	0,04
0,30-0,275-132,3-14	55,7	26231	27,6	3,50	6,69	24,9	157,2	26921	27229	0,04
0,30-0,275-132,3-15	55,7	25628	28,1	3,50	7,05	25,6	157,9	26183	26548	0,04
0,30-0,275-132,3-16	55,7	25331	29,3	3,50	8,63	26,8	159,1	21434	26244	0,04
0,30-0,275-132,3-17	55,7									
0,30-0,275-132,3-18	55,7									
0,30-0,275-132,3-19	55,7	32342	25,1	3,50	4,47	20,7	153,0	32846	33182	0,03
0,30-0,275-132,3-20	55,7	24175	28,3	3,50	7,48	26,1	158,4	24998	25410	0,05
0,30-0,275-132,3-21	55,7	21218	29,8	3,50	8,86	28,1	160,4	22246	22611	0,07
0,30-0,275-132,3-22	55,7	18146	30,0	3,24	10,00	29,3	161,6	19241	19661	0,08
0,30-0,275-132,3-23	55,7									
0,30-0,275-132,3-24	55,7	18146	27,0	3,22	10,00	26,4	158,7	19222	19513	0,08
0,30-0,275-132,3-25	55,7	22711	27,2	3,50	8,19	25,2	157,5	23636	23934	0,05
0,30-0,275-132,3-26	55,7	30267	27,5	3,50	5,10	23,8	156,1	30933	31278	0,03
0,30-0,275-132,3-27	55,7	34831	29,2	3,50	3,76	24,1	156,4	35468	35754	0,03
0,30-0,275-132,3-28	55,7									
0,30-0,275-132,3-29	55,7	20531	32,3	3,50	3,43	29,7	162,0	21471	21866	0,07
0,30-0,275-132,3-30	55,7	22476	30,3	3,50	4,25	27,8	160,1	23431	23726	0,06
0,30-0,275-132,3-31	55,7	24421	28,7	3,50	5,12	26,1	158,4	25306	25595	0,05
0,30-0,275-132,3-32	55,7	29607	25,8	3,50	7,44	22,7	155,0	30252	30631	0,03

Protótipo	$l/d_p$	$M_{ro}$ [kN.cm]	$\delta$ [cm]	- $\varepsilon_c$ [%o]	$\varepsilon_s$ [%o]	$\Delta f_{ps}$ [kN/cm <sup>2</sup> ]	$f_{ps}$ [kN/cm <sup>2</sup> ]	$M_{res}$ (numerico) [kN.cm]	$M_{res}$ (analit.) [kN.cm]	$\Delta M_r/M_{ro}$
0,70-0,150-132,3-REF	55,7									
0,70-0,150-132,3-01	55,7	14357	24,0	2,69	10,00	25,0	157,3	15546	16006	0,11
0,70-0,150-132,3-02	55,7									
0,70-0,150-132,3-03	55,7									
0,70-0,150-132,3-04	55,7									
0,70-0,150-132,3-05	55,7									
0,70-0,150-132,3-06	55,7									
0,70-0,150-132,3-07	55,7	11748	34,1	3,47	10,00	33,4	165,7	13269	13768	0,17
0,70-0,150-132,3-08	55,7									
0,70-0,150-132,3-09	55,7	13357	27,9	2,87	10,00	28,8	161,1	14445	15201	0,14
0,70-0,150-132,3-10	55,7									
0,70-0,150-132,3-11	55,7	31747	18,3	3,50	3,16					
0,70-0,150-132,3-12	55,7	20544	24,9	3,50	8,24	23,8	156,1	22190	22989	0,12
0,70-0,150-132,3-13	55,7	17734	27,6	3,49	10,00	26,9	159,2	19596	20064	0,13
0,70-0,150-132,3-14	55,7									
0,70-0,150-132,3-15	55,7									
0,70-0,150-132,3-16	55,7									
0,70-0,150-132,3-17	55,7	26508	26,7	3,50	6,25	24,0	156,3	27443	27824	0,05
0,70-0,150-132,3-18	55,7	18617	30,0	3,43	10,00	28,9	161,2	19959	20415	0,10
0,70-0,150-132,3-19	55,7	15800	27,1	2,95	10,00	27,4	159,7	17160	17570	0,11
0,70-0,150-132,3-20	55,7									
0,70-0,150-132,3-21	55,7	12891	23,2	2,37	10,00	25,1	157,4	13624	14576	0,13
0,70-0,150-132,3-22	55,7	12149	23,1	2,40	10,00	25,0	157,3	13502	13845	0,14
0,70-0,150-132,3-23	55,7									
0,70-0,150-132,3-24	55,7									
0,70-0,150-132,3-25	55,7									
0,70-0,150-132,3-26	55,7									
0,70-0,150-132,3-27	55,7									
0,70-0,150-132,3-28	55,7									
0,70-0,150-132,3-29	55,7	12912	33,0	3,50	9,37	32,4	164,7	14258	15041	0,16
0,70-0,150-132,3-30	55,7									
0,70-0,150-132,3-31	55,7									
0,70-0,150-132,3-32	55,7									

Protótipo	$l/d_p$	$M_{ro}$ [kN.cm]	$\delta$ [cm]	$-\varepsilon_c$ [%o]	$\varepsilon_s$ [%o]	$\Delta f_{ps}$ [kN/cm <sup>2</sup> ]	$f_{ps}$ [kN/cm <sup>2</sup> ]	$M_{res}$ (numerico) [kN.cm]	$M_{res}$ (analit.) [kN.cm]	$\Delta M_r/M_{ro}$
0,70-0,275-132,3-REF	55,7	24548	24,5	3,50	6,45	22,4	154,7	25969	26817	0,09
0,70-0,275-132,3-01	55,7	24548	21,4	3,50	6,65	18,9	151,2	25511	26470	0,08
0,70-0,275-132,3-02	55,7	24548	22,3	3,50	6,48	20,0	152,3	25847	26580	0,08
0,70-0,275-132,3-03	55,7	24548	23,3	3,50	6,49	21,2	153,5	25894	26697	0,09
0,70-0,275-132,3-04	55,7	24548	25,2	3,50	6,35	23,5	155,8	26165	26919	0,10
0,70-0,275-132,3-05	55,7	24548	27,0	3,50	6,30	25,0	157,3	26286	27073	0,10
0,70-0,275-132,3-06	55,7	24548	29,6	3,50	6,20	27,5	159,8	26510	27310	0,11
0,70-0,275-132,3-07	55,7	20028	26,8	3,50	4,33	25,3	157,6	21574	22422	0,12
0,70-0,275-132,3-08	55,7	21470	25,8	3,50	4,91	24,1	156,4	23039	23814	0,11
0,70-0,275-132,3-09	55,7	22812	25,4	3,50	5,53	23,6	155,9	24392	25152	0,10
0,70-0,275-132,3-10	55,7	26231	23,5	3,50	7,17	21,2	153,5	27742	28414	0,08
0,70-0,275-132,3-11	55,7									
0,70-0,275-132,3-12	55,7									
0,70-0,275-132,3-13	55,7	29608	21,5	3,50	4,26	18,3	150,6	31381	31884	0,08
0,70-0,275-132,3-14	55,7	22726	25,7	3,50	7,28	24,1	156,4	24233	24924	0,10
0,70-0,275-132,3-15	55,7	21325	3,5	3,50	8,15	25,6	157,9	22796	23460	0,10
0,70-0,275-132,3-16	55,7	20619	27,6	3,50	8,54	26,3	158,6	22106	22702	0,10
0,70-0,275-132,3-17	55,7									
0,70-0,275-132,3-18	55,7	31132	23,8	3,50	4,26	19,8	152,1	32286	32897	0,06
0,70-0,275-132,3-19	55,7	26820	24,1	3,50	5,50	21,4	153,7	28152	28903	0,08
0,70-0,275-132,3-20	55,7	23382	24,5	3,50	6,87	22,7	155,0	24924	25727	0,10
0,70-0,275-132,3-21	55,7	22197	24,4	3,50	7,36	23,0	155,3	23832	24615	0,11
0,70-0,275-132,3-22	55,7	20992	24,0	3,50	7,90	22,9	155,2	22703	23452	0,12
0,70-0,275-132,3-23	55,7	19148	24,2	3,50	9,00	23,6	155,9	20697	21757	0,14
0,70-0,275-132,3-24	55,7	20992	23,7	3,50	8,13	22,6	154,9	22460	23422	0,12
0,70-0,275-132,3-25	55,7	22792	23,7	3,50	7,17	22,1	154,4	24317	25094	0,10
0,70-0,275-132,3-26	55,7	25921	25,4	3,50	5,65	23,0	155,3	27611	28191	0,09
0,70-0,275-132,3-27	55,7	27927	27,3	3,50	5,03	24,5	156,8	29609	30249	0,08
0,70-0,275-132,3-28	55,7									
0,70-0,275-132,3-29	55,7	21897	26,2	3,50	3,49	24,3	156,6	23641	24349	0,11
0,70-0,275-132,3-30	55,7	22692	25,6	3,50	4,38	23,7	156,0	24289	25083	0,11
0,70-0,275-132,3-31	55,7	23487	25,1	3,50	5,23	23,1	155,4	25045	25823	0,10
0,70-0,275-132,3-32	55,7	25608	32,9	3,50	7,61	21,8	154,1	26986	27811	0,09

Protótipo	$l/d_p$	$M_{ro}$ [kN.cm]	$\delta$ [cm]	$-\varepsilon_c$ [%o]	$\varepsilon_s$ [%o]	$\Delta f_{ps}$ [kN/cm <sup>2</sup> ]	$f_{ps}$ [kN/cm <sup>2</sup> ]	$M_{res}$ (numerico) [kN.cm]	$M_{res}$ (analit.) [kN.cm]	$\Delta M_r/M_{ro}$
0,30-0,150-152,0-REF	55,7	15842	28,8	2,62	10,00	19,0	171,0	15975	16332	0,03
0,30-0,150-152,0-01	55,7									
0,30-0,150-152,0-02	55,7	15842	25,7	2,61	10,00	17,3	169,3	15994	16289	0,03
0,30-0,150-152,0-03	55,7	15842	26,9	2,48	10,00	18,1	170,1	16078	16310	0,03
0,30-0,150-152,0-04	55,7	15842	30,4	2,64	10,00	19,7	171,7	16115	16350	0,03
0,30-0,150-152,0-05	55,7	15842	33,0	2,69	10,00	20,8	172,8	16302	16378	0,03
0,30-0,150-152,0-06	55,7	15842	36,5	2,66	10,00	22,0	174,0	16227	16411	0,04
0,30-0,150-152,0-07	55,7									
0,30-0,150-152,0-08	55,7	11581	35,4	2,85	10,00	21,5	173,5	11841	12070	0,04
0,30-0,150-152,0-09	55,7									
0,30-0,150-152,0-10	55,7	18373	26,1	2,55	10,00	17,5	169,5	18588	18851	0,03
0,30-0,150-152,0-11	55,7	25974	25,3	3,50	6,28	15,7	167,7	26585	27248	0,05
0,30-0,150-152,0-12	55,7	19668	30,8	3,42	10,00	19,0	171,0	20193	20591	0,05
0,30-0,150-152,0-13	55,7	18166	30,1	3,09	10,00	19,0	171,0	18644	18923	0,04
0,30-0,150-152,0-14	55,7	16746	29,4	2,82	10,00	19,0	171,0	17067	17341	0,04
0,30-0,150-152,0-15	55,7	15403	28,8	2,58	10,00	19,0	171,0	15742	15842	0,03
0,30-0,150-152,0-16	55,7	15180	28,7	2,54	10,00	19,0	171,0	15536	15593	0,03
0,30-0,150-152,0-17	55,7	42030	24,1	3,50	2,43	11,1	163,1	42018	42200	0,00
0,30-0,150-152,0-18	55,7	25829	28,7	3,50	7,30	17,3	169,3	26006	26215	0,01
0,30-0,150-152,0-19	55,7	19311	31,0	3,17	10,00	19,3	171,3	19530	19786	0,02
0,30-0,150-152,0-20	55,7	14055	27,4	2,34	10,00	18,6	170,6	14305	14547	0,03
0,30-0,150-152,0-21	55,7									
0,30-0,150-152,0-22	55,7									
0,30-0,150-152,0-23	55,7									
0,30-0,150-152,0-24	55,7									
0,30-0,150-152,0-25	55,7									
0,30-0,150-152,0-26	55,7	17940	31,9	2,97	10,00	19,9	171,9	18233	18441	0,03
0,30-0,150-152,0-27	55,7	20993	35,9	3,50	9,94	21,0	173,0	21266	21498	0,02
0,30-0,150-152,0-28	55,7	25830	37,0	3,50	7,32	21,2	173,2	26025	26301	0,02
0,30-0,150-152,0-29	55,7									
0,30-0,150-152,0-30	55,7	13359	37,4	3,25	10,00	21,8	173,8	13605	13923	0,04
0,30-0,150-152,0-31	55,7	14423	33,1	2,90	10,00	20,6	172,6	14594	14954	0,04
0,30-0,150-152,0-32	55,7	17260	25,6	2,43	10,00	17,5	169,5	17533	17711	0,03

Protótipo	$l/d_p$	$M_{ro}$ [kN.cm]	$\delta$ [cm]	$-\varepsilon_c$ [%o]	$\varepsilon_s$ [%o]	$\Delta f_{ps}$ [kN/cm <sup>2</sup> ]	$f_{ps}$ [kN/cm <sup>2</sup> ]	$M_{res}$ (numerico) [kN.cm]	$M_{res}$ (analit.) [kN.cm]	$\Delta M_r/M_{ro}$
0,30-0,275-152,0-REF	55,7	27041	27,3	3,50	6,49	16,4	168,4	27322	27690	0,02
0,30-0,275-152,0-01	55,7	27041	22,0	3,50	6,76	12,8	164,8	26995	27547	0,02
0,30-0,275-152,0-02	55,7	27041	23,4	3,50	6,52	13,9	165,9	27303	27589	0,02
0,30-0,275-152,0-03	55,7	27041	25,3	3,50	6,49	15,2	167,2	27312	27640	0,02
0,30-0,275-152,0-04	55,7	27041	28,9	3,50	6,46	17,4	169,4	27396	27726	0,03
0,30-0,275-152,0-05	55,7	27041	31,3	3,50	6,45	18,7	170,7	27462	27777	0,03
0,30-0,275-152,0-06	55,7	27041	35,4	3,50	6,45	20,4	172,4	27471	27846	0,03
0,30-0,275-152,0-07	55,7	16892	34,8	3,50	5,39	20,6	172,6	17244	17591	0,04
0,30-0,275-152,0-08	55,7	19772	32,2	3,50	5,80	19,4	171,4	20099	20468	0,04
0,30-0,275-152,0-09	55,7	22821	30,0	3,50	6,09	18,1	170,1	23151	23503	0,03
0,30-0,275-152,0-10	55,7	31483	25,0	3,50	6,73	14,7	166,7	31829	32087	0,02
0,30-0,275-152,0-11	55,7									
0,30-0,275-152,0-12	55,7	32698	24,2	3,50	4,14	13,8	165,8	33116	33643	0,03
0,30-0,275-152,0-13	55,7	30528	25,1	3,50	4,96	14,8	166,8	30802	31385	0,03
0,30-0,275-152,0-14	55,7	28415	26,2	3,50	5,66	15,6	167,6	28852	29150	0,03
0,30-0,275-152,0-15	55,7	26365	27,8	3,50	6,87	16,8	168,8	26547	26963	0,02
0,30-0,275-152,0-16	55,7	26020	28,1	3,50	7,08	17,0	169,0	26211	26592	0,02
0,30-0,275-152,0-17	55,7									
0,30-0,275-152,0-18	55,7	41633	24,0	3,50	2,38	11,2	163,2	41701	41942	0,01
0,30-0,275-152,0-19	55,7	32373	25,3	3,50	4,56	14,4	166,4	32603	32884	0,02
0,30-0,275-152,0-20	55,7	24199	28,7	3,50	7,82	17,6	169,6	24466	24927	0,03
0,30-0,275-152,0-21	55,7	21241	30,2	3,50	9,12	18,5	170,5	21723	22046	0,04
0,30-0,275-152,0-22	55,7	18165	29,7	3,12	10,00	18,9	170,9	18653	19022	0,05
0,30-0,275-152,0-23	55,7									
0,30-0,275-152,0-24	55,7	18165	26,7	3,08	10,00	17,4	169,4	18504	18956	0,04
0,30-0,275-152,0-25	55,7	22735	27,6	3,50	8,45	17,0	169,0	23104	23458	0,03
0,30-0,275-152,0-26	55,7	30297	27,6	3,50	5,24	16,2	168,2	30541	30898	0,02
0,30-0,275-152,0-27	55,7	34864	29,2	3,50	3,88	16,3	168,3	35057	35412	0,02
0,30-0,275-152,0-28	55,7									
0,30-0,275-152,0-29	55,7	20551	32,7	3,50	3,64	19,3	171,3	20921	21313	0,04
0,30-0,275-152,0-30	55,7	22498	30,6	3,50	4,45	18,3	170,3	22917	23221	0,03
0,30-0,275-152,0-31	55,7	24445	29,0	3,50	5,34	17,5	169,5	24821	25134	0,03
0,30-0,275-152,0-32	55,7	29637	26,0	3,50	7,65	15,6	167,6	29897	30255	0,02

Protótipo	$l/d_p$	$M_{ro}$ [kN.cm]	$\delta$ [cm]	$-\varepsilon_c$ [%o]	$\varepsilon_s$ [%o]	$\Delta f_{ps}$ [kN/cm <sup>2</sup> ]	$f_{ps}$ [kN/cm <sup>2</sup> ]	$M_{res}$ (numerico) [kN.cm]	$M_{res}$ (analit.) [kN.cm]	$\Delta M_r/M_{ro}$
0,70-0,150-152,0-REF	55,7									
0,70-0,150-152,0-01	55,7	14331	23,6	2,53	10,00	16,7	168,7	14743	15292	0,07
0,70-0,150-152,0-02	55,7									
0,70-0,150-152,0-03	55,7									
0,70-0,150-152,0-04	55,7									
0,70-0,150-152,0-05	55,7									
0,70-0,150-152,0-06	55,7									
0,70-0,150-152,0-07	55,7	11738	33,5	3,32	10,00	20,8	172,8	12438	12838	0,09
0,70-0,150-152,0-08	55,7	12547	29,5	2,91	10,00	19,5	171,5	12830	13610	0,08
0,70-0,150-152,0-09	55,7									
0,70-0,150-152,0-10	55,7									
0,70-0,150-152,0-11	55,7									
0,70-0,150-152,0-12	55,7	22584	24,1	3,50	7,59	15,6	167,6	23337	24136	0,07
0,70-0,150-152,0-13	55,7	19417	26,6	3,50	9,27	17,2	169,2	20239	20869	0,07
0,70-0,150-152,0-14	55,7									
0,70-0,150-152,0-15	55,7									
0,70-0,150-152,0-16	55,7									
0,70-0,150-152,0-17	55,7	26462	27,2	3,50	6,58	16,5	168,5	26837	27253	0,03
0,70-0,150-152,0-18	55,7	18583	29,8	3,26	10,00	18,8	170,8	19213	19604	0,05
0,70-0,150-152,0-19	55,7									
0,70-0,150-152,0-20	55,7									
0,70-0,150-152,0-21	55,7	12867	23,2	2,31	10,00	16,8	168,8	13045	13852	0,08
0,70-0,150-152,0-22	55,7	12126	22,7	2,24	10,00	16,7	168,7	12532	13113	0,08
0,70-0,150-152,0-23	55,7	11005	22,1	2,15	10,00	16,5	168,5	11645	11996	0,09
0,70-0,150-152,0-24	55,7									
0,70-0,150-152,0-25	55,7									
0,70-0,150-152,0-26	55,7									
0,70-0,150-152,0-27	55,7									
0,70-0,150-152,0-28	55,7									
0,70-0,150-152,0-29	55,7	12888	34,0	3,50	9,87	20,8	172,8	13512	14083	0,09
0,70-0,150-152,0-30	55,7									
0,70-0,150-152,0-31	55,7									
0,70-0,150-152,0-32	55,7									

Protótipo	$l/d_p$	$M_{ro}$ [kN.cm]	$\delta$ [cm]	$-\varepsilon_c$ [%o]	$\varepsilon_s$ [%o]	$\Delta f_{ps}$ [kN/cm <sup>2</sup> ]	$f_{ps}$ [kN/cm <sup>2</sup> ]	$M_{res}$ (numerico) [kN.cm]	$M_{res}$ (analit.) [kN.cm]	$\Delta M_r/M_{ro}$
0,70-0,275-152,0-REF	55,7	24527	25,0	3,50	6,81	15,7	167,7	25157	25925	0,06
0,70-0,275-152,0-01	55,7	24527	22,0	3,50	6,98	13,7	165,7	24970	25744	0,05
0,70-0,275-152,0-02	55,7	24527	22,8	3,50	6,84	14,3	166,3	25110	25802	0,05
0,70-0,275-152,0-03	55,7	24527	24,0	3,50	6,89	15,1	167,1	25101	25868	0,05
0,70-0,275-152,0-04	55,7	24527	26,1	3,50	6,78	16,4	168,4	25241	25980	0,06
0,70-0,275-152,0-05	55,7	24527	27,9	3,50	6,77	17,3	169,3	25306	26063	0,06
0,70-0,275-152,0-06	55,7									
0,70-0,275-152,0-07	55,7	20048	27,6	3,50	4,75	17,4	169,4	20575	21498	0,07
0,70-0,275-152,0-08	55,7	21456	26,7	3,50	5,30	16,9	168,9	22096	22896	0,07
0,70-0,275-152,0-09	55,7	22789	26,0	3,50	5,94	16,4	168,4	23356	24213	0,06
0,70-0,275-152,0-10	55,7	26223	24,2	3,50	7,76	15,1	167,1	26799	27591	0,05
0,70-0,275-152,0-11	55,7									
0,70-0,275-152,0-12	55,7									
0,70-0,275-152,0-13	55,7	32060	20,6	3,50	3,59	12,1	164,1	33331	33486	0,04
0,70-0,275-152,0-14	55,7	27586	22,9	3,50	5,28	14,1	166,1	28358	29028	0,05
0,70-0,275-152,0-15	55,7	22981	26,4	3,50	7,78	16,6	168,6	23515	24336	0,06
0,70-0,275-152,0-16	55,7	22183	27,2	3,50	8,19	17,1	169,1	22815	23510	0,06
0,70-0,275-152,0-17	55,7									
0,70-0,275-152,0-18	55,7	31107	24,1	3,50	4,48	14,1	166,1	31623	32210	0,04
0,70-0,275-152,0-19	55,7	26798	24,6	3,50	5,79	15,1	167,1	27387	28089	0,05
0,70-0,275-152,0-20	55,7	23362	25,2	3,50	7,36	16,0	168,0	24056	24812	0,06
0,70-0,275-152,0-21	55,7	22178	25,2	3,50	7,94	16,2	168,2	22871	23673	0,07
0,70-0,275-152,0-22	55,7	20974	25,0	3,50	8,47	16,3	168,3	21695	22505	0,07
0,70-0,275-152,0-23	55,7	19131	24,7	3,50	9,32	16,3	168,3	19978	20711	0,08
0,70-0,275-152,0-24	55,7	20974	24,2	3,50	8,44	15,8	167,8	21807	22459	0,07
0,70-0,275-152,0-25	55,7	22772	24,2	3,50	7,61	15,5	167,5	23431	24195	0,06
0,70-0,275-152,0-26	55,7	25899	26,0	3,50	6,21	16,2	168,2	26566	27298	0,05
0,70-0,275-152,0-27	55,7	27904	27,8	3,50	5,40	16,9	168,9	28628	29310	0,05
0,70-0,275-152,0-28	55,7									
0,70-0,275-152,0-29	55,7	21879	26,7	3,50	3,91	16,8	168,8	22507	23368	0,07
0,70-0,275-152,0-30	55,7	22673	26,3	3,50	4,77	16,5	168,5	23309	24138	0,06
0,70-0,275-152,0-31	55,7	23467	25,8	3,50	5,64	16,2	168,2	24158	24907	0,06
0,70-0,275-152,0-32	55,7	25586	24,5	3,50	8,07	15,4	167,4	26137	26954	0,05

**Apêndice B.4 – Protótipos Submetidos a Carregamento Distribuído –**

$$L_o = l/20$$

Protótipo	$l/d_p$	$M_{ro}$ [kN.cm]	$\delta$ [cm]	$-\varepsilon_c$ [%o]	$\varepsilon_s$ [%o]	$\Delta f_{ps}$ [kN/cm <sup>2</sup> ]	$f_{ps}$ [kN/cm <sup>2</sup> ]	$M_{res}$ (numerico) [kN.cm]	$M_{res}$ (analit.) [kN.cm]	$\Delta M_r/M_{ro}$
0,30-0,150-92,7-REF	21,7									
0,30-0,150-92,7-01	21,7									
0,30-0,150-92,7-02	21,7									
0,30-0,150-92,7-03	21,7									
0,30-0,150-92,7-04	21,7									
0,30-0,150-92,7-05	21,7									
0,30-0,150-92,7-06	21,7	15800	4,4	2,87	10,00	41,3	134,0	17144	17529	1,02
0,30-0,150-92,7-07	21,7									
0,30-0,150-92,7-08	21,7									
0,30-0,150-92,7-09	21,7									
0,30-0,150-92,7-10	21,7									
0,30-0,150-92,7-11	21,7									
0,30-0,150-92,7-12	21,7									
0,30-0,150-92,7-13	21,7									
0,30-0,150-92,7-14	21,7									
0,30-0,150-92,7-15	21,7									
0,30-0,150-92,7-16	21,7									
0,30-0,150-92,7-17	21,7	41945	3,5	3,50	2,58	17,8	110,5	41729	42388	1,02
0,30-0,150-92,7-18	21,7	25766	3,2	3,50	7,35	23,8	116,5	26206	26629	1,02
0,30-0,150-92,7-19	21,7									
0,30-0,150-92,7-20	21,7									
0,30-0,150-92,7-21	21,7									
0,30-0,150-92,7-22	21,7									
0,30-0,150-92,7-23	21,7									
0,30-0,150-92,7-24	21,7									
0,30-0,150-92,7-25	21,7									
0,30-0,150-92,7-26	21,7	17893	3,5	2,72	10,00	30,9	123,6	18393	19157	1,04
0,30-0,150-92,7-27	21,7	20939	4,0	3,50	9,66	34,7	127,4	21802	22293	1,02
0,30-0,150-92,7-28	21,7	25766	4,9	3,58	6,96	41,5	134,2	26749	27262	1,02
0,30-0,150-92,7-29	21,7									
0,30-0,150-92,7-30	21,7									
0,30-0,150-92,7-31	21,7									
0,30-0,150-92,7-32	21,7									

Protótipo	$l/d_p$	$M_{ro}$ [kN.cm]	$\delta$ [cm]	$-\varepsilon_c$ [%o]	$\varepsilon_s$ [%o]	$\Delta f_{ps}$ [kN/cm <sup>2</sup> ]	$f_{ps}$ [kN/cm <sup>2</sup> ]	$M_{res}$ (numerico) [kN.cm]	$M_{res}$ (analit.) [kN.cm]	$\Delta M_r/M_{ro}$
0,30-0,275-92,7-REF	21,7	27036	3,1	3,50	6,25	22,5	115,2	28147	28480	1,01
0,30-0,275-92,7-01	21,7	27036	2,0	3,50	7,42	11,1	103,8	26774	27754	1,04
0,30-0,275-92,7-02	21,7	27036	2,3	3,50	6,72	14,4	107,1	27398	27968	1,02
0,30-0,275-92,7-03	21,7	27036	2,7	3,50	6,55	18,6	111,3	27956	28230	1,01
0,30-0,275-92,7-04	21,7	27036	3,5	3,50	6,14	25,8	118,5	28341	28689	1,01
0,30-0,275-92,7-05	21,7	27036	3,9	3,50	6,02	30,5	123,2	28434	28984	1,02
0,30-0,275-92,7-06	21,7	27036	4,8	3,50	6,30	38,7	131,4	28654	29491	1,03
0,30-0,275-92,7-07	21,7	16915	4,0	3,50	5,35	34,1	126,8	17896	18793	1,05
0,30-0,275-92,7-08	21,7	19765	3,7	3,50	5,38	30,2	122,9	20947	21523	1,03
0,30-0,275-92,7-09	21,7	22801	3,2	3,50	6,44	24,8	117,5	22278	24313	1,09
0,30-0,275-92,7-10	21,7	31508	2,8	3,50	6,76	18,8	111,5	31930	32763	1,03
0,30-0,275-92,7-11	21,7	34322	3,2	3,50	3,53	19,0	111,7	35867	36620	1,02
0,30-0,275-92,7-12	21,7	28347	3,1	3,50	5,73	21,7	114,4	29449	29992	1,02
0,30-0,275-92,7-13	21,7	26895	3,1	3,50	6,74	22,8	115,5	27628	28327	1,03
0,30-0,275-92,7-14	21,7	24620	3,2	3,50	7,72	24,1	116,8	25295	25616	1,01
0,30-0,275-92,7-15	21,7	24185	3,2	3,50	7,93	24,4	117,1	24842	25089	1,01
0,30-0,275-92,7-16	21,7	23971	3,2	3,50	8,61	24,9	117,6	24224	24839	1,03
0,30-0,275-92,7-17	21,7									
0,30-0,275-92,7-18	21,7									
0,30-0,275-92,7-19	21,7	32367	3,2	3,50	4,51	20,7	113,4	33104	33564	1,01
0,30-0,275-92,7-20	21,7	24195	3,1	3,50	7,38	23,0	115,7	25180	25744	1,02
0,30-0,275-92,7-21	21,7									
0,30-0,275-92,7-22	21,7									
0,30-0,275-92,7-23	21,7									
0,30-0,275-92,7-24	21,7									
0,30-0,275-92,7-25	21,7									
0,30-0,275-92,7-26	21,7	30291	3,5	3,50	4,88	24,8	117,5	31518	31781	1,01
0,30-0,275-92,7-27	21,7	34858	4,3	3,50	4,19	28,7	121,4	35626	36413	1,02
0,30-0,275-92,7-28	21,7									
0,30-0,275-92,7-29	21,7	20547	4,3	3,50	3,37	34,2	126,9	22018	22723	1,03
0,30-0,275-92,7-30	21,7	22494	3,9	3,50	4,07	29,9	122,6	23593	24400	1,03
0,30-0,275-92,7-31	21,7	24440	3,5	3,50	5,11	26,0	118,7	25571	26106	1,02
0,30-0,275-92,7-32	21,7	29632	2,9	3,50	7,75	20,0	112,7	30652	30917	1,01

Protótipo	$l/d_p$	$M_{ro}$ [kN.cm]	$\delta$ [cm]	$-\varepsilon_c$ [%o]	$\varepsilon_s$ [%o]	$\Delta f_{ps}$ [kN/cm <sup>2</sup> ]	$f_{ps}$ [kN/cm <sup>2</sup> ]	$M_{res}$ (numerico) [kN.cm]	$M_{res}$ (analit.) [kN.cm]	$\Delta M_r/M_{ro}$
0,70-0,150-92,7-REF	21,7									
0,70-0,150-92,7-01	21,7									
0,70-0,150-92,7-02	21,7									
0,70-0,150-92,7-03	21,7									
0,70-0,150-92,7-04	21,7									
0,70-0,150-92,7-05	21,7									
0,70-0,150-92,7-06	21,7									
0,70-0,150-92,7-07	21,7									
0,70-0,150-92,7-08	21,7									
0,70-0,150-92,7-09	21,7									
0,70-0,150-92,7-10	21,7									
0,70-0,150-92,7-11	21,7									
0,70-0,150-92,7-12	21,7									
0,70-0,150-92,7-13	21,7									
0,70-0,150-92,7-14	21,7									
0,70-0,150-92,7-15	21,7									
0,70-0,150-92,7-16	21,7									
0,70-0,150-92,7-17	21,7	26420	3,1	3,50	6,45	22,6	115,3	27728	28179	1,02
0,70-0,150-92,7-18	21,7									
0,70-0,150-92,7-19	21,7									
0,70-0,150-92,7-20	21,7									
0,70-0,150-92,7-21	21,7									
0,70-0,150-92,7-22	21,7									
0,70-0,150-92,7-23	21,7									
0,70-0,150-92,7-24	21,7									
0,70-0,150-92,7-25	21,7									
0,70-0,150-92,7-26	21,7									
0,70-0,150-92,7-27	21,7									
0,70-0,150-92,7-28	21,7									
0,70-0,150-92,7-29	21,7									
0,70-0,150-92,7-30	21,7									
0,70-0,150-92,7-31	21,7									
0,70-0,150-92,7-32	21,7									

Protótipo	$l/d_p$	$M_{ro}$ [kN.cm]	$\delta$ [cm]	$-\varepsilon_c$ [%o]	$\varepsilon_s$ [%o]	$\Delta f_{ps}$ [kN/cm <sup>2</sup> ]	$f_{ps}$ [kN/cm <sup>2</sup> ]	$M_{res}$ (numerico) [kN.cm]	$M_{res}$ (analit.) [kN.cm]	$\Delta M_r/M_{ro}$
0,70-0,275-92,7-REF	21,7									
0,70-0,275-92,7-01	21,7	24557	1,9	3,50	7,44	12,3	105,0	24639	26344	1,07
0,70-0,275-92,7-02	21,7	24557	2,1	3,50	7,25	14,9	107,6	25748	26708	1,04
0,70-0,275-92,7-03	21,7	24557								
0,70-0,275-92,7-04	21,7	24557	2,8	3,50	6,75	20,3	113,0	26342	27473	1,04
0,70-0,275-92,7-05	21,7	24557	3,1	3,50	6,48	23,2	115,9	26763	27864	1,04
0,70-0,275-92,7-06	21,7	24557	3,7	3,50	5,67	27,5	120,2	27443	28456	1,04
0,70-0,275-92,7-07	21,7									
0,70-0,275-92,7-08	21,7									
0,70-0,275-92,7-09	21,7									
0,70-0,275-92,7-10	21,7	26184	2,5	3,50	7,03	17,2	109,9	28013	28701	1,02
0,70-0,275-92,7-11	21,7									
0,70-0,275-92,7-12	21,7	27445	2,6	3,50	5,34	17,4	110,1	29425	30285	1,03
0,70-0,275-92,7-13	21,7									
0,70-0,275-92,7-14	21,7									
0,70-0,275-92,7-15	21,7									
0,70-0,275-92,7-16	21,7									
0,70-0,275-92,7-17	21,7									
0,70-0,275-92,7-18	21,7	31142	2,9	3,50	4,22	19,1	111,8	32546	33552	1,03
0,70-0,275-92,7-19	21,7									
0,70-0,275-92,7-20	21,7									
0,70-0,275-92,7-21	21,7									
0,70-0,275-92,7-22	21,7									
0,70-0,275-92,7-23	21,7									
0,70-0,275-92,7-24	21,7	21000	2,0	3,50	8,91	15,3	108,0	22357	23351	1,04
0,70-0,275-92,7-25	21,7									
0,70-0,275-92,7-26	21,7	25930	3,0	3,50	6,01	21,6	114,3	28235	28947	1,03
0,70-0,275-92,7-27	21,7	27937	3,5	3,50	5,09	24,8	117,5	30136	31252	1,04
0,70-0,275-92,7-28	21,7									
0,70-0,275-92,7-29	21,7	21905	2,9	3,50	4,01	21,4	114,1	25197	24967	0,99
0,70-0,275-92,7-30	21,7									
0,70-0,275-92,7-31	21,7									
0,70-0,275-92,7-32	21,7	25617	2,5	3,50	7,47	17,3	110,0	27414	28114	1,03

Protótipo	$l/d_p$	$M_{ro}$ [kN.cm]	$\delta$ [cm]	- $\varepsilon_c$ [%o]	$\varepsilon_s$ [%o]	$\Delta f_{ps}$ [kN/cm <sup>2</sup> ]	$f_{ps}$ [kN/cm <sup>2</sup> ]	$M_{res}$ (numerico) [kN.cm]	$M_{res}$ (analit.) [kN.cm]	$\Delta M_r/M_{ro}$
0,30-0,150-112,5-REF	21,7									
0,30-0,150-112,5-01	21,7									
0,30-0,150-112,5-02	21,7									
0,30-0,150-112,5-03	21,7									
0,30-0,150-112,5-04	21,7									
0,30-0,150-112,5-05	21,7									
0,30-0,150-112,5-06	21,7									
0,30-0,150-112,5-07	21,7									
0,30-0,150-112,5-08	21,7									
0,30-0,150-112,5-09	21,7									
0,30-0,150-112,5-10	21,7									
0,30-0,150-112,5-11	21,7	22591	2,9	3,50	8,34	21,4	133,9	23531	24445	1,04
0,30-0,150-112,5-12	21,7									
0,30-0,150-112,5-13	21,7									
0,30-0,150-112,5-14	21,7									
0,30-0,150-112,5-15	21,7									
0,30-0,150-112,5-16	21,7									
0,30-0,150-112,5-17	21,7	42006	3,5	3,50	2,58	17,3	129,8	41714	42360	1,02
0,30-0,150-112,5-18	21,7	25811	3,2	3,50	7,35	22,9	135,4	26098	26497	1,02
0,30-0,150-112,5-19	21,7									
0,30-0,150-112,5-20	21,7									
0,30-0,150-112,5-21	21,7									
0,30-0,150-112,5-22	21,7									
0,30-0,150-112,5-23	21,7									
0,30-0,150-112,5-24	21,7									
0,30-0,150-112,5-25	21,7									
0,30-0,150-112,5-26	21,7									
0,30-0,150-112,5-27	21,7	20977	4,1	3,50	10,00	33,3	145,8	21524	22052	1,02
0,30-0,150-112,5-28	21,7	25811	4,9	3,50	6,97	38,5	151,0	26464	26963	1,02
0,30-0,150-112,5-29	21,7									
0,30-0,150-112,5-30	21,7									
0,30-0,150-112,5-31	21,7									
0,30-0,150-112,5-32	21,7									

Protótipo	$l/d_p$	$M_{ro}$ [kN.cm]	$\delta$ [cm]	$-\varepsilon_c$ [%o]	$\varepsilon_s$ [%o]	$\Delta f_{ps}$ [kN/cm <sup>2</sup> ]	$f_{ps}$ [kN/cm <sup>2</sup> ]	$M_{res}$ (numerico) [kN.cm]	$M_{res}$ (analit.) [kN.cm]	$\Delta M_r/M_{ro}$
0,30-0,275-112,5-REF	21,7	27064	3,1	3,50	6,44	21,8	134,3	27789	28219	1,02
0,30-0,275-112,5-01	21,7	27064	2,0	3,50	7,53	10,9	123,4	26119	27644	1,06
0,30-0,275-112,5-02	21,7	27064	2,3	3,50	6,74	14,1	126,6	27278	27816	1,02
0,30-0,275-112,5-03	21,7	27064	2,7	3,50	6,65	18,0	130,5	27713	28022	1,01
0,30-0,275-112,5-04	21,7	27064	3,5	3,50	6,81	25,0	137,5	27501	28389	1,03
0,30-0,275-112,5-05	21,7	27064	4,2	3,50	6,22	30,8	143,3	28005	28690	1,02
0,30-0,275-112,5-06	21,7	27064	4,8	3,50	5,79	36,3	148,8	28579	28974	1,01
0,30-0,275-112,5-07	21,7	16887	4,0	3,50	5,44	32,6	145,1	17553	18372	1,05
0,30-0,275-112,5-08	21,7	19776	3,8	3,50	6,45	29,4	141,9	19961	21190	1,06
0,30-0,275-112,5-09	21,7									
0,30-0,275-112,5-10	21,7	31434	2,9	3,50	6,95	18,6	131,1	32062	32458	1,01
0,30-0,275-112,5-11	21,7	36740	3,2	3,50	2,69	17,7	130,2	38043	38717	1,02
0,30-0,275-112,5-12	21,7	29870	3,1	3,50	5,29	20,4	132,9	30520	31364	1,03
0,30-0,275-112,5-13	21,7	28150	3,1	3,50	5,87	21,1	133,6	28921	29442	1,02
0,30-0,275-112,5-14	21,7	25461	3,1	3,50	7,50	22,8	135,3	26108	26388	1,01
0,30-0,275-112,5-15	21,7	24941	3,1	3,50	7,72	23,0	135,5	25254	25780	1,02
0,30-0,275-112,5-16	21,7	24685	3,2	3,50	7,72	23,2	135,7	25180	25485	1,01
0,30-0,275-112,5-17	21,7									
0,30-0,275-112,5-18	21,7									
0,30-0,275-112,5-19	21,7	32399	3,2	3,50	4,48	20,1	132,6	32963	33357	1,01
0,30-0,275-112,5-20	21,7	24220	3,1	3,50	7,63	22,6	135,1	25033	25477	1,02
0,30-0,275-112,5-21	21,7									
0,30-0,275-112,5-22	21,7									
0,30-0,275-112,5-23	21,7									
0,30-0,275-112,5-24	21,7									
0,30-0,275-112,5-25	21,7									
0,30-0,275-112,5-26	21,7	30321	3,5	3,50	5,15	24,0	136,5	31172	31516	1,01
0,30-0,275-112,5-27	21,7	34891	4,3	3,50	4,19	27,6	140,1	35420	36127	1,02
0,30-0,275-112,5-28	21,7									
0,30-0,275-112,5-29	21,7	20567	4,3	3,50	3,30	32,5	145,0	21887	22282	1,02
0,30-0,275-112,5-30	21,7	22516	3,9	3,50	4,25	28,5	141,0	23644	24025	1,02
0,30-0,275-112,5-31	21,7	24465	3,5	3,50	5,04	25,0	137,5	25367	25792	1,02
0,30-0,275-112,5-32	21,7	29662	2,9	3,50	7,88	19,3	131,8	30170	30688	1,02

Protótipo	$l/d_p$	$M_{ro}$ [kN.cm]	$\delta$ [cm]	$-\varepsilon_c$ [%o]	$\varepsilon_s$ [%o]	$\Delta f_{ps}$ [kN/cm <sup>2</sup> ]	$f_{ps}$ [kN/cm <sup>2</sup> ]	$M_{res}$ (numerico) [kN.cm]	$M_{res}$ (analit.) [kN.cm]	$\Delta M_r/M_{ro}$
0,70-0,150-112,5-REF	21,7									
0,70-0,150-112,5-01	21,7									
0,70-0,150-112,5-02	21,7									
0,70-0,150-112,5-03	21,7									
0,70-0,150-112,5-04	21,7									
0,70-0,150-112,5-05	21,7									
0,70-0,150-112,5-06	21,7									
0,70-0,150-112,5-07	21,7									
0,70-0,150-112,5-08	21,7									
0,70-0,150-112,5-09	21,7									
0,70-0,150-112,5-10	21,7									
0,70-0,150-112,5-11	21,7									
0,70-0,150-112,5-12	21,7									
0,70-0,150-112,5-13	21,7									
0,70-0,150-112,5-14	21,7									
0,70-0,150-112,5-15	21,7									
0,70-0,150-112,5-16	21,7									
0,70-0,150-112,5-17	21,7	26517	3,1	3,50	6,71	22,0	134,5	27402	27936	1,02
0,70-0,150-112,5-18	21,7									
0,70-0,150-112,5-19	21,7									
0,70-0,150-112,5-20	21,7									
0,70-0,150-112,5-21	21,7									
0,70-0,150-112,5-22	21,7									
0,70-0,150-112,5-23	21,7									
0,70-0,150-112,5-24	21,7									
0,70-0,150-112,5-25	21,7									
0,70-0,150-112,5-26	21,7									
0,70-0,150-112,5-27	21,7									
0,70-0,150-112,5-28	21,7									
0,70-0,150-112,5-29	21,7									
0,70-0,150-112,5-30	21,7									
0,70-0,150-112,5-31	21,7									
0,70-0,150-112,5-32	21,7									

Protótipo	$l/d_p$	$M_{ro}$ [kN.cm]	$\delta$ [cm]	$-\varepsilon_c$ [%o]	$\varepsilon_s$ [%o]	$\Delta f_{ps}$ [kN/cm <sup>2</sup> ]	$f_{ps}$ [kN/cm <sup>2</sup> ]	$M_{res}$ (numerico) [kN.cm]	$M_{res}$ (analit.) [kN.cm]	$\Delta M_r/M_{ro}$
0,70-0,275-112,5-REF	21,7									
0,70-0,275-112,5-01	21,7									
0,70-0,275-112,5-02	21,7	24556	2,1	3,50	7,19	14,5	127,0	25623	26293	1,03
0,70-0,275-112,5-03	21,7									
0,70-0,275-112,5-04	21,7	24556	2,9	3,50	7,76	21,3	133,8	26083	27085	1,04
0,70-0,275-112,5-05	21,7	24556	3,2	3,50	5,87	23,4	135,9	26855	27319	1,02
0,70-0,275-112,5-06	21,7	24556	3,9	3,50	6,68	28,5	141,0	27380	27910	1,02
0,70-0,275-112,5-07	21,7									
0,70-0,275-112,5-08	21,7									
0,70-0,275-112,5-09	21,7									
0,70-0,275-112,5-10	21,7	26206	2,5	3,50	7,35	17,1	129,6	27680	28273	1,02
0,70-0,275-112,5-11	21,7									
0,70-0,275-112,5-12	21,7									
0,70-0,275-112,5-13	21,7	26986	2,6	3,50	5,41	17,6	130,1	28809	29327	1,02
0,70-0,275-112,5-14	21,7									
0,70-0,275-112,5-15	21,7									
0,70-0,275-112,5-16	21,7									
0,70-0,275-112,5-17	21,7									
0,70-0,275-112,5-18	21,7	31142	3,0	3,50	4,50	19,1	131,6	32240	33132	1,03
0,70-0,275-112,5-19	21,7									
0,70-0,275-112,5-20	21,7	23390	2,5	3,50	7,30	17,7	130,2	24679	25545	1,04
0,70-0,275-112,5-21	21,7	22204	2,4	3,50	8,11	17,7	130,2	23564	24400	1,04
0,70-0,275-112,5-22	21,7									
0,70-0,275-112,5-23	21,7									
0,70-0,275-112,5-24	21,7									
0,70-0,275-112,5-25	21,7									
0,70-0,275-112,5-26	21,7	25929	3,0	3,50	6,15	20,9	133,4	27298	28350	1,04
0,70-0,275-112,5-27	21,7	27937	3,5	3,50	5,20	24,7	137,2	29985	30676	1,02
0,70-0,275-112,5-28	21,7									
0,70-0,275-112,5-29	21,7									
0,70-0,275-112,5-30	21,7	22700	3,0	3,50	4,36	21,1	133,6	24587	25203	1,03
0,70-0,275-112,5-31	21,7									
0,70-0,275-112,5-32	21,7	25617	2,5	3,50	7,74	17,4	129,9	27160	27686	1,02

Protótipo	$l/d_p$	$M_{ro}$ [kN.cm]	$\delta$ [cm]	- $\varepsilon_c$ [%o]	$\varepsilon_s$ [%o]	$\Delta f_{ps}$ [kN/cm <sup>2</sup> ]	$f_{ps}$ [kN/cm <sup>2</sup> ]	$M_{res}$ (numerico) [kN.cm]	$M_{res}$ (analit.) [kN.cm]	$\Delta M_r/M_{ro}$
0,30-0,150-132,3-REF	21,7									
0,30-0,150-132,3-01	21,7									
0,30-0,150-132,3-02	21,7									
0,30-0,150-132,3-03	21,7									
0,30-0,150-132,3-04	21,7									
0,30-0,150-132,3-05	21,7									
0,30-0,150-132,3-06	21,7									
0,30-0,150-132,3-07	21,7									
0,30-0,150-132,3-08	21,7									
0,30-0,150-132,3-09	21,7									
0,30-0,150-132,3-10	21,7									
0,30-0,150-132,3-11	21,7	24291	2,8	3,50	7,30	18,2	150,5	25033	25821	1,03
0,30-0,150-132,3-12	21,7									
0,30-0,150-132,3-13	21,7									
0,30-0,150-132,3-14	21,7									
0,30-0,150-132,3-15	21,7									
0,30-0,150-132,3-16	21,7									
0,30-0,150-132,3-17	21,7	41929	3,5	3,50	2,60	15,5	147,8	41625	42200	1,01
0,30-0,150-132,3-18	21,7	25754	3,2	3,50	7,52	20,3	152,6	25784	26272	1,02
0,30-0,150-132,3-19	21,7									
0,30-0,150-132,3-20	21,7									
0,30-0,150-132,3-21	21,7									
0,30-0,150-132,3-22	21,7									
0,30-0,150-132,3-23	21,7									
0,30-0,150-132,3-24	21,7									
0,30-0,150-132,3-25	21,7									
0,30-0,150-132,3-26	21,7									
0,30-0,150-132,3-27	21,7	20929	4,0	3,50	10,00	27,8	160,1	21056	21694	1,03
0,30-0,150-132,3-28	21,7	25754	4,9	3,50	7,58	31,7	164,0	25947	26561	1,02
0,30-0,150-132,3-29	21,7									
0,30-0,150-132,3-30	21,7									
0,30-0,150-132,3-31	21,7									
0,30-0,150-132,3-32	21,7									

Protótipo	$l/d_p$	$M_{ro}$ [kN.cm]	$\delta$ [cm]	$-\varepsilon_c$ [%o]	$\varepsilon_s$ [%o]	$\Delta f_{ps}$ [kN/cm <sup>2</sup> ]	$f_{ps}$ [kN/cm <sup>2</sup> ]	$M_{res}$ (numerico) [kN.cm]	$M_{res}$ (analit.) [kN.cm]	$\Delta M_r/M_{ro}$
0,30-0,275-132,3-REF	21,7	27014	3,1	3,50	6,57	19,3	151,6	27400	27885	1,02
0,30-0,275-132,3-01	21,7	27014	1,9	3,50	6,99	9,6	141,9	26860	27450	1,02
0,30-0,275-132,3-02	21,7	27014	2,4	3,50	7,21	13,2	145,5	26846	27611	1,03
0,30-0,275-132,3-03	21,7	27014	2,7	3,50	6,71	16,2	148,5	27487	27747	1,01
0,30-0,275-132,3-04	21,7	27014	3,5	3,50	6,37	21,7	154,0	27545	27995	1,02
0,30-0,275-132,3-05	21,7	27014	4,0	3,50	6,92	25,5	157,8	27318	28163	1,03
0,30-0,275-132,3-06	21,7	27014	4,8	3,50	6,70	30,4	162,7	27515	28380	1,03
0,30-0,275-132,3-07	21,7	16897	4,1	3,50	5,52	27,8	160,1	17246	17976	1,04
0,30-0,275-132,3-08	21,7	19790	3,8	3,50	6,16	25,3	157,6	19848	20830	1,05
0,30-0,275-132,3-09	21,7	22812	3,3	3,50	6,63	21,4	153,7	22097	23735	1,07
0,30-0,275-132,3-10	21,7	31452	2,8	3,50	7,37	16,6	148,9	31173	32234	1,03
0,30-0,275-132,3-11	21,7									
0,30-0,275-132,3-12	21,7	31288	3,1	3,50	4,47	17,6	149,9	32009	32531	1,02
0,30-0,275-132,3-13	21,7	29341	3,1	3,50	5,35	18,3	150,6	29878	30434	1,02
0,30-0,275-132,3-14	21,7	26231	3,1	3,50	7,11	19,7	152,0	26488	27020	1,02
0,30-0,275-132,3-15	21,7	25628	3,2	3,50	7,31	20,1	152,4	25940	26353	1,02
0,30-0,275-132,3-16	21,7	25331	3,1	3,50	7,57	20,1	152,4	25607	26015	1,02
0,30-0,275-132,3-17	21,7									
0,30-0,275-132,3-18	21,7									
0,30-0,275-132,3-19	21,7	32342	3,2	3,50	4,74	18,0	150,3	32734	33077	1,01
0,30-0,275-132,3-20	21,7	24175	3,1	3,50	7,89	19,9	152,2	24348	25120	1,03
0,30-0,275-132,3-21	21,7									
0,30-0,275-132,3-22	21,7									
0,30-0,275-132,3-23	21,7									
0,30-0,275-132,3-24	21,7									
0,30-0,275-132,3-25	21,7									
0,30-0,275-132,3-26	21,7	30267	3,5	3,50	5,53	21,2	153,5	30445	31165	1,02
0,30-0,275-132,3-27	21,7									
0,30-0,275-132,3-28	21,7									
0,30-0,275-132,3-29	21,7	20531	4,3	3,50	3,51	27,4	159,7	21299	21767	1,02
0,30-0,275-132,3-30	21,7	22476	3,8	3,50	4,76	24,4	156,7	22605	23578	1,04
0,30-0,275-132,3-31	21,7	24421	3,5	3,50	6,06	22,1	154,4	24337	25419	1,04
0,30-0,275-132,3-32	21,7	29607	2,9	3,50	7,90	17,2	149,5	29701	30386	1,02

Protótipo	$l/d_p$	$M_{ro}$ [kN.cm]	$\delta$ [cm]	$-\varepsilon_c$ [%o]	$\varepsilon_s$ [%o]	$\Delta f_{ps}$ [kN/cm <sup>2</sup> ]	$f_{ps}$ [kN/cm <sup>2</sup> ]	$M_{res}$ (numerico) [kN.cm]	$M_{res}$ (analit.) [kN.cm]	$\Delta M_r/M_{ro}$
0,70-0,150-132,3-REF	21,7									
0,70-0,150-132,3-01	21,7									
0,70-0,150-132,3-02	21,7									
0,70-0,150-132,3-03	21,7									
0,70-0,150-132,3-04	21,7									
0,70-0,150-132,3-05	21,7									
0,70-0,150-132,3-06	21,7									
0,70-0,150-132,3-07	21,7									
0,70-0,150-132,3-08	21,7									
0,70-0,150-132,3-09	21,7									
0,70-0,150-132,3-10	21,7									
0,70-0,150-132,3-11	21,7									
0,70-0,150-132,3-12	21,7									
0,70-0,150-132,3-13	21,7									
0,70-0,150-132,3-14	21,7									
0,70-0,150-132,3-15	21,7									
0,70-0,150-132,3-16	21,7									
0,70-0,150-132,3-17	21,7	26508	3,1	3,50	6,69	19,1	151,4	27013	27561	1,02
0,70-0,150-132,3-18	21,7									
0,70-0,150-132,3-19	21,7									
0,70-0,150-132,3-20	21,7									
0,70-0,150-132,3-21	21,7									
0,70-0,150-132,3-22	21,7									
0,70-0,150-132,3-23	21,7									
0,70-0,150-132,3-24	21,7									
0,70-0,150-132,3-25	21,7									
0,70-0,150-132,3-26	21,7									
0,70-0,150-132,3-27	21,7									
0,70-0,150-132,3-28	21,7									
0,70-0,150-132,3-29	21,7									
0,70-0,150-132,3-30	21,7									
0,70-0,150-132,3-31	21,7									
0,70-0,150-132,3-32	21,7									

Protótipo	$l/d_p$	$M_{ro}$ [kN.cm]	$\delta$ [cm]	$-\varepsilon_c$ [%o]	$\varepsilon_s$ [%o]	$\Delta f_{ps}$ [kN/cm <sup>2</sup> ]	$f_{ps}$ [kN/cm <sup>2</sup> ]	$M_{res}$ (numerico) [kN.cm]	$M_{res}$ (analit.) [kN.cm]	$\Delta M_r/M_{ro}$
0,70-0,275-132,3-REF	21,7	24548	2,5	3,50	7,29	16,3	148,6	24810	26212	1,06
0,70-0,275-132,3-01	21,7	24548	1,9	3,50	7,67	11,2	143,5	24353	25695	1,06
0,70-0,275-132,3-02	21,7	24548	2,3	3,50	7,35	14,6	146,9	24241	26041	1,07
0,70-0,275-132,3-03	21,7	24548	3,2	3,50	6,64	20,8	153,1	26002	26658	1,03
0,70-0,275-132,3-04	21,7	24548	3,9	3,50	6,21	25,0	157,3	26625	27072	1,02
0,70-0,275-132,3-05	21,7	24548								
0,70-0,275-132,3-06	21,7	24548								
0,70-0,275-132,3-07	21,7									
0,70-0,275-132,3-08	21,7									
0,70-0,275-132,3-09	21,7	22812	2,8	3,50	6,97	18,4	150,7	23245	24648	1,06
0,70-0,275-132,3-10	21,7	26231	2,5	3,50	7,67	15,5	147,8	27143	27833	1,03
0,70-0,275-132,3-11	21,7									
0,70-0,275-132,3-12	21,7									
0,70-0,275-132,3-13	21,7	29608	2,5	3,50	4,26	14,7	147,0	31056	31443	1,01
0,70-0,275-132,3-14	21,7	22726	2,7	3,50	8,23	17,7	150,0	23324	24351	1,04
0,70-0,275-132,3-15	21,7									
0,70-0,275-132,3-16	21,7									
0,70-0,275-132,3-17	21,7									
0,70-0,275-132,3-18	21,7	31132	3,0	3,50	4,20	16,9	149,2	32017	32645	1,02
0,70-0,275-132,3-19	21,7									
0,70-0,275-132,3-20	21,7	23382	2,6	3,50	7,85	16,8	149,1	24374	25128	1,03
0,70-0,275-132,3-21	21,7	22197	2,5	3,50	8,05	16,3	148,6	23253	23922	1,03
0,70-0,275-132,3-22	21,7									
0,70-0,275-132,3-23	21,7									
0,70-0,275-132,3-24	21,7	20992	2,1	3,50	9,90	14,4	146,7	21570	22548	1,05
0,70-0,275-132,3-25	21,7	22792	2,2	3,50	8,36	14,6	146,9	22826	24323	1,07
0,70-0,275-132,3-26	21,7	25921	3,0	3,50	6,88	18,8	151,1	26667	27784	1,04
0,70-0,275-132,3-27	21,7	27927	3,5	3,50	5,14	21,9	154,2	29154	30011	1,03
0,70-0,275-132,3-28	21,7									
0,70-0,275-132,3-29	21,7	21897	3,1	3,50	4,01	20,0	152,3	22882	23928	1,05
0,70-0,275-132,3-30	21,7									
0,70-0,275-132,3-31	21,7									
0,70-0,275-132,3-32	21,7	25608	2,5	3,50	7,81	15,7	148,0	26618	27207	1,02

Protótipo	$l/d_p$	$M_{ro}$ [kN.cm]	$\delta$ [cm]	- $\varepsilon_c$ [%o]	$\varepsilon_s$ [%o]	$\Delta f_{ps}$ [kN/cm <sup>2</sup> ]	$f_{ps}$ [kN/cm <sup>2</sup> ]	$M_{res}$ (numerico) [kN.cm]	$M_{res}$ (analit.) [kN.cm]	$\Delta M_r/M_{ro}$
0,30-0,150-152,0-REF	21,7									
0,30-0,150-152,0-01	21,7									
0,30-0,150-152,0-02	21,7									
0,30-0,150-152,0-03	21,7									
0,30-0,150-152,0-04	21,7									
0,30-0,150-152,0-05	21,7									
0,30-0,150-152,0-06	21,7									
0,30-0,150-152,0-07	21,7									
0,30-0,150-152,0-08	21,7									
0,30-0,150-152,0-09	21,7									
0,30-0,150-152,0-10	21,7									
0,30-0,150-152,0-11	21,7	25974	2,8	3,50	7,03	12,7	164,7	26223	27010	1,03
0,30-0,150-152,0-12	21,7									
0,30-0,150-152,0-13	21,7									
0,30-0,150-152,0-14	21,7									
0,30-0,150-152,0-15	21,7									
0,30-0,150-152,0-16	21,7									
0,30-0,150-152,0-17	21,7	42030	3,5	3,50	2,61	11,1	163,1	41619	42200	1,01
0,30-0,150-152,0-18	21,7	25829	3,2	3,50	7,60	14,1	166,1	25637	26143	1,02
0,30-0,150-152,0-19	21,7									
0,30-0,150-152,0-20	21,7									
0,30-0,150-152,0-21	21,7									
0,30-0,150-152,0-22	21,7									
0,30-0,150-152,0-23	21,7									
0,30-0,150-152,0-24	21,7									
0,30-0,150-152,0-25	21,7									
0,30-0,150-152,0-26	21,7									
0,30-0,150-152,0-27	21,7	20993	4,0	3,47	10,00	18,2	170,2	20463	21430	1,05
0,30-0,150-152,0-28	21,7	25830	4,9	3,50	7,64	20,1	172,1	25664	26278	1,02
0,30-0,150-152,0-29	21,7									
0,30-0,150-152,0-30	21,7									
0,30-0,150-152,0-31	21,7									
0,30-0,150-152,0-32	21,7									

Protótipo	$l/d_p$	$M_{ro}$ [kN.cm]	$\delta$ [cm]	$-\varepsilon_c$ [%o]	$\varepsilon_s$ [%o]	$\Delta f_{ps}$ [kN/cm <sup>2</sup> ]	$f_{ps}$ [kN/cm <sup>2</sup> ]	$M_{res}$ (numerico) [kN.cm]	$M_{res}$ (analit.) [kN.cm]	$\Delta M_r/M_{ro}$
0,30-0,275-152,0-REF	21,7	27041	3,1	3,50	6,66	13,5	165,5	27153	27574	1,02
0,30-0,275-152,0-01	21,7	27041	1,9	3,50	7,07	7,2	159,2	26681	27326	1,02
0,30-0,275-152,0-02	21,7	27041	2,3	3,50	7,26	9,6	161,6	26855	27421	1,02
0,30-0,275-152,0-03	21,7	27041	2,7	3,50	6,77	11,5	163,5	27041	27496	1,02
0,30-0,275-152,0-04	21,7	27041	3,5	3,50	6,43	15,0	167,0	27347	27633	1,01
0,30-0,275-152,0-05	21,7	27041	4,0	3,50	6,60	17,0	169,0	27233	27710	1,02
0,30-0,275-152,0-06	21,7	27041	4,8	3,50	6,66	19,6	171,6	27401	27814	1,02
0,30-0,275-152,0-07	21,7	16892	4,1	3,50	5,55	18,3	170,3	17052	17514	1,03
0,30-0,275-152,0-08	21,7	19772	3,8	3,50	6,09	17,0	169,0	19690	20382	1,04
0,30-0,275-152,0-09	21,7	22821	3,5	3,50	6,91	15,6	167,6	22624	23407	1,03
0,30-0,275-152,0-10	21,7	31483	2,8	3,50	7,51	11,9	163,9	30914	31971	1,03
0,30-0,275-152,0-11	21,7									
0,30-0,275-152,0-12	21,7	32698	3,0	3,50	4,34	12,1	164,1	32635	33530	1,03
0,30-0,275-152,0-13	21,7	30528	3,1	3,50	5,21	12,8	164,8	30661	31271	1,02
0,30-0,275-152,0-14	21,7	28415	3,1	3,50	5,92	13,2	165,2	28544	29036	1,02
0,30-0,275-152,0-15	21,7	26365	3,1	3,50	7,05	13,7	165,7	26462	26854	1,01
0,30-0,275-152,0-16	21,7	26020	3,2	3,50	7,23	13,8	165,8	26122	26485	1,01
0,30-0,275-152,0-17	21,7									
0,30-0,275-152,0-18	21,7	41633	3,5	3,50	2,73	11,2	163,2	41384	41944	1,01
0,30-0,275-152,0-19	21,7	32373	3,2	3,50	4,67	12,6	164,6	32326	32822	1,02
0,30-0,275-152,0-20	21,7	24199	3,1	3,50	8,41	14,1	166,1	24049	24784	1,03
0,30-0,275-152,0-21	21,7									
0,30-0,275-152,0-22	21,7									
0,30-0,275-152,0-23	21,7									
0,30-0,275-152,0-24	21,7									
0,30-0,275-152,0-25	21,7									
0,30-0,275-152,0-26	21,7	30297	3,5	3,50	5,69	14,6	166,6	30102	30840	1,02
0,30-0,275-152,0-27	21,7	34864	4,2	3,50	4,11	16,1	168,1	34742	35403	1,02
0,30-0,275-152,0-28	21,7									
0,30-0,275-152,0-29	21,7	20551	4,2	3,50	3,81	17,9	169,9	20339	21256	1,05
0,30-0,275-152,0-30	21,7	22498	3,8	3,50	4,77	16,4	168,4	22234	23146	1,04
0,30-0,275-152,0-31	21,7	24445	3,5	3,50	6,14	15,2	167,2	24173	25047	1,04
0,30-0,275-152,0-32	21,7	29637	2,9	3,50	7,93	12,2	164,2	29484	30120	1,02

Protótipo	$l/d_p$	$M_{ro}$ [kN.cm]	$\delta$ [cm]	$-\varepsilon_c$ [%o]	$\varepsilon_s$ [%o]	$\Delta f_{ps}$ [kN/cm <sup>2</sup> ]	$f_{ps}$ [kN/cm <sup>2</sup> ]	$M_{res}$ (numerico) [kN.cm]	$M_{res}$ (analit.) [kN.cm]	$\Delta M_r/M_{ro}$
0,70-0,150-152,0-REF	21,7									
0,70-0,150-152,0-01	21,7									
0,70-0,150-152,0-02	21,7									
0,70-0,150-152,0-03	21,7									
0,70-0,150-152,0-04	21,7									
0,70-0,150-152,0-05	21,7									
0,70-0,150-152,0-06	21,7									
0,70-0,150-152,0-07	21,7									
0,70-0,150-152,0-08	21,7									
0,70-0,150-152,0-09	21,7									
0,70-0,150-152,0-10	21,7									
0,70-0,150-152,0-11	21,7									
0,70-0,150-152,0-12	21,7									
0,70-0,150-152,0-13	21,7									
0,70-0,150-152,0-14	21,7									
0,70-0,150-152,0-15	21,7									
0,70-0,150-152,0-16	21,7									
0,70-0,150-152,0-17	21,7	26462	3,1	3,50	6,90	13,4	165,4	26227	27107	1,03
0,70-0,150-152,0-18	21,7									
0,70-0,150-152,0-19	21,7									
0,70-0,150-152,0-20	21,7									
0,70-0,150-152,0-21	21,7									
0,70-0,150-152,0-22	21,7									
0,70-0,150-152,0-23	21,7									
0,70-0,150-152,0-24	21,7									
0,70-0,150-152,0-25	21,7									
0,70-0,150-152,0-26	21,7									
0,70-0,150-152,0-27	21,7									
0,70-0,150-152,0-28	21,7									
0,70-0,150-152,0-29	21,7									
0,70-0,150-152,0-30	21,7									
0,70-0,150-152,0-31	21,7									
0,70-0,150-152,0-32	21,7									

Protótipo	$l/d_p$	$M_{ro}$ [kN.cm]	$\delta$ [cm]	$-\varepsilon_c$ [%o]	$\varepsilon_s$ [%o]	$\Delta f_{ps}$ [kN/cm <sup>2</sup> ]	$f_{ps}$ [kN/cm <sup>2</sup> ]	$M_{res}$ (numerico) [kN.cm]	$M_{res}$ (analit.) [kN.cm]	$\Delta M_r/M_{ro}$
0,70-0,275-152,0-REF	21,7	24527	2,7	3,50	7,66	12,3	164,3	24813	25625	1,03
0,70-0,275-152,0-01	21,7									
0,70-0,275-152,0-02	21,7	24527	2,2	3,50	7,20	9,8	161,9	25140	25407	1,01
0,70-0,275-152,0-03	21,7	24527	2,4	3,50	8,00	11,0	163,0	23942	25511	1,07
0,70-0,275-152,0-04	21,7									
0,70-0,275-152,0-05	21,7									
0,70-0,275-152,0-06	21,7									
0,70-0,275-152,0-07	21,7									
0,70-0,275-152,0-08	21,7									
0,70-0,275-152,0-09	21,7									
0,70-0,275-152,0-10	21,7	26223	2,5	3,50	7,85	11,5	163,5	26817	27262	1,02
0,70-0,275-152,0-11	21,7									
0,70-0,275-152,0-12	21,7									
0,70-0,275-152,0-13	21,7									
0,70-0,275-152,0-14	21,7									
0,70-0,275-152,0-15	21,7	22981	2,7	3,50	9,04	12,6	164,6	22756	24012	1,06
0,70-0,275-152,0-16	21,7	22183	2,7	3,50	8,25	12,5	164,5	22445	23155	1,03
0,70-0,275-152,0-17	21,7									
0,70-0,275-152,0-18	21,7	31107	3,0	3,50	4,46	12,2	164,2	31485	32064	1,02
0,70-0,275-152,0-19	21,7									
0,70-0,275-152,0-20	21,7	23362	2,5	3,50	8,05	11,8	163,8	23519	24432	1,04
0,70-0,275-152,0-21	21,7									
0,70-0,275-152,0-22	21,7									
0,70-0,275-152,0-23	21,7									
0,70-0,275-152,0-24	21,7									
0,70-0,275-152,0-25	21,7									
0,70-0,275-152,0-26	21,7	25899	3,0	3,50	6,85	13,4	165,4	25997	27063	1,04
0,70-0,275-152,0-27	21,7	27904	3,6	3,50	5,54	15,6	167,6	28255	29207	1,03
0,70-0,275-152,0-28	21,7									
0,70-0,275-152,0-29	21,7									
0,70-0,275-152,0-30	21,7									
0,70-0,275-152,0-31	21,7									
0,70-0,275-152,0-32	21,7	25586	2,5	3,50	8,12	11,6	163,6	26153	26617	1,02